



Mascheroni e Associati S.r.l.

**Istituto Zooprofilattico Sperimentale
Della Lombardia e dell'Emilia Romagna
“Bruno Ubertini”
via Antonio Bianchi, 7/9
25124 Brescia (BS)**

**Lavori per la trasformazione di parte degli stabulari in ambienti a maggiore
sicurezza biologica da effettuare presso la sede territoriale di Lodi**

**PROGETTO ESECUTIVO
Opere strutturali**

**STR A
CALCOLI ESECUTIVI E TABULATO DI CALCOLO NUOVI DEPOSITO E
TETTOIA**

**Bergamo, 12 dicembre 2023
Agg. 05 marzo 2024**

BOSI E ASSOCIATI STUDIO DI INGEGNERIA

Dott. Ing. Giovanni Bosi - Dott. Ing. Donato Musci - Dott. Ing. Davide Manenti – Dott. Ing. Nazzareno Zingarelli

ISTITUTO ZOOPROFILATTICO SPERIMENTALE DELLA LOMBARDIA E DELL'EMILIA ROMAGNA

“BRUNO UBERTINI”

REALIZZAZIONE AMPLIAMENTO ISTITUTO ZOOPROFILATTICO

RELAZIONE DI CALCOLO

Il Progettista:

Dott. Ing. Donato Musci

| | | | | | |
|------|-----------------------------|-----------|------------|-----------|----------|
| 00 | Emissione per appalto opere | D.Ma. | D.Ma. | D.Ma. | 24-11-23 |
| Rev. | Descrizione | Elaborato | Verificato | Approvato | Data |

| | | |
|---|---|-----------------------------|
| BOSI E ASSOCIATI STUDIO DI INGEGNERIA Dott. Ing. Giovanni Bosi Dott. Ing. Donato Musci Dott. Ing. Davide Manenti Dott. Ing. Nazzareno Zingarelli | ISTITUTO ZOOPROFILATTICO SPERIMENTALE DELLA LOMBARDIA E DELL'EMILIA ROMAGNA “BRUNO UBERTINI” | 98-2023 |
| | REALIZZAZIONE AMPLIAMENTO ISTITUTO ZOOPROFILATTICO | RELAZIONE DI CALCOLO |
| | | Pag. 3 di 76 |

INDICE GENERALE

| | |
|--|-----------|
| 1 DESCRIZIONE DELLE OPERE..... | 4 |
| 2 METODO DI CALCOLO E NORMATIVA DI RIFERIMENTO..... | 4 |
| 3 MATERIALI..... | 5 |
| 4 ANALISI DEI CARICHI..... | 7 |
| 4.1 CARICO DELLA NEVE | 7 |
| 4.2 SOLAI | 7 |
| 4.2.1 SOLAIO COPERTURA | 7 |
| 4.3 AZIONI SISMICHE | 8 |
| 4.4 COMBINAZIONI DI CARICO | 9 |
| 4.4.1 EDIFICI | 9 |
| 5 VERIFICHE STRUTTURALI ELEVAZIONE | 10 |
| 5.1 MODELLAZIONE DELLA STRUTTURA | 10 |
| 5.2 COPERTURA PIANO | 19 |
| 5.2.1 SOLAIO DI COPERTURA | 19 |
| 5.3 ARCHITRAVI..... | 25 |
| 5.3.1 Architrave porta | 25 |
| 5.3.2 Architrave finestra..... | 31 |
| 5.4 PARETI | 37 |
| VERIFICHE MURATURA | 38 |
| 6 VERIFICHE STRUTTURALI FONDAZIONE | 58 |
| 6.1 MODELLAZIONE DELLA FONDAZIONE | 58 |
| 6.2 TRAVI ROVESCE | 59 |
| 6.2.1 Trave di fondazione 1..... | 59 |
| 6.2.2 Trave di fondazione 2..... | 64 |
| 7 VERIFICHE GEOTECNICHE FONDAZIONE..... | 69 |
| 7.1 PARAMETRI GEOTECNICI DEL TERRENO | 69 |
| 7.2 CALCOLO DELLA COSTANTE DI WINKLER | 70 |
| 7.3 VERIFICA CAPACITÀ PORTANTE FONDAZIONE (SLU) | 72 |
| 7.3.1 Trave di fondazione 1..... | 72 |
| 7.3.2 Trave di fondazione 2..... | 74 |
| 7.4 VERIFICA CEDIMENTI (SLE)..... | 76 |

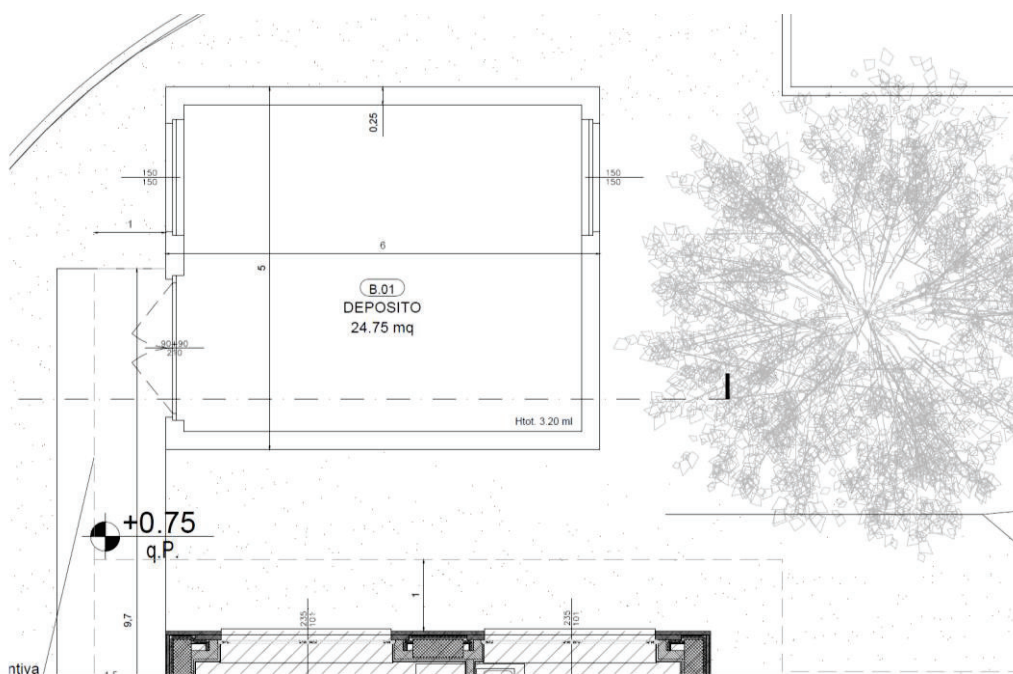
| | | |
|---|--|---|
| BOSI E ASSOCIATI STUDIO DI INGEGNERIA Dott. Ing. Giovanni Bosi Dott. Ing. Donato Musci Dott. Ing. Davide Manenti Dott. Ing. Nazzareno Zingarelli | ISTITUTO ZOOPROFILATTICO SPERIMENTALE DELLA LOMBARDIA E DELL'EMILIA ROMAGNA “BRUNO UBERTINI” REALIZZAZIONE AMPLIAMENTO ISTITUTO ZOOPROFILATTICO | 98-2023 RELAZIONE DI CALCOLO Pag. 4 di 76 |
|---|--|---|

1 DESCRIZIONE DELLE OPERE

L'oggetto della seguente relazione di calcolo è un fabbricato utilizzato come nuovo deposito, facente parte del complesso dell'Istituto Zooprofilattico "Bruno Ubertini" di Lodi.

L'edificio è realizzato nel seguente modo:

- Strutture d'elevazione in muratura portante, con pareti in blocchi Poroton P800, spessore 25cm;
- Solaio di copertura in lastre tralicciate, spessore H = (5+15+5)=25cm;
- Cordoli perimetrali di copertura in calcestruzzo armato;
- Architravi al di sopra delle aperture in calcestruzzo armato;
- Fondazioni costituite da travi rovesce in calcestruzzo armato.



2 METODO DI CALCOLO E NORMATIVA DI RIFERIMENTO

Le strutture sono calcolate con il metodo "semiprobabilistico agli stati limite" secondo le seguenti normative:

- Legge 5 Novembre 1971 n° 1086 "Norme per la disciplina delle opere di conglomerato cementizio armato, normale e precompresso ed a struttura metallica".
- Decreto Ministeriale 17 Gennaio 2018 "Aggiornamento delle Norme Tecniche per le Costruzioni", (NTC).
- Circolare n.7 Reg. Atti Int. CONSUP del 21.01.2019 "Istruzioni per l'applicazione dell'aggiornamento delle Norme tecniche per le costruzioni di cui al D.M. 17.01.2018.

| | | |
|---|---|-----------------------------|
| BOSI E ASSOCIATI STUDIO DI INGEGNERIA Dott. Ing. Giovanni Bosi Dott. Ing. Donato Musci Dott. Ing. Davide Manenti Dott. Ing. Nazzareno Zingarelli | ISTITUTO ZOOPROFILATTICO SPERIMENTALE DELLA LOMBARDIA E DELL'EMILIA ROMAGNA “BRUNO UBERTINI” | 98-2023 |
| | REALIZZAZIONE AMPLIAMENTO ISTITUTO ZOOPROFILATTICO | RELAZIONE DI CALCOLO |
| | | Pag. 5 di 76 |
| | | |

3 MATERIALI

I materiali impiegati sono i seguenti:

- Calcestruzzo per getti in c.a.o. di fondazioni

| | | |
|--|-----------------|--------------------------|
| Resistenza caratteristica a compressione dopo 28gg | $R_{ck} >$ | 30 N/mm ² |
| Deformazione massima per flessione allo S.L.U. | ε | 0.35% |
| Deformazione massima per compressione allo S.L.U. | ε_c | 0.2% |
| Tensione di calcolo per carichi di lunga durata | f_{cd} | 14.1 N/mm ² |
| Modulo elastico | E_{cm} | 30'000 N/mm ² |
| Classe di esposizione | | XC2 |
| Massimo rapporto acqua/cemento | | 0.60 |
| Classe di consistenza | | S4 |
| Diametro massimo dell'aggregato | d | 32 mm |

- Calcestruzzo per getti in c.a.o. di cordoli del solaio di copertura, architravi delle aperture e getti di completamento

| | | |
|--|-----------------|--------------------------|
| Resistenza caratteristica a compressione dopo 28gg | $R_{ck} >$ | 30 N/mm ² |
| Deformazione massima per flessione allo S.L.U. | ε | 0.35% |
| Deformazione massima per compressione allo S.L.U. | ε_c | 0.2% |
| Tensione di calcolo per carichi di lunga durata | f_{cd} | 14.1 N/mm ² |
| Modulo elastico | E_{cm} | 30'000 N/mm ² |
| Classe di esposizione | | XC2 |
| Massimo rapporto acqua/cemento | | 0.60 |
| Classe di consistenza | | S4 |
| Diametro massimo dell'aggregato | d | 32 mm |

- Acciaio per cemento armato

| | | |
|--|----------|-----------------------|
| Tipo | | B450C |
| Tensione caratteristica a rottura | f_{tk} | 540 N/mm ² |
| Tensione caratteristica di snervamento | f_{yk} | 450 N/mm ² |
| Deformazione massima allo S.L.U. | | 1% |
| Tensione di snervamento di calcolo | f_{yd} | 390 N/mm ² |

| | | |
|---|---|-----------------------------|
| BOSI E ASSOCIATI STUDIO DI INGEGNERIA Dott. Ing. Giovanni Bosi Dott. Ing. Donato Musci Dott. Ing. Davide Manenti Dott. Ing. Nazzareno Zingarelli | ISTITUTO ZOOPROFILATTICO SPERIMENTALE DELLA LOMBARDIA E DELL'EMILIA ROMAGNA “BRUNO UBERTINI” | 98-2023 |
| | REALIZZAZIONE AMPLIAMENTO ISTITUTO ZOOPROFILATTICO | RELAZIONE DI CALCOLO |
| | | Pag. 6 di 76 |

- Muratura in blocchi POROTON P800 per muri d'elevazione

| | | |
|--|-------------------------|------------------------|
| Percentuale di foratura | \geq | 45% |
| Resistenza caratteristica a compressione | $f_k \geq$ | 5.3 N/mm ² |
| Resistenza caratteristica a taglio | $f_{vk} \geq$ | 0.3 N/mm ² |
| Rottura blocco perpendicolare | $f_{bk,\perp} \geq$ | 1.5 N/mm ² |
| Malta a composizione prescritta M5 | $f_{mk} \geq$ | 5.0 N/mm ² |
| Coefficiente di sicurezza | $Y_M = 2.7$ | |
| Resistenza di progetto a compressione | $f_d = f_k / Y_M$ | 1.96 N/mm ² |
| Resistenza caratteristica a taglio | $f_{vd} = f_{vk} / Y_M$ | 0.11 N/mm ² |

| | | |
|---|---|-----------------------------|
| BOSI E ASSOCIATI STUDIO DI INGEGNERIA Dott. Ing. Giovanni Bosi Dott. Ing. Donato Musci Dott. Ing. Davide Manenti Dott. Ing. Nazzareno Zingarelli | ISTITUTO ZOOPROFILATTICO SPERIMENTALE DELLA LOMBARDIA E DELL'EMILIA ROMAGNA “BRUNO UBERTINI” | 98-2023 |
| | REALIZZAZIONE AMPLIAMENTO ISTITUTO ZOOPROFILATTICO | RELAZIONE DI CALCOLO |
| | | Pag. 7 di 76 |

4 ANALISI DEI CARICHI

Nel calcolo delle azioni dovute al peso proprio si assumono i seguenti pesi specifici per i materiali:

- calcestruzzo 2500 Kg/m³
- muratura 800 Kg/m³

4.1 Carico della neve

Zona I Mediterranea (Lodi, Lombardia)

$$a_s = 87m < 200m$$

$$q_{sk} = 1.5 \text{ kN/m}^2$$

$$\mu_i = 0.8$$

$$C_E = 1.0$$

$$C_t = 1.0$$

$$q_s = q_{sk} \cdot \mu_i \cdot C_E \cdot C_t = 1.2 \text{ kN/m}^2$$

4.2 Solai

4.2.1 SOLAIO COPERTURA

Solaio a lastre tralicciate, H=(5+15+5)cm

| Uso | Copertura | |
|----------------------------|-----------|-------------------|
| Peso Proprio struttura | = 3.75 | kN/m ² |
| Permanenti non strutturali | = 2.5 | kN/m ² |
| Variabili (Neve) | = 1.2 | kN/m ² |

| | | |
|---|---|-----------------------------|
| BOSI E ASSOCIATI STUDIO DI INGEGNERIA Dott. Ing. Giovanni Bosi Dott. Ing. Donato Musci Dott. Ing. Davide Manenti Dott. Ing. Nazzareno Zingarelli | ISTITUTO ZOOPROFILATTICO SPERIMENTALE DELLA LOMBARDIA E DELL'EMILIA ROMAGNA “BRUNO UBERTINI” | 98-2023 |
| | REALIZZAZIONE AMPLIAMENTO ISTITUTO ZOOPROFILATTICO | RELAZIONE DI CALCOLO |
| | | Pag. 8 di 76 |

4.3 Azioni sismiche

Le sollecitazioni sismiche di progetto sono state determinate secondo quanto previsto dal D.M. 17 gennaio 2018, considerando come vita utile dell’edificio ≥ 50 anni ed una Classe d’uso pari a II. Con tali ipotesi il periodo di ritorno rispetto al quale calcolare i parametri che definiscono l’azione orizzontale di progetto è:

$$V_N = 50 \text{ anni}$$

$$C_U = 1.0$$

$$V_R = 50 \text{ anni}$$

I valori di riferimento per i parametri sismici sono:

Lat: 45.3039 Nord

Long: 9.4802 Est

| | a_g/g | F_0 | T^* |
|-----|---------|-------|-------|
| SLV | 0.0698 | 2.59 | 0.29 |

Dalla relazione geologica redatta dal Dott. Geologo Paolo Grimaldi, si ricavano le caratteristiche del terreno dove è collocato il fabbricato:

Categoria Topografica = T1

Categoria Sottosuolo = C

| | | |
|---|---|-----------------------------|
| BOSI E ASSOCIATI STUDIO DI INGEGNERIA Dott. Ing. Giovanni Bosi Dott. Ing. Donato Musci Dott. Ing. Davide Manenti Dott. Ing. Nazzareno Zingarelli | ISTITUTO ZOOPROFILATTICO SPERIMENTALE DELLA LOMBARDIA E DELL'EMILIA ROMAGNA "BRUNO UBERTINI" | 98-2023 |
| | REALIZZAZIONE AMPLIAMENTO ISTITUTO ZOOPROFILATTICO | RELAZIONE DI CALCOLO |

Pag. 9 di 76

4.4 Combinazioni di carico

4.4.1 EDIFICI

Per la combinazione di carico allo S.L.U.

$$\gamma_{G1} \cdot G_{k1} + \gamma_{G2} \cdot G_{k2} + \gamma_{Q1} Q_{k1} + \sum \gamma_{Qi} \cdot Q_{ki}$$

Per le combinazioni di carico agli S.L.E.

Combinazione di carico rara:

$$\sum_{i=1}^2 G_{ik} + Q_{1k} + \sum_{i=2}^n (\psi_{0i} Q_{ik})$$

Combinazione frequente:

$$\sum_{i=1}^2 G_{ik} + \psi_{1,1} \cdot Q_{1,k} + \sum_{i=1}^n (\psi_{2,i} \cdot Q_{ik})$$

Combinazione quasi permanente:

$$\sum G_{ik} + \sum_{i=1}^n \psi_{2,i} \cdot Q_{ik}$$

dove:

G_1 = peso proprio di tutti gli elementi strutturali;

G_2 = pesi propri di tutti gli elementi non strutturali

$Q_{1,k}$ = valore caratteristico di una delle azioni variabili;

Q_{ik} = valore caratteristico delle altre azioni variabili;

ψ_0, ψ_1, ψ_2 come da prospetto seguente

| AZIONE | Ψ_0 | Ψ_1 | Ψ_2 |
|-------------|----------|----------|----------|
| Categoria C | 0.7 | 0.7 | 0.6 |
| Vento | 0.6 | 0.2 | 0.0 |
| Neve | 0.5 | 0.2 | 0.0 |

I coefficienti parziali per la combinazione delle azioni nelle verifiche allo S.L.U.

Carichi permanenti = $\gamma_{G1} = 1.3$

Carichi permanenti non strutturali = $\gamma_{G2} = 1.3$

Carichi variabili = $\gamma_{Q1} = 1.5$

| | | |
|---|--|--|
| BOSI E ASSOCIATI STUDIO DI INGEGNERIA Dott. Ing. Giovanni Bosi Dott. Ing. Donato Musci Dott. Ing. Davide Manenti Dott. Ing. Nazzareno Zingarelli | ISTITUTO ZOOPOFILATTICO SPERIMENTALE DELLA LOMBARDIA E DELL'EMILIA ROMAGNA “BRUNO UBERTINI” REALIZZAZIONE AMPLIAMENTO ISTITUTO ZOOPOFILATTICO | 98-2023 RELAZIONE DI CALCOLO Pag. 10 di 76 |
|---|--|--|

5 VERIFICHE STRUTTURALI ELEVAZIONE

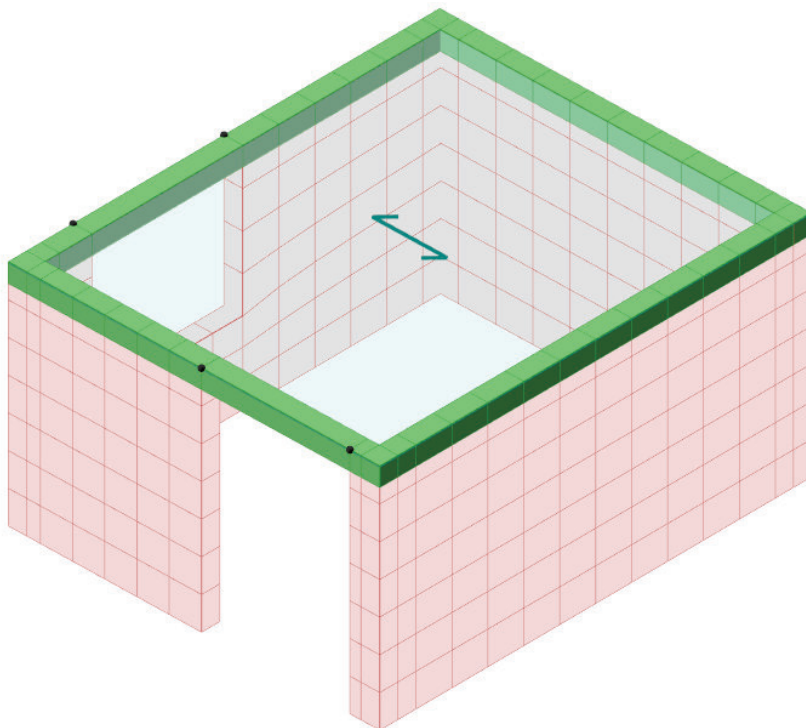
5.1 Modellazione della struttura

È stato realizzato un modello ad elementi finiti della struttura mediante il software di calcolo “MODEST” di Harpaceas. Le pareti in muratura ordinaria, di spessore 25cm, sono state modellate con elementi bidimensionali. Il software, per edifici in muratura, permette di suddividere le pareti in maschi e fasce murarie, in modo tale da permettere l’analisi statica e sismica degli elementi in laterizio.

Gli architravi in c.a. delle aperture sono stati modellati con aste monodimensionali incastrate agli estremi.

Il fabbricato è vincolato al terreno mediante vincoli di incastro. Il solaio di calpestio del soppalco è considerato come impalcato rigido ai fini dell’analisi strutturale.

La struttura è calcolata tramite analisi dinamica con spettro di risposta, utilizzando il metodo Semiprobabilistico degli Stati Limite.



| |
|----------------------------------|
| Aste |
| Membratura |
| Trave |
| Sez. fittizia 0 |
| Muri/Bidimensionali |
| Tipi |
| 1 Parete in blocchi poroton P800 |

| | | |
|---|--|--|
| BOSI E ASSOCIATI STUDIO DI INGEGNERIA Dott. Ing. Giovanni Bosi Dott. Ing. Donato Musci Dott. Ing. Davide Manenti Dott. Ing. Nazzareno Zingarelli | ISTITUTO ZOOPOFILATTICO SPERIMENTALE DELLA LOMBARDIA E DELL'EMILIA ROMAGNA “BRUNO UBERTINI” REALIZZAZIONE AMPLIAMENTO ISTITUTO ZOOPOFILATTICO | 98-2023 RELAZIONE DI CALCOLO Pag. 11 di 76 |
|---|--|--|

Parametri di calcolo

La modellazione della struttura e la rielaborazione dei risultati del calcolo sono stati effettuati con:

ModeSt ver. 8.30, licenza n. 6234, prodotto da Tecnisoft s.a.s. - Prato

La struttura è stata calcolata utilizzando come solutore agli elementi finiti:

Xfinest ver. 9.5.11, licenza n. -1535587737, prodotto da Ce.A.S. S.r.l. - Milano

Tipo di normativa: stati limite D.M. 18

Tipo di calcolo: sismica dinamica

Vincoli esterni: Considera sempre vincoli assegnati in modellazione

Schematizzazione piani rigidi: metodo Master-Slave

Modalità di recupero masse secondarie: trasferire le masse

- All'impalcato più vicino in assoluto: No

- Anche sui nodi degli impalcati non rigidi: No

- Modificare coordinate baricentro impalcati rigidi: XY

Generazione combinazioni

- Tipo di analisi: Lineare

- Valuta spostamenti e non sollecitazioni: No

- Buckling: No

Opzioni di calcolo

- Sono state considerate infinitamente rigide le zone di connessione fra travi, pilastri ed elementi bidimensionali con una riduzione del 20%

- Calcolo con offset rigidi dai nodi: No

- Uniformare i carichi variabili: No

- Massimizzare i carichi variabili: No

- Recupero carichi zone rigide: taglio e momento flettente

- Modalità di combinazione momento torcente: disaccoppiare le azioni

Opzioni del solutore

Opzioni generali:

- Trascura deformabilità a taglio delle aste: No

- Analisi dinamica con metodo di Lanczos: Si

- Check sequenza di Sturm: Si

- Usa formulazione secante per buckling: No

- Trascura buckling torsionale: No

- Tipo di elemento bidimensionale: QF46

- Calcolo sforzo nei nodi: No

Opzioni per analisi P-Delta:

- Numero massimo di iterazioni: 15

- Valore della norma euclidea degli spostamenti: 0.0001

Opzioni per analisi pushover:

- Esegui analisi in regime di piccoli spostamenti: Si

Opzioni per analisi pushover murature:

- Interrompi analisi nel caso di plasticizzazione per carichi statici: Si

- Utilizza sforzo normale medio: Si

Metodo di convergenza:

- Forze e momenti residui (F)

- Valore della norma euclidea delle forze: 0.001

- Valore della norma euclidea dei momenti: 0.01

- Opzioni aggiuntive per analisi non lineari in presenza di elementi bidimensionali con comportamento Drucker-Prager:

- OPTION PARAM AUTO_INCREMENT=YES

- OPTION PARAM LINE_SEARCHES=YES

- OPTION PARAM BGINCRS=1.0

- OPTION PARAM AVINCRS=1.0

Dati struttura

- Sito di costruzione: Istituto Zooprofilattico Lodi LON. 9.48020 LAT. 45.30390
Contenuto tra ID reticolato: 12931 12930 13153 13152

| | | |
|---|---|-----------------------------|
| BOSI E ASSOCIATI STUDIO DI INGEGNERIA Dott. Ing. Giovanni Bosi Dott. Ing. Donato Musci Dott. Ing. Davide Manenti Dott. Ing. Nazzareno Zingarelli | ISTITUTO ZOOPROFILATTICO SPERIMENTALE DELLA LOMBARDIA E DELL'EMILIA ROMAGNA "BRUNO UBERTINI" | 98-2023 |
| | REALIZZAZIONE AMPLIAMENTO ISTITUTO ZOOPROFILATTICO | RELAZIONE DI CALCOLO |
| | | Pag. 12 di 76 |
| | | |

Simbologia

Ag = Accelerazione orizzontale massima al sito
 Cc = Coefficiente funzione della categoria del suolo
 Fo = Valore massimo del fattore di amplificazione dello spettro in accelerazione orizzontale
 Ss = Coefficiente di amplificazione stratigrafica
 Tr = Periodo di ritorno <anni>
 TCC = Tipo di combinazione di carico
 SLU = Stato limite ultimo
 SLE R = Stato limite d'esercizio, combinazione rara
 SLE F = Stato limite d'esercizio, combinazione frequente
 SLE Q = Stato limite d'esercizio, combinazione quasi permanente
 SLD = Stato limite di danno
 SLV = Stato limite di salvaguardia della vita
 SND = Stato limite di salvaguardia della vita (non dissipativo)
 Tc* = Periodo di inizio del tratto a velocità costante dello spettro in accelerazione orizzontale <sec>

| TCC | Tr | Ag <g> | Fo | Tc* | Ss | Cc |
|-----|-----|-----------|------|------|------|------|
| SLD | 50 | 0.0319 | 2.55 | 0.21 | 1.50 | 1.76 |
| SLV | 475 | 0.0698 | 2.59 | 0.29 | 1.50 | 1.58 |

- Spettri: Automatici da normativa
- Tipo di opera: Opera ordinaria
- Vita nominale Vn: 50.00
- Classe d'uso: Classe II
- SL Esercizio: SLOPvr No, SLDPvr 63.00
- SL Ultimi: SLVPvr 10.00, SLCPvr No
- Struttura dissipativa: Si
- Classe di duttilità: Classe B
- Quota di riferimento: 0.00 <m>
- Quota max della struttura: 3.10 <m>
- Altezza della struttura: 3.10 <m>
- Numero piani edificio: 1
- Coefficiente θ: 0.00
- Edificio regolare in altezza: Si
- Edificio regolare in pianta: Si
- Forze orizzontali convenzionali per stati limite non sismici: No
- Genera stati limite per verifiche di resistenza al fuoco: No

Dati di calcolo

- Categoria del suolo di fondazione: C
- Tipologia strutturale: muratura ordinaria

| | |
|--|---------|
| Periodo T ₁ | 0.03451 |
| Coeff. λ SLD | 1.00 |
| Coeff. λ SLV | 1.00 |
| Rapporto di sovraresistenza (α_u/α_1) | 1.70 |
| Valore di riferimento del fattore di comportamento (q_0) | 2.98 |
| Fattore di comportamento dissipativo (q) | 2.98 |
| Fattore di comportamento non dissipativo (q _{ND}) | 1.50 |
| Fattore di comportamento per SLD (q _D) | 1.50 |

- Categoria topografica: T1 - Superficie pianeggiante, pendii e rilievi isolati con inclinazione media i<=15°
- Coeff. amplificazione topografica Sr: 1.00
- Fattore di comportamento per sisma verticale (qv): 1.50
- Modalità di calcolo modi di vibrare: Autovalori
- Numero modi: 3
- Modi da considerare: Tali da movimentare una percentuale di massa pari a 85.00%
- Trascura modi con massa movimentata minore di: 5.00%
- Smorzamento spettro: 5.00%

BOSI E ASSOCIATI
STUDIO DI INGEGNERIA
Dott. Ing. Giovanni Bosi
Dott. Ing. Donato Musci
Dott. Ing. Davide Manenti
Dott. Ing. Nazzareno Zingarelli

**ISTITUTO ZOOPOFILATTICO SPERIMENTALE
DELLA LOMBARDIA E DELL'EMILIA ROMAGNA
“BRUNO UBERTINI”**

98-2023

**REALIZZAZIONE AMPLIAMENTO ISTITUTO
ZOOPOFILATTICO**

RELAZIONE DI CALCOLO

Pag. 13 di 76

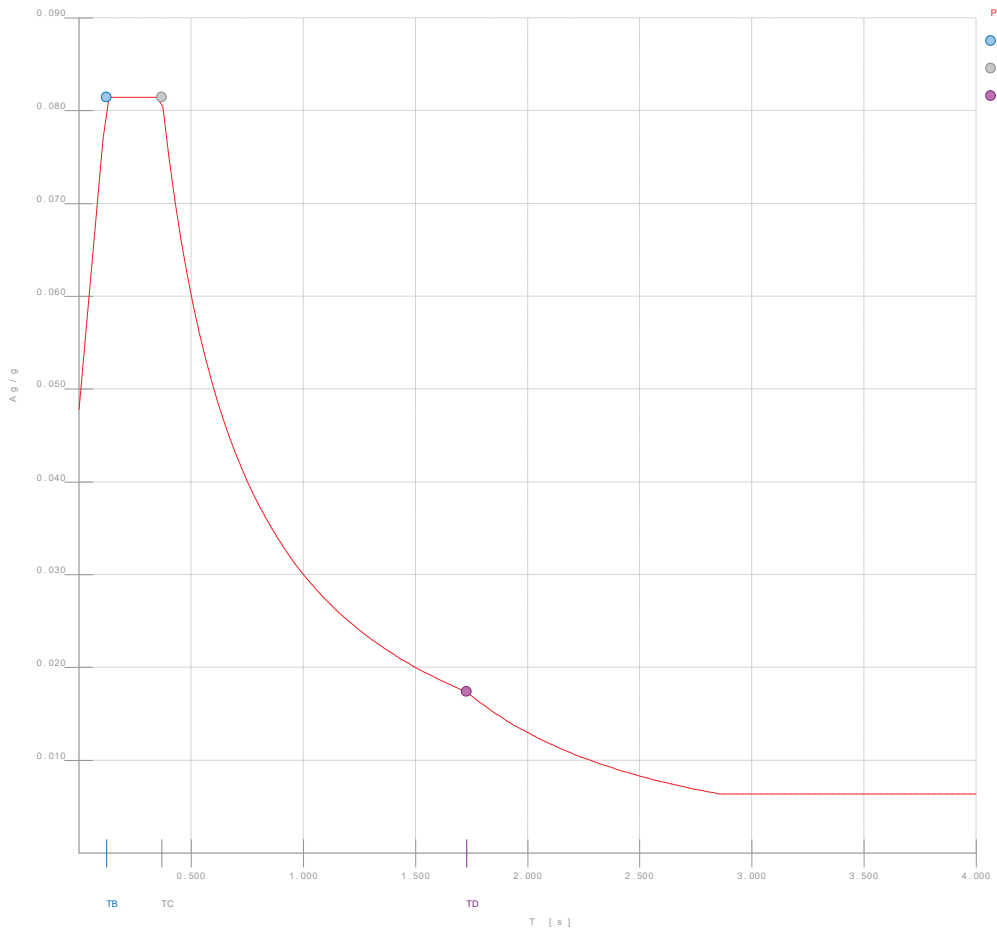


Figura numero 1: Spettro SLD

**REALIZZAZIONE AMPLIAMENTO ISTITUTO
ZOOPROFILATTICO**

RELAZIONE DI CALCOLO

Pag. 14 di 76

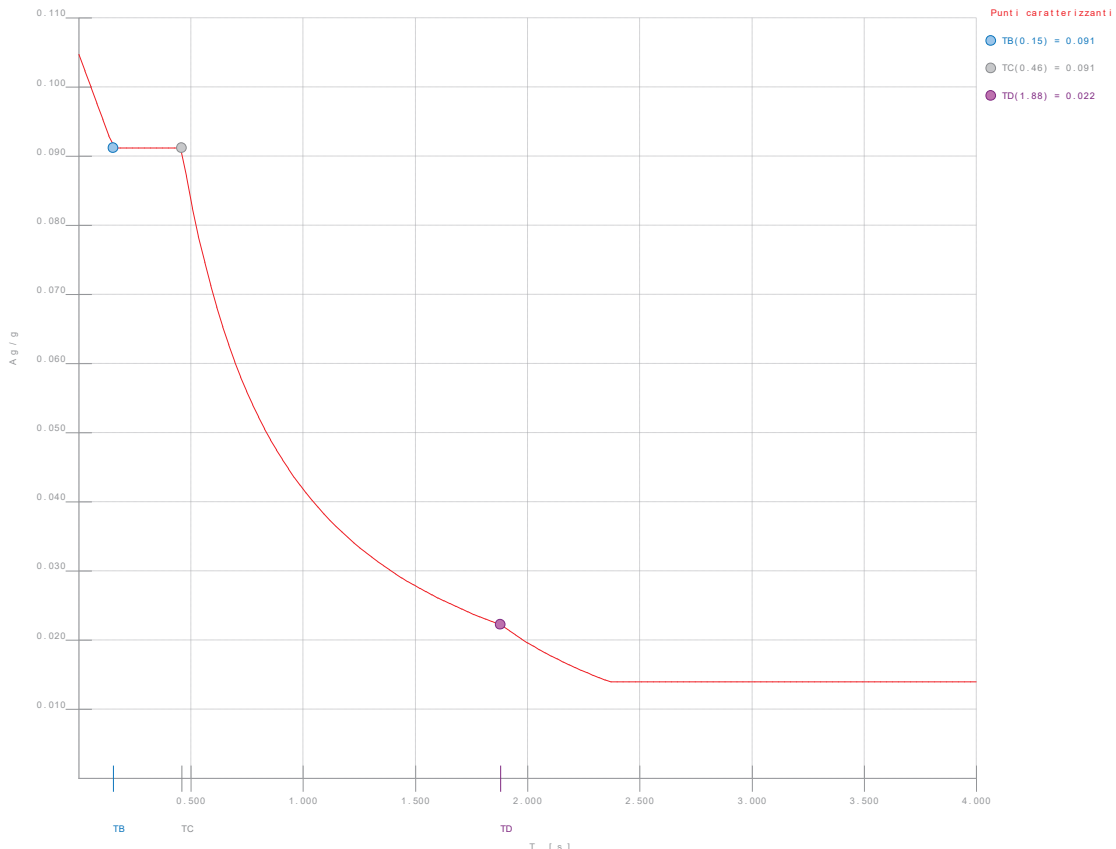


Figura numero 2: Spettro SLV

**REALIZZAZIONE AMPLIAMENTO ISTITUTO
 ZOOPROFILATTICO**

RELAZIONE DI CALCOLO

Pag. 15 di 76

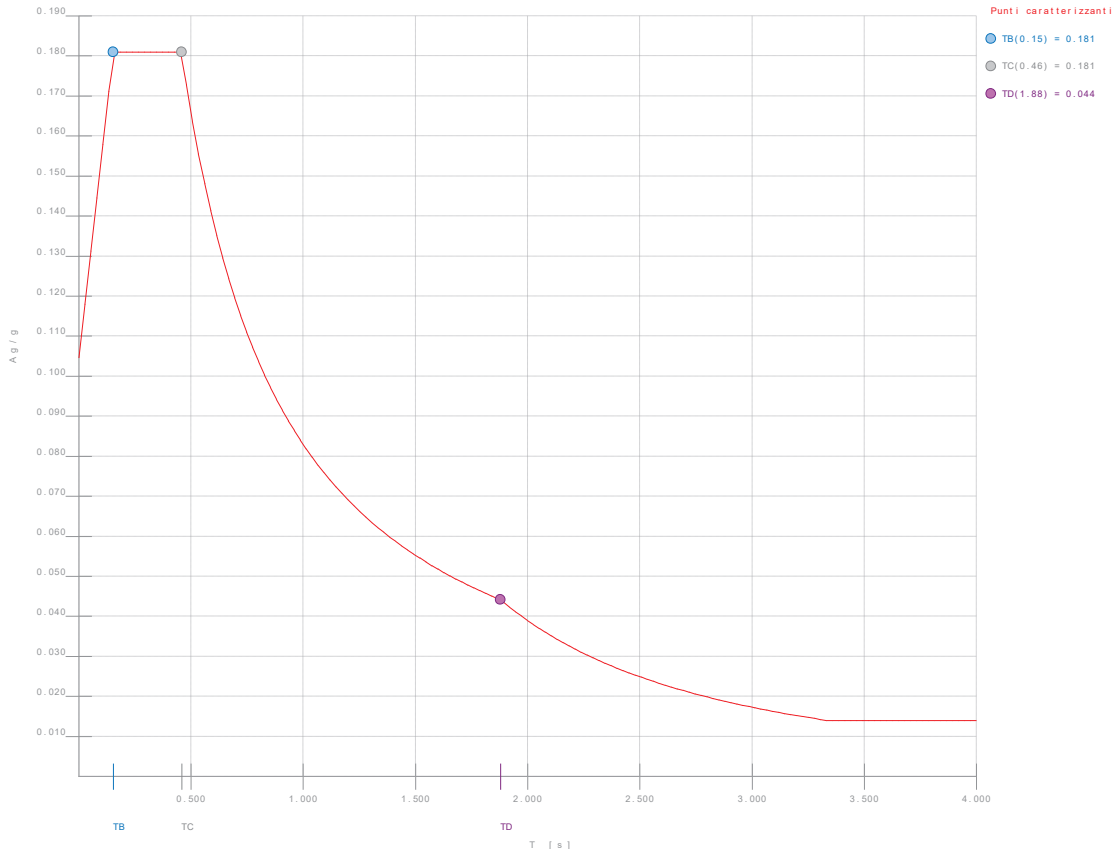


Figura numero 3: Spettro SND

- Angolo di ingresso del sisma: 0.00 <grad>

Ambienti di carico

Simbologia

N = Numero

Comm. = Commento

1 = Permanente strutturale

2 = Permanente non strutturale

3 = Neve

F = azioni orizzontali convenzionali

SLU = Stato limite ultimo

SLR = Stato limite per combinazioni rare

SLF = Stato limite per combinazioni frequenti

SLQ/D = Stato limite per combinazioni quasi permanenti o di danno

S = Sì

N = No

| N | Comm. | 1 | 2 | 3 | S | SLU | SLR | SLF | SLQ |
|---|-----------------|---|---|---|---|-----|-----|-----|-----|
| 1 | Calcolo sismico | S | S | S | S | N | N | N | N |
| 2 | Calcolo statico | S | S | S | N | S | S | S | S |

Elenco combinazioni di carico simboliche

Simbologia

CC = Numero della combinazione delle condizioni di carico elementari

Comm. = Commento

TCC = Tipo di combinazione di carico

SLU = Stato limite ultimo

SLE R = Stato limite d'esercizio, combinazione rara

SLE F = Stato limite d'esercizio, combinazione frequente

SLE Q = Stato limite d'esercizio, combinazione quasi permanente

SLD = Stato limite di danno

SLV = Stato limite di salvaguardia della vita

SND = Stato limite di salvaguardia della vita (non dissipativo)

| | | |
|---|---|-----------------------------|
| BOSI E ASSOCIATI STUDIO DI INGEGNERIA Dott. Ing. Giovanni Bosi Dott. Ing. Donato Musci Dott. Ing. Davide Manenti Dott. Ing. Nazzareno Zingarelli | ISTITUTO ZOOPROFILATTICO SPERIMENTALE DELLA LOMBARDIA E DELL'EMILIA ROMAGNA "BRUNO UBERTINI" | 98-2023 |
| | REALIZZAZIONE AMPLIAMENTO ISTITUTO ZOOPROFILATTICO | RELAZIONE DI CALCOLO |
| | | Pag. 16 di 76 |
| | | |

| CC | Comm. | TCC | 1 | 2 | 3 | S |
|----|----------------|-------|-----------------|-----------------|-----------------|-------|
| 1 | Amb. 1 (Sisma) | SLU S | 1 | 1 | ψ_2 | 1 |
| 2 | Amb. 2 (SLU) | SLU | γ_{\max} | γ_{\max} | γ_{\max} | ----- |
| 3 | Amb. 2 (SLE R) | SLE R | 1 | 1 | 1 | ----- |
| 4 | Amb. 2 (SLE F) | SLE F | 1 | 1 | ψ_1 | ----- |
| 5 | Amb. 2 (SLE Q) | SLE Q | 1 | 1 | ψ_2 | ----- |

Genera le combinazioni con un solo carico di tipo variabile come di base: No

Considera sollecitazioni dinamiche con segno dei modi principali: No

Combinazioni delle CCE

Simbologia

An. = Tipo di analisi

L = Lineare

NL = Non lineare

PD = P-Delta

Bk = Buckling

S = Si

N = No

CC = Numero della combinazione delle condizioni di carico elementari

Comm. = Commento

TCC = Tipo di combinazione di carico

SLU = Stato limite ultimo

SLE R = Stato limite d'esercizio, combinazione rara

SLE F = Stato limite d'esercizio, combinazione frequente

SLE Q = Stato limite d'esercizio, combinazione quasi permanente

SLD = Stato limite di danno

SLV = Stato limite di salvaguardia della vita

SND = Stato limite di salvaguardia della vita (non dissipativo)

| CC | Comm. | TCC | An. | Bk | 1 | 2 | 3 | Mt | $\pm s_x$ | $\pm s_y$ |
|----|-----------------------------|---------|-----|----|------|------|------|-------|-----------|-----------|
| 1 | Amb. 1 (SLU S) S Mt+X+0.3Y | SLV+SND | L | N | 1.00 | 1.00 | 0.00 | 1.00 | 1.00 | 0.30 |
| 2 | Amb. 1 (SLE) S Mt+X+0.3Y | SLD | L | N | 1.00 | 1.00 | 0.00 | 1.00 | 1.00 | 0.30 |
| 3 | Amb. 1 (SLU S) S Mt+X-0.3Y | SLV+SND | L | N | 1.00 | 1.00 | 0.00 | 1.00 | 1.00 | -0.30 |
| 4 | Amb. 1 (SLE) S Mt+X-0.3Y | SLD | L | N | 1.00 | 1.00 | 0.00 | 1.00 | 1.00 | -0.30 |
| 5 | Amb. 1 (SLU S) S Mt+0.3X+Y | SLV+SND | L | N | 1.00 | 1.00 | 0.00 | 1.00 | 0.30 | 1.00 |
| 6 | Amb. 1 (SLE) S Mt+0.3X+Y | SLD | L | N | 1.00 | 1.00 | 0.00 | 1.00 | 0.30 | 1.00 |
| 7 | Amb. 1 (SLU S) S Mt-0.3X+Y | SLV+SND | L | N | 1.00 | 1.00 | 0.00 | 1.00 | -0.30 | 1.00 |
| 8 | Amb. 1 (SLE) S Mt-0.3X+Y | SLD | L | N | 1.00 | 1.00 | 0.00 | 1.00 | -0.30 | 1.00 |
| 9 | Amb. 1 (SLU S) S -Mt+X+0.3Y | SLV+SND | L | N | 1.00 | 1.00 | 0.00 | -1.00 | 1.00 | 0.30 |
| 10 | Amb. 1 (SLE) S -Mt+X+0.3Y | SLD | L | N | 1.00 | 1.00 | 0.00 | -1.00 | 1.00 | 0.30 |
| 11 | Amb. 1 (SLU S) S -Mt+X-0.3Y | SLV+SND | L | N | 1.00 | 1.00 | 0.00 | -1.00 | 1.00 | -0.30 |
| 12 | Amb. 1 (SLE) S -Mt+X-0.3Y | SLD | L | N | 1.00 | 1.00 | 0.00 | -1.00 | 1.00 | -0.30 |
| 13 | Amb. 1 (SLU S) S -Mt+0.3X+Y | SLV+SND | L | N | 1.00 | 1.00 | 0.00 | -1.00 | 0.30 | 1.00 |
| 14 | Amb. 1 (SLE) S -Mt+0.3X+Y | SLD | L | N | 1.00 | 1.00 | 0.00 | -1.00 | 0.30 | 1.00 |
| 15 | Amb. 1 (SLU S) S -Mt-0.3X+Y | SLV+SND | L | N | 1.00 | 1.00 | 0.00 | -1.00 | -0.30 | 1.00 |
| 16 | Amb. 1 (SLE) S -Mt-0.3X+Y | SLD | L | N | 1.00 | 1.00 | 0.00 | -1.00 | -0.30 | 1.00 |
| 17 | Amb. 2 (SLU) | SLU | L | N | 1.30 | 1.30 | 1.50 | 0.00 | 0.00 | 0.00 |
| 18 | Amb. 2 (SLE R) | SLE R | L | N | 1.00 | 1.00 | 1.00 | 0.00 | 0.00 | 0.00 |
| 19 | Amb. 2 (SLE F) | SLE F | L | N | 1.00 | 1.00 | 0.20 | 0.00 | 0.00 | 0.00 |
| 20 | Amb. 2 (SLE Q) | SLE Q | L | N | 1.00 | 1.00 | 0.00 | 0.00 | 0.00 | 0.00 |

Elenco baricentri e masse impalcati

Simbologia

Imp. = Numero dell'impalcato

Jpz = Massa rotazionale intorno all'asse Z

Mo = Massa orizzontale

X = Coordinata X

Y = Coordinata Y

Z = Coordinata Z

| Imp. | X <m> | Y <m> | Z <m> | Mo <kg> | Jpz <kg*mq> |
|------|----------|----------|----------|------------|----------------|
| 1 | 3.13 | 2.48 | 3.10 | 33527.70 | 243764.00 |

**BOSI E ASSOCIATI
STUDIO DI INGEGNERIA**
 Dott. Ing. Giovanni Bosi
 Dott. Ing. Donato Musci
 Dott. Ing. Davide Manenti
 Dott. Ing. Nazzareno Zingarelli

**ISTITUTO ZOOPROFILATTICO SPERIMENTALE
DELLA LOMBARDIA E DELL'EMILIA ROMAGNA
“BRUNO UBERTINI”**

98-2023

**REALIZZAZIONE AMPLIAMENTO ISTITUTO
ZOOPROFILATTICO**

RELAZIONE DI CALCOLO

Pag. 17 di 76

Totali masse impalcati

| Mo | Jpz |
|----------|-----------|
| <kg> | <kg*mq> |
| 33527.70 | 243764.00 |

Elenco forze sismiche di impalcato allo SLD

Simbologia

Imp. = Numero dell'impalcato
 Mz = Momento intorno all'asse Z
 cx = Coeff. c in dir. X
 cy = Coeff. c in dir. Y

| Imp. | cx | cy | Mz |
|------|--------|------|--------|
| | <daNm> | | |
| 1 | 1.00 | 1.00 | 772.62 |

Totali forze sismiche

| Mz |
|--------|
| <daNm> |
| 772.62 |

Elenco forze sismiche di impalcato allo SLV

| Imp. | cx | cy | Mz |
|------|--------|------|---------|
| | <daNm> | | |
| 1 | 1.00 | 1.00 | 1305.54 |

Totali forze sismiche

| Mz |
|---------|
| <daNm> |
| 1305.54 |

Elenco forze sismiche di impalcato allo SND

| Imp. | cx | cy | Mz |
|------|--------|------|---------|
| | <daNm> | | |
| 1 | 1.00 | 1.00 | 1633.24 |

Totali forze sismiche

| Mz |
|---------|
| <daNm> |
| 1633.24 |

Elenco modi di vibrare, masse partecipanti e coefficienti di partecipazione

Simbologia

Φ_x = Coefficiente di partecipazione in dir. X
 Φ_y = Coefficiente di partecipazione in dir. Y
 Φ_z = Coefficiente di partecipazione in dir. Z
%Jpz = Percentuale momento d'inerzia polare partecipante intorno all'asse Z
%Mx = Percentuale massa partecipante in dir. X
%My = Percentuale massa partecipante in dir. Y
%Mz = Percentuale massa partecipante in dir. Z
C = * indica che il modo è stato considerato
Diff. = Minima differenza percentuale dagli altri periodi
Modo = Numero del modo di vibrare
T = Periodo

| Modo | C | T | Diff. | Φ_x | Φ_y | Φ_z | %Mx | %My | %Mz | %Jpz |
|-----------|------|-------|--------|----------|----------|----------|--------|--------|------|--------|
| 1* | 0.05 | 30.45 | 30.45 | -12.28 | -52.77 | 0.00 | 4.50 | 83.07 | 0.00 | 12.43 |
| 2* | 0.03 | 30.45 | 59.83 | 55.12 | -15.88 | 0.00 | 90.62 | 7.52 | 0.00 | 1.86 |
| 3* | 0.02 | 59.83 | -12.79 | -12.79 | -17.76 | 0.00 | 4.88 | 9.41 | 0.00 | 85.71 |
| Tot.cons. | | | | | | | 100.00 | 100.00 | 0.00 | 100.00 |

| | | |
|---|---|-----------------------------|
| BOSI E ASSOCIATI STUDIO DI INGEGNERIA Dott. Ing. Giovanni Bosi Dott. Ing. Donato Musci Dott. Ing. Davide Manenti Dott. Ing. Nazzareno Zingarelli | ISTITUTO ZOOPROFILATTICO SPERIMENTALE DELLA LOMBARDIA E DELL'EMILIA ROMAGNA “BRUNO UBERTINI” | 98-2023 |
| | REALIZZAZIONE AMPLIAMENTO ISTITUTO ZOOPROFILATTICO | RELAZIONE DI CALCOLO |
| | | Pag. 18 di 76 |

Elenco coefficienti di risposta

Simbologia

Modo = Numero del modo di vibrare

Sx = Coefficiente di risposta (moltiplicato per 100) in dir. X

Sy = Coefficiente di risposta (moltiplicato per 100) in dir. Y

Stato limite di danno

| Modo | Sx | Sy |
|-------------|-----------|-----------|
| 1 | 6.02 | 6.02 |
| 2 | 5.73 | 5.73 |
| 3 | 5.38 | 5.38 |

Stato limite di salvaguardia della vita

| Modo | Sx | Sy |
|-------------|-----------|-----------|
| 1 | 10.07 | 10.07 |
| 2 | 10.16 | 10.16 |
| 3 | 10.28 | 10.28 |

Domanda in duttilità di curvatura

Direzione X $\mu_{edx}=65.58$

Direzione Y $\mu_{edy}=50.55$

| | | |
|---|--|--|
| BOSI E ASSOCIATI STUDIO DI INGEGNERIA Dott. Ing. Giovanni Bosi Dott. Ing. Donato Musci Dott. Ing. Davide Manenti Dott. Ing. Nazzareno Zingarelli | ISTITUTO ZOOPROFILATTICO SPERIMENTALE DELLA LOMBARDIA E DELL'EMILIA ROMAGNA “BRUNO UBERTINI” REALIZZAZIONE AMPLIAMENTO ISTITUTO ZOOPROFILATTICO | 98-2023 RELAZIONE DI CALCOLO Pag. 19 di 76 |
|---|--|--|

5.2 Copertura piano

5.2.1 SOLAIO DI COPERTURA

Il solaio di copertura del fabbricato è realizzato in lastre a travetti tralicciati di lunghezza 120cm e ha un'altezza pari a 25cm.

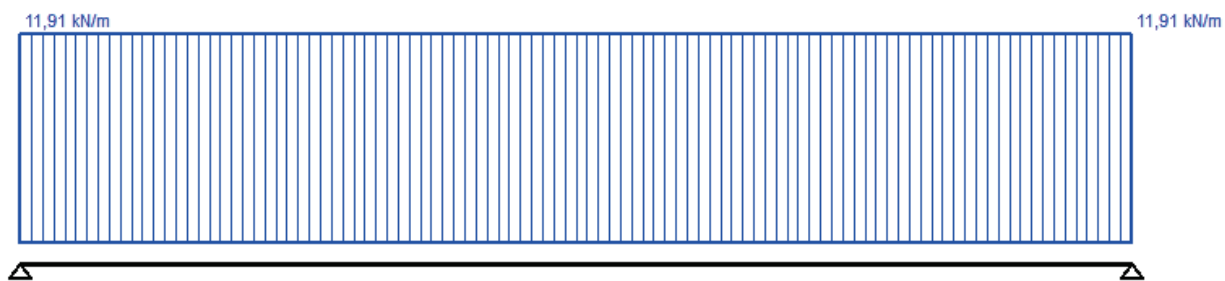
- $G_1 = 3.75 \text{ kN/m}^2 \times 1.2\text{m} = 4.5 \text{ kN/m};$
- $G_2 = 2.5 \text{ kN/m}^2 \times 1.2\text{m} = 3 \text{ kN/m};$
- $Q = 1.2 \text{ kN/m}^2 \times 1.2\text{m} = 1.44 \text{ kN/m}.$

Luce di calcolo trave: $L=4.75\text{m}$.

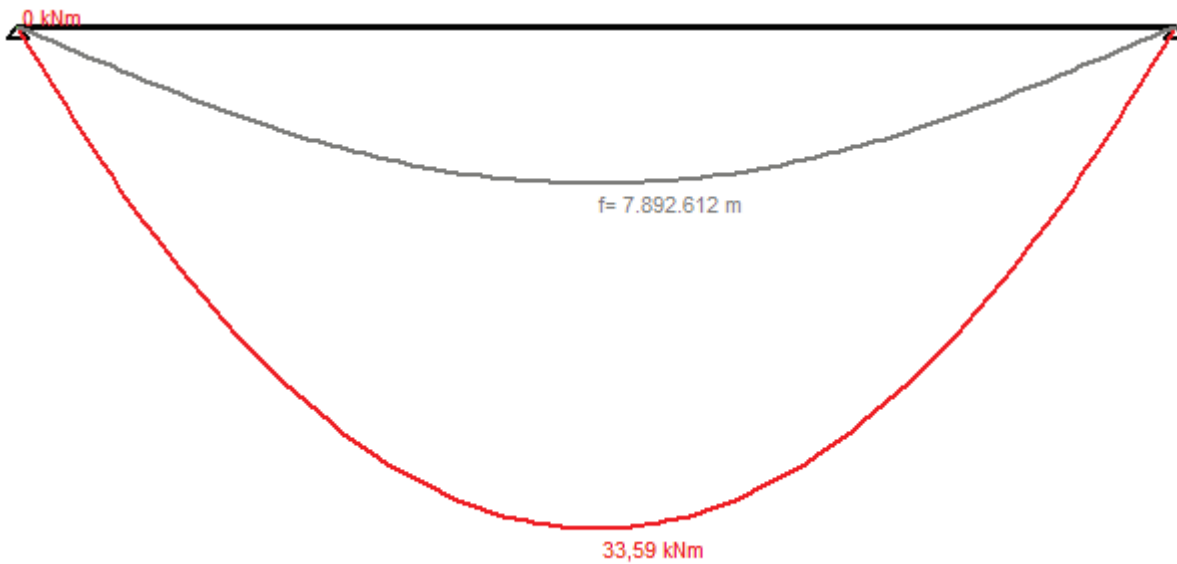
Sollecitazioni solaio (SLU)

Schema statico di trave in semplice appoggio con carico distribuito:

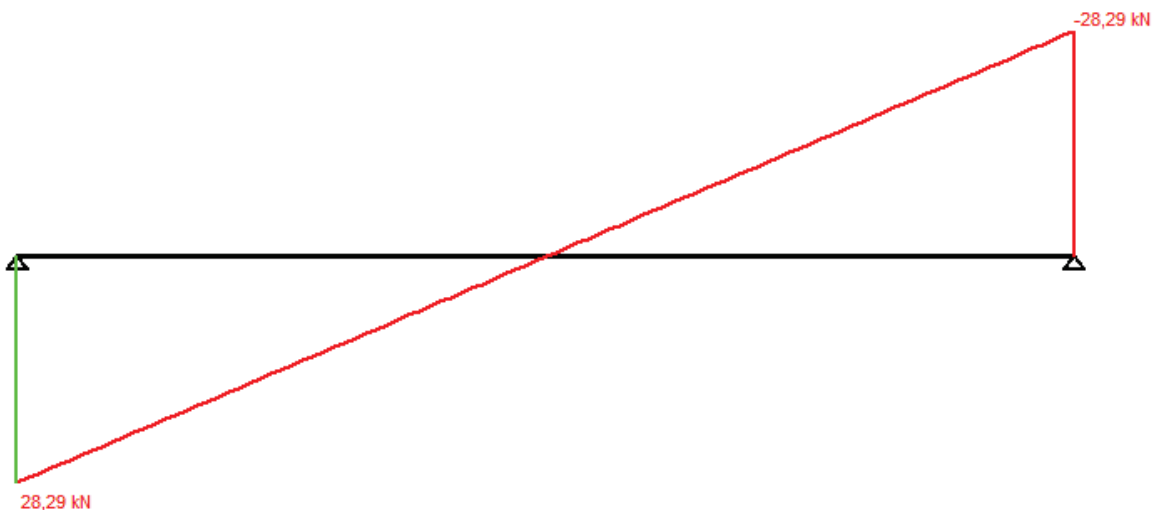
$$p = 1.3 \times G_1 + 1.3 \times G_2 + 1.5 \times Q = 1.3 \times 4.5 + 1.3 \times 3 + 1.5 \times 1.44 = 11.91 \text{ kN/m}$$



- Momento flettente (SLU):



- Taglio (SLU):



REALIZZAZIONE AMPLIAMENTO ISTITUTO
ZOOPROFILATTICO

RELAZIONE DI CALCOLO

Pag. 21 di 76

Verifica di resistenza a flessione (SLU)

Momento massimo sollecitante: $M_{Ed} = 33.59 \text{ kNm}$

Armatura minima solaio:

$$A_s = \frac{M_{Ed}}{0.9 \cdot d \cdot f_{yd}} = \frac{33.59 \cdot 10^6}{0.9 \cdot 220 \cdot 391.3} = 4.34 \text{ cm}^2/\text{lastra}$$

Utilizzando un'armatura pari a $5\text{cm}^2/\text{lastra}$:

Verifica C.A. S.L.U. - File: verifica flessione solaio

File Materiali Opzioni Visualizza Progetto Sez. Rett. Sismica Normativa: NTC 2018 ?

Titolo : Solaio a lastre tralicciate

N° figure elementari 2 **N° strati barre** 1

| N° | b [cm] | h [cm] |
|----|--------|--------|
| 1 | 120 | 5 |
| 2 | 16 | 20 |

| N° | As [cm ²] | d [cm] |
|----|-----------------------|--------|
| 1 | 5 | 22 |

Tipo Sezione

- Rettan.re
- Trapezi
- a T
- Circolare
- Rettangoli
- Coord.
- DXF

Sollecitazioni

S.L.U. Metodo n

| | |
|--------------------|-------|
| N _{Ed} 0 | 0 kN |
| M _{xEd} 0 | 0 kNm |
| M _{yEd} 0 | 0 |

P.tto applicazione N

- Centro
- Baricentro cls
- Coord.[cm] xN 0 yN 0

Tipo rottura

Lato calcestruzzo - Acciaio snervato

Materiali

| | |
|--|------------------------|
| B450C | C25/30 |
| ε_{su} 67.5 % | ε_{c2} 2 % |
| f_{yd} 391.3 N/mm ² | ε_{cu} 3.5 |
| E_s 200.000 N/mm ² | f_{cd} 14.17 |
| E_s/E_c 15 | f_{cc}/f_{cd} 0.8 |
| ε_{syd} 1.957 % | $\sigma_{c,adm}$ 9.75 |
| $\sigma_{s,adm}$ 255 N/mm ² | τ_{co} 0.6 |
| | τ_{c1} 1.829 |

Metodo di calcolo

- S.L.U.+
- S.L.U.-
- Metodo n

Tipo flessione

- Retta
- Deviata

Calcoli

M_{xRd} 41.88 kNm σ_c -14.17 N/mm² σ_s 391.3 N/mm² ε_c 3.5 % ε_s 50.96 % N rett. 100 L_o 0 cm Δ 0.7 τ_{co} 0.6 τ_{c1} 1.829 Δ Precompresso

Calcolo M-N

M-curvatura

$M_{Rd} = 41.88 \text{ kNm} > M_{Ed} \rightarrow \text{VERIFICA SODDISFATTA}$

| | | |
|---|---|-----------------------------|
| BOSI E ASSOCIATI STUDIO DI INGEGNERIA Dott. Ing. Giovanni Bosi Dott. Ing. Donato Musci Dott. Ing. Davide Manenti Dott. Ing. Nazzareno Zingarelli | ISTITUTO ZOOPROFILATTICO SPERIMENTALE DELLA LOMBARDIA E DELL'EMILIA ROMAGNA “BRUNO UBERTINI” | 98-2023 |
| | REALIZZAZIONE AMPLIAMENTO ISTITUTO ZOOPROFILATTICO | RELAZIONE DI CALCOLO |
| | | Pag. 22 di 76 |

Verifica di resistenza a taglio (SLU)

Si effettua il calcolo considerando la larghezza di una lastra pari a 120cm.

Taglio massimo sollecitante: $V_{Ed} = 28.29 \text{ kN}$

Armatura inferiore: 3Φ10/lastra → $A_s = 3 \times 0.79 = 2.37 \text{ cm}^2$

VERIFICA A TAGLIO SEZIONE IN C.A.O. PRIVA DI ARMATURA TRASVERSALE

| | | | |
|---|----------|-------|--|
| fck | 25 | N/mmq | resistenza cilindrica calcestruzzo |
| d | 220 | mm | altezza utile |
| As | 2,37 | cmq | area armatura inferiore |
| bw | 400 | mm | larghezza sezione |
| γ | 1,5 | | coefficiente di sicurezza calcestruzzo |
| k | 1,9535 | | |
| p1 | 0,002693 | | |
| v min | 0,4778 | N/mmq | |
| $V_{Rd} = \{0.18 \cdot k \cdot (100 \cdot p_1 \cdot f_{ck})^{1/3} / \gamma_c\} \cdot b_w \cdot d$ | | | |
| Vrd | 42,05 | kN | |

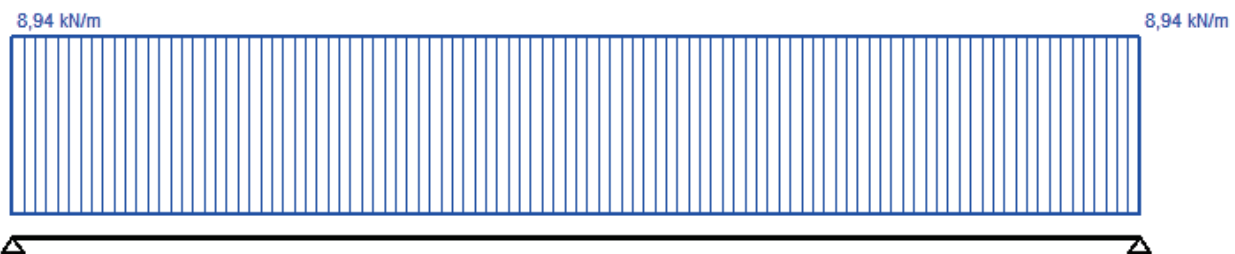
$V_{Rd} = 42.05 \text{ kN} > V_{Ed} \rightarrow \text{VERIFICA SODDISFATTA}$

| | | |
|---|--|--|
| BOSI E ASSOCIATI STUDIO DI INGEGNERIA Dott. Ing. Giovanni Bosi Dott. Ing. Donato Musci Dott. Ing. Davide Manenti Dott. Ing. Nazzareno Zingarelli | ISTITUTO ZOOPROFILATTICO SPERIMENTALE DELLA LOMBARDIA E DELL'EMILIA ROMAGNA “BRUNO UBERTINI” REALIZZAZIONE AMPLIAMENTO ISTITUTO ZOOPROFILATTICO | 98-2023 RELAZIONE DI CALCOLO Pag. 23 di 76 |
|---|--|--|

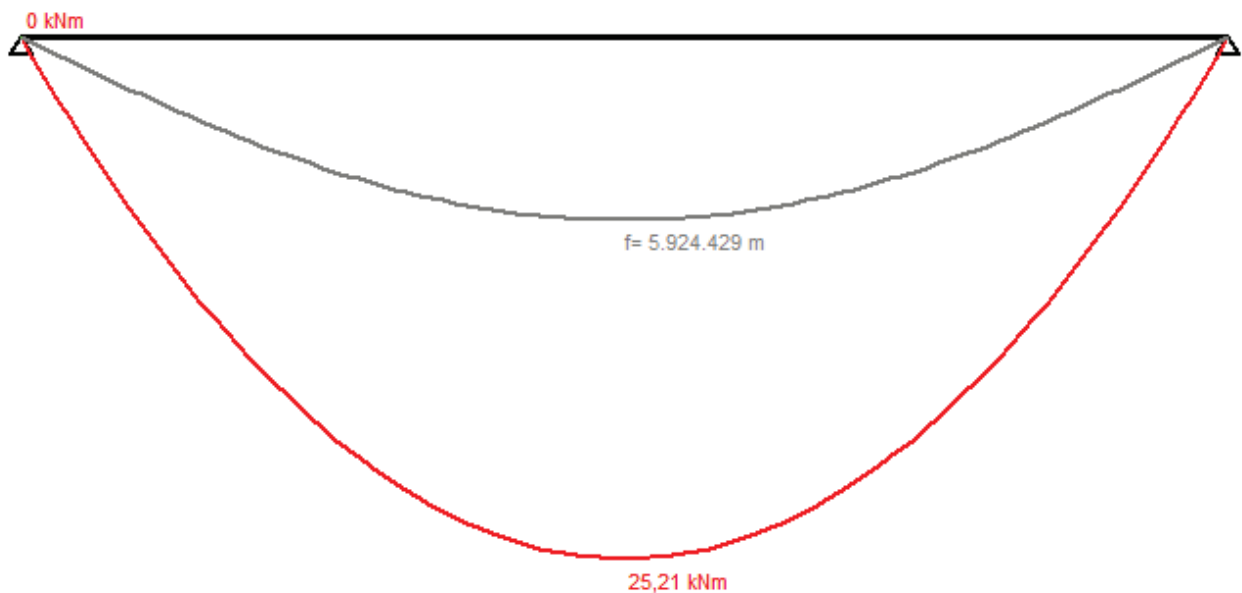
Verifica sforzi in esercizio (SLE)

Il carico distribuito nella combinazione SLE – combinazione rara è il seguente:

$$p = G_1 + G_2 + Q = 4.5 + 3 + 1.44 = 8.94 \text{ kN/m}$$



- Momento flettente (SLE rara):



REALIZZAZIONE AMPLIAMENTO ISTITUTO
ZOOPROFILATTICO

RELAZIONE DI CALCOLO

Pag. 24 di 76

Verifica C.A. S.L.U. - File: verifica flessione solaio

File Materiali Opzioni Visualizza Progetto Sez. Rett. Sismica Normativa: NTC 2018 ?

Titolo : Solaio a lastre tralicciate

N° figure elementari Zoom N° strati barre Zoom

| N° | b [cm] | h [cm] |
|----|--------|--------|
| 1 | 120 | 5 |
| 2 | 16 | 20 |

| N° | A _s [cm ²] | d [cm] |
|----|-----------------------------------|--------|
| 1 | 5 | 22 |

Tipo Sezione

- Rettan.re Trapezi
- a T Circolare
- Rettangoli Coord.
- DXF

Sollecitazioni

S.L.U. Metodo n

| | |
|---|--------------------------------|
| N _{Ed} <input type="text" value="0"/> | 0 <input type="text"/> kN |
| M _{xEd} <input type="text" value="0"/> | 25,21 <input type="text"/> kNm |
| M _{yEd} <input type="text" value="0"/> | 0 <input type="text"/> |

P.tto applicazione N

- Centro Baricentro cls
- Coord.[cm]

| |
|-----------------------------------|
| xN <input type="text" value="0"/> |
| yN <input type="text" value="0"/> |

Materiali

| | |
|--|--|
| B450C | C25/30 |
| ε _{su} 67,5 % | ε _{c2} 2 % |
| f _{yd} 391,3 N/mm ² | ε _{cu} 3,5 |
| E _s 200.000 N/mm ² | f _{cd} 14,17 |
| E _s /E _c 15 | f _{cc} / f _{cd} 0,8 <input type="button"/> |
| ε _{syd} 1,957 % | σ _{c,adm} 9,75 |
| σ _{s,adm} 255 N/mm ² | T _{co} 0,6 |
| | T _{c1} 1,829 |

Metodo di calcolo

- S.L.U.+ S.L.U.-
- Metodo n

Calcoli

σ_c N/mm²
σ_s N/mm²

ε_s 1,233 %
d 22 cm
x 4,656 x/d 0,2116
δ 0,7046

Verifica

N° iterazioni:

Precompresso

σ_c = 4.413 MPa < 0.6f_{ck} = 15 MPa → VERIFICA SODDISFATTA

σ_s = 246.6 MPa < 0.8f_{yk} = 360 MPa → VERIFICA SODDISFATTA

| | | |
|---|--|--|
| BOSI E ASSOCIATI STUDIO DI INGEGNERIA Dott. Ing. Giovanni Bosi Dott. Ing. Donato Musci Dott. Ing. Davide Manenti Dott. Ing. Nazzareno Zingarelli | ISTITUTO ZOOPROFILATTICO SPERIMENTALE DELLA LOMBARDIA E DELL'EMILIA ROMAGNA “BRUNO UBERTINI” REALIZZAZIONE AMPLIAMENTO ISTITUTO ZOOPROFILATTICO | 98-2023 RELAZIONE DI CALCOLO Pag. 25 di 76 |
|---|--|--|

5.3 Architravi

5.3.1 Architrave porta

Lunghezza di calcolo trave: $L = 2.4\text{m}$.

Schema statico di trave semplicemente appoggiata con carico distribuito.

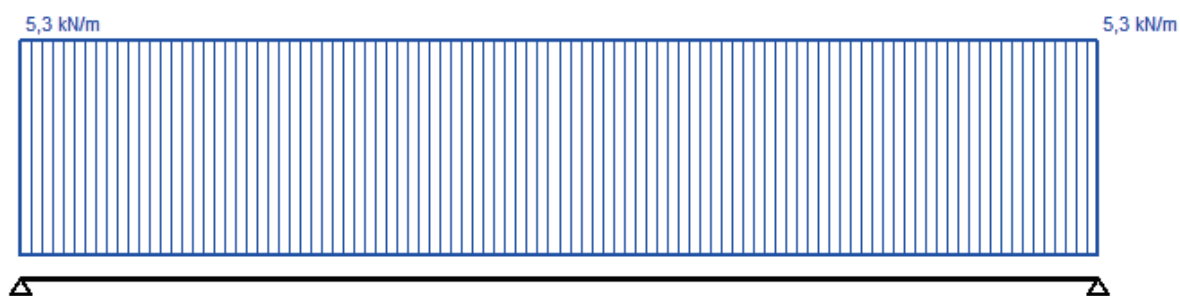
Sollecitazioni trave (SLU)

$$pp_{\text{architrave}} = 25 \text{ kN/m}^3 \times 0.2\text{m} \times 0.25\text{m} = 1.25 \text{ kN/m}$$

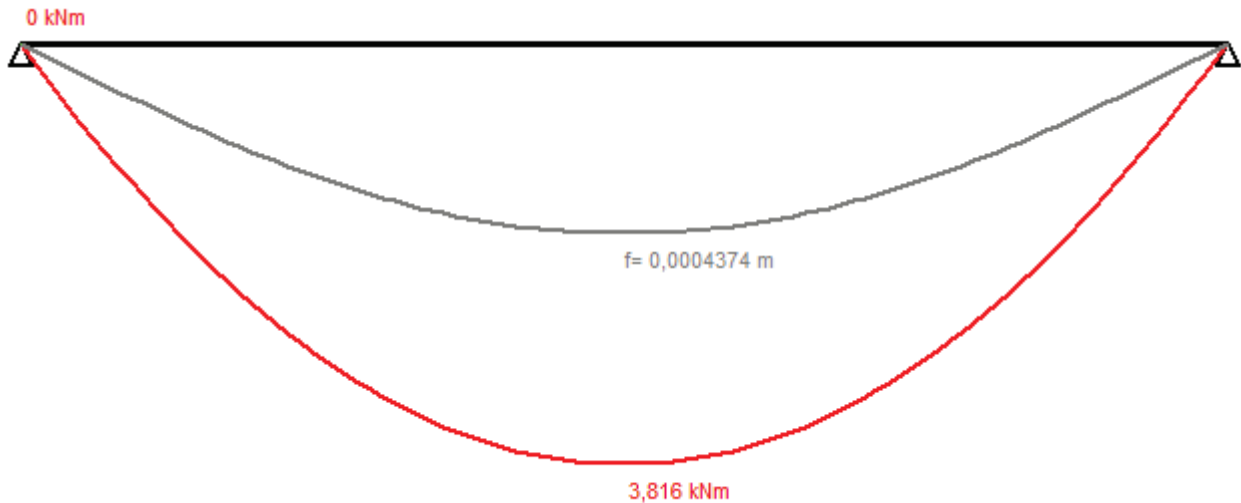
$$p_{\text{muratura}} = 8 \text{ kN/m}^3 \times 0.25\text{m} \times 0.65\text{m} = 1.3 \text{ kN/m}$$

$$pp_{\text{cordolo}} = 25 \text{ kN/m}^3 \times 0.25\text{m} \times 0.25\text{m} = 1.56 \text{ kN/m}$$

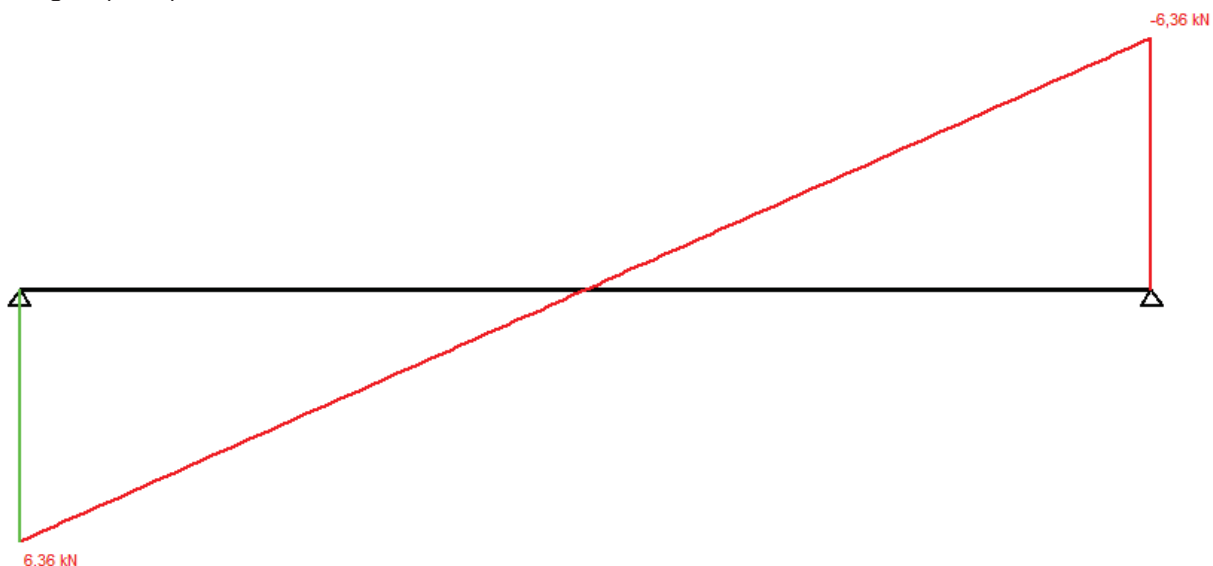
$$p = 1.3 \times (pp_{\text{architrave}} + p_{\text{muratura}} + pp_{\text{cordolo}}) = 1.3 \times (1.25+1.3+1.56) = 5.3 \text{ kN/m}$$



- Momento flettente (SLU):



- Taglio (SLU):



Verifica di resistenza a flessione (SLU)

Momento massimo sollecitante: $M_{Ed} = 3.816 \text{ kNm}$

Armatura: 2Φ12 sia superiormente che inferiormente

Verifica C.A. S.L.U. - File:

File Materiali Opzioni Visualizza Progetto Sez. Rett. Sismica Normativa: NTC 2018 ?

Titolo : Architrave porta

N° strati barre 2 Zoom

| N* | b [cm] | h [cm] |
|----|--------|--------|
| 1 | 25 | 20 |

| N* | A _s [cm ²] | d [cm] |
|----|-----------------------------------|--------|
| 1 | 2,26 | 5 |
| 2 | 2,26 | 15 |

Tipo Sezione

- Rettang.re
- Trapezi
- a T
- Circolare
- Rettangoli
- Coord.
- DXF

Sollecitazioni

S.L.U. → Metodo n

| | |
|--------------------|-------|
| N _{Ed} 0 | 0 kN |
| M _{xEd} 0 | 0 kNm |
| M _{yEd} 0 | 0 |

P.to applicazione N

- Centro
- Baricentro cls
- Coord.[cm] xN 0 yN 0

Materiali

| | |
|--|---------------------------------------|
| B450C | C25/30 |
| ε_{su} 67,5 % | ε_{c2} 2 % |
| f _{yd} 391,3 N/mm ² | ε_{cu} 3,5 |
| E _s 200.000 N/mm ² | f _{cd} 14,17 |
| E _s /E _c 15 | f _{cc} / f _{cd} 0,8 |
| ε_{syd} 1,957 % | $\sigma_{c,adm}$ 9,75 |
| $\sigma_{s,adm}$ 255 N/mm ² | τ_{co} 0,6 |
| | τ_{cl} 1,829 |

Calcolo

M_{xRd} 12,75 kNm

σ_c -14,17 N/mm²

σ_s 391,3 N/mm²

ε_c 3,5 %

ε_s 9,078 %

d 15 cm

x 4,174 x/d 0,2783

δ 0,7878

Metodo di calcolo

- S.L.U.+
- S.L.U.-
- Metodo n

Tipo flessione

- Retta
- Deviata

N° rett. 100

Calcola MRd Dominio M-N

L₀ 0 cm Col. modello

M-curvatura

Precompresso

M_{Rd} = 12.75 kNm > M_{Ed} → VERIFICA SODDISFATTA

| | | |
|---|---|-----------------------------|
| BOSI E ASSOCIATI STUDIO DI INGEGNERIA Dott. Ing. Giovanni Bosi Dott. Ing. Donato Musci Dott. Ing. Davide Manenti Dott. Ing. Nazzareno Zingarelli | ISTITUTO ZOOPROFILATTICO SPERIMENTALE DELLA LOMBARDIA E DELL'EMILIA ROMAGNA “BRUNO UBERTINI” | 98-2023 |
| | REALIZZAZIONE AMPLIAMENTO ISTITUTO ZOOPROFILATTICO | RELAZIONE DI CALCOLO |

Pag. 28 di 76

Verifica di resistenza a taglio (SLU)

Taglio massimo sollecitante: $V_{Ed} = 6.36 \text{ kN}$

Si utilizzano staffe $\Phi 8/20$ a due bracci.

Ponendo $\arctan \theta = 1$:

$$V_{Rd,s} = 0.9 \cdot d \cdot \frac{A_{sw}}{s} \cdot f_{yd} \cdot \cotan \theta = 0.9 \cdot 150 \cdot \frac{2 \cdot 50}{200} \cdot 391.3 \cdot 1 = 26.4 \text{ kN}$$

$$V_{Rd,c} = 0.9 \cdot d \cdot B \cdot f'_{cd} \cdot \frac{\cotan \theta}{1 + \cotan^2 \theta} = 0.9 \cdot 150 \cdot 250 \cdot 0.5 \cdot 14.1 \cdot \frac{1}{1 + 1^2} = 119 \text{ kN}$$

$$V_{Rd} = \min[V_{Rd,s}; V_{Rd,c}] = 26.4 \text{ kN} > V_{Ed} \rightarrow \text{VERIFICA SODDISFATTA}$$

Verifica appoggio muratura (SLU)

I valori caratteristici della muratura utilizzati per le verifiche sono riportati al capitolo 3 della seguente relazione. Il coefficiente di sicurezza γ_M viene valutato come prescritto nelle NTC2018 al capitolo 4.5.6.1.

Per la seguente muratura (Poroton P800) si è scelto in fase di verifiche statiche e sismiche:

- Classe d'esecuzione 2;
- Categoria I.

Tab. 4.5.II. Valori del coefficiente γ_M in funzione della classe di esecuzione e della categoria degli elementi resistenti

| Materiale | Classe di esecuzione | |
|--|----------------------|-----|
| | 1 | 2 |
| Muratura con elementi resistenti di categoria I, malta a prestazione garantita | 2,0 | 2,5 |
| Muratura con elementi resistenti di categoria I, malta a composizione prescritta | 2,2 | 2,7 |
| Muratura con elementi resistenti di categoria II, ogni tipo di malta | 2,5 | 3,0 |

Resistenza di progetto a compressione: $f_d = f_k / Y_M = 5.3 / 2.7 = 1.96 \text{ N/mm}^2$

Resistenza caratteristica a taglio: $f_{vd} = f_{vk} / Y_M = 0.3 / 2.7 = 0.11 \text{ N/mm}^2$

La reazione vincolare all'appoggio della trave è pari a: $R = V_{Ed} = 6.36 \text{ kN}$

Supponendo una distribuzione costante di sforzi all'interfaccia tra l'architrave e il blocco in muratura, lo sforzo all'interfaccia è pari a:

$$\sigma_{Ed} = \frac{R}{A} = \frac{R}{l_a \cdot s} = \frac{6360}{200 \cdot 250} = 0.13 \text{ MPa} < f_d = 1.96 \text{ MPa} \rightarrow \text{VERIFICA SODDISFATTA}$$

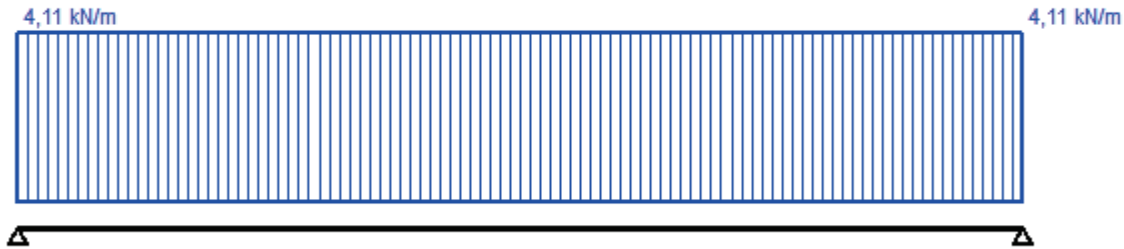
Dove $l_a = 20\text{cm}$ è la lunghezza dell'appoggio della trave e $s = 25\text{cm}$ è lo spessore della parete in muratura.

| | | |
|---|--|--|
| BOSI E ASSOCIATI STUDIO DI INGEGNERIA Dott. Ing. Giovanni Bosi Dott. Ing. Donato Musci Dott. Ing. Davide Manenti Dott. Ing. Nazzareno Zingarelli | ISTITUTO ZOOPROFILATTICO SPERIMENTALE DELLA LOMBARDIA E DELL'EMILIA ROMAGNA “BRUNO UBERTINI” REALIZZAZIONE AMPLIAMENTO ISTITUTO ZOOPROFILATTICO | 98-2023 RELAZIONE DI CALCOLO Pag. 29 di 76 |
|---|--|--|

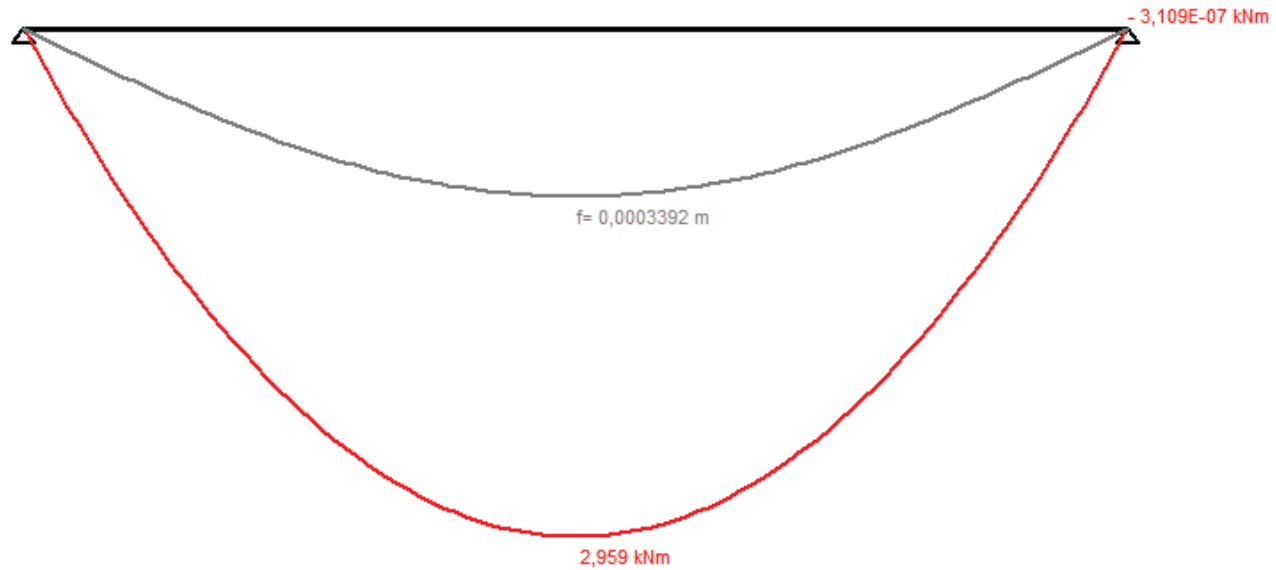
Verifica sforzi in esercizio (SLE)

Le sollecitazioni sulla trave, allo SLE – combinazione rara sono le seguenti:

$$p = pp_{architrave} + pp_{muratura} + pp_{cordolo} = 1.25 + 1.3 + 1.56 = 4.11 \text{ kN/m}$$



- Momento flettente (SLE rara):



REALIZZAZIONE AMPLIAMENTO ISTITUTO
ZOOPROFILATTICO

RELAZIONE DI CALCOLO

Pag. 30 di 76

Verifica C.A. S.L.U. - File:

File Materiali Opzioni Visualizza Progetto Sez. Rett. Sismica Normativa: NTC 2018 ?

Titolo : Architrave porta

N° strati barre

| N* | b [cm] | h [cm] |
|----|--------|--------|
| 1 | 25 | 20 |

| N* | As [cm ²] | d [cm] |
|----|-----------------------|--------|
| 1 | 2,26 | 5 |
| 2 | 2,26 | 15 |

Tipo Sezione

- Rettang.re
- Trapezi
- a T
- Circolare
- Rettangoli
- Coord.
- DXF

Sollecitazioni

S.L.U. Metodo n

| | |
|---|--|
| N _{Ed} <input type="text" value="0"/> | 0 <input type="text" value="kN"/> |
| M _{xEd} <input type="text" value="0"/> | 2,959 <input type="text" value="kNm"/> |
| M _{yEd} <input type="text" value="0"/> | 0 <input type="text" value=""/> |

P.tto applicazione N

- Centro
- Baricentro cls
- Coord.[cm] xN yN

Materiali

| | |
|--|---------------------------------------|
| B450C | C25/30 |
| ε _{su} 67,5 % | ε _{c2} 2 % |
| f _{yd} 391,3 N/mm ² | ε _{cu} 3,5 |
| E _s 200.000 N/mm ² | f _{cd} 14,17 |
| E _s /E _c 15 | f _{cc} / f _{cd} 0,8 |
| ε _{syd} 1,957 % | σ _{c,adm} 9,75 |
| σ _{s,adm} 255 N/mm ² | τ _{co} 0,6 |
| | τ _{c1} 1,829 |

Calcolo

σ_c N/mm²
σ_s N/mm²

ε_s 0,4944 %
d 15 cm
x 5,136 x/d 0,3424
δ 0,868

Precompresso

N° iterazioni:

σ_c = 3.432 MPa < 0.6xf_{ck} = 15 MPa → VERIFICA SODDISFATTA

σ_s = 98.87 MPa < 0.8xf_{yk} = 360 MPa → VERIFICA SODDISFATTA

| | | |
|---|--|--|
| BOSI E ASSOCIATI STUDIO DI INGEGNERIA Dott. Ing. Giovanni Bosi Dott. Ing. Donato Musci Dott. Ing. Davide Manenti Dott. Ing. Nazzareno Zingarelli | ISTITUTO ZOOPROFILATTICO SPERIMENTALE DELLA LOMBARDIA E DELL'EMILIA ROMAGNA “BRUNO UBERTINI” REALIZZAZIONE AMPLIAMENTO ISTITUTO ZOOPROFILATTICO | 98-2023 RELAZIONE DI CALCOLO Pag. 31 di 76 |
|---|--|--|

5.3.2 Architrave finestra

Lunghezza di calcolo trave: $L = 2.5\text{m}$.

Schema statico di trave semplicemente appoggiata con carico distribuito.

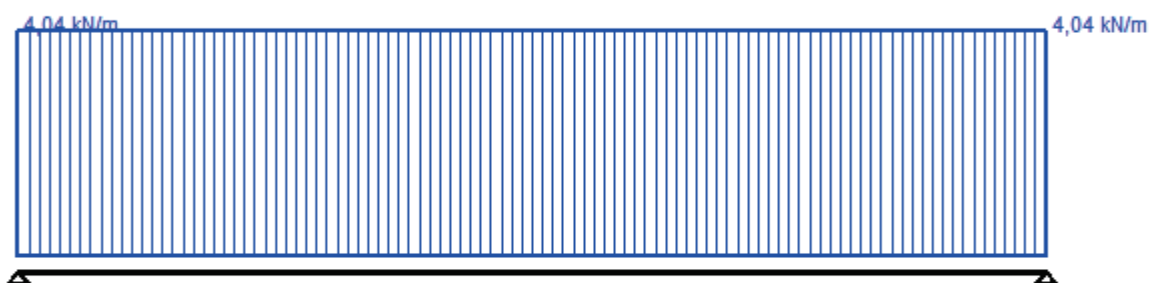
Sollecitazioni trave (SLU)

$$pp_{\text{architrave}} = 25 \text{ kN/m}^3 \times 0.2\text{m} \times 0.25\text{m} = 1.25 \text{ kN/m}$$

$$p_{\text{muratura}} = 8 \text{ kN/m}^3 \times 0.25\text{m} \times 0.15\text{m} = 0.3 \text{ kN/m}$$

$$pp_{\text{cordolo}} = 25 \text{ kN/m}^3 \times 0.25\text{m} \times 0.25\text{m} = 1.56 \text{ kN/m}$$

$$p = 1.3 \times (pp_{\text{architrave}} + p_{\text{muratura}} + pp_{\text{cordolo}}) = 1.3 \times (1.25+0.3+1.56) = 4.04 \text{ kN/m}$$

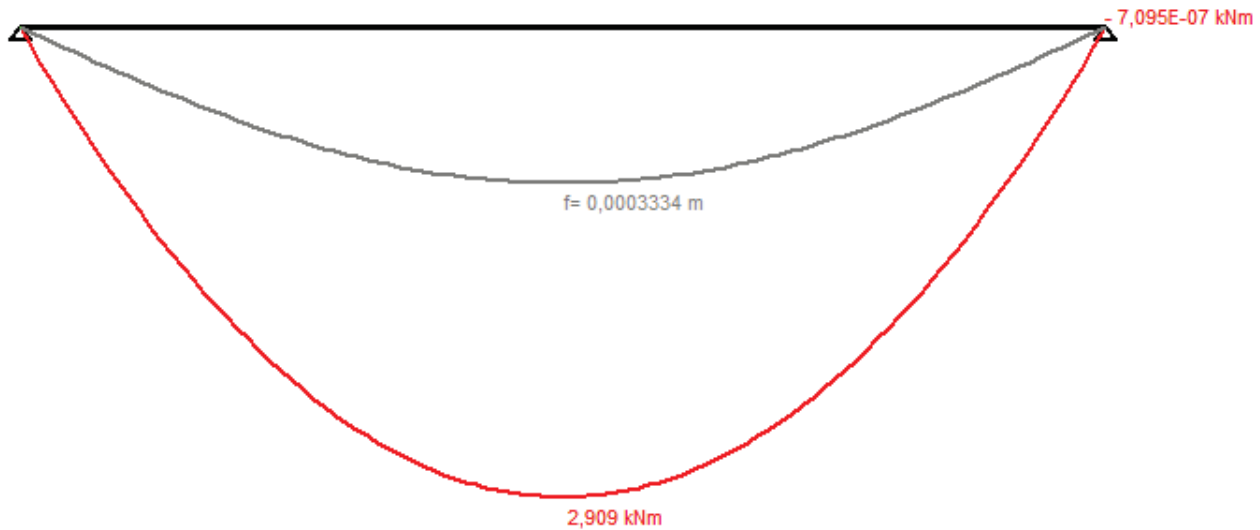


REALIZZAZIONE AMPLIAMENTO ISTITUTO
ZOOPROFILATTICO

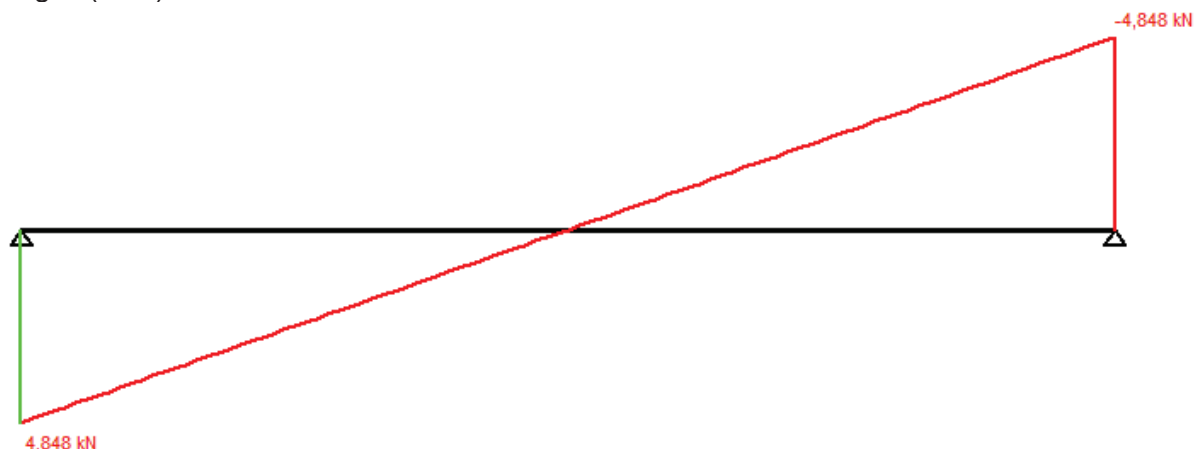
RELAZIONE DI CALCOLO

Pag. 32 di 76

- Momento flettente (SLU):



- Taglio (SLU):



Verifica di resistenza a flessione (SLU)

Momento massimo sollecitante: $M_{Ed} = 2.909 \text{ kNm}$

Armatura: 2Φ12 sia superiormente che inferiormente

Verifica C.A. S.L.U. - File:

File Materiali Opzioni Visualizza Progetto Sez. Rett. Sismica Normativa: NTC 2018 ?

Titolo : Architrave finestra

N° strati barre 2 **Zoom**

| N° | b [cm] | h [cm] |
|----|--------|--------|
| 1 | 25 | 20 |

| N° | As [cm ²] | d [cm] |
|----|-----------------------|--------|
| 1 | 2,26 | 5 |
| 2 | 2,26 | 15 |

Tipo Sezione

- Rettan.re
- Trapezi
- a T
- Circolare
- Rettangoli
- Coord.
- DXF

Sollecitazioni

S.L.U. → Metodo n

| | |
|--------------------|-------|
| N _{Ed} 0 | 0 kN |
| M _{xEd} 0 | 0 kNm |
| M _{yEd} 0 | 0 |

P.to applicazione N

- Centro
- Baricentro cls
- Coord.[cm] xN 0 yN 0

Lato calcestruzzo - Acciaio snervato

Materiali

| | |
|--|---------------------------------------|
| B450C | C25/30 |
| ε_{su} 67,5 % | ε_{c2} 2 % |
| f _{yd} 391,3 N/mm ² | ε_{cu} 3,5 |
| E _s 200.000 N/mm ² | f _{cd} 14,17 |
| E _s /E _c 15 | f _{cc} / f _{cd} 0,8 |
| ε_{syd} 1,957 % | $\sigma_{c,adm}$ 9,75 |
| $\sigma_{s,adm}$ 255 N/mm ² | τ_{co} 0,6 |
| | τ_{c1} 1,829 |

Metodo di calcolo

- S.L.U.+
- S.L.U.-
- Metodo n

Tipo flessione

- Retta
- Deviata

Calcoli

M_{xRd} 12,75 kNm

σ_c -14,17 N/mm²

σ_s 391,3 N/mm²

ε_c 3,5 %

ε_s 9,078 %

d 15 cm

x 4,174 x/d 0,2783

δ 0,7878

N° rett. 100

Calcola MRd **Dominio M-N**

L₀ 0 cm **Col. modello**

M-curvatura

Precompresso

$M_{Rd} = 12.75 \text{ kNm} > M_{Ed} \rightarrow \text{VERIFICA SODDISFATTA}$

| | | |
|---|---|-----------------------------|
| BOSI E ASSOCIATI STUDIO DI INGEGNERIA Dott. Ing. Giovanni Bosi Dott. Ing. Donato Musci Dott. Ing. Davide Manenti Dott. Ing. Nazzareno Zingarelli | ISTITUTO ZOOPROFILATTICO SPERIMENTALE DELLA LOMBARDIA E DELL'EMILIA ROMAGNA “BRUNO UBERTINI” | 98-2023 |
| | REALIZZAZIONE AMPLIAMENTO ISTITUTO ZOOPROFILATTICO | RELAZIONE DI CALCOLO |

Pag. 34 di 76

Verifica di resistenza a taglio (SLU)

Taglio massimo sollecitante: $V_{Ed} = 4.848 \text{ kN}$

Si utilizzano staffe $\Phi 8/20$ a due bracci.

Ponendo $\arctan \theta = 1$:

$$V_{Rd,s} = 0.9 \cdot d \cdot \frac{A_{sw}}{s} \cdot f_{yd} \cdot \cotan \theta = 0.9 \cdot 150 \cdot \frac{2 \cdot 50}{200} \cdot 391.3 \cdot 1 = 26.4 \text{ kN}$$

$$V_{Rd,c} = 0.9 \cdot d \cdot B \cdot f'_{cd} \cdot \frac{\cotan \theta}{1 + \cotan^2 \theta} = 0.9 \cdot 150 \cdot 250 \cdot 0.5 \cdot 14.1 \cdot \frac{1}{1 + 1^2} = 119 \text{ kN}$$

$$V_{Rd} = \min[V_{Rd,s}; V_{Rd,c}] = 26.4 \text{ kN} > V_{Ed} \rightarrow \text{VERIFICA SODDISFATTA}$$

Verifica appoggio muratura (SLU)

I valori caratteristici della muratura utilizzati per le verifiche sono riportati al capitolo 3 della seguente relazione. Il coefficiente di sicurezza γ_M viene valutato come prescritto nelle NTC2018 al capitolo 4.5.6.1.

Per la seguente muratura (Poroton P800) si è scelto in fase di verifiche statiche e sismiche:

- Classe d'esecuzione 2;
- Categoria I.

Tab. 4.5.II. Valori del coefficiente γ_M in funzione della classe di esecuzione e della categoria degli elementi resistenti

| Materiale | Classe di esecuzione | |
|--|----------------------|-----|
| | 1 | 2 |
| Muratura con elementi resistenti di categoria I, malta a prestazione garantita | 2,0 | 2,5 |
| Muratura con elementi resistenti di categoria I, malta a composizione prescritta | 2,2 | 2,7 |
| Muratura con elementi resistenti di categoria II, ogni tipo di malta | 2,5 | 3,0 |

Resistenza di progetto a compressione: $f_d = f_k / Y_M = 5.3 / 2.7 = 1.96 \text{ N/mm}^2$

Resistenza caratteristica a taglio: $f_{vd} = f_{vk} / Y_M = 0.3 / 2.7 = 0.11 \text{ N/mm}^2$

La reazione vincolare all'appoggio della trave è pari a: $R = V_{Ed} = 4.848 \text{ kN}$

Supponendo una distribuzione costante di sforzi all'interfaccia tra l'architrave e il blocco in muratura, lo sforzo all'interfaccia è pari a:

$$\sigma_{Ed} = \frac{R}{A} = \frac{R}{l_a \cdot s} = \frac{4848}{200 \cdot 250} = 0.10 \text{ MPa} < f_d = 1.96 \text{ MPa} \rightarrow \text{VERIFICA SODDISFATTA}$$

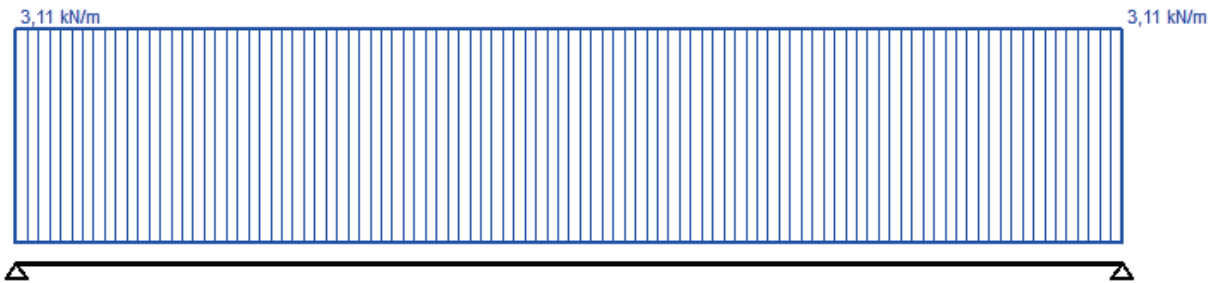
Dove $l_a = 20\text{cm}$ è la lunghezza dell'appoggio della trave e $s = 25\text{cm}$ è lo spessore della parete in muratura.

| | | |
|---|--|--|
| BOSI E ASSOCIATI STUDIO DI INGEGNERIA Dott. Ing. Giovanni Bosi Dott. Ing. Donato Musci Dott. Ing. Davide Manenti Dott. Ing. Nazzareno Zingarelli | ISTITUTO ZOOPROFILATTICO SPERIMENTALE DELLA LOMBARDIA E DELL'EMILIA ROMAGNA “BRUNO UBERTINI” REALIZZAZIONE AMPLIAMENTO ISTITUTO ZOOPROFILATTICO | 98-2023 RELAZIONE DI CALCOLO Pag. 35 di 76 |
|---|--|--|

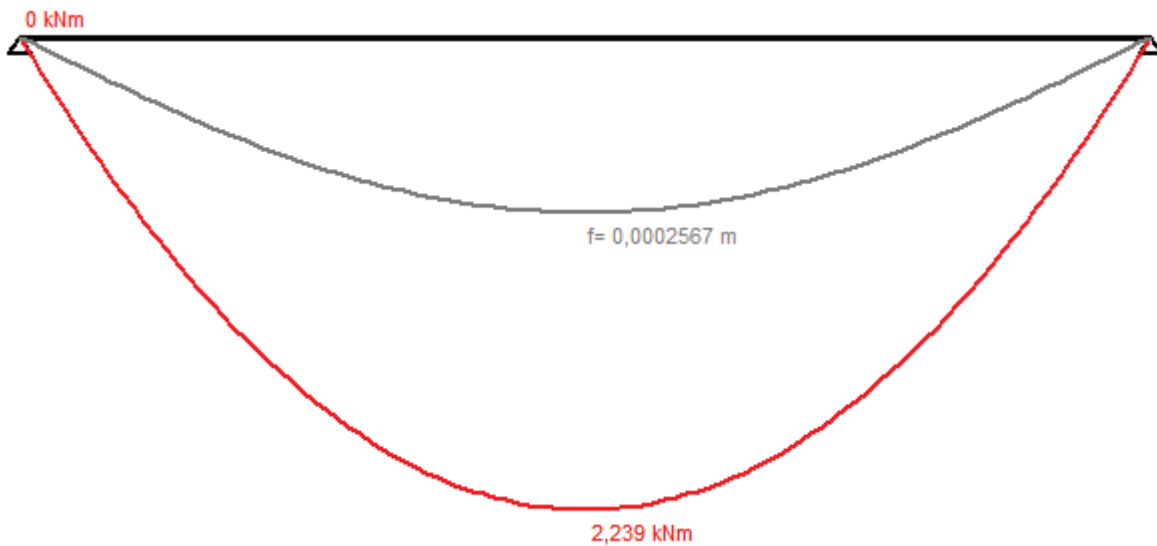
Verifica sforzi in esercizio (SLE)

Le sollecitazioni sulla trave, allo SLE – combinazione rara sono le seguenti:

$$p = p_{parchitrave} + p_{muratura} + p_{cordolo} = 1.25 + 0.3 + 1.56 = 3.11 \text{ kN/m}$$



- Momento flettente (SLE rara):



REALIZZAZIONE AMPLIAMENTO ISTITUTO
ZOOPROFILATTICO

RELAZIONE DI CALCOLO

Pag. 36 di 76

Verifica C.A. S.L.U. - File: Architrave finestra

File Materiali Opzioni Visualizza Progetto Sez. Rett. Sismica Normativa: NTC 2018 ?

Titolo : Architrave finestra

N° strati barre: 2

| N° | b [cm] | h [cm] |
|----|--------|--------|
| 1 | 25 | 20 |

| N° | A _s [cm ²] | d [cm] |
|----|-----------------------------------|--------|
| 1 | 2,26 | 5 |
| 2 | 2,26 | 15 |

Tipo Sezione

- Rettang.re
- Trapezi
- a T
- Circolare
- Rettangoli
- Coord.
- DXF

Sollecitazioni

S.L.U. Metodo n

| | |
|---|--|
| N _{Ed} <input type="text" value="0"/> | 0 <input type="text" value="kN"/> |
| M _{xEd} <input type="text" value="0"/> | 2,239 <input type="text" value="kNm"/> |
| M _{yEd} <input type="text" value="0"/> | 0 <input type="text" value=""/> |

P.tto applicazione N

- Centro
- Baricentro cls
- Coord.[cm] xN yN

Materiali

| | |
|--|--|
| B450C | C25/30 |
| ε _{su} 67,5 % | ε _{c2} 2 % |
| f _{yd} 391,3 N/mm ² | ε _{cu} 3,5 |
| E _s 200.000 N/mm ² | f _{cd} 14,17 |
| E _s /E _c 15 | f _{cc} / f _{cd} 0,8 <input type="button" value="?"/> |
| ε _{syd} 1,957 % | σ _{c,adm} 9,75 |
| σ _{s,adm} 255 N/mm ² | τ _{co} 0,6 |
| | τ _{c1} 1,829 |

Metodo di calcolo

- S.L.U.+
- S.L.U.-
- Metodo n

Calcoli:

σ_c N/mm²

σ_s N/mm²

ε_s %

d 15 cm

x 5,136 x/d 0,3424

δ 0,868

N° iterazioni: 4

Precompresso

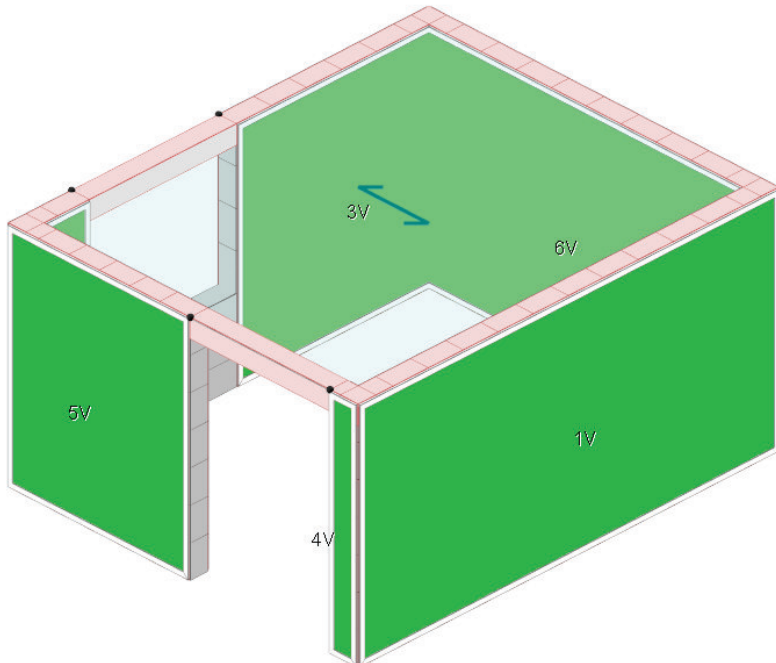
σ_c = 2.597 MPa < 0.6xf_{ck} = 15 MPa → VERIFICA SODDISFATTA

σ_s = 74.81 MPa < 0.8xf_{yk} = 360 MPa → VERIFICA SODDISFATTA

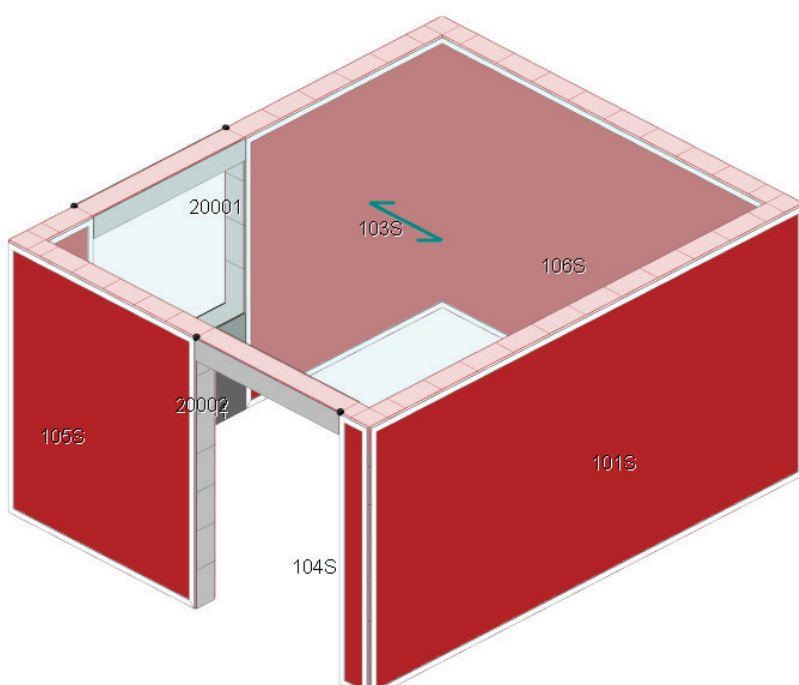
5.4 Pareti

Di seguito si riportano le rappresentazioni e le verifiche statiche e sismiche delle pareti in laterizio del fabbricato, suddivisi in maschi murari.

- Verifiche statiche (in verde i maschi murari):



- Verifiche sismiche (in rosso i maschi murari):



| | | |
|---|---|-----------------------------|
| BOSI E ASSOCIATI STUDIO DI INGEGNERIA Dott. Ing. Giovanni Bosi Dott. Ing. Donato Musci Dott. Ing. Davide Manenti Dott. Ing. Nazzareno Zingarelli | ISTITUTO ZOOPROFILATTICO SPERIMENTALE DELLA LOMBARDIA E DELL'EMILIA ROMAGNA "BRUNO UBERTINI" | 98-2023 |
| | REALIZZAZIONE AMPLIAMENTO ISTITUTO ZOOPROFILATTICO | RELAZIONE DI CALCOLO |
| | | Pag. 38 di 76 |

Verifiche muratura

Tabelle riassuntive verifiche

Verifiche maschi, fasce e cinematismi

Simbologia

Num. = Numero elemento V (ver. statiche), S (ver. sismiche), C (ver. cinematismi)
TG = Tasso di sfruttamento globale
TP = Tasso di sfruttamento per pressoflessione nel piano
TPO = Tasso di sfruttamento per pressoflessione ortogonale al piano
TT = Tasso di sfruttamento per taglio nel piano
Zv = Coordinata Z di verifica

| Num. | Zv <m> | TP | TPO | TT | TG |
|------|-----------|------|------|------|------|
| 1V | 0.00 | --- | 0.10 | --- | 0.10 |
| 1V | 1.55 | --- | 0.14 | --- | 0.14 |
| 2V | 0.00 | --- | 0.10 | --- | 0.10 |
| 2V | 1.55 | --- | 0.21 | --- | 0.21 |
| 3V | 0.00 | --- | 0.11 | --- | 0.11 |
| 3V | 1.55 | --- | 0.18 | --- | 0.18 |
| 4V | 0.00 | --- | 0.12 | --- | 0.12 |
| 4V | 1.55 | --- | 0.08 | --- | 0.08 |
| 5V | 0.00 | --- | 0.07 | --- | 0.07 |
| 5V | 1.55 | --- | 0.04 | --- | 0.04 |
| 6V | 0.00 | --- | 0.05 | --- | 0.05 |
| 6V | 1.55 | --- | 0.03 | --- | 0.03 |
| 101S | 0.00 | 0.13 | --- | 0.11 | 0.13 |
| 101S | 1.55 | 0.07 | 0.07 | 0.12 | 0.12 |
| 102S | 0.00 | 0.06 | --- | 0.06 | 0.06 |
| 102S | 1.55 | 0.13 | 0.07 | 0.15 | 0.15 |
| 103S | 0.00 | 0.17 | --- | 0.10 | 0.17 |
| 103S | 1.55 | 0.13 | 0.06 | 0.16 | 0.16 |
| 104S | 0.00 | 0.24 | --- | 0.04 | 0.24 |
| 104S | 1.55 | 0.00 | 0.09 | 0.04 | 0.09 |
| 105S | 0.00 | 0.71 | --- | 0.37 | 0.71 |
| 105S | 1.55 | 0.47 | 0.20 | 0.24 | 0.47 |
| 106S | 0.00 | 0.28 | --- | 0.12 | 0.28 |
| 106S | 1.55 | 0.21 | 0.20 | 0.13 | 0.21 |

Verifiche cinematismi

| Num. | Comm. | An. | TCC | $\zeta_E (A_g)$ |
|------|-----------------------------------|-----|-----|-----------------|
| 1C | Ribalt. a z=0.00 ammors. a z=0.00 | NL | SLV | 1.7054 |
| 2C | Ribalt. a z=0.00 ammors. a z=0.00 | NL | SLV | 2.7100 |
| 3C | Ribalt. a z=0.00 ammors. a z=0.00 | NL | SLV | 1.9110 |
| 4C | Ribalt. a z=0.00 ammors. a z=0.00 | NL | SLV | 5.1287 |
| 5C | Ribalt. a z=0.00 ammors. a z=0.00 | NL | SLV | 1.9417 |
| 6C | Ribalt. a z=0.00 ammors. a z=0.00 | NL | SLV | 3.0071 |

Verifiche maschi, fasce e cinematismi

Simbologia

Φ_t = Coefficiente di riduzione della resistenza per eccentricità trasversale
 ΣN_{2dx} = Reazione totale dei solai a destra
 ΣN_{2sx} = Reazione totale dei solai a sinistra
 δ = Spostamento relativo
 δ/h = Rapporto (moltiplicato per 1000) tra lo spostamento relativo e l'altezza
 λ = Snellezza convenzionale
 ρ = Fattore laterale di vincolo
 $\zeta_E (A_g)$ = Indice di sicurezza in termini di accelerazione
An. = Tipo di analisi
L = Lineare
NL = Non lineare
PD = P-Delta
CC = Numero della combinazione delle condizioni di carico elementari
Comm. = Commento

| | | |
|---|---|-----------------------------|
| BOSI E ASSOCIATI STUDIO DI INGEGNERIA Dott. Ing. Giovanni Bosi Dott. Ing. Donato Musci Dott. Ing. Davide Manenti Dott. Ing. Nazzareno Zingarelli | ISTITUTO ZOOPROFILATTICO SPERIMENTALE DELLA LOMBARDIA E DELL'EMILIA ROMAGNA "BRUNO UBERTINI" | 98-2023 |
| | REALIZZAZIONE AMPLIAMENTO ISTITUTO ZOOPROFILATTICO | RELAZIONE DI CALCOLO |
| | | Pag. 39 di 76 |
| | | |

L = Lunghezza
M_v = Momento flettente dovuto al vento o al sisma
Mu = Momento ultimo
N = Sforzo normale
N1 = Carico trasmesso dal pannello sovrastante
Nu = Sforzo normale ultimo
Num. = Numero elemento V (ver. statiche), S (ver. sismiche), C (ver. cinematici)
S_{dx} = Numero del solaio a destra
S_{sx} = Numero del solaio a sinistra
Sic. = Sicurezza
Spess. = Spessore
TCC = Tipo di combinazione di carico
SLU = Stato limite ultimo
SLE R = Stato limite d'esercizio, combinazione rara
SLE F = Stato limite d'esercizio, combinazione frequente
SLE Q = Stato limite d'esercizio, combinazione quasi permanente
SLD = Stato limite di danno
SLV = Stato limite di salvaguardia della vita
SND = Stato limite di salvaguardia della vita (non dissipativo)
V_{Ed} = Taglio agente
Vu = Taglio ultimo
Xg = Coord. X del baricentro al piede
Yg = Coord. Y del baricentro al piede
Z_f = Coordinata Z finale
Z_i = Coordinata Z iniziale
Z_v = Coordinata Z di verifica
a = Interasse irrigidimenti
d₁ = Eccentricità della muratura sovrastante
d₂ = Eccentricità di appoggio del solaio
e = Eccentricità di calcolo
e₁ = Eccentricità per sezioni di estremità
e₂ = Eccentricità per sezione di massimo M_v
e_a = Eccentricità per tolleranze di esecuzione
e_{s1} = Eccentricità convenzionale della muratura sovrastante
e_{s2} = Eccentricità convenzionale della reazione d'appoggio dei solai
e_v = Eccentricità dovuta alle azioni orizzontali ortogonali al piano
f_{VK0} = Resistenza caratteristica a taglio della muratura
f_d SLU = Resistenza di calcolo a compressione della muratura per verifiche per azioni statiche
f_d SLV = Resistenza di calcolo a compressione della muratura per verifiche per azioni sismiche
f_k = Resistenza caratteristica della muratura
f_{vdo} SLU = Resistenza di calcolo a taglio in assenza di compressione della muratura per azioni statiche
f_{vdo} SLV = Resistenza di calcolo a taglio in assenza di compressione della muratura per azioni sismiche
h = Altezza
l' = Lunghezza della parte compressa della parete
m = Coefficiente di eccentricità

Maschio n. 1V (ver. statiche)

Xg=3.00 <m> Yg=0.13 <m> L=6.00 <m>

Configurazione geometrica e caratteristiche dei materiali utilizzati

| Z _i <m> | Z _f <m> | Spess. <cm> | h <m> | d ₁ <cm> | S _{sx} | d ₂ <cm> | S _{dx} | d ₂ <cm> | e _a <cm> | a <m> | p | λ | f _k <daN/cmq> | f _d SLU <daN/cmq> | f _d SLV <daN/cmq> | f _{VK0} <daN/cmq> | f _{vdo} SLU <daN/cmq> | f _{vdo} SLV <daN/cmq> |
|-----------------------|-----------------------|----------------|----------|------------------------|-----------------|------------------------|-----------------|------------------------|------------------------|----------|-------|-------|-----------------------------|---------------------------------|---------------------------------|-------------------------------|-----------------------------------|-----------------------------------|
| 0.00 | 3.10 | 25.00 | 2.85 | | 100 | 7.00 | 1.43 | 0.00 | 1.00 | 11.40 | 53.00 | 19.63 | 19.63 | 3.00 | 1.11 | 1.11 | | |

Verifiche per carichi verticali ed azioni ortogonali

| CC | TCC | N1 <daN> | e _{s1} <cm> | ΣN2 _{sx} <daN> | ΣN2 _{dx} <daN> | e _{s2} <cm> | e ₁ | Z _v | N <daN> | M _v <daNm> | e _v | e ₂ | e | m | Φ _t | Nu <daN> | Mu <daNm> |
|----|-----|-------------|-------------------------|----------------------------|----------------------------|-------------------------|----------------|----------------|------------|--------------------------|----------------|----------------|------|------|----------------|-------------|--------------|
| 17 | SLU | 0.00 | 0.00 | 0.00 | 14887.30 | 7.00 | 8.43 | 0.00 | -18246.40 | 0.00 | --- | --- | 1.43 | 0.34 | 0.65 | -191114.00 | --- |
| | | | | | | | | 1.55 | -16637.80 | 0.00 | --- | --- | 4.21 | 1.01 | 0.41 | -120672.00 | --- |

Maschio n. 2V (ver. statiche)

Xg=0.45 <m> Yg=4.88 <m> L=0.90 <m>

Configurazione geometrica e caratteristiche dei materiali utilizzati

| Z _i <m> | Z _f <m> | Spess. <cm> | h <m> | d ₁ <cm> | S _{sx} | d ₂ <cm> | S _{dx} | d ₂ <cm> | e _a <cm> | a <m> | p | λ | f _k <daN/cmq> | f _d SLU <daN/cmq> | f _d SLV <daN/cmq> | f _{VK0} <daN/cmq> | f _{vdo} SLU <daN/cmq> | f _{vdo} SLV <daN/cmq> |
|-----------------------|-----------------------|----------------|----------|------------------------|-----------------|------------------------|-----------------|------------------------|------------------------|----------|-------|-------|-----------------------------|---------------------------------|---------------------------------|-------------------------------|-----------------------------------|-----------------------------------|
| 0.00 | 3.10 | 25.00 | 2.85 | 100 | 7.00 | | | 1.43 | 0.00 | 1.00 | 11.40 | 53.00 | 19.63 | 19.63 | 3.00 | 1.11 | 1.11 | |

BOSI E ASSOCIATI
STUDIO DI INGEGNERIA
Dott. Ing. Giovanni Bosi
Dott. Ing. Donato Musci
Dott. Ing. Davide Manenti
Dott. Ing. Nazzareno Zingarelli

**ISTITUTO ZOOPROFILATTICO SPERIMENTALE
DELLA LOMBARDIA E DELL'EMILIA ROMAGNA
“BRUNO UBERTINI”**

98-2023

**REALIZZAZIONE AMPLIAMENTO ISTITUTO
ZOOPROFILATTICO**

RELAZIONE DI CALCOLO

Pag. 40 di 76

Verifiche per carichi verticali ed azioni ortogonali

| CC | TCC | N1 <daN> <cm> | e _{s1} <cm> | ΣN2 _{sx} <daN> | ΣN2 _{dx} <daN> | e _{s2} <cm> | e ₁ <cm> | Zv <m> | N <daN> | M _v <daNm> | e _v <cm> | e ₂ <cm> | e <cm> | m | Φ _t | Nu <daN> | Mu <daNm> |
|----|-----|----------------------|--------------------------|----------------------------|----------------------------|--------------------------|-------------------------|------------|------------|--------------------------|-------------------------|-------------------------|------------|------|----------------|-------------|--------------|
| 17 | SLU | 0.00 | 0.00 | 2233.14 | 0.00 | -7.00 | 8.43 | 0.00 | -2857.33 | 0.00 | --- | --- | 1.43 | 0.34 | 0.65 | -28666.90 | --- |
| | | | | | | | | 1.55 | -3740.95 | 0.00 | --- | --- | 4.21 | 1.01 | 0.41 | -18100.60 | --- |

Maschio n. 3V (ver. statiche)

Xg=4.50 |<m> Yg=4.88 |<m> L=3.00 |<m>

Configurazione geometrica e caratteristiche dei materiali utilizzati

| Zi <m> | Zf <m> | Spess. <cm> | h <m> | d ₁ <cm> | S _{sx} <cm> | d ₂ <cm> | S _{dx} <cm> | d ₂ <cm> | e _a <cm> | a <m> | ρ | λ | f _k <daN/cmq> | f _d SLU <daN/cmq> | f _d SLV <daN/cmq> | f _{vK0} <daN/cmq> | f _{vdo} SLU <daN/cmq> | f _{vdo} SLV <daN/cmq> |
|------------|------------|-----------------|-----------|-------------------------|--------------------------|-------------------------|--------------------------|-------------------------|-------------------------|-----------|------|-------|------------------------------|-------------------------------------|-------------------------------------|--------------------------------|---------------------------------------|---------------------------------------|
| 0.00 | 3.10 | 25.00 | 2.85 | 100 | 7.00 | | | | 1.43 | 0.00 | 1.00 | 11.40 | 53.00 | 19.63 | 19.63 | 3.00 | 1.11 | 1.11 |

Verifiche per carichi verticali ed azioni ortogonali

| CC | TCC | N1 <daN> <cm> | e _{s1} <cm> | ΣN2 _{sx} <daN> | ΣN2 _{dx} <daN> | e _{s2} <cm> | e ₁ <cm> | Zv <m> | N <daN> | M _v <daNm> | e _v <cm> | e ₂ <cm> | e <cm> | m | Φ _t | Nu <daN> | Mu <daNm> |
|----|-----|----------------------|--------------------------|----------------------------|----------------------------|--------------------------|-------------------------|------------|------------|--------------------------|-------------------------|-------------------------|------------|------|----------------|-------------|--------------|
| 17 | SLU | 0.00 | 0.00 | 7443.58 | 0.00 | -7.00 | 8.43 | 0.00 | -10471.50 | 0.00 | --- | --- | 1.43 | 0.34 | 0.65 | -95556.20 | --- |
| | | | | | | | | 1.55 | -10970.10 | 0.00 | --- | --- | 4.21 | 1.01 | 0.41 | -60335.30 | --- |

Maschio n. 4V (ver. statiche)

Xg=0.13 |<m> Yg=0.20 |<m> L=0.40 |<m>

Configurazione geometrica e caratteristiche dei materiali utilizzati

| Zi <m> | Zf <m> | Spess. <cm> | h <m> | d ₁ <cm> | S _{sx} <cm> | d ₂ <cm> | S _{dx} <cm> | d ₂ <cm> | e _a <cm> | a <m> | ρ | λ | f _k <daN/cmq> | f _d SLU <daN/cmq> | f _d SLV <daN/cmq> | f _{vK0} <daN/cmq> | f _{vdo} SLU <daN/cmq> | f _{vdo} SLV <daN/cmq> |
|------------|------------|-----------------|-----------|-------------------------|--------------------------|-------------------------|--------------------------|-------------------------|-------------------------|-----------|------|-------|------------------------------|-------------------------------------|-------------------------------------|--------------------------------|---------------------------------------|---------------------------------------|
| 0.00 | 3.10 | 25.00 | 2.85 | 100 | 7.00 | | | | 1.43 | 0.00 | 1.00 | 11.40 | 53.00 | 19.63 | 19.63 | 3.00 | 1.11 | 1.11 |

Verifiche per carichi verticali ed azioni ortogonali

| CC | TCC | N1 <daN> <cm> | e _{s1} <cm> | ΣN2 _{sx} <daN> | ΣN2 _{dx} <daN> | e _{s2} <cm> | e ₁ <cm> | Zv <m> | N <daN> | M _v <daNm> | e _v <cm> | e ₂ <cm> | e <cm> | m | Φ _t | Nu <daN> | Mu <daNm> |
|----|-----|----------------------|--------------------------|----------------------------|----------------------------|--------------------------|-------------------------|------------|------------|--------------------------|-------------------------|-------------------------|------------|------|----------------|-------------|--------------|
| 17 | SLU | 0.00 | 0.00 | 0.00 | 0.00 | 0.00 | 1.43 | 0.00 | -1525.55 | 0.00 | --- | --- | 1.43 | 0.34 | 0.65 | -12741.80 | --- |
| | | | | | | | | 1.55 | -1033.82 | 0.00 | --- | --- | 1.43 | 0.34 | 0.65 | -12741.80 | --- |

Maschio n. 5V (ver. statiche)

Xg=0.13 |<m> Yg=3.70 |<m> L=2.60 |<m>

Configurazione geometrica e caratteristiche dei materiali utilizzati

| Zi <m> | Zf <m> | Spess. <cm> | h <m> | d ₁ <cm> | S _{sx} <cm> | d ₂ <cm> | S _{dx} <cm> | d ₂ <cm> | e _a <cm> | a <m> | ρ | λ | f _k <daN/cmq> | f _d SLU <daN/cmq> | f _d SLV <daN/cmq> | f _{vK0} <daN/cmq> | f _{vdo} SLU <daN/cmq> | f _{vdo} SLV <daN/cmq> |
|------------|------------|-----------------|-----------|-------------------------|--------------------------|-------------------------|--------------------------|-------------------------|-------------------------|-----------|------|-------|------------------------------|-------------------------------------|-------------------------------------|--------------------------------|---------------------------------------|---------------------------------------|
| 0.00 | 3.10 | 25.00 | 2.85 | 100 | 7.00 | | | | 1.43 | 0.00 | 1.00 | 11.40 | 53.00 | 19.63 | 19.63 | 3.00 | 1.11 | 1.11 |

Verifiche per carichi verticali ed azioni ortogonali

| CC | TCC | N1 <daN> <cm> | e _{s1} <cm> | ΣN2 _{sx} <daN> | ΣN2 _{dx} <daN> | e _{s2} <cm> | e ₁ <cm> | Zv <m> | N <daN> | M _v <daNm> | e _v <cm> | e ₂ <cm> | e <cm> | m | Φ _t | Nu <daN> | Mu <daNm> |
|----|-----|----------------------|--------------------------|----------------------------|----------------------------|--------------------------|-------------------------|------------|------------|--------------------------|-------------------------|-------------------------|------------|------|----------------|-------------|--------------|
| 17 | SLU | 0.00 | 0.00 | 0.00 | 0.00 | 0.00 | 1.43 | 0.00 | -5862.01 | 0.00 | --- | --- | 1.43 | 0.34 | 0.65 | -82815.40 | --- |
| | | | | | | | | 1.55 | -3370.38 | 0.00 | --- | --- | 1.43 | 0.34 | 0.65 | -82815.40 | --- |

Maschio n. 6V (ver. statiche)

Xg=5.88 |<m> Yg=2.50 |<m> L=5.00 |<m>

Configurazione geometrica e caratteristiche dei materiali utilizzati

| Zi <m> | Zf <m> | Spess. <cm> | h <m> | d ₁ <cm> | S _{sx} <cm> | d ₂ <cm> | S _{dx} <cm> | d ₂ <cm> | e _a <cm> | a <m> | ρ | λ | f _k <daN/cmq> | f _d SLU <daN/cmq> | f _d SLV <daN/cmq> | f _{vK0} <daN/cmq> | f _{vdo} SLU <daN/cmq> | f _{vdo} SLV <daN/cmq> |
|------------|------------|-----------------|-----------|-------------------------|--------------------------|-------------------------|--------------------------|-------------------------|-------------------------|-----------|---|---|------------------------------|-------------------------------------|-------------------------------------|--------------------------------|---------------------------------------|---------------------------------------|
| 0.00 | 3.10 | 25.00 | 2.85 | | 100 | 7.00 | 1.43 | 5.00 | 0.93 | 10.60 | | | 53.00 | 19.63 | 19.63 | 3.00 | 1.11 | 1.11 |

BOSI E ASSOCIATI
STUDIO DI INGEGNERIA
Dott. Ing. Giovanni Bosi
Dott. Ing. Donato Musci
Dott. Ing. Davide Manenti
Dott. Ing. Nazzareno Zingarelli

**ISTITUTO ZOOPROFILATTICO SPERIMENTALE
DELLA LOMBARDIA E DELL'EMILIA ROMAGNA
“BRUNO UBERTINI”**

98-2023

**REALIZZAZIONE AMPLIAMENTO ISTITUTO
ZOOPROFILATTICO**

RELAZIONE DI CALCOLO

Pag. 41 di 76

Verifiche per carichi verticali ed azioni ortogonali

| CC | TCC | N1 <daN> | e _{s1} <cm> | ΣN2 _{sx} <daN> | ΣN2 _{dx} <daN> | e _{s2} <cm> | e ₁ <cm> | Zv <m> | N <daN> | M _v <daNm> | e _v <cm> | e ₂ <cm> | e <cm> | m | Φ _t | Nu <daN> | Mu <daNm> |
|----|-----|-------------|-------------------------|----------------------------|----------------------------|-------------------------|------------------------|-----------|------------|--------------------------|------------------------|------------------------|-----------|------|----------------|-------------|--------------|
| 17 | SLU | 0.00 | 0.00 | 0.00 | 0.00 | 0.00 | 1.43 | 0.00 | -8581.43 | 0.00 | --- | --- | 1.43 | 0.34 | 0.67 | -164846.00 | --- |

Maschio n. 101S (ver. sismiche)

Xg=3.00 <m> Yg=0.13 <m> L=6.00 <m>

Configurazione geometrica e caratteristiche dei materiali utilizzati

| Zi <m> | Zf <m> | Spess. <cm> | h <m> | d ₁ <cm> | S _{sx} <cm> | d ₂ <cm> | S _{dx} <cm> | d ₂ <cm> | e _a <m> | a | ρ | λ | f _k <daN/cmq> | f _d SLU <daN/cmq> | f _d SLV <daN/cmq> | f _{vko} <daN/cmq> | f _{vd0} SLU <daN/cmq> | f _{vd0} SLV <daN/cmq> |
|-----------|-----------|----------------|----------|------------------------|-------------------------|------------------------|-------------------------|------------------------|-----------------------|------|------|-------|-----------------------------|---------------------------------|---------------------------------|-------------------------------|-----------------------------------|-----------------------------------|
| 0.00 | 3.10 | 25.00 | 2.85 | | | | 100 | 7.00 | 1.43 | 0.00 | 1.00 | 11.40 | 53.00 | 19.63 | 19.63 | 3.00 | 1.11 | 1.11 |

Verifiche per carichi verticali ed azioni ortogonali

| CC | TCC | N1 <daN> | e _{s1} <cm> | ΣN2 _{sx} <daN> | ΣN2 _{dx} <daN> | e _{s2} <cm> | e ₁ <cm> | Zv <m> | N <daN> | M _v <daNm> | e _v <cm> | e ₂ <cm> | e <cm> | m | Φ _t | Nu <daN> | Mu <daNm> |
|----|-----|-------------|-------------------------|----------------------------|----------------------------|-------------------------|------------------------|-----------|------------|--------------------------|------------------------|------------------------|-----------|-----|----------------|-------------|--------------|
| 1 | SLV | | | | | | | 1.55 | -10752.20 | 88.03 | --- | --- | --- | --- | --- | --- | 1286.29 |
| 1 | SLV | | | | | | | 1.55 | -10752.20 | 88.03 | --- | --- | --- | --- | --- | --- | 1286.29 |
| 1 | SLV | | | | | | | 1.55 | -11213.40 | 88.03 | --- | --- | --- | --- | --- | --- | 1338.87 |
| 1 | SLV | | | | | | | 1.55 | -11213.40 | 88.03 | --- | --- | --- | --- | --- | --- | 1338.87 |
| 3 | SLV | | | | | | | 1.55 | -10988.30 | 88.03 | --- | --- | --- | --- | --- | --- | 1313.23 |
| 3 | SLV | | | | | | | 1.55 | -10988.30 | 88.03 | --- | --- | --- | --- | --- | --- | 1313.23 |
| 3 | SLV | | | | | | | 1.55 | -10977.30 | 88.03 | --- | --- | --- | --- | --- | --- | 1311.98 |
| 3 | SLV | | | | | | | 1.55 | -10977.30 | 88.03 | --- | --- | --- | --- | --- | --- | 1311.98 |
| 5 | SLV | | | | | | | 1.55 | -10555.60 | 88.03 | --- | --- | --- | --- | --- | --- | 1263.80 |
| 5 | SLV | | | | | | | 1.55 | -10555.60 | 88.03 | --- | --- | --- | --- | --- | --- | 1263.80 |
| 5 | SLV | | | | | | | 1.55 | -11410.00 | 88.03 | --- | --- | --- | --- | --- | --- | 1361.23 |
| 5 | SLV | | | | | | | 1.55 | -11410.00 | 88.03 | --- | --- | --- | --- | --- | --- | 1361.23 |
| 7 | SLV | | | | | | | 1.55 | -10623.10 | 88.03 | --- | --- | --- | --- | --- | --- | 1271.53 |
| 7 | SLV | | | | | | | 1.55 | -10623.10 | 88.03 | --- | --- | --- | --- | --- | --- | 1271.53 |
| 7 | SLV | | | | | | | 1.55 | -11342.50 | 88.03 | --- | --- | --- | --- | --- | --- | 1353.56 |
| 7 | SLV | | | | | | | 1.55 | -11342.50 | 88.03 | --- | --- | --- | --- | --- | --- | 1353.56 |
| 9 | SLV | | | | | | | 1.55 | -10788.80 | 88.03 | --- | --- | --- | --- | --- | --- | 1290.46 |
| 9 | SLV | | | | | | | 1.55 | -10788.80 | 88.03 | --- | --- | --- | --- | --- | --- | 1290.46 |
| 9 | SLV | | | | | | | 1.55 | -11249.90 | 88.03 | --- | --- | --- | --- | --- | --- | 1343.03 |
| 9 | SLV | | | | | | | 1.55 | -11249.90 | 88.03 | --- | --- | --- | --- | --- | --- | 1343.03 |
| 11 | SLV | | | | | | | 1.55 | -11024.80 | 88.03 | --- | --- | --- | --- | --- | --- | 1317.40 |
| 11 | SLV | | | | | | | 1.55 | -11024.80 | 88.03 | --- | --- | --- | --- | --- | --- | 1317.40 |
| 11 | SLV | | | | | | | 1.55 | -11013.90 | 88.03 | --- | --- | --- | --- | --- | --- | 1316.15 |
| 11 | SLV | | | | | | | 1.55 | -11013.90 | 88.03 | --- | --- | --- | --- | --- | --- | 1316.15 |
| 13 | SLV | | | | | | | 1.55 | -10592.10 | 88.03 | --- | --- | --- | --- | --- | --- | 1267.98 |
| 13 | SLV | | | | | | | 1.55 | -10592.10 | 88.03 | --- | --- | --- | --- | --- | --- | 1267.98 |
| 13 | SLV | | | | | | | 1.55 | -11446.60 | 88.03 | --- | --- | --- | --- | --- | --- | 1365.38 |
| 13 | SLV | | | | | | | 1.55 | -11446.60 | 88.03 | --- | --- | --- | --- | --- | --- | 1365.38 |
| 15 | SLV | | | | | | | 1.55 | -10659.70 | 88.03 | --- | --- | --- | --- | --- | --- | 1275.71 |
| 15 | SLV | | | | | | | 1.55 | -10659.70 | 88.03 | --- | --- | --- | --- | --- | --- | 1275.71 |
| 15 | SLV | | | | | | | 1.55 | -11379.00 | 88.03 | --- | --- | --- | --- | --- | --- | 1357.71 |
| 15 | SLV | | | | | | | 1.55 | -11379.00 | 88.03 | --- | --- | --- | --- | --- | --- | 1357.71 |

Verifiche per azioni nel piano

| CC | TCC | Zv <m> | N <daN> | M _v <daNm> | Mu <daNm> | V _{ed} <daN> | l' <m> | V _u <daN> |
|----|-----|-----------|------------|--------------------------|--------------|--------------------------|-----------|-------------------------|
| 1 | SLV | 0.00 | -11894.10 | 4400.70 | 33987.00 | 2094.63 | 6.00 | 18428.90 |
| 1 | SLV | 1.55 | -10752.20 | 2183.81 | 30871.20 | 2154.72 | 6.00 | 18259.80 |
| 1 | SLV | 0.00 | -11894.10 | -4144.50 | 33987.00 | 2094.63 | 6.00 | 18428.90 |
| 1 | SLV | 1.55 | -10752.20 | -2051.51 | 30871.20 | 2154.72 | 6.00 | 18259.80 |
| 1 | SLV | 0.00 | -12787.50 | 4400.70 | 36402.70 | 2094.63 | 6.00 | 18561.30 |
| 1 | SLV | 1.55 | -11213.40 | 2183.81 | 32133.30 | 2154.72 | 6.00 | 18328.10 |
| 1 | SLV | 0.00 | -12787.50 | -4144.50 | 36402.70 | 2094.63 | 6.00 | 18561.30 |
| 1 | SLV | 1.55 | -11213.40 | -2051.51 | 32133.30 | 2154.72 | 6.00 | 18328.10 |
| 3 | SLV | 0.00 | -12362.60 | 3317.92 | 35256.10 | 1697.20 | 6.00 | 18498.30 |
| 3 | SLV | 1.55 | -10988.30 | 1564.36 | 31517.90 | 1745.80 | 6.00 | 18294.70 |
| 3 | SLV | 0.00 | -12362.60 | -3061.71 | 35256.10 | 1697.20 | 6.00 | 18498.30 |
| 3 | SLV | 1.55 | -10988.30 | -1432.05 | 31517.90 | 1745.80 | 6.00 | 18294.70 |

BOSI E ASSOCIATI
STUDIO DI INGEGNERIA
Dott. Ing. Giovanni Bosi
Dott. Ing. Donato Musci
Dott. Ing. Davide Manenti
Dott. Ing. Nazzareno Zingarelli

**ISTITUTO ZOOPROFILATTICO SPERIMENTALE
DELLA LOMBARDIA E DELL'EMILIA ROMAGNA
“BRUNO UBERTINI”**

98-2023

**REALIZZAZIONE AMPLIAMENTO ISTITUTO
ZOOPROFILATTICO**

RELAZIONE DI CALCOLO

Pag. 42 di 76

| | | | | | | | |
|-------|------|-----------|----------|----------|---------|------|----------|
| 3SLV | 0.00 | -12319.00 | 3317.92 | 35138.30 | 1697.20 | 6.00 | 18491.90 |
| 3SLV | 1.55 | -10977.30 | 1564.36 | 31487.90 | 1745.80 | 6.00 | 18293.10 |
| 3SLV | 0.00 | -12319.00 | -3061.71 | 35138.30 | 1697.20 | 6.00 | 18491.90 |
| 3SLV | 1.55 | -10977.30 | -1432.05 | 31487.90 | 1745.80 | 6.00 | 18293.10 |
| 5SLV | 0.00 | -11496.30 | 3052.11 | 32905.10 | 1323.49 | 6.00 | 18370.00 |
| 5SLV | 1.55 | -10555.60 | 1640.96 | 30331.50 | 1361.06 | 6.00 | 18230.60 |
| 5SLV | 0.00 | -11496.30 | -2795.91 | 32905.10 | 1323.49 | 6.00 | 18370.00 |
| 5SLV | 1.55 | -10555.60 | -1508.65 | 30331.50 | 1361.06 | 6.00 | 18230.60 |
| 5SLV | 0.00 | -13185.20 | 3052.11 | 37472.20 | 1323.49 | 6.00 | 18620.20 |
| 5SLV | 1.55 | -11410.00 | 1640.96 | 32669.80 | 1361.06 | 6.00 | 18357.20 |
| 5SLV | 0.00 | -13185.20 | -2795.91 | 37472.20 | 1323.49 | 6.00 | 18620.20 |
| 5SLV | 1.55 | -11410.00 | -1508.65 | 32669.80 | 1361.06 | 6.00 | 18357.20 |
| 7SLV | 0.00 | -11623.80 | 813.38 | 33252.20 | 265.09 | 6.00 | 18388.90 |
| 7SLV | 1.55 | -10623.10 | 556.20 | 30517.00 | 271.87 | 6.00 | 18240.60 |
| 7SLV | 0.00 | -11623.80 | -557.18 | 33252.20 | 265.09 | 6.00 | 18388.90 |
| 7SLV | 1.55 | -10623.10 | -423.89 | 30517.00 | 271.87 | 6.00 | 18240.60 |
| 7SLV | 0.00 | -13057.80 | 813.38 | 37129.90 | 265.09 | 6.00 | 18601.30 |
| 7SLV | 1.55 | -11342.50 | 556.20 | 32485.70 | 271.87 | 6.00 | 18347.20 |
| 7SLV | 0.00 | -13057.80 | -557.18 | 37129.90 | 265.09 | 6.00 | 18601.30 |
| 7SLV | 1.55 | -11342.50 | -423.89 | 32485.70 | 271.87 | 6.00 | 18347.20 |
| 9SLV | 0.00 | -11945.40 | 4144.50 | 34126.20 | 2094.63 | 6.00 | 18436.50 |
| 9SLV | 1.55 | -10788.80 | 2051.51 | 30971.40 | 2154.72 | 6.00 | 18265.20 |
| 9SLV | 0.00 | -11945.40 | -4400.70 | 34126.20 | 2094.63 | 6.00 | 18436.50 |
| 9SLV | 1.55 | -10788.80 | -2183.81 | 30971.40 | 2154.72 | 6.00 | 18265.20 |
| 9SLV | 0.00 | -12838.70 | 4144.50 | 36540.80 | 2094.63 | 6.00 | 18568.90 |
| 9SLV | 1.55 | -11249.90 | 2051.51 | 32233.10 | 2154.72 | 6.00 | 18333.50 |
| 9SLV | 0.00 | -12838.70 | -4400.70 | 36540.80 | 2094.63 | 6.00 | 18568.90 |
| 9SLV | 1.55 | -11249.90 | -2183.81 | 32233.10 | 2154.72 | 6.00 | 18333.50 |
| 11SLV | 0.00 | -12413.90 | 3061.71 | 35394.80 | 1697.20 | 6.00 | 18505.90 |
| 11SLV | 1.55 | -11024.80 | 1432.05 | 31617.90 | 1745.80 | 6.00 | 18300.10 |
| 11SLV | 0.00 | -12413.90 | -3317.92 | 35394.80 | 1697.20 | 6.00 | 18505.90 |
| 11SLV | 1.55 | -11024.80 | -1564.36 | 31617.90 | 1745.80 | 6.00 | 18300.10 |
| 11SLV | 0.00 | -12370.30 | 3061.71 | 35277.10 | 1697.20 | 6.00 | 18499.50 |
| 11SLV | 1.55 | -11013.90 | 1432.05 | 31587.90 | 1745.80 | 6.00 | 18298.50 |
| 11SLV | 0.00 | -12370.30 | -3317.92 | 35277.10 | 1697.20 | 6.00 | 18499.50 |
| 11SLV | 1.55 | -11013.90 | -1564.36 | 31587.90 | 1745.80 | 6.00 | 18298.50 |
| 13SLV | 0.00 | -11547.60 | 2795.91 | 33044.90 | 1323.49 | 6.00 | 18377.60 |
| 13SLV | 1.55 | -10592.10 | 1508.65 | 30431.90 | 1361.06 | 6.00 | 18236.00 |
| 13SLV | 0.00 | -11547.60 | -3052.11 | 33044.90 | 1323.49 | 6.00 | 18377.60 |
| 13SLV | 1.55 | -10592.10 | -1640.96 | 30431.90 | 1361.06 | 6.00 | 18236.00 |
| 13SLV | 0.00 | -13236.50 | 2795.91 | 37609.90 | 1323.49 | 6.00 | 18627.80 |
| 13SLV | 1.55 | -11446.60 | 1508.65 | 32769.50 | 1361.06 | 6.00 | 18362.60 |
| 13SLV | 0.00 | -13236.50 | -3052.11 | 37609.90 | 1323.49 | 6.00 | 18627.80 |
| 13SLV | 1.55 | -11446.60 | -1640.96 | 32769.50 | 1361.06 | 6.00 | 18362.60 |
| 15SLV | 0.00 | -11675.10 | 557.18 | 33391.80 | 265.09 | 6.00 | 18396.50 |
| 15SLV | 1.55 | -10659.70 | 423.89 | 30617.30 | 271.87 | 6.00 | 18246.00 |
| 15SLV | 0.00 | -11675.10 | -813.38 | 33391.80 | 265.09 | 6.00 | 18396.50 |
| 15SLV | 1.55 | -10659.70 | -556.20 | 30617.30 | 271.87 | 6.00 | 18246.00 |
| 15SLV | 0.00 | -13109.10 | 557.18 | 37267.70 | 265.09 | 6.00 | 18608.90 |
| 15SLV | 1.55 | -11379.00 | 423.89 | 32585.40 | 271.87 | 6.00 | 18352.60 |
| 15SLV | 0.00 | -13109.10 | -813.38 | 37267.70 | 265.09 | 6.00 | 18608.90 |
| 15SLV | 1.55 | -11379.00 | -556.20 | 32585.40 | 271.87 | 6.00 | 18352.60 |

Verifiche deformazioni

| Zi <m> | Zf <m> | C C | TC C | δ <cm > | h <m> | δ/h | Sic. |
|-----------|-----------|--------|---------|---------------|----------|-----|--------|
| 0.0 | 3.1 | 2 | SL | 0.0 | 2.8 | 0.0 | 74.076 |
| 0 | 0 | D | | 1 | 5 | 3 | |
| 0.0 | 3.1 | 8 | SL | 0.0 | 2.8 | 0.0 | 62.512 |
| 0 | 0 | D | | 1 | 5 | 3 | |
| 0.0 | 3.1 | 1 | SL | 0.0 | 2.8 | 0.0 | 51.003 |
| 0 | 0 | D | | 1 | 5 | 4 | |

| Zi <m> | Zf <m> | C C | TC C | δ <cm > | h <m> | δ/h | Sic. |
|-----------|-----------|--------|---------|---------------|----------|-----|--------|
| 0.0 | 3.1 | 4 | SL | 0.0 | 2.8 | 0.0 | 113.36 |
| 0 | 0 | D | | 1 | 5 | 2 | |
| 0.0 | 3.1 | 1 | SL | 0.0 | 2.8 | 0.0 | 73.302 |
| 0 | 0 | D | | 1 | 5 | 3 | |
| 0.0 | 3.1 | 1 | SL | 0.0 | 2.8 | 0.0 | 60.991 |
| 0 | 0 | D | | 1 | 5 | 3 | |

| Zi <m> | Zf <m> | C C | TC C | δ <cm > | h <m> | δ/h | Sic. |
|-----------|-----------|--------|---------|---------------|----------|-----|--------|
| 0.0 | 3.1 | 6 | SL | 0.0 | 2.8 | 0.0 | 51.819 |
| 0 | 0 | D | | 1 | 5 | 4 | |
| 0.0 | 3.1 | 1 | SL | 0.0 | 2.8 | 0.0 | 108.66 |
| 0 | 0 | D | | 1 | 5 | 2 | |

| | | | | | | | | | | | | | | | |
|---|--|--|--|--|--|--|--|--|--|--|--|--|--|----------------------|--|
| BOSI E ASSOCIATI STUDIO DI INGEGNERIA Dott. Ing. Giovanni Bosi Dott. Ing. Donato Musci Dott. Ing. Davide Manenti Dott. Ing. Nazzareno Zingarelli | ISTITUTO ZOOPROFILATTICO SPERIMENTALE DELLA LOMBARDIA E DELL'EMILIA ROMAGNA “BRUNO UBERTINI” | | | | | | | | | | | | | 98-2023 | |
| | REALIZZAZIONE AMPLIAMENTO ISTITUTO ZOOPROFILATTICO | | | | | | | | | | | | | RELAZIONE DI CALCOLO | |
| | | | | | | | | | | | | | | Pag. 43 di 76 | |
| | | | | | | | | | | | | | | | |

Maschio n. 102S (ver. sismiche)

Xg=0.45 <m> Yg=4.88 <m> L=0.90 <m>

Configurazione geometrica e caratteristiche dei materiali utilizzati

| Zi <m> | Zf <m> | Spess. <cm> | h <m> | d ₁ <cm> | S _{sx} <cm> | d ₂ <cm> | S _{dx} <cm> | d ₂ <cm> | e _a <cm> | a <m> | p | λ | f _k <daN/cmq> | f _d SLU <daN/cmq> | f _d SLV <daN/cmq> | f _{vK0} <daN/cmq> | f _{vd0} SLU <daN/cmq> | f _{vd0} SLV <daN/cmq> |
|-----------|-----------|----------------|----------|------------------------|-------------------------|------------------------|-------------------------|------------------------|------------------------|----------|------|-------|-----------------------------|---------------------------------|---------------------------------|-------------------------------|-----------------------------------|-----------------------------------|
| 0.00 | 3.10 | 25.00 | 2.85 | 100 | 7.00 | | | | 1.43 | 0.00 | 1.00 | 11.40 | 53.00 | 19.63 | 19.63 | 3.00 | 1.11 | 1.11 |

Verifiche per carichi verticali ed azioni ortogonali

| CC | TCC | N1 <daN> | e _{s1} <cm> | ΣN2 _{sx} <daN> | ΣN2 _{dx} <daN> | e _{s2} <cm> | e ₁ <cm> | Zv <m> | N <daN> | M _v <daNm> | e _v <cm> | e ₂ <cm> | e <cm> | m | Φ _t | Nu <daN> | Mu <daNm> |
|----|-----|-------------|-------------------------|----------------------------|----------------------------|-------------------------|------------------------|-----------|------------|--------------------------|------------------------|------------------------|-----------|-----|----------------|-------------|--------------|
| 1 | SLV | | | | | | | 1.55 | -1882.61 | 13.20 | --- | --- | --- | --- | --- | 223.53 | |
| 1 | SLV | | | | | | | 1.55 | -1882.61 | 13.20 | --- | --- | --- | --- | --- | 223.53 | |
| 1 | SLV | | | | | | | 1.55 | -2894.91 | 13.20 | --- | --- | --- | --- | --- | 333.96 | |
| 1 | SLV | | | | | | | 1.55 | -2894.91 | 13.20 | --- | --- | --- | --- | --- | 333.96 | |
| 3 | SLV | | | | | | | 1.55 | -2371.68 | 13.20 | --- | --- | --- | --- | --- | 277.73 | |
| 3 | SLV | | | | | | | 1.55 | -2371.68 | 13.20 | --- | --- | --- | --- | --- | 277.73 | |
| 3 | SLV | | | | | | | 1.55 | -2405.84 | 13.20 | --- | --- | --- | --- | --- | 281.46 | |
| 3 | SLV | | | | | | | 1.55 | -2405.84 | 13.20 | --- | --- | --- | --- | --- | 281.46 | |
| 5 | SLV | | | | | | | 1.55 | -1495.16 | 13.20 | --- | --- | --- | --- | --- | 179.45 | |
| 5 | SLV | | | | | | | 1.55 | -1495.16 | 13.20 | --- | --- | --- | --- | --- | 179.45 | |
| 5 | SLV | | | | | | | 1.55 | -3282.36 | 13.20 | --- | --- | --- | --- | --- | 374.42 | |
| 5 | SLV | | | | | | | 1.55 | -3282.36 | 13.20 | --- | --- | --- | --- | --- | 374.42 | |
| 7 | SLV | | | | | | | 1.55 | -1652.13 | 13.20 | --- | --- | --- | --- | --- | 197.43 | |
| 7 | SLV | | | | | | | 1.55 | -1652.13 | 13.20 | --- | --- | --- | --- | --- | 197.43 | |
| 7 | SLV | | | | | | | 1.55 | -3125.39 | 13.20 | --- | --- | --- | --- | --- | 358.15 | |
| 7 | SLV | | | | | | | 1.55 | -3125.39 | 13.20 | --- | --- | --- | --- | --- | 358.15 | |
| 9 | SLV | | | | | | | 1.55 | -2020.84 | 13.20 | --- | --- | --- | --- | --- | 239.01 | |
| 9 | SLV | | | | | | | 1.55 | -2020.84 | 13.20 | --- | --- | --- | --- | --- | 239.01 | |
| 9 | SLV | | | | | | | 1.55 | -3033.13 | 13.20 | --- | --- | --- | --- | --- | 348.51 | |
| 9 | SLV | | | | | | | 1.55 | -3033.13 | 13.20 | --- | --- | --- | --- | --- | 348.51 | |
| 11 | SLV | | | | | | | 1.55 | -2509.91 | 13.20 | --- | --- | --- | --- | --- | 292.76 | |
| 11 | SLV | | | | | | | 1.55 | -2509.91 | 13.20 | --- | --- | --- | --- | --- | 292.76 | |
| 11 | SLV | | | | | | | 1.55 | -2544.06 | 13.20 | --- | --- | --- | --- | --- | 296.46 | |
| 11 | SLV | | | | | | | 1.55 | -2544.06 | 13.20 | --- | --- | --- | --- | --- | 296.46 | |
| 13 | SLV | | | | | | | 1.55 | -1633.38 | 13.20 | --- | --- | --- | --- | --- | 195.29 | |
| 13 | SLV | | | | | | | 1.55 | -1633.38 | 13.20 | --- | --- | --- | --- | --- | 195.29 | |
| 13 | SLV | | | | | | | 1.55 | -3420.59 | 13.20 | --- | --- | --- | --- | --- | 388.62 | |
| 13 | SLV | | | | | | | 1.55 | -3420.59 | 13.20 | --- | --- | --- | --- | --- | 388.62 | |
| 15 | SLV | | | | | | | 1.55 | -1790.35 | 13.20 | --- | --- | --- | --- | --- | 213.12 | |
| 15 | SLV | | | | | | | 1.55 | -1790.35 | 13.20 | --- | --- | --- | --- | --- | 213.12 | |
| 15 | SLV | | | | | | | 1.55 | -3263.62 | 13.20 | --- | --- | --- | --- | --- | 372.49 | |
| 15 | SLV | | | | | | | 1.55 | -3263.62 | 13.20 | --- | --- | --- | --- | --- | 372.49 | |

Verifiche per azioni nel piano

| CC | TCC | Zv <m> | N <daN> | M _v <daNm> | Mu <daNm> | V _{Ed} <daN> | l' <m> | V _u <daN> |
|----|-----|-----------|------------|--------------------------|--------------|--------------------------|-----------|-------------------------|
| 1 | SLV | 0.00 | -1413.02 | 36.93 | 611.92 | 94.02 | 0.90 | 2709.34 |
| 1 | SLV | 1.55 | -1882.61 | 61.62 | 804.69 | 283.30 | 0.90 | 2778.91 |
| 1 | SLV | 0.00 | -1413.02 | -37.63 | 611.92 | 94.02 | 0.90 | 2709.34 |
| 1 | SLV | 1.55 | -1882.61 | -74.46 | 804.69 | 283.30 | 0.90 | 2778.91 |
| 1 | SLV | 0.00 | -2301.98 | 36.93 | 972.37 | 94.02 | 0.90 | 2841.03 |
| 1 | SLV | 1.55 | -2894.91 | 61.62 | 1202.25 | 283.30 | 0.90 | 2928.88 |
| 1 | SLV | 0.00 | -2301.98 | -37.63 | 972.37 | 94.02 | 0.90 | 2841.03 |
| 1 | SLV | 1.55 | -2894.91 | -74.46 | 1202.25 | 283.30 | 0.90 | 2928.88 |
| 3 | SLV | 0.00 | -1911.64 | 27.67 | 816.43 | 12.89 | 0.90 | 2783.21 |
| 3 | SLV | 1.55 | -2371.68 | 24.37 | 999.83 | 88.08 | 0.90 | 2851.36 |
| 3 | SLV | 0.00 | -1911.64 | -28.36 | 816.43 | 12.89 | 0.90 | 2783.21 |
| 3 | SLV | 1.55 | -2371.68 | -37.20 | 999.83 | 88.08 | 0.90 | 2851.36 |
| 3 | SLV | 0.00 | -1803.36 | 27.67 | 772.53 | 12.89 | 0.90 | 2767.16 |
| 3 | SLV | 1.55 | -2405.84 | 24.37 | 1013.25 | 88.08 | 0.90 | 2856.42 |
| 3 | SLV | 0.00 | -1803.36 | -28.36 | 772.53 | 12.89 | 0.90 | 2767.16 |
| 3 | SLV | 1.55 | -2405.84 | -37.20 | 1013.25 | 88.08 | 0.90 | 2856.42 |
| 5 | SLV | 0.00 | -967.91 | 24.89 | 424.33 | 159.46 | 0.90 | 2643.39 |
| 5 | SLV | 1.55 | -1495.16 | 70.50 | 646.02 | 402.05 | 0.90 | 2721.50 |
| 5 | SLV | 0.00 | -967.91 | -25.58 | 424.33 | 159.46 | 0.90 | 2643.39 |
| 5 | SLV | 1.55 | -1495.16 | -83.34 | 646.02 | 402.05 | 0.90 | 2721.50 |

BOSI E ASSOCIATI
STUDIO DI INGEGNERIA
Dott. Ing. Giovanni Bosi
Dott. Ing. Donato Musci
Dott. Ing. Davide Manenti
Dott. Ing. Nazzareno Zingarelli

**ISTITUTO ZOOPROFILATTICO SPERIMENTALE
DELLA LOMBARDIA E DELL'EMILIA ROMAGNA
“BRUNO UBERTINI”**

98-2023

**REALIZZAZIONE AMPLIAMENTO ISTITUTO
ZOOPROFILATTICO**

RELAZIONE DI CALCOLO

Pag. 44 di 76

| | | | | | | | |
|-------|------|----------|--------|---------|--------|------|---------|
| 5SLV | 0.00 | -2747.09 | 24.89 | 1145.73 | 159.46 | 0.90 | 2906.98 |
| 5SLV | 1.55 | -3282.36 | 70.50 | 1347.92 | 402.05 | 0.90 | 2986.28 |
| 5SLV | 0.00 | -2747.09 | -25.58 | 1145.73 | 159.46 | 0.90 | 2906.98 |
| 5SLV | 1.55 | -3282.36 | -83.34 | 1347.92 | 402.05 | 0.90 | 2986.28 |
| 7SLV | 0.00 | -1085.01 | 5.30 | 474.14 | 134.42 | 0.90 | 2660.74 |
| 7SLV | 1.55 | -1652.13 | 40.86 | 710.74 | 308.62 | 0.90 | 2744.76 |
| 7SLV | 0.00 | -1085.01 | -5.99 | 474.14 | 134.42 | 0.90 | 2660.74 |
| 7SLV | 1.55 | -1652.13 | -53.69 | 710.74 | 308.62 | 0.90 | 2744.76 |
| 7SLV | 0.00 | -2629.99 | 5.30 | 1100.59 | 134.42 | 0.90 | 2889.63 |
| 7SLV | 1.55 | -3125.39 | 40.86 | 1289.34 | 308.62 | 0.90 | 2963.02 |
| 7SLV | 0.00 | -2629.99 | -5.99 | 1100.59 | 134.42 | 0.90 | 2889.63 |
| 7SLV | 1.55 | -3125.39 | -53.69 | 1289.34 | 308.62 | 0.90 | 2963.02 |
| 9SLV | 0.00 | -1541.06 | 37.63 | 665.01 | 94.02 | 0.90 | 2728.31 |
| 9SLV | 1.55 | -2020.84 | 74.46 | 860.42 | 283.30 | 0.90 | 2799.38 |
| 9SLV | 0.00 | -1541.06 | -36.93 | 665.01 | 94.02 | 0.90 | 2728.31 |
| 9SLV | 1.55 | -2020.84 | -61.62 | 860.42 | 283.30 | 0.90 | 2799.38 |
| 9SLV | 0.00 | -2430.03 | 37.63 | 1022.73 | 94.02 | 0.90 | 2860.00 |
| 9SLV | 1.55 | -3033.13 | 74.46 | 1254.63 | 283.30 | 0.90 | 2949.35 |
| 9SLV | 0.00 | -2430.03 | -36.93 | 1022.73 | 94.02 | 0.90 | 2860.00 |
| 9SLV | 1.55 | -3033.13 | -61.62 | 1254.63 | 283.30 | 0.90 | 2949.35 |
| 11SLV | 0.00 | -2039.69 | 28.36 | 867.99 | 12.89 | 0.90 | 2802.18 |
| 11SLV | 1.55 | -2509.91 | 37.20 | 1053.95 | 88.08 | 0.90 | 2871.84 |
| 11SLV | 0.00 | -2039.69 | -27.67 | 867.99 | 12.89 | 0.90 | 2802.18 |
| 11SLV | 1.55 | -2509.91 | -24.37 | 1053.95 | 88.08 | 0.90 | 2871.84 |
| 11SLV | 0.00 | -1931.40 | 28.36 | 824.42 | 12.89 | 0.90 | 2786.13 |
| 11SLV | 1.55 | -2544.06 | 37.20 | 1067.25 | 88.08 | 0.90 | 2876.90 |
| 11SLV | 0.00 | -1931.40 | -27.67 | 824.42 | 12.89 | 0.90 | 2786.13 |
| 11SLV | 1.55 | -2544.06 | -24.37 | 1067.25 | 88.08 | 0.90 | 2876.90 |
| 13SLV | 0.00 | -1095.95 | 25.58 | 478.78 | 159.46 | 0.90 | 2662.36 |
| 13SLV | 1.55 | -1633.38 | 83.34 | 703.04 | 402.05 | 0.90 | 2741.98 |
| 13SLV | 0.00 | -1095.95 | -24.89 | 478.78 | 159.46 | 0.90 | 2662.36 |
| 13SLV | 1.55 | -1633.38 | -70.50 | 703.04 | 402.05 | 0.90 | 2741.98 |
| 13SLV | 0.00 | -2875.14 | 25.58 | 1194.73 | 159.46 | 0.90 | 2925.95 |
| 13SLV | 1.55 | -3420.59 | 83.34 | 1399.01 | 402.05 | 0.90 | 3006.75 |
| 13SLV | 0.00 | -2875.14 | -24.89 | 1194.73 | 159.46 | 0.90 | 2925.95 |
| 13SLV | 1.55 | -3420.59 | -70.50 | 1399.01 | 402.05 | 0.90 | 3006.75 |
| 15SLV | 0.00 | -1213.05 | 5.99 | 528.24 | 134.42 | 0.90 | 2679.71 |
| 15SLV | 1.55 | -1790.35 | 53.69 | 767.24 | 308.62 | 0.90 | 2765.24 |
| 15SLV | 0.00 | -1213.05 | -5.30 | 528.24 | 134.42 | 0.90 | 2679.71 |
| 15SLV | 1.55 | -1790.35 | -40.86 | 767.24 | 308.62 | 0.90 | 2765.24 |
| 15SLV | 0.00 | -2758.04 | 5.99 | 1149.94 | 134.42 | 0.90 | 2908.60 |
| 15SLV | 1.55 | -3263.62 | 53.69 | 1340.96 | 308.62 | 0.90 | 2983.50 |
| 15SLV | 0.00 | -2758.04 | -5.30 | 1149.94 | 134.42 | 0.90 | 2908.60 |
| 15SLV | 1.55 | -3263.62 | -40.86 | 1340.96 | 308.62 | 0.90 | 2983.50 |

Verifiche deformazioni

| Zi <m> | Zf <m> | C C | TC C | δ <cm> | h <m> | δ/h | Sic. |
|-----------|-----------|--------|---------|-----------|----------|--------|------|
| 0.0 | 3.1 | 2SL | 0.0 | 2.8 | 0.0 | 52.783 | |
| 0 | 0 | D | 1 | 5 | 4 | | |
| 0.0 | 3.1 | 8SL | 0.0 | 2.8 | 0.0 | 44.295 | |
| 0 | 0 | D | 1 | 5 | 5 | | |
| 0.0 | 3.1 | 1SL | 0.0 | 2.8 | 0.0 | 34.646 | |
| 0 | 0 | 4D | 2 | 5 | 6 | | |

| Zi <m> | Zf <m> | C C | TC C | δ <cm> | h <m> | δ/h | Sic. |
|-----------|-----------|--------|---------|-----------|----------|--------|------|
| 0.0 | 3.1 | 4SL | 0.0 | 2.8 | 0.0 | 107.43 | |
| 0 | 0 | D | 1 | 5 | 2 | | |
| 0.0 | 3.1 | 1SL | 0.0 | 2.8 | 0.0 | 49.965 | |
| 0 | 0 | D | 1 | 5 | 4 | | |
| 0.0 | 3.1 | 1SL | 0.0 | 2.8 | 0.0 | 42.406 | |
| 0 | 0 | 6D | 1 | 5 | 5 | | |

| Zi <m> | Zf <m> | C C | TC C | δ <cm> | h <m> | δ/h | Sic. |
|-----------|-----------|--------|---------|-----------|----------|--------|------|
| 0.0 | 3.1 | 6SL | 0.0 | 2.8 | 0.0 | 35.970 | |
| 0 | 0 | D | 2 | 5 | 6 | | |
| 0.0 | 3.1 | 1SL | 0.0 | 2.8 | 0.0 | 110.23 | |
| 0 | 0 | 2D | 1 | 5 | 2 | | |

Maschio n. 103S (ver. sismiche)

Xg=4.50 <m> Yg=4.88 <m> L=3.00 <m>

Configurazione geometrica e caratteristiche dei materiali utilizzati

| Zi <m> | Zf <m> | Spess. <cm> | h <m> | d ₁ <cm> | S _{sx} <cm> | d ₂ <cm> | S _{dx} <cm> | d ₂ <cm> | e _a <m> | a <daN/cmq> | p <daN/cmq> | λ <daN/cmq> | f _d <daN/cmq> | f _d <daN/cmq> | f _{vK0} <daN/cmq> | f _{vdo} <daN/cmq> | f _{vdo} <daN/cmq> |
|-----------|-----------|----------------|----------|------------------------|-------------------------|------------------------|-------------------------|------------------------|-----------------------|----------------|----------------|----------------|-----------------------------|-----------------------------|-------------------------------|-------------------------------|-------------------------------|
| 0.00 | 3.10 | 25.00 | 2.85 | 100 | 7.00 | | 1.43 | 0.00 | 1.00 | 11.40 | 53.00 | 19.63 | 19.63 | 3.00 | 1.11 | 1.11 | |

Verifiche per carichi verticali ed azioni ortogonali

| CC | TCC | N1 <daN> | e _{s1} <cm> | ΣN2 _{sx} <daN> | ΣN2 _{dx} <daN> | e _{s2} <cm> | e ₁ <m> | Zv | N <daN> | M _v <daNm> | e _v <cm> | e ₂ <cm> | e <cm> | m | Φ _t | Nu <daN> | Mu <daNm> |
|----|-----|-------------|-------------------------|----------------------------|----------------------------|-------------------------|-----------------------|----|------------|--------------------------|------------------------|------------------------|-----------|---|----------------|-------------|--------------|
|----|-----|-------------|-------------------------|----------------------------|----------------------------|-------------------------|-----------------------|----|------------|--------------------------|------------------------|------------------------|-----------|---|----------------|-------------|--------------|

BOSI E ASSOCIATI
STUDIO DI INGEGNERIA
Dott. Ing. Giovanni Bosi
Dott. Ing. Donato Musci
Dott. Ing. Davide Manenti
Dott. Ing. Nazzareno Zingarelli

**ISTITUTO ZOOPROFILATTICO SPERIMENTALE
DELLA LOMBARDIA E DELL'EMILIA ROMAGNA
“BRUNO UBERTINI”**

98-2023

**REALIZZAZIONE AMPLIAMENTO ISTITUTO
ZOOPROFILATTICO**

RELAZIONE DI CALCOLO

Pag. 45 di 76

| | | | | | | | | | | | | | | |
|-------|--|--|--|--|------|----------|-------|-----|-----|-----|-----|-----|-----|--------|
| 1SLV | | | | | 1.55 | -6553.72 | 44.01 | --- | --- | --- | --- | --- | --- | 776.31 |
| 1SLV | | | | | 1.55 | -6553.72 | 44.01 | --- | --- | --- | --- | --- | --- | 776.31 |
| 1SLV | | | | | 1.55 | -7968.00 | 44.01 | --- | --- | --- | --- | --- | --- | 932.58 |
| 1SLV | | | | | 1.55 | -7968.00 | 44.01 | --- | --- | --- | --- | --- | --- | 932.58 |
| 3SLV | | | | | 1.55 | -6680.79 | 44.01 | --- | --- | --- | --- | --- | --- | 790.51 |
| 3SLV | | | | | 1.55 | -6680.79 | 44.01 | --- | --- | --- | --- | --- | --- | 790.51 |
| 3SLV | | | | | 1.55 | -7840.94 | 44.01 | --- | --- | --- | --- | --- | --- | 918.71 |
| 3SLV | | | | | 1.55 | -7840.94 | 44.01 | --- | --- | --- | --- | --- | --- | 918.71 |
| 5SLV | | | | | 1.55 | -6856.01 | 44.01 | --- | --- | --- | --- | --- | --- | 810.05 |
| 5SLV | | | | | 1.55 | -6856.01 | 44.01 | --- | --- | --- | --- | --- | --- | 810.05 |
| 5SLV | | | | | 1.55 | -7665.71 | 44.01 | --- | --- | --- | --- | --- | --- | 899.52 |
| 5SLV | | | | | 1.55 | -7665.71 | 44.01 | --- | --- | --- | --- | --- | --- | 899.52 |
| 7SLV | | | | | 1.55 | -7242.18 | 44.01 | --- | --- | --- | --- | --- | --- | 852.88 |
| 7SLV | | | | | 1.55 | -7242.18 | 44.01 | --- | --- | --- | --- | --- | --- | 852.88 |
| 7SLV | | | | | 1.55 | -7279.55 | 44.01 | --- | --- | --- | --- | --- | --- | 857.01 |
| 7SLV | | | | | 1.55 | -7279.55 | 44.01 | --- | --- | --- | --- | --- | --- | 857.01 |
| 9SLV | | | | | 1.55 | -6437.15 | 44.01 | --- | --- | --- | --- | --- | --- | 763.25 |
| 9SLV | | | | | 1.55 | -6437.15 | 44.01 | --- | --- | --- | --- | --- | --- | 763.25 |
| 9SLV | | | | | 1.55 | -7851.43 | 44.01 | --- | --- | --- | --- | --- | --- | 919.85 |
| 9SLV | | | | | 1.55 | -7851.43 | 44.01 | --- | --- | --- | --- | --- | --- | 919.85 |
| 11SLV | | | | | 1.55 | -6564.21 | 44.01 | --- | --- | --- | --- | --- | --- | 777.49 |
| 11SLV | | | | | 1.55 | -6564.21 | 44.01 | --- | --- | --- | --- | --- | --- | 777.49 |
| 11SLV | | | | | 1.55 | -7724.37 | 44.01 | --- | --- | --- | --- | --- | --- | 905.95 |
| 11SLV | | | | | 1.55 | -7724.37 | 44.01 | --- | --- | --- | --- | --- | --- | 905.95 |
| 13SLV | | | | | 1.55 | -6739.44 | 44.01 | --- | --- | --- | --- | --- | --- | 797.06 |
| 13SLV | | | | | 1.55 | -6739.44 | 44.01 | --- | --- | --- | --- | --- | --- | 797.06 |
| 13SLV | | | | | 1.55 | -7549.14 | 44.01 | --- | --- | --- | --- | --- | --- | 886.72 |
| 13SLV | | | | | 1.55 | -7549.14 | 44.01 | --- | --- | --- | --- | --- | --- | 886.72 |
| 15SLV | | | | | 1.55 | -7125.60 | 44.01 | --- | --- | --- | --- | --- | --- | 839.98 |
| 15SLV | | | | | 1.55 | -7125.60 | 44.01 | --- | --- | --- | --- | --- | --- | 839.98 |
| 15SLV | | | | | 1.55 | -7162.97 | 44.01 | --- | --- | --- | --- | --- | --- | 844.12 |
| 15SLV | | | | | 1.55 | -7162.97 | 44.01 | --- | --- | --- | --- | --- | --- | 844.12 |

Verifiche per azioni nel piano

| CC | TCC | Zv <m> | N <daN> | Mv <daNm> | Mu <daNm> | Ved <daN> | l' <m> | Vu <daN> |
|------|------|-----------|------------|--------------|--------------|--------------|-----------|-------------|
| 1SLV | 0.00 | -6362.67 | 1184.38 | 9058.74 | 948.99 | 3.00 | 9275.95 | |
| 1SLV | 1.55 | -6553.72 | 997.43 | 9315.74 | 1455.47 | 3.00 | 9304.26 | |
| 1SLV | 0.00 | -6362.67 | -1366.27 | 9058.74 | 948.99 | 3.00 | 9275.95 | |
| 1SLV | 1.55 | -6553.72 | -1158.21 | 9315.74 | 1455.47 | 3.00 | 9304.26 | |
| 1SLV | 0.00 | -7763.58 | 1184.38 | 10922.90 | 948.99 | 3.00 | 9483.49 | |
| 1SLV | 1.55 | -7968.00 | 997.43 | 11191.00 | 1455.47 | 3.00 | 9513.78 | |
| 1SLV | 0.00 | -7763.58 | -1366.27 | 10922.90 | 948.99 | 3.00 | 9483.49 | |
| 1SLV | 1.55 | -7968.00 | -1158.21 | 11191.00 | 1455.47 | 3.00 | 9513.78 | |
| 3SLV | 0.00 | -6619.87 | 496.32 | 9404.52 | 707.39 | 3.00 | 9314.05 | |
| 3SLV | 1.55 | -6680.79 | 482.37 | 9486.18 | 1048.38 | 3.00 | 9323.08 | |
| 3SLV | 0.00 | -6619.87 | -678.22 | 9404.52 | 707.39 | 3.00 | 9314.05 | |
| 3SLV | 1.55 | -6680.79 | -643.15 | 9486.18 | 1048.38 | 3.00 | 9323.08 | |
| 3SLV | 0.00 | -7506.38 | 496.32 | 10584.20 | 707.39 | 3.00 | 9445.39 | |
| 3SLV | 1.55 | -7840.94 | 482.37 | 11024.50 | 1048.38 | 3.00 | 9494.96 | |
| 3SLV | 0.00 | -7506.38 | -678.22 | 10584.20 | 707.39 | 3.00 | 9445.39 | |
| 3SLV | 1.55 | -7840.94 | -643.15 | 11024.50 | 1048.38 | 3.00 | 9494.96 | |
| 5SLV | 0.00 | -6462.91 | 1335.20 | 9193.69 | 701.84 | 3.00 | 9290.80 | |
| 5SLV | 1.55 | -6856.01 | 1024.13 | 9720.59 | 1130.96 | 3.00 | 9349.04 | |
| 5SLV | 0.00 | -6462.91 | -1517.09 | 9193.69 | 701.84 | 3.00 | 9290.80 | |
| 5SLV | 1.55 | -6856.01 | -1184.91 | 9720.59 | 1130.96 | 3.00 | 9349.04 | |
| 5SLV | 0.00 | -7663.35 | 1335.20 | 10791.10 | 701.84 | 3.00 | 9468.64 | |
| 5SLV | 1.55 | -7663.35 | 1024.13 | 10794.20 | 1130.96 | 3.00 | 9468.99 | |
| 5SLV | 0.00 | -7663.35 | -1517.09 | 10791.10 | 701.84 | 3.00 | 9468.64 | |
| 5SLV | 1.55 | -7665.71 | -1184.91 | 10794.20 | 1130.96 | 3.00 | 9468.99 | |
| 7SLV | 0.00 | -6806.02 | 776.42 | 9653.79 | 248.40 | 3.00 | 9341.63 | |
| 7SLV | 1.55 | -7242.18 | 531.96 | 10234.60 | 445.72 | 3.00 | 9406.25 | |
| 7SLV | 0.00 | -6806.02 | -958.32 | 9653.79 | 248.40 | 3.00 | 9341.63 | |
| 7SLV | 1.55 | -7242.18 | -692.74 | 10234.60 | 445.72 | 3.00 | 9406.25 | |
| 7SLV | 0.00 | -7320.23 | 776.42 | 10338.00 | 248.40 | 3.00 | 9417.81 | |
| 7SLV | 1.55 | -7279.55 | 531.96 | 10284.10 | 445.72 | 3.00 | 9411.78 | |
| 7SLV | 0.00 | -7320.23 | -958.32 | 10338.00 | 248.40 | 3.00 | 9417.81 | |
| 7SLV | 1.55 | -7279.55 | -692.74 | 10284.10 | 445.72 | 3.00 | 9411.78 | |
| 9SLV | 0.00 | -6264.49 | 1366.27 | 8926.33 | 948.99 | 3.00 | 9261.41 | |
| 9SLV | 1.55 | -6437.15 | 1158.21 | 9159.03 | 1455.47 | 3.00 | 9286.99 | |
| 9SLV | 0.00 | -6264.49 | -1184.38 | 8926.33 | 948.99 | 3.00 | 9261.41 | |

BOSI E ASSOCIATI
STUDIO DI INGEGNERIA
Dott. Ing. Giovanni Bosi
Dott. Ing. Donato Musci
Dott. Ing. Davide Manenti
Dott. Ing. Nazzareno Zingarelli

**ISTITUTO ZOOPROFILATTICO SPERIMENTALE
DELLA LOMBARDIA E DELL'EMILIA ROMAGNA
"BRUNO UBERTINI"**

98-2023

**REALIZZAZIONE AMPLIAMENTO ISTITUTO
ZOOPROFILATTICO**

RELAZIONE DI CALCOLO

Pag. 46 di 76

| | | | | | | | |
|-------|------|----------|----------|----------|---------|------|---------|
| 9SLV | 1.55 | -6437.15 | -997.43 | 9159.03 | 1455.47 | 3.00 | 9286.99 |
| 9SLV | 0.00 | -7665.39 | 1366.27 | 10793.80 | 948.99 | 3.00 | 9468.95 |
| 9SLV | 1.55 | -7851.43 | 1158.21 | 11038.20 | 1455.47 | 3.00 | 9496.51 |
| 9SLV | 0.00 | -7665.39 | -1184.38 | 10793.80 | 948.99 | 3.00 | 9468.95 |
| 9SLV | 1.55 | -7851.43 | -997.43 | 11038.20 | 1455.47 | 3.00 | 9496.51 |
| 11SLV | 0.00 | -6521.68 | 678.22 | 9272.70 | 707.39 | 3.00 | 9299.51 |
| 11SLV | 1.55 | -6564.21 | 643.15 | 9329.82 | 1048.38 | 3.00 | 9305.81 |
| 11SLV | 0.00 | -6521.68 | -496.32 | 9272.70 | 707.39 | 3.00 | 9299.51 |
| 11SLV | 1.55 | -6564.21 | -482.37 | 9329.82 | 1048.38 | 3.00 | 9305.81 |
| 11SLV | 0.00 | -7408.20 | 678.22 | 10454.40 | 707.39 | 3.00 | 9430.84 |
| 11SLV | 1.55 | -7724.37 | 643.15 | 10871.40 | 1048.38 | 3.00 | 9477.68 |
| 11SLV | 0.00 | -7408.20 | -496.32 | 10454.40 | 707.39 | 3.00 | 9430.84 |
| 11SLV | 1.55 | -7724.37 | -482.37 | 10871.40 | 1048.38 | 3.00 | 9477.68 |
| 13SLV | 0.00 | -6364.72 | 1517.09 | 9061.50 | 701.84 | 3.00 | 9276.25 |
| 13SLV | 1.55 | -6739.44 | 1184.91 | 9564.72 | 1130.96 | 3.00 | 9331.77 |
| 13SLV | 0.00 | -6364.72 | -1335.20 | 9061.50 | 701.84 | 3.00 | 9276.25 |
| 13SLV | 1.55 | -6739.44 | -1024.13 | 9564.72 | 1130.96 | 3.00 | 9331.77 |
| 13SLV | 0.00 | -7565.16 | 1517.09 | 10661.70 | 701.84 | 3.00 | 9454.10 |
| 13SLV | 1.55 | -7549.14 | 1184.91 | 10640.60 | 1130.96 | 3.00 | 9451.72 |
| 13SLV | 0.00 | -7565.16 | -1335.20 | 10661.70 | 701.84 | 3.00 | 9454.10 |
| 13SLV | 1.55 | -7549.14 | -1024.13 | 10640.60 | 1130.96 | 3.00 | 9451.72 |
| 15SLV | 0.00 | -6707.83 | 958.32 | 9522.41 | 248.40 | 3.00 | 9327.09 |
| 15SLV | 1.55 | -7125.60 | 692.74 | 10079.80 | 445.72 | 3.00 | 9388.98 |
| 15SLV | 0.00 | -6707.83 | -776.42 | 9522.41 | 248.40 | 3.00 | 9327.09 |
| 15SLV | 1.55 | -7125.60 | -531.96 | 10079.80 | 445.72 | 3.00 | 9388.98 |
| 15SLV | 0.00 | -7222.05 | 958.32 | 10207.90 | 248.40 | 3.00 | 9403.27 |
| 15SLV | 1.55 | -7162.97 | 692.74 | 10129.40 | 445.72 | 3.00 | 9394.51 |
| 15SLV | 0.00 | -7222.05 | -776.42 | 10207.90 | 248.40 | 3.00 | 9403.27 |
| 15SLV | 1.55 | -7162.97 | -531.96 | 10129.40 | 445.72 | 3.00 | 9394.51 |

Verifiche deformazioni

| Zi <m> | Zf <m> | C C | TC C | δ <cm> | h <m> | δ/h | Sic. |
|-----------|-----------|-----------|----------|------------------|----------|------------|--------|
| 0.0 0 | 3.1 0 | 2SL D | 0.0 1 | 2.8 5 | 0.0 3 | | 61.138 |
| 0.0 0 | 3.1 0 | 8SL D | 0.0 1 | 2.8 5 | 0.0 3 | | 72.672 |
| 0.0 0 | 3.1 0 | 1SL 4D | 0.0 1 | 2.8 5 | 0.0 4 | | 49.868 |

| Zi <m> | Zf <m> | C C | TC C | δ <cm> | h <m> | δ/h | Sic. |
|-----------|-----------|-----------|----------|------------------|----------|------------|---------|
| 0.0 0 | 3.1 0 | 4SL D | 0.0 0 | 2.8 5 | 0.0 2 | | 114.352 |
| 0.0 0 | 3.1 0 | 1SL 0D | 0.0 1 | 2.8 5 | 0.0 3 | | 59.048 |
| 0.0 0 | 3.1 0 | 1SL 6D | 0.0 1 | 2.8 5 | 0.0 3 | | 70.787 |

| Zi <m> | Zf <m> | C C | TC C | δ <cm> | h <m> | δ/h | Sic. |
|-----------|-----------|-----------|----------|------------------|----------|------------|---------|
| 0.0 0 | 3.1 0 | 6SL D | 0.0 1 | 2.8 5 | 0.0 4 | | 51.102 |
| 0.0 0 | 3.1 0 | 1SL 2D | 0.0 0 | 2.8 5 | 0.0 2 | | 119.158 |

Maschio n. 104S (ver. sismiche)

Xg=0.13 <m> Yg=0.20 <m> L=0.40 <m>

Configurazione geometrica e caratteristiche dei materiali utilizzati

| Zi <m> | Zf <m> | Spess. <cm> | h <m> | d ₁ <cm> | S _{sx} <cm> | d ₂ <cm> | S _{dx} <cm> | d ₂ <cm> | e _a <cm> | a <cm> | p | λ | f _k <daN/cmq> | f _d SLU <daN/cmq> | f _d SLV <daN/cmq> | f _{vK0} <daN/cmq> | f _{vd0} SLU <daN/cmq> | f _{vd0} SLV <daN/cmq> |
|-----------|-----------|----------------|----------|------------------------|-------------------------|------------------------|-------------------------|------------------------|------------------------|-----------|------|-----------|-----------------------------|------------------------------------|------------------------------------|-------------------------------|--------------------------------------|--------------------------------------|
| 0.00 | 3.10 | 25.00 | 2.85 | 100 | 7.00 | | | | 1.43 | 0.00 | 1.00 | 11.40 | 53.00 | 19.63 | 19.63 | 3.00 | 1.11 | 1.11 |

Verifiche per carichi verticali ed azioni ortogonali

| CC | TCC | N1 <daN> | e _{s1} <cm> | $\Sigma N2_{sx}$ <daN> | $\Sigma N2_{dx}$ <daN> | e _{s2} <cm> | e ₁ <cm> | Zv <m> | N <daN> | M _v <daNm> | e _v <cm> | e ₂ <cm> | e <cm> | m | Φ_t | Nu <daN> | Mu <daNm> |
|------|-----|-------------|-------------------------|---------------------------|---------------------------|-------------------------|------------------------|-----------|------------|--------------------------|------------------------|------------------------|-----------|-----|----------|-------------|--------------|
| 1SLV | | | | | | | | 1.55 | -517.45 | 5.87 | --- | --- | --- | --- | --- | 62.68 | |
| 1SLV | | | | | | | | 1.55 | -517.45 | 5.87 | --- | --- | --- | --- | --- | 62.68 | |
| 1SLV | | | | | | | | 1.55 | -855.59 | 5.87 | --- | --- | --- | --- | --- | 101.47 | |
| 1SLV | | | | | | | | 1.55 | -855.59 | 5.87 | --- | --- | --- | --- | --- | 101.47 | |
| 3SLV | | | | | | | | 1.55 | -562.13 | 5.87 | --- | --- | --- | --- | --- | 67.90 | |
| 3SLV | | | | | | | | 1.55 | -562.13 | 5.87 | --- | --- | --- | --- | --- | 67.90 | |
| 3SLV | | | | | | | | 1.55 | -810.92 | 5.87 | --- | --- | --- | --- | --- | 96.44 | |
| 3SLV | | | | | | | | 1.55 | -810.92 | 5.87 | --- | --- | --- | --- | --- | 96.44 | |
| 5SLV | | | | | | | | 1.55 | -568.05 | 5.87 | --- | --- | --- | --- | --- | 68.59 | |
| 5SLV | | | | | | | | 1.55 | -568.05 | 5.87 | --- | --- | --- | --- | --- | 68.59 | |
| 5SLV | | | | | | | | 1.55 | -805.00 | 5.87 | --- | --- | --- | --- | --- | 95.77 | |
| 5SLV | | | | | | | | 1.55 | -805.00 | 5.87 | --- | --- | --- | --- | --- | 95.77 | |
| 7SLV | | | | | | | | 1.55 | -656.09 | 5.87 | --- | --- | --- | --- | --- | 78.79 | |
| 7SLV | | | | | | | | 1.55 | -656.09 | 5.87 | --- | --- | --- | --- | --- | 78.79 | |
| 7SLV | | | | | | | | 1.55 | -716.96 | 5.87 | --- | --- | --- | --- | --- | 85.77 | |

BOSI E ASSOCIATI
STUDIO DI INGEGNERIA
Dott. Ing. Giovanni Bosi
Dott. Ing. Donato Musci
Dott. Ing. Davide Manenti
Dott. Ing. Nazzareno Zingarelli

**ISTITUTO ZOOPROFILATTICO SPERIMENTALE
DELLA LOMBARDIA E DELL'EMILIA ROMAGNA
“BRUNO UBERTINI”**

98-2023

**REALIZZAZIONE AMPLIAMENTO ISTITUTO
ZOOPROFILATTICO**

RELAZIONE DI CALCOLO

Pag. 47 di 76

| | | | | | | | | | | | | | |
|-------|--|--|--|--|------|---------|------|-----|-----|-----|-----|-----|--------|
| 7SLV | | | | | 1.55 | -716.96 | 5.87 | --- | --- | --- | --- | --- | 85.77 |
| 9SLV | | | | | 1.55 | -538.54 | 5.87 | --- | --- | --- | --- | --- | 65.14 |
| 9SLV | | | | | 1.55 | -538.54 | 5.87 | --- | --- | --- | --- | --- | 65.14 |
| 9SLV | | | | | 1.55 | -876.68 | 5.87 | --- | --- | --- | --- | --- | 103.83 |
| 9SLV | | | | | 1.55 | -876.68 | 5.87 | --- | --- | --- | --- | --- | 103.83 |
| 11SLV | | | | | 1.55 | -583.21 | 5.87 | --- | --- | --- | --- | --- | 70.35 |
| 11SLV | | | | | 1.55 | -583.21 | 5.87 | --- | --- | --- | --- | --- | 70.35 |
| 11SLV | | | | | 1.55 | -832.00 | 5.87 | --- | --- | --- | --- | --- | 98.81 |
| 11SLV | | | | | 1.55 | -832.00 | 5.87 | --- | --- | --- | --- | --- | 98.81 |
| 13SLV | | | | | 1.55 | -589.13 | 5.87 | --- | --- | --- | --- | --- | 71.04 |
| 13SLV | | | | | 1.55 | -589.13 | 5.87 | --- | --- | --- | --- | --- | 71.04 |
| 13SLV | | | | | 1.55 | -826.09 | 5.87 | --- | --- | --- | --- | --- | 98.15 |
| 13SLV | | | | | 1.55 | -826.09 | 5.87 | --- | --- | --- | --- | --- | 98.15 |
| 15SLV | | | | | 1.55 | -677.17 | 5.87 | --- | --- | --- | --- | --- | 81.21 |
| 15SLV | | | | | 1.55 | -677.17 | 5.87 | --- | --- | --- | --- | --- | 81.21 |
| 15SLV | | | | | 1.55 | -738.04 | 5.87 | --- | --- | --- | --- | --- | 88.18 |
| 15SLV | | | | | 1.55 | -738.04 | 5.87 | --- | --- | --- | --- | --- | 88.18 |

Verifiche per azioni nel piano

| CC | TCC | Zv <m> | N <daN> | Mv <daNm> | Mu <daNm> | Ved | 1' <m> | Vu <daN> |
|-------|------|-----------|------------|--------------|--------------|------|-----------|-------------|
| 1SLV | 0.00 | -589.60 | 13.01 | 113.76 | 41.50 | 0.40 | 1198.54 | |
| 1SLV | 1.55 | -517.45 | -0.00 | 100.29 | 39.92 | 0.40 | 1187.85 | |
| 1SLV | 0.00 | -589.60 | -17.23 | 113.76 | 41.50 | 0.40 | 1198.54 | |
| 1SLV | 1.55 | -517.45 | -0.00 | 100.29 | 39.92 | 0.40 | 1187.85 | |
| 1SLV | 0.00 | -1378.01 | 13.01 | 252.86 | 41.50 | 0.40 | 1315.34 | |
| 1SLV | 1.55 | -855.59 | -0.00 | 162.36 | 39.92 | 0.40 | 1237.95 | |
| 1SLV | 0.00 | -1378.01 | -17.23 | 252.86 | 41.50 | 0.40 | 1315.34 | |
| 1SLV | 1.55 | -855.59 | -0.00 | 162.36 | 39.92 | 0.40 | 1237.95 | |
| 3SLV | 0.00 | -740.12 | -2.07 | 141.47 | 19.78 | 0.40 | 1220.84 | |
| 3SLV | 1.55 | -562.13 | -0.00 | 108.65 | 17.29 | 0.40 | 1194.47 | |
| 3SLV | 0.00 | -740.12 | -2.15 | 141.47 | 19.78 | 0.40 | 1220.84 | |
| 3SLV | 1.55 | -562.13 | -0.00 | 108.65 | 17.29 | 0.40 | 1194.47 | |
| 3SLV | 0.00 | -1227.49 | -2.07 | 227.46 | 19.78 | 0.40 | 1293.04 | |
| 3SLV | 1.55 | -810.92 | -0.00 | 154.31 | 17.29 | 0.40 | 1231.33 | |
| 3SLV | 0.00 | -1227.49 | -2.15 | 227.46 | 19.78 | 0.40 | 1293.04 | |
| 3SLV | 1.55 | -810.92 | -0.00 | 154.31 | 17.29 | 0.40 | 1231.33 | |
| 5SLV | 0.00 | -637.25 | 25.29 | 122.59 | 48.14 | 0.40 | 1205.60 | |
| 5SLV | 1.55 | -568.05 | -0.00 | 109.75 | 48.96 | 0.40 | 1195.35 | |
| 5SLV | 0.00 | -637.25 | -29.51 | 122.59 | 48.14 | 0.40 | 1205.60 | |
| 5SLV | 1.55 | -568.05 | -0.00 | 109.75 | 48.96 | 0.40 | 1195.35 | |
| 5SLV | 0.00 | -1330.36 | 25.29 | 244.88 | 48.14 | 0.40 | 1308.28 | |
| 5SLV | 1.55 | -805.00 | -0.00 | 153.24 | 48.96 | 0.40 | 1230.45 | |
| 5SLV | 0.00 | -1330.36 | -29.51 | 244.88 | 48.14 | 0.40 | 1308.28 | |
| 5SLV | 1.55 | -805.00 | -0.00 | 153.24 | 48.96 | 0.40 | 1230.45 | |
| 7SLV | 0.00 | -828.62 | 20.75 | 157.50 | 32.13 | 0.40 | 1233.95 | |
| 7SLV | 1.55 | -656.09 | -0.00 | 126.07 | 34.08 | 0.40 | 1208.39 | |
| 7SLV | 0.00 | -828.62 | -24.97 | 157.50 | 32.13 | 0.40 | 1233.95 | |
| 7SLV | 1.55 | -656.09 | -0.00 | 126.07 | 34.08 | 0.40 | 1208.39 | |
| 7SLV | 0.00 | -1138.99 | 20.75 | 212.26 | 32.13 | 0.40 | 1279.93 | |
| 7SLV | 1.55 | -716.96 | -0.00 | 137.24 | 34.08 | 0.40 | 1217.41 | |
| 7SLV | 0.00 | -1138.99 | -24.97 | 212.26 | 32.13 | 0.40 | 1279.93 | |
| 7SLV | 1.55 | -716.96 | -0.00 | 137.24 | 34.08 | 0.40 | 1217.41 | |
| 9SLV | 0.00 | -652.54 | 17.23 | 125.41 | 41.50 | 0.40 | 1207.86 | |
| 9SLV | 1.55 | -538.54 | 0.00 | 104.24 | 39.92 | 0.40 | 1190.98 | |
| 9SLV | 0.00 | -652.54 | -13.01 | 125.41 | 41.50 | 0.40 | 1207.86 | |
| 9SLV | 1.55 | -538.54 | 0.00 | 104.24 | 39.92 | 0.40 | 1190.98 | |
| 9SLV | 0.00 | -1440.95 | 17.23 | 263.32 | 41.50 | 0.40 | 1324.67 | |
| 9SLV | 1.55 | -876.68 | 0.00 | 166.14 | 39.92 | 0.40 | 1241.07 | |
| 9SLV | 0.00 | -1440.95 | -13.01 | 263.32 | 41.50 | 0.40 | 1324.67 | |
| 9SLV | 1.55 | -876.68 | 0.00 | 166.14 | 39.92 | 0.40 | 1241.07 | |
| 11SLV | 0.00 | -803.06 | 2.15 | 152.89 | 19.78 | 0.40 | 1230.16 | |
| 11SLV | 1.55 | -583.21 | 0.00 | 112.57 | 17.29 | 0.40 | 1197.59 | |
| 11SLV | 0.00 | -803.06 | 2.07 | 152.89 | 19.78 | 0.40 | 1230.16 | |
| 11SLV | 1.55 | -583.21 | 0.00 | 112.57 | 17.29 | 0.40 | 1197.59 | |
| 11SLV | 0.00 | -1290.43 | 2.15 | 238.15 | 19.78 | 0.40 | 1302.37 | |
| 11SLV | 1.55 | -832.00 | 0.00 | 158.12 | 17.29 | 0.40 | 1234.45 | |
| 11SLV | 0.00 | -1290.43 | 2.07 | 238.15 | 19.78 | 0.40 | 1302.37 | |
| 11SLV | 1.55 | -832.00 | 0.00 | 158.12 | 17.29 | 0.40 | 1234.45 | |
| 13SLV | 0.00 | -700.19 | 29.51 | 134.17 | 48.14 | 0.40 | 1214.92 | |
| 13SLV | 1.55 | -589.13 | 0.00 | 113.67 | 48.96 | 0.40 | 1198.47 | |

BOSI E ASSOCIATI
STUDIO DI INGEGNERIA
Dott. Ing. Giovanni Bosi
Dott. Ing. Donato Musci
Dott. Ing. Davide Manenti
Dott. Ing. Nazzareno Zingarelli

**ISTITUTO ZOOPROFILATTICO SPERIMENTALE
DELLA LOMBARDIA E DELL'EMILIA ROMAGNA
“BRUNO UBERTINI”**

98-2023

**REALIZZAZIONE AMPLIAMENTO ISTITUTO
ZOOPROFILATTICO**

RELAZIONE DI CALCOLO

Pag. 48 di 76

| | | | | | | | | |
|----|-----|------|----------|--------|--------|-------|------|---------|
| 13 | SLV | 0.00 | -700.19 | -25.29 | 134.17 | 48.14 | 0.40 | 1214.92 |
| 13 | SLV | 1.55 | -589.13 | 0.00 | 113.67 | 48.96 | 0.40 | 1198.47 |
| 13 | SLV | 0.00 | -1393.30 | 29.51 | 255.41 | 48.14 | 0.40 | 1317.61 |
| 13 | SLV | 1.55 | -826.09 | 0.00 | 157.05 | 48.96 | 0.40 | 1233.58 |
| 13 | SLV | 0.00 | -1393.30 | -25.29 | 255.41 | 48.14 | 0.40 | 1317.61 |
| 13 | SLV | 1.55 | -826.09 | 0.00 | 157.05 | 48.96 | 0.40 | 1233.58 |
| 15 | SLV | 0.00 | -891.56 | 24.97 | 168.80 | 32.13 | 0.40 | 1243.28 |
| 15 | SLV | 1.55 | -677.17 | 0.00 | 129.95 | 34.08 | 0.40 | 1211.51 |
| 15 | SLV | 0.00 | -891.56 | -20.75 | 168.80 | 32.13 | 0.40 | 1243.28 |
| 15 | SLV | 1.55 | -677.17 | 0.00 | 129.95 | 34.08 | 0.40 | 1211.51 |
| 15 | SLV | 0.00 | -1201.93 | 24.97 | 223.09 | 32.13 | 0.40 | 1289.26 |
| 15 | SLV | 1.55 | -738.04 | 0.00 | 141.09 | 34.08 | 0.40 | 1220.53 |
| 15 | SLV | 0.00 | -1201.93 | -20.75 | 223.09 | 32.13 | 0.40 | 1289.26 |
| 15 | SLV | 1.55 | -738.04 | 0.00 | 141.09 | 34.08 | 0.40 | 1220.53 |

Verifiche deformazioni

| Zi <m> | Zf <m> | C C | TC C | δ <cm> | h <m> | δ/h | Sic. |
|-----------|-----------|--------|----------|-----------|----------|----------|--------|
| 0.0 0 | 3.1 0 | 2 | SL D | 0.0 1 | 2.8 5 | 0.0 3 | 61.890 |
| 0.0 0 | 3.1 0 | 8 | SL D | 0.0 1 | 2.8 5 | 0.0 5 | 43.720 |
| 0.0 0 | 3.1 0 | 1 | SL 4D | 0.0 2 | 2.8 5 | 0.0 5 | 36.630 |

| Zi <m> | Zf <m> | C C | TC C | δ <cm> | h <m> | δ/h | Sic. |
|-----------|-----------|--------|----------|-----------|----------|----------|---------|
| 0.0 0 | 3.1 0 | 4 | SL D | 0.0 1 | 2.8 5 | 0.0 2 | 105.912 |
| 0.0 0 | 3.1 0 | 1 | SL 0D | 0.0 1 | 2.8 5 | 0.0 3 | 59.267 |
| 0.0 0 | 3.1 0 | 1 | SL 6D | 0.0 1 | 2.8 5 | 0.0 5 | 41.951 |

| Zi <m> | Zf <m> | C C | TC C | δ <cm> | h <m> | δ/h | Sic. |
|-----------|-----------|--------|----------|-----------|----------|----------|--------|
| 0.0 0 | 3.1 0 | 6 | SL 2D | 0.0 2 | 2.8 5 | 0.0 5 | 37.881 |
| 0.0 0 | 3.1 0 | 1 | SL 2D | 0.0 1 | 2.8 5 | 0.0 2 | 99.277 |

Maschio n. 105S (ver. sismiche)

Xg=0.13 <m> Yg=3.70 <m> L=2.60 <m>

Configurazione geometrica e caratteristiche dei materiali utilizzati

| Zi <m> | Zf <m> | Spess. <cm> | h <m> | d ₁ <cm> | S _{sx} <cm> | d ₂ <cm> | S _{dx} <cm> | d ₂ <cm> | e _a <cm> | a <m> | p | λ | f _k <daN/cmq> | f _a _{SLV} <daN/cmq> | f _d _{SLV} <daN/cmq> | f _{v_{x0}} _{SLU} <daN/cmq> | f _{v_{x0}} _{SLV} <daN/cmq> | |
|-----------|-----------|----------------|----------|------------------------|-------------------------|------------------------|-------------------------|------------------------|------------------------|----------|------|-------|-----------------------------|--|--|---|---|------|
| 0.00 | 3.10 | 25.00 | 2.85 | 100 | 7.00 | | | | 1.43 | 0.00 | 1.00 | 11.40 | 53.00 | 19.63 | 19.63 | 3.00 | 1.11 | 1.11 |

Verifiche per carichi verticali ed azioni ortogonali

| CC | TCC | N1 <daN> | e _{s1} <cm> | ΣN2 _{sx} <daN> | ΣN2 _{dx} <cm> | e _{s2} <cm> | e ₁ <cm> | Zv <m> | N <daN> | M _v <daNm> | e _v <cm> | e ₂ <cm> | e <cm> | m | Φ _t | Nu <daN> | Mu <daNm> |
|----|-----|-------------|-------------------------|----------------------------|---------------------------|-------------------------|------------------------|-----------|------------|--------------------------|------------------------|------------------------|-----------|-----|----------------|-------------|--------------|
| 1 | SLV | | | | | | | | 1.55 | -1972.43 | 38.15 | --- | --- | --- | --- | 242.07 | |
| 1 | SLV | | | | | | | | 1.55 | -1972.43 | 38.15 | --- | --- | --- | --- | 242.07 | |
| 1 | SLV | | | | | | | | 1.55 | -2905.47 | 38.15 | --- | --- | --- | --- | 353.45 | |
| 1 | SLV | | | | | | | | 1.55 | -2905.47 | 38.15 | --- | --- | --- | --- | 353.45 | |
| 3 | SLV | | | | | | | | 1.55 | -2406.05 | 38.15 | --- | --- | --- | --- | 294.08 | |
| 3 | SLV | | | | | | | | 1.55 | -2406.05 | 38.15 | --- | --- | --- | --- | 294.08 | |
| 3 | SLV | | | | | | | | 1.55 | -2471.85 | 38.15 | --- | --- | --- | --- | 301.94 | |
| 3 | SLV | | | | | | | | 1.55 | -2471.85 | 38.15 | --- | --- | --- | --- | 301.94 | |
| 5 | SLV | | | | | | | | 1.55 | -1641.33 | 38.15 | --- | --- | --- | --- | 202.06 | |
| 5 | SLV | | | | | | | | 1.55 | -1641.33 | 38.15 | --- | --- | --- | --- | 202.06 | |
| 5 | SLV | | | | | | | | 1.55 | -3236.56 | 38.15 | --- | --- | --- | --- | 392.50 | |
| 5 | SLV | | | | | | | | 1.55 | -3236.56 | 38.15 | --- | --- | --- | --- | 392.50 | |
| 7 | SLV | | | | | | | | 1.55 | -1791.16 | 38.15 | --- | --- | --- | --- | 220.20 | |
| 7 | SLV | | | | | | | | 1.55 | -1791.16 | 38.15 | --- | --- | --- | --- | 220.20 | |
| 7 | SLV | | | | | | | | 1.55 | -3086.74 | 38.15 | --- | --- | --- | --- | 374.86 | |
| 7 | SLV | | | | | | | | 1.55 | -3086.74 | 38.15 | --- | --- | --- | --- | 374.86 | |
| 9 | SLV | | | | | | | | 1.55 | -1848.93 | 38.15 | --- | --- | --- | --- | 227.18 | |
| 9 | SLV | | | | | | | | 1.55 | -1848.93 | 38.15 | --- | --- | --- | --- | 227.18 | |
| 9 | SLV | | | | | | | | 1.55 | -2781.97 | 38.15 | --- | --- | --- | --- | 338.83 | |
| 9 | SLV | | | | | | | | 1.55 | -2781.97 | 38.15 | --- | --- | --- | --- | 338.83 | |
| 11 | SLV | | | | | | | | 1.55 | -2282.55 | 38.15 | --- | --- | --- | --- | 279.31 | |
| 11 | SLV | | | | | | | | 1.55 | -2282.55 | 38.15 | --- | --- | --- | --- | 279.31 | |
| 11 | SLV | | | | | | | | 1.55 | -2348.35 | 38.15 | --- | --- | --- | --- | 287.19 | |
| 11 | SLV | | | | | | | | 1.55 | -2348.35 | 38.15 | --- | --- | --- | --- | 287.19 | |
| 13 | SLV | | | | | | | | 1.55 | -1517.84 | 38.15 | --- | --- | --- | --- | 187.07 | |
| 13 | SLV | | | | | | | | 1.55 | -1517.84 | 38.15 | --- | --- | --- | --- | 187.07 | |
| 13 | SLV | | | | | | | | 1.55 | -3113.06 | 38.15 | --- | --- | --- | --- | 377.96 | |
| 13 | SLV | | | | | | | | 1.55 | -3113.06 | 38.15 | --- | --- | --- | --- | 377.96 | |
| 15 | SLV | | | | | | | | 1.55 | -1667.66 | 38.15 | --- | --- | --- | --- | 205.25 | |
| 15 | SLV | | | | | | | | 1.55 | -1667.66 | 38.15 | --- | --- | --- | --- | 205.25 | |

BOSI E ASSOCIATI
STUDIO DI INGEGNERIA
Dott. Ing. Giovanni Bosi
Dott. Ing. Donato Musci
Dott. Ing. Davide Manenti
Dott. Ing. Nazzareno Zingarelli

**ISTITUTO ZOOPROFILATTICO SPERIMENTALE
DELLA LOMBARDIA E DELL'EMILIA ROMAGNA
“BRUNO UBERTINI”**

98-2023

**REALIZZAZIONE AMPLIAMENTO ISTITUTO
ZOOPROFILATTICO**

RELAZIONE DI CALCOLO

Pag. 49 di 76

| | | | | | | | | | | | | | | |
|-------|--|--|--|--|--|------|----------|-------|-----|-----|-----|-----|-----|--------|
| 15SLV | | | | | | 1.55 | -2963.24 | 38.15 | --- | --- | --- | --- | --- | 360.28 |
| 15SLV | | | | | | 1.55 | -2963.24 | 38.15 | --- | --- | --- | --- | --- | 360.28 |

Verifiche per azioni nel piano

| CC | TCC | Zv <m> | N <daN> | Mv <daNm> | Mu <daNm> | Ved <daN> | 1' <m> | Vu <daN> |
|-------|------|-----------|------------|--------------|--------------|--------------|-----------|-------------|
| 1SLV | 0.00 | -3478.85 | 997.15 | 4377.44 | 737.99 | 2.60 | 7737.61 | |
| 1SLV | 1.55 | -1972.43 | 409.45 | 2517.52 | 769.95 | 2.60 | 7514.43 | |
| 1SLV | 0.00 | -3478.85 | -1313.53 | 4377.44 | 737.99 | 2.60 | 7737.61 | |
| 1SLV | 1.55 | -1972.43 | -520.29 | 2517.52 | 769.95 | 2.60 | 7514.43 | |
| 1SLV | 0.00 | -4928.54 | 997.15 | 6115.94 | 737.99 | 2.60 | 7952.38 | |
| 1SLV | 1.55 | -2905.47 | 409.45 | 3675.92 | 769.95 | 2.60 | 7652.66 | |
| 1SLV | 0.00 | -4928.54 | -1313.53 | 6115.94 | 737.99 | 2.60 | 7952.38 | |
| 1SLV | 1.55 | -2905.47 | -520.29 | 3675.92 | 769.95 | 2.60 | 7652.66 | |
| 3SLV | 0.00 | -4197.28 | -278.19 | 5245.29 | 19.40 | 2.60 | 7844.04 | |
| 3SLV | 1.55 | -2406.05 | -64.89 | 3058.47 | 20.19 | 2.60 | 7578.67 | |
| 3SLV | 0.00 | -4197.28 | -38.19 | 5245.29 | 19.40 | 2.60 | 7844.04 | |
| 3SLV | 1.55 | -2406.05 | -45.94 | 3058.47 | 20.19 | 2.60 | 7578.67 | |
| 3SLV | 0.00 | -4210.11 | -278.19 | 5260.68 | 19.40 | 2.60 | 7845.94 | |
| 3SLV | 1.55 | -2471.85 | -64.89 | 3140.16 | 20.19 | 2.60 | 7588.42 | |
| 3SLV | 0.00 | -4210.11 | -38.19 | 5260.68 | 19.40 | 2.60 | 7845.94 | |
| 3SLV | 1.55 | -2471.85 | -45.94 | 3140.16 | 20.19 | 2.60 | 7588.42 | |
| 5SLV | 0.00 | -2896.62 | 2122.69 | 3665.04 | 1377.15 | 1.70 | 5155.68 | |
| 5SLV | 1.55 | -1641.33 | 803.47 | 2101.44 | 1436.81 | 2.43 | 6997.14 | |
| 5SLV | 0.00 | -2896.62 | -2439.06 | 3665.04 | 1377.15 | 1.37 | 4245.49 | |
| 5SLV | 1.55 | -1641.33 | -914.31 | 2101.44 | 1436.81 | 2.23 | 6434.40 | |
| 5SLV | 0.00 | -5510.77 | 2122.69 | 6799.98 | 1377.15 | 2.60 | 8038.63 | |
| 5SLV | 1.55 | -3236.56 | 803.47 | 4081.96 | 1436.81 | 2.60 | 7701.71 | |
| 5SLV | 0.00 | -5510.77 | -2439.06 | 6799.98 | 1377.15 | 2.57 | 7961.41 | |
| 5SLV | 1.55 | -3236.56 | -914.31 | 4081.96 | 1436.81 | 2.60 | 7701.71 | |
| 7SLV | 0.00 | -3116.00 | 1812.08 | 3934.42 | 1206.42 | 2.16 | 6448.79 | |
| 7SLV | 1.55 | -1791.16 | 666.85 | 2290.05 | 1258.66 | 2.60 | 7487.58 | |
| 7SLV | 0.00 | -3116.00 | -2128.46 | 3934.42 | 1206.42 | 1.85 | 5602.68 | |
| 7SLV | 1.55 | -1791.16 | -777.69 | 2290.05 | 1258.66 | 2.60 | 7480.51 | |
| 7SLV | 0.00 | -5291.39 | 1812.08 | 6543.19 | 1206.42 | 2.60 | 8006.13 | |
| 7SLV | 1.55 | -3086.74 | 666.85 | 3898.55 | 1258.66 | 2.60 | 7679.52 | |
| 7SLV | 0.00 | -5291.39 | -2128.46 | 6543.19 | 1206.42 | 2.60 | 8006.13 | |
| 7SLV | 1.55 | -3086.74 | -777.69 | 3898.55 | 1258.66 | 2.60 | 7679.52 | |
| 9SLV | 0.00 | -3278.06 | 1313.53 | 4132.67 | 737.99 | 2.60 | 7707.86 | |
| 9SLV | 1.55 | -1848.93 | 520.29 | 2362.63 | 769.95 | 2.60 | 7496.14 | |
| 9SLV | 0.00 | -3278.06 | -997.15 | 4132.67 | 737.99 | 2.60 | 7707.86 | |
| 9SLV | 1.55 | -1848.93 | -409.45 | 2362.63 | 769.95 | 2.60 | 7496.14 | |
| 9SLV | 0.00 | -4727.75 | 1313.53 | 5878.15 | 737.99 | 2.60 | 7922.63 | |
| 9SLV | 1.55 | -2781.97 | 520.29 | 3523.79 | 769.95 | 2.60 | 7634.37 | |
| 9SLV | 0.00 | -4727.75 | -997.15 | 5878.15 | 737.99 | 2.60 | 7922.63 | |
| 9SLV | 1.55 | -2781.97 | -409.45 | 3523.79 | 769.95 | 2.60 | 7634.37 | |
| 11SLV | 0.00 | -3996.48 | 38.19 | 5003.98 | 19.40 | 2.60 | 7814.29 | |
| 11SLV | 1.55 | -2282.55 | 45.94 | 2904.87 | 20.19 | 2.60 | 7560.38 | |
| 11SLV | 0.00 | -3996.48 | 278.19 | 5003.98 | 19.40 | 2.60 | 7814.29 | |
| 11SLV | 1.55 | -2282.55 | 64.89 | 2904.87 | 20.19 | 2.60 | 7560.38 | |
| 11SLV | 0.00 | -4009.32 | 38.19 | 5019.43 | 19.40 | 2.60 | 7816.20 | |
| 11SLV | 1.55 | -2348.35 | 45.94 | 2986.75 | 20.19 | 2.60 | 7570.13 | |
| 11SLV | 0.00 | -4009.32 | 278.19 | 5019.43 | 19.40 | 2.60 | 7816.20 | |
| 11SLV | 1.55 | -2348.35 | 64.89 | 2986.75 | 20.19 | 2.60 | 7570.13 | |
| 13SLV | 0.00 | -2695.83 | 2439.06 | 3417.47 | 1377.15 | 1.19 | 3693.10 | |
| 13SLV | 1.55 | -1517.84 | 914.31 | 1945.57 | 1436.81 | 2.09 | 6038.40 | |
| 13SLV | 0.00 | -2695.83 | -2122.69 | 3417.47 | 1377.15 | 1.54 | 4671.08 | |
| 13SLV | 1.55 | -1517.84 | -803.47 | 1945.57 | 1436.81 | 2.31 | 6646.93 | |
| 13SLV | 0.00 | -5309.97 | 2439.06 | 6564.99 | 1377.15 | 2.52 | 7792.19 | |
| 13SLV | 1.55 | -3113.06 | 914.31 | 3930.82 | 1436.81 | 2.60 | 7683.42 | |
| 13SLV | 0.00 | -5309.97 | -2122.69 | 6564.99 | 1377.15 | 2.60 | 8008.88 | |
| 13SLV | 1.55 | -3113.06 | -803.47 | 3930.82 | 1436.81 | 2.60 | 7683.42 | |
| 15SLV | 0.00 | -2915.21 | 2128.46 | 3687.90 | 1206.42 | 1.71 | 5180.86 | |
| 15SLV | 1.55 | -1667.66 | 777.69 | 2134.62 | 1258.66 | 2.50 | 7194.28 | |
| 15SLV | 0.00 | -2915.21 | -1812.08 | 3687.90 | 1206.42 | 2.04 | 6085.24 | |
| 15SLV | 1.55 | -1667.66 | -666.85 | 2134.62 | 1258.66 | 2.60 | 7469.28 | |
| 15SLV | 0.00 | -5090.59 | 2128.46 | 6307.15 | 1206.42 | 2.60 | 7976.38 | |
| 15SLV | 1.55 | -2963.24 | 777.69 | 3746.96 | 1258.66 | 2.60 | 7661.22 | |
| 15SLV | 0.00 | -5090.59 | -1812.08 | 6307.15 | 1206.42 | 2.60 | 7976.38 | |
| 15SLV | 1.55 | -2963.24 | -666.85 | 3746.96 | 1258.66 | 2.60 | 7661.22 | |

BOSI E ASSOCIATI
STUDIO DI INGEGNERIA
Dott. Ing. Giovanni Bosi
Dott. Ing. Donato Musci
Dott. Ing. Davide Manenti
Dott. Ing. Nazzareno Zingarelli

**ISTITUTO ZOOPROFILATTICO SPERIMENTALE
DELLA LOMBARDIA E DELL'EMILIA ROMAGNA
"BRUNO UBERTINI"**

98-2023

**REALIZZAZIONE AMPLIAMENTO ISTITUTO
ZOOPROFILATTICO**

RELAZIONE DI CALCOLO

Pag. 50 di 76

Verifiche deformazioni

| Zi <m> | Zf <m> | C C | TC C | δ <cm> > | h <m> | δ/h | Sic. |
|-----------|-----------|-----------|----------|----------------|----------|--------|------|
| 0.0 0 | 3.1 0 | 2SL D | 0.0 1 | 2.8 5 | 0.0 4 | 55.053 | |
| 0.0 0 | 3.1 0 | 8SL D | 0.0 1 | 2.8 5 | 0.0 5 | 43.373 | |
| 0.0 0 | 3.1 0 | 1SL 4D | 0.0 2 | 2.8 5 | 0.0 6 | 34.909 | |

| Zi <m> | Zf <m> | C C | TC C | δ <cm> > | h <m> | δ/h | Sic. |
|-----------|-----------|-----------|----------|----------------|----------|---------|------|
| 0.0 0 | 3.1 0 | 4SL D | 0.0 1 | 2.8 5 | 0.0 2 | 104.133 | |
| 0.0 0 | 3.1 0 | 1SL 0D | 0.0 1 | 2.8 5 | 0.0 4 | 52.206 | |
| 0.0 0 | 3.1 0 | 1SL 6D | 0.0 1 | 2.8 5 | 0.0 5 | 41.572 | |

| Zi <m> | Zf <m> | C C | TC C | δ <cm> > | h <m> | δ/h | Sic. |
|-----------|-----------|-----------|----------|----------------|----------|---------|------|
| 0.0 0 | 3.1 0 | 6SL D | 0.0 2 | 2.8 5 | 0.0 6 | 36.212 | |
| 0.0 0 | 3.1 0 | 1SL 2D | 0.0 1 | 2.8 5 | 0.0 2 | 103.810 | |

Maschio n. 106S (ver. sismiche)

Xg=5.88 <m> Yg=2.50 <m> L=5.00 <m>

Configurazione geometrica e caratteristiche dei materiali utilizzati

| Zi <m> | Zf <m> | Spess. <cm> | h <m> | d ₁ <cm> | S _{sx} <cm> | d ₂ <cm> | S _{dx} <cm> | d ₂ <cm> | e _a <cm> | a <cm> | p | λ | f _k <daN/cmq> | f _d SLU <daN/cmq> | f _d SLV <daN/cmq> | f _{vR0} <daN/cmq> | f _{vd0} SLU <daN/cmq> | f _{vd0} SLV <daN/cmq> |
|-----------|-----------|----------------|----------|------------------------|-------------------------|------------------------|-------------------------|------------------------|------------------------|-----------|---|---|-----------------------------|------------------------------------|------------------------------------|-------------------------------|--------------------------------------|--------------------------------------|
| 0.00 | 3.10 | 25.00 | 2.85 | | 100 | 7.00 | 1.43 | 5.00 | 0.93 | 10.60 | | | 53.00 | 19.63 | 19.63 | 3.00 | 1.11 | 1.11 |

Verifiche per carichi verticali ed azioni ortogonali

| CC | TCC | N1 <daN> | e _{s1} <cm> | ΣN2 _{sx} <daN> | ΣN2 _{dx} <daN> | e _{s2} <cm> | e ₁ <cm> | Zv <m> | N <daN> | M _v <daNm> | e _v <cm> | e ₂ <cm> | e <cm> | m | Φ _t | Nu <daN> | Mu <daNm> |
|----|-----|-------------|-------------------------|----------------------------|----------------------------|-------------------------|------------------------|-----------|------------|--------------------------|------------------------|------------------------|-----------|-----|----------------|-------------|--------------|
| 1 | SLV | | | | | | | 1.55 | -2936.09 | 73.36 | --- | --- | --- | --- | --- | 361.85 | |
| 1 | SLV | | | | | | | 1.55 | -2936.09 | 73.36 | --- | --- | --- | --- | --- | 361.85 | |
| 1 | SLV | | | | | | | 1.55 | -4672.66 | 73.36 | --- | --- | --- | --- | --- | 571.00 | |
| 1 | SLV | | | | | | | 1.55 | -4672.66 | 73.36 | --- | --- | --- | --- | --- | 571.00 | |
| 3 | SLV | | | | | | | 1.55 | -3144.15 | 73.36 | --- | --- | --- | --- | --- | 387.09 | |
| 3 | SLV | | | | | | | 1.55 | -3144.15 | 73.36 | --- | --- | --- | --- | --- | 387.09 | |
| 3 | SLV | | | | | | | 1.55 | -4464.60 | 73.36 | --- | --- | --- | --- | --- | 546.13 | |
| 3 | SLV | | | | | | | 1.55 | -4464.60 | 73.36 | --- | --- | --- | --- | --- | 546.13 | |
| 5 | SLV | | | | | | | 1.55 | -3228.33 | 73.36 | --- | --- | --- | --- | --- | 397.30 | |
| 5 | SLV | | | | | | | 1.55 | -3228.33 | 73.36 | --- | --- | --- | --- | --- | 397.30 | |
| 5 | SLV | | | | | | | 1.55 | -4380.42 | 73.36 | --- | --- | --- | --- | --- | 536.05 | |
| 5 | SLV | | | | | | | 1.55 | -4380.42 | 73.36 | --- | --- | --- | --- | --- | 536.05 | |
| 7 | SLV | | | | | | | 1.55 | -3686.88 | 73.36 | --- | --- | --- | --- | --- | 452.71 | |
| 7 | SLV | | | | | | | 1.55 | -3686.88 | 73.36 | --- | --- | --- | --- | --- | 452.71 | |
| 7 | SLV | | | | | | | 1.55 | -3921.87 | 73.36 | --- | --- | --- | --- | --- | 481.01 | |
| 7 | SLV | | | | | | | 1.55 | -3921.87 | 73.36 | --- | --- | --- | --- | --- | 481.01 | |
| 9 | SLV | | | | | | | 1.55 | -2979.15 | 73.36 | --- | --- | --- | --- | --- | 367.07 | |
| 9 | SLV | | | | | | | 1.55 | -2979.15 | 73.36 | --- | --- | --- | --- | --- | 367.07 | |
| 9 | SLV | | | | | | | 1.55 | -4715.72 | 73.36 | --- | --- | --- | --- | --- | 576.14 | |
| 9 | SLV | | | | | | | 1.55 | -4715.72 | 73.36 | --- | --- | --- | --- | --- | 576.14 | |
| 11 | SLV | | | | | | | 1.55 | -3187.21 | 73.36 | --- | --- | --- | --- | --- | 392.31 | |
| 11 | SLV | | | | | | | 1.55 | -3187.21 | 73.36 | --- | --- | --- | --- | --- | 392.31 | |
| 11 | SLV | | | | | | | 1.55 | -4507.66 | 73.36 | --- | --- | --- | --- | --- | 551.28 | |
| 11 | SLV | | | | | | | 1.55 | -4507.66 | 73.36 | --- | --- | --- | --- | --- | 551.28 | |
| 13 | SLV | | | | | | | 1.55 | -3271.39 | 73.36 | --- | --- | --- | --- | --- | 402.51 | |
| 13 | SLV | | | | | | | 1.55 | -3271.39 | 73.36 | --- | --- | --- | --- | --- | 402.51 | |
| 13 | SLV | | | | | | | 1.55 | -4423.48 | 73.36 | --- | --- | --- | --- | --- | 541.21 | |
| 13 | SLV | | | | | | | 1.55 | -4423.48 | 73.36 | --- | --- | --- | --- | --- | 541.21 | |
| 15 | SLV | | | | | | | 1.55 | -3729.94 | 73.36 | --- | --- | --- | --- | --- | 457.90 | |
| 15 | SLV | | | | | | | 1.55 | -3729.94 | 73.36 | --- | --- | --- | --- | --- | 457.90 | |
| 15 | SLV | | | | | | | 1.55 | -3964.93 | 73.36 | --- | --- | --- | --- | --- | 486.19 | |
| 15 | SLV | | | | | | | 1.55 | -3964.93 | 73.36 | --- | --- | --- | --- | --- | 486.19 | |

Verifiche per azioni nel piano

| CC | TCC | Zv <m> | N <daN> | M _v <daNm> | Mu <daNm> | V _{ed} <daN> | l' <m> | Vu <daN> |
|----|-----|-----------|------------|--------------------------|--------------|--------------------------|-----------|-------------|
| 1 | SLV | 0.00 | -4600.01 | 1999.38 | 11246.40 | 1456.40 | 5.00 | 14570.40 |
| 1 | SLV | 1.55 | -2936.09 | 836.86 | 7236.89 | 1513.85 | 5.00 | 14323.90 |
| 1 | SLV | 0.00 | -4600.01 | -2124.46 | 11246.40 | 1456.40 | 5.00 | 14570.40 |
| 1 | SLV | 1.55 | -2936.09 | -946.15 | 7236.89 | 1513.85 | 5.00 | 14323.90 |
| 1 | SLV | 0.00 | -7545.09 | 1999.38 | 18180.30 | 1456.40 | 5.00 | 15006.70 |
| 1 | SLV | 1.55 | -4672.66 | 836.86 | 11419.90 | 1513.85 | 5.00 | 14581.10 |
| 1 | SLV | 0.00 | -7545.09 | -2124.46 | 18180.30 | 1456.40 | 5.00 | 15006.70 |
| 1 | SLV | 1.55 | -4672.66 | -946.15 | 11419.90 | 1513.85 | 5.00 | 14581.10 |

BOSI E ASSOCIATI
STUDIO DI INGEGNERIA
Dott. Ing. Giovanni Bosi
Dott. Ing. Donato Musci
Dott. Ing. Davide Manenti
Dott. Ing. Nazzareno Zingarelli

**ISTITUTO ZOOPROFILATTICO SPERIMENTALE
DELLA LOMBARDIA E DELL'EMILIA ROMAGNA
“BRUNO UBERTINI”**

98-2023

**REALIZZAZIONE AMPLIAMENTO ISTITUTO
ZOOPROFILATTICO**

RELAZIONE DI CALCOLO

Pag. 51 di 76

| | | | | | | | |
|-------|------|----------|----------|----------|---------|------|----------|
| 3SLV | 0.00 | -4940.71 | 172.29 | 12059.20 | 597.84 | 5.00 | 14620.80 |
| 3SLV | 1.55 | -3144.15 | -56.69 | 7741.88 | 616.61 | 5.00 | 14354.70 |
| 3SLV | 0.00 | -4940.71 | -297.37 | 12059.20 | 597.84 | 5.00 | 14620.80 |
| 3SLV | 1.55 | -3144.15 | -52.60 | 7741.88 | 616.61 | 5.00 | 14354.70 |
| 3SLV | 0.00 | -7204.39 | 172.29 | 17388.80 | 597.84 | 5.00 | 14956.20 |
| 3SLV | 1.55 | -4464.60 | -56.69 | 10922.60 | 616.61 | 5.00 | 14955.30 |
| 3SLV | 0.00 | -7204.39 | -297.37 | 17388.80 | 597.84 | 5.00 | 14956.20 |
| 3SLV | 1.55 | -4464.60 | -52.60 | 10922.60 | 616.61 | 5.00 | 14955.30 |
| 5SLV | 0.00 | -5114.05 | 3327.11 | 12471.60 | 1810.33 | 5.00 | 14646.50 |
| 5SLV | 1.55 | -3228.33 | 1568.01 | 7945.90 | 1887.85 | 5.00 | 14367.20 |
| 5SLV | 0.00 | -5114.05 | -3452.20 | 12471.60 | 1810.33 | 5.00 | 14646.50 |
| 5SLV | 1.55 | -3228.33 | -1677.30 | 7945.90 | 1887.85 | 5.00 | 14367.20 |
| 5SLV | 0.00 | -7031.05 | 3327.11 | 16985.10 | 1810.33 | 5.00 | 14930.50 |
| 5SLV | 1.55 | -4380.42 | 1568.01 | 10721.10 | 1887.85 | 5.00 | 14537.80 |
| 5SLV | 0.00 | -7031.05 | -3452.20 | 16985.10 | 1810.33 | 5.00 | 14930.50 |
| 5SLV | 1.55 | -4380.42 | -1677.30 | 10721.10 | 1887.85 | 5.00 | 14537.80 |
| 7SLV | 0.00 | -5895.36 | 2638.09 | 14321.80 | 1255.13 | 5.00 | 14762.30 |
| 7SLV | 1.55 | -3686.88 | 1301.17 | 9054.27 | 1311.17 | 5.00 | 14435.10 |
| 7SLV | 0.00 | -5895.36 | -2763.17 | 14321.80 | 1255.13 | 5.00 | 14762.30 |
| 7SLV | 1.55 | -3686.88 | -1410.46 | 9054.27 | 1311.17 | 5.00 | 14435.10 |
| 7SLV | 0.00 | -6249.73 | 2638.09 | 15156.10 | 1255.13 | 5.00 | 14814.80 |
| 7SLV | 1.55 | -3921.87 | 1301.17 | 9620.30 | 1311.17 | 5.00 | 14469.90 |
| 7SLV | 0.00 | -6249.73 | -2763.17 | 15156.10 | 1255.13 | 5.00 | 14814.80 |
| 7SLV | 1.55 | -3921.87 | -1410.46 | 9620.30 | 1311.17 | 5.00 | 14469.90 |
| 9SLV | 0.00 | -4663.88 | 2124.46 | 11399.00 | 1456.40 | 5.00 | 14579.80 |
| 9SLV | 1.55 | -2979.15 | 946.15 | 7341.49 | 1513.85 | 5.00 | 14330.20 |
| 9SLV | 0.00 | -4663.88 | -1999.38 | 11399.00 | 1456.40 | 5.00 | 14579.80 |
| 9SLV | 1.55 | -2979.15 | -836.86 | 7341.49 | 1513.85 | 5.00 | 14330.20 |
| 9SLV | 0.00 | -7608.97 | 2124.46 | 18328.40 | 1456.40 | 5.00 | 15016.10 |
| 9SLV | 1.55 | -4715.72 | 946.15 | 11522.70 | 1513.85 | 5.00 | 14587.50 |
| 9SLV | 0.00 | -7608.97 | -1999.38 | 18328.40 | 1456.40 | 5.00 | 15016.10 |
| 9SLV | 1.55 | -4715.72 | -836.86 | 11522.70 | 1513.85 | 5.00 | 14587.50 |
| 11SLV | 0.00 | -5004.59 | 297.37 | 12211.30 | 597.84 | 5.00 | 14630.30 |
| 11SLV | 1.55 | -3187.21 | 52.60 | 7846.26 | 616.61 | 5.00 | 14361.10 |
| 11SLV | 0.00 | -5004.59 | -172.29 | 12211.30 | 597.84 | 5.00 | 14630.30 |
| 11SLV | 1.55 | -3187.21 | 56.69 | 7846.26 | 616.61 | 5.00 | 14361.10 |
| 11SLV | 0.00 | -7268.26 | 297.37 | 17537.40 | 597.84 | 5.00 | 14965.70 |
| 11SLV | 1.55 | -4507.66 | 52.60 | 11025.60 | 616.61 | 5.00 | 14556.70 |
| 11SLV | 0.00 | -7268.26 | -172.29 | 17537.40 | 597.84 | 5.00 | 14965.70 |
| 11SLV | 1.55 | -4507.66 | 56.69 | 11025.60 | 616.61 | 5.00 | 14556.70 |
| 13SLV | 0.00 | -5177.93 | 3452.20 | 12623.40 | 1810.33 | 5.00 | 14656.00 |
| 13SLV | 1.55 | -3271.39 | 1677.30 | 8050.19 | 1887.85 | 5.00 | 14373.50 |
| 13SLV | 0.00 | -5177.93 | -3327.11 | 12623.40 | 1810.33 | 5.00 | 14656.00 |
| 13SLV | 1.55 | -3271.39 | -1568.01 | 8050.19 | 1887.85 | 5.00 | 14373.50 |
| 13SLV | 0.00 | -7094.92 | 3452.20 | 17133.90 | 1810.33 | 5.00 | 14940.00 |
| 13SLV | 1.55 | -4423.48 | 1677.30 | 10824.20 | 1887.85 | 5.00 | 14544.20 |
| 13SLV | 0.00 | -7094.92 | -3327.11 | 17133.90 | 1810.33 | 5.00 | 14940.00 |
| 13SLV | 1.55 | -4423.48 | -1568.01 | 10824.20 | 1887.85 | 5.00 | 14544.20 |
| 15SLV | 0.00 | -5959.24 | 2763.17 | 14472.40 | 1255.13 | 5.00 | 14771.70 |
| 15SLV | 1.55 | -3729.94 | 1410.46 | 9158.09 | 1311.17 | 5.00 | 14441.50 |
| 15SLV | 0.00 | -5959.24 | -2638.09 | 14472.40 | 1255.13 | 5.00 | 14771.70 |
| 15SLV | 1.55 | -3729.94 | -1301.17 | 9158.09 | 1311.17 | 5.00 | 14441.50 |
| 15SLV | 0.00 | -6313.61 | 2763.17 | 15306.20 | 1255.13 | 5.00 | 14824.20 |
| 15SLV | 1.55 | -3964.93 | 1410.46 | 9723.88 | 1311.17 | 5.00 | 14476.30 |
| 15SLV | 0.00 | -6313.61 | -2638.09 | 15306.20 | 1255.13 | 5.00 | 14824.20 |
| 15SLV | 1.55 | -3964.93 | -1301.17 | 9723.88 | 1311.17 | 5.00 | 14476.30 |

Verifiche deformazioni

| Zi <m> | Zf <m> | C C | TC C | δ <cm > | h <m> | δ/h | Sic. |
|-----------|-----------|--------|---------|---------------|----------|--------|------|
| 0.0 | 3.1 | 2SL | 0.0 | 2.8 | 0.0 | 72.811 | |
| 0 | 0 | D | 1 | 5 | 3 | | |
| 0.0 | 3.1 | 8SL | 0.0 | 2.8 | 0.0 | 109.67 | |
| 0 | 0 | D | 1 | 5 | 2 | | |
| 0.0 | 3.1 | 1SL | 0.0 | 2.8 | 0.0 | 72.862 | |
| 0 | 0 | 4D | 1 | 5 | 3 | | |

| Zi <m> | Zf <m> | C C | TC C | δ <cm > | h <m> | δ/h | Sic. |
|-----------|-----------|--------|---------|---------------|----------|--------|------|
| 0.0 | 3.1 | 4SL | 0.0 | 2.8 | 0.0 | 110.52 | |
| 0 | 0 | D | 1 | 5 | 2 | | |
| 0.0 | 3.1 | 1SL | 0.0 | 2.8 | 0.0 | 73.115 | |
| 0 | 0 | 0D | 1 | 5 | 3 | | |
| 0.0 | 3.1 | 1SL | 0.0 | 2.8 | 0.0 | 111.58 | |
| 0 | 0 | 6D | 1 | 5 | 2 | | |

| Zi <m> | Zf <m> | C C | TC C | δ <cm > | h <m> | δ/h | Sic. |
|-----------|-----------|--------|---------|---------------|----------|--------|------|
| 0.0 | 3.1 | 6SL | 0.0 | 2.8 | 0.0 | 72.482 | |
| 0 | 0 | D | 1 | 5 | 3 | | |
| 0.0 | 3.1 | 1SL | 0.0 | 2.8 | 0.0 | 112.32 | |
| 0 | 0 | 2D | 1 | 5 | 2 | | |

BOSI E ASSOCIATI
STUDIO DI INGEGNERIA
Dott. Ing. Giovanni Bosi
Dott. Ing. Donato Musci
Dott. Ing. Davide Manenti
Dott. Ing. Nazzareno Zingarelli

**ISTITUTO ZOOPROFILATTICO SPERIMENTALE
DELLA LOMBARDIA E DELL'EMILIA ROMAGNA
"BRUNO UBERTINI"**

98-2023

**REALIZZAZIONE AMPLIAMENTO ISTITUTO
ZOOPROFILATTICO**

RELAZIONE DI CALCOLO

Pag. 52 di 76

Maschio n. 1C (ver. cinematismi)

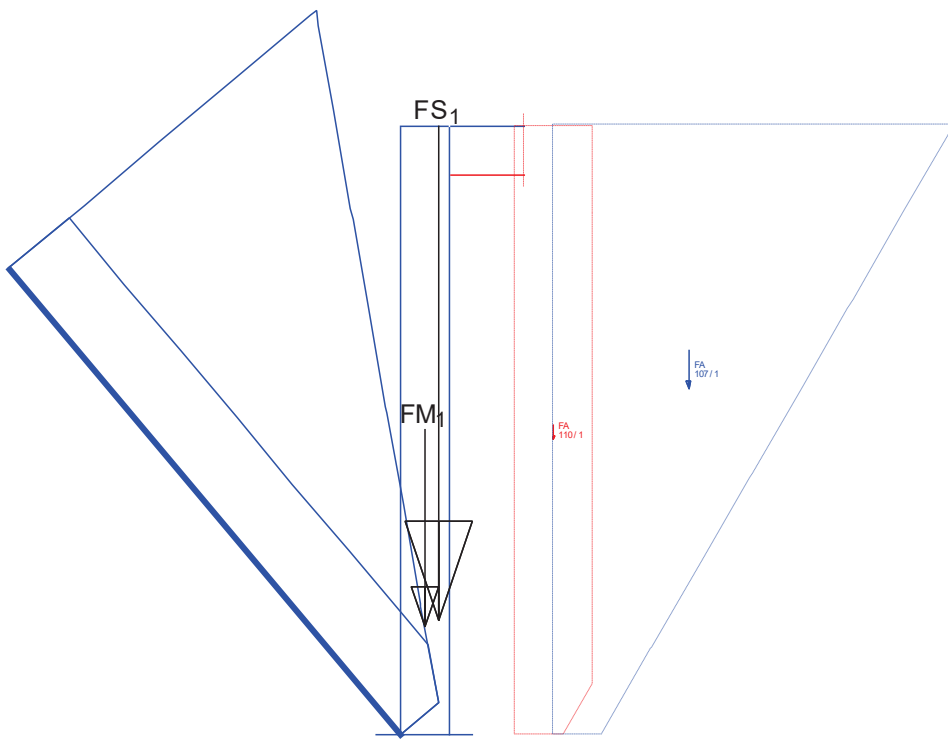
Xg=3.00 <m> Yg=0.13 <m> L=6.00 <m>

Configurazione geometrica e caratteristiche dei materiali utilizzati

| Zi <m> | Zf <m> | Spess. <cm> | h <m> | d ₁ <cm> | S _{sx} <cm> | d ₂ <cm> | S _{dx} <cm> | d ₂ <cm> | e _a <m> | a <m> | ρ | λ | f _x <daN/cmq> | f _d _{SLU} <daN/cmq> | f _d _{SLV} <daN/cmq> | f _{vK0} <daN/cmq> | f _{vdo} _{SLU} <daN/cmq> | f _{vdo} _{SLV} <daN/cmq> |
|-----------|-----------|----------------|----------|------------------------|-------------------------|------------------------|-------------------------|------------------------|-----------------------|----------|---|---|-----------------------------|--|--|-------------------------------|--|--|
| 0.00 | 3.10 | 25.00 | 2.85 | | 100 | 7.00 | 1.43 | 0.00 | 1.00 | 11.40 | | | 53.00 | 19.63 | 19.63 | 3.00 | 1.11 | 1.11 |

Verifiche cinematismi

Ribalt. a z=0.00 ammors. a z=0.00



Elenco forze agenti

| N | F _x <daN> | F _z <daN> | X _g <m> | Z _g <m> | Commento |
|-----------------|-------------------------|-------------------------|-----------------------|-----------------------|-------------------------|
| FA110/1 | | 244.12 | 0.07 | 1.57 | Peso ammorsamenti 110/1 |
| FA107/1 | | 709.83 | 0.56 | 1.95 | Peso ammorsamenti 107/1 |
| FM ₁ | | 3720.04 | 0.00 | 1.55 | Peso maschio piano 1 |
| FS ₁ | | 9374.87 | 0.07 | 3.10 | Peso solaio piano 1 |

Massa partecipante al cinematismo M*=13341.70 <kg>

Frazione di massa partecipante e*=0.93

Analisi cinematica non lineare

Capacità di spostamento ultimo d_u*=86.50 <mm>

Domanda di spostamento [C8A.4.11]=50.72 <mm>

Indice di sicurezza in termini di accelerazione ζ_ε (A_g)=1.7054

Maschio n. 2C (ver. cinematismi)

Xg=0.45 <m> Yg=4.88 <m> L=0.90 <m>

Configurazione geometrica e caratteristiche dei materiali utilizzati

| Zi <m> | Zf <m> | Spess. <cm> | h <m> | d ₁ <cm> | S _{sx} <cm> | d ₂ <cm> | S _{dx} <cm> | d ₂ <cm> | e _a <m> | a <m> | ρ | λ | f _x <daN/cmq> | f _d _{SLU} <daN/cmq> | f _d _{SLV} <daN/cmq> | f _{vK0} <daN/cmq> | f _{vdo} _{SLU} <daN/cmq> | f _{vdo} _{SLV} <daN/cmq> |
|-----------|-----------|----------------|----------|------------------------|-------------------------|------------------------|-------------------------|------------------------|-----------------------|----------|-------|---|-----------------------------|--|--|-------------------------------|--|--|
| 0.00 | 3.10 | 25.00 | 2.85 | | 100 | 7.00 | | 1.43 | 0.00 | 1.00 | 11.40 | | 53.00 | 19.63 | 19.63 | 3.00 | 1.11 | 1.11 |

BOSI E ASSOCIATI
STUDIO DI INGEGNERIA
Dott. Ing. Giovanni Bosi
Dott. Ing. Donato Musci
Dott. Ing. Davide Manenti
Dott. Ing. Nazzareno Zingarelli

**ISTITUTO ZOOPROFILATTICO SPERIMENTALE
DELLA LOMBARDIA E DELL'EMILIA ROMAGNA
“BRUNO UBERTINI”**

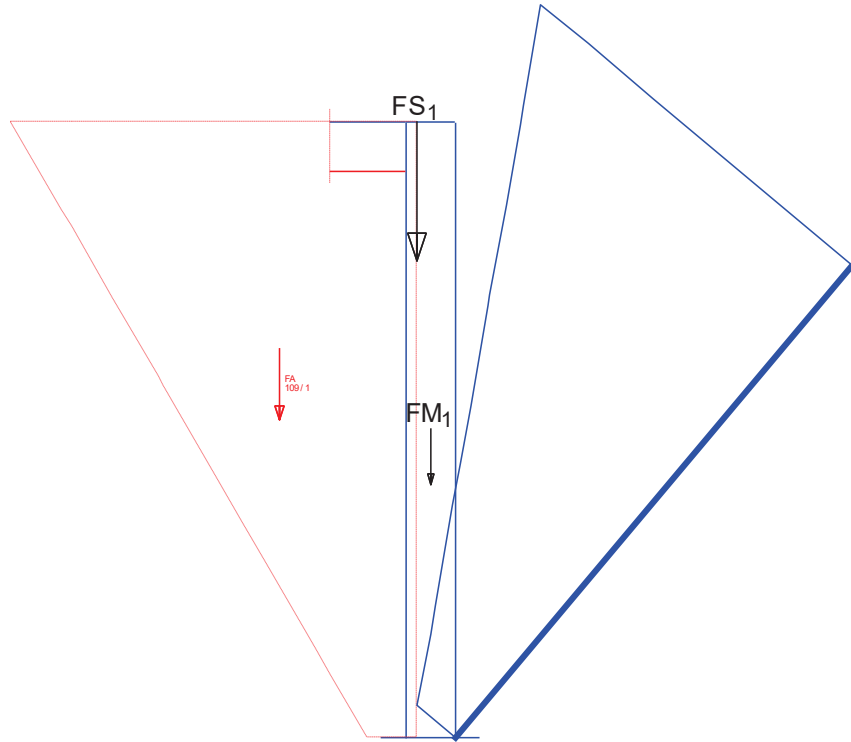
98-2023

**REALIZZAZIONE AMPLIAMENTO ISTITUTO
ZOOPROFILATTICO**

RELAZIONE DI CALCOLO

Pag. 53 di 76

Verifiche cinematicismi
Ribalt. a z=0.00 ammors. a z=0.00



Elenco forze agenti

| N | Fx <daN> | Fz <daN> | Xg <m> | Zg <m> | Commento |
|-----------------|-------------|-------------|-----------|-----------|-------------------------|
| FA109/1 | | 709.83 | 0.56 | 1.95 | Peso ammorsamenti 109/1 |
| FM ₁ | | 558.00 | 0.00 | 1.55 | Peso maschio piano 1 |
| FS ₁ | | 1406.26 | 0.07 | 3.10 | Peso solaio piano 1 |

Massa partecipante al cinematicismo M*=2536.62 <kg>

Frazione di massa partecipante e*=0.93

Analisi cinematica non lineare

Capacità di spostamento ultimo d_u*=133.91 <mm>

Domanda di spostamento [C8A.4.11]=49.41 <mm>

Indice di sicurezza in termini di accelerazione ζ_s (A_g)=2.7100

Maschio n. 3C (ver. cinematicismi)

Xg=4.50 <m> Yg=4.88 <m> L=3.00 <m>

Configurazione geometrica e caratteristiche dei materiali utilizzati

| Zi <m> | Zf <m> | Spess. <cm> | h <m> | d ₁ <cm> | S _{ax} <cm> | d ₂ <cm> | S _{dx} <cm> | d ₂ <cm> | e _a <cm> | a <cm> | ρ | λ | f _x <daN/cmq> | f _d SLU <daN/cmq> | f _d SLV <daN/cmq> | f _{vK0} <daN/cmq> | f _{vd0} SLU <daN/cmq> | f _{vd0} SLV <daN/cmq> |
|-----------|-----------|----------------|----------|------------------------|-------------------------|------------------------|-------------------------|------------------------|------------------------|-----------|-------|---|-----------------------------|---------------------------------|---------------------------------|-------------------------------|-----------------------------------|-----------------------------------|
| 0.00 | 3.10 | 25.00 | 2.85 | 100 | 7.00 | | 1.43 | 0.00 | 1.00 | 11.40 | 53.00 | | 19.63 | 19.63 | 3.00 | 1.11 | 1.11 | |

BOSI E ASSOCIATI
STUDIO DI INGEGNERIA
Dott. Ing. Giovanni Bosi
Dott. Ing. Donato Musci
Dott. Ing. Davide Manenti
Dott. Ing. Nazzareno Zingarelli

**ISTITUTO ZOOPROFILATTICO SPERIMENTALE
DELLA LOMBARDIA E DELL'EMILIA ROMAGNA
“BRUNO UBERTINI”**

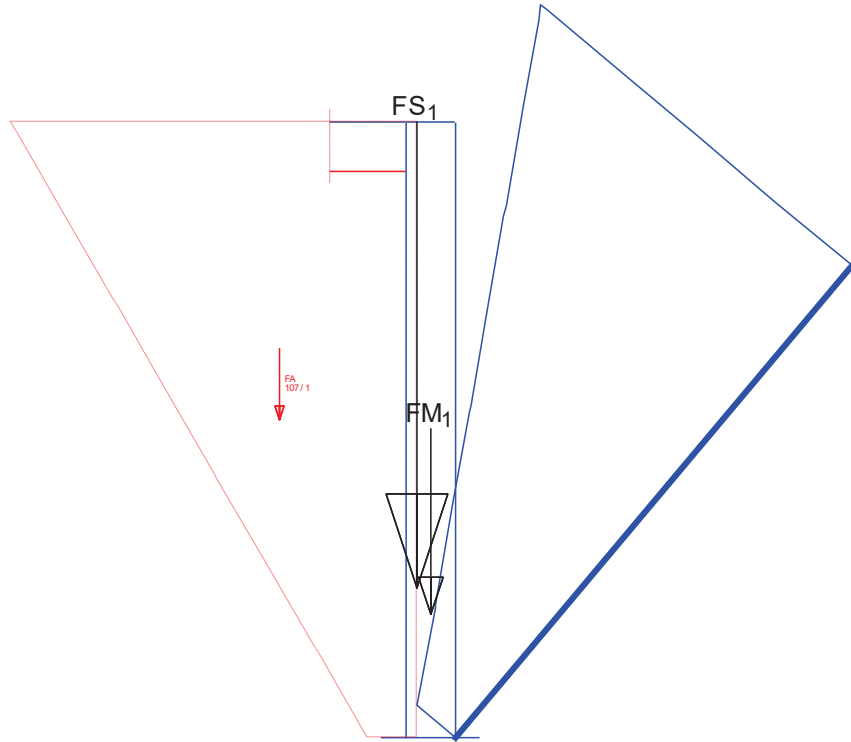
98-2023

**REALIZZAZIONE AMPLIAMENTO ISTITUTO
ZOOPROFILATTICO**

RELAZIONE DI CALCOLO

Pag. 54 di 76

Verifiche cinematicismi
Ribalt. a z=0.00 ammors. a z=0.00



Elenco forze agenti

| N | Fx <daN> | Fz <daN> | Xg <m> | Zg <m> | Commento |
|-----------------|-------------|-------------|-----------|-----------|-------------------------|
| FA107/1 | | 709.83 | 0.56 | 1.95 | Peso ammorsamenti 107/1 |
| FM ₁ | | 1860.00 | 0.00 | 1.55 | Peso maschio piano 1 |
| FS ₁ | | 4687.39 | 0.07 | 3.10 | Peso solaio piano 1 |

Massa partecipante al cinematicismo M*=6899.41 <kg>

Frazione di massa partecipante e*=0.93

Analisi cinematica non lineare

Capacità di spostamento ultimo d_u*=96.66 <mm>

Domanda di spostamento [C8A.4.11]=50.58 <mm>

Indice di sicurezza in termini di accelerazione ζ_s (A_g)=1.9110

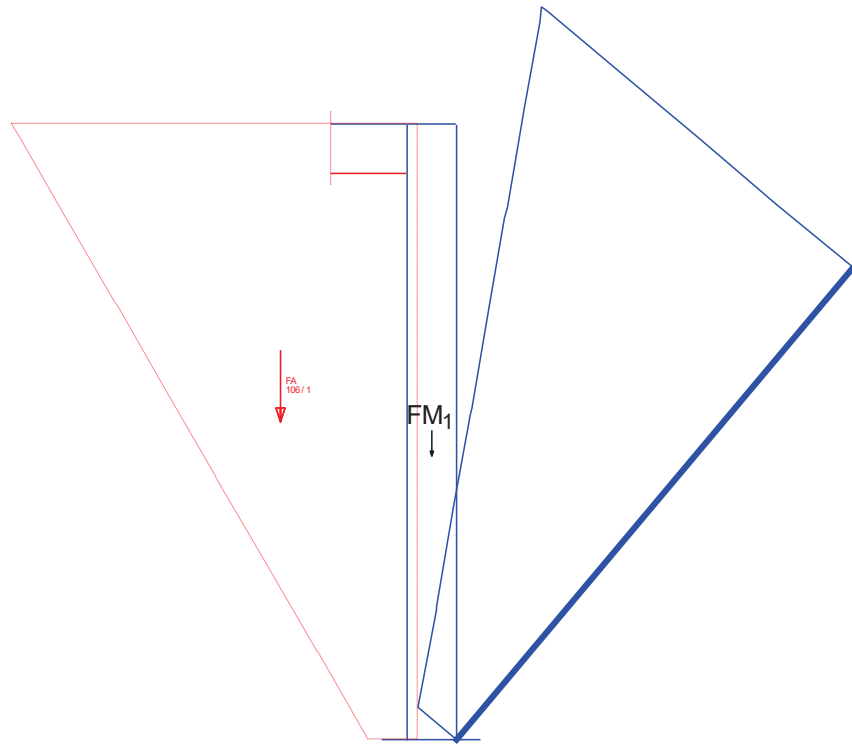
Maschio n. 4C (ver. cinematicismi)

Xg=0.13 <m> Yg=0.20 <m> L=0.40 <m>

Configurazione geometrica e caratteristiche dei materiali utilizzati

| Zi <m> | Zf <m> | Spess. <cm> | h <m> | d ₁ <cm> | S _{ax} <cm> | d ₂ <cm> | S _{dx} <cm> | d ₂ <cm> | e _a <cm> | a <cm> | ρ | λ | f _x <daN/cmq> | f _d SLU <daN/cmq> | f _{vK0} <daN/cmq> | f _{vd0} SLU <daN/cmq> | f _{vd0} SLV <daN/cmq> |
|-----------|-----------|----------------|----------|------------------------|-------------------------|------------------------|-------------------------|------------------------|------------------------|-----------|-------|-------|-----------------------------|---------------------------------|-------------------------------|-----------------------------------|-----------------------------------|
| 0.00 | 3.10 | 25.00 | 2.85 | 100 | 7.00 | | 1.43 | 0.00 | 1.00 | 11.40 | 53.00 | 19.63 | 19.63 | 3.00 | 1.11 | 1.11 | |

Verifiche cinematicismi
Ribalt. a z=0.00 ammors. a z=0.00



Elenco forze agenti

| N | Fx <daN> | Fz <daN> | Xg <m> | Zg <m> | Commento |
|-----------------|-------------|-------------|-----------|-----------|-------------------------|
| FA106/1 | | 709.83 | 0.56 | 1.95 | Peso ammorsamenti 106/1 |
| FM ₁ | | 248.02 | 0.00 | 1.55 | Peso maschio piano 1 |

Massa partecipante al cinematicismo $M^*=967.55 \text{ <kg>}$

Frazione di massa partecipante $e^*=0.99$

Analisi cinematica non lineare

Capacità di spostamento ultimo $d_u^*=219.18 \text{ <mm>}$

Domanda di spostamento [C8A.4.11]=42.74 <mm>

Indice di sicurezza in termini di accelerazione ζ_e (A_g)=5.1287

Maschio n. 5C (ver. cinematicismi)

$Xg=0.13 \text{ <m>} Yg=3.70 \text{ <m>} L=2.60 \text{ <m>}$

Configurazione geometrica e caratteristiche dei materiali utilizzati

| zi <m> | zf <cm> | Spess. <cm> | h <m> | d ₁ <cm> | S _{sx} <cm> | d ₂ <cm> | S _{ax} <cm> | d ₂ <cm> | e _a <cm> | a <m> | ρ | λ | f _k <daN/cmq> | f _a SLU <daN/cmq> | f _d SLV <daN/cmq> | f _{vko} <daN/cmq> | f _{vd0} SLU <daN/cmq> | f _{vd0} SLV <daN/cmq> |
|-----------|------------|----------------|----------|------------------------|-------------------------|------------------------|-------------------------|------------------------|------------------------|----------|-------|-------|-----------------------------|---------------------------------|---------------------------------|-------------------------------|-----------------------------------|-----------------------------------|
| 0.00 | 3.10 | 25.00 | 2.85 | 100 | 7.00 | | 1.43 | 0.00 | 1.00 | 11.40 | 53.00 | 19.63 | 19.63 | 3.00 | 1.11 | 1.11 | | |

BOSI E ASSOCIATI
STUDIO DI INGEGNERIA
Dott. Ing. Giovanni Bosi
Dott. Ing. Donato Musci
Dott. Ing. Davide Manenti
Dott. Ing. Nazzareno Zingarelli

**ISTITUTO ZOOPROFILATTICO SPERIMENTALE
DELLA LOMBARDIA E DELL'EMILIA ROMAGNA
“BRUNO UBERTINI”**

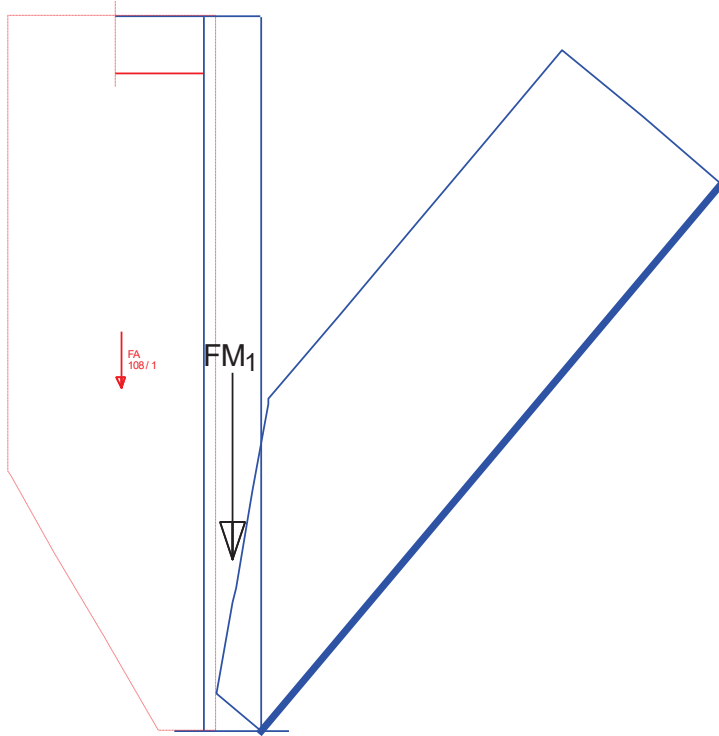
98-2023

**REALIZZAZIONE AMPLIAMENTO ISTITUTO
ZOOPROFILATTICO**

RELAZIONE DI CALCOLO

Pag. 56 di 76

Verifiche cinematicismi
Ribalt. a z=0.00 ammors. a z=0.00



Elenco forze agenti

| N | Fx <daN> | Fz <daN> | Xg <m> | Zg <m> | Commento |
|---------|----------|----------|--------|--------|-------------------------|
| FA108/1 | | 484.82 | 0.29 | 1.73 | Peso ammorsamenti 108/1 |
| FM1 | | 1612.00 | 0.00 | 1.55 | Peso maschio piano 1 |

Massa partecipante al cinematicismo $M^*=2132.72 \text{ <kg>}$

Frazione di massa partecipante $e^*=1.00$

Analisi cinematica non lineare

Capacità di spostamento ultimo $d_u^*=76.97 \text{ <mm>}$

Domanda di spostamento [C8A.4.11]=39.64 <mm>

Indice di sicurezza in termini di accelerazione $\zeta_e \text{ (A_g)}=1.9417$

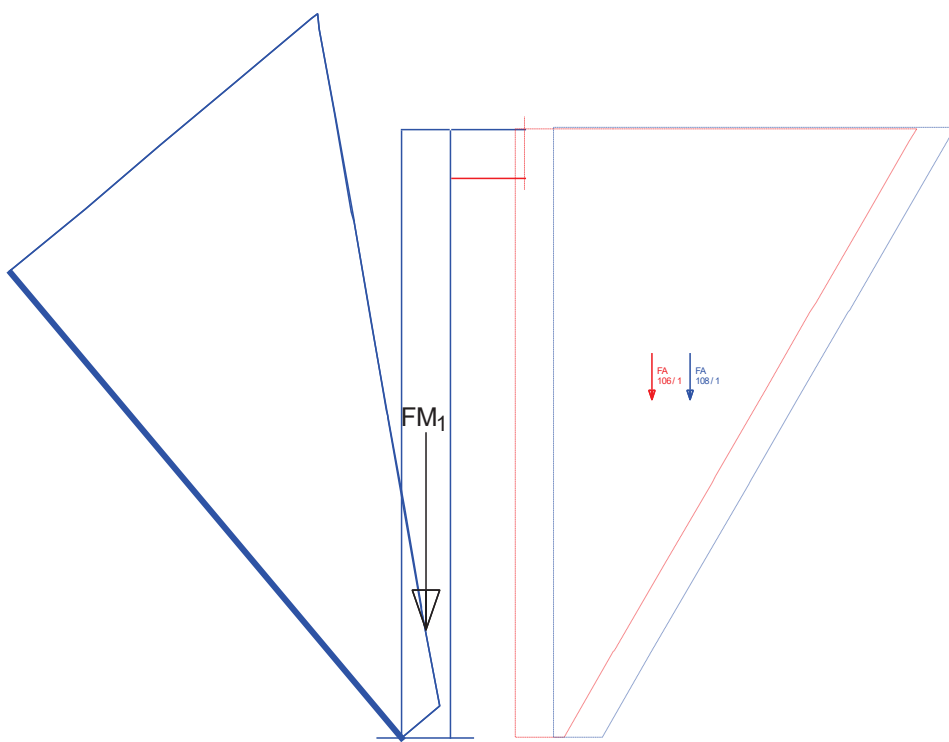
Maschio n. 6C (ver. cinematicismi)

Xg=5.88 <m> Yg=2.50 <m> L=5.00 <m>

Configurazione geometrica e caratteristiche dei materiali utilizzati

| Zi <m> | Zf <m> | Spess. <cm> | h <m> | d1 <cm> | Ssx <cm> | d2 <cm> | Sdx <cm> | d2 <cm> | e_a <cm> | a <m> | p | λ | f _x <daN/cm ² > | f _d SLV <daN/cm ² > | f _v RO <daN/cm ² > | f _{vd0} SLU <daN/cm ² > | f _{vd0} SLV <daN/cm ² > |
|--------|--------|-------------|-------|---------|----------|---------|----------|---------|----------|-------|-------|-------|---------------------------------------|---|--|---|---|
| 0.00 | 3.10 | 25.00 | 2.85 | | 100 | 7.00 | 1.43 | 5.00 | 0.93 | 10.60 | 53.00 | 19.63 | 19.63 | 3.00 | 1.11 | 1.11 | |

Verifiche cinematicismi
Ribalt. a z=0.00 ammors. a z=0.00



Elenco forze agenti

| N | Fx <daN> | Fz <daN> | Xg <m> | Zg <m> | Commento |
|---------|-------------|-------------|-----------|-----------|-------------------------|
| FA106/1 | | 709.83 | 0.56 | 1.95 | Peso ammortamenti 106/1 |
| FA108/1 | | 709.83 | 0.56 | 1.95 | Peso ammortamenti 108/1 |
| FM1 | 3100.00 | 0.00 | 1.55 | | Peso maschio piano 1 |

Massa partecipante al cinematicismo $M^*=4550.34$ <kg>

Frazione di massa partecipante $e^*=0.99$

Analisi cinematica non lineare

Capacità di spostamento ultimo $d_u^*=122.38$ <mm>

Domanda di spostamento [C8A.4.11]=40.70 <mm>

Indice di sicurezza in termini di accelerazione ζ_E (A_g)=3.0071

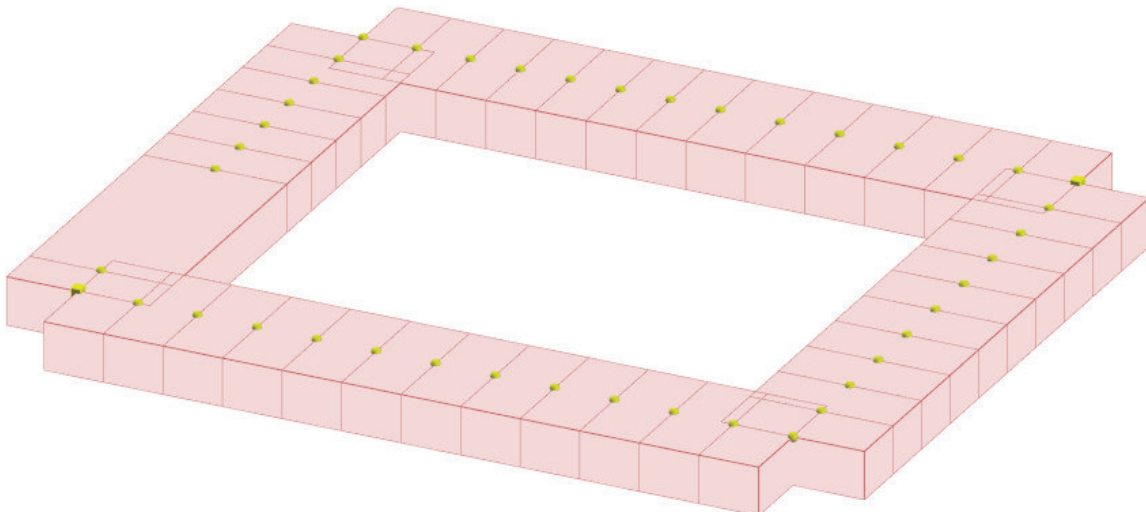
| | | |
|---|---|-----------------------------|
| BOSI E ASSOCIATI STUDIO DI INGEGNERIA Dott. Ing. Giovanni Bosi Dott. Ing. Donato Musci Dott. Ing. Davide Manenti Dott. Ing. Nazzareno Zingarelli | ISTITUTO ZOOPROFILATTICO SPERIMENTALE DELLA LOMBARDIA E DELL'EMILIA ROMAGNA “BRUNO UBERTINI” | 98-2023 |
| | REALIZZAZIONE AMPLIAMENTO ISTITUTO ZOOPROFILATTICO | RELAZIONE DI CALCOLO |

Pag. 58 di 76

6 VERIFICHE STRUTTURALI FONDAZIONE

6.1 Modellazione della fondazione

Anche per le fondazioni del fabbricato viene realizzato un modello ad elementi finiti mediante il software di calcolo “MODEST” di Harpaceas. Le travi rovesce sono modellate con aste monodimensionali e ognuna di essa viene considerata come una trave su suolo elastico alla Winkler con costante del terreno calcolata al paragrafo 8.2 della seguente relazione di calcolo. Gli spostamenti orizzontali delle travi sono impediti mediante vincoli orizzontali su due nodi di spigolo. Le reazioni vincolari ricavate dal modello FEM d'elevazione del fabbricato sono state trasferite sui corrispettivi nodi del modello delle fondazioni e le calcolazioni e le verifiche sono state ottenute dall'inviluppo di tali azioni con il peso proprio delle travi rovesce.



| |
|---------------------------|
| Aste |
| Sezioni |
| 2 Trave rovescia 120x40cm |

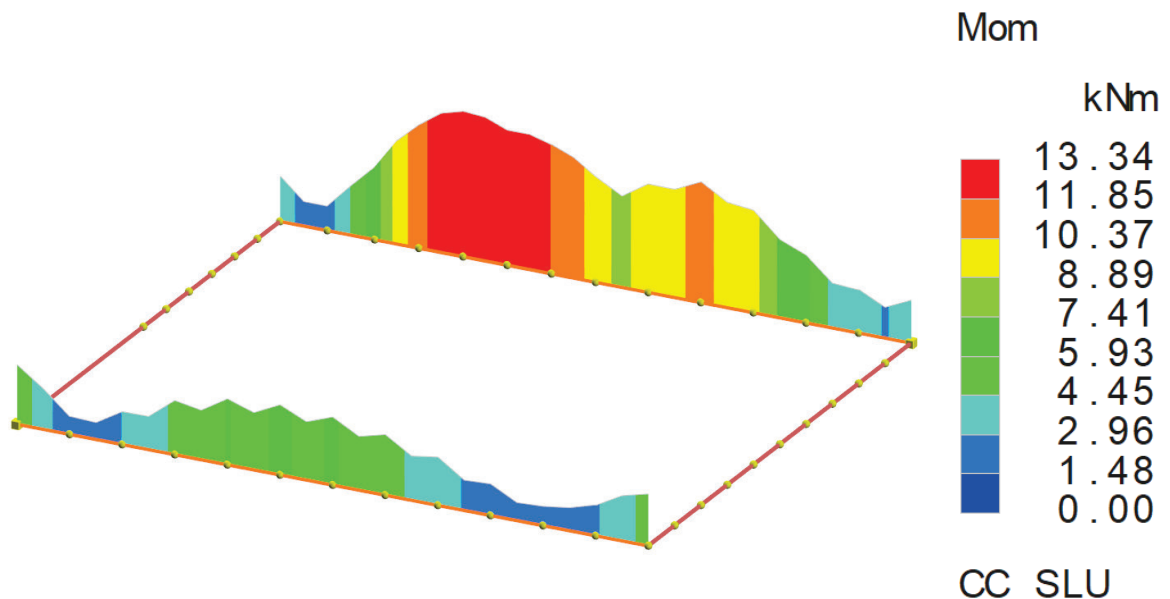
6.2 Travi rovesce

Per le seguenti verifiche sulle travi di fondazioni si considera l'inviluppo delle azioni statiche SLU e quelle sismiche SLV.

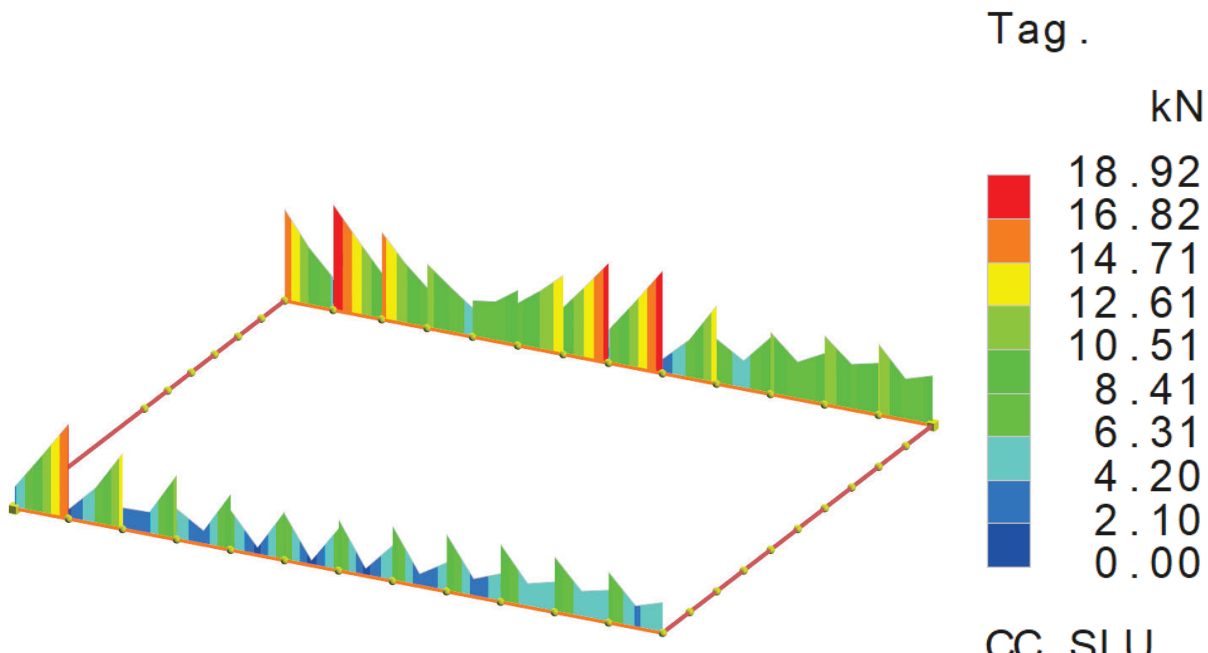
6.2.1 Trave di fondazione 1

Sollecitazioni trave (SLU)

- Momento flettente (SLU):



- Taglio (SLU):



Verifica di resistenza a flessione (SLU)

Momento massimo sollecitante: $M_{Ed} = 13.34 \text{ kNm}$

Armatura: 6Φ16 sia superiormente che inferiormente

Verifica C.A. S.L.U. - File:

File Materiali Opzioni Visualizza Progetto Sez. Rett. Sismica Normativa: NTC 2018 ?

Titolo : Trave di fondazione

N° strati barre 2 **Zoom**

| N° | b [cm] | h [cm] |
|----|--------|--------|
| 1 | 120 | 40 |

| N° | As [cm ²] | d [cm] |
|----|-----------------------|--------|
| 1 | 12,06 | 5 |
| 2 | 12,06 | 35 |

Tipo Sezione

- Rettan.re
- Trapezi
- a T
- Circolare
- Rettangoli
- Coord.
- DXF

Sollecitazioni

S.L.U. → Metodo n

| | |
|--------------------|-------|
| N _{Ed} 0 | 0 kN |
| M _{xEd} 0 | 0 kNm |
| M _{yEd} 0 | 0 |

P.t. applicazione N

- Centro
- Baricentro cls
- Coord.[cm] xN 0 yN 0

Tipo rottura

Lato calcestruzzo - Acciaio snervato

Materiali

| | |
|--|---------------------------------------|
| B450C | C25/30 |
| ε_{su} 67,5 % | ε_{c2} 2 % |
| f _{yd} 391,3 N/mm ² | ε_{cu} 3,5 |
| E _s 200.000 N/mm ² | f _{cd} 14,17 |
| E _s /E _c 15 | f _{cc} / f _{cd} 0,8 |
| ε_{syd} 1,957 % | $\sigma_{c,adm}$ 9,75 |
| $\sigma_{s,adm}$ 255 N/mm ² | τ_{co} 0,6 |
| | τ_{c1} 1,829 |

Metodo di calcolo

- S.L.U.+
- S.L.U.-
- Metodo n

Tipo flessione

- Retta
- Deviata

Calcoli

M_{xRd} 160,7 kNm

σ_c -14,17 N/mm²

σ_s 391,3 N/mm²

ε_c 3,5 %

ε_s 24,69 %

d 35 cm

x 4,346 x/d 0,1242

δ 0,7

Calcola MRd **Dominio M-N**

L₀ 0 cm **Col. modello**

M-curvatura

Precompresso

$M_{Rd} = 160.7 \text{ kNm} > M_{Ed} \rightarrow \text{VERIFICA SODDISFATTA}$

| | | |
|---|--|--|
| BOSI E ASSOCIATI STUDIO DI INGEGNERIA Dott. Ing. Giovanni Bosi Dott. Ing. Donato Musci Dott. Ing. Davide Manenti Dott. Ing. Nazzareno Zingarelli | ISTITUTO ZOOPROFILATTICO SPERIMENTALE DELLA LOMBARDIA E DELL'EMILIA ROMAGNA “BRUNO UBERTINI” REALIZZAZIONE AMPLIAMENTO ISTITUTO ZOOPROFILATTICO | 98-2023 RELAZIONE DI CALCOLO Pag. 61 di 76 |
|---|--|--|

Verifica di resistenza a taglio (SLU)

Taglio massimo sollecitante: $V_{Ed} = 18.92 \text{ kN}$

Si utilizzano staffe $\Phi 8/20$ a due bracci.

Ponendo $\arctan \theta = 1$:

$$V_{Rd,s} = 0.9 \cdot d \cdot \frac{A_{sw}}{s} \cdot f_{yd} \cdot \cotan \theta = 0.9 \cdot 350 \cdot \frac{2 \cdot 50}{200} \cdot 391.3 \cdot 1 = 61.6 \text{ kN}$$

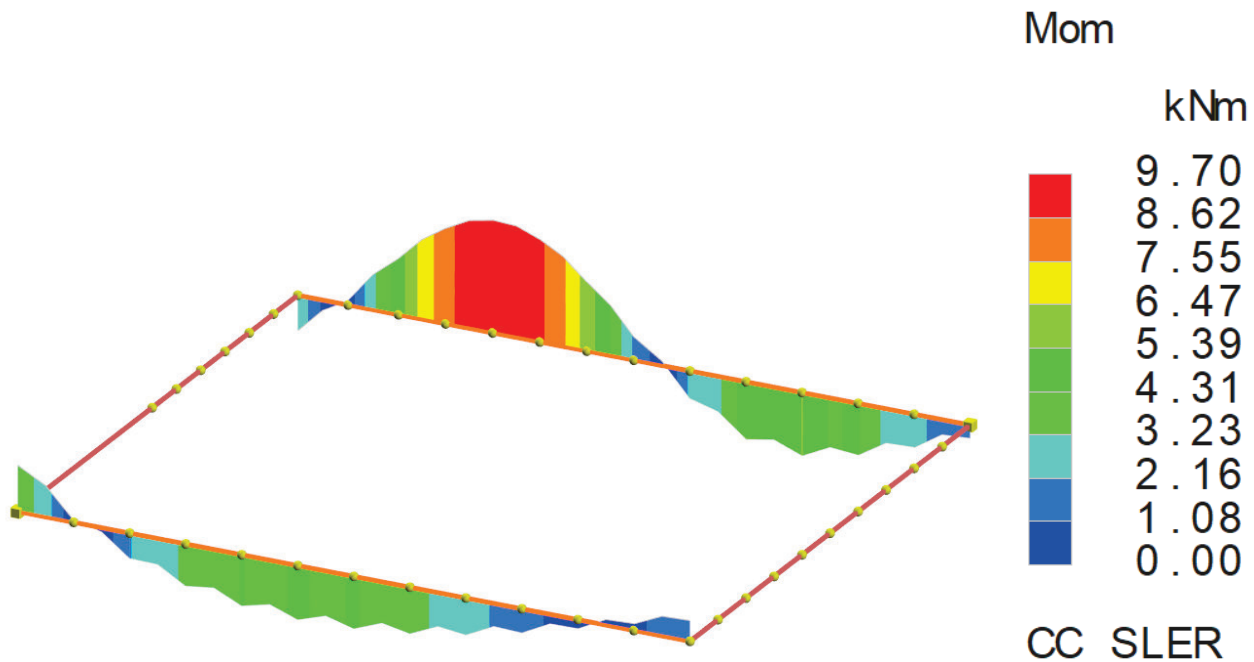
$$V_{Rd,c} = 0.9 \cdot d \cdot B \cdot f'_{cd} \cdot \frac{\cotan \theta}{1 + \cotan^2 \theta} = 0.9 \cdot 350 \cdot 1200 \cdot 0.5 \cdot 14.1 \cdot \frac{1}{1 + 1^2} = 1332 \text{ kN}$$

$$V_{Rd} = \min[V_{Rd,s}; V_{Rd,c}] = 61.6 \text{ kN} > V_{Ed} \rightarrow \text{VERIFICA SODDISFATTA}$$

Verifica sforzi in esercizio (SLE)

Le sollecitazioni sulla trave, allo SLE – combinazione rara sono le seguenti:

- Momento flettente (Momento flettente (SLE – rara):



REALIZZAZIONE AMPLIAMENTO ISTITUTO
ZOOPROFILATTICO

RELAZIONE DI CALCOLO

Pag. 63 di 76

Verifica C.A. S.L.U. - File:

File Materiali Opzioni Visualizza Progetto Sez. Rett. Sismica Normativa: NTC 2018 ?

Titolo : Trave di fondazione

N° strati barre

| N* | b [cm] | h [cm] |
|----|--------|--------|
| 1 | 120 | 40 |

| N* | As [cm ²] | d [cm] |
|----|-----------------------|--------|
| 1 | 12,06 | 5 |
| 2 | 12,06 | 35 |

Tipo Sezione

- Rettan.re
- Trapezi
- a T
- Circolare
- Rettangoli
- Coord.
- DXF

Sollecitazioni

S.L.U. Metodo n

| | |
|---|--------------------------------------|
| N _{Ed} <input type="text" value="0"/> | 0 <input type="text" value="kN"/> |
| M _{xEd} <input type="text" value="0"/> | 9,7 <input type="text" value="kNm"/> |
| M _{yEd} <input type="text" value="0"/> | 0 <input type="text"/> |

P.tto applicazione N

- Centro
- Baricentro cls
- Coord.[cm]

Materiali

| | |
|---------------------------------|--|
| B450C | C25/30 |
| ε_{su} 67,5 % | ε_{c2} 2 % |
| f_yd 391,3 N/mm ² | ε_{cu} 3,5 |
| E_s 200.000 N/mm ² | f_{cd} 14,17 |
| E_s/E_c 15 | f_{cc} / f_{cd} 0,8 <input button"="" type="button" value="Verifica"/> <p>N° iterazioni: <input type="text" value="4"/></p> <p><input type="checkbox"/> Precompresso</p> |

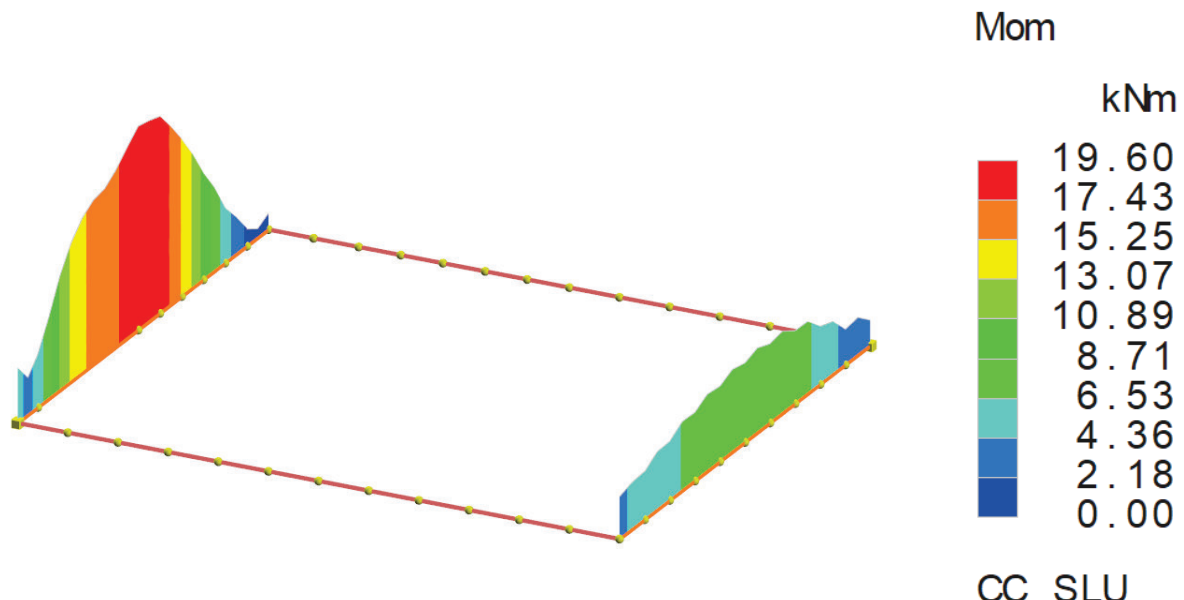
$$\sigma_c = 0.5281 \text{ MPa} < 0.6 \times f_{ck} = 15 \text{ MPa} \rightarrow \text{VERIFICA SODDISFATTA}$$

$$\sigma_s = 25.19 \text{ MPa} < 0.8 \times f_{yk} = 360 \text{ MPa} \rightarrow \text{VERIFICA SODDISFATTA}$$

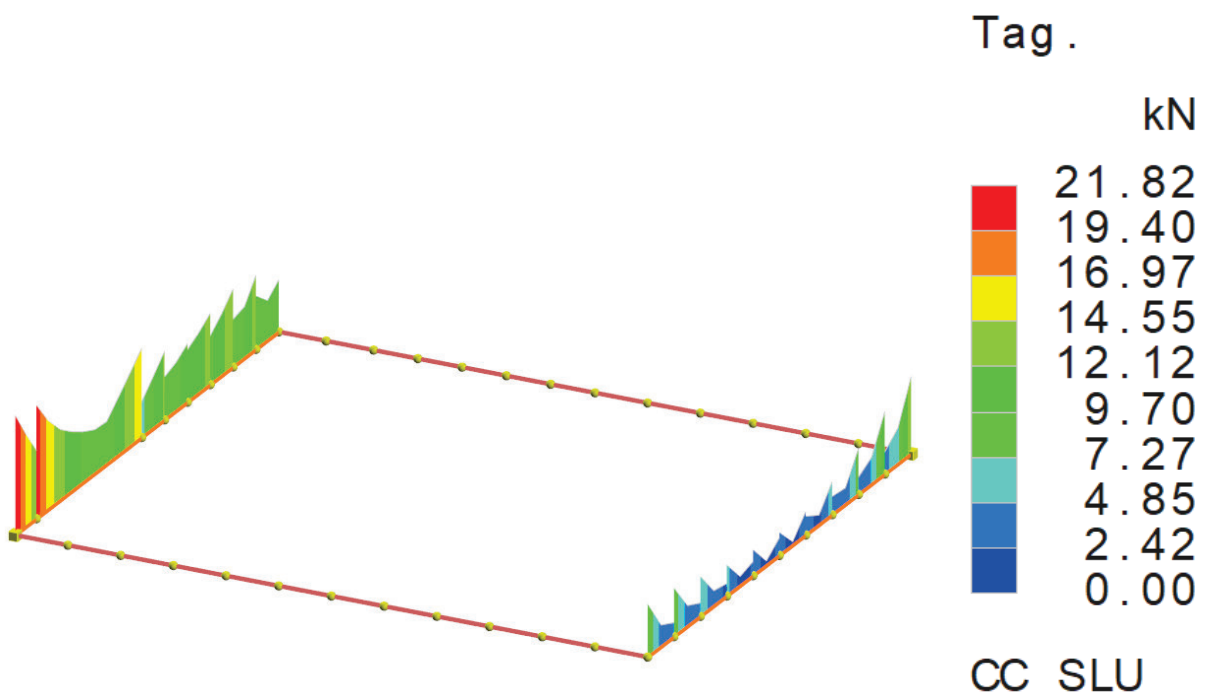
6.2.2 Trave di fondazione 2

Sollecitazioni trave (SLU)

- Momento flettente (SLU):



- Taglio (SLU):



Verifica di resistenza a flessione (SLU)

Momento massimo sollecitante: $M_{Ed} = 19.6 \text{ kNm}$

Armatura: 6Φ16 sia superiormente che inferiormente

Verifica C.A. S.L.U. - File:

File Materiali Opzioni Visualizza Progetto Sez. Rett. Sismica Normativa: NTC 2018 ?

Titolo : Trave di fondazione

N° strati barre 2 **Zoom**

| N° | b [cm] | h [cm] |
|----|--------|--------|
| 1 | 120 | 40 |

| N° | As [cm ²] | d [cm] |
|----|-----------------------|--------|
| 1 | 12,06 | 5 |
| 2 | 12,06 | 35 |

Tipo Sezione

- Rettan.re
- Trapezi
- a T
- Circolare
- Rettangoli
- Coord.
- DXF

Sollecitazioni

S.L.U. → Metodo n

| | |
|--------------------|-------|
| N _{Ed} 0 | 0 kN |
| M _{xEd} 0 | 0 kNm |
| M _{yEd} 0 | 0 |

P.t. applicazione N

- Centro
- Baricentro cls
- Coord.[cm] xN 0 yN 0

Tipo rottura

Lato calcestruzzo - Acciaio snervato

Materiali

| | |
|--|---------------------------------------|
| B450C | C25/30 |
| ε_{su} 67,5 % | ε_{c2} 2 % |
| f _{yd} 391,3 N/mm ² | ε_{cu} 3,5 |
| E _s 200.000 N/mm ² | f _{cd} 14,17 |
| E _s /E _c 15 | f _{cc} / f _{cd} 0,8 |
| ε_{syd} 1,957 % | $\sigma_{c,adm}$ 9,75 |
| $\sigma_{s,adm}$ 255 N/mm ² | τ_{co} 0,6 |
| | τ_{c1} 1,829 |

Metodo di calcolo

- S.L.U.+
- S.L.U.-
- Metodo n

Tipo flessione

- Retta
- Deviata

Calcoli

M_{xRd} 160,7 kNm

σ_c -14,17 N/mm²

σ_s 391,3 N/mm²

ε_c 3,5 %

ε_s 24,69 %

d 35 cm

x 4,346 x/d 0,1242

δ 0,7

Calcola MRd **Dominio M-N**

L₀ 0 cm **Col. modello**

M-curvatura

Precompresso

$M_{Rd} = 160.7 \text{ kNm} > M_{Ed} \rightarrow \text{VERIFICA SODDISFATTA}$

| | | |
|---|--|--|
| BOSI E ASSOCIATI STUDIO DI INGEGNERIA Dott. Ing. Giovanni Bosi Dott. Ing. Donato Musci Dott. Ing. Davide Manenti Dott. Ing. Nazzareno Zingarelli | ISTITUTO ZOOPROFILATTICO SPERIMENTALE DELLA LOMBARDIA E DELL'EMILIA ROMAGNA “BRUNO UBERTINI” REALIZZAZIONE AMPLIAMENTO ISTITUTO ZOOPROFILATTICO | 98-2023 RELAZIONE DI CALCOLO Pag. 66 di 76 |
|---|--|--|

Verifica di resistenza a taglio (SLU)

Taglio massimo sollecitante: $V_{Ed} = 21.82 \text{ kN}$

Si utilizzano staffe $\Phi 8/20$ a due bracci.

Ponendo $\arctan \theta = 1$:

$$V_{Rd,s} = 0.9 \cdot d \cdot \frac{A_{sw}}{s} \cdot f_{yd} \cdot \cotan \theta = 0.9 \cdot 350 \cdot \frac{2 \cdot 50}{200} \cdot 391.3 \cdot 1 = 61.6 \text{ kN}$$

$$V_{Rd,c} = 0.9 \cdot d \cdot B \cdot f'_{cd} \cdot \frac{\cotan \theta}{1 + \cotan^2 \theta} = 0.9 \cdot 350 \cdot 1200 \cdot 0.5 \cdot 14.1 \cdot \frac{1}{1 + 1^2} = 1332 \text{ kN}$$

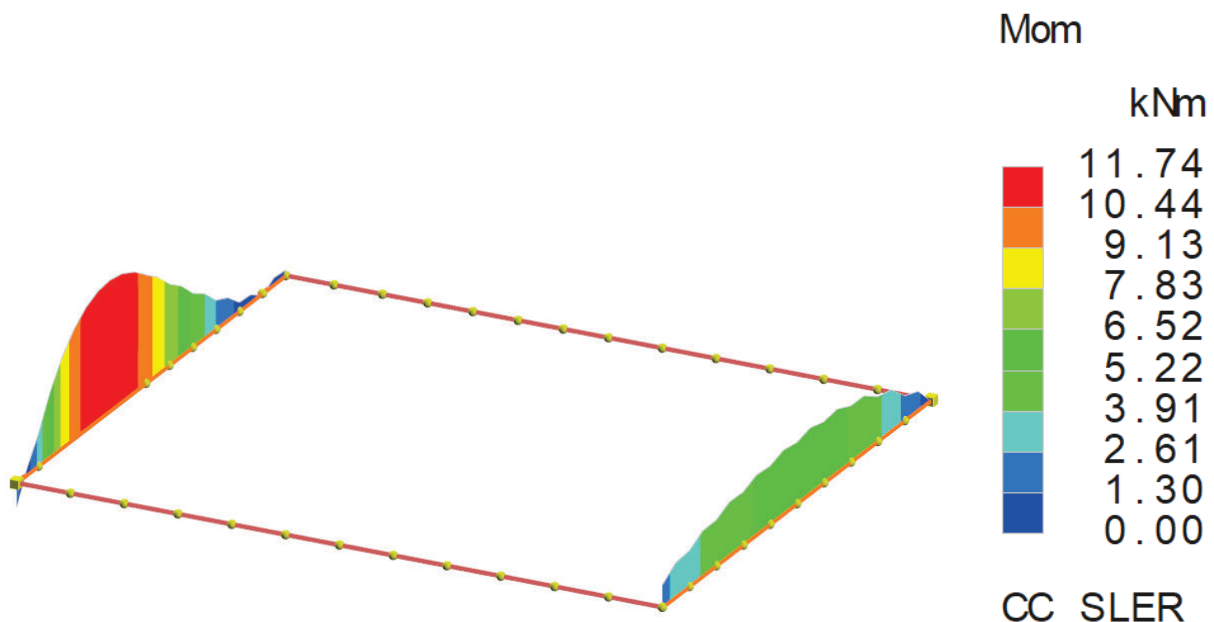
$$V_{Rd} = \min[V_{Rd,s}; V_{Rd,c}] = 61.6 \text{ kN} > V_{Ed} \rightarrow \text{VERIFICA SODDISFATTA}$$

| | | |
|---|--|--|
| BOSI E ASSOCIATI STUDIO DI INGEGNERIA Dott. Ing. Giovanni Bosi Dott. Ing. Donato Musci Dott. Ing. Davide Manenti Dott. Ing. Nazzareno Zingarelli | ISTITUTO ZOOPROFILATTICO SPERIMENTALE DELLA LOMBARDIA E DELL'EMILIA ROMAGNA “BRUNO UBERTINI” REALIZZAZIONE AMPLIAMENTO ISTITUTO ZOOPROFILATTICO | 98-2023 RELAZIONE DI CALCOLO Pag. 67 di 76 |
|---|--|--|

Verifica sforzi in esercizio (SLE)

Le sollecitazioni sulla trave, allo SLE – combinazione rara sono le seguenti:

- Momento flettente (SLE – rara):



REALIZZAZIONE AMPLIAMENTO ISTITUTO
ZOOPROFILATTICO

RELAZIONE DI CALCOLO

Pag. 68 di 76

Verifica C.A. S.L.U. - File: Titolo : Trave di fondazione

N° strati barre: 2 Zoom

| N° | b [cm] | h [cm] |
|----|--------|--------|
| 1 | 120 | 40 |

| N° | A _s [cm ²] | d [cm] |
|----|-----------------------------------|--------|
| 1 | 12,06 | 5 |
| 2 | 12,06 | 35 |

Tipo Sezione

- Rettang.re
- Trapezi
- a T
- Circolare
- Rettangoli
- Coord.
- DXF

Sollecitazioni

S.L.U. → Metodo n

| | |
|----------------------|-----------|
| N _{Ed} : 0 | 0 kN |
| M _{xEd} : 0 | 11.74 kNm |
| M _{yEd} : 0 | 0 |

P.tto applicazione N

- Centro
- Baricentro cls
- Coord.[cm]

| |
|-------|
| xN: 0 |
| yN: 0 |

Metodo di calcolo

- S.L.U.+
- S.L.U.-
- Metodo n

Materiali

| | |
|--|--------------------------|
| B450C | C25/30 |
| ε_{su} : 67,5 % | ε_{c2} : 2 % |
| f_yd : 391,3 N/mm ² | ε_{cu} : 3,5 |
| E_s : 200.000 N/mm ² | f_{cd} : 14,17 |
| E_s/E_c : 15 | f_{cc} / f_{cd} : 0,8 |
| ε_{syd} : 1,957 % | $\sigma_{c,adm}$: 9,75 |
| $\sigma_{s,adm}$: 255 N/mm ² | τ_{co} : 0,6 |
| | τ_{c1} : 1,829 |

σ_c : -0,6392 N/mm²

σ_s : 30,49 N/mm²

ε_s : 0,1524 %

d: 35 cm

x: 8,373 x/d: 0,2392

δ : 0,739

Verifica

N° iterazioni: 4

Precompresso

$\sigma_c = 0.6392 \text{ MPa} < 0.6 \times f_{ck} = 15 \text{ MPa} \rightarrow \text{VERIFICA SODDISFATTA}$

$\sigma_s = 30.49 \text{ MPa} < 0.8 \times f_{yk} = 360 \text{ MPa} \rightarrow \text{VERIFICA SODDISFATTA}$

| | | |
|---|--|----------------------|
| BOSI E ASSOCIATI STUDIO DI INGEGNERIA Dott. Ing. Giovanni Bosi Dott. Ing. Donato Musci Dott. Ing. Davide Manenti Dott. Ing. Nazzareno Zingarelli | ISTITUTO ZOOPROFILATTICO SPERIMENTALE DELLA LOMBARDIA E DELL'EMILIA ROMAGNA “BRUNO UBERTINI” | 98-2023 |
| | REALIZZAZIONE AMPLIAMENTO ISTITUTO ZOOPROFILATTICO | RELAZIONE DI CALCOLO |
| | | Pag. 69 di 76 |

7 VERIFICHE GEOTECNICHE FONDAZIONE

7.1 Parametri geotecnici del terreno

Dalla relazione geologica redatta dal Dott. Geologo Paolo Grimaldi, si ricavano i parametri geotecnici del terreno nel quale sono collocate le fondazioni del fabbricato. Si riportano di seguito due tabelle ricavate della relazione geologica, sugli strati di terreno interessato e sui rispettivi parametri geotecnici.

| Intervalli di profondità in m. | | | | Litologia | Consistenza | N _{SCPT} | N _{SPT} |
|--------------------------------|-------|---|-------|-------------------------------------|-------------------------|-------------------|------------------|
| da | 0,00 | a | 1,50 | | Densità relativa | [·] | [·] |
| da | 0,00 | a | 1,50 | limo poco sabbioso | Sciolto | 5 | 5 |
| da | 1,50 | a | 10,00 | Sabbie limose e argillose | Sciolto | 7 | 8 |
| da | 10,00 | a | 13,00 | Sabbie grossolane e ghiaia con limo | Moderatamente addensato | 16 | 18 |

Tabella 2: Modello geotecnico e parametri

| Intervalli di profondità in m. | | | Litologia | Consistenza | N _{SCPT} | N _{SPT} | C _u | c' | ϕ | Dr | E _s | v | n | γ _{dry} | γ _{nat} | γ _{sat} | γ' |
|--------------------------------|-------|---|-----------|-------------------------------------|-------------------------|------------------|----------------|-------|-----|-----|----------------|-----|------|----------------------|----------------------|----------------------|----------------------|
| da | 0,00 | a | | Densità relativa | [·] | [·] | [kPa] | [kPa] | [°] | [·] | [kPa] | [·] | [·] | [KN/m ³] | [KN/m ³] | [KN/m ³] | [KN/m ³] |
| da | 0,00 | a | 1,50 | limo poco sabbioso | Sciolto | 5 | 5 | 0 | 0 | 26 | 3.000 | 0,4 | 0,36 | 17,00 | 18,36 | 20,48 | |
| da | 1,50 | a | 10,00 | Sabbie limose e argillose | Sciolto | 7 | 8 | 0 | 0 | 28 | 4.500 | 0,4 | 0,33 | 17,50 | 19,03 | 20,98 | |
| da | 10,00 | a | 13,00 | Sabbie grossolane e ghiaia con limo | Moderatamente addensato | 16 | 18 | 0 | 0 | 31 | 7.000 | 0,4 | 0,28 | 19,00 | 21,81 | 21,81 | 12,00 |

Il piano di posa delle travi rovesce di fondazione si trova alla profondità di -0,65m dal piano del marciapiede e dunque è interessato lo strato 1 (da 0,00 a -1,50m) che ha i seguenti parametri geotecnici:

- Angolo di attrito: $\Phi=26^\circ$;
- Coesione: $c=0$;
- Modulo elastico: $E_s=3000$ kPa;
- $\mu=0,36$;
- Peso nell'unità di volume: $\gamma=18,36$ kN/m³.

| | | |
|---|--|----------------------|
| BOSI E ASSOCIATI STUDIO DI INGEGNERIA Dott. Ing. Giovanni Bosi Dott. Ing. Donato Musci Dott. Ing. Davide Manenti Dott. Ing. Nazzareno Zingarelli | ISTITUTO ZOOPROFILATTICO SPERIMENTALE DELLA LOMBARDIA E DELL'EMILIA ROMAGNA “BRUNO UBERTINI” | 98-2023 |
| | REALIZZAZIONE AMPLIAMENTO ISTITUTO ZOOPROFILATTICO | RELAZIONE DI CALCOLO |
| | | Pag. 70 di 76 |
| | | |

7.2 Calcolo della costante di Winkler

La fondazione è costituita da una trave rovescia in calcestruzzo armato di spessore 40cm e profonda 0.15m dal piano del marciapiede.

Ai fini della valutazione della capacità portante e in particolare dei sedimenti, viene in primo luogo calcolata la costante di Winkler del terreno, utilizzando i parametri geotecnici del terreno di cui sopra. Tale costante dipende dalle caratteristiche del terreno e dalle dimensioni geometriche della fondazione.

Per una fondazione diretta, tale modulo è ottenuto dalla seguente formula:

$$K_w = \frac{1}{B'E'_s I_F}$$

Dove:

$$E'_s = \frac{1-\mu^2}{E_s};$$

$$I_s = I_1 + \frac{1-2\mu}{1-\mu} I_2;$$

$$B' = B;$$

I_F si ottiene dal grafico rapporto di profondità D/B – Rapporto L/B – μ .

Il valore del modulo elastico viene calcolato come media ponderata sullo spessore dello strato, sulla media dei moduli elastici medi indicati nella relazione geologica: H=5B

- Trave di fondazione 1:

| CARATTERISTICHE GEOMETRICHE FONDATIONE | | | |
|--|--------------|--------------------------------------|-------|
| B= | 1,2 m | Dimensione trasversale | |
| L= | 6,95 m | Dimensione Longitudinale | |
| H= | 0,15 m | Spessore fondazione | |
| D= | 0,65 m | Ammorsamento | |
| L/B | 5,79 | | |
| D/B | 0,54 | | |
| CARATTERISTICHE TERRENO | | | |
| | Spessore [m] | E _s [kg/cm ²] | μ |
| Strato 1 | 0,85 | 300 | 0,36 |
| Strato 2 | 5,15 | 450 | 0,33 |
| Strato 3 | | | |
| Strato 4 | | | |
| Strato 5 | | | |
| | 6 | | |
| E _s - medio | 428,75 | | |
| μ medio | 0,33425 | | |
| E' _s | 2,07E-03 | | |
| I ₁ | 0,548 | | |
| I ₂ | 0,12 | | |
| I _s | 0,6077522 | | |
| I _f | 0,87 | | |
| COEFFICIENTE DI SOTTOFONDO | | | |
| K _w = | 7,61 | dAN/cm ² | |

| | | |
|---|---|-----------------------------|
| BOSI E ASSOCIATI STUDIO DI INGEGNERIA Dott. Ing. Giovanni Bosi Dott. Ing. Donato Musci Dott. Ing. Davide Manenti Dott. Ing. Nazzareno Zingarelli | ISTITUTO ZOOPROFILATTICO SPERIMENTALE DELLA LOMBARDIA E DELL'EMILIA ROMAGNA "BRUNO UBERTINI" | 98-2023 |
| | REALIZZAZIONE AMPLIAMENTO ISTITUTO ZOOPROFILATTICO | RELAZIONE DI CALCOLO |
| | | Pag. 71 di 76 |
| | | |

- Trave di fondazione 2:

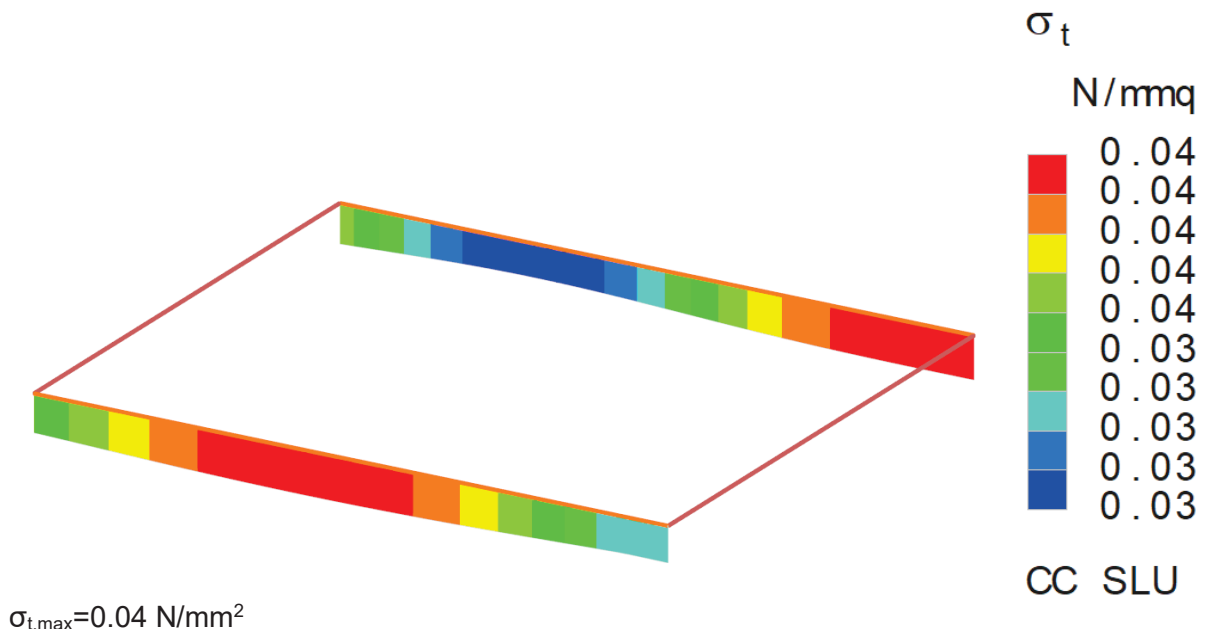
| CARATTERISTICHE GEOMETRICHE FONDAZIONE | | | |
|--|--------------|--------------------------|-------|
| B= | 1,2 m | Dimensione trasversale | |
| L= | 6 m | Dimensione Longitudinale | |
| H= | 0,15 m | Spessore fondazione | |
| D= | 0,65 m | Ammorsamento | |
| L/B | 5,00 | | |
| D/B | 0,54 | | |
| CARATTERISTICHE TERRENO | | | |
| | Spessore [m] | Es [kg/cmq] | μ |
| Strato 1 | 0,85 | 300 | 0,36 |
| Strato 2 | 5,15 | 450 | 0,33 |
| Strato 3 | | | |
| Strato 4 | | | |
| Strato 5 | | | |
| | 6 | | |
| Es - medio | 428,75 | | |
| μ medio | 0,33425 | | |
| E's | 2,07E-03 | | |
| I1 | 0,552 | | |
| I2 | 0,111 | | |
| Is | 0,6072707 | | |
| If | 0,87 | | |
| COEFFICIENTE DI SOTTOFONDO | | | |
| Kw= | 7,61 | daN/cmc | |

| | | |
|---|--|--|
| BOSI E ASSOCIATI STUDIO DI INGEGNERIA Dott. Ing. Giovanni Bosi Dott. Ing. Donato Musci Dott. Ing. Davide Manenti Dott. Ing. Nazzareno Zingarelli | ISTITUTO ZOOPROFILATTICO SPERIMENTALE DELLA LOMBARDIA E DELL'EMILIA ROMAGNA “BRUNO UBERTINI” REALIZZAZIONE AMPLIAMENTO ISTITUTO ZOOPROFILATTICO | 98-2023 RELAZIONE DI CALCOLO Pag. 72 di 76 |
|---|--|--|

7.3 Verifica capacità portante fondazione (SLU)

7.3.1 Trave di fondazione 1

Di seguito si riporta il diagramma di inviluppo delle pressioni sul terreno considerando le condizioni di carico allo SLU e allo SLV.



Si adotta per il calcolo del carico limite in fondazione il metodo di MEYERHOF.

L'espressione del carico ultimo è data dalla relazione:

$$Q_u = c N_c d_c i_c + q N_q d_q i_q + 0.5g B N_g d_g i_g$$

In questa espressione

- c coesione del terreno in fondazione;
- f angolo di attrito del terreno in fondazione;
- g peso di volume del terreno in fondazione;
- B larghezza della fondazione;
- D profondità del piano di posa;
- q pressione geostatica alla quota del piano di posa.

I vari fattori che compaiono nella formula sono dati da:

$$A = e^{p \tan f}$$

$$N_q = A \tan^2(45^\circ + f/2)$$

BOSI E ASSOCIATI
STUDIO DI INGEGNERIA
Dott. Ing. Giovanni Bosi
Dott. Ing. Donato Musci
Dott. Ing. Davide Manenti
Dott. Ing. Nazzareno Zingarelli

**ISTITUTO ZOOPROFILATTICO SPERIMENTALE
DELLA LOMBARDIA E DELL'EMILIA ROMAGNA
“BRUNO UBERTINI”**

98-2023

**REALIZZAZIONE AMPLIAMENTO ISTITUTO
ZOOPROFILATTICO**

RELAZIONE DI CALCOLO

Pag. 73 di 76

$$N_c = (N_q - 1) \operatorname{ctg} f$$

$$N_g = (N_q - 1) \operatorname{tg} (1.4f)$$

K_p il coefficiente di spinta passiva espresso da: $K_p = \operatorname{tg}^2(45^\circ + f/2)$

Geotecnica - Carico limite fondazioni superficiali

| | | |
|-------------------------------------|-------|------|
| Angolo d'attrito terreno = | 26 | ° |
| Coesione = | 0 | t/m² |
| Peso specifico terreno = | 1.836 | t/m³ |
| Profondità fondazione = | 0.65 | m |
| Larghezza fondazione = | 1.2 | m |
| Lunghezza fondazione = | 6.95 | m |
| Inclinaz. piano posa fondazione = | 0 | m |
| Inclinaz. scarpata = | 0 | ° |
| Eccentricità carico direz. Largh. = | 0 | m |
| Eccentricità carico direz. Lungh. = | 0 | m |
| Inclinazione carico direz. Largh. = | 0 | ° |
| Inclinazione carico direz. Lungh. = | 0 | ° |

Presenza di falda

| Calcola | | | Somma | |
|---------------|-------|----------|--------------|--------------------|
| Nq = | 11,85 | Coef.q = | 1,08 | q = 1,19 15,34 |
| Nc = | 22,25 | Coef.c = | 1,09 | c = 0,00 0,00 |
| Ng = | 12,54 | Coef.g = | 0,93 | g B/2 = 1,10 12,86 |
| Qlim = | | | 28,20 | t/m² |

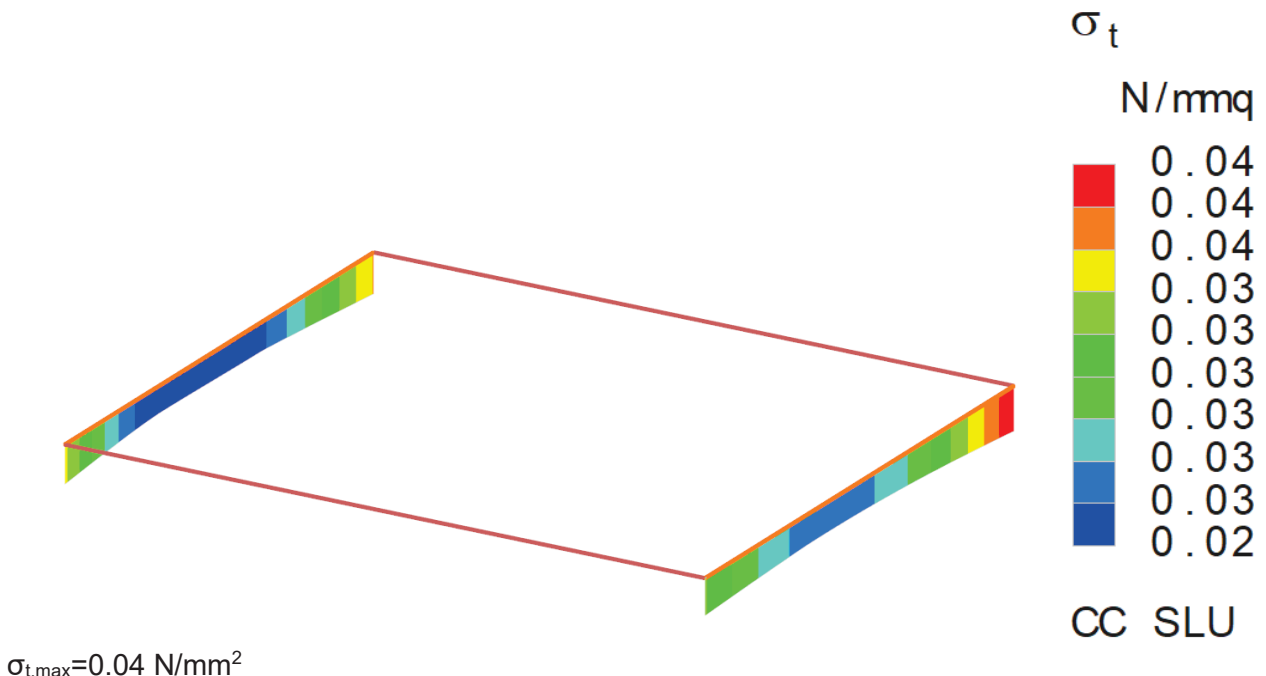
$$q_{ult} = 0.282 \text{ N/mm}^2$$

$$q_{lim} = q_{ult} / \gamma_R = 0.282/2.3 = 0.12 \text{ N/mm}^2 > \sigma_t = 0.04 \text{ N/mm}^2 \rightarrow \text{VERIFICA SODDISFATTA}$$

| | | |
|---|--|--|
| BOSI E ASSOCIATI STUDIO DI INGEGNERIA Dott. Ing. Giovanni Bosi Dott. Ing. Donato Musci Dott. Ing. Davide Manenti Dott. Ing. Nazzareno Zingarelli | ISTITUTO ZOOPROFILATTICO SPERIMENTALE DELLA LOMBARDIA E DELL'EMILIA ROMAGNA “BRUNO UBERTINI” REALIZZAZIONE AMPLIAMENTO ISTITUTO ZOOPROFILATTICO | 98-2023 RELAZIONE DI CALCOLO Pag. 74 di 76 |
|---|--|--|

7.3.2 Trave di fondazione 2

Di seguito si riporta il diagramma di inviluppo delle pressioni sul terreno considerando le condizioni di carico allo SLU e allo SLV.



Si adotta per il calcolo del carico limite in fondazione il metodo di MEYERHOF.

L'espressione del carico ultimo è data dalla relazione:

$$Q_u = c N_c d_c i_c + q N_q d_q i_q + 0.5g B N_g d_g i_g$$

In questa espressione

- c coesione del terreno in fondazione;
- f angolo di attrito del terreno in fondazione;
- g peso di volume del terreno in fondazione;
- B larghezza della fondazione;
- D profondità del piano di posa;
- q pressione geostatica alla quota del piano di posa.

I vari fattori che compaiono nella formula sono dati da:

$$A = e^{p \tan f}$$

$$N_q = A \tan^2(45^\circ + f/2)$$

$$N_c = (N_q - 1) \cot f$$

$$N_g = (N_q - 1) \operatorname{tg} (1.4f)$$

K_p il coefficiente di spinta passiva espresso da: $K_p = \operatorname{tg}^2(45^\circ + f/2)$

| Geotecnica - Carico limite fondazioni superficiali | | | | | | |
|--|-------|------------------|--------------|---------|------------------------|-------|
| Angolo d'attrito terreno = | 26 | * | | | | |
| Coesione = | 0 | t/m ² | | | | |
| Peso specifico terreno = | 1.836 | t/m ³ | | | | |
| Profondità fondazione = | 0.65 | m | | | | |
| Larghezza fondazione = | 1.2 | m | | | | |
| Lunghezza fondazione = | 6 | m | | | | |
| Inclinaz. piano posa fondazione = | 0 | m | | | | |
| Inclinaz. scarpata = | 0 | * | | | | |
| Eccentricità carico direz. Largh. = | 0 | m | | | | |
| Eccentricità carico direz. Lungh. = | 0 | m | | | | |
| Inclinazione carico direz. Largh. = | 0 | * | | | | |
| Inclinazione carico direz. Lungh. = | 0 | * | | | | |
| <input type="checkbox"/> Presenza di falda | | | | | | |
| Calcola | | Somma | | | | |
| Nq = | 11,85 | Coef.q = | 1,10 | q = | 1,19 | 15,53 |
| Nc = | 22,25 | Coef.c = | 1,11 | c = | 0,00 | 0,00 |
| Ng = | 12,54 | Coef.g = | 0,92 | g B/2 = | 1,10 | 12,71 |
| | | Qlim = | 28,24 | | t/m² | |

$$q_{ult} = 0.2824 \text{ N/mm}^2$$

$$q_{lim} = q_{ult} / \gamma_R = 0.2824 / 2.3 = 0.12 \text{ N/mm}^2 > \sigma_t = 0.04 \text{ N/mm}^2 \rightarrow \text{VERIFICA SODDISFATTA}$$

7.4 Verifica cedimenti (SLE)

I cedimenti elastici si determinano allo SLE combinazione quasi permanente.

Si riportano gli spostamenti nella combinazione di carico 36 (SLE – quasi permanente):

- Cedimento massimo:

| Informazioni spostamenti nodali | | | | | | | | |
|---------------------------------|----|-------|------------|------------|------------|-------------|-------------|-------------|
| | | | | | | | | |
| Nodo | CC | TCC | Sx <mm> | Sy <mm> | Sz <mm> | Rx <rad> | Ry <rad> | Rz <rad> |
| -6 | 36 | SLE Q | 0.00000 | 0.00000 | -0.35798 | 0.00006 | 0.00000 | 0.00000 |
| -7 | 36 | SLE Q | 0.00000 | 0.00000 | -0.35679 | 0.00005 | -0.00001 | 0.00000 |
| -43 | 36 | SLE Q | 0.00000 | 0.00000 | -0.35663 | -0.00006 | -0.00000 | 0.00000 |
| -42 | 36 | SLE Q | 0.00000 | 0.00000 | -0.35609 | -0.00006 | 0.00000 | 0.00000 |
| -5 | 36 | SLE Q | 0.00000 | 0.00000 | -0.35477 | 0.00006 | 0.00001 | 0.00000 |
| -41 | 36 | SLE Q | 0.00000 | 0.00000 | -0.35307 | -0.00006 | 0.00001 | 0.00000 |
| -8 | 36 | SLE Q | 0.00000 | 0.00000 | -0.35139 | 0.00005 | -0.00001 | 0.00000 |
| -4 | 36 | SLE Q | 0.00000 | 0.00000 | -0.34740 | 0.00006 | 0.00002 | 0.00000 |
| -40 | 36 | SLE Q | 0.00000 | 0.00000 | -0.34600 | -0.00006 | 0.00002 | 0.00000 |
| -9 | 36 | SLE Q | 0.00000 | 0.00000 | -0.34232 | 0.00005 | -0.00002 | 0.00000 |
| -3 | 36 | SLE Q | 0.00000 | 0.00000 | -0.33672 | 0.00007 | 0.00002 | 0.00000 |
| -39 | 36 | SLE Q | 0.00000 | 0.00000 | -0.33399 | -0.00006 | 0.00003 | 0.00000 |
| -10 | 36 | SLE Q | 0.00000 | 0.00000 | -0.33047 | 0.00004 | -0.00003 | 0.00000 |
| -30 | 36 | SLE Q | 0.00000 | 0.00000 | -0.32861 | -0.00005 | -0.00004 | 0.00000 |
| -28 | 36 | SLE Q | 0.00000 | 0.00000 | -0.32819 | -0.00005 | -0.00000 | 0.00000 |
| - | - | - | - | - | - | - | - | - |

Ripeti il numero dell'elemento su ogni riga

Opzioni OK

- Cedimento minimo:

| Informazioni spostamenti nodali | | | | | | | | |
|---------------------------------|----|-------|------------|------------|------------|-------------|-------------|-------------|
| | | | | | | | | |
| Nodo | CC | TCC | Sx <mm> | Sy <mm> | Sz <mm> | Rx <rad> | Ry <rad> | Rz <rad> |
| -19 | 36 | SLE Q | 0.00000 | 0.00000 | -0.21751 | -0.00001 | -0.00001 | 0.00000 |
| -21 | 36 | SLE Q | 0.00000 | 0.00000 | -0.22719 | -0.00003 | -0.00001 | 0.00000 |
| -23 | 36 | SLE Q | 0.00000 | 0.00000 | -0.24273 | -0.00004 | -0.00002 | 0.00000 |
| -18 | 36 | SLE Q | 0.00000 | 0.00000 | -0.25265 | -0.00000 | -0.00001 | 0.00000 |
| -17 | 36 | SLE Q | 0.00000 | 0.00000 | -0.25489 | 0.00001 | -0.00002 | 0.00000 |
| -20 | 36 | SLE Q | 0.00000 | 0.00000 | -0.25617 | -0.00001 | -0.00001 | 0.00000 |
| -25 | 36 | SLE Q | 0.00000 | 0.00000 | -0.26216 | -0.00005 | -0.00002 | 0.00000 |
| -16 | 36 | SLE Q | 0.00000 | 0.00000 | -0.26244 | 0.00002 | -0.00002 | 0.00000 |
| -22 | 36 | SLE Q | 0.00000 | 0.00000 | -0.26574 | -0.00003 | -0.00001 | 0.00000 |
| -15 | 36 | SLE Q | 0.00000 | 0.00000 | -0.27464 | 0.00003 | -0.00002 | 0.00000 |
| -34 | 36 | SLE Q | 0.00000 | 0.00000 | -0.27648 | -0.00005 | -0.00000 | 0.00000 |
| -35 | 36 | SLE Q | 0.00000 | 0.00000 | -0.27817 | -0.00006 | 0.00001 | 0.00000 |
| -24 | 36 | SLE Q | 0.00000 | 0.00000 | -0.28132 | -0.00004 | -0.00001 | 0.00000 |
| -33 | 36 | SLE Q | 0.00000 | 0.00000 | -0.28214 | -0.00005 | -0.00002 | 0.00000 |
| -27 | 36 | SLE Q | 0.00000 | 0.00000 | -0.28371 | -0.00005 | -0.00003 | 0.00000 |
| - | - | - | - | - | - | - | - | - |

Ripeti il numero dell'elemento su ogni riga

Opzioni OK

Cedimento assoluto:

$S_z = 0.36\text{mm} \rightarrow \text{CEDIMENTO ACCETTABILE}$

Cedimento differenziale:

$S_{z,\max} = 0.36\text{mm}$

$S_{z,\min} = 0.22\text{mm}$

Considerando che la distanza tra i due nodi in questione è pari a $d=3.46\text{m}$

$\Delta H = 0.36 - 0.22 = 0.14\text{mm} \rightarrow \text{CEDIMENTO ACCETTABILE}$

BOSI E ASSOCIATI STUDIO DI INGEGNERIA

Dott. Ing. Giovanni Bosi - Dott. Ing. Donato Musci - Dott. Ing. Davide Manenti – Dott. Ing. Nazzareno Zingarelli

ISTITUTO ZOOPROFILATTICO SPERIMENTALE DELLA LOMBARDIA E DELL'EMILIA ROMAGNA

“BRUNO UBERTINI”

REALIZZAZIONE AMPLIAMENTO ISTITUTO ZOOPROFILATTICO

TABULATO DI CALCOLO

Il Progettista:

Dott. Ing. Donato Musci

INDICE GENERALE

| | |
|----------------------------------|----|
| INTRODUZIONE | 4 |
| 1. STRUTTURA D'ELEVAZIONE | 6 |
| GEOMETRIA..... | 6 |
| CARICHI | 7 |
| RISULTATI DEL CALCOLO..... | 8 |
| VERIFICHE MURATURA | 22 |
| 2. STRUTTURA DI FONDAZIONE | 37 |
| RISULTATI DEL CALCOLO..... | 37 |

Introduzione

Sistemi di riferimento

Le coordinate, i carichi concentrati, i cedimenti, le reazioni vincolari e gli spostamenti dei NODI sono riferiti ad una terna destra cartesiana globale con l'asse Z verticale rivolto verso l'alto.
I carichi in coordinate locali e le sollecitazioni delle ASTE sono riferite ad una terna destra cartesiana locale così definita:
- origine nel nodo iniziale dell'asta;
- asse X coincidente con l'asse dell'asta e con verso dal nodo iniziale al nodo finale;
- immaginando la trave a sezione rettangolare l'asse Y è parallelo alla base e l'asse Z è parallelo all'altezza.
La rotazione dell'asta comporta quindi una rotazione di tutta la terna locale.

Si può immaginare la terna locale di un'asta comunque disposta nello spazio come derivante da quella globale dopo una serie di trasformazioni:

- una rotazione intorno all'asse Z che porti l'asse X a coincidere con la proiezione dell'asse dell'asta sul piano orizzontale;
- una traslazione lungo il nuovo asse X così definito in modo da portare l'origine a coincidere con la proiezione del nodo iniziale dell'asta sul piano orizzontale;
- una traslazione lungo l'asse Z che porti l'origine a coincidere con il nodo iniziale dell'asta;
- una rotazione intorno all'asse Y così definito che porti l'asse X a coincidere con l'asse dell'asta;
- una rotazione intorno all'asse X così definito pari alla rotazione dell'asta.

In pratica le travi prive di rotazione avranno sempre l'asse Z rivolto verso l'alto e l'asse Y nel piano del solaio, mentre i pilastri privi di rotazione avranno l'asse Y parallelo all'asse Y globale e l'asse Z parallelo ma controverso all'asse X globale. Da notare quindi che per i pilastri la "base" è il lato parallelo a Y.

Le sollecitazioni ed i carichi in coordinate locali negli ELEMENTI BIDIMENSIONALI e nei MURI sono riferiti ad una terna destra cartesiana locale così definita:

- origine nel primo nodo dell'elemento;
- asse X coincidente con la congiungente il primo ed il secondo nodo dell'elemento;
- asse Y definito come prodotto vettoriale fra il versore dell'asse X e il versore della congiungente il primo e il quarto nodo. Asse Z a formare con gli altri due una terna destrorsa.

Praticamente un elemento verticale con l'asse X locale coincidente con l'asse X globale ha anche gli altri assi locali coincidenti con quelli globali.

Rotazioni e momenti

Seguendo il principio adottato per tutti i carichi che sono positivi se CONTROVERSI agli assi, anche i momenti concentrati e le rotazioni impresse in coordinate globali risultano positivi se CONTROVERSI al segno positivo delle rotazioni. Il segno positivo dei momenti e delle rotazioni è quello orario per l'osservatore posto nell'origine: X ruota su Y, Y ruota su Z, Z ruota su X. In pratica è sufficiente adottare la regola della mano destra: col pollice rivolto nella direzione dell'asse, la rotazione che porta a chiudere il palmo della mano corrisponde al segno positivo.

Normativa di riferimento

La normativa di riferimento è la seguente:

- Legge n. 64 del 2/2/1974 - Provvedimenti per le costruzioni con particolari prescrizioni per le zone sismiche.
- D.M. del 24/1/1986 - Norme tecniche relative alle costruzioni sismiche.
- Legge n. 1086 del 5/11/1971 - Norme per la disciplina delle opere di conglomerato cementizio armato, normale e precompresso ed a struttura metallica.
- D.M. del 14/2/1992 - Norme tecniche per l'esecuzione delle opere in c.a. normale e precompresso e per le strutture metalliche.
- D.M. del 9/1/1996 - Norme tecniche per l'esecuzione delle opere in c.a. normale e precompresso e per le strutture metalliche.
- D.M. del 16/1/1996 - Norme tecniche per le costruzioni in zone sismiche.
- Circolare n. 21745 del 30/7/1981 - Legge n. 219 del 14/5/1981 - Art. 10 - Istruzioni relative al rafforzamento degli edifici in muratura danneggiati dal sisma.
- Regione Autonoma Friuli Venezia Giulia - Legge Regionale n. 30 del 20/6/1977 - Documentazione tecnica per la progettazione e direzione delle opere di riparazione degli edifici - Documento Tecnico n. 2 - Raccomandazioni per la riparazione strutturale degli edifici in muratura.
- D.M. del 20/11/1987 - Norme Tecniche per la progettazione, esecuzione e collaudo degli edifici in muratura e per il loro consolidamento.
- Norme Tecniche C.N.R. n. 10011-85 del 18/4/1985 - Costruzioni di acciaio - Istruzioni per il calcolo, l'esecuzione, il collaudo e la manutenzione.
- Norme Tecniche C.N.R. n. 10025-84 del 14/12/1984 - Istruzioni per il progetto, l'esecuzione ed il controllo delle strutture prefabbricate in conglomerato cementizio e per le strutture costruite con sistemi industrializzati di acciaio - Istruzioni per il calcolo, l'esecuzione, il collaudo e la manutenzione.
- Circolare n. 65 del 10/4/1997 - Istruzioni per l'applicazione delle "Norme tecniche per le costruzioni in zone

Tabulato di calcolo

sismiche" di cui al D.M. del 16/1/1996.

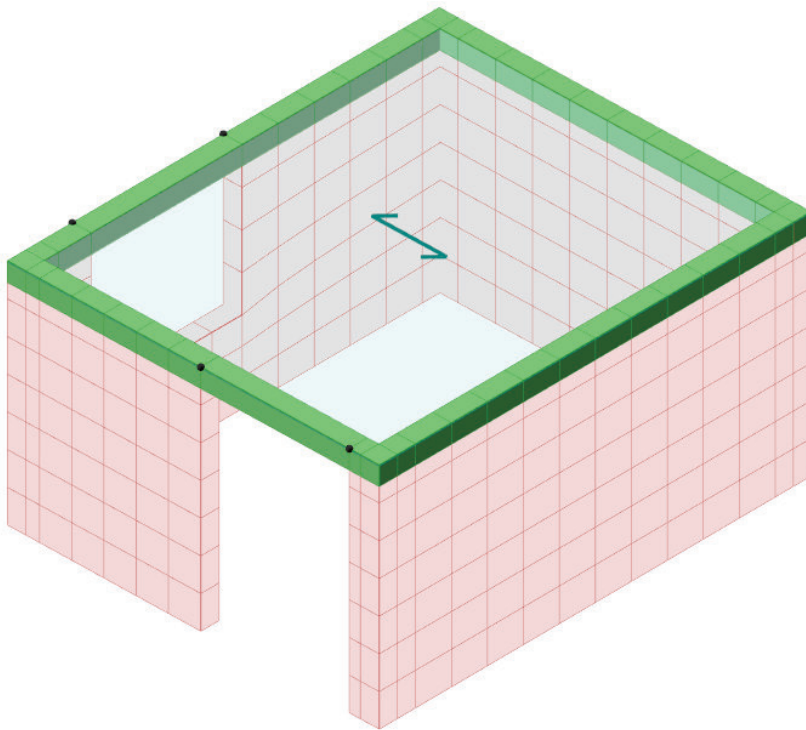
- DIN 1052 - Metodi di verifica per il legno.
- D.M. del 17/1/2018 - Norme tecniche per le costruzioni.
- Circolare n. 7 del 21/1/2019 - Istruzioni per l'applicazione dell'«Aggiornamento delle "Norme tecniche per le costruzioni"» di cui al decreto ministeriale 17 gennaio 2018.
- Documento Tecnico CNR-DT 200 R1/2012 - Istruzioni per la Progettazione, l'Esecuzione ed il Controllo di Interventi di Consolidamento Statico mediante l'utilizzo di Compositi Fibrorinforzati.
- Eurocodice 2 - Progettazione delle strutture di calcestruzzo.
- Eurocodice 3 - Progettazione delle strutture in acciaio.
- Eurocodice 5 - Progettazione delle strutture di legno.

Unità di misura

Le unità di misura adottate sono le seguenti:

- lunghezze : m
- forze : daN
- masse : kg
- temperature : gradi centigradi
- angoli : gradi sessadecimali o radiantini

1. STRUTTURA D'ELEVAZIONE



| Aste |
|----------------------------------|
| Membratura |
| Trave |
| Sez. fittizia 0 |
| Muri/Bidimensionali |
| Tipi |
| 1 Parete in blocchi poroton P800 |

Geometria

Elenco vincoli nodi

Simbologia

Comm. = Commento
 Kt = Coeff. di sottragendo su suolo elastico alla Winkler
 Ly = Lunghezza (dir. Y locale)
 Lz = Larghezza (dir. Z locale)
 RL = Rotazione libera
 Rx = Rotazione intorno all'asse X (L=libera, B=bloccata, E=elastica)
 Ry = Rotazione intorno all'asse Y (L=libera, B=bloccata, E=elastica)
 Rz = Rotazione intorno all'asse Z (L=libera, B=bloccata, E=elastica)
 Sx = Spostamento in dir. X (L=libero, B=bloccato, E=elastico)
 Sy = Spostamento in dir. Y (L=libero, B=bloccato, E=elastico)
 Sz = Spostamento in dir. Z (L=libero, B=bloccato, E=elastico)
 Vn = Numero del vincolo nodo

| Vn | Comm. | Sx | Sy | Sz | Rx | Ry | Rz | RL | Ly | Lz | Kt |
|----|--------|----|----|----|----|----|----|----|-----|-----|-----------|
| 1 | Libero | L | L | L | L | L | | | <m> | <m> | <daN/cmc> |

| Vn | Comm. | Sx | Sy | Sz | Rx | Ry | Rz | RL | Ly | Lz | Kt |
|----|----------|----|----|----|----|----|----|----|-----|-----|-----------|
| 2 | Incastro | B | B | B | B | B | B | | <m> | <m> | <daN/cmc> |

Elenco materiali

Simbologia

α = Coeff. di dilatazione termica
 v = Coeff. di Poisson
 Comm. = Commento
 E = Modulo elastico
 G = Modulo elastico tangenziale
 Mat. = Numero del materiale
 P = Peso specifico

| Mat. | Comm. | P <daN/mc> | E <daN/cmq> | G <daN/cmq> | v | α |
|------|----------------------------|---------------|----------------|----------------|-----|----------|
| 5 | Calcestruzzo classe C25/30 | 2500 | 314472.00 | 142942.00 | 0.1 | 1.00E-05 |

Tabulato di calcolo

| | | | | | |
|----------------|-----|----------|----------|------|----------|
| 22Poroton P800 | 800 | 50000.00 | 20000.00 | 0.15 | 5.00E-06 |
|----------------|-----|----------|----------|------|----------|

Elenco sezioni aste

Simbologia

B = Base
 C = Numero del criterio di progetto
 Comm. = Commento
 Crit. C.F. = Criterio di progetto collegamento finale
 Crit. C.I. = Criterio di progetto collegamento iniziale
 H = Altezza
 Ma = Numero del materiale
 Mem. = Membratura
 T = Trave
 Sez. = Numero della sezione
 Tipo = Tipologia
 R = Rettangolare
 Ver. = Verifica prevista
 C = Cemento armato

| Sez. | Comm. | Tipo | Mem. | Ver. | B <cm> | H <cm> | Ma | C | Crit. C.I. | Crit. C.F. |
|------|-----------------|------|------|------|-----------|-----------|----|---|------------|------------|
| 1 | Cordolo 25x25cm | R | T | C | 25.00 | 25.00 | 5 | 1 | | |

Elenco vincoli aste

Simbologia

Comm. = Commento
 Kt = Coeff. di sotterraneo su suolo elastico alla Winkler
 Mxf = Momento intorno all'asse X locale nodo finale (0=sbloccato, 1=blockato)
 Mxi = Momento intorno all'asse X locale nodo iniziale (0=sbloccato, 1=blockato)
 Myf = Momento intorno all'asse Y locale nodo finale (0=sbloccato, 1=blockato)
 Myi = Momento intorno all'asse Y locale nodo iniziale (0=sbloccato, 1=blockato)
 Mzf = Momento intorno all'asse Z locale nodo finale (0=sbloccato, 1=blockato)
 Mzi = Momento intorno all'asse Z locale nodo iniziale (0=sbloccato, 1=blockato)
 Nf = Sforzo normale nodo finale (0=sbloccato, 1=blockato)
 Ni = Sforzo normale nodo iniziale (0=sbloccato, 1=blockato)
 Tipo = Tipologia
 SVI = Definizione di vincoli interni
 ELA = Vincolo su suolo elastico alla Winkler
 BIE-RTC = Biella resistente a trazione e a compressione
 BIE-RC = Biella resistente solo a compressione
 BIE-RT = Biella resistente solo a trazione
 Tyf = Taglio in dir. Y locale nodo finale (0=sbloccato, 1=blockato)
 Tyi = Taglio in dir. Y locale nodo iniziale (0=sbloccato, 1=blockato)
 Tzf = Taglio in dir. Z locale nodo finale (0=sbloccato, 1=blockato)
 Tzi = Taglio in dir. Z locale nodo iniziale (0=sbloccato, 1=blockato)
 Va = Numero del vincolo asta

| Va | Comm. | Tipo | Ni | Tyi | Tzi | Mxi | Myi | Mzi | Nf | Tyf | Tzf | Mxf | Myf | Mzf | Kt <daN/cmc> |
|----|---------|------|----|-----|-----|-----|-----|-----|----|-----|-----|-----|-----|-----|-----------------|
| 1 | Inc+Inc | SVI | 1 | 1 | 1 | 1 | 1 | 1 | 1 | 1 | 1 | 1 | 1 | 1 | 1 |

Elenco tipi elementi bidimensionali

Simbologia

Ang. att. = Angolo di attrito
 Ang. dil. = Angolo di dilatazione
 Coes. = Coesione
 Comm. = Commento
 Crit. = Numero del criterio di progetto
 DP = Drucker-Prager
 Kt = Coeff. di sotterraneo su suolo elastico alla Winkler
 Mat. = Numero del materiale
 Spess. = Spessore
 Tb = Numero del tipo muro/elemento bidimensionale
 Tipo = Tipologia
 F = Membranale e Flessionale
 M = Membranale
 W-RC = Winkler resistente solo a compressione
 W-RTC = Winkler resistente a trazione e a compressione
 Uso = Utilizzo
 M = Muratura ordinaria

| Tb | Comm. | Tipo | Uso | Spess. <cm> | Kt <daN/cmc> | DP | Ang. att. <grad> | Coes. <daN/mq> | Ang. dil. <grad> | Crit. | Mat. |
|----|--------------------------------|------|-----|----------------|-----------------|----|---------------------|-------------------|---------------------|-------|------|
| 1 | Parete in blocchi poroton P800 | F | M | 25.00 | | N | 0.00 | 0.00 | 0.00 | 1 | 22 |

Carichi

Elenco tipi CCE

Tabulato di calcolo

Simbologia

| | |
|---|-------------------------------------|
| γ_{\max} | = Coeff. γ_{\max} |
| $\gamma_{\min.}$ | = Coeff. $\gamma_{\min.}$ |
| ψ_0 | = Coeff. ψ_0 |
| $\psi_{0,s}$ | = Coeff. ψ_0 sismico (D.M. 96) |
| ψ_1 | = Coeff. ψ_1 |
| ψ_2 | = Coeff. ψ_2 |
| Comm. | = Commento |
| Durata | = Durata del carico |
| | P = Permanente |
| | L = Lunga |
| | M = Media |
| Tipo | = Tipologia |
| | G = Permanente |
| | Qv = Variabile vento |
| | Q = Variabile |
| Tipo CCE = Tipo condizione di carico elementare | |

| Tipo CCE | Comm. | Tipo | Durata | $\gamma_{\min.}$ | γ_{\max} | ψ_0 | ψ_1 | ψ_2 | $\psi_{0,s}$ |
|----------|---|------|--------|------------------|-----------------|----------|----------|----------|--------------|
| 1 | D.M. 18 Permanenti strutturali | G | P | 1.00 | 1.30 | | | | |
| 2 | D.M. 18 Permanenti non strutturali | G | L | 0.80 | 1.50 | | | | |
| 12 | D.M. 18 Variabili Neve (a quota <= 1000 m s.l.m.) | Q | M | 0.00 | 1.50 | 0.50 | 0.20 | 0.00 | 0.00 |

Condizioni di carico elementari

Simbologia

| | |
|--|---|
| CCE | = Numero della condizione di carico elementare |
| Comm. | = Commento |
| Dir. | = Direzione del vento |
| Jpx | = Moltiplicatore del momento d'inerzia intorno all'asse X |
| Jpy | = Moltiplicatore del momento d'inerzia intorno all'asse Y |
| Jpz | = Moltiplicatore del momento d'inerzia intorno all'asse Z |
| Mx | = Moltiplicatore della massa in dir. X |
| My | = Moltiplicatore della massa in dir. Y |
| Mz | = Moltiplicatore della massa in dir. Z |
| Sic. | = Contributo alla sicurezza |
| | S = a sfavore |
| Tipo | = Tipologia di pressione vento |
| | M = Massimizzata |
| | E = Esterna |
| | I = Interna |
| Tipo CCE = Tipo di CCE per calcolo agli stati limite | |
| Var. | = Tipo di variabilità |
| | B = di base |
| s | = Coeff. di riduzione (T.A. o S.L. D.M. 96) |

| CCE | Comm. | Tipo CCE | Sic. | Var. | s | Dir. <grad> | Tipo | Mx | My | Mz | Jpx | Jpy | Jpz |
|-----|----------------------------|----------|------|------|------|----------------|------|------|------|------|------|------|------|
| 1 | Permanente strutturale | | 1S | -- | 1.00 | -- | -- | 1.00 | 1.00 | 0.00 | 0.00 | 0.00 | 1.00 |
| 2 | Permanente non strutturale | | 2S | -- | 1.00 | -- | -- | 1.00 | 1.00 | 0.00 | 0.00 | 0.00 | 1.00 |
| 3 | Neve | | 12S | B | 1.00 | -- | -- | 1.00 | 1.00 | 0.00 | 0.00 | 0.00 | 1.00 |

Risultati del calcolo

Parametri di calcolo

La modellazione della struttura e la rielaborazione dei risultati del calcolo sono stati effettuati con:
ModeSt ver. 8.30, licenza n. 6234, prodotto da Tecnisoft s.a.s. - Prato
La struttura è stata calcolata utilizzando come solutore agli elementi finiti:
Xfinest ver. 9.5.11, licenza n. -1535587737, prodotto da Ce.A.S. S.r.l. - Milano

Tipo di normativa: stati limite D.M. 18

Tipo di calcolo: sismica dinamica

Vincoli esterni: Considera sempre vincoli assegnati in modellazione

Schematizzazione piani rigidi: metodo Master-Slave

Modalità di recupero masse secondarie: trasferire le masse

- All'impalcato più vicino in assoluto: No

- Anche sui nodi degli impalcati non rigidi: No

- Modificare coordinate baricentro impalcati rigidi: XY

Generazione combinazioni

- Tipo di analisi: Lineare
- Valuta spostamenti e non sollecitazioni: No
- Buckling: No

Opzioni di calcolo

- Sono state considerate infinitamente rigide le zone di connessione fra travi, pilastri ed elementi bidimensionali con una riduzione del 20%
- Calcolo con offset rigidi dai nodi: No
- Uniformare i carichi variabili: No

Tabulato di calcolo

-
- Massimizzare i carichi variabili: No
 - Recupero carichi zone rigide: taglio e momento flettente
 - Modalità di combinazione momento torcente: disaccoppiare le azioni

Opzioni del solutore

Opzioni generali:

- Trascura deformabilità a taglio delle aste: No
 - Analisi dinamica con metodo di Lanczos: Si
 - Check sequenza di Sturm: Si
 - Usa formulazione secante per buckling: No
 - Trascura buckling torsionale: No
- Tipo di elemento bidimensionale: QF46
- Calcolo sforzo nei nodi: No

Opzioni per analisi P-Delta:

- Numero massimo di iterazioni: 15
- Valore della norma euclidea degli spostamenti: 0.0001

Opzioni per analisi pushover:

- Esegui analisi in regime di piccoli spostamenti: Sì

Opzioni per analisi pushover murature:

- Interrompi analisi nel caso di plasticizzazione per carichi statici: Si
- Utilizza sforzo normale medio: Si

Metodo di convergenza:

- Forze e momenti residui (F)
 - Valore della norma euclidea delle forze: 0.001
 - Valore della norma euclidea dei momenti: 0.01

- Opzioni aggiuntive per analisi non lineari in presenza di elementi bidimensionali con comportamento Drucker-Prager:

```
OPTION PARAM AUTO_INCREMENT=YES
OPTION PARAM LINE_SEARCHES=YES
OPTION PARAM BGINCRS=1.0
OPTION PARAM AVINCRS=1.0
```

Dati struttura

- Sito di costruzione: Istituto Zooprofilattico Lodi LON. 9.48020 LAT. 45.30390
Contenuto tra ID reticolo: 12931 12930 13153 13152

Simbologia

Ag = Accelerazione orizzontale massima al sito

Cc = Coefficiente funzione della categoria del suolo

Fo = Valore massimo del fattore di amplificazione dello spettro in accelerazione orizzontale

Ss = Coefficiente di amplificazione stratigrafica

T_R = Periodo di ritorno <anni>

TCC = Tipo di combinazione di carico

SLU = Stato limite ultimo

SLE R = Stato limite d'esercizio, combinazione rara

SLE F = Stato limite d'esercizio, combinazione frequente

SLE Q = Stato limite d'esercizio, combinazione quasi permanente

SLV = Stato limite di salvaguardia della vita

SND = Stato limite di salvaguardia della vita (non dissipativo)

Tc* = Periodo di inizio del tratto a velocità costante dello spettro in accelerazione orizzontale <sec>

| TCC | T _R | Ag <g> | Fo | Tc* | Ss | Cc |
|-----|----------------|--------|------|------|------|------|
| SLV | 475 | 0.0698 | 2.59 | 0.29 | 1.50 | 1.58 |

- Spettri: Automatici da normativa
- Tipo di opera: Opera ordinaria
- Vita nominale V_N: 50.00
- Classe d'uso: Classe II
- SL Esercizio: SLOPvr No, SLDPvr No
- SL Ultimi: SLVPvr 10.00, SLCPvr No
- Struttura dissipativa: Si
- Classe di duttilità: Classe B
- Quota di riferimento: 0.00 <m>
- Quota max della struttura: 3.10 <m>
- Altezza della struttura: 3.10 <m>
- Numero piani edificio: 1
- Coefficiente θ: 0.00
- Edificio regolare in altezza: Si
- Edificio regolare in pianta: Si
- Forze orizzontali convenzionali per stati limite non sismici: No
- Genera stati limite per verifiche di resistenza al fuoco: No

Dati di calcolo

Tabulato di calcolo

- Categoria del suolo di fondazione: C
- Tipologia strutturale: muratura ordinaria

| | |
|--|---------|
| Periodo T ₁ | 0.03451 |
| Coeff. λ SLV | 1.00 |
| Rapporto di sovraresistenza (α_u/α_1) | 1.70 |
| Valore di riferimento del fattore di comportamento (q ₀) | 2.98 |
| Fattore di comportamento dissipativo (q) | 2.98 |
| Fattore di comportamento non dissipativo (qND) | 1.50 |
| Fattore di comportamento per SLD (qD) | 1.50 |

- Categoria topografica: T1 - Superficie pianeggiante, pendii e rilievi isolati con inclinazione media $i \leq 15^\circ$
- Coeff. amplificazione topografica S_T: 1.00
- Fattore di comportamento per sisma verticale (q_V): 1.50
- Modalità di calcolo modi di vibrare: Autovalori
- Numero modi: 3
- Modi da considerare: Tali da movimentare una percentuale di massa pari a 85.00%
- Trascura modi con massa movimentata minore di: 5.00%
- Smorzamento spettro: 5.00%

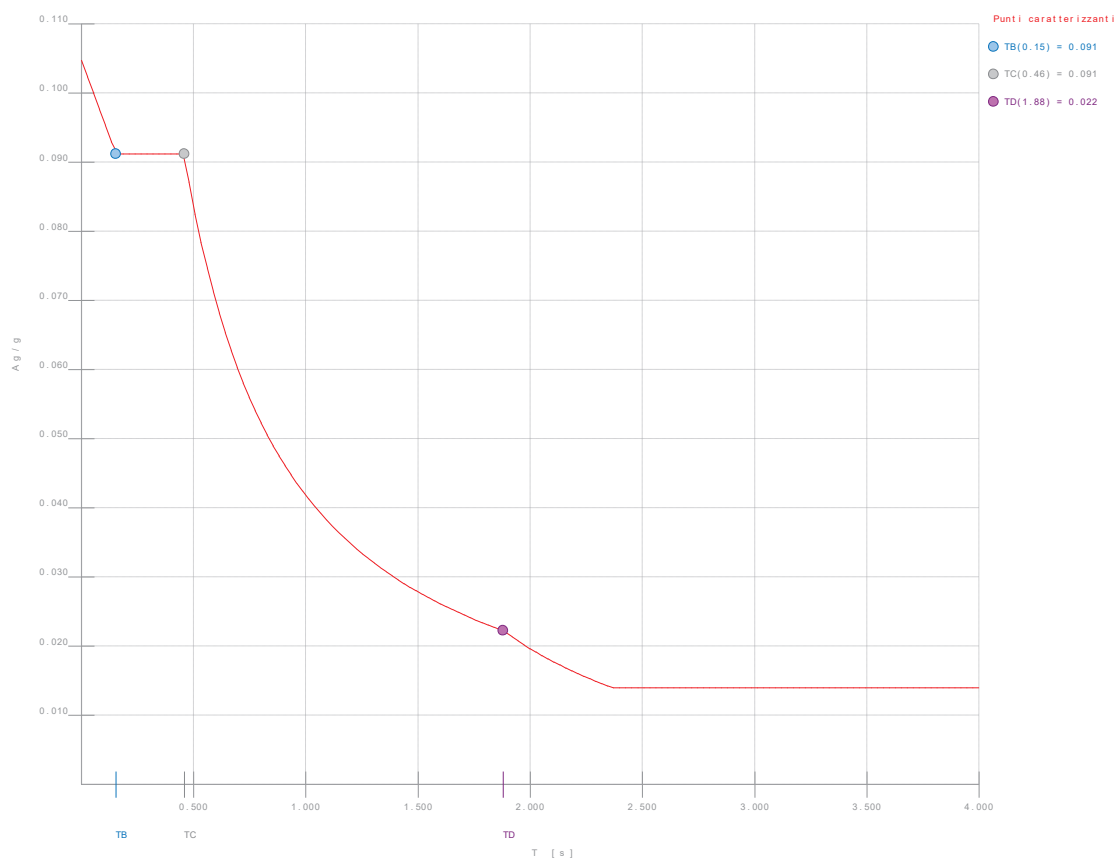


Figura numero 1: Spettro SLV

Tabulato di calcolo

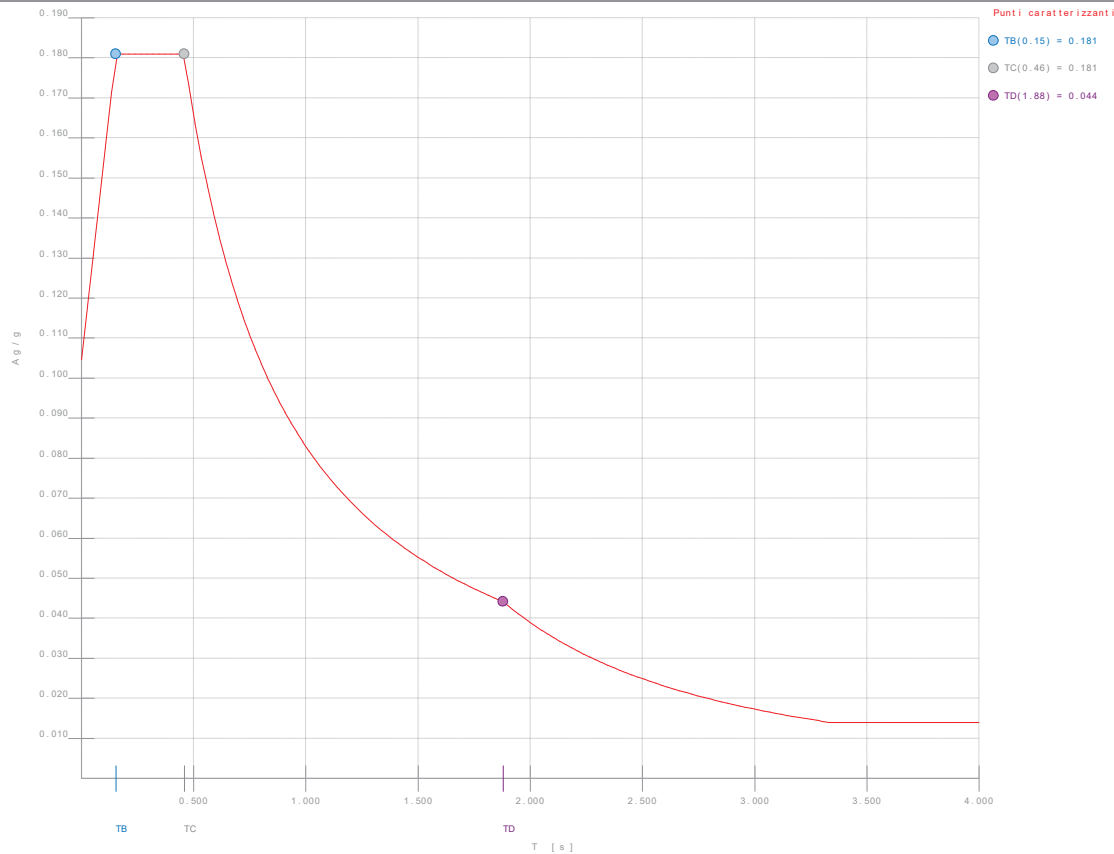


Figura numero 2: Spettro SND

- Angolo di ingresso del sisma: 0.00 <grad>

Ambienti di carico

Simbologia

N = Numero
 Comm. = Commento
 1 = Permanente strutturale
 2 = Permanente non strutturale
 3 = Neve
 F = azioni orizzontali convenzionali
 SLU = Stato limite ultimo
 SLR = Stato limite per combinazioni rare
 SLF = Stato limite per combinazioni frequenti
 SLQ/D = Stato limite per combinazioni quasi permanenti o di danno
 S = Si
 N = No

| N | Comm. | 1 | 2 | 3 | S | SLU | SLR | SLF | SLQ |
|---|-----------------|---|---|---|---|-----|-----|-----|-----|
| 1 | Calcolo sismico | S | S | S | S | N | N | N | N |
| 2 | Calcolo statico | S | S | S | N | S | S | S | S |

Elenco combinazioni di carico simboliche

Simbologia

CC = Numero della combinazione delle condizioni di carico elementari
 Comm. = Commento
 TCC = Tipo di combinazione di carico
 SLU = Stato limite ultimo
 SLE R = Stato limite d'esercizio, combinazione rara
 SLE F = Stato limite d'esercizio, combinazione frequente
 SLE Q = Stato limite d'esercizio, combinazione quasi permanente
 SLV = Stato limite di salvaguardia della vita
 SND = Stato limite di salvaguardia della vita (non dissipativo)

| CC | Comm. | TCC | 1 | 2 | 3 | S |
|----|----------------|-------|-----------------------|-----------------------|-----------------------|-------|
| 1 | Amb. 1 (Sisma) | SLU S | 1 | 1 | ψ_2 | 1 |
| 2 | Amb. 2 (SLU) | SLU | γ_{max} | γ_{max} | γ_{max} | ----- |
| 3 | Amb. 2 (SLE R) | SLE R | 1 | 1 | 1 | ----- |
| 4 | Amb. 2 (SLE F) | SLE F | 1 | 1 | ψ_1 | ----- |
| 5 | Amb. 2 (SLE Q) | SLE Q | 1 | 1 | ψ_2 | ----- |

Genera le combinazioni con un solo carico di tipo variabile come di base: No

Tabulato di calcolo

Considera sollecitazioni dinamiche con segno dei modi principali: Sì

Combinazioni delle CCE

Simbologia

An. =Tipo di analisi
 L = Lineare
 NL = Non lineare
 PD = P-Delta
 Bk = Buckling
 S = Si
 N = No
 CC = Numero della combinazione delle condizioni di carico elementari
 Comm. =Commento
 TCC = Tipo di combinazione di carico
 SLU = Stato limite ultimo
 SLE R = Stato limite d'esercizio, combinazione rara
 SLE F = Stato limite d'esercizio, combinazione frequente
 SLE Q = Stato limite d'esercizio, combinazione quasi permanente
 SLV = Stato limite di salvaguardia della vita
 SND = Stato limite di salvaguardia della vita (non dissipativo)

| CC | Comm. | TCC | An. | Bk | 1 | 2 | 3 | Mt | S X | S Y |
|--------------------------------|-------|---------|-----|----|------|------|------|-------|-------|-------|
| 1 Amb. 1 (SLU S) S Mt+X+0.3Y | | SLV+SND | L | N | 1.00 | 1.00 | 0.00 | 1.00 | 1.00 | 0.30 |
| 2 Amb. 1 (SLU S) S Mt+X-0.3Y | | SLV+SND | L | N | 1.00 | 1.00 | 0.00 | 1.00 | 1.00 | -0.30 |
| 3 Amb. 1 (SLU S) S Mt-X+0.3Y | | SLV+SND | L | N | 1.00 | 1.00 | 0.00 | 1.00 | -1.00 | 0.30 |
| 4 Amb. 1 (SLU S) S Mt-X-0.3Y | | SLV+SND | L | N | 1.00 | 1.00 | 0.00 | 1.00 | -1.00 | -0.30 |
| 5 Amb. 1 (SLU S) S Mt+0.3X+Y | | SLV+SND | L | N | 1.00 | 1.00 | 0.00 | 1.00 | 0.30 | 1.00 |
| 6 Amb. 1 (SLU S) S Mt-0.3X+Y | | SLV+SND | L | N | 1.00 | 1.00 | 0.00 | 1.00 | -0.30 | 1.00 |
| 7 Amb. 1 (SLU S) S Mt+0.3X-Y | | SLV+SND | L | N | 1.00 | 1.00 | 0.00 | 1.00 | 0.30 | -1.00 |
| 8 Amb. 1 (SLU S) S Mt-0.3X-Y | | SLV+SND | L | N | 1.00 | 1.00 | 0.00 | 1.00 | -0.30 | -1.00 |
| 9 Amb. 1 (SLU S) S -Mt+X+0.3Y | | SLV+SND | L | N | 1.00 | 1.00 | 0.00 | -1.00 | 1.00 | 0.30 |
| 10 Amb. 1 (SLU S) S -Mt+X-0.3Y | | SLV+SND | L | N | 1.00 | 1.00 | 0.00 | -1.00 | 1.00 | -0.30 |
| 11 Amb. 1 (SLU S) S -Mt-X+0.3Y | | SLV+SND | L | N | 1.00 | 1.00 | 0.00 | -1.00 | -1.00 | 0.30 |
| 12 Amb. 1 (SLU S) S -Mt-X-0.3Y | | SLV+SND | L | N | 1.00 | 1.00 | 0.00 | -1.00 | -1.00 | -0.30 |
| 13 Amb. 1 (SLU S) S -Mt+0.3X+Y | | SLV+SND | L | N | 1.00 | 1.00 | 0.00 | -1.00 | 0.30 | 1.00 |
| 14 Amb. 1 (SLU S) S -Mt-0.3X+Y | | SLV+SND | L | N | 1.00 | 1.00 | 0.00 | -1.00 | -0.30 | 1.00 |
| 15 Amb. 1 (SLU S) S -Mt+0.3X-Y | | SLV+SND | L | N | 1.00 | 1.00 | 0.00 | -1.00 | 0.30 | -1.00 |
| 16 Amb. 1 (SLU S) S -Mt-0.3X-Y | | SLV+SND | L | N | 1.00 | 1.00 | 0.00 | -1.00 | -0.30 | -1.00 |
| 17 Amb. 2 (SLU) | | SLU | L | N | 1.30 | 1.50 | 1.50 | 0.00 | 0.00 | 0.00 |
| 18 Amb. 2 (SLE R) | | SLE R | L | N | 1.00 | 1.00 | 1.00 | 0.00 | 0.00 | 0.00 |
| 19 Amb. 2 (SLE F) | | SLE F | L | N | 1.00 | 1.00 | 0.20 | 0.00 | 0.00 | 0.00 |
| 20 Amb. 2 (SLE Q) | | SLE Q | L | N | 1.00 | 1.00 | 0.00 | 0.00 | 0.00 | 0.00 |

Elenco baricentri e masse impalcati

Simbologia

Imp. =Numero dell'impalcato
 Jpz =Massa rotazionale intorno all'asse Z
 Mo =Massa orizzontale
 X =Coordinata X
 Y =Coordinata Y
 Z =Coordinata Z

| Imp. | X <m> | Y <m> | Z <m> | Mo <kg> | Jpz <kg*mq> |
|------|----------|----------|----------|------------|----------------|
| 1 | 3.13 | 2.48 | 3.10 | 33527.70 | 243764.00 |

Totali masse impalcati

| Mo <kg> | Jpz <kg*mq> |
|------------|----------------|
| 33527.70 | 243764.00 |

Elenco forze sismiche di impalcato allo SLV

Simbologia

Imp. =Numero dell'impalcato
 Mz =Momento intorno all'asse Z
 cx =Coeff. c in dir. X
 cy =Coeff. c in dir. Y

| Imp. | cx | cy | Mz <daNm> |
|------|------|------|--------------|
| 1 | 1.00 | 1.00 | 1305.54 |

Totali forze sismiche

| Mz <daNm> |
|--------------|
| 1305.54 |

Elenco forze sismiche di impalcato allo SND

| Imp. | cx | cy | Mz <daNm> |
|------|------|------|--------------|
| 1 | 1.00 | 1.00 | 1305.54 |

Tabulato di calcolo

| | | | |
|---|------|------|---------|
| 1 | 1.00 | 1.00 | 1633.24 |
|---|------|------|---------|

Totali forze sismiche

| |
|--------|
| Mz |
| <daNm> |

1633.24

Elenco modi di vibrare, masse partecipanti e coefficienti di partecipazione

Simbologia

Φ_x = Coefficiente di partecipazione in dir. X
 Φ_y = Coefficiente di partecipazione in dir. Y
 Φ_z = Coefficiente di partecipazione in dir. Z
%Jpz = Percentuale momento d'inerzia polare partecipante intorno all'asse Z
%Mx = Percentuale massa partecipante in dir. X
%My = Percentuale massa partecipante in dir. Y
%Mz = Percentuale massa partecipante in dir. Z
C = * indica che il modo è stato considerato
Diff. = Minima differenza percentuale dagli altri periodi
Modo = Numero del modo di vibrare
T = Periodo

| Modo | C | T | Diff. | Φ_x | Φ_y | Φ_z | %Mx | %My | %Mz | %Jpz |
|-----------|------|-------|--------|----------|----------|----------|--------|--------|-------|--------|
| 1* | 0.05 | 30.45 | 30.45 | -12.28 | -52.77 | 0.00 | 4.50 | 83.07 | 0.00 | 12.43 |
| 2* | 0.03 | 30.45 | 55.12 | -15.88 | 0.00 | 90.62 | 7.52 | 0.00 | 1.86 | |
| 3* | 0.02 | 59.83 | -12.79 | -17.76 | 0.00 | 4.88 | 9.41 | 0.00 | 85.71 | |
| Tot.cons. | | | | | | | 100.00 | 100.00 | 0.00 | 100.00 |

Elenco coefficienti di risposta

Simbologia

Modo = Numero del modo di vibrare
Sx = Coefficiente di risposta (moltiplicato per 100) in dir. X
Sy = Coefficiente di risposta (moltiplicato per 100) in dir. Y

Stato limite di salvaguardia della vita

| Modo | Sx | Sy |
|------|-------|-------|
| 1 | 10.07 | 10.07 |
| 2 | 10.16 | 10.16 |
| 3 | 10.28 | 10.28 |

Domanda in duttilità di curvatura

Direzione X $\mu_{Edx}=65.58$

Direzione Y $\mu_{Edy}=50.55$

Spostamenti dei nodi

Simbologia

CC = Numero della combinazione delle condizioni di carico elementari
Nodo = Numero del nodo
Rx = Rotazione intorno all'asse X
Ry = Rotazione intorno all'asse Y
Rz = Rotazione intorno all'asse Z
Sx = Spostamento in dir. X
Sy = Spostamento in dir. Y
Sz = Spostamento in dir. Z
TCC = Tipo di combinazione di carico
SLU = Stato limite ultimo
SLE R = Stato limite d'esercizio, combinazione rara
SLE F = Stato limite d'esercizio, combinazione frequente
SLE Q = Stato limite d'esercizio, combinazione quasi permanente
SLV = Stato limite di salvaguardia della vita
SND = Stato limite di salvaguardia della vita (non dissipativo)

I valori degli spostamenti nodali per CC di tipo sismico sono amplificati come da normativa

| Nodo | | Sx <cm> | CC TCC | Sy <cm> | CC TCC | Sz <cm> | CC TCC | Rx <rad> | CC TCC | Ry <rad> | CC TCC | Rz <rad> | CC TCC |
|------|------|------------|--------|------------|--------|------------|--------|-------------|--------|-------------|--------|-------------|--------|
| -324 | Max | 0.04 | 9SLV | 0.03 | 6SLV | 0.01 | 8SLV | 0.00 | 8SLV | 0.00 | 13SLV | 0.00 | 8SLV |
| -324 | Min. | -0.04 | 4SLV | -0.03 | 15SLV | -0.02 | 13SLV | 0.00 | 13SLV | 0.00 | 8SLV | 0.00 | 13SLV |
| -323 | Max | 0.04 | 9SLV | 0.04 | 6SLV | 0.01 | 8SLV | 0.00 | 7SLV | 0.00 | 13SLV | 0.00 | 8SLV |
| -323 | Min. | -0.04 | 4SLV | -0.03 | 15SLV | -0.01 | 13SLV | 0.00 | 14SLV | 0.00 | 8SLV | 0.00 | 13SLV |
| -322 | Max | 0.04 | 9SLV | 0.04 | 14SLV | 0.00 | 7SLV | 0.00 | 7SLV | 0.00 | 13SLV | 0.00 | 8SLV |
| -322 | Min. | -0.04 | 4SLV | -0.04 | 7SLV | -0.01 | 14SLV | 0.00 | 14SLV | 0.00 | 8SLV | 0.00 | 13SLV |
| -321 | Max | 0.04 | 9SLV | 0.04 | 14SLV | -0.00 | 10SLV | 0.00 | 7SLV | 0.00 | 13SLV | 0.00 | 8SLV |
| -321 | Min. | -0.04 | 4SLV | -0.04 | 7SLV | -0.01 | 3SLV | 0.00 | 14SLV | 0.00 | 8SLV | 0.00 | 13SLV |
| -320 | Max | 0.04 | 9SLV | 0.05 | 14SLV | 0.00 | 9SLV | 0.00 | 7SLV | 0.00 | 13SLV | 0.00 | 8SLV |

Tabulato di calcolo

| | | | | | | | | | | | | | | | | | | | |
|-----|------|-------|----|-----|-------|----|-----|-------|----|-----|------|----|-----|------|----|-----|------|----|-----|
| -77 | Min. | -0.00 | 4 | SLV | -0.00 | 15 | SLV | -0.00 | 13 | SLV | 0.00 | 6 | SLV | 0.00 | 4 | SLV | 0.00 | 13 | SLV |
| -76 | Max | 0.00 | 9 | SLV | 0.01 | 13 | SLV | 0.01 | 14 | SLV | 0.00 | 7 | SLV | 0.00 | 9 | SLV | 0.00 | 8 | SLV |
| -76 | Min. | -0.00 | 4 | SLV | -0.01 | 8 | SLV | -0.01 | 7 | SLV | 0.00 | 14 | SLV | 0.00 | 4 | SLV | 0.00 | 13 | SLV |
| -75 | Max | 0.00 | 9 | SLV | 0.00 | 6 | SLV | 0.00 | 4 | SLV | 0.00 | 15 | SLV | 0.00 | 9 | SLV | 0.00 | 8 | SLV |
| -75 | Min. | -0.00 | 4 | SLV | -0.00 | 15 | SLV | 0.00 | 9 | SLV | 0.00 | 6 | SLV | 0.00 | 4 | SLV | 0.00 | 13 | SLV |
| -74 | Max | 0.00 | 1 | SLV | 0.01 | 14 | SLV | 0.01 | 14 | SLV | 0.00 | 7 | SLV | 0.00 | 1 | SLV | 0.00 | 4 | SLV |
| -74 | Min. | 0.00 | 12 | SLV | -0.01 | 7 | SLV | -0.01 | 7 | SLV | 0.00 | 14 | SLV | 0.00 | 12 | SLV | 0.00 | 9 | SLV |
| -73 | Max | 0.00 | 9 | SLV | 0.00 | 6 | SLV | 0.00 | 3 | SLV | 0.00 | 15 | SLV | 0.00 | 9 | SLV | 0.00 | 7 | SLV |
| -73 | Min. | -0.00 | 4 | SLV | -0.00 | 15 | SLV | -0.00 | 10 | SLV | 0.00 | 6 | SLV | 0.00 | 4 | SLV | 0.00 | 14 | SLV |
| -72 | Max | 0.00 | 1 | SLV | 0.00 | 6 | SLV | 0.00 | 11 | SLV | 0.00 | 15 | SLV | 0.00 | 1 | SLV | 0.00 | 7 | SLV |
| -72 | Min. | -0.00 | 12 | SLV | -0.00 | 15 | SLV | -0.00 | 2 | SLV | 0.00 | 6 | SLV | 0.00 | 12 | SLV | 0.00 | 14 | SLV |
| -71 | Max | 0.00 | 2 | SLV | 0.00 | 6 | SLV | 0.00 | 11 | SLV | 0.00 | 15 | SLV | 0.00 | 2 | SLV | 0.00 | 2 | SLV |
| -71 | Min. | -0.00 | 11 | SLV | -0.00 | 15 | SLV | -0.00 | 2 | SLV | 0.00 | 6 | SLV | 0.00 | 11 | SLV | 0.00 | 11 | SLV |
| -70 | Max | 0.00 | 2 | SLV | 0.00 | 6 | SLV | 0.00 | 11 | SLV | 0.00 | 15 | SLV | 0.00 | 2 | SLV | 0.00 | 2 | SLV |
| -70 | Min. | -0.00 | 11 | SLV | -0.00 | 15 | SLV | -0.00 | 2 | SLV | 0.00 | 6 | SLV | 0.00 | 11 | SLV | 0.00 | 11 | SLV |
| -69 | Max | 0.00 | 2 | SLV | 0.00 | 14 | SLV | 0.00 | 7 | SLV | 0.00 | 7 | SLV | 0.00 | 2 | SLV | 0.00 | 2 | SLV |
| -69 | Min. | -0.00 | 11 | SLV | -0.00 | 7 | SLV | -0.01 | 14 | SLV | 0.00 | 14 | SLV | 0.00 | 11 | SLV | 0.00 | 11 | SLV |
| -68 | Max | 0.00 | 2 | SLV | 0.00 | 6 | SLV | 0.00 | 11 | SLV | 0.00 | 15 | SLV | 0.00 | 2 | SLV | 0.00 | 5 | SLV |
| -68 | Min. | -0.00 | 11 | SLV | -0.00 | 15 | SLV | -0.00 | 2 | SLV | 0.00 | 6 | SLV | 0.00 | 11 | SLV | 0.00 | 16 | SLV |
| -67 | Max | 0.00 | 2 | SLV | 0.00 | 6 | SLV | 0.00 | 11 | SLV | 0.00 | 15 | SLV | 0.00 | 2 | SLV | 0.00 | 6 | SLV |
| -67 | Min. | -0.00 | 11 | SLV | -0.00 | 15 | SLV | -0.00 | 2 | SLV | 0.00 | 6 | SLV | 0.00 | 11 | SLV | 0.00 | 15 | SLV |
| -66 | Max | 0.00 | 2 | SLV | 0.00 | 6 | SLV | 0.00 | 11 | SLV | 0.00 | 15 | SLV | 0.00 | 2 | SLV | 0.00 | 3 | SLV |
| -66 | Min. | -0.00 | 11 | SLV | -0.00 | 15 | SLV | -0.00 | 2 | SLV | 0.00 | 6 | SLV | 0.00 | 11 | SLV | 0.00 | 10 | SLV |
| -65 | Max | 0.00 | 2 | SLV | 0.00 | 14 | SLV | 0.00 | 11 | SLV | 0.00 | 7 | SLV | 0.00 | 2 | SLV | 0.00 | 3 | SLV |
| -65 | Min. | -0.00 | 11 | SLV | -0.00 | 7 | SLV | -0.00 | 2 | SLV | 0.00 | 14 | SLV | 0.00 | 11 | SLV | 0.00 | 10 | SLV |
| -64 | Max | 0.00 | 2 | SLV | 0.00 | 14 | SLV | 0.00 | 14 | SLV | 0.00 | 7 | SLV | 0.00 | 2 | SLV | 0.00 | 4 | SLV |
| -64 | Min. | -0.00 | 11 | SLV | -0.00 | 7 | SLV | -0.00 | 7 | SLV | 0.00 | 14 | SLV | 0.00 | 11 | SLV | 0.00 | 9 | SLV |
| -63 | Max | 0.00 | 2 | SLV | 0.00 | 14 | SLV | 0.00 | 6 | SLV | 0.00 | 7 | SLV | 0.00 | 2 | SLV | 0.00 | 8 | SLV |
| -63 | Min. | -0.00 | 11 | SLV | -0.00 | 7 | SLV | -0.00 | 17 | SLU | 0.00 | 14 | SLV | 0.00 | 11 | SLV | 0.00 | 13 | SLV |
| -62 | Max | 0.00 | 2 | SLV | 0.00 | 14 | SLV | 0.00 | 5 | SLV | 0.00 | 7 | SLV | 0.00 | 2 | SLV | 0.00 | 8 | SLV |
| -62 | Min. | -0.00 | 11 | SLV | -0.00 | 7 | SLV | -0.00 | 17 | SLU | 0.00 | 14 | SLV | 0.00 | 11 | SLV | 0.00 | 13 | SLV |
| -61 | Max | 0.00 | 2 | SLV | 0.00 | 14 | SLV | 0.00 | 1 | SLV | 0.00 | 7 | SLV | 0.00 | 2 | SLV | 0.00 | 8 | SLV |
| -61 | Min. | -0.00 | 11 | SLV | -0.00 | 7 | SLV | -0.00 | 17 | SLU | 0.00 | 14 | SLV | 0.00 | 11 | SLV | 0.00 | 13 | SLV |
| -60 | Max | 0.00 | 2 | SLV | 0.00 | 14 | SLV | 0.00 | 1 | SLV | 0.00 | 7 | SLV | 0.00 | 2 | SLV | 0.00 | 8 | SLV |
| -60 | Min. | -0.00 | 11 | SLV | -0.00 | 7 | SLV | -0.00 | 12 | SLV | 0.00 | 14 | SLV | 0.00 | 11 | SLV | 0.00 | 13 | SLV |
| -59 | Max | 0.00 | 2 | SLV | 0.00 | 14 | SLV | 0.00 | 1 | SLV | 0.00 | 7 | SLV | 0.00 | 2 | SLV | 0.00 | 8 | SLV |
| -59 | Min. | -0.00 | 11 | SLV | -0.00 | 7 | SLV | -0.00 | 12 | SLV | 0.00 | 14 | SLV | 0.00 | 11 | SLV | 0.00 | 13 | SLV |
| -58 | Max | 0.00 | 2 | SLV | 0.00 | 14 | SLV | 0.00 | 1 | SLV | 0.00 | 7 | SLV | 0.00 | 2 | SLV | 0.00 | 8 | SLV |
| -58 | Min. | -0.00 | 11 | SLV | -0.00 | 7 | SLV | -0.00 | 12 | SLV | 0.00 | 14 | SLV | 0.00 | 11 | SLV | 0.00 | 13 | SLV |
| -57 | Max | 0.00 | 2 | SLV | 0.00 | 14 | SLV | 0.00 | 1 | SLV | 0.00 | 7 | SLV | 0.00 | 2 | SLV | 0.00 | 8 | SLV |
| -57 | Min. | -0.00 | 11 | SLV | -0.00 | 7 | SLV | -0.00 | 12 | SLV | 0.00 | 14 | SLV | 0.00 | 11 | SLV | 0.00 | 13 | SLV |
| -56 | Max | 0.00 | 2 | SLV | 0.00 | 14 | SLV | 0.00 | 1 | SLV | 0.00 | 7 | SLV | 0.00 | 2 | SLV | 0.00 | 2 | SLV |
| -56 | Min. | -0.00 | 11 | SLV | -0.00 | 7 | SLV | -0.00 | 12 | SLV | 0.00 | 14 | SLV | 0.00 | 11 | SLV | 0.00 | 11 | SLV |
| -55 | Max | 0.00 | 9 | SLV | 0.00 | 6 | SLV | 0.00 | 8 | SLV | 0.00 | 15 | SLV | 0.00 | 9 | SLV | 0.00 | 6 | SLV |
| -55 | Min. | -0.00 | 4 | SLV | -0.00 | 15 | SLV | -0.00 | 13 | SLV | 0.00 | 6 | SLV | 0.00 | 4 | SLV | 0.00 | 15 | SLV |
| -54 | Max | 0.00 | 9 | SLV | 0.00 | 6 | SLV | 0.00 | 15 | SLV | 0.00 | 15 | SLV | 0.00 | 9 | SLV | 0.00 | 6 | SLV |
| -54 | Min. | -0.00 | 4 | SLV | -0.00 | 15 | SLV | -0.00 | 6 | SLV | 0.00 | 6 | SLV | 0.00 | 4 | SLV | 0.00 | 15 | SLV |
| -53 | Max | 0.00 | 9 | SLV | 0.00 | 14 | SLV | 0.00 | 10 | SLV | 0.00 | 7 | SLV | 0.00 | 9 | SLV | 0.00 | 3 | SLV |
| -53 | Min. | -0.00 | 4 | SLV | -0.00 | 7 | SLV | -0.00 | 3 | SLV | 0.00 | 14 | SLV | 0.00 | 4 | SLV | 0.00 | 10 | SLV |
| -52 | Max | 0.00 | 13 | SLV | 0.00 | 13 | SLV | 0.00 | 8 | SLV | 0.00 | 8 | SLV | 0.00 | 2 | SLV | 0.00 | 7 | SLV |
| -52 | Min. | -0.00 | 8 | SLV | -0.00 | 8 | SLV | -0.00 | 13 | SLV | 0.00 | 13 | SLV | 0.00 | 11 | SLV | 0.00 | 14 | SLV |
| -51 | Max | 0.00 | 9 | SLV | 0.00 | 14 | SLV | 0.00 | 9 | SLV | 0.00 | 7 | SLV | 0.00 | 9 | SLV | 0.00 | 3 | SLV |
| -51 | Min. | -0.00 | 4 | SLV | -0.00 | 7 | SLV | -0.00 | 4 | SLV | 0.00 | 14 | SLV | 0.00 | 4 | SLV | 0.00 | 10 | SLV |
| -50 | Max | 0.00 | 9 | SLV | 0.00 | 14 | SLV | 0.00 | 9 | SLV | 0.00 | 7 | SLV | 0.00 | 13 | SLV | 0.00 | 3 | SLV |
| -50 | Min. | -0.00 | 4 | SLV | -0.00 | 7 | SLV | -0.00 | 4 | SLV | 0.00 | 14 | SLV | 0.00 | 8 | SLV | 0.00 | 10 | SLV |
| -49 | Max | 0.00 | 9 | SLV | 0.00 | 14 | SLV | 0.00 | 9 | SLV | 0.00 | 7 | SLV | 0.00 | 9 | SLV | 0.00 | 6 | SLV |
| -49 | Min. | -0.00 | 4 | SLV | -0.00 | 7 | SLV | -0.00 | 4 | SLV | 0.00 | 14 | SLV | 0.00 | 4 | SLV | 0.00 | 15 | SLV |
| -48 | Max | 0.00 | 9 | SLV | 0.00 | 14 | SLV | 0.00 | 9 | SLV | 0.00 | 7 | SLV | 0.00 | 3 | SLV | 0.00 | 3 | SLV |
| -48 | Min. | -0.00 | 4 | SLV | -0.00 | 7 | SLV | -0.00 | 4 | SLV | 0.00 | 14 | SLV | 0.00 | 10 | SLV | 0.00 | 10 | SLV |
| -47 | Max | 0.00 | 9 | SLV | 0.00 | 14 | SLV | 0.00 | 9 | SLV | 0.00 | 7 | SLV | 0.00 | 8 | SLV | 0.00 | 8 | SLV |
| -47 | Min. | -0.00 | 4 | SLV | -0.00 | 7 | SLV | 0.00 | 4 | SLV | 0.00 | 14 | SLV | 0.00 | 13 | SLV | 0.00 | 13 | SLV |
| -46 | Max | 0.00 | 9 | SLV | 0.00 | 14 | SLV | 0.00 | 8 | SLV | 0.00 | 7 | SLV | 0.00 | 8 | SLV | 0.00 | 8 | SLV |
| -46 | Min. | -0.00 | 4 | SLV | 0.00 | 7 | SLV | 0.00 | 13 | SLV | 0.00 | 14 | SLV | 0.00 | 13 | SLV | 0.00 | 13 | SLV |
| -45 | Max | 0.00 | 13 | SLV | 0.00 | 14 | SLV | 0.00 | 8 | SLV | 0.00 | 7 | SLV | 0.00 | 7 | SLV | 0.00 | 8 | SLV |
| -45 | Min. | -0.00 | 8 | SLV | -0.00 | 7 | SLV | -0.00 | 13 | SLV | 0.00 | 14 | SLV | 0.00 | 14 | SLV | 0.00 | 13 | SLV |
| -44 | Max | 0.00 | 13 | SLV | 0.00 | 13 | SLV | 0.00 | 8 | SLV | 0.00 | 8 | SLV | 0.00 | 9 | SLV | 0.00 | 8 | SLV |
| -44 | Min. | -0.00 | 8 | SLV | -0.00 | 8 | SLV | -0.00 | 13 | SLV | 0.00 | 13 | SLV | 0.00 | 4 | SLV | 0.00 | 13 | SLV |
| 101 | Max | 0.03 | 2 | SLV | 0.07 | 14 | SLV | 0.01 | 2 | SLV | 0.00 | 12 | SLV | 0.00 | 2 | SLV | 0.00 | 8 | SLV |
| 101 | Min. | -0.03 | 11 | SLV | -0.07 | 7 | SLV | -0.02 | 11 | SLV | 0.00 | 1 | SLV | 0.00 | 11 | SLV | 0.00 | 13 | SLV |
| 102 | Max | 0.03 | 9 | SLV | 0.07 | 14 | SLV | 0.03 | 14 | SLV | 0.00 | 8 | SLV | 0.00 | 9 | SLV | 0.00 | 8 | SLV |
| 102 | Min. | -0.03 | 4 | SLV | -0.07 | 7 | SLV | -0.03 | 7 | SLV | 0.00 | 13 | SLV | 0.00 | 4 | SLV | 0.00 | 13 | SLV |

Tabulato di calcolo

Simbologia

CC = Numero della combinazione delle condizioni di carico elementari
 Fx = Reazione vincolare (forza) in dir. X
 Fy = Reazione vincolare (forza) in dir. Y
 Fz = Reazione vincolare (forza) in dir. Z
 Mx = Reazione vincolare (momento) intorno all'asse X
 My = Reazione vincolare (momento) intorno all'asse Y
 Mz = Reazione vincolare (momento) intorno all'asse Z
 Nodo = Numero del nodo
 TCC = Tipo di combinazione di carico
 SLU = Stato limite ultimo
 SLE R = Stato limite d'esercizio, combinazione rara
 SLE F = Stato limite d'esercizio, combinazione frequente
 SLE Q = Stato limite d'esercizio, combinazione quasi permanente
 SLV = Stato limite di salvaguardia della vita
 SND = Stato limite di salvaguardia della vita (non dissipativo)

| Nodo | CC | TCC | Fx <daN> | CC | TCC | Fy <daN> | CC | TCC | Fz <daN> | CC | TCC | Mx <daNm> | CC | TCC | My <daNm> | CC | TCC | Mz <daNm> | |
|------|-----|-----|-------------|---------|-----|-------------|---------|-----|-------------|---------|-----|--------------|--------|-----|--------------|--------|-----|--------------|-------|
| -43 | Max | 4 | SND | -93.19 | 15 | SND | 107.18 | 13 | SND | 1876.03 | 6 | SND | 12.33 | 4 | SND | -3.16 | 10 | SND | 1.41 |
| -43 | Min | 9 | SND | -379.83 | 6 | SND | -176.25 | 8 | SND | 364.60 | 15 | SND | -8.25 | 9 | SND | -25.34 | 1 | SLV | 0.23 |
| -42 | Max | 4 | SND | -95.29 | 15 | SND | 9.40 | 17 | SLU | 1596.27 | 6 | SND | 16.55 | 4 | SND | 0.31 | 15 | SND | 0.84 |
| -42 | Min | 9 | SND | -498.45 | 6 | SND | -37.80 | 8 | SND | 605.39 | 15 | SND | -7.61 | 9 | SND | -7.54 | 1 | SLV | -1.27 |
| -41 | Max | 4 | SND | -103.71 | 7 | SND | -0.45 | 17 | SLU | 1720.82 | 6 | SND | 10.25 | 4 | SND | -0.48 | 15 | SND | 0.19 |
| -41 | Min | 9 | SND | -500.34 | 14 | SND | -7.60 | 15 | SND | 920.54 | 15 | SND | -4.70 | 9 | SND | -4.88 | 1 | SLV | -0.79 |
| -40 | Max | 4 | SND | -67.80 | 7 | SND | 1.51 | 17 | SLU | 1914.17 | 14 | SND | 7.91 | 4 | SND | 0.09 | 10 | SND | 0.02 |
| -40 | Min | 9 | SND | -426.06 | 14 | SND | -3.72 | 10 | SND | 1081.34 | 7 | SND | -4.63 | 9 | SND | -2.66 | 1 | SLV | -0.31 |
| -39 | Max | 4 | SND | 4.66 | 7 | SND | 1.89 | 17 | SLU | 1995.31 | 14 | SND | 7.19 | 4 | SND | -1.83 | 10 | SND | 0.09 |
| -39 | Min | 9 | SND | -320.79 | 14 | SND | -2.88 | 9 | SND | 988.56 | 7 | SND | -4.76 | 17 | SLU | -3.55 | 1 | SLV | -0.21 |
| -38 | Max | 4 | SND | 179.50 | 7 | SND | 2.01 | 17 | SLU | 1805.63 | 14 | SND | 6.80 | 17 | SLU | 2.40 | 10 | SND | 0.12 |
| -38 | Min | 9 | SND | -167.28 | 14 | SND | -2.51 | 9 | SND | 748.55 | 7 | SND | -4.67 | 9 | SND | 1.24 | 1 | SLV | -0.14 |
| -37 | Max | 4 | SND | 295.33 | 7 | SND | 1.93 | 17 | SLU | 1194.83 | 14 | SND | 6.06 | 17 | SLU | 2.63 | 15 | SND | 0.14 |
| -37 | Min | 9 | SND | -70.86 | 14 | SND | -2.39 | 9 | SND | 388.08 | 7 | SND | -4.06 | 9 | SND | 0.93 | 1 | SLV | -0.09 |
| -36 | Max | 4 | SND | 343.27 | 7 | SND | 1.36 | 4 | SND | 628.50 | 14 | SND | 5.49 | 17 | SLU | 4.18 | 10 | SND | 0.14 |
| -36 | Min | 9 | SND | -18.75 | 14 | SND | -2.00 | 9 | SND | 121.68 | 7 | SND | -3.35 | 9 | SND | 2.06 | 1 | SLV | 0.00 |
| -35 | Max | 4 | SND | 301.11 | 7 | SND | 0.86 | 4 | SND | 251.81 | 14 | SND | 6.08 | 17 | SLU | 1.19 | 13 | SND | 0.29 |
| -35 | Min | 9 | SND | -37.99 | 14 | SND | -2.50 | 9 | SND | 26.39 | 7 | SND | -3.17 | 9 | SND | 0.48 | 1 | SLV | 0.00 |
| -34 | Max | 8 | SND | 250.28 | 8 | SND | 0.18 | 14 | SND | 140.35 | 14 | SND | 7.49 | 17 | SLU | 0.80 | 13 | SND | 0.58 |
| -34 | Min | 13 | SND | -67.52 | 13 | SND | -3.69 | 7 | SND | -0.08 | 7 | SND | -3.37 | 9 | SND | 0.27 | 1 | SLV | -0.18 |
| -33 | Max | 8 | SND | 205.77 | 8 | SND | -0.04 | 13 | SND | 425.13 | 14 | SND | 9.75 | 8 | SND | 0.07 | 13 | SND | 0.84 |
| -33 | Min | 13 | SND | -102.31 | 13 | SND | -5.48 | 8 | SND | -50.76 | 7 | SND | -4.37 | 13 | SND | -1.25 | 1 | SLV | -0.50 |
| -32 | Max | 8 | SND | 198.96 | 8 | SND | 2.82 | 13 | SND | 902.47 | 13 | SND | 14.20 | 8 | SND | 1.44 | 13 | SND | 1.29 |
| -32 | Min | 13 | SND | -66.40 | 10 | SND | -10.46 | 8 | SND | 74.27 | 8 | SND | -7.74 | 13 | SND | -0.37 | 1 | SLV | -1.24 |
| -31 | Max | 8 | SND | 218.20 | 8 | SND | 33.58 | 14 | SND | 1514.29 | 13 | SND | 22.82 | 17 | SLU | 4.69 | 14 | SND | 1.65 |
| -31 | Min | 13 | SND | -1.56 | 13 | SND | -44.95 | 7 | SND | 340.39 | 8 | SND | -16.43 | 14 | SND | 1.16 | 1 | SLV | -1.96 |
| -30 | Max | 17 | SLU | 242.22 | 7 | SND | 181.20 | 14 | SND | 2077.35 | 14 | SND | 17.28 | 17 | SLU | 20.83 | 11 | SND | 0.19 |
| -30 | Min | 13 | SND | 137.27 | 14 | SND | -233.26 | 7 | SND | 520.05 | 7 | SND | -15.99 | 9 | SND | 12.01 | 1 | SLV | -0.40 |
| -29 | Max | 17 | SLU | 42.61 | 8 | SND | 360.02 | 17 | SLU | 1555.20 | 13 | SND | 3.12 | 17 | SLU | 26.31 | 12 | SND | -0.96 |
| -29 | Min | 8 | SND | 19.07 | 13 | SND | -187.27 | 7 | SND | 640.09 | 8 | SND | -7.32 | 17 | SLU | 14.18 | 1 | SLV | -1.81 |
| -28 | Max | 4 | SND | -16.72 | 10 | SND | 227.94 | 13 | SND | 1290.55 | 3 | SND | 2.51 | 4 | SND | -2.10 | 9 | SND | 3.18 |
| -28 | Min | 17 | SLU | -60.81 | 3 | SND | -175.09 | 8 | SND | 299.39 | 10 | SND | -4.48 | 9 | SND | -26.22 | 1 | SLV | 0.79 |
| -27 | Max | 17 | SLU | 17.23 | 8 | SND | 376.12 | 17 | SLU | 1159.96 | 13 | SND | 2.80 | 17 | SLU | 19.18 | 8 | SND | -0.62 |
| -27 | Min | 8 | SND | 5.36 | 13 | SND | -220.58 | 10 | SND | 696.13 | 8 | SND | -3.78 | 17 | SLU | 9.22 | 1 | SLV | -1.43 |
| -26 | Max | 8 | SND | -0.59 | 15 | SND | 227.10 | 13 | SND | 960.93 | 6 | SND | 1.57 | 4 | SND | 1.49 | 17 | SLU | 1.67 |
| -26 | Min | 13 | SND | -7.51 | 6 | SND | -212.01 | 8 | SND | 343.16 | 15 | SND | -1.88 | 9 | SND | -12.92 | 1 | SLV | 0.43 |
| -25 | Max | 17 | SLU | 13.52 | 8 | SND | 356.53 | 17 | SLU | 891.70 | 13 | SND | 2.50 | 17 | SLU | 15.10 | 8 | SND | -0.48 |
| -25 | Min | 7 | SND | 6.85 | 13 | SND | -232.94 | 13 | SND | 372.16 | 8 | SND | -2.36 | 17 | SLU | 6.15 | 1 | SLV | -1.05 |
| -24 | Max | 4 | SND | 0.00 | 15 | SND | 228.50 | 17 | SLU | 836.79 | 6 | SND | 1.35 | 4 | SND | 2.83 | 13 | SND | 0.72 |
| -24 | Min | 9 | SND | -4.30 | 6 | SND | -238.48 | 8 | SND | 384.65 | 15 | SND | -1.58 | 9 | SND | -8.80 | 1 | SLV | 0.09 |
| -23 | Max | 17 | SLU | 10.97 | 8 | SND | 329.60 | 8 | SND | 1033.78 | 14 | SND | 2.30 | 17 | SLU | 12.01 | 14 | SND | -0.51 |
| -23 | Min | 2 | SND | 5.25 | 13 | SND | -227.96 | 13 | SND | -41.83 | 7 | SND | -1.49 | 17 | SLU | 3.98 | 1 | SLV | -0.90 |
| -22 | Max | 4 | SND | 0.55 | 15 | SND | 221.75 | 17 | SLU | 769.78 | 6 | SND | 1.30 | 4 | SND | 3.33 | 13 | SND | 0.46 |
| -22 | Min | 9 | SND | -3.29 | 6 | SND | -261.60 | 8 | SND | 421.21 | 15 | SND | -1.22 | 9 | SND | -7.06 | 1 | SLV | -0.02 |
| -21 | Max | 17 | SLU | 6.56 | 8 | SND | 286.92 | 7 | SND | 1385.43 | 8 | SND | 0.35 | 17 | SLU | 8.95 | 13 | SND | -0.35 |
| -21 | Min | 2 | SND | 2.47 | 13 | SND | -186.86 | 14 | SND | -573.20 | 13 | SND | -0.04 | 17 | SLU | 2.32 | 1 | SLV | -0.86 |
| -20 | Max | 4 | SND | 0.75 | 15 | SND | 209.74 | 17 | SLU | 736.61 | 6 | SND | 1.45 | 4 | SND | 3.50 | 13 | SND | 0.29 |
| -20 | Min | 9 | SND | -2.65 | 6 | SND | -279.90 | 4 | SND | 420.59 | 15 | SND | -1.05 | 9 | SND | -6.12 | 1 | SLV | -0.12 |
| -19 | Max | 13 | SND | 0.62 | 8 | SND | 226.50 | 7 | SND | 1027.79 | 8 | SND | 0.61 | 12 | SND | 3.49 | 9 | SND | -0.22 |
| -19 | Min | 8 | SND | -2.80 | 13 | SND | -146.47 | 14 | SND | -619.47 | 13 | SND | -0.27 | 17 | SLU | 0.61 | 1 | SLV | -0.77 |
| -18 | Max | 4 | SND | 0.72 | 15 | SND | 193.54 | 17 | SLU | 731.43 | 6 | SND | 1.67 | 4 | SND | 3.49 | 14 | SND | 0.21 |
| -18 | Min | 9 | SND | -2.76 | 6 | SND | -291.13 | 3 | SND | 402.46 | 15 | SND | -0.88 | 9 | SND | -5.84 | 1 | SLV | -0.22 |
| -17 | Max | 11 | SND | 0.90 | 15 | SND | 176.03 | 17 | SLU | 750.64 | 6 | SND | 2.10 | 12 | SND | 3.65 | 14 | SND | 0.19 |
| -17 | Min | 2 | SND | -3.20 | 6 | SND | -293.04 | 11 | SND | 363.00 | 15 | SND | -0.89 | 7 | SND | -6.34 | 1 | SLV | -0.37 |
| -16 | Max | 11 | SND | 2.25 | 15 | SND | 159.60 | 2 | SND | 811.92 | 6 | SND | 2.58 | 11 | SND | 4.19 | 11 | SND | 0.21 |
| -16 | Min | 2 | SND | -5.05 | 6 | SND | -281.29 | 11 | SND | 302.69 | 15 | SND | -0.97 | 2 | SND | -8.63 | 1 | SLV | -0.96 |
| -15 | Max | 11 | SND | 4.73 | 15 | SND | 140.61 | 2 | SND | 1016.60 | 6 | SND | 4.47 | 11 | SND | 4.94 | 11 | SND | 0.11 |
| -15 | Min | 2 | SND | -40.40 | 6 | SND | -250.11 | 11 | SND | 185.22 | 15 | SND | -1.84 | 2 | SND | -16.94 | 1 | SLV | -1.96 |
| -14 | Max | 11 | SND | 28.19 | 7 | SND | -16.08 | 14 | SND | 842.85 | 14 | SND | 2.30 | 11 | SND | 11.63 | 11 | SND | 1.79 |
| -14 | Min | 2 | SND | 3.74 | 14 | SND | -126.71 | 7 | SND | 209.34 | 7 | SND | -0.54 | 2 | SND | 0.30 | 1 | SLV | 0.08 |
| -13 | Max | 11 | SND | 4.67 | 15 | SND | 146.61 | 2 | SND | 1397.83 | 6 | SND | 10.93 | 11 | SND | 2.45 | 16 | SND | -0.02 |
| -13 | Min | 2 | SND | -246.07 | 6 | SND | -135.55 | 11 | SND | 53.31 | 15 | SND | -9.75 | 5 | SND | -15.76 | 1 | SLV | -0.77 |
| -12 | Max | 12 | SND | 43.70 | 15 | SND | 28.04 | 2 | SND | 1174.39 | 6 | SND | 12.49 | 12 | SND | 0.61 | 15 | SND | 1.13 |

Tabulato di calcolo

| | | | | | | | | | | | | | | | | | | | |
|-----|-----|----|-----|---------|----|-----|--------|----|-----|---------|----|-----|--------|----|-----|-------|----|-----|-------|
| -12 | Min | 1 | SND | -301.13 | 6 | SND | -20.23 | 11 | SND | 345.92 | 15 | SND | -12.11 | 6 | SND | -4.74 | 1 | SLV | -1.01 |
| -11 | Max | 12 | SND | 96.73 | 7 | SND | 4.31 | 17 | SLU | 1278.95 | 6 | SND | 8.34 | 12 | SND | 0.75 | 15 | SLV | 0.62 |
| -11 | Min | 1 | SND | -297.55 | 14 | SND | -3.19 | 11 | SND | 603.25 | 15 | SND | -6.98 | 6 | SND | -2.19 | 1 | SLV | -0.40 |
| -10 | Max | 11 | SND | 146.97 | 7 | SND | 1.99 | 17 | SLU | 1426.17 | 14 | SND | 7.62 | 11 | SND | 0.86 | 10 | SND | 0.26 |
| -10 | Min | 2 | SND | -277.86 | 14 | SND | -3.09 | 11 | SND | 781.26 | 7 | SND | -5.44 | 3 | SND | -1.53 | 1 | SLV | -0.15 |
| -9 | Max | 11 | SND | 193.50 | 7 | SND | 1.70 | 17 | SLU | 1539.43 | 14 | SND | 7.72 | 11 | SND | 0.98 | 9 | SND | 0.15 |
| -9 | Min | 2 | SND | -252.39 | 14 | SND | -2.98 | 14 | SND | 905.25 | 7 | SND | -5.29 | 4 | SND | -0.97 | 1 | SLV | -0.12 |
| -8 | Max | 11 | SND | 234.42 | 7 | SND | 1.74 | 17 | SLU | 1619.94 | 14 | SND | 8.06 | 11 | SND | 1.08 | 13 | SND | 0.17 |
| -8 | Min | 2 | SND | -224.39 | 14 | SND | -2.97 | 6 | SND | 992.83 | 7 | SND | -5.58 | 8 | SND | -0.74 | 1 | SLV | -0.16 |
| -7 | Max | 11 | SND | 268.61 | 7 | SND | 2.09 | 17 | SLU | 1671.10 | 14 | SND | 8.63 | 11 | SND | 1.13 | 13 | SND | 0.21 |
| -7 | Min | 2 | SND | -194.52 | 14 | SND | -3.17 | 5 | SND | 1049.33 | 7 | SND | -6.16 | 8 | SND | -0.60 | 1 | SLV | -0.22 |
| -6 | Max | 11 | SND | 296.62 | 7 | SND | 2.62 | 17 | SLU | 1697.68 | 14 | SND | 9.44 | 11 | SND | 1.27 | 13 | SND | 0.27 |
| -6 | Min | 2 | SND | -162.91 | 14 | SND | -3.60 | 1 | SND | 1060.79 | 7 | SND | -6.99 | 8 | SND | -0.54 | 1 | SLV | -0.27 |
| -5 | Max | 11 | SND | 318.25 | 7 | SND | 3.41 | 17 | SLU | 1704.34 | 14 | SND | 10.48 | 11 | SND | 1.41 | 13 | SND | 0.33 |
| -5 | Min | 2 | SND | -129.44 | 14 | SND | -4.28 | 1 | SND | 1026.47 | 7 | SND | -8.07 | 8 | SND | -0.49 | 1 | SLV | -0.35 |
| -4 | Max | 11 | SND | 334.94 | 7 | SND | 4.40 | 17 | SLU | 1698.21 | 14 | SND | 11.75 | 11 | SND | 1.91 | 13 | SND | 0.38 |
| -4 | Min | 2 | SND | -94.01 | 14 | SND | -5.27 | 1 | SND | 970.35 | 7 | SND | -9.46 | 8 | SND | -0.40 | 1 | SLV | -0.45 |
| -3 | Max | 11 | SND | 345.48 | 8 | SND | 6.73 | 17 | SLU | 1690.66 | 14 | SND | 13.03 | 11 | SND | 2.39 | 13 | SND | 0.41 |
| -3 | Min | 2 | SND | -57.13 | 13 | SND | -5.82 | 1 | SND | 892.26 | 7 | SND | -11.53 | 8 | SND | -0.40 | 1 | SLV | -0.65 |
| -2 | Max | 11 | SND | 349.18 | 8 | SND | 17.33 | 17 | SLU | 1739.86 | 14 | SND | 14.35 | 11 | SND | 5.00 | 13 | SND | 0.39 |
| -2 | Min | 2 | SND | -17.25 | 13 | SND | -4.22 | 1 | SND | 794.94 | 7 | SND | -14.80 | 8 | SND | -0.29 | 1 | SLV | -0.78 |
| -1 | Max | 11 | SND | 294.43 | 8 | SND | 53.42 | 17 | SLU | 1796.90 | 14 | SND | 8.62 | 11 | SND | 16.22 | 16 | SND | 0.34 |
| -1 | Min | 2 | SND | 37.41 | 13 | SND | 19.05 | 2 | SND | 650.58 | 7 | SND | -9.43 | 5 | SND | 0.71 | 1 | SLV | -0.04 |

Verifiche muratura

Tabelle riassuntive verifiche

Verifiche maschi, fasce e cinematismi

Simbologia

Num. = Numero elemento V (ver. statiche), S (ver. sismiche), C (ver. cinematismi)

TG = Tasso di sfruttamento globale

TP = Tasso di sfruttamento per pressoflessione nel piano

TPO = Tasso di sfruttamento per pressoflessione ortogonale al piano

TT = Tasso di sfruttamento per taglio nel piano

Zv = Coordinata Z di verifica

| Num. | Zv <m> | TP | TPO | TT | TG |
|------|-----------|------|------|------|------|
| 1V | 0.00 | --- | 0.10 | --- | 0.10 |
| 1V | 1.55 | --- | 0.14 | --- | 0.14 |
| 2V | 0.00 | --- | 0.10 | --- | 0.10 |
| 2V | 1.55 | --- | 0.22 | --- | 0.22 |
| 3V | 0.00 | --- | 0.11 | --- | 0.11 |
| 3V | 1.55 | --- | 0.19 | --- | 0.19 |
| 4V | 0.00 | --- | 0.12 | --- | 0.12 |
| 4V | 1.55 | --- | 0.08 | --- | 0.08 |
| 5V | 0.00 | --- | 0.07 | --- | 0.07 |
| 5V | 1.55 | --- | 0.04 | --- | 0.04 |
| 6V | 0.00 | --- | 0.05 | --- | 0.05 |
| 6V | 1.55 | --- | 0.03 | --- | 0.03 |
| 101S | 0.00 | 0.13 | --- | 0.11 | 0.13 |
| 101S | 1.55 | 0.07 | 0.07 | 0.12 | 0.12 |
| 102S | 0.00 | 0.06 | --- | 0.06 | 0.06 |
| 102S | 1.55 | 0.13 | 0.07 | 0.15 | 0.15 |
| 103S | 0.00 | 0.16 | --- | 0.10 | 0.16 |
| 103S | 1.55 | 0.13 | 0.06 | 0.16 | 0.16 |
| 104S | 0.00 | 0.24 | --- | 0.04 | 0.24 |
| 104S | 1.55 | 0.00 | 0.09 | 0.04 | 0.09 |
| 105S | 0.00 | 0.66 | --- | 0.30 | 0.66 |
| 105S | 1.55 | 0.43 | 0.20 | 0.21 | 0.43 |
| 106S | 0.00 | 0.24 | --- | 0.12 | 0.24 |
| 106S | 1.55 | 0.19 | 0.20 | 0.13 | 0.20 |

Verifiche cinematismi

| Num. | Comm. | An. | TCC | ζ_e (A _g) |
|------|-----------------------------------|-----|-----|-----------------------------|
| 1C | Ribalt. a z=0.00 ammors. a z=0.00 | NL | SLV | 1.7054 |
| 2C | Ribalt. a z=0.00 ammors. a z=0.00 | NL | SLV | 2.7100 |
| 3C | Ribalt. a z=0.00 ammors. a z=0.00 | NL | SLV | 1.9110 |
| 4C | Ribalt. a z=0.00 ammors. a z=0.00 | NL | SLV | 5.1287 |
| 5C | Ribalt. a z=0.00 ammors. a z=0.00 | NL | SLV | 1.9417 |
| 6C | Ribalt. a z=0.00 ammors. a z=0.00 | NL | SLV | 3.0071 |

Verifiche maschi, fasce e cinematismi

Simbologia

Tabulato di calcolo

| | |
|---------------------|---|
| Φ_t | = Coefficiente di riduzione della resistenza per eccentricità trasversale |
| ΣN_{2dx} | = Reazione totale dei solai a destra |
| ΣN_{2sx} | = Reazione totale dei solai a sinistra |
| λ | = Snellezza convenzionale |
| ρ | = Fattore laterale di vincolo |
| ζ_e (A_g) | = Indice di sicurezza in termini di accelerazione |
| An. | = Tipo di analisi L = Lineare NL = Non lineare PD = P-Delta |
| CC | = Numero della combinazione delle condizioni di carico elementari |
| Comm. | = Commento |
| L | = Lunghezza |
| M_v | = Momento flettente dovuto al vento o al sisma |
| M_u | = Momento ultimo |
| N | = Sforzo normale |
| N1 | = Carico trasmesso dal pannello sovrastante |
| Nu | = Sforzo normale ultimo |
| Num. | = Numero elemento V (ver. statiche), S (ver. sismiche), C (ver. cinematici) |
| S_{dx} | = Numero del solaio a destra |
| S_{sx} | = Numero del solaio a sinistra |
| Spess. | = Spessore |
| TCC | = Tipo di combinazione di carico SLU = Stato limite ultimo SLE R = Stato limite d'esercizio, combinazione rara SLE F = Stato limite d'esercizio, combinazione frequente SLE Q = Stato limite d'esercizio, combinazione quasi permanente SLV = Stato limite di salvaguardia della vita SND = Stato limite di salvaguardia della vita (non dissipativo) |
| V_{Ed} | = Taglio agente |
| V_u | = Taglio ultimo |
| Xg | = Coord. X del baricentro al piede |
| Yg | = Coord. Y del baricentro al piede |
| Zf | = Coordinata Z finale |
| Zi | = Coordinata Z iniziale |
| Zv | = Coordinata Z di verifica |
| a | = Interasse irrigidimenti |
| d_1 | = Eccentricità della muratura soprastante |
| d_2 | = Eccentricità di appoggio del solaio |
| e | = Eccentricità di calcolo |
| e_1 | = Eccentricità per sezioni di estremità |
| e_2 | = Eccentricità per sezione di massimo M_v |
| e_a | = Eccentricità per tolleranze di esecuzione |
| e_{s1} | = Eccentricità convenzionale della muratura soprastante |
| e_{s2} | = Eccentricità convenzionale della reazione d'appoggio dei solai |
| e_v | = Eccentricità dovuta alle azioni orizzontali ortogonali al piano |
| f_{VK0} | = Resistenza caratteristica a taglio della muratura |
| f_d SLU | = Resistenza di calcolo a compressione della muratura per verifiche per azioni statiche |
| f_d SLV | = Resistenza di calcolo a compressione della muratura per verifiche per azioni sismiche |
| f_k | = Resistenza caratteristica della muratura |
| f_{vd0} SLU | = Resistenza di calcolo a taglio in assenza di compressione della muratura per azioni statiche |
| f_{vd0} SLV | = Resistenza di calcolo a taglio in assenza di compressione della muratura per azioni sismiche |
| h | = Altezza |
| l' | = Lunghezza della parte compressa della parete |
| m | = Coefficiente di eccentricità |

Maschio n. 1V (ver. statiche)

Xg=3.00 <m> Yg=0.13 <m> L=6.00 <m>

Configurazione geometrica e caratteristiche dei materiali utilizzati

| Zi | Zf | Spess. | h | d_1 | S_{dx} | d_2 | S_{sx} | d_{dx} | d_{sx} | e_a | a | ρ | λ | f_k | f_d SLU | f_d SLV | f_{VK0} | f_{vd0} SLU | f_{vd0} SLV |
|------|------|--------|------|-------|----------|-------|----------|----------|----------|-------|---|--------|-----------|-------|-----------|-----------|-----------|---------------|---------------|
| 0.00 | 3.10 | 25.00 | 2.85 | | 100 | 7.00 | 1.43 | 0.00 | 1.00 | 11.40 | | | | 53.00 | 19.63 | 19.63 | 3.00 | 1.11 | 1.11 |

Verifiche per carichi verticali ed azioni ortogonali

| CC | TCC | N1 | e_{s1} | ΣN_{2sx} | ΣN_{2dx} | e_{s2} | e_1 | Zv | N | M_v | e_v | e_2 | e | m | Φ_t | Nu | M_u | |
|----|-----|------|----------|------------------|------------------|----------|-------|------|-----------|-----------|-------|-------|------|------|----------|------------|------------|-----|
| 17 | SLU | 0.00 | 0.00 | 0.00 | 15637.30 | 7.00 | 8.43 | 0.00 | -18849.10 | 0.00 | --- | --- | 1.43 | 0.34 | 0.65 | -191114.00 | --- | |
| | | | | | | | | | 1.55 | -17286.80 | 0.00 | --- | --- | 4.21 | 1.01 | 0.41 | -120672.00 | --- |

Maschio n. 2V (ver. statiche)

Xg=0.45 <m> Yg=4.88 <m> L=0.90 <m>

Configurazione geometrica e caratteristiche dei materiali utilizzati

| Zi | Zf | Spess. | h | d_1 | S_{dx} | d_2 | S_{sx} | d_{dx} | d_{sx} | e_a | a | ρ | λ | f_k | f_d SLU | f_d SLV | f_{VK0} | f_{vd0} SLU | f_{vd0} SLV |
|------|------|--------|------|-------|----------|-------|----------|----------|----------|-------|-------|--------|-----------|-------|-----------|-----------|-----------|---------------|---------------|
| 0.00 | 3.10 | 25.00 | 2.85 | | 100 | 7.00 | | 1.43 | 0.00 | 1.00 | 11.40 | | | 53.00 | 19.63 | 19.63 | 3.00 | 1.11 | 1.11 |

Tabulato di calcolo

Verifiche per carichi verticali ed azioni ortogonali

| CC | TCC | N1 <daN> | e _{s1} <cm> | ΣN2 _{sx} <daN> | ΣN2 _{dx} <daN> | e _{s2} <cm> | e ₁ <cm> | Zv <m> | N <daN> | M _v <daNm> | e _v <cm> | e ₂ <cm> | e <cm> | m | Φ _t | Nu <daN> | Mu <daNm> |
|----|-----|-------------|-------------------------|----------------------------|----------------------------|-------------------------|------------------------|-----------|------------|--------------------------|------------------------|------------------------|-----------|------|----------------|-------------|--------------|
| 17 | SLU | 0.00 | 0.00 | 2345.64 | 0.00 | -7.00 | 8.43 | 0.00 | -2957.15 | 0.00 | --- | --- | 1.43 | 0.34 | 0.65 | -28666.90 | --- |
| | | | | | | | | 1.55 | -3892.54 | 0.00 | --- | --- | 4.21 | 1.01 | 0.41 | -18100.60 | --- |

Maschio n. 3V (ver. statiche)

Xg=4.50 <m> Yg=4.88 <m> L=3.00 <m>

Configurazione geometrica e caratteristiche dei materiali utilizzati

| Zi <m> | Zf <m> | Spess. <cm> | h <m> | d ₁ <cm> | S _{sx} <cm> | d ₂ <cm> | S _{dx} <cm> | d ₂ <cm> | e _a <cm> | a <m> | ρ | λ | f _k <daN/cmq> | f _d _{SLU} <daN/cmq> | f _d _{SLV} <daN/cmq> | f _{vK0} <daN/cmq> | f _{vd0} _{SLU} <daN/cmq> | f _{vd0} _{SLV} <daN/cmq> |
|-----------|-----------|----------------|----------|------------------------|-------------------------|------------------------|-------------------------|------------------------|------------------------|----------|------|-------|-----------------------------|--|--|-------------------------------|--|--|
| 0.00 | 3.10 | 25.00 | 2.85 | 100 | 7.00 | | | | 1.43 | 0.00 | 1.00 | 11.40 | 53.00 | 19.63 | 19.63 | 3.00 | 1.11 | 1.11 |

Verifiche per carichi verticali ed azioni ortogonali

| CC | TCC | N1 <daN> | e _{s1} <cm> | ΣN2 _{sx} <daN> | ΣN2 _{dx} <daN> | e _{s2} <cm> | e ₁ <cm> | Zv <m> | N <daN> | M _v <daNm> | e _v <cm> | e ₂ <cm> | e <cm> | m | Φ _t | Nu <daN> | Mu <daNm> |
|----|-----|-------------|-------------------------|----------------------------|----------------------------|-------------------------|------------------------|-----------|------------|--------------------------|------------------------|------------------------|-----------|------|----------------|-------------|--------------|
| 17 | SLU | 0.00 | 0.00 | 7818.57 | 0.00 | -7.00 | 8.43 | 0.00 | -10847.40 | 0.00 | --- | --- | 1.43 | 0.34 | 0.65 | -95556.20 | --- |
| | | | | | | | | 1.55 | -11416.40 | 0.00 | --- | --- | 4.21 | 1.01 | 0.41 | -60335.30 | --- |

Maschio n. 4V (ver. statiche)

Xg=0.13 <m> Yg=0.20 <m> L=0.40 <m>

Configurazione geometrica e caratteristiche dei materiali utilizzati

| Zi <m> | Zf <m> | Spess. <cm> | h <m> | d ₁ <cm> | S _{sx} <cm> | d ₂ <cm> | S _{dx} <cm> | d ₂ <cm> | e _a <cm> | a <m> | ρ | λ | f _k <daN/cmq> | f _d _{SLU} <daN/cmq> | f _d _{SLV} <daN/cmq> | f _{vK0} <daN/cmq> | f _{vd0} _{SLU} <daN/cmq> | f _{vd0} _{SLV} <daN/cmq> |
|-----------|-----------|----------------|----------|------------------------|-------------------------|------------------------|-------------------------|------------------------|------------------------|----------|------|-------|-----------------------------|--|--|-------------------------------|--|--|
| 0.00 | 3.10 | 25.00 | 2.85 | 100 | 7.00 | | | | 1.43 | 0.00 | 1.00 | 11.40 | 53.00 | 19.63 | 19.63 | 3.00 | 1.11 | 1.11 |

Verifiche per carichi verticali ed azioni ortogonali

| CC | TCC | N1 <daN> | e _{s1} <cm> | ΣN2 _{sx} <daN> | ΣN2 _{dx} <daN> | e _{s2} <cm> | e ₁ <cm> | Zv <m> | N <daN> | M _v <daNm> | e _v <cm> | e ₂ <cm> | e <cm> | m | Φ _t | Nu <daN> | Mu <daNm> |
|----|-----|-------------|-------------------------|----------------------------|----------------------------|-------------------------|------------------------|-----------|------------|--------------------------|------------------------|------------------------|-----------|------|----------------|-------------|--------------|
| 17 | SLU | 0.00 | 0.00 | 0.00 | 0.00 | 0.00 | 1.43 | 0.00 | -1582.69 | 0.00 | --- | --- | 1.43 | 0.34 | 0.65 | -12741.80 | --- |
| | | | | | | | | 1.55 | -1069.27 | 0.00 | --- | --- | 1.43 | 0.34 | 0.65 | -12741.80 | --- |

Maschio n. 5V (ver. statiche)

Xg=0.13 <m> Yg=3.70 <m> L=2.60 <m>

Configurazione geometrica e caratteristiche dei materiali utilizzati

| Zi <m> | Zf <m> | Spess. <cm> | h <m> | d ₁ <cm> | S _{sx} <cm> | d ₂ <cm> | S _{dx} <cm> | d ₂ <cm> | e _a <cm> | a <m> | ρ | λ | f _k <daN/cmq> | f _d _{SLU} <daN/cmq> | f _d _{SLV} <daN/cmq> | f _{vK0} <daN/cmq> | f _{vd0} _{SLU} <daN/cmq> | f _{vd0} _{SLV} <daN/cmq> |
|-----------|-----------|----------------|----------|------------------------|-------------------------|------------------------|-------------------------|------------------------|------------------------|----------|------|-------|-----------------------------|--|--|-------------------------------|--|--|
| 0.00 | 3.10 | 25.00 | 2.85 | 100 | 7.00 | | | | 1.43 | 0.00 | 1.00 | 11.40 | 53.00 | 19.63 | 19.63 | 3.00 | 1.11 | 1.11 |

Verifiche per carichi verticali ed azioni ortogonali

| CC | TCC | N1 <daN> | e _{s1} <cm> | ΣN2 _{sx} <daN> | ΣN2 _{dx} <daN> | e _{s2} <cm> | e ₁ <cm> | Zv <m> | N <daN> | M _v <daNm> | e _v <cm> | e ₂ <cm> | e <cm> | m | Φ _t | Nu <daN> | Mu <daNm> |
|----|-----|-------------|-------------------------|----------------------------|----------------------------|-------------------------|------------------------|-----------|------------|--------------------------|------------------------|------------------------|-----------|------|----------------|-------------|--------------|
| 17 | SLU | 0.00 | 0.00 | 0.00 | 0.00 | 0.00 | 1.43 | 0.00 | -6008.60 | 0.00 | --- | --- | 1.43 | 0.34 | 0.65 | -82815.40 | --- |
| | | | | | | | | 1.55 | -3448.17 | 0.00 | --- | --- | 1.43 | 0.34 | 0.65 | -82815.40 | --- |

Maschio n. 6V (ver. statiche)

Xg=5.88 <m> Yg=2.50 <m> L=5.00 <m>

Configurazione geometrica e caratteristiche dei materiali utilizzati

| Zi <m> | Zf <m> | Spess. <cm> | h <m> | d ₁ <cm> | S _{sx} <cm> | d ₂ <cm> | S _{dx} <cm> | d ₂ <cm> | e _a <cm> | a <m> | ρ | λ | f _k <daN/cmq> | f _d _{SLU} <daN/cmq> | f _d _{SLV} <daN/cmq> | f _{vK0} <daN/cmq> | f _{vd0} _{SLU} <daN/cmq> | f _{vd0} _{SLV} <daN/cmq> |
|-----------|-----------|----------------|----------|------------------------|-------------------------|------------------------|-------------------------|------------------------|------------------------|----------|---|---|-----------------------------|--|--|-------------------------------|--|--|
| 0.00 | 3.10 | 25.00 | 2.85 | | 100 | 7.00 | 1.43 | 5.00 | 0.93 | 10.60 | | | 53.00 | 19.63 | 19.63 | 3.00 | 1.11 | 1.11 |

Verifiche per carichi verticali ed azioni ortogonali

| CC | TCC | N1 <daN> | e _{s1} <cm> | ΣN2 _{sx} <daN> | ΣN2 _{dx} <daN> | e _{s2} <cm> | e ₁ <cm> | Zv <m> | N <daN> | M _v <daNm> | e _v <cm> | e ₂ <cm> | e <cm> | m | Φ _t | Nu <daN> | Mu <daNm> | |
|----|-----|-------------|-------------------------|----------------------------|----------------------------|-------------------------|------------------------|-----------|------------|--------------------------|------------------------|------------------------|-----------|------|----------------|-------------|--------------|-----|
| 17 | SLU | 0.00 | 0.00 | 0.00 | 0.00 | 1.43 | 0.00 | -8760.76 | 0.00 | --- | --- | 1.43 | 0.34 | 0.67 | -164846.00 | --- | --- | |
| | | | | | | | | 1.55 | -5532.18 | 0.00 | --- | --- | 1.43 | 0.34 | 0.67 | -164846.00 | --- | --- |

Tabulato di calcolo

Maschio n. 101S (ver. sismiche)

Xg=3.00 <m> Yg=0.13 <m> L=6.00 <m>

Configurazione geometrica e caratteristiche dei materiali utilizzati

| Zi <m> | Zf <m> | Spess. <cm> | h <m> | d ₁ <cm> | S _{sx} <cm> | d ₂ <cm> | S _{dx} <cm> | d ₂ <cm> | e _a <m> | a | p | λ | f _k <daN/cmq> | f _d SLU <daN/cmq> | f _d SLV <daN/cmq> | f _{vR0} <daN/cmq> | f _{vd0} SLU <daN/cmq> | f _{vd0} SLV <daN/cmq> |
|-----------|-----------|----------------|----------|------------------------|-------------------------|------------------------|-------------------------|------------------------|-----------------------|-------|---|---|-----------------------------|------------------------------------|------------------------------------|-------------------------------|--------------------------------------|--------------------------------------|
| 0.00 | 3.10 | 25.00 | 2.85 | | 100 | 7.00 | 1.43 | 0.00 | 1.00 | 11.40 | | | 53.00 | 19.63 | 19.63 | 3.00 | 1.11 | 1.11 |

Verifiche per carichi verticali ed azioni ortogonali

| CC | TCC | N1 <daN> | e _{s1} <cm> | ΣN2 _{sx} <daN> | ΣN2 _{dx} <daN> | e _{s2} <cm> | e ₁ <cm> | Zv <m> | N <daN> | M _v <daNm> | e _v <cm> | e ₂ <cm> | e <cm> | m | Φ _t | Nu <daN> | Mu <daNm> |
|----|-----|-------------|-------------------------|----------------------------|----------------------------|-------------------------|------------------------|-----------|------------|--------------------------|------------------------|------------------------|-----------|-----|----------------|-------------|--------------|
| 1 | SLV | | | | | | | 1.55 | -10752.20 | 88.03 | --- | --- | --- | --- | --- | 1286.29 | |
| 2 | SLV | | | | | | | 1.55 | -10988.30 | 88.03 | --- | --- | --- | --- | --- | 1313.23 | |
| 3 | SLV | | | | | | | 1.55 | -10977.30 | 88.03 | --- | --- | --- | --- | --- | 1311.98 | |
| 4 | SLV | | | | | | | 1.55 | -11213.40 | 88.03 | --- | --- | --- | --- | --- | 1338.87 | |
| 5 | SLV | | | | | | | 1.55 | -10555.60 | 88.03 | --- | --- | --- | --- | --- | 1263.80 | |
| 6 | SLV | | | | | | | 1.55 | -10623.10 | 88.03 | --- | --- | --- | --- | --- | 1271.53 | |
| 7 | SLV | | | | | | | 1.55 | -11342.50 | 88.03 | --- | --- | --- | --- | --- | 1353.56 | |
| 8 | SLV | | | | | | | 1.55 | -11410.00 | 88.03 | --- | --- | --- | --- | --- | 1361.23 | |
| 9 | SLV | | | | | | | 1.55 | -10788.80 | 88.03 | --- | --- | --- | --- | --- | 1290.46 | |
| 10 | SLV | | | | | | | 1.55 | -11024.80 | 88.03 | --- | --- | --- | --- | --- | 1317.40 | |
| 11 | SLV | | | | | | | 1.55 | -11013.90 | 88.03 | --- | --- | --- | --- | --- | 1316.15 | |
| 12 | SLV | | | | | | | 1.55 | -11249.90 | 88.03 | --- | --- | --- | --- | --- | 1343.03 | |
| 13 | SLV | | | | | | | 1.55 | -10592.10 | 88.03 | --- | --- | --- | --- | --- | 1267.98 | |
| 14 | SLV | | | | | | | 1.55 | -10659.70 | 88.03 | --- | --- | --- | --- | --- | 1275.71 | |
| 15 | SLV | | | | | | | 1.55 | -11379.00 | 88.03 | --- | --- | --- | --- | --- | 1357.71 | |
| 16 | SLV | | | | | | | 1.55 | -11446.60 | 88.03 | --- | --- | --- | --- | --- | 1365.38 | |

Verifiche per azioni nel piano

| CC | TCC | Zv <m> | N <daN> | M _v <daNm> | Mu <daNm> | V _{Ed} <daN> | l' <m> | Vu <daN> |
|----|-----|-----------|------------|--------------------------|--------------|--------------------------|-----------|-------------|
| 1 | SLV | 0.00 | -12319.00 | 3317.92 | 35138.30 | 1697.20 | 6.00 | 18491.90 |
| 1 | SLV | 1.55 | -10752.20 | 1564.36 | 30871.20 | 1745.80 | 6.00 | 18259.80 |
| 2 | SLV | 0.00 | -12787.50 | 4400.70 | 36402.70 | 2094.63 | 6.00 | 18561.30 |
| 2 | SLV | 1.55 | -10988.30 | 2183.81 | 31517.90 | 2154.72 | 6.00 | 18294.70 |
| 3 | SLV | 0.00 | -11894.10 | -4144.50 | 33987.00 | 1830.80 | 6.00 | 18428.90 |
| 3 | SLV | 1.55 | -10977.30 | -2051.51 | 31487.90 | 1884.85 | 6.00 | 18293.10 |
| 4 | SLV | 0.00 | -12362.60 | -3061.71 | 35256.10 | 1433.37 | 6.00 | 18498.30 |
| 4 | SLV | 1.55 | -11213.40 | -1432.05 | 32133.30 | 1475.93 | 6.00 | 18328.10 |
| 5 | SLV | 0.00 | -11623.80 | -557.18 | 33252.20 | 1.26 | 6.00 | 18388.90 |
| 5 | SLV | 1.55 | -10555.60 | -423.89 | 30331.50 | 1.99 | 6.00 | 18230.60 |
| 6 | SLV | 0.00 | -11496.30 | -2795.91 | 32905.10 | 1059.66 | 6.00 | 18370.00 |
| 6 | SLV | 1.55 | -10623.10 | -1508.65 | 30517.00 | 1091.19 | 6.00 | 18240.60 |
| 7 | SLV | 0.00 | -13185.20 | 3052.11 | 37472.20 | 1323.49 | 6.00 | 18620.20 |
| 7 | SLV | 1.55 | -11342.50 | 1640.96 | 32485.70 | 1361.06 | 6.00 | 18347.20 |
| 8 | SLV | 0.00 | -13057.80 | 813.38 | 37129.90 | 265.09 | 6.00 | 18601.30 |
| 8 | SLV | 1.55 | -11410.00 | 556.20 | 32669.80 | 271.87 | 6.00 | 18357.20 |
| 9 | SLV | 0.00 | -12370.30 | 3061.71 | 35277.10 | 1433.37 | 6.00 | 18499.50 |
| 9 | SLV | 1.55 | -10788.80 | 1432.05 | 30971.40 | 1475.93 | 6.00 | 18265.20 |
| 10 | SLV | 0.00 | -12838.70 | 4144.50 | 36540.80 | 1830.80 | 6.00 | 18568.90 |
| 10 | SLV | 1.55 | -11024.80 | 2051.51 | 31617.90 | 1884.85 | 6.00 | 18300.10 |
| 11 | SLV | 0.00 | -11945.40 | -4400.70 | 34126.20 | 2094.63 | 6.00 | 18436.50 |
| 11 | SLV | 1.55 | -11013.90 | -2183.81 | 31587.90 | 2154.72 | 6.00 | 18298.50 |
| 12 | SLV | 0.00 | -12413.90 | -3317.92 | 35394.80 | 1697.20 | 6.00 | 18505.90 |
| 12 | SLV | 1.55 | -11249.90 | -1564.36 | 32233.10 | 1745.80 | 6.00 | 18333.50 |
| 13 | SLV | 0.00 | -11675.10 | -813.38 | 33391.80 | 265.09 | 6.00 | 18396.50 |
| 13 | SLV | 1.55 | -10592.10 | -556.20 | 30431.90 | 271.87 | 6.00 | 18236.00 |
| 14 | SLV | 0.00 | -11547.60 | -3052.11 | 33044.90 | 1323.49 | 6.00 | 18377.60 |
| 14 | SLV | 1.55 | -10659.70 | -1640.96 | 30617.30 | 1361.06 | 6.00 | 18246.00 |
| 15 | SLV | 0.00 | -13236.50 | 2795.91 | 37609.90 | 1059.66 | 6.00 | 18627.80 |
| 15 | SLV | 1.55 | -11379.00 | 1508.65 | 32585.40 | 1091.19 | 6.00 | 18352.60 |
| 16 | SLV | 0.00 | -13109.10 | 557.18 | 37267.70 | 1.26 | 6.00 | 18608.90 |
| 16 | SLV | 1.55 | -11446.60 | 423.89 | 32769.50 | 1.99 | 6.00 | 18362.60 |

Maschio n. 102S (ver. sismiche)

Xg=0.45 <m> Yg=4.88 <m> L=0.90 <m>

Configurazione geometrica e caratteristiche dei materiali utilizzati

| Zi <m> | Zf <m> | Spess. <cm> | h <m> | d ₁ <cm> | S _{sx} <cm> | d ₂ <cm> | S _{dx} <cm> | d ₂ <cm> | e _a <m> | a | p | λ | f _k <daN/cmq> | f _d SLU <daN/cmq> | f _d SLV <daN/cmq> | f _{vR0} <daN/cmq> | f _{vd0} SLU <daN/cmq> | f _{vd0} SLV <daN/cmq> |
|-----------|-----------|----------------|----------|------------------------|-------------------------|------------------------|-------------------------|------------------------|-----------------------|-------|---|---|-----------------------------|------------------------------------|------------------------------------|-------------------------------|--------------------------------------|--------------------------------------|
| 0.00 | 3.10 | 25.00 | 2.85 | | 100 | 7.00 | 1.43 | 0.00 | 1.00 | 11.40 | | | 53.00 | 19.63 | 19.63 | 3.00 | 1.11 | 1.11 |

Verifiche per carichi verticali ed azioni ortogonali

| CC | TCC | N1 | e _{s1} | ΣN2 _{sx} | ΣN2 _{dx} | e _{s2} | e ₁ | Zv | N | M _v | e _v | e ₂ | e | m | Φ _t | Nu | Mu |
|----|-----|----|-----------------|-------------------|-------------------|-----------------|----------------|----|---|----------------|----------------|----------------|---|---|----------------|----|----|
|----|-----|----|-----------------|-------------------|-------------------|-----------------|----------------|----|---|----------------|----------------|----------------|---|---|----------------|----|----|

Tabulato di calcolo

| | | <code><daN></code> | <code><cm></code> | <code><daN></code> | <code><daN></code> | <code><cm></code> | <code><cm></code> | <code><m></code> | <code><daN></code> | <code><daNm></code> | <code><cm></code> | <code><cm></code> | <code><cm></code> | <code><cm></code> | | <code><daN></code> | <code><daNm></code> |
|----|-----|--------------------------|-------------------------|--------------------------|--------------------------|-------------------------|-------------------------|------------------------|--------------------------|---------------------------|-------------------------|-------------------------|-------------------------|-------------------------|-----|--------------------------|---------------------------|
| 1 | SLV | | | | | | | | 1.55 | -2894.91 | 13.20 | --- | --- | --- | --- | --- | 333.96 |
| 2 | SLV | | | | | | | | 1.55 | -2405.84 | 13.20 | --- | --- | --- | --- | --- | 281.46 |
| 3 | SLV | | | | | | | | 1.55 | -2371.68 | 13.20 | --- | --- | --- | --- | --- | 277.73 |
| 4 | SLV | | | | | | | | 1.55 | -1882.61 | 13.20 | --- | --- | --- | --- | --- | 223.53 |
| 5 | SLV | | | | | | | | 1.55 | -3282.36 | 13.20 | --- | --- | --- | --- | --- | 374.42 |
| 6 | SLV | | | | | | | | 1.55 | -3125.39 | 13.20 | --- | --- | --- | --- | --- | 358.15 |
| 7 | SLV | | | | | | | | 1.55 | -1652.13 | 13.20 | --- | --- | --- | --- | --- | 197.43 |
| 8 | SLV | | | | | | | | 1.55 | -1495.16 | 13.20 | --- | --- | --- | --- | --- | 179.45 |
| 9 | SLV | | | | | | | | 1.55 | -3033.13 | 13.20 | --- | --- | --- | --- | --- | 348.51 |
| 10 | SLV | | | | | | | | 1.55 | -2544.06 | 13.20 | --- | --- | --- | --- | --- | 296.46 |
| 11 | SLV | | | | | | | | 1.55 | -2509.91 | 13.20 | --- | --- | --- | --- | --- | 292.76 |
| 12 | SLV | | | | | | | | 1.55 | -2020.84 | 13.20 | --- | --- | --- | --- | --- | 239.01 |
| 13 | SLV | | | | | | | | 1.55 | -3420.58 | 13.20 | --- | --- | --- | --- | --- | 388.62 |
| 14 | SLV | | | | | | | | 1.55 | -3263.62 | 13.20 | --- | --- | --- | --- | --- | 372.49 |
| 15 | SLV | | | | | | | | 1.55 | -1790.35 | 13.20 | --- | --- | --- | --- | --- | 213.12 |
| 16 | SLV | | | | | | | | 1.55 | -1633.38 | 13.20 | --- | --- | --- | --- | --- | 195.29 |

Verifiche per azioni nel piano

| CC | TCC | Zv <code><m></code> | N <code><daN></code> | M _v <code><daNm></code> | M _u <code><daNm></code> | V _{Ed} <code><daN></code> | l' <code><m></code> | V _u <code><daN></code> |
|----|-----|------------------------------|-------------------------------|---|---|---|------------------------------|--|
| 1 | SLV | 0.00 | -1911.64 | 27.67 | 816.43 | 70.58 | 0.90 | 2783.21 |
| 1 | SLV | 1.55 | -2894.91 | 61.62 | 1202.25 | 223.34 | 0.90 | 2928.88 |
| 2 | SLV | 0.00 | -1413.02 | 36.93 | 611.92 | 10.55 | 0.90 | 2709.34 |
| 2 | SLV | 1.55 | -2405.84 | 24.37 | 1013.25 | 28.12 | 0.90 | 2856.42 |
| 3 | SLV | 0.00 | -2301.98 | -37.63 | 972.37 | 12.89 | 0.90 | 2841.03 |
| 3 | SLV | 1.55 | -2371.68 | -37.20 | 999.83 | 88.08 | 0.90 | 2851.36 |
| 4 | SLV | 0.00 | -1803.36 | -28.36 | 772.53 | 94.02 | 0.90 | 2767.16 |
| 4 | SLV | 1.55 | -1882.61 | -74.46 | 804.69 | 283.30 | 0.90 | 2778.91 |
| 5 | SLV | 0.00 | -2629.99 | -5.99 | 1100.59 | 136.02 | 0.90 | 2889.63 |
| 5 | SLV | 1.55 | -3282.36 | 70.50 | 1347.92 | 342.09 | 0.90 | 2986.28 |
| 6 | SLV | 0.00 | -2747.09 | -25.58 | 1145.73 | 110.98 | 0.90 | 2906.98 |
| 6 | SLV | 1.55 | -3125.39 | 40.86 | 1289.34 | 248.66 | 0.90 | 2963.02 |
| 7 | SLV | 0.00 | -967.91 | 24.89 | 424.33 | 134.42 | 0.90 | 2643.39 |
| 7 | SLV | 1.55 | -1652.13 | -53.69 | 710.74 | 308.62 | 0.90 | 2744.76 |
| 8 | SLV | 0.00 | -1085.01 | 5.30 | 474.14 | 159.46 | 0.90 | 2660.74 |
| 8 | SLV | 1.55 | -1495.16 | -83.34 | 646.02 | 402.05 | 0.90 | 2721.50 |
| 9 | SLV | 0.00 | -2039.69 | 28.36 | 867.99 | 94.02 | 0.90 | 2802.18 |
| 9 | SLV | 1.55 | -3033.13 | 74.46 | 1254.63 | 283.30 | 0.90 | 2949.35 |
| 10 | SLV | 0.00 | -1541.06 | 37.63 | 665.01 | 12.89 | 0.90 | 2728.31 |
| 10 | SLV | 1.55 | -2544.06 | 37.20 | 1067.25 | 88.08 | 0.90 | 2876.90 |
| 11 | SLV | 0.00 | -2430.03 | -36.93 | 1022.73 | 10.55 | 0.90 | 2860.00 |
| 11 | SLV | 1.55 | -2509.91 | -24.37 | 1053.95 | 28.12 | 0.90 | 2871.84 |
| 12 | SLV | 0.00 | -1931.40 | -27.67 | 824.42 | 70.58 | 0.90 | 2786.13 |
| 12 | SLV | 1.55 | -2020.84 | -61.62 | 860.42 | 223.34 | 0.90 | 2799.38 |
| 13 | SLV | 0.00 | -2758.04 | -5.30 | 1149.94 | 159.46 | 0.90 | 2908.60 |
| 13 | SLV | 1.55 | -3420.58 | 83.34 | 1399.01 | 402.05 | 0.90 | 3006.75 |
| 14 | SLV | 0.00 | -2875.14 | -24.89 | 1194.73 | 134.42 | 0.90 | 2925.95 |
| 14 | SLV | 1.55 | -3263.62 | 53.69 | 1340.96 | 308.62 | 0.90 | 2983.50 |
| 15 | SLV | 0.00 | -1095.95 | 25.58 | 478.78 | 110.98 | 0.90 | 2662.36 |
| 15 | SLV | 1.55 | -1790.35 | -40.86 | 767.24 | 248.66 | 0.90 | 2765.24 |
| 16 | SLV | 0.00 | -1213.05 | 5.99 | 528.24 | 136.02 | 0.90 | 2679.71 |
| 16 | SLV | 1.55 | -1633.38 | -70.50 | 703.04 | 342.09 | 0.90 | 2741.98 |

Maschio n. 103S (ver. sismiche)

Xg=4.50 `<m>` Yg=4.88 `<m>` L=3.00 `<m>`

Configurazione geometrica e caratteristiche dei materiali utilizzati

| Zi <code><m></code> | Zf <code><m></code> | Spess. <code><cm></code> | h <code><m></code> | d ₁ <code><cm></code> | S _{ax} <code><cm></code> | d ₂ <code><cm></code> | S _{dx} <code><cm></code> | d ₂ <code><cm></code> | e _a <code><cm></code> | a <code><m></code> | p | λ | f _d <code><daN/cmq></code> | f _d <code><daNm/cmq></code> | f _d <code><daN/cmq></code> | f _{v0} <code><daN/cmq></code> | f _{v0} <code><daN/cmq></code> | f _{vd0} <code><daN/cmq></code> | f _{vd0} <code><daN/cmq></code> |
|------------------------------|------------------------------|-----------------------------------|-----------------------------|---|--|---|--|---|---|-----------------------------|------|-------|--|---|--|---|---|--|--|
| 0.00 | 3.10 | 25.00 | 2.85 | 100 | 7.00 | | | | 1.43 | 0.00 | 1.00 | 11.40 | 53.00 | 19.63 | 19.63 | 3.00 | 1.11 | 1.11 | 1.11 |

Verifiche per carichi verticali ed azioni ortogonali

| CC | TCC | N1 <code><daN></code> | e _{s1} <code><cm></code> | ΣN2 _{sx} <code><daN></code> | ΣN2 _{dx} <code><daN></code> | e _{s2} <code><cm></code> | e ₁ <code><cm></code> | Zv <code><m></code> | N <code><daN></code> | M _v <code><daNm></code> | e _v <code><cm></code> | e ₂ <code><cm></code> | e <code><cm></code> | m | Φ _t | Nu <code><daN></code> | Mu <code><daNm></code> |
|----|-----|--------------------------------|--|---|---|--|---|------------------------------|-------------------------------|---|---|---|------------------------------|-----|----------------|--------------------------------|---------------------------------|
| 1 | SLV | | | | | | | | 1.55 | -6553.72 | 44.01 | --- | --- | --- | --- | --- | 776.31 |
| 2 | SLV | | | | | | | | 1.55 | -6680.79 | 44.01 | --- | --- | --- | --- | --- | 790.51 |
| 3 | SLV | | | | | | | | 1.55 | -7840.94 | 44.01 | --- | --- | --- | --- | --- | 918.71 |
| 4 | SLV | | | | | | | | 1.55 | -7968.00 | 44.01 | --- | --- | --- | --- | --- | 932.58 |
| 5 | SLV | | | | | | | | 1.55 | -6856.01 | 44.01 | --- | --- | --- | --- | --- | 810.05 |
| 6 | SLV | | | | | | | | 1.55 | -7242.18 | 44.01 | --- | --- | --- | --- | --- | 852.88 |
| 7 | SLV | | | | | | | | 1.55 | -7279.55 | 44.01 | --- | --- | --- | --- | --- | 857.01 |
| 8 | SLV | | | | | | | | 1.55 | -7665.71 | 44.01 | --- | --- | --- | --- | --- | 899.52 |
| 9 | SLV | | | | | | | | 1.55 | -6437.15 | 44.01 | --- | --- | --- | --- | --- | 763.25 |
| 10 | SLV | | | | | | | | 1.55 | -6564.21 | 44.01 | --- | --- | --- | --- | --- | 777.49 |
| 11 | SLV | | | | | | | | 1.55 | -7724.37 | 44.01 | --- | --- | --- | --- | --- | 905.95 |

Tabulato di calcolo

| | | | | | | | | | | | | | | |
|----|-----|--|--|--|--|------|----------|-------|-----|-----|-----|-----|-----|--------|
| 12 | SLV | | | | | 1.55 | -7851.43 | 44.01 | --- | --- | --- | --- | --- | 919.85 |
| 13 | SLV | | | | | 1.55 | -6739.44 | 44.01 | --- | --- | --- | --- | --- | 797.06 |
| 14 | SLV | | | | | 1.55 | -7125.60 | 44.01 | --- | --- | --- | --- | --- | 839.98 |
| 15 | SLV | | | | | 1.55 | -7162.97 | 44.01 | --- | --- | --- | --- | --- | 844.12 |
| 16 | SLV | | | | | 1.55 | -7549.14 | 44.01 | --- | --- | --- | --- | --- | 886.72 |

Verifiche per azioni nel piano

| CC | TCC | Zv <m> | N <daN> | M _v <daNm> | M _u <daNm> | V _{Ed} <daN> | l' <m> | V _u <daN> |
|----|-----|-----------|------------|--------------------------|--------------------------|--------------------------|-----------|-------------------------|
| 1 | SLV | 0.00 | -6619.87 | 1184.38 | 9404.52 | 804.06 | 3.00 | 9314.05 |
| 1 | SLV | 1.55 | -6553.72 | 997.43 | 9315.74 | 1235.76 | 3.00 | 9304.26 |
| 2 | SLV | 0.00 | -6362.67 | 496.32 | 9058.74 | 562.46 | 3.00 | 9275.95 |
| 2 | SLV | 1.55 | -6680.79 | 482.37 | 9486.18 | 828.67 | 3.00 | 9323.08 |
| 3 | SLV | 0.00 | -7763.58 | -678.22 | 10922.90 | 707.39 | 3.00 | 9483.49 |
| 3 | SLV | 1.55 | -7840.94 | -643.15 | 11024.50 | 1048.38 | 3.00 | 9494.96 |
| 4 | SLV | 0.00 | -7506.38 | -1366.27 | 10584.20 | 948.99 | 3.00 | 9445.39 |
| 4 | SLV | 1.55 | -7968.00 | -1158.21 | 11191.00 | 1455.47 | 3.00 | 9513.78 |
| 5 | SLV | 0.00 | -7320.23 | 1335.20 | 10338.00 | 556.91 | 3.00 | 9417.81 |
| 5 | SLV | 1.55 | -6856.01 | 1024.13 | 9720.59 | 911.26 | 3.00 | 9349.04 |
| 6 | SLV | 0.00 | -7663.35 | 776.42 | 10791.10 | 103.47 | 3.00 | 9468.64 |
| 6 | SLV | 1.55 | -7242.18 | 531.96 | 10234.60 | 226.01 | 3.00 | 9406.25 |
| 7 | SLV | 0.00 | -6462.91 | -958.32 | 9193.69 | 248.40 | 3.00 | 9290.80 |
| 7 | SLV | 1.55 | -7279.55 | -692.74 | 10284.10 | 445.72 | 3.00 | 9411.78 |
| 8 | SLV | 0.00 | -6806.02 | -1517.09 | 9653.79 | 701.84 | 3.00 | 9341.63 |
| 8 | SLV | 1.55 | -7665.71 | -1184.91 | 10794.20 | 1130.96 | 3.00 | 9468.99 |
| 9 | SLV | 0.00 | -6521.68 | 1366.27 | 9272.70 | 948.99 | 3.00 | 9299.51 |
| 9 | SLV | 1.55 | -6437.15 | 1158.21 | 9159.03 | 1455.47 | 3.00 | 9286.99 |
| 10 | SLV | 0.00 | -6264.49 | 678.22 | 8926.33 | 707.39 | 3.00 | 9261.41 |
| 10 | SLV | 1.55 | -6564.21 | 643.15 | 9329.82 | 1048.38 | 3.00 | 9305.81 |
| 11 | SLV | 0.00 | -7665.39 | -496.32 | 10793.80 | 562.46 | 3.00 | 9468.95 |
| 11 | SLV | 1.55 | -7724.37 | -482.37 | 10871.40 | 828.67 | 3.00 | 9477.68 |
| 12 | SLV | 0.00 | -7408.20 | -1184.38 | 10454.40 | 804.06 | 3.00 | 9430.84 |
| 12 | SLV | 1.55 | -7851.43 | -997.43 | 11038.20 | 1235.76 | 3.00 | 9496.51 |
| 13 | SLV | 0.00 | -7222.05 | 1517.09 | 10207.90 | 701.84 | 3.00 | 9403.27 |
| 13 | SLV | 1.55 | -6739.44 | 1184.91 | 9564.72 | 1130.96 | 3.00 | 9331.77 |
| 14 | SLV | 0.00 | -7565.16 | 958.32 | 10661.70 | 248.40 | 3.00 | 9454.10 |
| 14 | SLV | 1.55 | -7125.60 | 692.74 | 10079.80 | 445.72 | 3.00 | 9388.98 |
| 15 | SLV | 0.00 | -6364.72 | -776.42 | 9061.50 | 103.47 | 3.00 | 9276.25 |
| 15 | SLV | 1.55 | -7162.97 | -531.96 | 10129.40 | 226.01 | 3.00 | 9394.51 |
| 16 | SLV | 0.00 | -6707.83 | -1335.20 | 9522.41 | 556.91 | 3.00 | 9327.09 |
| 16 | SLV | 1.55 | -7549.14 | -1024.13 | 10640.60 | 911.26 | 3.00 | 9451.72 |

Maschio n. 104S (ver. sismiche)

Xg=0.13 <m> Yg=0.20 <m> L=0.40 <m>

Configurazione geometrica e caratteristiche dei materiali utilizzati

| Zi <m> | Zf <m> | Spess. <cm> | h <cm> | d ₁ <cm> | S _{ax} | d ₂ <cm> | S _{dx} | d ₂ <cm> | e _a <cm> | a <m> | p | λ | f _k <daN/cmq> | f _d SLU <daN/cmq> | f _d SLV <daN/cmq> | f _{VR0} <daN/cmq> | f _{vd0} SLU <daN/cmq> | f _{vd0} SLV <daN/cmq> |
|-----------|-----------|----------------|-----------|------------------------|-----------------|------------------------|-----------------|------------------------|------------------------|----------|------|-------|-----------------------------|---------------------------------|---------------------------------|-------------------------------|-----------------------------------|-----------------------------------|
| 0.00 | 3.10 | 25.00 | 2.85 | 100 | 7.00 | | | | 1.43 | 0.00 | 1.00 | 11.40 | 53.00 | 19.63 | 19.63 | 3.00 | 1.11 | 1.11 |

Verifiche per carichi verticali ed azioni ortogonali

| CC | TCC | N1 <daN> | e _{s1} <cm> | ΣN2 _{ss} <daN> | ΣN2 _{dx} <daN> | e _{s2} | e ₁ | Zv <m> | N <daN> | M _v <daNm> | e _v | e ₂ | e | m | Φ _t | Nu <daN> | Mu <daNm> |
|----|-----|-------------|-------------------------|----------------------------|----------------------------|-----------------|----------------|-----------|------------|--------------------------|----------------|----------------|-----|-----|----------------|-------------|--------------|
| 1 | SLV | | | | | | | 1.55 | -562.13 | 5.87 | --- | --- | --- | --- | --- | 67.90 | |
| 2 | SLV | | | | | | | 1.55 | -517.45 | 5.87 | --- | --- | --- | --- | --- | 62.68 | |
| 3 | SLV | | | | | | | 1.55 | -855.59 | 5.87 | --- | --- | --- | --- | --- | 101.47 | |
| 4 | SLV | | | | | | | 1.55 | -810.92 | 5.87 | --- | --- | --- | --- | --- | 96.44 | |
| 5 | SLV | | | | | | | 1.55 | -716.96 | 5.87 | --- | --- | --- | --- | --- | 85.77 | |
| 6 | SLV | | | | | | | 1.55 | -805.00 | 5.87 | --- | --- | --- | --- | --- | 95.77 | |
| 7 | SLV | | | | | | | 1.55 | -568.05 | 5.87 | --- | --- | --- | --- | --- | 68.59 | |
| 8 | SLV | | | | | | | 1.55 | -656.09 | 5.87 | --- | --- | --- | --- | --- | 78.79 | |
| 9 | SLV | | | | | | | 1.55 | -583.21 | 5.87 | --- | --- | --- | --- | --- | 70.35 | |
| 10 | SLV | | | | | | | 1.55 | -538.54 | 5.87 | --- | --- | --- | --- | --- | 65.14 | |
| 11 | SLV | | | | | | | 1.55 | -876.68 | 5.87 | --- | --- | --- | --- | --- | 103.83 | |
| 12 | SLV | | | | | | | 1.55 | -832.00 | 5.87 | --- | --- | --- | --- | --- | 98.81 | |
| 13 | SLV | | | | | | | 1.55 | -738.04 | 5.87 | --- | --- | --- | --- | --- | 88.18 | |
| 14 | SLV | | | | | | | 1.55 | -826.09 | 5.87 | --- | --- | --- | --- | --- | 98.15 | |
| 15 | SLV | | | | | | | 1.55 | -589.13 | 5.87 | --- | --- | --- | --- | --- | 71.04 | |
| 16 | SLV | | | | | | | 1.55 | -677.17 | 5.87 | --- | --- | --- | --- | --- | 81.21 | |

Verifiche per azioni nel piano

| CC | TCC | Zv <m> | N <daN> | M _v <daNm> | M _u <daNm> | V _{Ed} <daN> | l' <m> | V _u <daN> |
|----|-----|-----------|------------|--------------------------|--------------------------|--------------------------|-----------|-------------------------|
| 1 | SLV | 0.00 | -740.12 | -2.15 | 141.47 | 19.78 | 0.40 | 1220.84 |
| 1 | SLV | 1.55 | -562.13 | -0.00 | 108.65 | 17.29 | 0.40 | 1194.47 |

Tabulato di calcolo

| | | | | | | | |
|--------|------|----------|--------|--------|-------|------|---------|
| 2 SLV | 0.00 | -589.60 | -17.23 | 113.76 | 41.50 | 0.40 | 1198.54 |
| 2 SLV | 1.55 | -517.45 | -0.00 | 100.29 | 39.92 | 0.40 | 1187.85 |
| 3 SLV | 0.00 | -1378.01 | 13.01 | 252.86 | 33.61 | 0.40 | 1315.34 |
| 3 SLV | 1.55 | -855.59 | -0.00 | 162.36 | 32.31 | 0.40 | 1237.95 |
| 4 SLV | 0.00 | -1227.49 | -2.07 | 227.46 | 11.89 | 0.40 | 1293.04 |
| 4 SLV | 1.55 | -810.92 | -0.00 | 154.31 | 9.68 | 0.40 | 1231.33 |
| 5 SLV | 0.00 | -1138.99 | 20.75 | 212.26 | 24.24 | 0.40 | 1279.93 |
| 5 SLV | 1.55 | -716.96 | -0.00 | 137.24 | 26.47 | 0.40 | 1217.41 |
| 6 SLV | 0.00 | -1330.36 | 25.29 | 244.88 | 40.25 | 0.40 | 1308.28 |
| 6 SLV | 1.55 | -805.00 | -0.00 | 153.24 | 41.36 | 0.40 | 1230.45 |
| 7 SLV | 0.00 | -637.25 | -29.51 | 122.59 | 48.14 | 0.40 | 1205.60 |
| 7 SLV | 1.55 | -568.05 | -0.00 | 109.75 | 48.96 | 0.40 | 1195.35 |
| 8 SLV | 0.00 | -828.62 | -24.97 | 157.50 | 32.13 | 0.40 | 1233.95 |
| 8 SLV | 1.55 | -656.09 | -0.00 | 126.07 | 34.08 | 0.40 | 1208.39 |
| 9 SLV | 0.00 | -803.06 | 2.07 | 152.89 | 11.89 | 0.40 | 1230.16 |
| 9 SLV | 1.55 | -583.21 | 0.00 | 112.57 | 9.68 | 0.40 | 1197.59 |
| 10 SLV | 0.00 | -652.54 | -13.01 | 125.41 | 33.61 | 0.40 | 1207.86 |
| 10 SLV | 1.55 | -538.54 | 0.00 | 104.24 | 32.31 | 0.40 | 1190.98 |
| 11 SLV | 0.00 | -1440.95 | 17.23 | 263.32 | 41.50 | 0.40 | 1324.67 |
| 11 SLV | 1.55 | -876.68 | 0.00 | 166.14 | 39.92 | 0.40 | 1241.07 |
| 12 SLV | 0.00 | -1290.43 | 2.15 | 238.15 | 19.78 | 0.40 | 1302.37 |
| 12 SLV | 1.55 | -832.00 | 0.00 | 158.12 | 17.29 | 0.40 | 1234.45 |
| 13 SLV | 0.00 | -1201.93 | 24.97 | 223.09 | 32.13 | 0.40 | 1289.26 |
| 13 SLV | 1.55 | -738.04 | 0.00 | 141.09 | 34.08 | 0.40 | 1220.53 |
| 14 SLV | 0.00 | -1393.30 | 29.51 | 255.41 | 48.14 | 0.40 | 1317.61 |
| 14 SLV | 1.55 | -826.09 | 0.00 | 157.05 | 48.96 | 0.40 | 1233.58 |
| 15 SLV | 0.00 | -700.19 | -25.29 | 134.17 | 40.25 | 0.40 | 1214.92 |
| 15 SLV | 1.55 | -589.13 | 0.00 | 113.67 | 41.36 | 0.40 | 1198.47 |
| 16 SLV | 0.00 | -891.56 | -20.75 | 168.80 | 24.24 | 0.40 | 1243.28 |
| 16 SLV | 1.55 | -677.17 | 0.00 | 129.95 | 26.47 | 0.40 | 1211.51 |

Maschio n. 105S (ver. sismiche)

Xg=0.13 <m> Yg=3.70 <m> L=2.60 <m>

Configurazione geometrica e caratteristiche dei materiali utilizzati

| Zi <m> | Zf <m> | Spess. <cm> | h <m> | d ₁ <cm> | S _{ax} <cm> | d ₂ <cm> | S _{dx} <cm> | d ₂ <cm> | e _a <m> | a <m> | p | λ | f _k <daN/cmq> | f _d SLU <daN/cmq> | f _d SLV <daN/cmq> | f _{vE0} <daN/cmq> | f _{vd0} SLU <daN/cmq> | f _{vd0} SLV <daN/cmq> |
|-----------|-----------|----------------|----------|------------------------|-------------------------|------------------------|-------------------------|------------------------|-----------------------|----------|------|-------|-----------------------------|---------------------------------|---------------------------------|-------------------------------|-----------------------------------|-----------------------------------|
| 0.00 | 3.10 | 25.00 | 2.85 | 100 | 7.00 | | | | 1.43 | 0.00 | 1.00 | 11.40 | 53.00 | 19.63 | 19.63 | 3.00 | 1.11 | 1.11 |

Verifiche per carichi verticali ed azioni ortogonali

| CC | TCC | N1 <daN> | e _{s1} <cm> | ΣN2 _{sx} <daN> | ΣN2 _{dx} <daN> | e _{s2} <cm> | e ₁ <cm> | Zv | N <daN> | M _v <daNm> | e _v <cm> | e ₂ <cm> | e <cm> | m | Φ _t | Nu <daN> | Mu <daNm> |
|--------|-----|-------------|-------------------------|----------------------------|----------------------------|-------------------------|------------------------|------|------------|--------------------------|------------------------|------------------------|-----------|-----|----------------|-------------|--------------|
| 1 SLV | | | | | | | | 1.55 | -1972.43 | 38.15 | --- | --- | --- | --- | --- | 242.07 | |
| 2 SLV | | | | | | | | 1.55 | -2406.05 | 38.15 | --- | --- | --- | --- | --- | 294.08 | |
| 3 SLV | | | | | | | | 1.55 | -2471.85 | 38.15 | --- | --- | --- | --- | --- | 301.94 | |
| 4 SLV | | | | | | | | 1.55 | -2905.47 | 38.15 | --- | --- | --- | --- | --- | 353.45 | |
| 5 SLV | | | | | | | | 1.55 | -1641.33 | 38.15 | --- | --- | --- | --- | --- | 202.06 | |
| 6 SLV | | | | | | | | 1.55 | -1791.16 | 38.15 | --- | --- | --- | --- | --- | 220.20 | |
| 7 SLV | | | | | | | | 1.55 | -3086.74 | 38.15 | --- | --- | --- | --- | --- | 374.86 | |
| 8 SLV | | | | | | | | 1.55 | -3236.56 | 38.15 | --- | --- | --- | --- | --- | 392.50 | |
| 9 SLV | | | | | | | | 1.55 | -1848.93 | 38.15 | --- | --- | --- | --- | --- | 227.18 | |
| 10 SLV | | | | | | | | 1.55 | -2282.55 | 38.15 | --- | --- | --- | --- | --- | 279.31 | |
| 11 SLV | | | | | | | | 1.55 | -2348.35 | 38.15 | --- | --- | --- | --- | --- | 287.19 | |
| 12 SLV | | | | | | | | 1.55 | -2781.97 | 38.15 | --- | --- | --- | --- | --- | 338.83 | |
| 13 SLV | | | | | | | | 1.55 | -1517.84 | 38.15 | --- | --- | --- | --- | --- | 187.07 | |
| 14 SLV | | | | | | | | 1.55 | -1667.66 | 38.15 | --- | --- | --- | --- | --- | 205.25 | |
| 15 SLV | | | | | | | | 1.55 | -2963.24 | 38.15 | --- | --- | --- | --- | --- | 360.28 | |
| 16 SLV | | | | | | | | 1.55 | -3113.06 | 38.15 | --- | --- | --- | --- | --- | 377.96 | |

Verifiche per azioni nel piano

| CC | TCC | Zv <m> | N <daN> | M _v <daNm> | Mu <daNm> | V _{Ed} <daN> | l' <m> | Vu <daN> |
|-------|------|-----------|------------|--------------------------|--------------|--------------------------|-----------|-------------|
| 1 SLV | 0.00 | -3478.85 | -38.19 | 4377.44 | 549.70 | 2.60 | 7737.61 | |
| 1 SLV | 1.55 | -1972.43 | -45.94 | 2517.52 | 573.65 | 2.60 | 7514.43 | |
| 2 SLV | 0.00 | -4197.28 | -1313.53 | 5245.29 | 168.89 | 2.60 | 7844.04 | |
| 2 SLV | 1.55 | -2406.05 | -520.29 | 3058.47 | 176.10 | 2.60 | 7578.67 | |
| 3 SLV | 0.00 | -4210.11 | 997.15 | 5260.68 | 19.40 | 2.60 | 7845.94 | |
| 3 SLV | 1.55 | -2471.85 | 409.45 | 3140.16 | 20.19 | 2.60 | 7588.42 | |
| 4 SLV | 0.00 | -4928.54 | -278.19 | 6115.94 | 737.99 | 2.60 | 7952.38 | |
| 4 SLV | 1.55 | -2905.47 | -64.89 | 3675.92 | 769.95 | 2.60 | 7652.66 | |
| 5 SLV | 0.00 | -2896.62 | 1812.08 | 3665.04 | 1188.86 | 2.02 | 6049.26 | |
| 5 SLV | 1.55 | -1641.33 | 666.85 | 2101.44 | 1240.52 | 2.60 | 7465.38 | |
| 6 SLV | 0.00 | -3116.00 | 2122.69 | 3934.42 | 1018.13 | 1.86 | 5618.12 | |
| 6 SLV | 1.55 | -1791.16 | 803.47 | 2290.05 | 1062.37 | 2.55 | 7360.56 | |
| 7 SLV | 0.00 | -5291.39 | -2439.06 | 6543.19 | 1206.42 | 2.52 | 7776.00 | |
| 7 SLV | 1.55 | -3086.74 | -914.31 | 3898.55 | 1258.66 | 2.60 | 7679.52 | |

Tabulato di calcolo

| | | | | | | | | |
|----|-----|------|----------|----------|---------|---------|------|---------|
| 8 | SLV | 0.00 | -5510.77 | -2128.46 | 6799.98 | 1377.15 | 2.60 | 8038.63 |
| 8 | SLV | 1.55 | -3236.56 | -777.69 | 4081.96 | 1436.81 | 2.60 | 7701.71 |
| 9 | SLV | 0.00 | -3278.06 | 278.19 | 4132.67 | 737.99 | 2.60 | 7707.86 |
| 9 | SLV | 1.55 | -1848.93 | 64.89 | 2362.63 | 769.95 | 2.60 | 7496.14 |
| 10 | SLV | 0.00 | -3996.49 | -997.15 | 5003.98 | 19.40 | 2.60 | 7814.29 |
| 10 | SLV | 1.55 | -2282.55 | -409.45 | 2904.87 | 20.19 | 2.60 | 7560.38 |
| 11 | SLV | 0.00 | -4009.32 | 1313.53 | 5019.43 | 168.89 | 2.60 | 7816.20 |
| 11 | SLV | 1.55 | -2348.35 | 520.29 | 2986.75 | 176.10 | 2.60 | 7570.13 |
| 12 | SLV | 0.00 | -4727.75 | 38.19 | 5878.15 | 549.70 | 2.60 | 7922.63 |
| 12 | SLV | 1.55 | -2781.97 | 45.94 | 3523.79 | 573.65 | 2.60 | 7634.37 |
| 13 | SLV | 0.00 | -2695.83 | 2128.46 | 3417.47 | 1377.15 | 1.53 | 4653.23 |
| 13 | SLV | 1.55 | -1517.84 | 777.69 | 1945.57 | 1436.81 | 2.36 | 6788.48 |
| 14 | SLV | 0.00 | -2915.21 | 2439.06 | 3687.90 | 1206.42 | 1.39 | 4292.98 |
| 14 | SLV | 1.55 | -1667.66 | 914.31 | 2134.62 | 1258.66 | 2.26 | 6511.59 |
| 15 | SLV | 0.00 | -5090.59 | -2122.69 | 6307.15 | 1018.13 | 2.60 | 7976.38 |
| 15 | SLV | 1.55 | -2963.24 | -803.47 | 3746.96 | 1062.37 | 2.60 | 7661.22 |
| 16 | SLV | 0.00 | -5309.97 | -1812.08 | 6564.99 | 1188.86 | 2.60 | 8008.88 |
| 16 | SLV | 1.55 | -3113.06 | -666.85 | 3930.82 | 1240.52 | 2.60 | 7683.42 |

Maschio n. 106S (ver. sismiche)

Xg=5.88 <m> Yg=2.50 <m> L=5.00 <m>

Configurazione geometrica e caratteristiche dei materiali utilizzati

| Zi | Zf | Spess. | h | d ₁ | S _{ax} | d ₂ | S _{dx} | d ₂ | e _a | a | p | λ | f _k | f _d | f _d | f _{vR0} | f _{vR0} | f _{vR0} |
|------|------|--------|------|----------------|-----------------|----------------|-----------------|----------------|----------------|-------|-----|-----|----------------|----------------|----------------|------------------|------------------|------------------|
| <m> | <m> | <cm> | <m> | <cm> | <cm> | <cm> | <cm> | <cm> | <m> | <m> | <m> | <m> | <daN/cmq> | <daN/cmq> | <daN/cmq> | <daN/cmq> | <daN/cmq> | <daN/cmq> |
| 0.00 | 3.10 | 25.00 | 2.85 | | 100 | 7.00 | 1.43 | 5.00 | 0.93 | 10.60 | | | 53.00 | 19.63 | 19.63 | 3.00 | 1.11 | 1.11 |

Verifiche per carichi verticali ed azioni ortogonali

| CC | TCC | N1 <daN> | e _{s1} <cm> | ΣN2 _{xx} <daN> | ΣN2 _{dx} <daN> | e _{s2} <cm> | e ₁ <cm> | Zv | N <daN> | M _v <daNm> | e _v <cm> | e ₂ <cm> | e <cm> | m | Φ _t | Nu <daN> | Mu <daNm> |
|----|-----|-------------|-------------------------|----------------------------|----------------------------|-------------------------|------------------------|------|------------|--------------------------|------------------------|------------------------|-----------|-----|----------------|-------------|--------------|
| 1 | SLV | | | | | | | 1.55 | -4672.66 | 73.36 | --- | --- | --- | --- | --- | 571.00 | |
| 2 | SLV | | | | | | | 1.55 | -4464.60 | 73.36 | --- | --- | --- | --- | --- | 546.13 | |
| 3 | SLV | | | | | | | 1.55 | -3144.15 | 73.36 | --- | --- | --- | --- | --- | 387.09 | |
| 4 | SLV | | | | | | | 1.55 | -2936.09 | 73.36 | --- | --- | --- | --- | --- | 361.85 | |
| 5 | SLV | | | | | | | 1.55 | -4380.42 | 73.36 | --- | --- | --- | --- | --- | 536.05 | |
| 6 | SLV | | | | | | | 1.55 | -3921.87 | 73.36 | --- | --- | --- | --- | --- | 481.01 | |
| 7 | SLV | | | | | | | 1.55 | -3686.88 | 73.36 | --- | --- | --- | --- | --- | 452.71 | |
| 8 | SLV | | | | | | | 1.55 | -3228.33 | 73.36 | --- | --- | --- | --- | --- | 397.30 | |
| 9 | SLV | | | | | | | 1.55 | -4715.72 | 73.36 | --- | --- | --- | --- | --- | 576.14 | |
| 10 | SLV | | | | | | | 1.55 | -4507.66 | 73.36 | --- | --- | --- | --- | --- | 551.28 | |
| 11 | SLV | | | | | | | 1.55 | -3187.21 | 73.36 | --- | --- | --- | --- | --- | 392.31 | |
| 12 | SLV | | | | | | | 1.55 | -2979.15 | 73.36 | --- | --- | --- | --- | --- | 367.07 | |
| 13 | SLV | | | | | | | 1.55 | -4423.48 | 73.36 | --- | --- | --- | --- | --- | 541.21 | |
| 14 | SLV | | | | | | | 1.55 | -3964.93 | 73.36 | --- | --- | --- | --- | --- | 486.19 | |
| 15 | SLV | | | | | | | 1.55 | -3729.94 | 73.36 | --- | --- | --- | --- | --- | 457.90 | |
| 16 | SLV | | | | | | | 1.55 | -3271.39 | 73.36 | --- | --- | --- | --- | --- | 402.51 | |

Verifiche per azioni nel piano

| CC | TCC | Zv <m> | N <daN> | M _v <daNm> | Mu <daNm> | V _{Ed} <daN> | l' <m> | V _U <daN> |
|----|-----|-----------|------------|--------------------------|--------------|--------------------------|-----------|-------------------------|
| 1 | SLV | 0.00 | -7545.09 | -297.37 | 18180.30 | 394.26 | 5.00 | 15006.70 |
| 1 | SLV | 1.55 | -4672.66 | -52.60 | 11419.90 | 408.41 | 5.00 | 14581.10 |
| 2 | SLV | 0.00 | -7204.39 | -2124.46 | 17388.80 | 1252.82 | 5.00 | 14956.20 |
| 2 | SLV | 1.55 | -4464.60 | -946.15 | 10922.60 | 1305.65 | 5.00 | 14550.30 |
| 3 | SLV | 0.00 | -4940.71 | 1999.38 | 12059.20 | 1456.40 | 5.00 | 14620.80 |
| 3 | SLV | 1.55 | -3144.15 | 836.86 | 7741.88 | 1513.85 | 5.00 | 14354.70 |
| 4 | SLV | 0.00 | -4600.01 | 172.29 | 11246.40 | 597.84 | 5.00 | 14570.40 |
| 4 | SLV | 1.55 | -2936.09 | -56.69 | 7236.89 | 616.61 | 5.00 | 14323.90 |
| 5 | SLV | 0.00 | -7031.05 | 2638.09 | 16985.10 | 1255.13 | 5.00 | 14930.50 |
| 5 | SLV | 1.55 | -4380.42 | 1301.17 | 10721.10 | 1311.17 | 5.00 | 14537.80 |
| 6 | SLV | 0.00 | -6249.74 | 3327.11 | 15156.10 | 1810.33 | 5.00 | 14814.80 |
| 6 | SLV | 1.55 | -3921.87 | 1568.01 | 9620.30 | 1887.85 | 5.00 | 14469.90 |
| 7 | SLV | 0.00 | -5895.36 | -3452.20 | 14321.80 | 1606.75 | 5.00 | 14762.30 |
| 7 | SLV | 1.55 | -3686.88 | -1677.30 | 9054.27 | 1679.65 | 5.00 | 14435.10 |
| 8 | SLV | 0.00 | -5114.05 | -2763.17 | 12471.60 | 1051.55 | 5.00 | 14646.50 |
| 8 | SLV | 1.55 | -3228.33 | -1410.46 | 7945.90 | 1102.97 | 5.00 | 14367.20 |
| 9 | SLV | 0.00 | -7608.97 | -172.29 | 18328.40 | 597.84 | 5.00 | 15016.10 |
| 9 | SLV | 1.55 | -4715.72 | 56.69 | 11522.70 | 616.61 | 5.00 | 14587.50 |
| 10 | SLV | 0.00 | -7268.26 | -1999.38 | 17537.40 | 1456.40 | 5.00 | 14965.70 |
| 10 | SLV | 1.55 | -4507.66 | -836.86 | 11025.60 | 1513.85 | 5.00 | 14556.70 |
| 11 | SLV | 0.00 | -5004.59 | -2124.46 | 12211.30 | 1252.82 | 5.00 | 14630.30 |
| 11 | SLV | 1.55 | -3187.21 | 946.15 | 7846.26 | 1305.65 | 5.00 | 14361.10 |
| 12 | SLV | 0.00 | -4663.88 | 297.37 | 11399.00 | 394.26 | 5.00 | 14579.80 |
| 12 | SLV | 1.55 | -2979.15 | 52.60 | 7341.49 | 408.41 | 5.00 | 14330.20 |
| 13 | SLV | 0.00 | -7094.92 | 2763.17 | 17133.90 | 1051.55 | 5.00 | 14940.00 |
| 13 | SLV | 1.55 | -4423.48 | 1410.46 | 10824.20 | 1102.97 | 5.00 | 14544.20 |

Tabulato di calcolo

| | | | | | | | | |
|----|-----|------|----------|----------|----------|---------|------|----------|
| 14 | SLV | 0.00 | -6313.61 | 3452.20 | 15306.20 | 1606.75 | 5.00 | 14824.20 |
| 14 | SLV | 1.55 | -3964.93 | 1677.30 | 9723.88 | 1679.65 | 5.00 | 14476.30 |
| 15 | SLV | 0.00 | -5959.24 | -3327.11 | 14472.40 | 1810.33 | 5.00 | 14771.70 |
| 15 | SLV | 1.55 | -3729.94 | -1568.01 | 9158.09 | 1887.85 | 5.00 | 14441.50 |
| 16 | SLV | 0.00 | -5177.93 | -2638.09 | 12623.40 | 1255.13 | 5.00 | 14656.00 |
| 16 | SLV | 1.55 | -3271.39 | -1301.17 | 8050.19 | 1311.17 | 5.00 | 14373.50 |

Maschio n. 1C (ver. cinematismi)

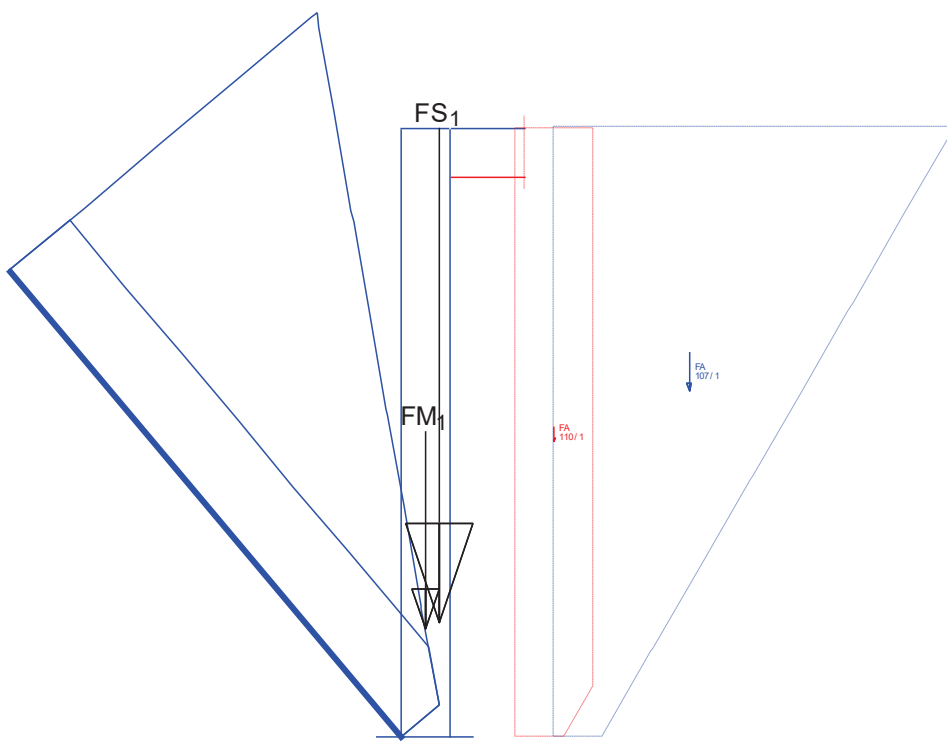
Xg=3.00 <m> Yg=0.13 <m> L=6.00 <m>

Configurazione geometrica e caratteristiche dei materiali utilizzati

| Zi <m> | Zf <m> | Spess. <cm> | h <m> | d ₁ <cm> | S _{gx} <cm> | d ₂ <cm> | S _{dx} <cm> | d ₂ <cm> | e _a <cm> | a <m> | p | λ | f _k <daN/cmq> | f _d SLU <daN/cmq> | f _d SLV <daN/cmq> | f _{vR0} <daN/cmq> | f _{vd0} SLU <daN/cmq> | f _{vd0} SLV <daN/cmq> |
|-----------|-----------|----------------|----------|------------------------|-------------------------|------------------------|-------------------------|------------------------|------------------------|----------|---|---|-----------------------------|------------------------------------|------------------------------------|-------------------------------|--------------------------------------|--------------------------------------|
| 0.00 | 3.10 | 25.00 | 2.85 | | 100 | 7.00 | 1.43 | 0.00 | 1.00 | 11.40 | | | 53.00 | 19.63 | 19.63 | 3.00 | 1.11 | 1.11 |

Verifiche cinematici

Ribalt. a z=0.00 ammors. a z=0.00



Elenco forze agenti

| N | Fx <daN> | Fz <daN> | Xg <m> | Zg <m> | Commento |
|---------------------|-------------|-------------|-----------|-----------|-------------------------|
| FA _{110/1} | | 244.12 | 0.07 | 1.57 | Peso ammorsamenti 110/1 |
| FA _{107/1} | | 709.83 | 0.56 | 1.95 | Peso ammorsamenti 107/1 |
| FM ₁ | | 3720.04 | 0.00 | 1.55 | Peso maschio piano 1 |
| FS ₁ | | 9374.87 | 0.07 | 3.10 | Peso solao piano 1 |

Massa partecipante al cinematico M*=13341.70 <kg>

Frazione di massa partecipante e*=0.93

Analisi cinematica non lineare

Capacità di spostamento ultimo d_u*=86.50 <mm>

Domanda di spostamento [C8A.4.11]=50.72 <mm>

Indice di sicurezza in termini di accelerazione ζ_E (A_g)=1.7054**Maschio n. 2C (ver. cinematici)**

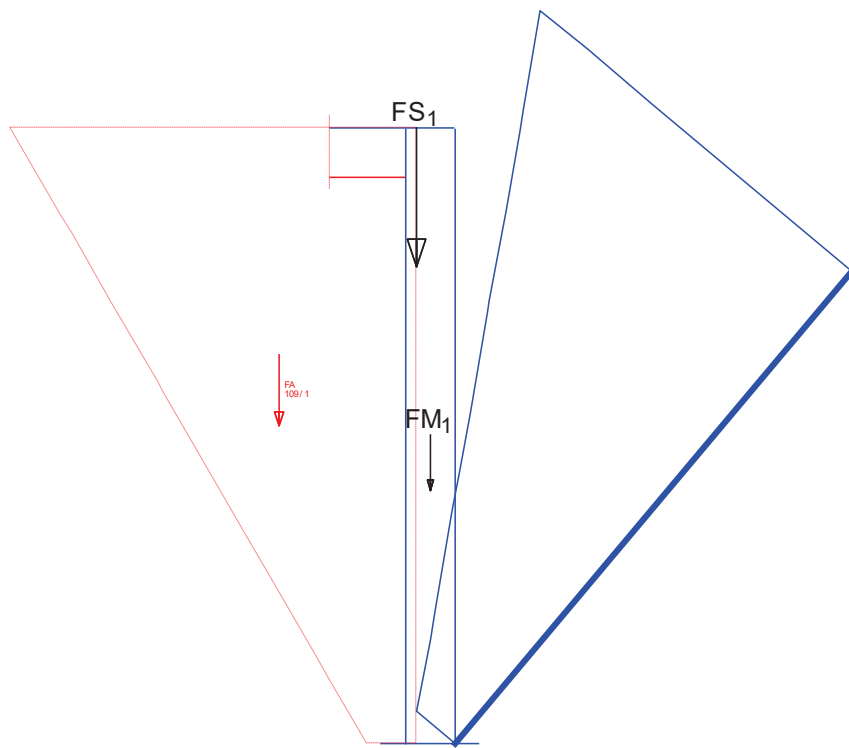
Xg=0.45 <m> Yg=4.88 <m> L=0.90 <m>

Configurazione geometrica e caratteristiche dei materiali utilizzati

| z _i <m> | z _f <m> | Spess. <cm> | h <m> | d ₁ <cm> | S _{sx} <cm> | d ₂ <cm> | S _{ax} <cm> | d ₂ <cm> | e _a <cm> | a <m> | p | λ | f_k <daN/cmq> | $f_{d\text{ sru}}$ <daN/cmq> | $f_{d\text{ sv}}$ <daN/cmq> | f_{vru} <daN/cmq> | f_{vdu} <daN/cmq> | f_{vdu} <daN/cmq> |
|-----------------------|-----------------------|----------------|----------|------------------------|-------------------------|------------------------|-------------------------|------------------------|------------------------|----------|-------|-----------|--------------------|---------------------------------|--------------------------------|------------------------|------------------------|------------------------|
| 0.00 | 3.10 | 25.00 | 2.85 | 100 | 7.00 | | 1.43 | 0.00 | 1.00 | 11.40 | 53.00 | 19.63 | 19.63 | 3.00 | 1.11 | 1.11 | | |

Verifiche cinematici

Ribalt. a z=0.00 ammors. a z=0.00



Elenco forze agenti

| N | Fx <daN> | Fz <daN> | Xg <m> | Zg <m> | Commento |
|-----------------|-------------|-------------|-----------|-----------|-------------------------|
| FA109/1 | | 709.83 | 0.56 | 1.95 | Peso ammorsamenti 109/1 |
| FM ₁ | | 558.00 | 0.00 | 1.55 | Peso maschio piano 1 |
| FS ₁ | | 1406.26 | 0.07 | 3.10 | Peso solao piano 1 |

Massa partecipante al cinematicismo M*=2536.62 <kg>

Frazione di massa partecipante e*=0.93

Analisi cinematica non lineare

Capacità di spostamento ultimo d_u*=133.91 <mm>

Domanda di spostamento [C8A.4.11]=49.41 <mm>

Indice di sicurezza in termini di accelerazione ζ_E (A_g)=2.7100**Maschio n. 3C (ver. cinematici)**

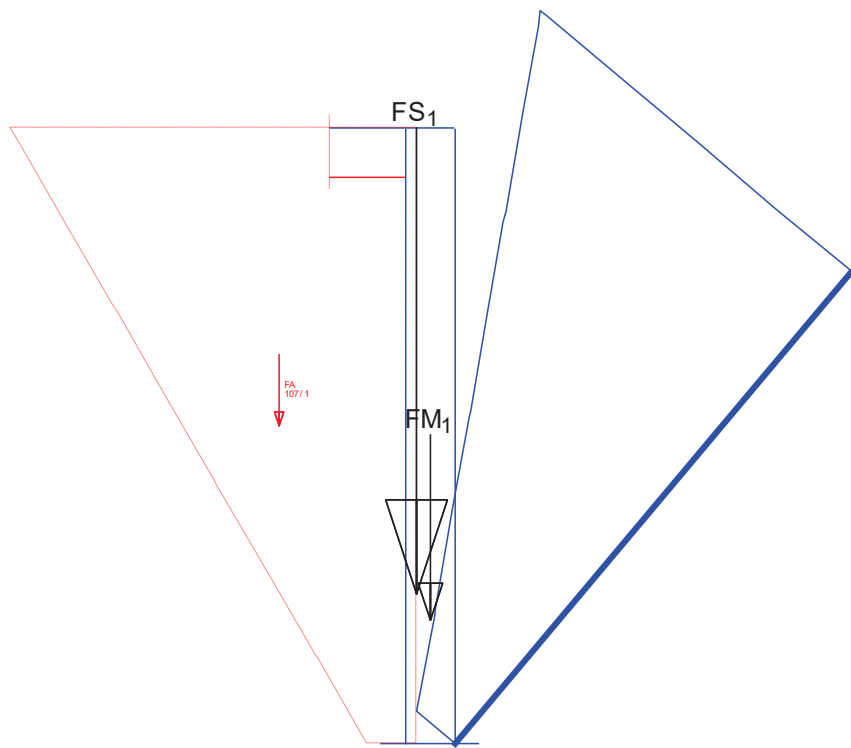
Xg=4.50 <m> Yg=4.88 <m> L=3.00 <m>

Configurazione geometrica e caratteristiche dei materiali utilizzati

| Zi <m> | Zf <m> | Spess. <cm> | h <m> | d ₁ <cm> | S _{ax} <cm> | d ₂ <cm> | S _{dx} <cm> | d ₂ <cm> | e _a <cm> | a <m> | ρ | λ | f _k <daN/cmq> | f _d SLU <daN/cmq> | f _d SLV <daN/cmq> | f _{vE0} <daN/cmq> | f _{vD0} SLU <daN/cmq> | f _{vD0} SLV <daN/cmq> |
|-----------|-----------|----------------|----------|------------------------|-------------------------|------------------------|-------------------------|------------------------|------------------------|----------|-------|---|-----------------------------|---------------------------------|---------------------------------|-------------------------------|-----------------------------------|-----------------------------------|
| 0.00 | 3.10 | 25.00 | 2.85 | 100 | 7.00 | | | 1.43 | 0.00 | 1.00 | 11.40 | | 53.00 | 19.63 | 19.63 | 3.00 | 1.11 | 1.11 |

Verifiche cinematici

Ribalt. a z=0.00 ammors. a z=0.00



Elenco forze agenti

| N | Fx <daN> | Fz <daN> | Xg <m> | Zg <m> | Commento |
|---------------------|-------------|-------------|-----------|-----------|-------------------------|
| FA _{107/1} | | 709.83 | 0.56 | 1.95 | Peso ammorsamenti 107/1 |
| FM ₁ | | 1860.00 | 0.00 | 1.55 | Peso maschio piano 1 |
| FS ₁ | | 4687.39 | 0.07 | 3.10 | Peso solao piano 1 |

Massa partecipante al cinematicismo M*=6899.41 <kg>

Frazione di massa partecipante e*=0.93

Analisi cinematica non lineare

Capacità di spostamento ultimo d_u*=96.66 <mm>

Domanda di spostamento [C8A.4.11]=50.58 <mm>

Indice di sicurezza in termini di accelerazione ζ_E (A_g)=1.9110**Maschio n. 4C (ver. cinematici)**

Xg=0.13 <m> Yg=0.20 <m> L=0.40 <m>

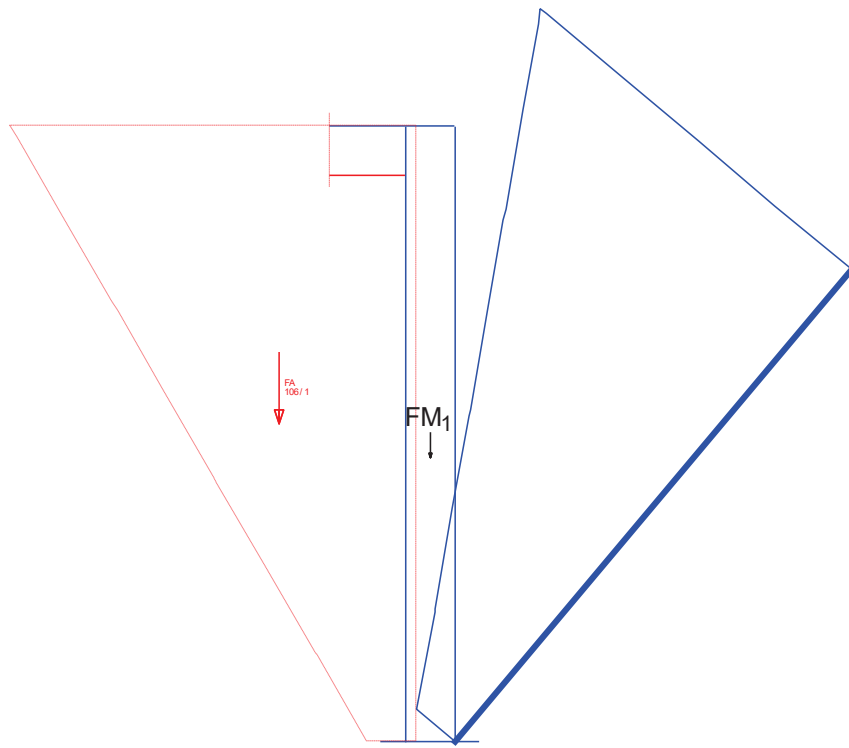
Configurazione geometrica e caratteristiche dei materiali utilizzati

| Zi <m> | Zf <m> | Spess. <cm> | h <m> | d ₁ <cm> | S _{ax} <cm> | d ₂ <cm> | S _{dx} <cm> | d ₂ <cm> | e _a <cm> | a <m> | ρ | λ | f _k <daN/cmq> | f _d SLU <daN/cmq> | f _d SLV <daN/cmq> | f _{vE0} <daN/cmq> | f _{vdo} SLU <daN/cmq> | f _{vdo} SLV <daN/cmq> |
|-----------|-----------|----------------|----------|------------------------|-------------------------|------------------------|-------------------------|------------------------|------------------------|----------|--------|-----------|-----------------------------|---------------------------------|---------------------------------|-------------------------------|-----------------------------------|-----------------------------------|
| 0.00 | 3.10 | 25.00 | 2.85 | 100 | 7.00 | | | 1.43 | 0.00 | 1.00 | 11.40 | | 53.00 | 19.63 | 19.63 | 3.00 | 1.11 | 1.11 |

Tabulato di calcolo

Verifiche cinematicismi

Ribalt. a z=0.00 ammors. a z=0.00



Elenco forze agenti

| N | Fx <daN> | Fz <daN> | Xg <m> | Zg <m> | Commento |
|-----------------|-------------|-------------|-----------|-----------|-------------------------|
| FA106/1 | | 709.83 | 0.56 | 1.95 | Peso ammorsamenti 106/1 |
| FM ₁ | | 248.02 | 0.00 | 1.55 | Peso maschio piano 1 |

Massa partecipante al cinematicismo M*=967.55 <kg>

Frazione di massa partecipante e*=0.99

Analisi cinematica non lineare

Capacità di spostamento ultimo d_{u*}=219.18 <mm>

Domanda di spostamento [C8A.4.11]=42.74 <mm>

Indice di sicurezza in termini di accelerazione ζ_E (A_g)=5.1287

Maschio n. 5C (ver. cinematicismi)

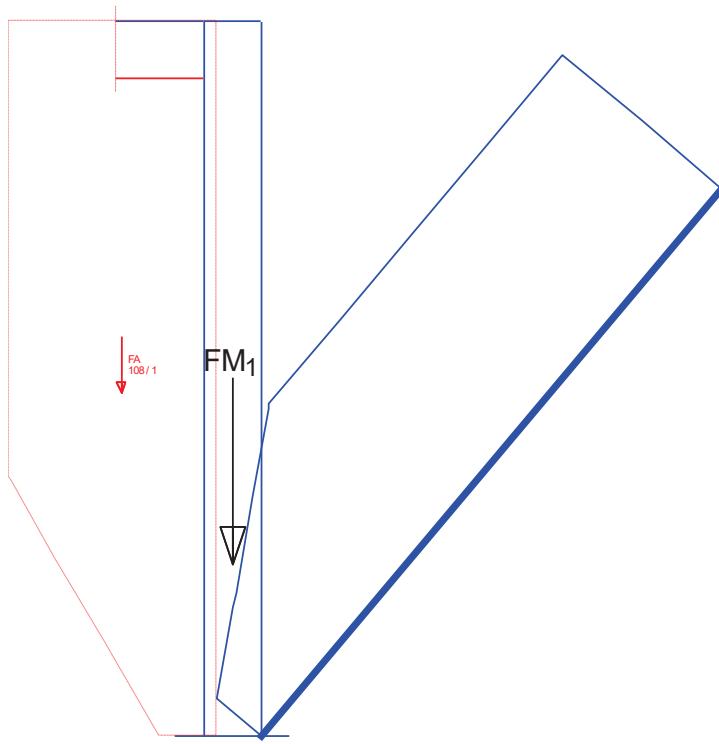
Xg=0.13 <m> Yg=3.70 <m> L=2.60 <m>

Configurazione geometrica e caratteristiche dei materiali utilizzati

| Zi <m> | Zf <m> | Spess. <cm> | h <m> | d ₁ <cm> | S _{ax} <cm> | d ₂ <cm> | S _{dx} <cm> | d ₂ <cm> | e _a <cm> | a <m> | p | λ | f _k <daN/cmq> | f _d _{SLU} <daN/cmq> | f _d _{SLV} <daN/cmq> | f _{v₀} <daN/cmq> | f _{v_{d0}} _{SLU} <daN/cmq> | f _{v_{d0}} _{SLV} <daN/cmq> |
|-----------|-----------|----------------|----------|------------------------|-------------------------|------------------------|-------------------------|------------------------|------------------------|----------|------|-----------|-----------------------------|--|--|---|---|---|
| 0.00 | 3.10 | 25.00 | 2.85 | 100 | 7.00 | | | | 1.43 | 0.00 | 1.00 | 11.40 | 53.00 | 19.63 | 19.63 | 3.00 | 1.11 | 1.11 |

Verifiche cinematici

Ribalt. a z=0.00 ammors. a z=0.00



Elenco forze agenti

| N | Fx <daN> | Fz <daN> | Xg <m> | Zg <m> | Commento |
|---------------------|-------------|-------------|-----------|-----------|-------------------------|
| FA _{108/1} | | 484.82 | 0.29 | 1.73 | Peso ammorsamenti 108/1 |
| FM ₁ | | 1612.00 | 0.00 | 1.55 | Peso maschio piano 1 |

Massa partecipante al cinematismo M*=2132.72 <kg>

Frazione di massa partecipante e*=1.00

Analisi cinematica non lineare

Capacità di spostamento ultimo d_u*=76.97 <mm>

Domanda di spostamento [C8A.4.11]=39.64 <mm>

Indice di sicurezza in termini di accelerazione ζ_E (A_g)=1.9417

Maschio n. 6C (ver. cinematici)

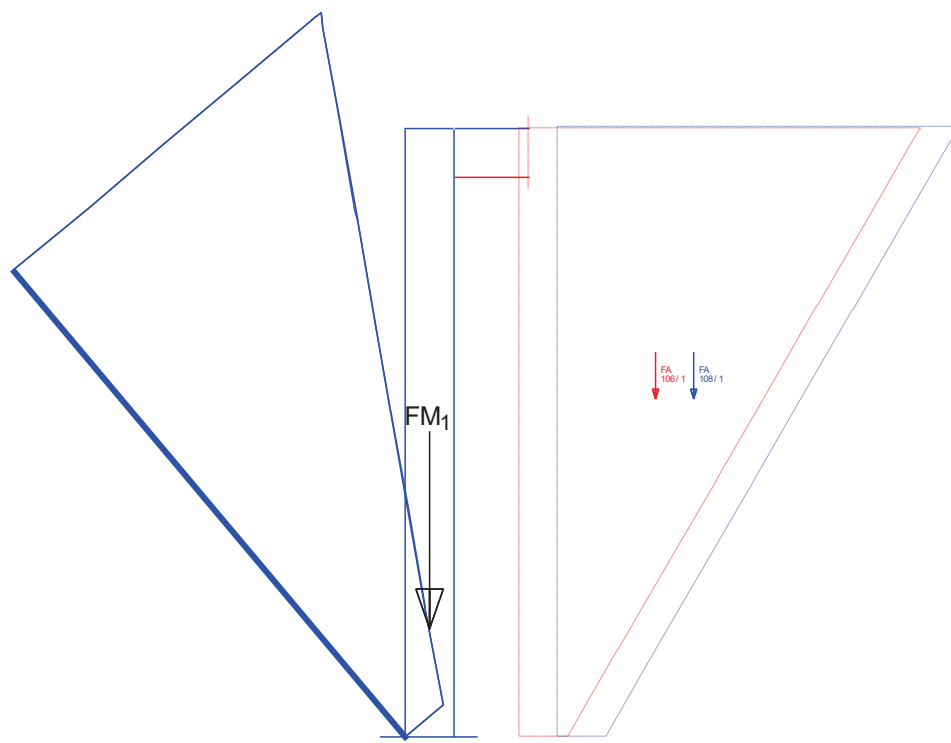
Xg=5.88 <m> Yg=2.50 <m> L=5.00 <m>

Configurazione geometrica e caratteristiche dei materiali utilizzati

| Z _i <m> | Z _f <m> | Spess. <cm> | h <m> | d ₁ <cm> | S _{ax} <cm> | d ₂ <cm> | S _{dx} <cm> | d ₂ <cm> | e _a <cm> | a <m> | p | λ | f _k <daN/cm ² > | f _d _{SLU} <daN/cm ² > | f _d _{SLV} <daN/cm ² > | f _{vR0} <daN/cm ² > | f _{vd0} _{SLU} <daN/cm ² > | f _{vd0} _{SLV} <daN/cm ² > |
|-----------------------|-----------------------|----------------|----------|------------------------|-------------------------|------------------------|-------------------------|------------------------|------------------------|----------|---|-----------|--|---|---|--|---|---|
| 0.00 | 3.10 | 25.00 | 2.85 | | 100 | 7.00 | 1.43 | 5.00 | 0.93 | 10.60 | | | 53.00 | 19.63 | 19.63 | 3.00 | 1.11 | 1.11 |

Verifiche cinematici

Ribalt. a z=0.00 ammors. a z=0.00



Elenco forze agenti

| N | Fx <daN> | Fz <daN> | Xg <m> | Zg <m> | Commento |
|---------------------|-------------|-------------|-----------|-----------|-------------------------|
| FA _{106/1} | | 709.83 | 0.56 | 1.95 | Peso ammorsamenti 106/1 |
| FA _{108/1} | | 709.83 | 0.56 | 1.95 | Peso ammorsamenti 108/1 |
| FM ₁ | 3100.00 | 0.00 | 1.55 | | Peso maschio piano 1 |

Massa partecipante al cinematico $M^*=4550.34$ <kg>Frazione di massa partecipante $e^*=0.99$

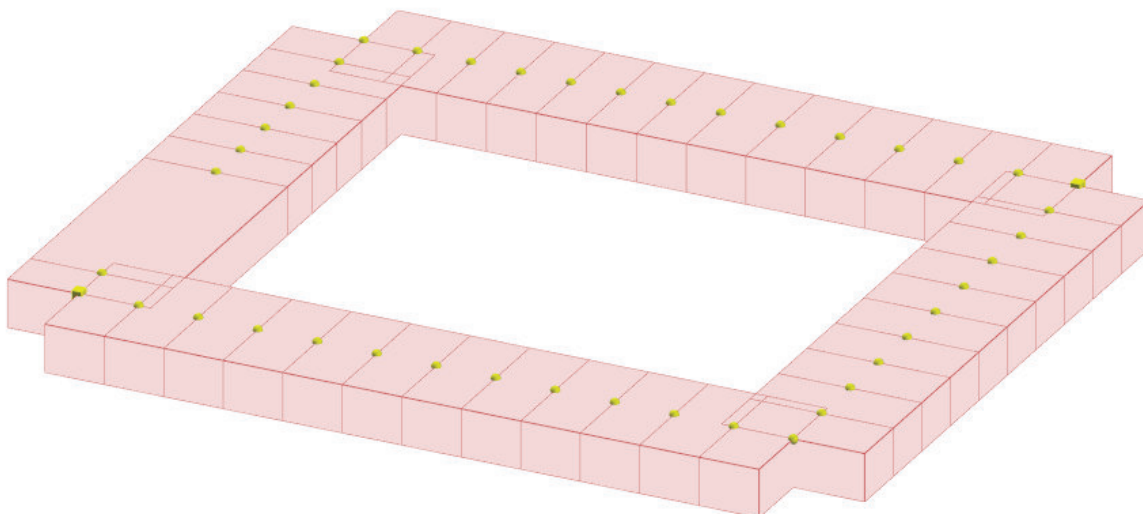
Analisi cinematica non lineare

Capacità di spostamento ultimo $d_u^*=122.38$ <mm>

Domanda di spostamento [C8A.4.11]=40.70 <mm>

Indice di sicurezza in termini di accelerazione ζ_E (A_g)=3.0071

2. STRUTTURA DI FONDAZIONE



| |
|---------------------------|
| Aste |
| Sezioni |
| 2 Trave rovescia 120x40cm |

Risultati del calcolo

Parametri di calcolo

La modellazione della struttura e la rielaborazione dei risultati del calcolo sono stati effettuati con:
ModeSt ver. 8.30, licenza n. 6234, prodotto da Tecnisoft s.a.s. - Prato
La struttura è stata calcolata utilizzando come solutore agli elementi finiti:
Xfinest ver. 9.5.11, licenza n. -1535587737, prodotto da Ce.A.S. S.r.l. - Milano

Tipo di normativa: stati limite D.M. 18

Tipo di calcolo: statico

Vincoli esterni: Considera sempre vincoli assegnati in modellazione

Schematizzazione piani rigidi: nessun impalcato rigido

Modalità di recupero masse secondarie: mantenere sul nodo masse e forze relative

Generazione combinazioni

- Tipo di analisi: Lineare
- Valuta spostamenti e non sollecitazioni: No
- Buckling: No

Opzioni di calcolo

- Sono state considerate infinitamente rigide le zone di connessione fra travi, pilastri ed elementi bidimensionali con una riduzione del 20%
- Calcolo con offset rigidi dai nodi: No
- Uniformare i carichi variabili: No
- Massimizzare i carichi variabili: No
- Recupero carichi zone rigide: taglio e momento flettente

Opzioni del solutore

Opzioni generali:

- Trascura deformabilità a taglio delle aste: No
- Analisi dinamica con metodo di Lanczos: Si
- Check sequenza di Sturm: Si
- Usa formulazione secante per buckling: No
- Trascura buckling torsionale: No

- Tipo di elemento bidimensionale: QF46
- Calcolo sforzo nei nodi: No

Opzioni per analisi P-Delta:

- Numero massimo di iterazioni: 15
- Valore della norma euclidea degli spostamenti: 0.0001

Opzioni per analisi pushover:

- Esegui analisi in regime di piccoli spostamenti: Si

Opzioni per analisi pushover murature:

- Interrompi analisi nel caso di plasticizzazione per carichi statici: Si
- Utilizza sforzo normale medio: Si

Tabulato di calcolo

Metodo di convergenza:

- Forze e momenti residui (F)

Valore della norma euclidea delle forze: 0.001

Valore della norma euclidea dei momenti: 0.01

- Opzioni aggiuntive per analisi non lineari in presenza di elementi bidimensionali con comportamento Drucker-Prager:

OPTION PARAM AUTO_INCREMENT=YES

OPTION PARAM LINE_SEARCHES=YES

OPTION PARAM BGINCRS=1.0

OPTION PARAM AVINCRS=1.0

Dati struttura

- Edificio esistente: No

- Tipo di opera: Opera ordinaria

- Vita nominale V_N : 50.00

- Classe d'uso: Classe II

- Forze orizzontali convenzionali per stati limite non sismici: No

- Genera stati limite per verifiche di resistenza al fuoco: No

Ambienti di carico

Simbologia

N = Numero

Comm. = Commento

1=Peso proprio
2=Reazioni combinazione 1
3=Reazioni combinazione 2
4=Reazioni combinazione 3
5=Reazioni combinazione 4
6=Reazioni combinazione 5
7=Reazioni combinazione 6
8=Reazioni combinazione 7
9=Reazioni combinazione 8
10=Reazioni combinazione 9
11=Reazioni combinazione 10
12=Reazioni combinazione 11
13=Reazioni combinazione 12
14=Reazioni combinazione 13
15=Reazioni combinazione 14
16=Reazioni combinazione 15
17=Reazioni combinazione 16
18=Reazioni combinazione 17
19=Reazioni combinazione 18
20=Reazioni combinazione 19
21=Reazioni combinazione 20
22=Reazioni combinazione 21
23=Reazioni combinazione 22
24=Reazioni combinazione 23
25=Reazioni combinazione 24
26=Reazioni combinazione 25
27=Reazioni combinazione 26
28=Reazioni combinazione 27
29=Reazioni combinazione 28
30=Reazioni combinazione 29
31=Reazioni combinazione 30
32=Reazioni combinazione 31
33=Reazioni combinazione 32
34=Reazioni combinazione 33
35=Reazioni combinazione 34
36=Reazioni combinazione 35
37=Reazioni combinazione 36

F = azioni orizzontali convenzionali

SLU = Stato limite ultimo

SLR = Stato limite per combinazioni rare

SLF = Stato limite per combinazioni frequenti

SLQ/D = Stato limite per combinazioni quasi permanenti o di danno

S = Si

N = No

| | Comm. | 1 | 2 | 3 | 4 | 5 | 6 | 7 | 8 | 9 | 10 | 11 | 12 | 13 | 14 | 15 | 16 | 17 | 18 | 19 | 20 | 21 | 22 | 23 | 24 | 25 | 26 | 27 | 28 | 29 | 30 | 31 | 32 | 33 | 34 | 35 | 36 | 37 | SLU | SLR | SLF | SLQ |
|----|-----------------|---|---|---|---|---|---|---|---|---|----|----|----|----|----|----|----|----|----|----|----|----|----|----|----|----|----|----|----|----|----|----|----|----|----|----|----|----|-----|-----|-----|-----|
| 1 | Calcolo statico | S | N | N | N | N | N | N | N | N | N | N | N | N | N | N | N | N | N | N | N | N | N | N | N | N | N | N | N | N | S | N | N | N | | | | | | | | |
| 2 | | S | N | S | N | N | N | N | N | N | N | N | N | N | N | N | N | N | N | N | N | N | N | N | N | N | N | N | S | N | N | N | | | | | | | | | | |
| 3 | | S | N | N | S | N | N | N | N | N | N | N | N | N | N | N | N | N | N | N | N | N | N | N | N | N | N | N | S | N | N | N | | | | | | | | | | |
| 4 | | S | N | N | N | S | N | N | N | N | N | N | N | N | N | N | N | N | N | N | N | N | N | N | N | N | N | N | S | N | N | N | | | | | | | | | | |
| 5 | | S | N | N | N | N | S | N | N | N | N | N | N | N | N | N | N | N | N | N | N | N | N | N | N | N | N | N | N | S | N | N | N | | | | | | | | | |
| 6 | | S | N | N | N | N | N | S | N | N | N | N | N | N | N | N | N | N | N | N | N | N | N | N | N | N | N | N | S | N | N | N | | | | | | | | | | |
| 7 | | S | N | N | N | N | N | N | S | N | N | N | N | N | N | N | N | N | N | N | N | N | N | N | N | N | N | S | N | N | N | | | | | | | | | | | |
| 8 | | S | N | N | N | N | N | N | N | S | N | N | N | N | N | N | N | N | N | N | N | N | N | N | N | N | N | S | N | N | N | | | | | | | | | | | |
| 9 | | S | N | N | N | N | N | N | N | N | S | N | N | N | N | N | N | N | N | N | N | N | N | N | N | N | N | N | S | N | N | N | | | | | | | | | | |
| 10 | | S | N | N | N | N | N | N | N | N | S | N | N | N | N | N | N | N | N | N | N | N | N | N | N | N | N | S | N | N | N | | | | | | | | | | | |
| 11 | | S | N | N | N | N | N | N | N | N | S | N | N | N | N | N | N | N | N | N | N | N | N | N | N | N | N | S | N | N | N | | | | | | | | | | | |

Tabulato di calcolo

Elenco combinazioni di carico simboliche

Simbologia

CC = Numero della combinazione delle condizioni di carico elementari
Comm. = Commento
TCC = Tipo di combinazione di carico
 SLU = Stato limite ultimo
 SLE R = Stato limite d'esercizio, combinazione rara
 SLE F = Stato limite d'esercizio, combinazione frequente
 SLE Q = Stato limite d'esercizio, combinazione quasi permanente

Genera le combinazioni con un solo carico di tipo variabile come di base: No

Considera sollecitazioni dinamiche con segno dei modi principali: No

Combinazioni delle CCE

Simbologia

An. = Tipo di analisi
L = Lineare
NL = Non lineare

Tabulato di calcolo

Spostamenti dei nodi

Simbologia

CC = Numero della combinazione delle condizioni di carico elementari

Nodo = Número del nodo

Rx = Rotazione intorno all'asse X

Ry = Rotazione intorno all'asse Y

Rz = Rotazione intorno all'asse Z

Sx = Spostamento in dir. X

Sy = Spostamento in dir. Y

Sz = Spostamento in dir. z

TCC = Tipo di combinazione di carico

SLU = Stato limite ultimo

SLE R = Stato limite d'esercizio, combinazione rara

SLE F = Stato limite d'esercizio, combinazione frequente

SLE Q = Stato limite d'esercizio, combinazione quasi permanente

I valori degli spostamenti nodali per CC di tipo sismico sono amplificati come da normativa

| Nodo | | Sx <cm> | CC | TCC | Sy <cm> | CC | TCC | Sz <cm> | CC | TCC | Rx <rad> | CC | TCC | Ry <rad> | CC | TCC | Rz <rad> | CC | TCC |
|------|------|------------|----|-----|------------|----|-----|------------|----|-------|-------------|----|-----|-------------|----|-----|-------------|----|-----|
| -43 | Max | 0.00 | 1 | SLU | 0.00 | 1 | SLU | -0.03 | 16 | SLU | 0.00 | 14 | SLU | 0.00 | 26 | SLU | 0.00 | 1 | SLU |
| -43 | Min. | 0.00 | 1 | SLU | 0.00 | 1 | SLU | -0.05 | 33 | SLU | 0.00 | 28 | SLU | 0.00 | 16 | SLU | 0.00 | 1 | SLU |
| -42 | Max | 0.00 | 1 | SLU | 0.00 | 1 | SLU | -0.03 | 16 | SLU | 0.00 | 14 | SLU | 0.00 | 26 | SLU | 0.00 | 1 | SLU |
| -42 | Min. | 0.00 | 1 | SLU | 0.00 | 1 | SLU | -0.05 | 33 | SLU | 0.00 | 28 | SLU | 0.00 | 16 | SLU | 0.00 | 1 | SLU |
| -41 | Max | 0.00 | 1 | SLU | 0.00 | 1 | SLU | -0.03 | 30 | SLU | 0.00 | 14 | SLU | 0.00 | 26 | SLU | 0.00 | 1 | SLU |
| -41 | Min. | 0.00 | 1 | SLU | 0.00 | 1 | SLU | -0.05 | 33 | SLU | 0.00 | 28 | SLU | 0.00 | 16 | SLU | 0.00 | 1 | SLU |
| -40 | Max | 0.00 | 1 | SLU | 0.00 | 1 | SLU | -0.03 | 36 | SLE Q | 0.00 | 14 | SLU | 0.00 | 26 | SLU | 0.00 | 1 | SLU |
| -40 | Min. | 0.00 | 1 | SLU | 0.00 | 1 | SLU | -0.05 | 33 | SLU | 0.00 | 28 | SLU | 0.00 | 16 | SLU | 0.00 | 1 | SLU |
| -39 | Max | 0.00 | 1 | SLU | 0.00 | 1 | SLU | -0.03 | 36 | SLE Q | 0.00 | 14 | SLU | 0.00 | 26 | SLU | 0.00 | 1 | SLU |
| -39 | Min. | 0.00 | 1 | SLU | 0.00 | 1 | SLU | -0.05 | 33 | SLU | 0.00 | 28 | SLU | 0.00 | 16 | SLU | 0.00 | 1 | SLU |
| -38 | Max | 0.00 | 1 | SLU | 0.00 | 1 | SLU | -0.03 | 36 | SLE Q | 0.00 | 14 | SLU | 0.00 | 33 | SLU | 0.00 | 1 | SLU |
| -38 | Min. | 0.00 | 1 | SLU | 0.00 | 1 | SLU | -0.05 | 33 | SLU | 0.00 | 28 | SLU | 0.00 | 16 | SLU | 0.00 | 1 | SLU |
| -37 | Max | 0.00 | 1 | SLU | 0.00 | 1 | SLU | -0.03 | 18 | SLU | 0.00 | 14 | SLU | 0.00 | 33 | SLU | 0.00 | 1 | SLU |
| -37 | Min. | 0.00 | 1 | SLU | 0.00 | 1 | SLU | -0.04 | 33 | SLU | 0.00 | 28 | SLU | 0.00 | 18 | SLU | 0.00 | 1 | SLU |
| -36 | Max | 0.00 | 1 | SLU | 0.00 | 1 | SLU | -0.03 | 36 | SLE Q | 0.00 | 14 | SLU | 0.00 | 16 | SLU | 0.00 | 1 | SLU |
| -36 | Min. | 0.00 | 1 | SLU | 0.00 | 1 | SLU | -0.04 | 33 | SLU | 0.00 | 28 | SLU | 0.00 | 26 | SLU | 0.00 | 1 | SLU |
| -35 | Max | 0.00 | 1 | SLU | 0.00 | 1 | SLU | -0.03 | 36 | SLE Q | 0.00 | 14 | SLU | 0.00 | 16 | SLU | 0.00 | 1 | SLU |
| -35 | Min. | 0.00 | 1 | SLU | 0.00 | 1 | SLU | -0.04 | 33 | SLU | 0.00 | 28 | SLU | 0.00 | 26 | SLU | 0.00 | 1 | SLU |
| -34 | Max | 0.00 | 1 | SLU | 0.00 | 1 | SLU | -0.03 | 36 | SLE Q | 0.00 | 14 | SLU | 0.00 | 16 | SLU | 0.00 | 1 | SLU |
| -34 | Min. | 0.00 | 1 | SLU | 0.00 | 1 | SLU | -0.04 | 33 | SLU | 0.00 | 28 | SLU | 0.00 | 26 | SLU | 0.00 | 1 | SLU |

Tabulato di calcolo

| | | | | | | | | | | | | | | | | | | | |
|-----|------|------|---|-----|------|---|-----|-------|----|-------|------|----|-----|------|----|-----|------|---|-----|
| -33 | Max | 0.00 | 1 | SLU | 0.00 | 1 | SLU | -0.03 | 36 | SLE Q | 0.00 | 14 | SLU | 0.00 | 16 | SLU | 0.00 | 1 | SLU |
| -33 | Min. | 0.00 | 1 | SLU | 0.00 | 1 | SLU | -0.04 | 33 | SLU | 0.00 | 28 | SLU | 0.00 | 26 | SLU | 0.00 | 1 | SLU |
| -32 | Max | 0.00 | 1 | SLU | 0.00 | 1 | SLU | -0.03 | 14 | SLU | 0.00 | 14 | SLU | 0.00 | 16 | SLU | 0.00 | 1 | SLU |
| -32 | Min. | 0.00 | 1 | SLU | 0.00 | 1 | SLU | -0.04 | 33 | SLU | 0.00 | 28 | SLU | 0.00 | 26 | SLU | 0.00 | 1 | SLU |
| -31 | Max | 0.00 | 1 | SLU | 0.00 | 1 | SLU | -0.03 | 14 | SLU | 0.00 | 14 | SLU | 0.00 | 16 | SLU | 0.00 | 1 | SLU |
| -31 | Min. | 0.00 | 1 | SLU | 0.00 | 1 | SLU | -0.04 | 33 | SLU | 0.00 | 28 | SLU | 0.00 | 26 | SLU | 0.00 | 1 | SLU |
| -30 | Max | 0.00 | 1 | SLU | 0.00 | 1 | SLU | -0.03 | 14 | SLU | 0.00 | 14 | SLU | 0.00 | 14 | SLU | 0.00 | 1 | SLU |
| -30 | Min. | 0.00 | 1 | SLU | 0.00 | 1 | SLU | -0.05 | 33 | SLU | 0.00 | 28 | SLU | 0.00 | 28 | SLU | 0.00 | 1 | SLU |
| -29 | Max | 0.00 | 1 | SLU | 0.00 | 1 | SLU | -0.03 | 14 | SLU | 0.00 | 14 | SLU | 0.00 | 14 | SLU | 0.00 | 1 | SLU |
| -29 | Min. | 0.00 | 1 | SLU | 0.00 | 1 | SLU | -0.04 | 33 | SLU | 0.00 | 28 | SLU | 0.00 | 28 | SLU | 0.00 | 1 | SLU |
| -28 | Max | 0.00 | 1 | SLU | 0.00 | 1 | SLU | -0.03 | 16 | SLU | 0.00 | 14 | SLU | 0.00 | 26 | SLU | 0.00 | 1 | SLU |
| -28 | Min. | 0.00 | 1 | SLU | 0.00 | 1 | SLU | -0.05 | 33 | SLU | 0.00 | 28 | SLU | 0.00 | 16 | SLU | 0.00 | 1 | SLU |
| -27 | Max | 0.00 | 1 | SLU | 0.00 | 1 | SLU | -0.03 | 36 | SLE Q | 0.00 | 14 | SLU | 0.00 | 14 | SLU | 0.00 | 1 | SLU |
| -27 | Min. | 0.00 | 1 | SLU | 0.00 | 1 | SLU | -0.04 | 33 | SLU | 0.00 | 28 | SLU | 0.00 | 28 | SLU | 0.00 | 1 | SLU |
| -26 | Max | 0.00 | 1 | SLU | 0.00 | 1 | SLU | -0.03 | 16 | SLU | 0.00 | 14 | SLU | 0.00 | 26 | SLU | 0.00 | 1 | SLU |
| -26 | Min. | 0.00 | 1 | SLU | 0.00 | 1 | SLU | -0.04 | 33 | SLU | 0.00 | 28 | SLU | 0.00 | 16 | SLU | 0.00 | 1 | SLU |
| -25 | Max | 0.00 | 1 | SLU | 0.00 | 1 | SLU | -0.03 | 36 | SLE Q | 0.00 | 14 | SLU | 0.00 | 14 | SLU | 0.00 | 1 | SLU |
| -25 | Min. | 0.00 | 1 | SLU | 0.00 | 1 | SLU | -0.04 | 33 | SLU | 0.00 | 28 | SLU | 0.00 | 28 | SLU | 0.00 | 1 | SLU |
| -24 | Max | 0.00 | 1 | SLU | 0.00 | 1 | SLU | -0.03 | 16 | SLU | 0.00 | 14 | SLU | 0.00 | 18 | SLU | 0.00 | 1 | SLU |
| -24 | Min. | 0.00 | 1 | SLU | 0.00 | 1 | SLU | -0.04 | 33 | SLU | 0.00 | 28 | SLU | 0.00 | 8 | SLU | 0.00 | 1 | SLU |
| -23 | Max | 0.00 | 1 | SLU | 0.00 | 1 | SLU | -0.02 | 26 | SLU | 0.00 | 14 | SLU | 0.00 | 14 | SLU | 0.00 | 1 | SLU |
| -23 | Min. | 0.00 | 1 | SLU | 0.00 | 1 | SLU | -0.03 | 33 | SLU | 0.00 | 28 | SLU | 0.00 | 28 | SLU | 0.00 | 1 | SLU |
| -22 | Max | 0.00 | 1 | SLU | 0.00 | 1 | SLU | -0.03 | 36 | SLE Q | 0.00 | 14 | SLU | 0.00 | 18 | SLU | 0.00 | 1 | SLU |
| -22 | Min. | 0.00 | 1 | SLU | 0.00 | 1 | SLU | -0.04 | 33 | SLU | 0.00 | 28 | SLU | 0.00 | 8 | SLU | 0.00 | 1 | SLU |
| -21 | Max | 0.00 | 1 | SLU | 0.00 | 1 | SLU | -0.02 | 26 | SLU | 0.00 | 16 | SLU | 0.00 | 14 | SLU | 0.00 | 1 | SLU |
| -21 | Min. | 0.00 | 1 | SLU | 0.00 | 1 | SLU | -0.03 | 16 | SLU | 0.00 | 26 | SLU | 0.00 | 28 | SLU | 0.00 | 1 | SLU |
| -20 | Max | 0.00 | 1 | SLU | 0.00 | 1 | SLU | -0.03 | 36 | SLE Q | 0.00 | 14 | SLU | 0.00 | 18 | SLU | 0.00 | 1 | SLU |
| -20 | Min. | 0.00 | 1 | SLU | 0.00 | 1 | SLU | -0.03 | 33 | SLU | 0.00 | 28 | SLU | 0.00 | 8 | SLU | 0.00 | 1 | SLU |
| -19 | Max | 0.00 | 1 | SLU | 0.00 | 1 | SLU | -0.02 | 26 | SLU | 0.00 | 22 | SLU | 0.00 | 14 | SLU | 0.00 | 1 | SLU |
| -19 | Min. | 0.00 | 1 | SLU | 0.00 | 1 | SLU | -0.03 | 16 | SLU | 0.00 | 4 | SLU | 0.00 | 28 | SLU | 0.00 | 1 | SLU |
| -18 | Max | 0.00 | 1 | SLU | 0.00 | 1 | SLU | -0.02 | 22 | SLU | 0.00 | 14 | SLU | 0.00 | 18 | SLU | 0.00 | 1 | SLU |
| -18 | Min. | 0.00 | 1 | SLU | 0.00 | 1 | SLU | -0.03 | 33 | SLU | 0.00 | 28 | SLU | 0.00 | 8 | SLU | 0.00 | 1 | SLU |
| -17 | Max | 0.00 | 1 | SLU | 0.00 | 1 | SLU | -0.02 | 22 | SLU | 0.00 | 14 | SLU | 0.00 | 18 | SLU | 0.00 | 1 | SLU |
| -17 | Min. | 0.00 | 1 | SLU | 0.00 | 1 | SLU | -0.03 | 4 | SLU | 0.00 | 28 | SLU | 0.00 | 8 | SLU | 0.00 | 1 | SLU |
| -16 | Max | 0.00 | 1 | SLU | 0.00 | 1 | SLU | -0.02 | 22 | SLU | 0.00 | 14 | SLU | 0.00 | 18 | SLU | 0.00 | 1 | SLU |
| -16 | Min. | 0.00 | 1 | SLU | 0.00 | 1 | SLU | -0.04 | 4 | SLU | 0.00 | 28 | SLU | 0.00 | 8 | SLU | 0.00 | 1 | SLU |
| -15 | Max | 0.00 | 1 | SLU | 0.00 | 1 | SLU | -0.02 | 22 | SLU | 0.00 | 30 | SLU | 0.00 | 20 | SLU | 0.00 | 1 | SLU |
| -15 | Min. | 0.00 | 1 | SLU | 0.00 | 1 | SLU | -0.04 | 4 | SLU | 0.00 | 12 | SLU | 0.00 | 6 | SLU | 0.00 | 1 | SLU |
| -14 | Max | 0.00 | 1 | SLU | 0.00 | 1 | SLU | -0.03 | 2 | SLU | 0.00 | 33 | SLU | 0.00 | 14 | SLU | 0.00 | 1 | SLU |
| -14 | Min. | 0.00 | 1 | SLU | 0.00 | 1 | SLU | -0.04 | 33 | SLU | 0.00 | 14 | SLU | 0.00 | 28 | SLU | 0.00 | 1 | SLU |
| -13 | Max | 0.00 | 1 | SLU | 0.00 | 1 | SLU | -0.02 | 22 | SLU | 0.00 | 30 | SLU | 0.00 | 20 | SLU | 0.00 | 1 | SLU |
| -13 | Min. | 0.00 | 1 | SLU | 0.00 | 1 | SLU | -0.04 | 4 | SLU | 0.00 | 12 | SLU | 0.00 | 6 | SLU | 0.00 | 1 | SLU |
| -12 | Max | 0.00 | 1 | SLU | 0.00 | 1 | SLU | -0.03 | 22 | SLU | 0.00 | 33 | SLU | 0.00 | 20 | SLU | 0.00 | 1 | SLU |
| -12 | Min. | 0.00 | 1 | SLU | 0.00 | 1 | SLU | -0.04 | 33 | SLU | 0.00 | 12 | SLU | 0.00 | 6 | SLU | 0.00 | 1 | SLU |
| -11 | Max | 0.00 | 1 | SLU | 0.00 | 1 | SLU | -0.03 | 28 | SLU | 0.00 | 33 | SLU | 0.00 | 4 | SLU | 0.00 | 1 | SLU |
| -11 | Min. | 0.00 | 1 | SLU | 0.00 | 1 | SLU | -0.04 | 33 | SLU | 0.00 | 12 | SLU | 0.00 | 22 | SLU | 0.00 | 1 | SLU |
| -10 | Max | 0.00 | 1 | SLU | 0.00 | 1 | SLU | -0.03 | 28 | SLU | 0.00 | 33 | SLU | 0.00 | 4 | SLU | 0.00 | 1 | SLU |
| -10 | Min. | 0.00 | 1 | SLU | 0.00 | 1 | SLU | -0.05 | 33 | SLU | 0.00 | 12 | SLU | 0.00 | 22 | SLU | 0.00 | 1 | SLU |
| -9 | Max | 0.00 | 1 | SLU | 0.00 | 1 | SLU | -0.03 | 36 | SLE Q | 0.00 | 33 | SLU | 0.00 | 4 | SLU | 0.00 | 1 | SLU |
| -9 | Min. | 0.00 | 1 | SLU | 0.00 | 1 | SLU | -0.05 | 33 | SLU | 0.00 | 12 | SLU | 0.00 | 22 | SLU | 0.00 | 1 | SLU |
| -8 | Max | 0.00 | 1 | SLU | 0.00 | 1 | SLU | -0.04 | 36 | SLE Q | 0.00 | 33 | SLU | 0.00 | 4 | SLU | 0.00 | 1 | SLU |
| -8 | Min. | 0.00 | 1 | SLU | 0.00 | 1 | SLU | -0.05 | 33 | SLU | 0.00 | 12 | SLU | 0.00 | 22 | SLU | 0.00 | 1 | SLU |
| -7 | Max | 0.00 | 1 | SLU | 0.00 | 1 | SLU | -0.04 | 36 | SLE Q | 0.00 | 33 | SLU | 0.00 | 4 | SLU | 0.00 | 1 | SLU |
| -7 | Min. | 0.00 | 1 | SLU | 0.00 | 1 | SLU | -0.05 | 33 | SLU | 0.00 | 4 | SLU | 0.00 | 22 | SLU | 0.00 | 1 | SLU |
| -6 | Max | 0.00 | 1 | SLU | 0.00 | 1 | SLU | -0.04 | 36 | SLE Q | 0.00 | 33 | SLU | 0.00 | 4 | SLU | 0.00 | 1 | SLU |
| -6 | Min. | 0.00 | 1 | SLU | 0.00 | 1 | SLU | -0.05 | 33 | SLU | 0.00 | 4 | SLU | 0.00 | 22 | SLU | 0.00 | 1 | SLU |
| -5 | Max | 0.00 | 1 | SLU | 0.00 | 1 | SLU | -0.04 | 36 | SLE Q | 0.00 | 33 | SLU | 0.00 | 4 | SLU | 0.00 | 1 | SLU |
| -5 | Min. | 0.00 | 1 | SLU | 0.00 | 1 | SLU | -0.05 | 33 | SLU | 0.00 | 4 | SLU | 0.00 | 22 | SLU | 0.00 | 1 | SLU |
| -4 | Max | 0.00 | 1 | SLU | 0.00 | 1 | SLU | -0.03 | 36 | SLE Q | 0.00 | 33 | SLU | 0.00 | 4 | SLU | 0.00 | 1 | SLU |
| -4 | Min. | 0.00 | 1 | SLU | 0.00 | 1 | SLU | -0.05 | 33 | SLU | 0.00 | 14 | SLU | 0.00 | 22 | SLU | 0.00 | 1 | SLU |
| -3 | Max | 0.00 | 1 | SLU | 0.00 | 1 | SLU | -0.03 | 2 | SLU | 0.00 | 33 | SLU | 0.00 | 4 | SLU | 0.00 | 1 | SLU |
| -3 | Min. | 0.00 | 1 | SLU | 0.00 | 1 | SLU | -0.05 | 33 | SLU | 0.00 | 14 | SLU | 0.00 | 22 | SLU | 0.00 | 1 | SLU |
| -2 | Max | 0.00 | 1 | SLU | 0.00 | 1 | SLU | -0.03 | 4 | SLU | 0.00 | 33 | SLU | 0.00 | 4 | SLU | 0.00 | 1 | SLU |
| -2 | Min. | 0.00 | 1 | SLU | 0.00 | 1 | SLU | -0.05 | 33 | SLU | 0.00 | 14 | SLU | 0.00 | 22 | SLU | 0.00 | 1 | SLU |
| -1 | Max | 0.00 | 1 | SLU | 0.00 | 1 | SLU | -0.03 | 4 | SLU | 0.00 | 33 | SLU | 0.00 | 14 | SLU | 0.00 | 1 | SLU |
| -1 | Min. | 0.00 | 1 | SLU | 0.00 | 1 | SLU | -0.05 | 33 | SLU | 0.00 | 14 | SLU | 0.00 | 28 | SLU | 0.00 | 1 | SLU |

Min = -0.05

Max = 0.00

Reazioni vincolari

Simbologia

CC = Numero della combinazione delle condizioni di carico elementari

Fx = Reazione vincolare (forza) in dir. X

Fy = Reazione vincolare (forza) in dir. Y

Fz = Reazione vincolare (forza) in dir. Z

Mx = Reazione vincolare (momento) intorno all'asse X

My = Reazione vincolare (momento) intorno all'asse Y

Mz = Reazione vincolare (momento) intorno all'asse Z

Nodo = Numero del nodo

Tabulato di calcolo

TCC = Tipo di combinazione di carico

SLU = Stato limite ultimo

SLE R = Stato limite d'esercizio, combinazione rara

SLE F = Stato limite d'esercizio, combinazione frequente

SLE Q = Stato limite d'esercizio, combinazione quasi permanente

| Nodo | CC | TCC | Fx <daN> | CC | TCC | Fy <daN> | CC | TCC | Fz <daN> | CC | TCC | Mx <daNm> | CC | TCC | My <daNm> | CC | TCC | Mz <daNm> |
|---------|----|-----|-------------|----|-----|-------------|----|-----|-------------|----|-----|--------------|----|-----|--------------|----|-----|--------------|
| -43 Max | 1 | SLU | 0.00 | 1 | SLU | 0.00 | 1 | SLU | 0.00 |
| -43 Min | 1 | SLU | 0.00 | 1 | SLU | 0.00 | 1 | SLU | 0.00 |
| -1 Max | 1 | SLU | 0.00 | 1 | SLU | 0.00 | 1 | SLU | 0.00 |
| -1 Min | 1 | SLU | 0.00 | 1 | SLU | 0.00 | 1 | SLU | 0.00 |

Tensioni sul terreno

Simbologia

σ_t = Tensione sul terreno

CC = Numero della combinazione delle condizioni di carico elementari

Nodo = Numero del nodo

TCC = Tipo di combinazione di carico

SLU = Stato limite ultimo

SLE R = Stato limite d'esercizio, combinazione rara

SLE F = Stato limite d'esercizio, combinazione frequente

SLE Q = Stato limite d'esercizio, combinazione quasi permanente

| Nodo | CC | TCC | σ_t <daN/cmq> |
|---------|----|-----|-------------------------|
| -43 Max | 33 | SLU | 0.39 |
| -41 Max | 33 | SLU | 0.39 |
| -39 Max | 33 | SLU | 0.37 |
| -37 Max | 33 | SLU | 0.33 |
| -35 Max | 33 | SLU | 0.30 |
| -33 Max | 33 | SLU | 0.30 |
| -31 Max | 33 | SLU | 0.34 |
| -29 Max | 33 | SLU | 0.33 |
| -27 Max | 33 | SLU | 0.30 |
| -25 Max | 33 | SLU | 0.28 |
| -23 Max | 33 | SLU | 0.25 |
| -21 Max | 16 | SLU | 0.25 |
| -19 Max | 16 | SLU | 0.24 |
| -17 Max | 4 | SLU | 0.27 |
| -15 Max | 4 | SLU | 0.30 |
| -13 Max | 4 | SLU | 0.32 |
| -11 Max | 33 | SLU | 0.34 |
| -9 Max | 33 | SLU | 0.37 |
| -7 Max | 33 | SLU | 0.39 |
| -5 Max | 33 | SLU | 0.39 |
| -3 Max | 33 | SLU | 0.37 |
| -1 Max | 33 | SLU | 0.34 |

| Nodo | CC | TCC | σ_t <daN/cmq> |
|----------|----|-------|-------------------------|
| -43 Min. | 16 | SLU | 0.22 |
| -41 Min. | 30 | SLU | 0.26 |
| -39 Min. | 36 | SLE Q | 0.25 |
| -37 Min. | 18 | SLU | 0.23 |
| -35 Min. | 36 | SLE Q | 0.21 |
| -33 Min. | 36 | SLE Q | 0.21 |
| -31 Min. | 14 | SLU | 0.21 |
| -29 Min. | 14 | SLU | 0.23 |
| -27 Min. | 36 | SLE Q | 0.22 |
| -25 Min. | 36 | SLE Q | 0.20 |
| -23 Min. | 26 | SLU | 0.18 |
| -21 Min. | 26 | SLU | 0.16 |
| -19 Min. | 26 | SLU | 0.15 |
| -17 Min. | 22 | SLU | 0.18 |
| -15 Min. | 22 | SLU | 0.18 |
| -13 Min. | 22 | SLU | 0.18 |
| -11 Min. | 28 | SLU | 0.22 |
| -9 Min. | 36 | SLE Q | 0.26 |
| -7 Min. | 36 | SLE Q | 0.27 |
| -5 Min. | 36 | SLE Q | 0.27 |
| -3 Min. | 2 | SLU | 0.26 |
| -1 Min. | 4 | SLU | 0.23 |

| Nodo | CC | TCC | σ_t <daN/cmq> |
|----------|----|-------|-------------------------|
| -42 Max | 33 | SLU | 0.39 |
| -40 Min. | 36 | SLE Q | 0.38 |
| -38 Max | 33 | SLU | 0.35 |
| -36 Max | 33 | SLU | 0.31 |
| -34 Max | 33 | SLU | 0.30 |
| -32 Max | 33 | SLU | 0.32 |
| -30 Max | 33 | SLU | 0.36 |
| -28 Max | 33 | SLU | 0.36 |
| -26 Max | 33 | SLU | 0.32 |
| -24 Max | 33 | SLU | 0.30 |
| -22 Max | 33 | SLU | 0.28 |
| -20 Max | 33 | SLU | 0.27 |
| -18 Max | 33 | SLU | 0.26 |
| -16 Max | 4 | SLU | 0.28 |
| -14 Max | 33 | SLU | 0.31 |
| -12 Max | 33 | SLU | 0.32 |
| -10 Max | 33 | SLU | 0.36 |
| -8 Max | 33 | SLU | 0.39 |
| -6 Max | 33 | SLU | 0.39 |
| -4 Max | 33 | SLU | 0.38 |
| -2 Max | 33 | SLU | 0.36 |

| Nodo | CC | TCC | σ_t <daN/cmq> |
|----------|----|-------|-------------------------|
| -42 Min. | 16 | SLU | 0.24 |
| -40 Min. | 36 | SLE Q | 0.26 |
| -38 Min. | 36 | SLE Q | 0.24 |
| -36 Min. | 36 | SLE Q | 0.22 |
| -34 Min. | 36 | SLE Q | 0.21 |
| -32 Min. | 14 | SLU | 0.21 |
| -30 Min. | 14 | SLU | 0.22 |
| -28 Min. | 16 | SLU | 0.22 |
| -26 Min. | 16 | SLU | 0.21 |
| -24 Min. | 16 | SLU | 0.21 |
| -22 Min. | 36 | SLE Q | 0.20 |
| -20 Min. | 36 | SLE Q | 0.19 |
| -18 Min. | 22 | SLU | 0.19 |
| -16 Min. | 22 | SLU | 0.18 |
| -14 Min. | 2 | SLU | 0.21 |
| -12 Min. | 22 | SLU | 0.20 |
| -10 Min. | 28 | SLU | 0.24 |
| -8 Min. | 36 | SLE Q | 0.27 |
| -6 Min. | 36 | SLE Q | 0.27 |
| -4 Min. | 36 | SLE Q | 0.26 |
| -2 Min. | 4 | SLU | 0.24 |

Sollecitazioni aste

Simbologia

Asta = Numero dell'asta

CC = Numero della combinazione delle condizioni di carico elementari

Mx = Momento torcente intorno all'asse X

My = Momento flettente intorno all'asse Y

Mz = Momento flettente intorno all'asse Z

N = Sforzo normale

N1 = Nodo1

N2 = Nodo2

Ty = Taglio in dir. Y

Tz = Taglio in dir. Z

X = Coordinata progressiva rispetto al nodo iniziale

Tipo di combinazione di carico: SLU

| Asta | N1 | N2 | X <cm> | N <daN> | CC | Ty <daN> | CC | Mz <daNm> | CC | Tz <daN> | CC | My <daNm> | CC | Mx <daNm> | CC |
|------|----|--------|-----------|------------|----|-------------|----|--------------|----|-------------|----|--------------|----|--------------|----|
| 401 | -1 | -2 Max | 0.00 | 0.00 | 1 | 0.00 | 1 | 0.00 | 1 | 385.08 | 33 | -236.80 | 16 | 147.00 | 14 |

Tabulato di calcolo

| | | | | | | | | | | | | | | | |
|-----|-----|---------|-------|------|---|------|---|------|---|----------|----|----------|----|---------|----|
| 401 | -1 | -2Max | 50.00 | 0.00 | 1 | 0.00 | 1 | 0.00 | 1 | 1699.73 | 33 | 129.01 | 16 | 147.00 | 14 |
| 401 | -1 | -2Min. | 0.00 | 0.00 | 1 | 0.00 | 1 | 0.00 | 1 | 200.78 | 28 | -544.16 | 33 | -518.86 | 28 |
| 401 | -1 | -2Min. | 50.00 | 0.00 | 1 | 0.00 | 1 | 0.00 | 1 | 912.95 | 2 | -160.75 | 26 | -518.86 | 28 |
| 401 | -2 | -3Max | 0.00 | 0.00 | 1 | 0.00 | 1 | 0.00 | 1 | 118.01 | 2 | 127.27 | 16 | 132.19 | 14 |
| 401 | -2 | -3Max | 6.99 | | | | | | | | | 122.68 | 16 | | |
| 401 | -2 | -3Max | 50.00 | 0.00 | 1 | 0.00 | 1 | 0.00 | 1 | 1359.18 | 33 | 300.07 | 16 | 132.19 | 14 |
| 401 | -2 | -3Min. | 0.00 | 0.00 | 1 | 0.00 | 1 | 0.00 | 1 | -174.29 | 24 | -163.72 | 26 | -504.52 | 28 |
| 401 | -2 | -3Min. | 0.50 | | | | | | | | | -94.19 | 27 | | |
| 401 | -2 | -3Min. | 50.00 | 0.00 | 1 | 0.00 | 1 | 0.00 | 1 | 787.28 | 4 | 85.27 | 26 | -504.52 | 28 |
| 401 | -3 | -4Max | 0.00 | 0.00 | 1 | 0.00 | 1 | 0.00 | 1 | -62.29 | 10 | 299.25 | 16 | 120.67 | 14 |
| 401 | -3 | -4Max | 11.40 | | | | | | | | | 275.41 | 33 | | |
| 401 | -3 | -4Max | 50.00 | 0.00 | 1 | 0.00 | 1 | 0.00 | 1 | 1148.96 | 33 | 495.66 | 33 | 120.67 | 14 |
| 401 | -3 | -4Min. | 0.00 | 0.00 | 1 | 0.00 | 1 | 0.00 | 1 | -384.13 | 32 | 84.10 | 26 | -491.49 | 28 |
| 401 | -3 | -4Min. | 3.96 | | | | | | | | | 82.72 | 26 | | |
| 401 | -3 | -4Min. | 50.00 | 0.00 | 1 | 0.00 | 1 | 0.00 | 1 | 627.91 | 14 | 250.62 | 18 | -491.49 | 28 |
| 401 | -4 | -5Max | 0.00 | 0.00 | 1 | 0.00 | 1 | 0.00 | 1 | -206.04 | 10 | 494.42 | 33 | 111.21 | 14 |
| 401 | -4 | -5Max | 17.98 | | | | | | | | | 444.91 | 33 | | |
| 401 | -4 | -5Max | 50.00 | 0.00 | 1 | 0.00 | 1 | 0.00 | 1 | 993.97 | 33 | 603.51 | 33 | 111.21 | 14 |
| 401 | -4 | -5Min. | 0.00 | 0.00 | 1 | 0.00 | 1 | 0.00 | 1 | -549.25 | 33 | 250.68 | 18 | -479.74 | 28 |
| 401 | -4 | -5Min. | 14.56 | | | | | | | | | 232.41 | 18 | | |
| 401 | -4 | -5Min. | 50.00 | 0.00 | 1 | 0.00 | 1 | 0.00 | 1 | 529.76 | 14 | 324.05 | 20 | -479.74 | 28 |
| 401 | -5 | -6Max | 0.00 | 0.00 | 1 | 0.00 | 1 | 0.00 | 1 | -341.01 | 10 | 602.75 | 33 | 103.14 | 14 |
| 401 | -5 | -6Max | 22.58 | | | | | | | | | 522.44 | 33 | | |
| 401 | -5 | -6Max | 50.00 | 0.00 | 1 | 0.00 | 1 | 0.00 | 1 | 868.44 | 33 | 641.41 | 33 | 103.14 | 14 |
| 401 | -5 | -6Min. | 0.00 | 0.00 | 1 | 0.00 | 1 | 0.00 | 1 | -710.37 | 33 | 324.45 | 20 | -469.26 | 28 |
| 401 | -5 | -6Min. | 27.59 | | | | | | | | | 252.85 | 30 | | |
| 401 | -5 | -6Min. | 50.00 | 0.00 | 1 | 0.00 | 1 | 0.00 | 1 | 479.18 | 14 | 306.80 | 30 | -469.26 | 28 |
| 401 | -6 | -7Max | 0.00 | 0.00 | 1 | 0.00 | 1 | 0.00 | 1 | -458.25 | 12 | 640.81 | 33 | 96.15 | 14 |
| 401 | -6 | -7Max | 26.14 | | | | | | | | | 532.45 | 33 | | |
| 401 | -6 | -7Max | 50.00 | 0.00 | 1 | 0.00 | 1 | 0.00 | 1 | 753.98 | 33 | 622.49 | 33 | 96.15 | 14 |
| 401 | -6 | -7Min. | 0.00 | 0.00 | 1 | 0.00 | 1 | 0.00 | 1 | -829.24 | 33 | 306.92 | 30 | -459.82 | 28 |
| 401 | -6 | -7Min. | 29.17 | | | | | | | | | 213.39 | 30 | | |
| 401 | -6 | -7Min. | 50.00 | 0.00 | 1 | 0.00 | 1 | 0.00 | 1 | 441.44 | 4 | 261.39 | 30 | -459.82 | 28 |
| 401 | -7 | -8Max | 0.00 | 0.00 | 1 | 0.00 | 1 | 0.00 | 1 | -547.44 | 12 | 622.05 | 33 | 89.98 | 14 |
| 401 | -7 | -8Max | 29.32 | | | | | | | | | 487.98 | 33 | | |
| 401 | -7 | -8Max | 50.00 | 0.00 | 1 | 0.00 | 1 | 0.00 | 1 | 638.59 | 33 | 554.21 | 33 | 89.98 | 14 |
| 401 | -7 | -8Min. | 0.00 | 0.00 | 1 | 0.00 | 1 | 0.00 | 1 | -917.12 | 33 | 261.60 | 30 | -451.19 | 28 |
| 401 | -7 | -8Min. | 29.63 | | | | | | | | | 164.03 | 30 | | |
| 401 | -7 | -8Min. | 50.00 | 0.00 | 1 | 0.00 | 1 | 0.00 | 1 | 356.02 | 26 | 211.32 | 30 | -451.19 | 28 |
| 401 | -8 | -9Max | 0.00 | 0.00 | 1 | 0.00 | 1 | 0.00 | 1 | -591.68 | 6 | 553.94 | 33 | 84.41 | 14 |
| 401 | -8 | -9Max | 32.48 | | | | | | | | | 395.38 | 33 | | |
| 401 | -8 | -9Max | 50.00 | 0.00 | 1 | 0.00 | 1 | 0.00 | 1 | 517.45 | 33 | 440.89 | 33 | 84.41 | 14 |
| 401 | -8 | -9Min. | 0.00 | 0.00 | 1 | 0.00 | 1 | 0.00 | 1 | -981.35 | 33 | 211.63 | 30 | -443.13 | 28 |
| 401 | -8 | -9Min. | 29.18 | | | | | | | | | 115.27 | 30 | | |
| 401 | -8 | -9Min. | 50.00 | 0.00 | 1 | 0.00 | 1 | 0.00 | 1 | 206.13 | 28 | 156.24 | 20 | -443.13 | 28 |
| 401 | -9 | -10Max | 0.00 | 0.00 | 1 | 0.00 | 1 | 0.00 | 1 | -593.37 | 8 | 440.89 | 33 | 79.11 | 14 |
| 401 | -9 | -10Max | 35.73 | | | | | | | | | 259.73 | 33 | | |
| 401 | -9 | -10Max | 50.00 | 0.00 | 1 | 0.00 | 1 | 0.00 | 1 | 505.45 | 14 | 288.06 | 33 | 79.11 | 14 |
| 401 | -9 | -10Min. | 0.00 | 0.00 | 1 | 0.00 | 1 | 0.00 | 1 | -1021.98 | 33 | 157.11 | 20 | -435.41 | 28 |
| 401 | -9 | -10Min. | 32.29 | | | | | | | | | 42.12 | 20 | | |
| 401 | -9 | -10Min. | 50.00 | 0.00 | 1 | 0.00 | 1 | 0.00 | 1 | 35.15 | 28 | 76.83 | 20 | -435.41 | 28 |
| 401 | -10 | -11Max | 0.00 | 0.00 | 1 | 0.00 | 1 | 0.00 | 1 | -558.28 | 16 | 288.60 | 33 | 74.63 | 4 |
| 401 | -10 | -11Max | 37.49 | | | | | | | | | 151.75 | 8 | | |
| 401 | -10 | -11Max | 50.00 | 0.00 | 1 | 0.00 | 1 | 0.00 | 1 | 544.12 | 14 | 175.17 | 16 | 74.63 | 4 |
| 401 | -10 | -11Min. | 0.00 | 0.00 | 1 | 0.00 | 1 | 0.00 | 1 | -1030.80 | 33 | 78.21 | 20 | -428.75 | 22 |
| 401 | -10 | -11Min. | 38.03 | | | | | | | | | -60.76 | 18 | | |
| 401 | -10 | -11Min. | 50.00 | 0.00 | 1 | 0.00 | 1 | 0.00 | 1 | -126.06 | 28 | -58.54 | 26 | -428.75 | 22 |
| 401 | -11 | -12Max | 0.00 | 0.00 | 1 | 0.00 | 1 | 0.00 | 1 | -505.56 | 16 | 175.18 | 16 | 70.14 | 4 |
| 401 | -11 | -12Max | 25.41 | | | | | | | | | 111.24 | 16 | | |
| 401 | -11 | -12Max | 50.00 | 0.00 | 1 | 0.00 | 1 | 0.00 | 1 | 582.52 | 14 | 170.20 | 16 | 70.14 | 4 |
| 401 | -11 | -12Min. | 0.00 | 0.00 | 1 | 0.00 | 1 | 0.00 | 1 | -990.97 | 33 | -57.10 | 26 | -422.89 | 22 |
| 401 | -11 | -12Min. | 37.88 | | | | | | | | | -185.93 | 18 | | |
| 401 | -11 | -12Min. | 50.00 | 0.00 | 1 | 0.00 | 1 | 0.00 | 1 | -234.31 | 28 | -280.74 | 26 | -422.89 | 22 |
| 401 | -12 | -13Max | 0.00 | 0.00 | 1 | 0.00 | 1 | 0.00 | 1 | -420.97 | 8 | 170.78 | 16 | 62.13 | 4 |
| 401 | -12 | -13Max | 25.54 | | | | | | | | | 109.60 | 16 | | |
| 401 | -12 | -13Max | 50.00 | 0.00 | 1 | 0.00 | 1 | 0.00 | 1 | 546.91 | 14 | 164.63 | 16 | 62.13 | 4 |
| 401 | -12 | -13Min. | 0.00 | 0.00 | 1 | 0.00 | 1 | 0.00 | 1 | -904.31 | 33 | -277.18 | 26 | -414.51 | 22 |
| 401 | -12 | -13Min. | 38.15 | | | | | | | | | -310.54 | 18 | | |
| 401 | -12 | -13Min. | 50.00 | 0.00 | 1 | 0.00 | 1 | 0.00 | 1 | -208.86 | 28 | -474.71 | 26 | -414.51 | 22 |
| 402 | -31 | -30Max | 0.00 | 0.00 | 1 | 0.00 | 1 | 0.00 | 1 | 579.85 | 16 | 163.17 | 26 | 92.54 | 28 |
| 402 | -31 | -30Max | 45.00 | 0.00 | 1 | 0.00 | 1 | 0.00 | 1 | 1637.30 | 33 | 415.42 | 33 | 92.54 | 28 |
| 402 | -31 | -30Min. | 0.00 | 0.00 | 1 | 0.00 | 1 | 0.00 | 1 | 15.76 | 26 | -222.22 | 16 | -172.50 | 14 |
| 402 | -31 | -30Min. | 45.00 | 0.00 | 1 | 0.00 | 1 | 0.00 | 1 | 941.83 | 20 | 151.75 | 16 | -172.50 | 14 |
| 402 | -32 | -31Max | 0.00 | 0.00 | 1 | 0.00 | 1 | 0.00 | 1 | 830.74 | 33 | -220.07 | 18 | 112.95 | 28 |
| 402 | -32 | -31Max | 45.00 | 0.00 | 1 | 0.00 | 1 | 0.00 | 1 | 1891.90 | 33 | 161.80 | 26 | 112.95 | 28 |
| 402 | -32 | -31Min. | 0.00 | 0.00 | 1 | 0.00 | 1 | 0.00 | 1 | 415.83 | 20 | -666.99 | 33 | -186.52 | 14 |
| 402 | -32 | -31Min. | 45.00 | 0.00 | 1 | 0.00 | 1 | 0.00 | 1 | 895.74 | 14 | -226.56 | 16 | -186.52 | 14 |
| 402 | -33 | -32Max | 0.00 | 0.00 | 1 | 0.00 | 1 | 0.00 | 1 | 724.66 | 26 | -553.33 | 20 | 125.80 | 28 |
| 402 | -33 | -32Max | 42.00 | 0.00 | 1 | 0.00 | 1 | 0.00 | 1 | 1561.10 | 33 | -220.00 | 18 | 125.80 | 28 |
| 402 | -33 | -32Min. | 0.00 | 0.00 | 1 | 0.00 | 1 | 0.00 | 1 | 99.36 | 16 | -1131.03 | 33 | -192.92 | 14 |
| 402 | -33 | -32Min. | 42.00 | 0.00 | 1 | 0.00 | 1 | 0.00 | 1 | 570.05 | 16 | -667.93 | 33 | -192.92 | 14 |

Tabulato di calcolo

| | | | | | | | | | | | | | | | |
|-----|-----|---------|-------|------|---|------|---|------|---|----------|----|----------|----|---------|----|
| 402 | -34 | -33Max | 0.00 | 0.00 | 1 | 0.00 | 1 | 0.00 | 1 | 519.24 | 26 | -587.55 | 14 | 135.55 | 28 |
| 402 | -34 | -33Max | 27.59 | | | | | | | | | -628.04 | 14 | | |
| 402 | -34 | -33Max | 42.00 | 0.00 | 1 | 0.00 | 1 | 0.00 | 1 | 1149.79 | 26 | -552.70 | 20 | 135.55 | 28 |
| 402 | -34 | -33Min. | 0.00 | 0.00 | 1 | 0.00 | 1 | 0.00 | 1 | -450.86 | 16 | -1332.77 | 33 | -197.28 | 14 |
| 402 | -34 | -33Min. | 4.88 | | | | | | | | | -991.79 | 22 | | |
| 402 | -34 | -33Min. | 42.00 | 0.00 | 1 | 0.00 | 1 | 0.00 | 1 | 48.61 | 16 | -1130.17 | 33 | -197.28 | 14 |
| 402 | -35 | -34Max | 0.00 | 0.00 | 1 | 0.00 | 1 | 0.00 | 1 | 86.80 | 26 | -322.35 | 16 | 143.04 | 28 |
| 402 | -35 | -34Max | 24.82 | | | | | | | | | -731.07 | 4 | | |
| 402 | -35 | -34Max | 42.00 | 0.00 | 1 | 0.00 | 1 | 0.00 | 1 | 650.96 | 26 | -588.13 | 14 | 143.04 | 28 |
| 402 | -35 | -34Min. | 0.00 | 0.00 | 1 | 0.00 | 1 | 0.00 | 1 | -992.78 | 16 | -1237.75 | 26 | -200.65 | 14 |
| 402 | -35 | -34Min. | 35.38 | | | | | | | | | -1337.95 | 33 | | |
| 402 | -35 | -34Min. | 42.00 | 0.00 | 1 | 0.00 | 1 | 0.00 | 1 | -442.30 | 16 | -1333.57 | 33 | -200.65 | 14 |
| 402 | -36 | -35Max | 0.00 | 0.00 | 1 | 0.00 | 1 | 0.00 | 1 | -369.75 | 18 | 124.94 | 16 | 149.12 | 28 |
| 402 | -36 | -35Max | 40.33 | | | | | | | | | -946.05 | 2 | | |
| 402 | -36 | -35Max | 42.00 | 0.00 | 1 | 0.00 | 1 | 0.00 | 1 | 136.54 | 26 | -323.25 | 16 | 149.12 | 28 |
| 402 | -36 | -35Min. | 0.00 | 0.00 | 1 | 0.00 | 1 | 0.00 | 1 | -1412.45 | 8 | -1182.71 | 26 | -203.82 | 14 |
| 402 | -36 | -35Min. | 31.39 | | | | | | | | | -1245.57 | 26 | | |
| 402 | -36 | -35Min. | 42.00 | 0.00 | 1 | 0.00 | 1 | 0.00 | 1 | -764.32 | 16 | -1238.34 | 26 | -203.82 | 14 |
| 402 | -37 | -36Max | 0.00 | 0.00 | 1 | 0.00 | 1 | 0.00 | 1 | -718.91 | 18 | 593.84 | 16 | 154.62 | 28 |
| 402 | -37 | -36Max | 42.00 | 0.00 | 1 | 0.00 | 1 | 0.00 | 1 | -247.02 | 26 | 121.97 | 16 | 154.62 | 28 |
| 402 | -37 | -36Min. | 0.00 | 0.00 | 1 | 0.00 | 1 | 0.00 | 1 | -1789.27 | 33 | -966.79 | 26 | -207.17 | 14 |
| 402 | -37 | -36Min. | 42.00 | 0.00 | 1 | 0.00 | 1 | 0.00 | 1 | -841.67 | 33 | -1184.98 | 26 | -207.17 | 14 |
| 402 | -38 | -37Max | 0.00 | 0.00 | 1 | 0.00 | 1 | 0.00 | 1 | -957.50 | 18 | 994.96 | 16 | 160.67 | 28 |
| 402 | -38 | -37Max | 50.00 | 0.00 | 1 | 0.00 | 1 | 0.00 | 1 | -324.07 | 4 | 591.48 | 16 | 160.67 | 28 |
| 402 | -38 | -37Min. | 0.00 | 0.00 | 1 | 0.00 | 1 | 0.00 | 1 | -1836.95 | 33 | -612.43 | 26 | -211.23 | 14 |
| 402 | -38 | -37Min. | 50.00 | 0.00 | 1 | 0.00 | 1 | 0.00 | 1 | -594.44 | 33 | -967.75 | 26 | -211.23 | 14 |
| 402 | -39 | -38Max | 0.00 | 0.00 | 1 | 0.00 | 1 | 0.00 | 1 | -678.21 | 14 | 1105.56 | 16 | 167.47 | 28 |
| 402 | -39 | -38Max | 36.95 | | | | | | | | | 977.36 | 16 | | |
| 402 | -39 | -38Max | 50.00 | 0.00 | 1 | 0.00 | 1 | 0.00 | 1 | 243.08 | 16 | 993.26 | 16 | 167.47 | 28 |
| 402 | -39 | -38Min. | 0.00 | 0.00 | 1 | 0.00 | 1 | 0.00 | 1 | -1398.46 | 33 | -278.75 | 26 | -215.90 | 14 |
| 402 | -39 | -38Min. | 48.62 | | | | | | | | | 300.50 | 21 | | |
| 402 | -39 | -38Min. | 50.00 | 0.00 | 1 | 0.00 | 1 | 0.00 | 1 | -261.11 | 26 | -613.72 | 26 | -215.90 | 14 |
| 402 | -40 | -39Max | 0.00 | 0.00 | 1 | 0.00 | 1 | 0.00 | 1 | -121.23 | 16 | 938.76 | 16 | 174.66 | 28 |
| 402 | -40 | -39Max | 6.70 | | | | | | | | | 934.69 | 16 | | |
| 402 | -40 | -39Max | 50.00 | 0.00 | 1 | 0.00 | 1 | 0.00 | 1 | 802.95 | 16 | 1107.41 | 16 | 174.66 | 28 |
| 402 | -40 | -39Min. | 0.00 | 0.00 | 1 | 0.00 | 1 | 0.00 | 1 | -1018.10 | 26 | -19.62 | 26 | -220.66 | 14 |
| 402 | -40 | -39Min. | 48.48 | | | | | | | | | -187.18 | 10 | | |
| 402 | -40 | -39Min. | 50.00 | 0.00 | 1 | 0.00 | 1 | 0.00 | 1 | -33.74 | 26 | -276.22 | 26 | -220.66 | 14 |
| 402 | -41 | -40Max | 0.00 | 0.00 | 1 | 0.00 | 1 | 0.00 | 1 | 254.52 | 16 | 619.40 | 8 | 182.58 | 28 |
| 402 | -41 | -40Max | 2.80 | | | | | | | | | 586.39 | 24 | | |
| 402 | -41 | -40Max | 50.00 | 0.00 | 1 | 0.00 | 1 | 0.00 | 1 | 1110.16 | 16 | 938.91 | 16 | 182.58 | 28 |
| 402 | -41 | -40Min. | 0.00 | 0.00 | 1 | 0.00 | 1 | 0.00 | 1 | -919.39 | 26 | 133.19 | 18 | -225.29 | 14 |
| 402 | -41 | -40Min. | 39.62 | | | | | | | | | -28.54 | 26 | | |
| 402 | -41 | -40Min. | 50.00 | 0.00 | 1 | 0.00 | 1 | 0.00 | 1 | 220.44 | 26 | -17.21 | 26 | -225.29 | 14 |
| 402 | -42 | -41Max | 0.00 | 0.00 | 1 | 0.00 | 1 | 0.00 | 1 | 459.76 | 16 | 392.56 | 33 | 192.64 | 28 |
| 402 | -42 | -41Max | 10.38 | | | | | | | | | 375.47 | 33 | | |
| 402 | -42 | -41Max | 50.00 | 0.00 | 1 | 0.00 | 1 | 0.00 | 1 | 1233.32 | 33 | 619.88 | 8 | 192.64 | 28 |
| 402 | -42 | -41Min. | 0.00 | 0.00 | 1 | 0.00 | 1 | 0.00 | 1 | -930.04 | 26 | 136.71 | 20 | -229.81 | 14 |
| 402 | -42 | -41Min. | 28.77 | | | | | | | | | 89.37 | 18 | | |
| 402 | -42 | -41Min. | 50.00 | 0.00 | 1 | 0.00 | 1 | 0.00 | 1 | 364.43 | 26 | 138.07 | 18 | -229.81 | 14 |
| 402 | -43 | -42Max | 0.00 | 0.00 | 1 | 0.00 | 1 | 0.00 | 1 | 449.47 | 16 | 392.05 | 28 | 208.41 | 28 |
| 402 | -43 | -42Max | 28.36 | | | | | | | | | 278.81 | 28 | | |
| 402 | -43 | -42Max | 50.00 | 0.00 | 1 | 0.00 | 1 | 0.00 | 1 | 1269.13 | 33 | 398.45 | 33 | 208.41 | 28 |
| 402 | -43 | -42Min. | 0.00 | 0.00 | 1 | 0.00 | 1 | 0.00 | 1 | -888.91 | 26 | -197.31 | 14 | -236.63 | 14 |
| 402 | -43 | -42Min. | 7.69 | | | | | | | | | -30.18 | 4 | | |
| 402 | -43 | -42Min. | 50.00 | 0.00 | 1 | 0.00 | 1 | 0.00 | 1 | 550.81 | 26 | 143.43 | 20 | -236.63 | 14 |
| 403 | -13 | -15Max | 0.00 | 0.00 | 1 | 0.00 | 1 | 0.00 | 1 | -150.81 | 22 | 56.61 | 4 | 469.04 | 26 |
| 403 | -13 | -15Max | 38.29 | | | | | | | | | -105.77 | 14 | | |
| 403 | -13 | -15Max | 50.00 | 0.00 | 1 | 0.00 | 1 | 0.00 | 1 | 256.96 | 32 | -91.98 | 14 | 469.04 | 26 |
| 403 | -13 | -15Min. | 0.00 | 0.00 | 1 | 0.00 | 1 | 0.00 | 1 | -962.28 | 4 | -407.81 | 22 | -172.28 | 16 |
| 403 | -13 | -15Min. | 45.19 | | | | | | | | | -465.89 | 28 | | |
| 403 | -13 | -15Min. | 50.00 | 0.00 | 1 | 0.00 | 1 | 0.00 | 1 | 8.23 | 10 | -465.13 | 28 | -172.28 | 16 |
| 403 | -15 | -16Max | 0.00 | 0.00 | 1 | 0.00 | 1 | 0.00 | 1 | -52.28 | 22 | -93.44 | 14 | 464.21 | 26 |
| 403 | -15 | -16Max | 35.60 | | | | | | | | | -232.63 | 16 | | |
| 403 | -15 | -16Max | 50.00 | 0.00 | 1 | 0.00 | 1 | 0.00 | 1 | 244.22 | 24 | -217.70 | 16 | 464.21 | 26 |
| 403 | -15 | -16Min. | 0.00 | 0.00 | 1 | 0.00 | 1 | 0.00 | 1 | -884.35 | 4 | -461.03 | 28 | -179.44 | 16 |
| 403 | -15 | -16Min. | 39.22 | | | | | | | | | -577.68 | 33 | | |
| 403 | -15 | -16Min. | 50.00 | 0.00 | 1 | 0.00 | 1 | 0.00 | 1 | 68.19 | 2 | -567.56 | 33 | -179.44 | 16 |
| 403 | -16 | -17Max | 0.00 | 0.00 | 1 | 0.00 | 1 | 0.00 | 1 | -77.07 | 22 | -218.20 | 16 | 462.34 | 26 |
| 403 | -16 | -17Max | 21.46 | | | | | | | | | -292.92 | 8 | | |
| 403 | -16 | -17Max | 50.00 | 0.00 | 1 | 0.00 | 1 | 0.00 | 1 | 228.56 | 24 | -261.41 | 8 | 462.34 | 26 |
| 403 | -16 | -17Min. | 0.00 | 0.00 | 1 | 0.00 | 1 | 0.00 | 1 | -725.14 | 4 | -566.19 | 33 | -182.01 | 16 |
| 403 | -16 | -17Min. | 36.29 | | | | | | | | | -674.69 | 33 | | |
| 403 | -16 | -17Min. | 50.00 | 0.00 | 1 | 0.00 | 1 | 0.00 | 1 | 127.52 | 2 | -659.49 | 33 | -182.01 | 16 |
| 403 | -17 | -18Max | 0.00 | 0.00 | 1 | 0.00 | 1 | 0.00 | 1 | -145.45 | 22 | -260.64 | 8 | 458.34 | 26 |
| 403 | -17 | -18Max | 25.62 | | | | | | | | | -285.93 | 8 | | |
| 403 | -17 | -18Max | 50.00 | 0.00 | 1 | 0.00 | 1 | 0.00 | 1 | 259.55 | 33 | -262.91 | 8 | 458.34 | 26 |
| 403 | -17 | -18Min. | 0.00 | 0.00 | 1 | 0.00 | 1 | 0.00 | 1 | -566.82 | 4 | -658.46 | 33 | -180.70 | 16 |
| 403 | -17 | -18Min. | 33.46 | | | | | | | | | -746.78 | 33 | | |
| 403 | -17 | -18Min. | 50.00 | 0.00 | 1 | 0.00 | 1 | 0.00 | 1 | 176.73 | 12 | -725.32 | 33 | -180.70 | 16 |
| 403 | -18 | -20Max | 0.00 | 0.00 | 1 | 0.00 | 1 | 0.00 | 1 | -217.73 | 22 | -262.33 | 8 | 454.38 | 26 |

Tabulato di calcolo

| | | | | | | | | | | | | | | | | |
|-----|-----|-----|------|--------|------|---|------|---|------|---|----------|----------|----------|----|---------|----|
| 403 | -18 | -20 | Max | 29.62 | | | | | | | | -297.56 | 8 | | | |
| 403 | -18 | -20 | Max | 50.00 | 0.00 | 1 | 0.00 | 1 | 0.00 | 1 | 322.89 | 33 | -280.92 | 8 | 454.38 | 26 |
| 403 | -18 | -20 | Min. | 0.00 | 0.00 | 1 | 0.00 | 1 | 0.00 | 1 | -471.88 | 33 | -724.65 | 33 | -179.08 | 16 |
| 403 | -18 | -20 | Min. | 30.00 | | | | | | | | -795.37 | 33 | | | |
| 403 | -18 | -20 | Min. | 50.00 | 0.00 | 1 | 0.00 | 1 | 0.00 | 1 | 165.12 | 8 | -763.03 | 33 | -179.08 | 16 |
| 403 | -20 | -22 | Max | 0.00 | 0.00 | 1 | 0.00 | 1 | 0.00 | 1 | -241.48 | 32 | -280.47 | 8 | 449.83 | 26 |
| 403 | -20 | -22 | Max | 30.00 | | | | | | | | -319.31 | 8 | | | |
| 403 | -20 | -22 | Max | 50.00 | 0.00 | 1 | 0.00 | 1 | 0.00 | 1 | 430.62 | 33 | -301.95 | 8 | 449.83 | 26 |
| 403 | -20 | -22 | Min. | 0.00 | 0.00 | 1 | 0.00 | 1 | 0.00 | 1 | -413.72 | 33 | -762.69 | 33 | -177.15 | 16 |
| 403 | -20 | -22 | Min. | 25.03 | | | | | | | | -814.79 | 33 | | | |
| 403 | -20 | -22 | Min. | 50.00 | 0.00 | 1 | 0.00 | 1 | 0.00 | 1 | 176.10 | 8 | -761.47 | 33 | -177.15 | 16 |
| 403 | -22 | -24 | Max | 0.00 | 0.00 | 1 | 0.00 | 1 | 0.00 | 1 | -147.40 | 14 | -301.57 | 8 | 444.07 | 26 |
| 403 | -22 | -24 | Max | 26.74 | | | | | | | | -335.31 | 8 | | | |
| 403 | -22 | -24 | Max | 50.00 | 0.00 | 1 | 0.00 | 1 | 0.00 | 1 | 599.76 | 33 | -301.34 | 16 | 444.07 | 26 |
| 403 | -22 | -24 | Min. | 0.00 | 0.00 | 1 | 0.00 | 1 | 0.00 | 1 | -344.22 | 28 | -761.40 | 33 | -175.12 | 16 |
| 403 | -22 | -24 | Min. | 18.74 | | | | | | | | -793.47 | 33 | | | |
| 403 | -22 | -24 | Min. | 50.00 | 0.00 | 1 | 0.00 | 1 | 0.00 | 1 | 230.12 | 8 | -701.12 | 33 | -175.12 | 16 |
| 403 | -24 | -26 | Max | 0.00 | 0.00 | 1 | 0.00 | 1 | 0.00 | 1 | -33.71 | 14 | -302.29 | 16 | 438.94 | 28 |
| 403 | -24 | -26 | Max | 7.29 | | | | | | | | -304.85 | 16 | | | |
| 403 | -24 | -26 | Max | 50.00 | 0.00 | 1 | 0.00 | 1 | 0.00 | 1 | 839.83 | 33 | -216.43 | 16 | 438.94 | 28 |
| 403 | -24 | -26 | Min. | 0.00 | 0.00 | 1 | 0.00 | 1 | 0.00 | 1 | -335.22 | 28 | -701.32 | 33 | -175.96 | 14 |
| 403 | -24 | -26 | Min. | 11.60 | | | | | | | | -715.20 | 33 | | | |
| 403 | -24 | -26 | Min. | 50.00 | 0.00 | 1 | 0.00 | 1 | 0.00 | 1 | 343.23 | 24 | -557.22 | 33 | -175.96 | 14 |
| 403 | -26 | -28 | Max | 0.00 | 0.00 | 1 | 0.00 | 1 | 0.00 | 1 | 105.36 | 14 | -217.44 | 16 | 429.96 | 28 |
| 403 | -26 | -28 | Max | 7.85 | | | | | | | | -278.34 | 8 | | | |
| 403 | -26 | -28 | Max | 50.00 | 0.00 | 1 | 0.00 | 1 | 0.00 | 1 | 1143.26 | 33 | -39.22 | 14 | 429.96 | 28 |
| 403 | -26 | -28 | Min. | 0.00 | 0.00 | 1 | 0.00 | 1 | 0.00 | 1 | -316.66 | 28 | -557.50 | 33 | -178.41 | 14 |
| 403 | -26 | -28 | Min. | 4.67 | | | | | | | | -560.07 | 33 | | | |
| 403 | -26 | -28 | Min. | 50.00 | 0.00 | 1 | 0.00 | 1 | 0.00 | 1 | 529.31 | 24 | -343.01 | 28 | -178.41 | 14 |
| 403 | -28 | -43 | Max | 0.00 | 0.00 | 1 | 0.00 | 1 | 0.00 | 1 | 279.34 | 16 | -42.86 | 14 | 410.30 | 28 |
| 403 | -28 | -43 | Max | 0.50 | | | | | | | | -151.07 | 19 | | | |
| 403 | -28 | -43 | Max | 50.00 | 0.00 | 1 | 0.00 | 1 | 0.00 | 1 | 1413.76 | 33 | 243.90 | 14 | 410.30 | 28 |
| 403 | -28 | -43 | Min. | 0.00 | 0.00 | 1 | 0.00 | 1 | 0.00 | 1 | -403.77 | 26 | -341.34 | 28 | -187.07 | 14 |
| 403 | -28 | -43 | Min. | 16.02 | | | | | | | | -373.78 | 28 | | | |
| 403 | -28 | -43 | Min. | 50.00 | 0.00 | 1 | 0.00 | 1 | 0.00 | 1 | 770.45 | 24 | -219.75 | 28 | -187.07 | 14 |
| 404 | -14 | -1 | Max | 0.00 | 0.00 | 1 | 0.00 | 1 | 0.00 | 1 | 1244.65 | 33 | -9.61 | 28 | -229.49 | 16 |
| 404 | -14 | -1 | Max | 40.00 | 0.00 | 1 | 0.00 | 1 | 0.00 | 1 | 2181.98 | 33 | 527.55 | 28 | -229.49 | 16 |
| 404 | -14 | -1 | Min. | 0.00 | 0.00 | 1 | 0.00 | 1 | 0.00 | 1 | 535.28 | 4 | -510.98 | 14 | -530.64 | 33 |
| 404 | -14 | -1 | Min. | 40.00 | 0.00 | 1 | 0.00 | 1 | 0.00 | 1 | 964.11 | 4 | -156.38 | 14 | -530.64 | 33 |
| 404 | -19 | -14 | Max | 0.00 | 0.00 | 1 | 0.00 | 1 | 0.00 | 1 | 524.79 | 28 | 276.42 | 14 | -224.07 | 16 |
| 404 | -19 | -14 | Max | 116.50 | | | | | | | | -722.71 | 4 | | | |
| 404 | -19 | -14 | Max | 200.00 | 0.00 | 1 | 0.00 | 1 | 0.00 | 1 | 2075.66 | 33 | -7.37 | 28 | -224.07 | 16 |
| 404 | -19 | -14 | Min. | 0.00 | 0.00 | 1 | 0.00 | 1 | 0.00 | 1 | -1635.32 | 14 | -1960.28 | 28 | -521.16 | 33 |
| 404 | -19 | -14 | Min. | 67.80 | | | | | | | | -1609.32 | 33 | | | |
| 404 | -19 | -14 | Min. | 200.00 | 0.00 | 1 | 0.00 | 1 | 0.00 | 1 | 759.50 | 4 | -511.56 | 14 | -521.16 | 33 |
| 404 | -21 | -19 | Max | 0.00 | 0.00 | 1 | 0.00 | 1 | 0.00 | 1 | -163.02 | 26 | 668.54 | 14 | -221.26 | 16 |
| 404 | -21 | -19 | Max | 43.33 | 0.00 | 1 | 0.00 | 1 | 0.00 | 1 | -49.56 | 26 | 276.96 | 14 | -221.26 | 16 |
| 404 | -21 | -19 | Min. | 0.00 | 0.00 | 1 | 0.00 | 1 | 0.00 | 1 | -1254.34 | 16 | -1895.61 | 28 | -517.81 | 33 |
| 404 | -21 | -19 | Min. | 43.33 | 0.00 | 1 | 0.00 | 1 | 0.00 | 1 | -652.65 | 16 | -1960.49 | 28 | -517.81 | 33 |
| 404 | -23 | -21 | Max | 0.00 | 0.00 | 1 | 0.00 | 1 | 0.00 | 1 | -352.58 | 4 | 723.90 | 14 | -213.93 | 16 |
| 404 | -23 | -21 | Max | 30.57 | | | | | | | | 657.31 | 14 | | | |
| 404 | -23 | -21 | Max | 43.33 | 0.00 | 1 | 0.00 | 1 | 0.00 | 1 | 180.68 | 14 | 668.86 | 14 | -213.93 | 16 |
| 404 | -23 | -21 | Min. | 0.00 | 0.00 | 1 | 0.00 | 1 | 0.00 | 1 | -1069.35 | 33 | -1516.00 | 28 | -508.86 | 33 |
| 404 | -23 | -21 | Min. | 37.53 | | | | | | | | -75.10 | 20 | | | |
| 404 | -23 | -21 | Min. | 43.33 | 0.00 | 1 | 0.00 | 1 | 0.00 | 1 | -785.81 | 28 | -1895.61 | 28 | -508.86 | 33 |
| 404 | -25 | -23 | Max | 0.00 | 0.00 | 1 | 0.00 | 1 | 0.00 | 1 | -81.33 | 14 | 625.66 | 14 | -204.43 | 16 |
| 404 | -25 | -23 | Max | 5.83 | | | | | | | | 623.29 | 14 | | | |
| 404 | -25 | -23 | Max | 43.33 | 0.00 | 1 | 0.00 | 1 | 0.00 | 1 | 530.69 | 14 | 722.41 | 14 | -204.43 | 16 |
| 404 | -25 | -23 | Min. | 0.00 | 0.00 | 1 | 0.00 | 1 | 0.00 | 1 | -1304.22 | 28 | -1029.25 | 28 | -496.85 | 33 |
| 404 | -25 | -23 | Min. | 39.70 | | | | | | | | -81.48 | 19 | | | |
| 404 | -25 | -23 | Min. | 43.33 | 0.00 | 1 | 0.00 | 1 | 0.00 | 1 | -960.24 | 28 | -1513.70 | 28 | -496.85 | 33 |
| 404 | -27 | -25 | Max | 0.00 | 0.00 | 1 | 0.00 | 1 | 0.00 | 1 | 154.71 | 14 | 431.50 | 14 | -193.27 | 16 |
| 404 | -27 | -25 | Max | 3.92 | | | | | | | | 343.48 | 32 | | | |
| 404 | -27 | -25 | Max | 43.33 | 0.00 | 1 | 0.00 | 1 | 0.00 | 1 | 738.38 | 14 | 623.60 | 14 | -193.27 | 16 |
| 404 | -27 | -25 | Min. | 0.00 | 0.00 | 1 | 0.00 | 1 | 0.00 | 1 | -1428.46 | 28 | -531.66 | 28 | -481.75 | 33 |
| 404 | -27 | -25 | Min. | 40.48 | | | | | | | | -58.97 | 7 | | | |
| 404 | -27 | -25 | Min. | 43.33 | 0.00 | 1 | 0.00 | 1 | 0.00 | 1 | -892.91 | 28 | -1027.05 | 28 | -481.75 | 33 |
| 404 | -29 | -27 | Max | 0.00 | 0.00 | 1 | 0.00 | 1 | 0.00 | 1 | 337.30 | 14 | 173.86 | 16 | -181.46 | 16 |
| 404 | -29 | -27 | Max | 6.85 | | | | | | | | 60.63 | 4 | | | |
| 404 | -29 | -27 | Max | 43.33 | 0.00 | 1 | 0.00 | 1 | 0.00 | 1 | 874.18 | 14 | 428.13 | 14 | -181.46 | 16 |
| 404 | -29 | -27 | Min. | 0.00 | 0.00 | 1 | 0.00 | 1 | 0.00 | 1 | -1352.01 | 28 | -121.96 | 26 | -462.57 | 33 |
| 404 | -29 | -27 | Min. | 42.90 | | | | | | | | -150.69 | 17 | | | |
| 404 | -29 | -27 | Min. | 43.33 | 0.00 | 1 | 0.00 | 1 | 0.00 | 1 | -595.29 | 28 | -529.27 | 28 | -462.57 | 33 |
| 404 | -30 | -29 | Max | 0.00 | 0.00 | 1 | 0.00 | 1 | 0.00 | 1 | 497.40 | 14 | 75.26 | 28 | -165.50 | 16 |
| 404 | -30 | -29 | Max | 9.04 | | | | | | | | -34.43 | 24 | | | |
| 404 | -30 | -29 | Max | 43.33 | 0.00 | 1 | 0.00 | 1 | 0.00 | 1 | 977.39 | 14 | 166.54 | 16 | -165.50 | 16 |
| 404 | -30 | -29 | Min. | 0.00 | 0.00 | 1 | 0.00 | 1 | 0.00 | 1 | -950.31 | 28 | -156.51 | 14 | -436.25 | 33 |
| 404 | -30 | -29 | Min. | 40.92 | | | | | | | | -119.42 | 26 | | | |
| 404 | -30 | -29 | Min. | 43.33 | 0.00 | 1 | 0.00 | 1 | 0.00 | 1 | 40.94 | 28 | -118.84 | 26 | -436.25 | 33 |

Tipo di combinazione di carico: SLE R

Tabulato di calcolo

| Asta | N1 | N2 | | X <cm> | N <daNm> | CC | Ty <daNm> | CC | Mz <daNm> | CC | Tz <daNm> | CC | My <daNm> | CC | Mx <daNm> | CC |
|------|-----|-----|------|-----------|-------------|----|--------------|----|--------------|----|--------------|----|--------------|----|--------------|----|
| 401 | -1 | -2 | Max | 0.00 | 0.00 | 34 | 0.00 | 34 | 0.00 | 34 | 283.92 | 34 | -398.46 | 34 | -214.97 | 34 |
| 401 | -1 | -2 | Max | 50.00 | 0.00 | 34 | 0.00 | 34 | 0.00 | 34 | 1244.44 | 34 | -18.81 | 34 | -214.97 | 34 |
| 401 | -1 | -2 | Min. | 0.00 | 0.00 | 34 | 0.00 | 34 | 0.00 | 34 | 283.92 | 34 | -398.46 | 34 | -214.97 | 34 |
| 401 | -1 | -2 | Min. | 50.00 | 0.00 | 34 | 0.00 | 34 | 0.00 | 34 | 1244.44 | 34 | -18.81 | 34 | -214.97 | 34 |
| 401 | -2 | -3 | Max | 0.00 | 0.00 | 34 | 0.00 | 34 | 0.00 | 34 | -29.99 | 34 | -21.59 | 34 | -214.34 | 34 |
| 401 | -2 | -3 | Max | 1.51 | | | | | | | | | -21.82 | 34 | | |
| 401 | -2 | -3 | Max | 50.00 | 0.00 | 34 | 0.00 | 34 | 0.00 | 34 | 992.65 | 34 | 216.43 | 34 | -214.34 | 34 |
| 401 | -2 | -3 | Min. | 0.00 | 0.00 | 34 | 0.00 | 34 | 0.00 | 34 | -29.99 | 34 | -21.59 | 34 | -214.34 | 34 |
| 401 | -2 | -3 | Min. | 1.51 | | | | | | | | | -21.82 | 34 | | |
| 401 | -2 | -3 | Min. | 50.00 | 0.00 | 34 | 0.00 | 34 | 0.00 | 34 | 992.65 | 34 | 216.43 | 34 | -214.34 | 34 |
| 401 | -3 | -4 | Max | 0.00 | 0.00 | 34 | 0.00 | 34 | 0.00 | 34 | -244.76 | 34 | 215.26 | 34 | -212.88 | 34 |
| 401 | -3 | -4 | Max | 11.52 | | | | | | | | | 201.11 | 34 | | |
| 401 | -3 | -4 | Max | 50.00 | 0.00 | 34 | 0.00 | 34 | 0.00 | 34 | 837.42 | 34 | 361.16 | 34 | -212.88 | 34 |
| 401 | -3 | -4 | Min. | 0.00 | 0.00 | 34 | 0.00 | 34 | 0.00 | 34 | -244.76 | 34 | 215.26 | 34 | -212.88 | 34 |
| 401 | -3 | -4 | Min. | 11.52 | | | | | | | | | 201.11 | 34 | | |
| 401 | -3 | -4 | Min. | 50.00 | 0.00 | 34 | 0.00 | 34 | 0.00 | 34 | 837.42 | 34 | 361.16 | 34 | -212.88 | 34 |
| 401 | -4 | -5 | Max | 0.00 | 0.00 | 34 | 0.00 | 34 | 0.00 | 34 | -404.77 | 34 | 360.27 | 34 | -211.13 | 34 |
| 401 | -4 | -5 | Max | 18.12 | | | | | | | | | 323.49 | 34 | | |
| 401 | -4 | -5 | Max | 50.00 | 0.00 | 34 | 0.00 | 34 | 0.00 | 34 | 723.57 | 34 | 438.43 | 34 | -211.13 | 34 |
| 401 | -4 | -5 | Min. | 0.00 | 0.00 | 34 | 0.00 | 34 | 0.00 | 34 | -404.77 | 34 | 360.27 | 34 | -211.13 | 34 |
| 401 | -4 | -5 | Min. | 18.12 | | | | | | | | | 323.49 | 34 | | |
| 401 | -4 | -5 | Min. | 50.00 | 0.00 | 34 | 0.00 | 34 | 0.00 | 34 | 723.57 | 34 | 438.43 | 34 | -211.13 | 34 |
| 401 | -5 | -6 | Max | 0.00 | 0.00 | 34 | 0.00 | 34 | 0.00 | 34 | -522.68 | 34 | 437.88 | 34 | -209.42 | 34 |
| 401 | -5 | -6 | Max | 22.71 | | | | | | | | | 378.43 | 34 | | |
| 401 | -5 | -6 | Max | 50.00 | 0.00 | 34 | 0.00 | 34 | 0.00 | 34 | 632.06 | 34 | 464.58 | 34 | -209.42 | 34 |
| 401 | -5 | -6 | Min. | 0.00 | 0.00 | 34 | 0.00 | 34 | 0.00 | 34 | -522.68 | 34 | 437.88 | 34 | -209.42 | 34 |
| 401 | -5 | -6 | Min. | 22.71 | | | | | | | | | 378.43 | 34 | | |
| 401 | -5 | -6 | Min. | 50.00 | 0.00 | 34 | 0.00 | 34 | 0.00 | 34 | 632.06 | 34 | 464.58 | 34 | -209.42 | 34 |
| 401 | -6 | -7 | Max | 0.00 | 0.00 | 34 | 0.00 | 34 | 0.00 | 34 | -609.22 | 34 | 464.15 | 34 | -207.78 | 34 |
| 401 | -6 | -7 | Max | 26.25 | | | | | | | | | 384.21 | 34 | | |
| 401 | -6 | -7 | Max | 50.00 | 0.00 | 34 | 0.00 | 34 | 0.00 | 34 | 549.32 | 34 | 449.50 | 34 | -207.78 | 34 |
| 401 | -6 | -7 | Min. | 0.00 | 0.00 | 34 | 0.00 | 34 | 0.00 | 34 | -609.22 | 34 | 464.15 | 34 | -207.78 | 34 |
| 401 | -6 | -7 | Min. | 26.25 | | | | | | | | | 384.21 | 34 | | |
| 401 | -6 | -7 | Min. | 50.00 | 0.00 | 34 | 0.00 | 34 | 0.00 | 34 | 549.32 | 34 | 449.50 | 34 | -207.78 | 34 |
| 401 | -7 | -8 | Max | 0.00 | 0.00 | 34 | 0.00 | 34 | 0.00 | 34 | -672.79 | 34 | 449.19 | 34 | -206.19 | 34 |
| 401 | -7 | -8 | Max | 29.37 | | | | | | | | | 350.64 | 34 | | |
| 401 | -7 | -8 | Max | 50.00 | 0.00 | 34 | 0.00 | 34 | 0.00 | 34 | 466.50 | 34 | 398.88 | 34 | -206.19 | 34 |
| 401 | -7 | -8 | Min. | 0.00 | 0.00 | 34 | 0.00 | 34 | 0.00 | 34 | -672.79 | 34 | 449.19 | 34 | -206.19 | 34 |
| 401 | -7 | -8 | Min. | 29.37 | | | | | | | | | 350.64 | 34 | | |
| 401 | -7 | -8 | Min. | 50.00 | 0.00 | 34 | 0.00 | 34 | 0.00 | 34 | 466.50 | 34 | 398.88 | 34 | -206.19 | 34 |
| 401 | -8 | -9 | Max | 0.00 | 0.00 | 34 | 0.00 | 34 | 0.00 | 34 | -718.88 | 34 | 398.69 | 34 | -204.61 | 34 |
| 401 | -8 | -9 | Max | 32.46 | | | | | | | | | 282.59 | 34 | | |
| 401 | -8 | -9 | Max | 50.00 | 0.00 | 34 | 0.00 | 34 | 0.00 | 34 | 380.00 | 34 | 316.05 | 34 | -204.61 | 34 |
| 401 | -8 | -9 | Min. | 0.00 | 0.00 | 34 | 0.00 | 34 | 0.00 | 34 | -718.88 | 34 | 398.69 | 34 | -204.61 | 34 |
| 401 | -8 | -9 | Min. | 32.46 | | | | | | | | | 282.59 | 34 | | |
| 401 | -8 | -9 | Min. | 50.00 | 0.00 | 34 | 0.00 | 34 | 0.00 | 34 | 380.00 | 34 | 316.05 | 34 | -204.61 | 34 |
| 401 | -9 | -10 | Max | 0.00 | 0.00 | 34 | 0.00 | 34 | 0.00 | 34 | -747.64 | 34 | 316.05 | 34 | -203.08 | 34 |
| 401 | -9 | -10 | Max | 35.60 | | | | | | | | | 183.96 | 34 | | |
| 401 | -9 | -10 | Max | 50.00 | 0.00 | 34 | 0.00 | 34 | 0.00 | 34 | 293.25 | 34 | 205.16 | 34 | -203.08 | 34 |
| 401 | -9 | -10 | Min. | 0.00 | 0.00 | 34 | 0.00 | 34 | 0.00 | 34 | -747.64 | 34 | 316.05 | 34 | -203.08 | 34 |
| 401 | -9 | -10 | Min. | 35.60 | | | | | | | | | 183.96 | 34 | | |
| 401 | -9 | -10 | Min. | 50.00 | 0.00 | 34 | 0.00 | 34 | 0.00 | 34 | 293.25 | 34 | 205.16 | 34 | -203.08 | 34 |
| 401 | -10 | -11 | Max | 0.00 | 0.00 | 34 | 0.00 | 34 | 0.00 | 34 | -753.22 | 34 | 205.56 | 34 | -201.69 | 34 |
| 401 | -10 | -11 | Max | 38.48 | | | | | | | | | 62.13 | 34 | | |
| 401 | -10 | -11 | Max | 50.00 | 0.00 | 34 | 0.00 | 34 | 0.00 | 34 | 217.51 | 34 | 74.72 | 34 | -201.69 | 34 |
| 401 | -10 | -11 | Min. | 0.00 | 0.00 | 34 | 0.00 | 34 | 0.00 | 34 | -753.22 | 34 | 205.56 | 34 | -201.69 | 34 |
| 401 | -10 | -11 | Min. | 38.48 | | | | | | | | | 62.13 | 34 | | |
| 401 | -10 | -11 | Min. | 50.00 | 0.00 | 34 | 0.00 | 34 | 0.00 | 34 | 217.51 | 34 | 74.72 | 34 | -201.69 | 34 |
| 401 | -11 | -12 | Max | 0.00 | 0.00 | 34 | 0.00 | 34 | 0.00 | 34 | -723.52 | 34 | 75.57 | 34 | -200.71 | 34 |
| 401 | -11 | -12 | Max | 40.00 | | | | | | | | | -67.80 | 34 | | |
| 401 | -11 | -12 | Max | 50.00 | 0.00 | 34 | 0.00 | 34 | 0.00 | 34 | 171.41 | 34 | -59.28 | 34 | -200.71 | 34 |
| 401 | -11 | -12 | Min. | 0.00 | 0.00 | 34 | 0.00 | 34 | 0.00 | 34 | -723.52 | 34 | 75.57 | 34 | -200.71 | 34 |
| 401 | -11 | -12 | Min. | 40.00 | | | | | | | | | -67.80 | 34 | | |
| 401 | -11 | -12 | Min. | 50.00 | 0.00 | 34 | 0.00 | 34 | 0.00 | 34 | 171.41 | 34 | -59.28 | 34 | -200.71 | 34 |
| 401 | -12 | -13 | Max | 0.00 | 0.00 | 34 | 0.00 | 34 | 0.00 | 34 | -660.37 | 34 | -56.86 | 34 | -200.06 | 34 |
| 401 | -12 | -13 | Max | 40.00 | | | | | | | | | -187.03 | 34 | | |
| 401 | -12 | -13 | Max | 50.00 | 0.00 | 34 | 0.00 | 34 | 0.00 | 34 | 160.41 | 34 | -178.89 | 34 | -200.06 | 34 |
| 401 | -12 | -13 | Min. | 0.00 | 0.00 | 34 | 0.00 | 34 | 0.00 | 34 | -660.37 | 34 | -56.86 | 34 | -200.06 | 34 |
| 401 | -12 | -13 | Min. | 40.00 | | | | | | | | | -187.03 | 34 | | |
| 401 | -12 | -13 | Min. | 50.00 | 0.00 | 34 | 0.00 | 34 | 0.00 | 34 | 160.41 | 34 | -178.89 | 34 | -200.06 | 34 |
| 402 | -31 | -30 | Max | 0.00 | 0.00 | 34 | 0.00 | 34 | 0.00 | 34 | 339.00 | 34 | -37.51 | 34 | -48.54 | 34 |
| 402 | -31 | -30 | Max | 45.00 | 0.00 | 34 | 0.00 | 34 | 0.00 | 34 | 1199.23 | 34 | 305.55 | 34 | -48.54 | 34 |
| 402 | -31 | -30 | Min. | 0.00 | 0.00 | 34 | 0.00 | 34 | 0.00 | 34 | 339.00 | 34 | -37.51 | 34 | -48.54 | 34 |
| 402 | -31 | -30 | Min. | 45.00 | 0.00 | 34 | 0.00 | 34 | 0.00 | 34 | 1199.23 | 34 | 305.55 | 34 | -48.54 | 34 |
| 402 | -32 | -31 | Max | 0.00 | 0.00 | 34 | 0.00 | 34 | 0.00 | 34 | 601.67 | 34 | -484.12 | 34 | -45.14 | 34 |
| 402 | -32 | -31 | Max | 45.00 | 0.00 | 34 | 0.00 | 34 | 0.00 | 34 | 1381.26 | 34 | -40.87 | 34 | -45.14 | 34 |
| 402 | -32 | -31 | Min. | 0.00 | 0.00 | 34 | 0.00 | 34 | 0.00 | 34 | 601.67 | 34 | -484.12 | 34 | -45.14 | 34 |
| 402 | -32 | -31 | Min. | 45.00 | 0.00 | 34 | 0.00 | 34 | 0.00 | 34 | 1381.26 | 34 | -40.87 | 34 | -45.14 | 34 |

Tabulato di calcolo

| | | | | | | | | | | | | | | | |
|-----|-----|---------|-------|------|----|------|----|------|----|----------|----|---------|----|--------|----|
| 402 | -33 | -32Max | 0.00 | 0.00 | 34 | 0.00 | 34 | 0.00 | 34 | 474.62 | 34 | -822.05 | 34 | -41.48 | 34 |
| 402 | -33 | -32Max | 42.00 | 0.00 | 34 | 0.00 | 34 | 0.00 | 34 | 1139.86 | 34 | -484.78 | 34 | -41.48 | 34 |
| 402 | -33 | -32Min. | 0.00 | 0.00 | 34 | 0.00 | 34 | 0.00 | 34 | 474.62 | 34 | -822.05 | 34 | -41.48 | 34 |
| 402 | -33 | -32Min. | 42.00 | 0.00 | 34 | 0.00 | 34 | 0.00 | 34 | 1139.86 | 34 | -484.78 | 34 | -41.48 | 34 |
| 402 | -34 | -33Max | 0.00 | 0.00 | 34 | 0.00 | 34 | 0.00 | 34 | 41.06 | 34 | -969.66 | 34 | -38.38 | 34 |
| 402 | -34 | -33Max | 42.00 | 0.00 | 34 | 0.00 | 34 | 0.00 | 34 | 668.79 | 34 | -821.41 | 34 | -38.38 | 34 |
| 402 | -34 | -33Min. | 0.00 | 0.00 | 34 | 0.00 | 34 | 0.00 | 34 | 41.06 | 34 | -969.66 | 34 | -38.38 | 34 |
| 402 | -34 | -33Min. | 42.00 | 0.00 | 34 | 0.00 | 34 | 0.00 | 34 | 668.79 | 34 | -821.41 | 34 | -38.38 | 34 |
| 402 | -35 | -34Max | 0.00 | 0.00 | 34 | 0.00 | 34 | 0.00 | 34 | -517.70 | 34 | -883.41 | 34 | -35.99 | 34 |
| 402 | -35 | -34Max | 35.02 | | | | | | | | | -973.82 | 34 | | |
| 402 | -35 | -34Max | 42.00 | 0.00 | 34 | 0.00 | 34 | 0.00 | 34 | 102.78 | 34 | -970.23 | 34 | -35.99 | 34 |
| 402 | -36 | -35Max | 0.00 | 0.00 | 34 | 0.00 | 34 | 0.00 | 34 | -1019.70 | 34 | -592.68 | 34 | -34.30 | 34 |
| 402 | -36 | -35Max | 42.00 | 0.00 | 34 | 0.00 | 34 | 0.00 | 34 | -375.20 | 34 | -884.26 | 34 | -34.30 | 34 |
| 402 | -36 | -35Min. | 0.00 | 0.00 | 34 | 0.00 | 34 | 0.00 | 34 | -1019.70 | 34 | -592.68 | 34 | -34.30 | 34 |
| 402 | -36 | -35Min. | 42.00 | 0.00 | 34 | 0.00 | 34 | 0.00 | 34 | -375.20 | 34 | -884.26 | 34 | -34.30 | 34 |
| 402 | -37 | -36Max | 0.00 | 0.00 | 34 | 0.00 | 34 | 0.00 | 34 | -1298.84 | 34 | -197.91 | 34 | -33.04 | 34 |
| 402 | -37 | -36Max | 42.00 | 0.00 | 34 | 0.00 | 34 | 0.00 | 34 | -605.15 | 34 | -595.70 | 34 | -33.04 | 34 |
| 402 | -37 | -36Min. | 0.00 | 0.00 | 34 | 0.00 | 34 | 0.00 | 34 | -1298.84 | 34 | -197.91 | 34 | -33.04 | 34 |
| 402 | -37 | -36Min. | 42.00 | 0.00 | 34 | 0.00 | 34 | 0.00 | 34 | -605.15 | 34 | -595.70 | 34 | -33.04 | 34 |
| 402 | -38 | -37Max | 0.00 | 0.00 | 34 | 0.00 | 34 | 0.00 | 34 | -1334.96 | 34 | 236.57 | 34 | -31.87 | 34 |
| 402 | -38 | -37Max | 50.00 | 0.00 | 34 | 0.00 | 34 | 0.00 | 34 | -426.27 | 34 | -199.82 | 34 | -31.87 | 34 |
| 402 | -38 | -37Min. | 0.00 | 0.00 | 34 | 0.00 | 34 | 0.00 | 34 | -1334.96 | 34 | 236.57 | 34 | -31.87 | 34 |
| 402 | -38 | -37Min. | 50.00 | 0.00 | 34 | 0.00 | 34 | 0.00 | 34 | -426.27 | 34 | -199.82 | 34 | -31.87 | 34 |
| 402 | -39 | -38Max | 0.00 | 0.00 | 34 | 0.00 | 34 | 0.00 | 34 | -1018.55 | 34 | 490.76 | 34 | -30.62 | 34 |
| 402 | -39 | -38Max | 50.00 | 0.00 | 34 | 0.00 | 34 | 0.00 | 34 | -19.25 | 34 | 234.84 | 34 | -30.62 | 34 |
| 402 | -39 | -38Min. | 0.00 | 0.00 | 34 | 0.00 | 34 | 0.00 | 34 | -1018.55 | 34 | 490.76 | 34 | -30.62 | 34 |
| 402 | -39 | -38Min. | 50.00 | 0.00 | 34 | 0.00 | 34 | 0.00 | 34 | -19.25 | 34 | 234.84 | 34 | -30.62 | 34 |
| 402 | -40 | -39Max | 0.00 | 0.00 | 34 | 0.00 | 34 | 0.00 | 34 | -637.44 | 34 | 541.36 | 34 | -29.21 | 34 |
| 402 | -40 | -39Max | 29.39 | | | | | | | | | 448.23 | 34 | | |
| 402 | -40 | -39Max | 50.00 | 0.00 | 34 | 0.00 | 34 | 0.00 | 34 | 435.14 | 34 | 493.32 | 34 | -29.21 | 34 |
| 402 | -40 | -39Min. | 0.00 | 0.00 | 34 | 0.00 | 34 | 0.00 | 34 | -637.44 | 34 | 541.36 | 34 | -29.21 | 34 |
| 402 | -40 | -39Min. | 29.39 | | | | | | | | | 448.23 | 34 | | |
| 402 | -40 | -39Min. | 50.00 | 0.00 | 34 | 0.00 | 34 | 0.00 | 34 | 435.14 | 34 | 493.32 | 34 | -29.21 | 34 |
| 402 | -41 | -40Max | 0.00 | 0.00 | 34 | 0.00 | 34 | 0.00 | 34 | -361.31 | 34 | 442.12 | 34 | -27.33 | 34 |
| 402 | -41 | -40Max | 15.98 | | | | | | | | | 413.30 | 34 | | |
| 402 | -41 | -40Max | 50.00 | 0.00 | 34 | 0.00 | 34 | 0.00 | 34 | 758.59 | 34 | 542.85 | 34 | -27.33 | 34 |
| 402 | -41 | -40Min. | 0.00 | 0.00 | 34 | 0.00 | 34 | 0.00 | 34 | -361.31 | 34 | 442.12 | 34 | -27.33 | 34 |
| 402 | -41 | -40Min. | 15.98 | | | | | | | | | 413.30 | 34 | | |
| 402 | -41 | -40Min. | 50.00 | 0.00 | 34 | 0.00 | 34 | 0.00 | 34 | 758.59 | 34 | 542.85 | 34 | -27.33 | 34 |
| 402 | -42 | -41Max | 0.00 | 0.00 | 34 | 0.00 | 34 | 0.00 | 34 | -246.33 | 34 | 282.33 | 34 | -24.17 | 34 |
| 402 | -42 | -41Max | 10.74 | | | | | | | | | 269.10 | 34 | | |
| 402 | -42 | -41Max | 50.00 | 0.00 | 34 | 0.00 | 34 | 0.00 | 34 | 896.07 | 34 | 445.26 | 34 | -24.17 | 34 |
| 402 | -42 | -41Min. | 0.00 | 0.00 | 34 | 0.00 | 34 | 0.00 | 34 | -246.33 | 34 | 282.33 | 34 | -24.17 | 34 |
| 402 | -42 | -41Min. | 10.74 | | | | | | | | | 269.10 | 34 | | |
| 402 | -42 | -41Min. | 50.00 | 0.00 | 34 | 0.00 | 34 | 0.00 | 34 | 896.07 | 34 | 445.26 | 34 | -24.17 | 34 |
| 402 | -43 | -42Max | 0.00 | 0.00 | 34 | 0.00 | 34 | 0.00 | 34 | -225.01 | 34 | 112.34 | 34 | -19.23 | 34 |
| 402 | -43 | -42Max | 10.00 | | | | | | | | | 101.30 | 34 | | |
| 402 | -43 | -42Max | 50.00 | 0.00 | 34 | 0.00 | 34 | 0.00 | 34 | 922.12 | 34 | 286.56 | 34 | -19.23 | 34 |
| 402 | -43 | -42Min. | 0.00 | 0.00 | 34 | 0.00 | 34 | 0.00 | 34 | -225.01 | 34 | 112.34 | 34 | -19.23 | 34 |
| 402 | -43 | -42Min. | 10.00 | | | | | | | | | 101.30 | 34 | | |
| 402 | -43 | -42Min. | 50.00 | 0.00 | 34 | 0.00 | 34 | 0.00 | 34 | 922.12 | 34 | 286.56 | 34 | -19.23 | 34 |
| 403 | -13 | -15Max | 0.00 | 0.00 | 34 | 0.00 | 34 | 0.00 | 34 | -621.75 | 34 | -198.96 | 34 | 171.34 | 34 |
| 403 | -13 | -15Max | 41.49 | | | | | | | | | -325.82 | 34 | | |
| 403 | -13 | -15Max | 50.00 | 0.00 | 34 | 0.00 | 34 | 0.00 | 34 | 121.10 | 34 | -320.64 | 34 | 171.34 | 34 |
| 403 | -13 | -15Min. | 0.00 | 0.00 | 34 | 0.00 | 34 | 0.00 | 34 | -621.75 | 34 | -198.96 | 34 | 171.34 | 34 |
| 403 | -13 | -15Min. | 41.49 | | | | | | | | | -325.82 | 34 | | |
| 403 | -13 | -15Min. | 50.00 | 0.00 | 34 | 0.00 | 34 | 0.00 | 34 | 121.10 | 34 | -320.64 | 34 | 171.34 | 34 |
| 403 | -15 | -16Max | 0.00 | 0.00 | 34 | 0.00 | 34 | 0.00 | 34 | -520.99 | 34 | -319.00 | 34 | 164.57 | 34 |
| 403 | -15 | -16Max | 38.58 | | | | | | | | | -418.15 | 34 | | |
| 403 | -15 | -16Max | 50.00 | 0.00 | 34 | 0.00 | 34 | 0.00 | 34 | 147.62 | 34 | -409.67 | 34 | 164.57 | 34 |
| 403 | -15 | -16Min. | 0.00 | 0.00 | 34 | 0.00 | 34 | 0.00 | 34 | -520.99 | 34 | -319.00 | 34 | 164.57 | 34 |
| 403 | -15 | -16Min. | 38.58 | | | | | | | | | -418.15 | 34 | | |
| 403 | -15 | -16Min. | 50.00 | 0.00 | 34 | 0.00 | 34 | 0.00 | 34 | 147.62 | 34 | -409.67 | 34 | 164.57 | 34 |
| 403 | -16 | -17Max | 0.00 | 0.00 | 34 | 0.00 | 34 | 0.00 | 34 | -443.86 | 34 | -408.70 | 34 | 162.06 | 34 |
| 403 | -16 | -17Max | 35.70 | | | | | | | | | -487.24 | 34 | | |
| 403 | -16 | -17Max | 50.00 | 0.00 | 34 | 0.00 | 34 | 0.00 | 34 | 172.62 | 34 | -474.86 | 34 | 162.06 | 34 |
| 403 | -16 | -17Min. | 0.00 | 0.00 | 34 | 0.00 | 34 | 0.00 | 34 | -443.86 | 34 | -408.70 | 34 | 162.06 | 34 |
| 403 | -16 | -17Min. | 35.70 | | | | | | | | | -487.24 | 34 | | |
| 403 | -16 | -17Min. | 50.00 | 0.00 | 34 | 0.00 | 34 | 0.00 | 34 | 172.62 | 34 | -474.86 | 34 | 162.06 | 34 |
| 403 | -17 | -18Max | 0.00 | 0.00 | 34 | 0.00 | 34 | 0.00 | 34 | -390.88 | 34 | -474.13 | 34 | 160.51 | 34 |
| 403 | -17 | -18Max | 32.99 | | | | | | | | | -538.40 | 34 | | |
| 403 | -17 | -18Max | 50.00 | 0.00 | 34 | 0.00 | 34 | 0.00 | 34 | 199.91 | 34 | -521.39 | 34 | 160.51 | 34 |
| 403 | -17 | -18Min. | 0.00 | 0.00 | 34 | 0.00 | 34 | 0.00 | 34 | -390.88 | 34 | -474.13 | 34 | 160.51 | 34 |
| 403 | -17 | -18Min. | 32.99 | | | | | | | | | -538.40 | 34 | | |
| 403 | -17 | -18Min. | 50.00 | 0.00 | 34 | 0.00 | 34 | 0.00 | 34 | 199.91 | 34 | -521.39 | 34 | 160.51 | 34 |
| 403 | -18 | -20Max | 0.00 | 0.00 | 34 | 0.00 | 34 | 0.00 | 34 | -349.97 | 34 | -520.92 | 34 | 159.15 | 34 |
| 403 | -18 | -20Max | 29.62 | | | | | | | | | -572.89 | 34 | | |
| 403 | -18 | -20Max | 50.00 | 0.00 | 34 | 0.00 | 34 | 0.00 | 34 | 244.66 | 34 | -548.05 | 34 | 159.15 | 34 |

Tabulato di calcolo

| | | | | | | | | | | | | | | | | |
|-----|-----|-----|------|--------|------|----|------|----|------|----|---------|----------|---------|----|---------|----|
| 403 | -18 | -20 | Min. | 0.00 | 0.00 | 34 | 0.00 | 34 | 0.00 | 34 | -349.97 | 34 | -520.92 | 34 | 159.15 | 34 |
| 403 | -18 | -20 | Min. | 29.62 | | | | | | | | | -572.89 | 34 | | |
| 403 | -18 | -20 | Min. | 50.00 | 0.00 | 34 | 0.00 | 34 | 0.00 | 34 | 244.66 | 34 | -548.05 | 34 | 159.15 | 34 |
| 403 | -20 | -22 | Max | 0.00 | 0.00 | 34 | 0.00 | 34 | 0.00 | 34 | -308.93 | 34 | -547.81 | 34 | 157.61 | 34 |
| 403 | -20 | -22 | Max | 25.02 | | | | | | | | | -586.69 | 34 | | |
| 403 | -20 | -22 | Max | 50.00 | 0.00 | 34 | 0.00 | 34 | 0.00 | 34 | 321.16 | 34 | -546.90 | 34 | 157.61 | 34 |
| 403 | -20 | -22 | Min. | 0.00 | 0.00 | 34 | 0.00 | 34 | 0.00 | 34 | -308.93 | 34 | -547.81 | 34 | 157.61 | 34 |
| 403 | -20 | -22 | Min. | 25.02 | | | | | | | | | -586.69 | 34 | | |
| 403 | -20 | -22 | Min. | 50.00 | 0.00 | 34 | 0.00 | 34 | 0.00 | 34 | 321.16 | 34 | -546.90 | 34 | 157.61 | 34 |
| 403 | -22 | -24 | Max | 0.00 | 0.00 | 34 | 0.00 | 34 | 0.00 | 34 | -256.04 | 34 | -546.86 | 34 | 155.42 | 34 |
| 403 | -22 | -24 | Max | 19.00 | | | | | | | | | -571.40 | 34 | | |
| 403 | -22 | -24 | Max | 50.00 | 0.00 | 34 | 0.00 | 34 | 0.00 | 34 | 441.89 | 34 | -503.89 | 34 | 155.42 | 34 |
| 403 | -22 | -24 | Min. | 0.00 | 0.00 | 34 | 0.00 | 34 | 0.00 | 34 | -256.04 | 34 | -546.86 | 34 | 155.42 | 34 |
| 403 | -22 | -24 | Min. | 19.00 | | | | | | | | -571.40 | 34 | | | |
| 403 | -22 | -24 | Min. | 50.00 | 0.00 | 34 | 0.00 | 34 | 0.00 | 34 | 441.89 | 34 | -503.89 | 34 | 155.42 | 34 |
| 403 | -24 | -26 | Max | 0.00 | 0.00 | 34 | 0.00 | 34 | 0.00 | 34 | -183.02 | 34 | -504.03 | 34 | 151.94 | 34 |
| 403 | -24 | -26 | Max | 12.08 | | | | | | | | | -515.18 | 34 | | |
| 403 | -24 | -26 | Max | 50.00 | 0.00 | 34 | 0.00 | 34 | 0.00 | 34 | 613.97 | 34 | -401.03 | 34 | 151.94 | 34 |
| 403 | -24 | -26 | Min. | 0.00 | 0.00 | 34 | 0.00 | 34 | 0.00 | 34 | -183.02 | 34 | -504.03 | 34 | 151.94 | 34 |
| 403 | -24 | -26 | Min. | 12.08 | | | | | | | | -515.18 | 34 | | | |
| 403 | -24 | -26 | Min. | 50.00 | 0.00 | 34 | 0.00 | 34 | 0.00 | 34 | 613.97 | 34 | -401.03 | 34 | 151.94 | 34 |
| 403 | -26 | -28 | Max | 0.00 | 0.00 | 34 | 0.00 | 34 | 0.00 | 34 | -91.04 | 34 | -401.23 | 34 | 145.29 | 34 |
| 403 | -26 | -28 | Max | 5.26 | | | | | | | | -403.64 | 34 | | | |
| 403 | -26 | -28 | Max | 50.00 | 0.00 | 34 | 0.00 | 34 | 0.00 | 34 | 832.24 | 34 | -221.67 | 34 | 145.29 | 34 |
| 403 | -26 | -28 | Min. | 0.00 | 0.00 | 34 | 0.00 | 34 | 0.00 | 34 | -91.04 | 34 | -401.23 | 34 | 145.29 | 34 |
| 403 | -26 | -28 | Min. | 5.26 | | | | | | | | -403.64 | 34 | | | |
| 403 | -26 | -28 | Min. | 50.00 | 0.00 | 34 | 0.00 | 34 | 0.00 | 34 | 832.24 | 34 | -221.67 | 34 | 145.29 | 34 |
| 403 | -28 | -43 | Max | 0.00 | 0.00 | 34 | 0.00 | 34 | 0.00 | 34 | -41.74 | 34 | -222.89 | 34 | 128.87 | 34 |
| 403 | -28 | -43 | Max | 2.08 | | | | | | | | -223.33 | 34 | | | |
| 403 | -28 | -43 | Max | 50.00 | 0.00 | 34 | 0.00 | 34 | 0.00 | 34 | 1027.37 | 34 | 17.17 | 34 | 128.87 | 34 |
| 403 | -28 | -43 | Min. | 0.00 | 0.00 | 34 | 0.00 | 34 | 0.00 | 34 | -41.74 | 34 | -222.89 | 34 | 128.87 | 34 |
| 403 | -28 | -43 | Min. | 2.08 | | | | | | | | -223.33 | 34 | | | |
| 403 | -28 | -43 | Min. | 50.00 | 0.00 | 34 | 0.00 | 34 | 0.00 | 34 | 1027.37 | 34 | 17.17 | 34 | 128.87 | 34 |
| 404 | -14 | -1 | Max | 0.00 | 0.00 | 34 | 0.00 | 34 | 0.00 | 34 | 912.78 | 34 | -282.92 | 34 | -388.68 | 34 |
| 404 | -14 | -1 | Max | 40.00 | 0.00 | 34 | 0.00 | 34 | 0.00 | 34 | 1597.95 | 34 | 215.20 | 34 | -388.68 | 34 |
| 404 | -14 | -1 | Min. | 0.00 | 0.00 | 34 | 0.00 | 34 | 0.00 | 34 | 912.78 | 34 | -282.92 | 34 | -388.68 | 34 |
| 404 | -14 | -1 | Min. | 40.00 | 0.00 | 34 | 0.00 | 34 | 0.00 | 34 | 1597.95 | 34 | 215.20 | 34 | -388.68 | 34 |
| 404 | -19 | -14 | Max | 0.00 | 0.00 | 34 | 0.00 | 34 | 0.00 | 34 | -579.35 | 34 | -973.61 | 34 | -381.80 | 34 |
| 404 | -19 | -14 | Max | 68.83 | | | | | | | | -1174.53 | 34 | | | |
| 404 | -19 | -14 | Max | 200.00 | 0.00 | 34 | 0.00 | 34 | 0.00 | 34 | 1515.62 | 34 | -281.90 | 34 | -381.80 | 34 |
| 404 | -19 | -14 | Min. | 0.00 | 0.00 | 34 | 0.00 | 34 | 0.00 | 34 | -579.35 | 34 | -973.61 | 34 | -381.80 | 34 |
| 404 | -19 | -14 | Min. | 68.83 | | | | | | | | -1174.53 | 34 | | | |
| 404 | -19 | -14 | Min. | 200.00 | 0.00 | 34 | 0.00 | 34 | 0.00 | 34 | 1515.62 | 34 | -281.90 | 34 | -381.80 | 34 |
| 404 | -21 | -19 | Max | 0.00 | 0.00 | 34 | 0.00 | 34 | 0.00 | 34 | -759.20 | 34 | -729.20 | 34 | -379.39 | 34 |
| 404 | -21 | -19 | Max | 43.33 | 0.00 | 34 | 0.00 | 34 | 0.00 | 34 | -374.63 | 34 | -973.38 | 34 | -379.39 | 34 |
| 404 | -21 | -19 | Min. | 0.00 | 0.00 | 34 | 0.00 | 34 | 0.00 | 34 | -759.20 | 34 | -729.20 | 34 | -379.39 | 34 |
| 404 | -21 | -19 | Min. | 43.33 | 0.00 | 34 | 0.00 | 34 | 0.00 | 34 | -374.63 | 34 | -973.38 | 34 | -379.39 | 34 |
| 404 | -23 | -21 | Max | 0.00 | 0.00 | 34 | 0.00 | 34 | 0.00 | 34 | -786.60 | 34 | -485.95 | 34 | -372.96 | 34 |
| 404 | -23 | -21 | Max | 43.33 | 0.00 | 34 | 0.00 | 34 | 0.00 | 34 | -346.50 | 34 | -728.98 | 34 | -372.96 | 34 |
| 404 | -23 | -21 | Min. | 0.00 | 0.00 | 34 | 0.00 | 34 | 0.00 | 34 | -786.60 | 34 | -485.95 | 34 | -372.96 | 34 |
| 404 | -23 | -21 | Min. | 43.33 | 0.00 | 34 | 0.00 | 34 | 0.00 | 34 | -346.50 | 34 | -728.98 | 34 | -372.96 | 34 |
| 404 | -25 | -23 | Max | 0.00 | 0.00 | 34 | 0.00 | 34 | 0.00 | 34 | -784.79 | 34 | -260.94 | 34 | -364.31 | 34 |
| 404 | -25 | -23 | Max | 43.33 | 0.00 | 34 | 0.00 | 34 | 0.00 | 34 | -266.14 | 34 | -485.49 | 34 | -364.31 | 34 |
| 404 | -25 | -23 | Min. | 0.00 | 0.00 | 34 | 0.00 | 34 | 0.00 | 34 | -784.79 | 34 | -260.94 | 34 | -364.31 | 34 |
| 404 | -25 | -23 | Min. | 43.33 | 0.00 | 34 | 0.00 | 34 | 0.00 | 34 | -266.14 | 34 | -485.49 | 34 | -364.31 | 34 |
| 404 | -27 | -25 | Max | 0.00 | 0.00 | 34 | 0.00 | 34 | 0.00 | 34 | -733.32 | 34 | -79.19 | 34 | -353.43 | 34 |
| 404 | -27 | -25 | Max | 43.33 | 0.00 | 34 | 0.00 | 34 | 0.00 | 34 | -121.53 | 34 | -260.87 | 34 | -353.43 | 34 |
| 404 | -27 | -25 | Min. | 0.00 | 0.00 | 34 | 0.00 | 34 | 0.00 | 34 | -733.32 | 34 | -79.19 | 34 | -353.43 | 34 |
| 404 | -27 | -25 | Min. | 43.33 | 0.00 | 34 | 0.00 | 34 | 0.00 | 34 | -121.53 | 34 | -260.87 | 34 | -353.43 | 34 |
| 404 | -29 | -27 | Max | 0.00 | 0.00 | 34 | 0.00 | 34 | 0.00 | 34 | -590.60 | 34 | 18.11 | 34 | -339.60 | 34 |
| 404 | -29 | -27 | Max | 35.51 | | | | | | | | -84.61 | 34 | | | |
| 404 | -29 | -27 | Max | 43.33 | 0.00 | 34 | 0.00 | 34 | 0.00 | 34 | 121.64 | 34 | -79.80 | 34 | -339.60 | 34 |
| 404 | -29 | -27 | Min. | 0.00 | 0.00 | 34 | 0.00 | 34 | 0.00 | 34 | -590.60 | 34 | 18.11 | 34 | -339.60 | 34 |
| 404 | -29 | -27 | Min. | 35.51 | | | | | | | | -84.61 | 34 | | | |
| 404 | -29 | -27 | Min. | 43.33 | 0.00 | 34 | 0.00 | 34 | 0.00 | 34 | 121.64 | 34 | -79.80 | 34 | -339.60 | 34 |
| 404 | -30 | -29 | Max | 0.00 | 0.00 | 34 | 0.00 | 34 | 0.00 | 34 | -267.27 | 34 | -48.95 | 34 | -320.59 | 34 |
| 404 | -30 | -29 | Max | 13.63 | | | | | | | | -67.03 | 34 | | | |
| 404 | -30 | -29 | Max | 43.33 | 0.00 | 34 | 0.00 | 34 | 0.00 | 34 | 547.87 | 34 | 15.58 | 34 | -320.59 | 34 |
| 404 | -30 | -29 | Min. | 0.00 | 0.00 | 34 | 0.00 | 34 | 0.00 | 34 | -267.27 | 34 | -48.95 | 34 | -320.59 | 34 |
| 404 | -30 | -29 | Min. | 13.63 | | | | | | | | -67.03 | 34 | | | |
| 404 | -30 | -29 | Min. | 43.33 | 0.00 | 34 | 0.00 | 34 | 0.00 | 34 | 547.87 | 34 | 15.58 | 34 | -320.59 | 34 |

Tipo di combinazione di carico: SLE F

| Asta | N1 | N2 | | X <cm> | N <daNm> | CC | Ty <daNm> | CC | Mz <daNm> | CC | Tz <daNm> | CC | My <daNm> | CC | Mx <daNm> | CC |
|------|----|----|------|-----------|-------------|----|--------------|----|--------------|----|--------------|----|--------------|----|--------------|----|
| 401 | -1 | -2 | Max | 0.00 | 0.00 | 35 | 0.00 | 35 | 0.00 | 35 | 263.18 | 35 | -364.54 | 35 | -191.74 | 35 |
| 401 | -1 | -2 | Max | 50.00 | 0.00 | 35 | 0.00 | 35 | 0.00 | 35 | 1138.11 | 35 | -16.46 | 35 | -191.74 | 35 |
| 401 | -1 | -2 | Min. | 0.00 | 0.00 | 35 | 0.00 | 35 | 0.00 | 35 | 263.18 | 35 | -364.54 | 35 | -191.74 | 35 |
| 401 | -1 | -2 | Min. | 50.00 | 0.00 | 35 | 0.00 | 35 | 0.00 | 35 | 1138.11 | 35 | -16.46 | 35 | -191.74 | 35 |
| 401 | -2 | -3 | Max | 0.00 | 0.00 | 35 | 0.00 | 35 | 0.00 | 35 | -28.51 | 35 | -18.90 | 35 | -191.80 | 35 |

Tabulato di calcolo

| | | | | | | | | | | | | | |
|-----|-----|---------|-------|------|----|------|----|------|----|---------|----|---------|----|
| 401 | -2 | -3Max | 1.57 | | | | | | | -19.12 | 35 | | |
| 401 | -2 | -3Max | 50.00 | 0.00 | 35 | 0.00 | 35 | 0.00 | 35 | 903.49 | 35 | 197.43 | 35 |
| 401 | -2 | -3Min. | 0.00 | 0.00 | 35 | 0.00 | 35 | 0.00 | 35 | -28.51 | 35 | -18.90 | 35 |
| 401 | -2 | -3Min. | 1.57 | | | | | | | | | -19.12 | 35 |
| 401 | -2 | -3Min. | 50.00 | 0.00 | 35 | 0.00 | 35 | 0.00 | 35 | 903.49 | 35 | 197.43 | 35 |
| 401 | -3 | -4Max | 0.00 | 0.00 | 35 | 0.00 | 35 | 0.00 | 35 | -227.52 | 35 | 196.40 | 35 |
| 401 | -3 | -4Max | 11.75 | | | | | | | | | 182.99 | 35 |
| 401 | -3 | -4Max | 50.00 | 0.00 | 35 | 0.00 | 35 | 0.00 | 35 | 759.18 | 35 | 327.23 | 35 |
| 401 | -3 | -4Min. | 0.00 | 0.00 | 35 | 0.00 | 35 | 0.00 | 35 | -227.52 | 35 | 196.40 | 35 |
| 401 | -3 | -4Min. | 11.75 | | | | | | | | | 182.99 | 35 |
| 401 | -3 | -4Min. | 50.00 | 0.00 | 35 | 0.00 | 35 | 0.00 | 35 | 759.18 | 35 | 327.23 | 35 |
| 401 | -4 | -5Max | 0.00 | 0.00 | 35 | 0.00 | 35 | 0.00 | 35 | -374.89 | 35 | 326.45 | 35 |
| 401 | -4 | -5Max | 18.40 | | | | | | | | | 291.86 | 35 |
| 401 | -4 | -5Max | 50.00 | 0.00 | 35 | 0.00 | 35 | 0.00 | 35 | 654.38 | 35 | 394.89 | 35 |
| 401 | -4 | -5Min. | 0.00 | 0.00 | 35 | 0.00 | 35 | 0.00 | 35 | -374.89 | 35 | 326.45 | 35 |
| 401 | -4 | -5Min. | 18.40 | | | | | | | | | 291.86 | 35 |
| 401 | -4 | -5Min. | 50.00 | 0.00 | 35 | 0.00 | 35 | 0.00 | 35 | 654.38 | 35 | 394.89 | 35 |
| 401 | -5 | -6Max | 0.00 | 0.00 | 35 | 0.00 | 35 | 0.00 | 35 | -482.61 | 35 | 394.41 | 35 |
| 401 | -5 | -6Max | 22.98 | | | | | | | | | 338.87 | 35 |
| 401 | -5 | -6Max | 50.00 | 0.00 | 35 | 0.00 | 35 | 0.00 | 35 | 571.39 | 35 | 415.99 | 35 |
| 401 | -5 | -6Min. | 0.00 | 0.00 | 35 | 0.00 | 35 | 0.00 | 35 | -482.61 | 35 | 394.41 | 35 |
| 401 | -5 | -6Min. | 22.98 | | | | | | | | | 338.87 | 35 |
| 401 | -5 | -6Min. | 50.00 | 0.00 | 35 | 0.00 | 35 | 0.00 | 35 | 571.39 | 35 | 415.99 | 35 |
| 401 | -6 | -7Max | 0.00 | 0.00 | 35 | 0.00 | 35 | 0.00 | 35 | -560.90 | 35 | 415.61 | 35 |
| 401 | -6 | -7Max | 26.46 | | | | | | | | | 341.41 | 35 |
| 401 | -6 | -7Max | 50.00 | 0.00 | 35 | 0.00 | 35 | 0.00 | 35 | 497.59 | 35 | 400.03 | 35 |
| 401 | -6 | -7Min. | 0.00 | 0.00 | 35 | 0.00 | 35 | 0.00 | 35 | -560.90 | 35 | 415.61 | 35 |
| 401 | -6 | -7Min. | 26.46 | | | | | | | | | 341.41 | 35 |
| 401 | -6 | -7Min. | 50.00 | 0.00 | 35 | 0.00 | 35 | 0.00 | 35 | 497.59 | 35 | 400.03 | 35 |
| 401 | -7 | -8Max | 0.00 | 0.00 | 35 | 0.00 | 35 | 0.00 | 35 | -617.69 | 35 | 399.76 | 35 |
| 401 | -7 | -8Max | 29.48 | | | | | | | | | 308.92 | 35 |
| 401 | -7 | -8Max | 50.00 | 0.00 | 35 | 0.00 | 35 | 0.00 | 35 | 424.77 | 35 | 352.61 | 35 |
| 401 | -7 | -8Min. | 0.00 | 0.00 | 35 | 0.00 | 35 | 0.00 | 35 | -617.69 | 35 | 399.76 | 35 |
| 401 | -7 | -8Min. | 29.48 | | | | | | | | | 308.92 | 35 |
| 401 | -7 | -8Min. | 50.00 | 0.00 | 35 | 0.00 | 35 | 0.00 | 35 | 424.77 | 35 | 352.61 | 35 |
| 401 | -8 | -9Max | 0.00 | 0.00 | 35 | 0.00 | 35 | 0.00 | 35 | -658.17 | 35 | 352.43 | 35 |
| 401 | -8 | -9Max | 32.42 | | | | | | | | | 246.24 | 35 |
| 401 | -8 | -9Max | 50.00 | 0.00 | 35 | 0.00 | 35 | 0.00 | 35 | 349.56 | 35 | 277.08 | 35 |
| 401 | -8 | -9Min. | 0.00 | 0.00 | 35 | 0.00 | 35 | 0.00 | 35 | -658.17 | 35 | 352.43 | 35 |
| 401 | -8 | -9Min. | 32.42 | | | | | | | | | 246.24 | 35 |
| 401 | -8 | -9Min. | 50.00 | 0.00 | 35 | 0.00 | 35 | 0.00 | 35 | 349.56 | 35 | 277.08 | 35 |
| 401 | -9 | -10Max | 0.00 | 0.00 | 35 | 0.00 | 35 | 0.00 | 35 | -682.72 | 35 | 277.07 | 35 |
| 401 | -9 | -10Max | 35.35 | | | | | | | | | 157.25 | 35 |
| 401 | -9 | -10Max | 50.00 | 0.00 | 35 | 0.00 | 35 | 0.00 | 35 | 274.89 | 35 | 177.47 | 35 |
| 401 | -9 | -10Min. | 0.00 | 0.00 | 35 | 0.00 | 35 | 0.00 | 35 | -682.72 | 35 | 277.07 | 35 |
| 401 | -9 | -10Min. | 35.35 | | | | | | | | | 157.25 | 35 |
| 401 | -9 | -10Min. | 50.00 | 0.00 | 35 | 0.00 | 35 | 0.00 | 35 | 274.89 | 35 | 177.47 | 35 |
| 401 | -10 | -11Max | 0.00 | 0.00 | 35 | 0.00 | 35 | 0.00 | 35 | -686.27 | 35 | 177.81 | 35 |
| 401 | -10 | -11Max | 37.95 | | | | | | | | | 48.83 | 35 |
| 401 | -10 | -11Max | 50.00 | 0.00 | 35 | 0.00 | 35 | 0.00 | 35 | 210.73 | 35 | 61.60 | 35 |
| 401 | -10 | -11Min. | 0.00 | 0.00 | 35 | 0.00 | 35 | 0.00 | 35 | -686.27 | 35 | 177.81 | 35 |
| 401 | -10 | -11Min. | 37.95 | | | | | | | | | 48.83 | 35 |
| 401 | -10 | -11Min. | 50.00 | 0.00 | 35 | 0.00 | 35 | 0.00 | 35 | 210.73 | 35 | 61.60 | 35 |
| 401 | -11 | -12Max | 0.00 | 0.00 | 35 | 0.00 | 35 | 0.00 | 35 | -658.14 | 35 | 62.34 | 35 |
| 401 | -11 | -12Max | 39.26 | | | | | | | | | -65.44 | 35 |
| 401 | -11 | -12Max | 50.00 | 0.00 | 35 | 0.00 | 35 | 0.00 | 35 | 173.57 | 35 | -56.07 | 35 |
| 401 | -11 | -12Min. | 0.00 | 0.00 | 35 | 0.00 | 35 | 0.00 | 35 | -658.14 | 35 | 62.34 | 35 |
| 401 | -11 | -12Min. | 39.26 | | | | | | | | | -65.44 | 35 |
| 401 | -11 | -12Min. | 50.00 | 0.00 | 35 | 0.00 | 35 | 0.00 | 35 | 173.57 | 35 | -56.07 | 35 |
| 401 | -12 | -13Max | 0.00 | 0.00 | 35 | 0.00 | 35 | 0.00 | 35 | -600.91 | 35 | -53.93 | 35 |
| 401 | -12 | -13Max | 38.80 | | | | | | | | | -169.23 | 35 |
| 401 | -12 | -13Max | 50.00 | 0.00 | 35 | 0.00 | 35 | 0.00 | 35 | 167.30 | 35 | -159.81 | 35 |
| 401 | -12 | -13Min. | 0.00 | 0.00 | 35 | 0.00 | 35 | 0.00 | 35 | -600.91 | 35 | -53.93 | 35 |
| 401 | -12 | -13Min. | 38.80 | | | | | | | | | -169.23 | 35 |
| 401 | -12 | -13Min. | 50.00 | 0.00 | 35 | 0.00 | 35 | 0.00 | 35 | 167.30 | 35 | -159.81 | 35 |
| 402 | -31 | -30Max | 0.00 | 0.00 | 35 | 0.00 | 35 | 0.00 | 35 | 306.05 | 35 | -31.12 | 35 |
| 402 | -31 | -30Max | 45.00 | 0.00 | 35 | 0.00 | 35 | 0.00 | 35 | 1097.64 | 35 | 281.92 | 35 |
| 402 | -31 | -30Min. | 0.00 | 0.00 | 35 | 0.00 | 35 | 0.00 | 35 | 306.05 | 35 | -31.12 | 35 |
| 402 | -31 | -30Min. | 45.00 | 0.00 | 35 | 0.00 | 35 | 0.00 | 35 | 1097.64 | 35 | 281.92 | 35 |
| 402 | -32 | -31Max | 0.00 | 0.00 | 35 | 0.00 | 35 | 0.00 | 35 | 538.68 | 35 | -435.29 | 35 |
| 402 | -32 | -31Max | 45.00 | 0.00 | 35 | 0.00 | 35 | 0.00 | 35 | 1256.37 | 35 | -34.08 | 35 |
| 402 | -32 | -31Min. | 0.00 | 0.00 | 35 | 0.00 | 35 | 0.00 | 35 | 538.68 | 35 | -435.29 | 35 |
| 402 | -32 | -31Min. | 45.00 | 0.00 | 35 | 0.00 | 35 | 0.00 | 35 | 1256.37 | 35 | -34.08 | 35 |
| 402 | -33 | -32Max | 0.00 | 0.00 | 35 | 0.00 | 35 | 0.00 | 35 | 424.54 | 35 | -741.13 | 35 |
| 402 | -33 | -32Max | 42.00 | 0.00 | 35 | 0.00 | 35 | 0.00 | 35 | 1037.01 | 35 | -435.85 | 35 |
| 402 | -33 | -32Min. | 0.00 | 0.00 | 35 | 0.00 | 35 | 0.00 | 35 | 424.54 | 35 | -741.13 | 35 |
| 402 | -33 | -32Min. | 42.00 | 0.00 | 35 | 0.00 | 35 | 0.00 | 35 | 1037.01 | 35 | -435.85 | 35 |
| 402 | -34 | -33Max | 0.00 | 0.00 | 35 | 0.00 | 35 | 0.00 | 35 | 35.57 | 35 | -875.99 | 35 |
| 402 | -34 | -33Max | 42.00 | 0.00 | 35 | 0.00 | 35 | 0.00 | 35 | 613.12 | 35 | -740.53 | 35 |
| 402 | -34 | -33Min. | 0.00 | 0.00 | 35 | 0.00 | 35 | 0.00 | 35 | 35.57 | 35 | -875.99 | 35 |
| 402 | -34 | -33Min. | 42.00 | 0.00 | 35 | 0.00 | 35 | 0.00 | 35 | 613.12 | 35 | -740.53 | 35 |
| 402 | -34 | -33Min. | 42.00 | 0.00 | 35 | 0.00 | 35 | 0.00 | 35 | 613.12 | 35 | -32.37 | 35 |

Tabulato di calcolo

| | | | | | | | | | | | | | | | | |
|-----|-----|-----|------|-------|------|----|------|----|------|----|----------|----|---------|----|--------|----|
| 402 | -35 | -34 | Max | 0.00 | 0.00 | 35 | 0.00 | 35 | 0.00 | 35 | -465.93 | 35 | -800.72 | 35 | -30.24 | 35 |
| 402 | -35 | -34 | Max | 34.31 | | | | | | | | | -880.48 | 35 | | |
| 402 | -35 | -34 | Max | 42.00 | 0.00 | 35 | 0.00 | 35 | 0.00 | 35 | 104.02 | 35 | -876.48 | 35 | -30.24 | 35 |
| 402 | -35 | -34 | Min. | 0.00 | 0.00 | 35 | 0.00 | 35 | 0.00 | 35 | -465.93 | 35 | -800.72 | 35 | -30.24 | 35 |
| 402 | -35 | -34 | Min. | 34.31 | | | | | | | | | -880.48 | 35 | | |
| 402 | -35 | -34 | Min. | 42.00 | 0.00 | 35 | 0.00 | 35 | 0.00 | 35 | 104.02 | 35 | -876.48 | 35 | -30.24 | 35 |
| 402 | -36 | -35 | Max | 0.00 | 0.00 | 35 | 0.00 | 35 | 0.00 | 35 | -916.82 | 35 | -541.64 | 35 | -28.74 | 35 |
| 402 | -36 | -35 | Max | 42.00 | 0.00 | 35 | 0.00 | 35 | 0.00 | 35 | -326.15 | 35 | -801.49 | 35 | -28.74 | 35 |
| 402 | -36 | -35 | Min. | 0.00 | 0.00 | 35 | 0.00 | 35 | 0.00 | 35 | -916.82 | 35 | -541.64 | 35 | -28.74 | 35 |
| 402 | -36 | -35 | Min. | 42.00 | 0.00 | 35 | 0.00 | 35 | 0.00 | 35 | -326.15 | 35 | -801.49 | 35 | -28.74 | 35 |
| 402 | -37 | -36 | Max | 0.00 | 0.00 | 35 | 0.00 | 35 | 0.00 | 35 | -1168.11 | 35 | -188.76 | 35 | -27.63 | 35 |
| 402 | -37 | -36 | Max | 42.00 | 0.00 | 35 | 0.00 | 35 | 0.00 | 35 | -533.84 | 35 | -544.34 | 35 | -27.63 | 35 |
| 402 | -37 | -36 | Min. | 0.00 | 0.00 | 35 | 0.00 | 35 | 0.00 | 35 | -1168.11 | 35 | -188.76 | 35 | -27.63 | 35 |
| 402 | -37 | -36 | Min. | 42.00 | 0.00 | 35 | 0.00 | 35 | 0.00 | 35 | -533.84 | 35 | -544.34 | 35 | -27.63 | 35 |
| 402 | -38 | -37 | Max | 0.00 | 0.00 | 35 | 0.00 | 35 | 0.00 | 35 | -1203.27 | 35 | 200.32 | 35 | -26.60 | 35 |
| 402 | -38 | -37 | Min. | 50.00 | 0.00 | 35 | 0.00 | 35 | 0.00 | 35 | -374.00 | 35 | -190.47 | 35 | -26.60 | 35 |
| 402 | -38 | -37 | Min. | 50.00 | 0.00 | 35 | 0.00 | 35 | 0.00 | 35 | -374.00 | 35 | -190.47 | 35 | -26.60 | 35 |
| 402 | -39 | -38 | Max | 0.00 | 0.00 | 35 | 0.00 | 35 | 0.00 | 35 | -922.09 | 35 | 428.88 | 35 | -25.50 | 35 |
| 402 | -39 | -38 | Max | 50.00 | 0.00 | 35 | 0.00 | 35 | 0.00 | 35 | -11.06 | 35 | 198.78 | 35 | -25.50 | 35 |
| 402 | -39 | -38 | Min. | 0.00 | 0.00 | 35 | 0.00 | 35 | 0.00 | 35 | -922.09 | 35 | 428.88 | 35 | -25.50 | 35 |
| 402 | -39 | -38 | Min. | 50.00 | 0.00 | 35 | 0.00 | 35 | 0.00 | 35 | -11.06 | 35 | 198.78 | 35 | -25.50 | 35 |
| 402 | -40 | -39 | Max | 0.00 | 0.00 | 35 | 0.00 | 35 | 0.00 | 35 | -583.22 | 35 | 475.93 | 35 | -24.24 | 35 |
| 402 | -40 | -39 | Max | 29.49 | | | | | | | | | 390.44 | 35 | | |
| 402 | -40 | -39 | Max | 50.00 | 0.00 | 35 | 0.00 | 35 | 0.00 | 35 | 394.71 | 35 | 431.14 | 35 | -24.24 | 35 |
| 402 | -40 | -39 | Min. | 0.00 | 0.00 | 35 | 0.00 | 35 | 0.00 | 35 | -583.22 | 35 | 475.93 | 35 | -24.24 | 35 |
| 402 | -40 | -39 | Min. | 29.49 | | | | | | | | | 390.44 | 35 | | |
| 402 | -40 | -39 | Min. | 50.00 | 0.00 | 35 | 0.00 | 35 | 0.00 | 35 | 394.71 | 35 | 431.14 | 35 | -24.24 | 35 |
| 402 | -41 | -40 | Max | 0.00 | 0.00 | 35 | 0.00 | 35 | 0.00 | 35 | -338.21 | 35 | 389.46 | 35 | -22.55 | 35 |
| 402 | -41 | -40 | Max | 16.38 | | | | | | | | | 361.81 | 35 | | |
| 402 | -41 | -40 | Max | 50.00 | 0.00 | 35 | 0.00 | 35 | 0.00 | 35 | 683.96 | 35 | 477.25 | 35 | -22.55 | 35 |
| 402 | -41 | -40 | Min. | 0.00 | 0.00 | 35 | 0.00 | 35 | 0.00 | 35 | -338.21 | 35 | 389.46 | 35 | -22.55 | 35 |
| 402 | -41 | -40 | Min. | 16.38 | | | | | | | | | 361.81 | 35 | | |
| 402 | -41 | -40 | Min. | 50.00 | 0.00 | 35 | 0.00 | 35 | 0.00 | 35 | 683.96 | 35 | 477.25 | 35 | -22.55 | 35 |
| 402 | -42 | -41 | Max | 0.00 | 0.00 | 35 | 0.00 | 35 | 0.00 | 35 | -237.38 | 35 | 249.20 | 35 | -19.70 | 35 |
| 402 | -42 | -41 | Max | 11.31 | | | | | | | | | 235.78 | 35 | | |
| 402 | -42 | -41 | Max | 50.00 | 0.00 | 35 | 0.00 | 35 | 0.00 | 35 | 807.29 | 35 | 392.23 | 35 | -19.70 | 35 |
| 402 | -42 | -41 | Min. | 0.00 | 0.00 | 35 | 0.00 | 35 | 0.00 | 35 | -237.38 | 35 | 249.20 | 35 | -19.70 | 35 |
| 402 | -42 | -41 | Min. | 11.31 | | | | | | | | | 235.78 | 35 | | |
| 402 | -42 | -41 | Min. | 50.00 | 0.00 | 35 | 0.00 | 35 | 0.00 | 35 | 807.29 | 35 | 392.23 | 35 | -19.70 | 35 |
| 402 | -43 | -42 | Max | 0.00 | 0.00 | 35 | 0.00 | 35 | 0.00 | 35 | -220.78 | 35 | 100.36 | 35 | -15.14 | 35 |
| 402 | -43 | -42 | Max | 10.38 | | | | | | | | | 88.78 | 35 | | |
| 402 | -43 | -42 | Max | 50.00 | 0.00 | 35 | 0.00 | 35 | 0.00 | 35 | 830.81 | 35 | 252.94 | 35 | -15.14 | 35 |
| 402 | -43 | -42 | Min. | 0.00 | 0.00 | 35 | 0.00 | 35 | 0.00 | 35 | -220.78 | 35 | 100.36 | 35 | -15.14 | 35 |
| 402 | -43 | -42 | Min. | 10.38 | | | | | | | | | 88.78 | 35 | | |
| 402 | -43 | -42 | Min. | 50.00 | 0.00 | 35 | 0.00 | 35 | 0.00 | 35 | 830.81 | 35 | 252.94 | 35 | -15.14 | 35 |
| 403 | -13 | -15 | Max | 0.00 | 0.00 | 35 | 0.00 | 35 | 0.00 | 35 | -569.59 | 35 | -180.27 | 35 | 152.97 | 35 |
| 403 | -13 | -15 | Max | 40.38 | | | | | | | | | -293.32 | 35 | | |
| 403 | -13 | -15 | Max | 50.00 | 0.00 | 35 | 0.00 | 35 | 0.00 | 35 | 130.29 | 35 | -286.97 | 35 | 152.97 | 35 |
| 403 | -13 | -15 | Min. | 0.00 | 0.00 | 35 | 0.00 | 35 | 0.00 | 35 | -569.59 | 35 | -180.27 | 35 | 152.97 | 35 |
| 403 | -13 | -15 | Min. | 40.38 | | | | | | | | | -293.32 | 35 | | |
| 403 | -13 | -15 | Min. | 50.00 | 0.00 | 35 | 0.00 | 35 | 0.00 | 35 | 130.29 | 35 | -286.97 | 35 | 152.97 | 35 |
| 403 | -15 | -16 | Max | 0.00 | 0.00 | 35 | 0.00 | 35 | 0.00 | 35 | -478.85 | 35 | -285.59 | 35 | 146.82 | 35 |
| 403 | -15 | -16 | Max | 37.41 | | | | | | | | | -374.06 | 35 | | |
| 403 | -15 | -16 | Max | 50.00 | 0.00 | 35 | 0.00 | 35 | 0.00 | 35 | 154.49 | 35 | -364.29 | 35 | 146.82 | 35 |
| 403 | -15 | -16 | Min. | 0.00 | 0.00 | 35 | 0.00 | 35 | 0.00 | 35 | -478.85 | 35 | -285.59 | 35 | 146.82 | 35 |
| 403 | -15 | -16 | Min. | 37.41 | | | | | | | | | -374.06 | 35 | | |
| 403 | -15 | -16 | Min. | 50.00 | 0.00 | 35 | 0.00 | 35 | 0.00 | 35 | 154.49 | 35 | -364.29 | 35 | 146.82 | 35 |
| 403 | -16 | -17 | Max | 0.00 | 0.00 | 35 | 0.00 | 35 | 0.00 | 35 | -409.65 | 35 | -363.45 | 35 | 144.54 | 35 |
| 403 | -16 | -17 | Max | 34.61 | | | | | | | | | -433.80 | 35 | | |
| 403 | -16 | -17 | Max | 50.00 | 0.00 | 35 | 0.00 | 35 | 0.00 | 35 | 176.96 | 35 | -420.15 | 35 | 144.54 | 35 |
| 403 | -16 | -17 | Min. | 0.00 | 0.00 | 35 | 0.00 | 35 | 0.00 | 35 | -409.65 | 35 | -363.45 | 35 | 144.54 | 35 |
| 403 | -16 | -17 | Min. | 34.61 | | | | | | | | | -433.80 | 35 | | |
| 403 | -16 | -17 | Min. | 50.00 | 0.00 | 35 | 0.00 | 35 | 0.00 | 35 | 176.96 | 35 | -420.15 | 35 | 144.54 | 35 |
| 403 | -17 | -18 | Max | 0.00 | 0.00 | 35 | 0.00 | 35 | 0.00 | 35 | -363.08 | 35 | -419.52 | 35 | 143.16 | 35 |
| 403 | -17 | -18 | Max | 32.13 | | | | | | | | | -477.67 | 35 | | |
| 403 | -17 | -18 | Max | 50.00 | 0.00 | 35 | 0.00 | 35 | 0.00 | 35 | 200.33 | 35 | -459.77 | 35 | 143.16 | 35 |
| 403 | -17 | -18 | Min. | 0.00 | 0.00 | 35 | 0.00 | 35 | 0.00 | 35 | -363.08 | 35 | -419.52 | 35 | 143.16 | 35 |
| 403 | -17 | -18 | Min. | 32.13 | | | | | | | | | -477.67 | 35 | | |
| 403 | -17 | -18 | Min. | 50.00 | 0.00 | 35 | 0.00 | 35 | 0.00 | 35 | 200.33 | 35 | -459.77 | 35 | 143.16 | 35 |
| 403 | -18 | -20 | Max | 0.00 | 0.00 | 35 | 0.00 | 35 | 0.00 | 35 | -328.01 | 35 | -459.36 | 35 | 141.95 | 35 |
| 403 | -18 | -20 | Max | 29.13 | | | | | | | | | -507.24 | 35 | | |
| 403 | -18 | -20 | Max | 50.00 | 0.00 | 35 | 0.00 | 35 | 0.00 | 35 | 238.39 | 35 | -482.46 | 35 | 141.95 | 35 |
| 403 | -18 | -20 | Min. | 0.00 | 0.00 | 35 | 0.00 | 35 | 0.00 | 35 | -328.01 | 35 | -459.36 | 35 | 141.95 | 35 |
| 403 | -18 | -20 | Min. | 29.13 | | | | | | | | | -507.24 | 35 | | |
| 403 | -18 | -20 | Min. | 50.00 | 0.00 | 35 | 0.00 | 35 | 0.00 | 35 | 238.39 | 35 | -482.46 | 35 | 141.95 | 35 |
| 403 | -19 | -20 | Max | 0.00 | 0.00 | 35 | 0.00 | 35 | 0.00 | 35 | -293.21 | 35 | -482.25 | 35 | 140.59 | 35 |
| 403 | -19 | -20 | Max | 25.01 | | | | | | | | | -519.12 | 35 | | |
| 403 | -19 | -20 | Max | 50.00 | 0.00 | 35 | 0.00 | 35 | 0.00 | 35 | 304.15 | 35 | -481.40 | 35 | 140.59 | 35 |
| 403 | -19 | -20 | Min. | 0.00 | 0.00 | 35 | 0.00 | 35 | 0.00 | 35 | -293.21 | 35 | -482.25 | 35 | 140.59 | 35 |
| 403 | -19 | -20 | Min. | 25.01 | | | | | | | | | -519.12 | 35 | | |

Tabulato di calcolo

| | | | | | | | | | | | | | | | | |
|-----|-----|-----|------|--------|------|----|------|----|------|----|---------|----------|---------|----|---------|----|
| 403 | -20 | -22 | Min. | 50.00 | 0.00 | 35 | 0.00 | 35 | 0.00 | 35 | 304.15 | 35 | -481.40 | 35 | 140.59 | 35 |
| 403 | -22 | -24 | Max | 0.00 | 0.00 | 35 | 0.00 | 35 | 0.00 | 35 | -247.85 | 35 | -481.36 | 35 | 138.66 | 35 |
| 403 | -22 | -24 | Max | 19.49 | | | | | | | | | -505.71 | 35 | | |
| 403 | -22 | -24 | Max | 50.00 | 0.00 | 35 | 0.00 | 35 | 0.00 | 35 | 409.07 | 35 | -444.12 | 35 | 138.66 | 35 |
| 403 | -22 | -24 | Min. | 0.00 | 0.00 | 35 | 0.00 | 35 | 0.00 | 35 | -247.85 | 35 | -481.36 | 35 | 138.66 | 35 |
| 403 | -22 | -24 | Min. | 19.49 | | | | | | | | -505.71 | 35 | | | |
| 403 | -22 | -24 | Min. | 50.00 | 0.00 | 35 | 0.00 | 35 | 0.00 | 35 | 409.07 | 35 | -444.12 | 35 | 138.66 | 35 |
| 403 | -24 | -26 | Max | 0.00 | 0.00 | 35 | 0.00 | 35 | 0.00 | 35 | -184.18 | 35 | -444.24 | 35 | 135.58 | 35 |
| 403 | -24 | -26 | Max | 12.98 | | | | | | | | -456.29 | 35 | | | |
| 403 | -24 | -26 | Max | 50.00 | 0.00 | 35 | 0.00 | 35 | 0.00 | 35 | 559.91 | 35 | -354.48 | 35 | 135.58 | 35 |
| 403 | -24 | -26 | Min. | 0.00 | 0.00 | 35 | 0.00 | 35 | 0.00 | 35 | -184.18 | 35 | -444.24 | 35 | 135.58 | 35 |
| 403 | -24 | -26 | Min. | 12.98 | | | | | | | | -456.29 | 35 | | | |
| 403 | -24 | -26 | Min. | 50.00 | 0.00 | 35 | 0.00 | 35 | 0.00 | 35 | 559.91 | 35 | -354.48 | 35 | 135.58 | 35 |
| 403 | -26 | -28 | Max | 0.00 | 0.00 | 35 | 0.00 | 35 | 0.00 | 35 | -102.73 | 35 | -354.65 | 35 | 129.68 | 35 |
| 403 | -26 | -28 | Max | 6.36 | | | | | | | | -357.94 | 35 | | | |
| 403 | -26 | -28 | Max | 50.00 | 0.00 | 35 | 0.00 | 35 | 0.00 | 35 | 752.65 | 35 | -197.23 | 35 | 129.68 | 35 |
| 403 | -26 | -28 | Min. | 0.00 | 0.00 | 35 | 0.00 | 35 | 0.00 | 35 | -102.73 | 35 | -354.65 | 35 | 129.68 | 35 |
| 403 | -26 | -28 | Min. | 6.36 | | | | | | | | -357.94 | 35 | | | |
| 403 | -26 | -28 | Min. | 50.00 | 0.00 | 35 | 0.00 | 35 | 0.00 | 35 | 752.65 | 35 | -197.23 | 35 | 129.68 | 35 |
| 403 | -28 | -43 | Max | 0.00 | 0.00 | 35 | 0.00 | 35 | 0.00 | 35 | -58.12 | 35 | -198.26 | 35 | 115.07 | 35 |
| 403 | -28 | -43 | Max | 3.14 | | | | | | | | -199.18 | 35 | | | |
| 403 | -28 | -43 | Max | 50.00 | 0.00 | 35 | 0.00 | 35 | 0.00 | 35 | 925.95 | 35 | 13.09 | 35 | 115.07 | 35 |
| 403 | -28 | -43 | Min. | 0.00 | 0.00 | 35 | 0.00 | 35 | 0.00 | 35 | -58.12 | 35 | -198.26 | 35 | 115.07 | 35 |
| 403 | -28 | -43 | Min. | 3.14 | | | | | | | | -199.18 | 35 | | | |
| 403 | -28 | -43 | Min. | 50.00 | 0.00 | 35 | 0.00 | 35 | 0.00 | 35 | 925.95 | 35 | 13.09 | 35 | 115.07 | 35 |
| 404 | -14 | -1 | Max | 0.00 | 0.00 | 35 | 0.00 | 35 | 0.00 | 35 | 837.50 | 35 | -264.82 | 35 | -355.78 | 35 |
| 404 | -14 | -1 | Max | 40.00 | 0.00 | 35 | 0.00 | 35 | 0.00 | 35 | 1462.20 | 35 | 191.51 | 35 | -355.78 | 35 |
| 404 | -14 | -1 | Min. | 0.00 | 0.00 | 35 | 0.00 | 35 | 0.00 | 35 | 837.50 | 35 | -264.82 | 35 | -355.78 | 35 |
| 404 | -14 | -1 | Min. | 40.00 | 0.00 | 35 | 0.00 | 35 | 0.00 | 35 | 1462.20 | 35 | 191.51 | 35 | -355.78 | 35 |
| 404 | -19 | -14 | Max | 0.00 | 0.00 | 35 | 0.00 | 35 | 0.00 | 35 | -560.08 | 35 | -868.27 | 35 | -349.60 | 35 |
| 404 | -19 | -14 | Max | 71.16 | | | | | | | | -1067.86 | 35 | | | |
| 404 | -19 | -14 | Max | 200.00 | 0.00 | 35 | 0.00 | 35 | 0.00 | 35 | 1378.95 | 35 | -263.95 | 35 | -349.60 | 35 |
| 404 | -19 | -14 | Min. | 0.00 | 0.00 | 35 | 0.00 | 35 | 0.00 | 35 | -560.08 | 35 | -868.27 | 35 | -349.60 | 35 |
| 404 | -19 | -14 | Min. | 71.16 | | | | | | | | -1067.86 | 35 | | | |
| 404 | -19 | -14 | Min. | 200.00 | 0.00 | 35 | 0.00 | 35 | 0.00 | 35 | 1378.95 | 35 | -263.95 | 35 | -349.60 | 35 |
| 404 | -21 | -19 | Max | 0.00 | 0.00 | 35 | 0.00 | 35 | 0.00 | 35 | -718.78 | 35 | -636.67 | 35 | -347.48 | 35 |
| 404 | -21 | -19 | Max | 43.33 | 0.00 | 35 | 0.00 | 35 | 0.00 | 35 | -355.81 | 35 | -868.08 | 35 | -347.48 | 35 |
| 404 | -21 | -19 | Min. | 0.00 | 0.00 | 35 | 0.00 | 35 | 0.00 | 35 | -718.78 | 35 | -636.67 | 35 | -347.48 | 35 |
| 404 | -21 | -19 | Min. | 43.33 | 0.00 | 35 | 0.00 | 35 | 0.00 | 35 | -355.81 | 35 | -868.08 | 35 | -347.48 | 35 |
| 404 | -23 | -21 | Max | 0.00 | 0.00 | 35 | 0.00 | 35 | 0.00 | 35 | -725.92 | 35 | -414.03 | 35 | -341.80 | 35 |
| 404 | -23 | -21 | Max | 43.33 | 0.00 | 35 | 0.00 | 35 | 0.00 | 35 | -311.36 | 35 | -636.50 | 35 | -341.80 | 35 |
| 404 | -23 | -21 | Min. | 0.00 | 0.00 | 35 | 0.00 | 35 | 0.00 | 35 | -725.92 | 35 | -414.03 | 35 | -341.80 | 35 |
| 404 | -23 | -21 | Min. | 43.33 | 0.00 | 35 | 0.00 | 35 | 0.00 | 35 | -311.36 | 35 | -636.50 | 35 | -341.80 | 35 |
| 404 | -25 | -23 | Max | 0.00 | 0.00 | 35 | 0.00 | 35 | 0.00 | 35 | -711.18 | 35 | -213.62 | 35 | -334.15 | 35 |
| 404 | -25 | -23 | Max | 43.33 | 0.00 | 35 | 0.00 | 35 | 0.00 | 35 | -225.04 | 35 | -413.62 | 35 | -334.15 | 35 |
| 404 | -25 | -23 | Min. | 0.00 | 0.00 | 35 | 0.00 | 35 | 0.00 | 35 | -711.18 | 35 | -213.62 | 35 | -334.15 | 35 |
| 404 | -25 | -23 | Min. | 43.33 | 0.00 | 35 | 0.00 | 35 | 0.00 | 35 | -225.04 | 35 | -413.62 | 35 | -334.15 | 35 |
| 404 | -27 | -25 | Max | 0.00 | 0.00 | 35 | 0.00 | 35 | 0.00 | 35 | -656.16 | 35 | -55.90 | 35 | -324.52 | 35 |
| 404 | -27 | -25 | Max | 43.33 | 0.00 | 35 | 0.00 | 35 | 0.00 | 35 | -86.12 | 35 | -213.55 | 35 | -324.52 | 35 |
| 404 | -27 | -25 | Min. | 0.00 | 0.00 | 35 | 0.00 | 35 | 0.00 | 35 | -656.16 | 35 | -55.90 | 35 | -324.52 | 35 |
| 404 | -27 | -25 | Min. | 43.33 | 0.00 | 35 | 0.00 | 35 | 0.00 | 35 | -86.12 | 35 | -213.55 | 35 | -324.52 | 35 |
| 404 | -29 | -27 | Max | 0.00 | 0.00 | 35 | 0.00 | 35 | 0.00 | 35 | -524.00 | 35 | 24.38 | 35 | -312.23 | 35 |
| 404 | -29 | -27 | Max | 33.94 | | | | | | | | -62.86 | 35 | | | |
| 404 | -29 | -27 | Max | 43.33 | 0.00 | 35 | 0.00 | 35 | 0.00 | 35 | 135.88 | 35 | -56.42 | 35 | -312.23 | 35 |
| 404 | -29 | -27 | Min. | 0.00 | 0.00 | 35 | 0.00 | 35 | 0.00 | 35 | -524.00 | 35 | 24.38 | 35 | -312.23 | 35 |
| 404 | -29 | -27 | Min. | 33.94 | | | | | | | | -62.86 | 35 | | | |
| 404 | -29 | -27 | Min. | 43.33 | 0.00 | 35 | 0.00 | 35 | 0.00 | 35 | 135.88 | 35 | -56.42 | 35 | -312.23 | 35 |
| 404 | -30 | -29 | Max | 0.00 | 0.00 | 35 | 0.00 | 35 | 0.00 | 35 | -234.62 | 35 | -42.29 | 35 | -295.31 | 35 |
| 404 | -30 | -29 | Max | 12.98 | | | | | | | | -57.42 | 35 | | | |
| 404 | -30 | -29 | Max | 43.33 | 0.00 | 35 | 0.00 | 35 | 0.00 | 35 | 516.91 | 35 | 22.20 | 35 | -295.31 | 35 |
| 404 | -30 | -29 | Min. | 0.00 | 0.00 | 35 | 0.00 | 35 | 0.00 | 35 | -234.62 | 35 | -42.29 | 35 | -295.31 | 35 |
| 404 | -30 | -29 | Min. | 12.98 | | | | | | | | -57.42 | 35 | | | |
| 404 | -30 | -29 | Min. | 43.33 | 0.00 | 35 | 0.00 | 35 | 0.00 | 35 | 516.91 | 35 | 22.20 | 35 | -295.31 | 35 |

Tipo di combinazione di carico: SLE Q

| Asta | N1 | N2 | | X <cm> | N <daNm> | CC <daN> | Ty <daNm> | CC <daNm> | Mz <daNm> | CC <daNm> | Tz <daNm> | CC <daNm> | My <daNm> | CC <daNm> | Mx <daNm> | CC <daNm> |
|------|----|----|------|-----------|-------------|-------------|--------------|--------------|--------------|--------------|--------------|--------------|--------------|--------------|--------------|--------------|
| 401 | -1 | -2 | Max | 0.00 | 0.00 | 36 | 0.00 | 36 | 0.00 | 36 | 257.99 | 36 | -356.05 | 36 | -185.93 | 36 |
| 401 | -1 | -2 | Max | 50.00 | 0.00 | 36 | 0.00 | 36 | 0.00 | 36 | 1111.52 | 36 | -15.87 | 36 | -185.93 | 36 |
| 401 | -1 | -2 | Min. | 0.00 | 0.00 | 36 | 0.00 | 36 | 0.00 | 36 | 257.99 | 36 | -356.05 | 36 | -185.93 | 36 |
| 401 | -1 | -2 | Min. | 50.00 | 0.00 | 36 | 0.00 | 36 | 0.00 | 36 | 1111.52 | 36 | -15.87 | 36 | -185.93 | 36 |
| 401 | -2 | -3 | Max | 0.00 | 0.00 | 36 | 0.00 | 36 | 0.00 | 36 | -28.14 | 36 | -18.22 | 36 | -186.16 | 36 |
| 401 | -2 | -3 | Max | 1.59 | | | | | | | | | -18.45 | 36 | | |
| 401 | -2 | -3 | Max | 50.00 | 0.00 | 36 | 0.00 | 36 | 0.00 | 36 | 881.20 | 36 | 192.67 | 36 | -186.16 | 36 |
| 401 | -2 | -3 | Min. | 0.00 | 0.00 | 36 | 0.00 | 36 | 0.00 | 36 | -28.14 | 36 | -18.22 | 36 | -186.16 | 36 |
| 401 | -2 | -3 | Min. | 1.59 | | | | | | | | -18.45 | 36 | | | |
| 401 | -2 | -3 | Min. | 50.00 | 0.00 | 36 | 0.00 | 36 | 0.00 | 36 | 881.20 | 36 | 192.67 | 36 | -186.16 | 36 |
| 401 | -3 | -4 | Max | 0.00 | 0.00 | 36 | 0.00 | 36 | 0.00 | 36 | -223.21 | 36 | 191.68 | 36 | -185.41 | 36 |
| 401 | -3 | -4 | Max | 11.81 | | | | | | | | 178.45 | 36 | | | |
| 401 | -3 | -4 | Max | 50.00 | 0.00 | 36 | 0.00 | 36 | 0.00 | 36 | 739.62 | 36 | 318.74 | 36 | -185.41 | 36 |

Tabulato di calcolo

| | | | | | | | | | | | | | | | |
|-----|-----|---------|-------|------|----|------|----|------|----|---------|----|---------|----|---------|----|
| 401 | -3 | -4Min. | 0.00 | 0.00 | 36 | 0.00 | 36 | 0.00 | 36 | -223.21 | 36 | 191.68 | 36 | -185.41 | 36 |
| 401 | -3 | -4Min. | 11.81 | | | | | | | | | 178.45 | 36 | | |
| 401 | -3 | -4Min. | 50.00 | 0.00 | 36 | 0.00 | 36 | 0.00 | 36 | 739.62 | 36 | 318.74 | 36 | -185.41 | 36 |
| 401 | -4 | -5Max | 0.00 | 0.00 | 36 | 0.00 | 36 | 0.00 | 36 | -367.41 | 36 | 317.99 | 36 | -184.27 | 36 |
| 401 | -4 | -5Max | 18.48 | | | | | | | | | 283.95 | 36 | | |
| 401 | -4 | -5Max | 50.00 | 0.00 | 36 | 0.00 | 36 | 0.00 | 36 | 637.08 | 36 | 384.01 | 36 | -184.27 | 36 |
| 401 | -4 | -5Min. | 0.00 | 0.00 | 36 | 0.00 | 36 | 0.00 | 36 | -367.41 | 36 | 317.99 | 36 | -184.27 | 36 |
| 401 | -4 | -5Min. | 18.48 | | | | | | | | | 283.95 | 36 | | |
| 401 | -4 | -5Min. | 50.00 | 0.00 | 36 | 0.00 | 36 | 0.00 | 36 | 637.08 | 36 | 384.01 | 36 | -184.27 | 36 |
| 401 | -5 | -6Max | 0.00 | 0.00 | 36 | 0.00 | 36 | 0.00 | 36 | -472.60 | 36 | 383.55 | 36 | -183.06 | 36 |
| 401 | -5 | -6Max | 23.05 | | | | | | | | | 328.98 | 36 | | |
| 401 | -5 | -6Max | 50.00 | 0.00 | 36 | 0.00 | 36 | 0.00 | 36 | 556.23 | 36 | 403.84 | 36 | -183.06 | 36 |
| 401 | -5 | -6Min. | 0.00 | 0.00 | 36 | 0.00 | 36 | 0.00 | 36 | -472.60 | 36 | 383.55 | 36 | -183.06 | 36 |
| 401 | -5 | -6Min. | 23.05 | | | | | | | | | 328.98 | 36 | | |
| 401 | -5 | -6Min. | 50.00 | 0.00 | 36 | 0.00 | 36 | 0.00 | 36 | 556.23 | 36 | 403.84 | 36 | -183.06 | 36 |
| 401 | -6 | -7Max | 0.00 | 0.00 | 36 | 0.00 | 36 | 0.00 | 36 | -548.81 | 36 | 403.48 | 36 | -181.84 | 36 |
| 401 | -6 | -7Max | 26.52 | | | | | | | | | 330.71 | 36 | | |
| 401 | -6 | -7Max | 50.00 | 0.00 | 36 | 0.00 | 36 | 0.00 | 36 | 484.67 | 36 | 387.67 | 36 | -181.84 | 36 |
| 401 | -6 | -7Min. | 0.00 | 0.00 | 36 | 0.00 | 36 | 0.00 | 36 | -548.81 | 36 | 403.48 | 36 | -181.84 | 36 |
| 401 | -6 | -7Min. | 26.52 | | | | | | | | | 330.71 | 36 | | |
| 401 | -6 | -7Min. | 50.00 | 0.00 | 36 | 0.00 | 36 | 0.00 | 36 | 484.67 | 36 | 387.67 | 36 | -181.84 | 36 |
| 401 | -7 | -8Max | 0.00 | 0.00 | 36 | 0.00 | 36 | 0.00 | 36 | -603.90 | 36 | 387.40 | 36 | -180.60 | 36 |
| 401 | -7 | -8Max | 29.63 | | | | | | | | | 298.50 | 36 | | |
| 401 | -7 | -8Max | 50.00 | 0.00 | 36 | 0.00 | 36 | 0.00 | 36 | 414.35 | 36 | 341.05 | 36 | -180.60 | 36 |
| 401 | -7 | -8Min. | 0.00 | 0.00 | 36 | 0.00 | 36 | 0.00 | 36 | -603.90 | 36 | 387.40 | 36 | -180.60 | 36 |
| 401 | -7 | -8Min. | 29.63 | | | | | | | | | 298.50 | 36 | | |
| 401 | -7 | -8Min. | 50.00 | 0.00 | 36 | 0.00 | 36 | 0.00 | 36 | 414.35 | 36 | 341.05 | 36 | -180.60 | 36 |
| 401 | -8 | -9Max | 0.00 | 0.00 | 36 | 0.00 | 36 | 0.00 | 36 | -643.00 | 36 | 340.88 | 36 | -179.36 | 36 |
| 401 | -8 | -9Max | 32.41 | | | | | | | | | 237.16 | 36 | | |
| 401 | -8 | -9Max | 50.00 | 0.00 | 36 | 0.00 | 36 | 0.00 | 36 | 341.95 | 36 | 267.34 | 36 | -179.36 | 36 |
| 401 | -8 | -9Min. | 0.00 | 0.00 | 36 | 0.00 | 36 | 0.00 | 36 | -643.00 | 36 | 340.88 | 36 | -179.36 | 36 |
| 401 | -8 | -9Min. | 32.41 | | | | | | | | | 237.16 | 36 | | |
| 401 | -8 | -9Min. | 50.00 | 0.00 | 36 | 0.00 | 36 | 0.00 | 36 | 341.95 | 36 | 267.34 | 36 | -179.36 | 36 |
| 401 | -9 | -10Max | 0.00 | 0.00 | 36 | 0.00 | 36 | 0.00 | 36 | -666.50 | 36 | 267.34 | 36 | -178.15 | 36 |
| 401 | -9 | -10Max | 35.28 | | | | | | | | | 150.58 | 36 | | |
| 401 | -9 | -10Max | 50.00 | 0.00 | 36 | 0.00 | 36 | 0.00 | 36 | 270.30 | 36 | 170.55 | 36 | -178.15 | 36 |
| 401 | -9 | -10Min. | 0.00 | 0.00 | 36 | 0.00 | 36 | 0.00 | 36 | -666.50 | 36 | 267.34 | 36 | -178.15 | 36 |
| 401 | -9 | -10Min. | 35.28 | | | | | | | | | 150.58 | 36 | | |
| 401 | -9 | -10Min. | 50.00 | 0.00 | 36 | 0.00 | 36 | 0.00 | 36 | 270.30 | 36 | 170.55 | 36 | -178.15 | 36 |
| 401 | -10 | -11Max | 0.00 | 0.00 | 36 | 0.00 | 36 | 0.00 | 36 | -669.53 | 36 | 170.88 | 36 | -177.06 | 36 |
| 401 | -10 | -11Max | 37.80 | | | | | | | | | 45.51 | 36 | | |
| 401 | -10 | -11Max | 50.00 | 0.00 | 36 | 0.00 | 36 | 0.00 | 36 | 209.03 | 36 | 58.32 | 36 | -177.06 | 36 |
| 401 | -10 | -11Min. | 0.00 | 0.00 | 36 | 0.00 | 36 | 0.00 | 36 | -669.53 | 36 | 170.88 | 36 | -177.06 | 36 |
| 401 | -10 | -11Min. | 37.80 | | | | | | | | | 45.51 | 36 | | |
| 401 | -10 | -11Min. | 50.00 | 0.00 | 36 | 0.00 | 36 | 0.00 | 36 | 209.03 | 36 | 58.32 | 36 | -177.06 | 36 |
| 401 | -11 | -12Max | 0.00 | 0.00 | 36 | 0.00 | 36 | 0.00 | 36 | -641.80 | 36 | 59.04 | 36 | -176.38 | 36 |
| 401 | -11 | -12Max | 39.03 | | | | | | | | | -64.87 | 36 | | |
| 401 | -11 | -12Max | 50.00 | 0.00 | 36 | 0.00 | 36 | 0.00 | 36 | 174.11 | 36 | -55.27 | 36 | -176.38 | 36 |
| 401 | -11 | -12Min. | 0.00 | 0.00 | 36 | 0.00 | 36 | 0.00 | 36 | -641.80 | 36 | 59.04 | 36 | -176.38 | 36 |
| 401 | -11 | -12Min. | 39.03 | | | | | | | | | -64.87 | 36 | | |
| 401 | -11 | -12Min. | 50.00 | 0.00 | 36 | 0.00 | 36 | 0.00 | 36 | 174.11 | 36 | -55.27 | 36 | -176.38 | 36 |
| 401 | -12 | -13Max | 0.00 | 0.00 | 36 | 0.00 | 36 | 0.00 | 36 | -586.05 | 36 | -53.20 | 36 | -176.19 | 36 |
| 401 | -12 | -13Max | 38.49 | | | | | | | | | -164.81 | 36 | | |
| 401 | -12 | -13Max | 50.00 | 0.00 | 36 | 0.00 | 36 | 0.00 | 36 | 169.03 | 36 | -155.04 | 36 | -176.19 | 36 |
| 401 | -12 | -13Min. | 0.00 | 0.00 | 36 | 0.00 | 36 | 0.00 | 36 | -586.05 | 36 | -53.20 | 36 | -176.19 | 36 |
| 401 | -12 | -13Min. | 38.49 | | | | | | | | | -164.81 | 36 | | |
| 401 | -12 | -13Min. | 50.00 | 0.00 | 36 | 0.00 | 36 | 0.00 | 36 | 169.03 | 36 | -155.04 | 36 | -176.19 | 36 |
| 402 | -31 | -30Max | 0.00 | 0.00 | 36 | 0.00 | 36 | 0.00 | 36 | 297.80 | 36 | -29.52 | 36 | -39.98 | 36 |
| 402 | -31 | -30Max | 45.00 | 0.00 | 36 | 0.00 | 36 | 0.00 | 36 | 1072.25 | 36 | 276.01 | 36 | -39.98 | 36 |
| 402 | -31 | -30Min. | 0.00 | 0.00 | 36 | 0.00 | 36 | 0.00 | 36 | 297.80 | 36 | -29.52 | 36 | -39.98 | 36 |
| 402 | -31 | -30Min. | 45.00 | 0.00 | 36 | 0.00 | 36 | 0.00 | 36 | 1072.25 | 36 | 276.01 | 36 | -39.98 | 36 |
| 402 | -32 | -31Max | 0.00 | 0.00 | 36 | 0.00 | 36 | 0.00 | 36 | 522.93 | 36 | -423.08 | 36 | -36.78 | 36 |
| 402 | -32 | -31Max | 45.00 | 0.00 | 36 | 0.00 | 36 | 0.00 | 36 | 1225.14 | 36 | -32.38 | 36 | -36.78 | 36 |
| 402 | -32 | -31Min. | 0.00 | 0.00 | 36 | 0.00 | 36 | 0.00 | 36 | 522.93 | 36 | -423.08 | 36 | -36.78 | 36 |
| 402 | -32 | -31Min. | 45.00 | 0.00 | 36 | 0.00 | 36 | 0.00 | 36 | 1225.14 | 36 | -32.38 | 36 | -36.78 | 36 |
| 402 | -33 | -32Max | 0.00 | 0.00 | 36 | 0.00 | 36 | 0.00 | 36 | 412.01 | 36 | -720.90 | 36 | -33.56 | 36 |
| 402 | -33 | -32Max | 42.00 | 0.00 | 36 | 0.00 | 36 | 0.00 | 36 | 1011.29 | 36 | -423.61 | 36 | -33.56 | 36 |
| 402 | -33 | -32Min. | 0.00 | 0.00 | 36 | 0.00 | 36 | 0.00 | 36 | 412.01 | 36 | -720.90 | 36 | -33.56 | 36 |
| 402 | -33 | -32Min. | 42.00 | 0.00 | 36 | 0.00 | 36 | 0.00 | 36 | 1011.29 | 36 | -423.61 | 36 | -33.56 | 36 |
| 402 | -34 | -33Max | 0.00 | 0.00 | 36 | 0.00 | 36 | 0.00 | 36 | 34.19 | 36 | -852.57 | 36 | -30.87 | 36 |
| 402 | -34 | -33Max | 42.00 | 0.00 | 36 | 0.00 | 36 | 0.00 | 36 | 599.20 | 36 | -720.31 | 36 | -30.87 | 36 |
| 402 | -34 | -33Min. | 0.00 | 0.00 | 36 | 0.00 | 36 | 0.00 | 36 | 34.19 | 36 | -852.57 | 36 | -30.87 | 36 |
| 402 | -34 | -33Min. | 42.00 | 0.00 | 36 | 0.00 | 36 | 0.00 | 36 | 599.20 | 36 | -720.31 | 36 | -30.87 | 36 |
| 402 | -35 | -34Max | 0.00 | 0.00 | 36 | 0.00 | 36 | 0.00 | 36 | -452.99 | 36 | -780.05 | 36 | -28.80 | 36 |
| 402 | -35 | -34Max | 34.12 | | | | | | | | | -857.15 | 36 | | |
| 402 | -35 | -34Max | 42.00 | 0.00 | 36 | 0.00 | 36 | 0.00 | 36 | 104.33 | 36 | -853.04 | 36 | -28.80 | 36 |
| 402 | -35 | -34Min. | 0.00 | 0.00 | 36 | 0.00 | 36 | 0.00 | 36 | -452.99 | 36 | -780.05 | 36 | -28.80 | 36 |
| 402 | -35 | -34Min. | 34.12 | | | | | | | | | -857.15 | 36 | | |
| 402 | -35 | -34Min. | 42.00 | 0.00 | 36 | 0.00 | 36 | 0.00 | 36 | 104.33 | 36 | -853.04 | 36 | -28.80 | 36 |
| 402 | -36 | -35Max | 0.00 | 0.00 | 36 | 0.00 | 36 | 0.00 | 36 | -891.10 | 36 | -528.88 | 36 | -27.35 | 36 |
| 402 | -36 | -35Max | 42.00 | 0.00 | 36 | 0.00 | 36 | 0.00 | 36 | -313.89 | 36 | -780.79 | 36 | -27.35 | 36 |

Tabulato di calcolo

| | | | | | | | | | | | | | | | |
|-----|-----|---------|-------|------|----|------|----|------|----|----------|----|---------|----|--------|----|
| 402 | -36 | -35Min. | 0.00 | 0.00 | 36 | 0.00 | 36 | 0.00 | 36 | -891.10 | 36 | -528.88 | 36 | -27.35 | 36 |
| 402 | -36 | -35Min. | 42.00 | 0.00 | 36 | 0.00 | 36 | 0.00 | 36 | -313.89 | 36 | -780.79 | 36 | -27.35 | 36 |
| 402 | -37 | -36Max | 0.00 | 0.00 | 36 | 0.00 | 36 | 0.00 | 36 | -1135.43 | 36 | -186.47 | 36 | -26.28 | 36 |
| 402 | -37 | -36Max | 42.00 | 0.00 | 36 | 0.00 | 36 | 0.00 | 36 | -516.01 | 36 | -531.50 | 36 | -26.28 | 36 |
| 402 | -37 | -36Min. | 0.00 | 0.00 | 36 | 0.00 | 36 | 0.00 | 36 | -1135.43 | 36 | -186.47 | 36 | -26.28 | 36 |
| 402 | -37 | -36Min. | 42.00 | 0.00 | 36 | 0.00 | 36 | 0.00 | 36 | -516.01 | 36 | -531.50 | 36 | -26.28 | 36 |
| 402 | -38 | -37Max | 0.00 | 0.00 | 36 | 0.00 | 36 | 0.00 | 36 | -1170.35 | 36 | 191.26 | 36 | -25.28 | 36 |
| 402 | -38 | -37Max | 50.00 | 0.00 | 36 | 0.00 | 36 | 0.00 | 36 | -360.94 | 36 | -188.13 | 36 | -25.28 | 36 |
| 402 | -38 | -37Min. | 0.00 | 0.00 | 36 | 0.00 | 36 | 0.00 | 36 | -1170.35 | 36 | 191.26 | 36 | -25.28 | 36 |
| 402 | -38 | -37Min. | 50.00 | 0.00 | 36 | 0.00 | 36 | 0.00 | 36 | -360.94 | 36 | -188.13 | 36 | -25.28 | 36 |
| 402 | -39 | -38Max | 0.00 | 0.00 | 36 | 0.00 | 36 | 0.00 | 36 | -897.98 | 36 | 413.41 | 36 | -24.21 | 36 |
| 402 | -39 | -38Max | 50.00 | 0.00 | 36 | 0.00 | 36 | 0.00 | 36 | -9.01 | 36 | 189.77 | 36 | -24.21 | 36 |
| 402 | -39 | -38Min. | 0.00 | 0.00 | 36 | 0.00 | 36 | 0.00 | 36 | -897.98 | 36 | 413.41 | 36 | -24.21 | 36 |
| 402 | -39 | -38Min. | 50.00 | 0.00 | 36 | 0.00 | 36 | 0.00 | 36 | -9.01 | 36 | 189.77 | 36 | -24.21 | 36 |
| 402 | -40 | -39Max | 0.00 | 0.00 | 36 | 0.00 | 36 | 0.00 | 36 | -569.66 | 36 | 459.57 | 36 | -23.00 | 36 |
| 402 | -40 | -39Max | 29.62 | | | | | | | 375.99 | 36 | | | | |
| 402 | -40 | -39Max | 50.00 | 0.00 | 36 | 0.00 | 36 | 0.00 | 36 | 384.60 | 36 | 415.60 | 36 | -23.00 | 36 |
| 402 | -40 | -39Min. | 0.00 | 0.00 | 36 | 0.00 | 36 | 0.00 | 36 | -569.66 | 36 | 459.57 | 36 | -23.00 | 36 |
| 402 | -40 | -39Min. | 29.62 | | | | | | | 375.99 | 36 | | | | |
| 402 | -40 | -39Min. | 50.00 | 0.00 | 36 | 0.00 | 36 | 0.00 | 36 | 384.60 | 36 | 415.60 | 36 | -23.00 | 36 |
| 402 | -41 | -40Max | 0.00 | 0.00 | 36 | 0.00 | 36 | 0.00 | 36 | -332.43 | 36 | 376.30 | 36 | -21.36 | 36 |
| 402 | -41 | -40Max | 16.49 | | | | | | | 348.93 | 36 | | | | |
| 402 | -41 | -40Max | 50.00 | 0.00 | 36 | 0.00 | 36 | 0.00 | 36 | 665.31 | 36 | 460.86 | 36 | -21.36 | 36 |
| 402 | -41 | -40Min. | 0.00 | 0.00 | 36 | 0.00 | 36 | 0.00 | 36 | -332.43 | 36 | 376.30 | 36 | -21.36 | 36 |
| 402 | -41 | -40Min. | 16.49 | | | | | | | 348.93 | 36 | | | | |
| 402 | -41 | -40Min. | 50.00 | 0.00 | 36 | 0.00 | 36 | 0.00 | 36 | 665.31 | 36 | 460.86 | 36 | -21.36 | 36 |
| 402 | -42 | -41Max | 0.00 | 0.00 | 36 | 0.00 | 36 | 0.00 | 36 | -235.14 | 36 | 240.92 | 36 | -18.58 | 36 |
| 402 | -42 | -41Max | 11.47 | | | | | | | 227.44 | 36 | | | | |
| 402 | -42 | -41Max | 50.00 | 0.00 | 36 | 0.00 | 36 | 0.00 | 36 | 785.10 | 36 | 378.98 | 36 | -18.58 | 36 |
| 402 | -42 | -41Min. | 0.00 | 0.00 | 36 | 0.00 | 36 | 0.00 | 36 | -235.14 | 36 | 240.92 | 36 | -18.58 | 36 |
| 402 | -42 | -41Min. | 11.47 | | | | | | | 227.44 | 36 | | | | |
| 402 | -42 | -41Min. | 50.00 | 0.00 | 36 | 0.00 | 36 | 0.00 | 36 | 785.10 | 36 | 378.98 | 36 | -18.58 | 36 |
| 402 | -43 | -42Max | 0.00 | 0.00 | 36 | 0.00 | 36 | 0.00 | 36 | -219.72 | 36 | 97.37 | 36 | -14.11 | 36 |
| 402 | -43 | -42Max | 10.68 | | | | | | | 85.63 | 36 | | | | |
| 402 | -43 | -42Max | 50.00 | 0.00 | 36 | 0.00 | 36 | 0.00 | 36 | 807.98 | 36 | 244.53 | 36 | -14.11 | 36 |
| 402 | -43 | -42Min. | 0.00 | 0.00 | 36 | 0.00 | 36 | 0.00 | 36 | -219.72 | 36 | 97.37 | 36 | -14.11 | 36 |
| 402 | -43 | -42Min. | 10.68 | | | | | | | 85.63 | 36 | | | | |
| 402 | -43 | -42Min. | 50.00 | 0.00 | 36 | 0.00 | 36 | 0.00 | 36 | 807.98 | 36 | 244.53 | 36 | -14.11 | 36 |
| 403 | -13 | -15Max | 0.00 | 0.00 | 36 | 0.00 | 36 | 0.00 | 36 | -556.54 | 36 | -175.60 | 36 | 148.38 | 36 |
| 403 | -13 | -15Max | 40.00 | | | | | | | -285.23 | 36 | | | | |
| 403 | -13 | -15Max | 50.00 | 0.00 | 36 | 0.00 | 36 | 0.00 | 36 | 132.59 | 36 | -278.56 | 36 | 148.38 | 36 |
| 403 | -13 | -15Min. | 0.00 | 0.00 | 36 | 0.00 | 36 | 0.00 | 36 | -556.54 | 36 | -175.60 | 36 | 148.38 | 36 |
| 403 | -13 | -15Min. | 40.00 | | | | | | | -285.23 | 36 | | | | |
| 403 | -13 | -15Min. | 50.00 | 0.00 | 36 | 0.00 | 36 | 0.00 | 36 | 132.59 | 36 | -278.56 | 36 | 148.38 | 36 |
| 403 | -15 | -16Max | 0.00 | 0.00 | 36 | 0.00 | 36 | 0.00 | 36 | -468.32 | 36 | -277.24 | 36 | 142.38 | 36 |
| 403 | -15 | -16Max | 37.10 | | | | | | | -363.07 | 36 | | | | |
| 403 | -15 | -16Max | 50.00 | 0.00 | 36 | 0.00 | 36 | 0.00 | 36 | 156.20 | 36 | -352.94 | 36 | 142.38 | 36 |
| 403 | -15 | -16Min. | 0.00 | 0.00 | 36 | 0.00 | 36 | 0.00 | 36 | -468.32 | 36 | -277.24 | 36 | 142.38 | 36 |
| 403 | -15 | -16Min. | 37.10 | | | | | | | -363.07 | 36 | | | | |
| 403 | -15 | -16Min. | 50.00 | 0.00 | 36 | 0.00 | 36 | 0.00 | 36 | 156.20 | 36 | -352.94 | 36 | 142.38 | 36 |
| 403 | -16 | -17Max | 0.00 | 0.00 | 36 | 0.00 | 36 | 0.00 | 36 | -401.10 | 36 | -352.14 | 36 | 140.16 | 36 |
| 403 | -16 | -17Max | 34.33 | | | | | | | -420.46 | 36 | | | | |
| 403 | -16 | -17Max | 50.00 | 0.00 | 36 | 0.00 | 36 | 0.00 | 36 | 178.04 | 36 | -406.47 | 36 | 140.16 | 36 |
| 403 | -16 | -17Min. | 0.00 | 0.00 | 36 | 0.00 | 36 | 0.00 | 36 | -401.10 | 36 | -352.14 | 36 | 140.16 | 36 |
| 403 | -16 | -17Min. | 34.33 | | | | | | | -420.46 | 36 | | | | |
| 403 | -16 | -17Min. | 50.00 | 0.00 | 36 | 0.00 | 36 | 0.00 | 36 | 178.04 | 36 | -406.47 | 36 | 140.16 | 36 |
| 403 | -17 | -18Max | 0.00 | 0.00 | 36 | 0.00 | 36 | 0.00 | 36 | -356.13 | 36 | -405.86 | 36 | 138.82 | 36 |
| 403 | -17 | -18Max | 31.90 | | | | | | | -462.50 | 36 | | | | |
| 403 | -17 | -18Max | 50.00 | 0.00 | 36 | 0.00 | 36 | 0.00 | 36 | 200.43 | 36 | -444.36 | 36 | 138.82 | 36 |
| 403 | -17 | -18Min. | 0.00 | 0.00 | 36 | 0.00 | 36 | 0.00 | 36 | -356.13 | 36 | -405.86 | 36 | 138.82 | 36 |
| 403 | -17 | -18Min. | 31.90 | | | | | | | -462.50 | 36 | | | | |
| 403 | -17 | -18Min. | 50.00 | 0.00 | 36 | 0.00 | 36 | 0.00 | 36 | 200.43 | 36 | -444.36 | 36 | 138.82 | 36 |
| 403 | -18 | -20Max | 0.00 | 0.00 | 36 | 0.00 | 36 | 0.00 | 36 | -322.53 | 36 | -443.96 | 36 | 137.65 | 36 |
| 403 | -18 | -20Max | 29.00 | | | | | | | -490.84 | 36 | | | | |
| 403 | -18 | -20Max | 50.00 | 0.00 | 36 | 0.00 | 36 | 0.00 | 36 | 236.83 | 36 | -466.06 | 36 | 137.65 | 36 |
| 403 | -18 | -20Min. | 0.00 | 0.00 | 36 | 0.00 | 36 | 0.00 | 36 | -322.53 | 36 | -443.96 | 36 | 137.65 | 36 |
| 403 | -18 | -20Min. | 29.00 | | | | | | | -490.84 | 36 | | | | |
| 403 | -18 | -20Min. | 50.00 | 0.00 | 36 | 0.00 | 36 | 0.00 | 36 | 236.83 | 36 | -466.06 | 36 | 137.65 | 36 |
| 403 | -20 | -22Max | 0.00 | 0.00 | 36 | 0.00 | 36 | 0.00 | 36 | -289.28 | 36 | -465.86 | 36 | 136.34 | 36 |
| 403 | -20 | -22Max | 25.01 | | | | | | | -502.23 | 36 | | | | |
| 403 | -20 | -22Max | 50.00 | 0.00 | 36 | 0.00 | 36 | 0.00 | 36 | 299.90 | 36 | -465.02 | 36 | 136.34 | 36 |
| 403 | -20 | -22Min. | 0.00 | 0.00 | 36 | 0.00 | 36 | 0.00 | 36 | -289.28 | 36 | -465.86 | 36 | 136.34 | 36 |
| 403 | -20 | -22Min. | 25.01 | | | | | | | -502.23 | 36 | | | | |
| 403 | -20 | -22Min. | 50.00 | 0.00 | 36 | 0.00 | 36 | 0.00 | 36 | 299.90 | 36 | -465.02 | 36 | 136.34 | 36 |
| 403 | -22 | -24Max | 0.00 | 0.00 | 36 | 0.00 | 36 | 0.00 | 36 | -245.81 | 36 | -464.98 | 36 | 134.47 | 36 |
| 403 | -22 | -24Max | 19.62 | | | | | | | -489.30 | 36 | | | | |
| 403 | -22 | -24Max | 50.00 | 0.00 | 36 | 0.00 | 36 | 0.00 | 36 | 400.87 | 36 | -429.18 | 36 | 134.47 | 36 |
| 403 | -22 | -24Min. | 0.00 | 0.00 | 36 | 0.00 | 36 | 0.00 | 36 | -245.81 | 36 | -464.98 | 36 | 134.47 | 36 |
| 403 | -22 | -24Min. | 19.62 | | | | | | | -489.30 | 36 | | | | |
| 403 | -22 | -24Min. | 50.00 | 0.00 | 36 | 0.00 | 36 | 0.00 | 36 | 400.87 | 36 | -429.18 | 36 | 134.47 | 36 |
| 403 | -24 | -26Max | 0.00 | 0.00 | 36 | 0.00 | 36 | 0.00 | 36 | -184.47 | 36 | -429.30 | 36 | 131.49 | 36 |

Tabulato di calcolo

| | | | | | | | | | | | | | | |
|-----|-----|-----|------|--------|------|----|------|----|------|----|---------|----------|---------|----|
| 403 | -24 | -26 | Max | 13.22 | | | | | | | | -441.58 | 36 | |
| 403 | -24 | -26 | Max | 50.00 | 0.00 | 36 | 0.00 | 36 | 0.00 | 36 | 546.40 | 36 | -342.84 | 36 |
| 403 | -24 | -26 | Min. | 0.00 | 0.00 | 36 | 0.00 | 36 | 0.00 | 36 | -184.47 | 36 | -429.30 | 36 |
| 403 | -24 | -26 | Min. | 13.22 | | | | | | | | -441.58 | 36 | |
| 403 | -24 | -26 | Min. | 50.00 | 0.00 | 36 | 0.00 | 36 | 0.00 | 36 | 546.40 | 36 | -342.84 | 36 |
| 403 | -26 | -28 | Max | 0.00 | 0.00 | 36 | 0.00 | 36 | 0.00 | 36 | -105.65 | 36 | -343.00 | 36 |
| 403 | -26 | -28 | Max | 6.67 | | | | | | | | -346.55 | 36 | |
| 403 | -26 | -28 | Max | 50.00 | 0.00 | 36 | 0.00 | 36 | 0.00 | 36 | 732.75 | 36 | -191.12 | 36 |
| 403 | -26 | -28 | Min. | 0.00 | 0.00 | 36 | 0.00 | 36 | 0.00 | 36 | -105.65 | 36 | -343.00 | 36 |
| 403 | -26 | -28 | Min. | 6.67 | | | | | | | | -346.55 | 36 | |
| 403 | -26 | -28 | Min. | 50.00 | 0.00 | 36 | 0.00 | 36 | 0.00 | 36 | 732.75 | 36 | -191.12 | 36 |
| 403 | -28 | -43 | Max | 0.00 | 0.00 | 36 | 0.00 | 36 | 0.00 | 36 | -62.22 | 36 | -192.10 | 36 |
| 403 | -28 | -43 | Max | 3.43 | | | | | | | | -193.18 | 36 | |
| 403 | -28 | -43 | Max | 50.00 | 0.00 | 36 | 0.00 | 36 | 0.00 | 36 | 900.59 | 36 | 12.07 | 36 |
| 403 | -28 | -43 | Min. | 0.00 | 0.00 | 36 | 0.00 | 36 | 0.00 | 36 | -62.22 | 36 | -192.10 | 36 |
| 403 | -28 | -43 | Min. | 3.43 | | | | | | | | -193.18 | 36 | |
| 403 | -28 | -43 | Min. | 50.00 | 0.00 | 36 | 0.00 | 36 | 0.00 | 36 | 900.59 | 36 | 12.07 | 36 |
| 404 | -14 | -1 | Max | 0.00 | 0.00 | 36 | 0.00 | 36 | 0.00 | 36 | 818.69 | 36 | -260.29 | 36 |
| 404 | -14 | -1 | Max | 40.00 | 0.00 | 36 | 0.00 | 36 | 0.00 | 36 | 1428.27 | 36 | 185.59 | 36 |
| 404 | -14 | -1 | Min. | 0.00 | 0.00 | 36 | 0.00 | 36 | 0.00 | 36 | 818.69 | 36 | -260.29 | 36 |
| 404 | -14 | -1 | Min. | 40.00 | 0.00 | 36 | 0.00 | 36 | 0.00 | 36 | 1428.27 | 36 | 185.59 | 36 |
| 404 | -19 | -14 | Max | 0.00 | 0.00 | 36 | 0.00 | 36 | 0.00 | 36 | -555.26 | 36 | -841.93 | 36 |
| 404 | -19 | -14 | Max | 71.70 | | | | | | | | -1041.24 | 36 | |
| 404 | -19 | -14 | Max | 200.00 | 0.00 | 36 | 0.00 | 36 | 0.00 | 36 | 1344.78 | 36 | -259.46 | 36 |
| 404 | -19 | -14 | Min. | 0.00 | 0.00 | 36 | 0.00 | 36 | 0.00 | 36 | -555.26 | 36 | -841.93 | 36 |
| 404 | -19 | -14 | Min. | 71.70 | | | | | | | | -1041.24 | 36 | |
| 404 | -19 | -14 | Min. | 200.00 | 0.00 | 36 | 0.00 | 36 | 0.00 | 36 | 1344.78 | 36 | -259.46 | 36 |
| 404 | -21 | -19 | Max | 0.00 | 0.00 | 36 | 0.00 | 36 | 0.00 | 36 | -708.68 | 36 | -613.53 | 36 |
| 404 | -21 | -19 | Max | 43.33 | 0.00 | 36 | 0.00 | 36 | 0.00 | 36 | -351.10 | 36 | -841.76 | 36 |
| 404 | -21 | -19 | Min. | 0.00 | 0.00 | 36 | 0.00 | 36 | 0.00 | 36 | -708.68 | 36 | -613.53 | 36 |
| 404 | -21 | -19 | Min. | 43.33 | 0.00 | 36 | 0.00 | 36 | 0.00 | 36 | -351.10 | 36 | -841.76 | 36 |
| 404 | -23 | -21 | Max | 0.00 | 0.00 | 36 | 0.00 | 36 | 0.00 | 36 | -710.75 | 36 | -396.05 | 36 |
| 404 | -23 | -21 | Max | 43.33 | 0.00 | 36 | 0.00 | 36 | 0.00 | 36 | -302.57 | 36 | -613.38 | 36 |
| 404 | -23 | -21 | Min. | 0.00 | 0.00 | 36 | 0.00 | 36 | 0.00 | 36 | -710.75 | 36 | -396.05 | 36 |
| 404 | -23 | -21 | Min. | 43.33 | 0.00 | 36 | 0.00 | 36 | 0.00 | 36 | -302.57 | 36 | -613.38 | 36 |
| 404 | -25 | -23 | Max | 0.00 | 0.00 | 36 | 0.00 | 36 | 0.00 | 36 | -692.77 | 36 | -201.79 | 36 |
| 404 | -25 | -23 | Max | 43.33 | 0.00 | 36 | 0.00 | 36 | 0.00 | 36 | -214.77 | 36 | -395.64 | 36 |
| 404 | -25 | -23 | Min. | 0.00 | 0.00 | 36 | 0.00 | 36 | 0.00 | 36 | -692.77 | 36 | -201.79 | 36 |
| 404 | -25 | -23 | Min. | 43.33 | 0.00 | 36 | 0.00 | 36 | 0.00 | 36 | -214.77 | 36 | -395.64 | 36 |
| 404 | -27 | -25 | Max | 0.00 | 0.00 | 36 | 0.00 | 36 | 0.00 | 36 | -636.87 | 36 | -50.08 | 36 |
| 404 | -27 | -25 | Max | 43.33 | 0.00 | 36 | 0.00 | 36 | 0.00 | 36 | -77.27 | 36 | -201.72 | 36 |
| 404 | -27 | -25 | Min. | 0.00 | 0.00 | 36 | 0.00 | 36 | 0.00 | 36 | -636.87 | 36 | -50.08 | 36 |
| 404 | -27 | -25 | Min. | 43.33 | 0.00 | 36 | 0.00 | 36 | 0.00 | 36 | -77.27 | 36 | -201.72 | 36 |
| 404 | -29 | -27 | Max | 0.00 | 0.00 | 36 | 0.00 | 36 | 0.00 | 36 | -507.36 | 36 | 25.95 | 36 |
| 404 | -29 | -27 | Max | 33.51 | | | | | | | | -57.48 | 36 | |
| 404 | -29 | -27 | Max | 43.33 | 0.00 | 36 | 0.00 | 36 | 0.00 | 36 | 139.44 | 36 | -50.57 | 36 |
| 404 | -29 | -27 | Min. | 0.00 | 0.00 | 36 | 0.00 | 36 | 0.00 | 36 | -507.36 | 36 | 25.95 | 36 |
| 404 | -29 | -27 | Min. | 33.51 | | | | | | | | -57.48 | 36 | |
| 404 | -29 | -27 | Min. | 43.33 | 0.00 | 36 | 0.00 | 36 | 0.00 | 36 | 139.44 | 36 | -50.57 | 36 |
| 404 | -30 | -29 | Max | 0.00 | 0.00 | 36 | 0.00 | 36 | 0.00 | 36 | -226.45 | 36 | -40.63 | 36 |
| 404 | -30 | -29 | Max | 12.80 | | | | | | | | -55.03 | 36 | |
| 404 | -30 | -29 | Max | 43.33 | 0.00 | 36 | 0.00 | 36 | 0.00 | 36 | 509.17 | 36 | 23.85 | 36 |
| 404 | -30 | -29 | Min. | 0.00 | 0.00 | 36 | 0.00 | 36 | 0.00 | 36 | -226.45 | 36 | -40.63 | 36 |
| 404 | -30 | -29 | Min. | 12.80 | | | | | | | | -55.03 | 36 | |
| 404 | -30 | -29 | Min. | 43.33 | 0.00 | 36 | 0.00 | 36 | 0.00 | 36 | 509.17 | 36 | 23.85 | 36 |

BOSI E ASSOCIATI STUDIO DI INGEGNERIA

Dott. Ing. Giovanni Bosi - Dott. Ing. Donato Musci - Dott. Ing. Davide Manenti – Dott. Ing. Nazzareno Zingarelli

ISTITUTO ZOOPROFILATTICO SPERIMENTALE DELLA LOMBARDIA E DELL'EMILIA ROMAGNA “BRUNO UBERTINI”

REALIZZAZIONE AMPLIAMENTO ISTITUTO ZOOPROFILATTICO TETTOIA METALLICA

RELAZIONE DI CALCOLO

Il Progettista:

Dott. Ing. Donato Musci

| | | | | | |
|------|-----------------------------|-----------|------------|-----------|----------|
| 00 | Emissione per appalto opere | N.Zi. | | | 26.02.24 |
| Rev. | Descrizione | Elaborato | Verificato | Approvato | Data |

| | | |
|---|--|--|
| BOSI E ASSOCIATI STUDIO DI INGEGNERIA Dott. Ing. Giovanni Bosi Dott. Ing. Donato Musci Dott. Ing. Davide Manenti Dott. Ing. Nazzareno Zingarelli | ISTITUTO ZOOPROFILATTICO SPERIMENTALE DELLA LOMBARDIA E DELL'EMILIA ROMAGNA “BRUNO UBERTINI” REALIZZAZIONE AMPLIAMENTO ISTITUTO ZOOPROFILATTICO | 98-2023 REALAZIONE DI CALCOLO TETTOIA METALLICA Pag. 3 di 41 |
|---|--|--|

INDICE GENERALE

| | | |
|-------|--|---|
| 1 | DESCRIZIONE DELLE OPERE..... | 4 |
| 2 | METODO DI CALCOLO E NORMATIVA DI RIFERIMENTO..... | 4 |
| 3 | MATERIALI..... | 5 |
| 4 | ANALISI DEI CARICHI..... | 6 |
| 4.1 | CARICO DELLA NEVE | 6 |
| 4.2 | SOLAI | 6 |
| 4.2.1 | SOLAIO COPERTURA | 6 |
| 4.3 | AZIONI SISMICHE | 7 |
| 4.4 | COMBINAZIONI DI CARICO | 8 |
| 4.4.1 | EDIFICI | 8 |
| 5 | ANALISI DELLE SOLLECITAZIONI E VERIFICHE | 9 |

| | | |
|---|--|--|
| BOSI E ASSOCIATI STUDIO DI INGEGNERIA Dott. Ing. Giovanni Bosi Dott. Ing. Donato Musci Dott. Ing. Davide Manenti Dott. Ing. Nazzareno Zingarelli | ISTITUTO ZOOPROFILATTICO SPERIMENTALE DELLA LOMBARDIA E DELL'EMILIA ROMAGNA “BRUNO UBERTINI” REALIZZAZIONE AMPLIAMENTO ISTITUTO ZOOPROFILATTICO | 98-2023 REALAZIONE DI CALCOLO TETTOIA METALLICA Pag. 4 di 41 |
|---|--|--|

1 DESCRIZIONE DELLE OPERE

L’oggetto della seguente relazione di calcolo è una tettoia metallica a copertura di impianti meccanici da installare presso l’Istituto Zooprofilattico Sperimentale della Lombardia e dell’Emilia Romagna, costituita da travi e colonne in sezione IPE160, controventi in sezione circolare e pannelli di copertura coibentati in acciaio.

2 METODO DI CALCOLO E NORMATIVA DI RIFERIMENTO

Le strutture sono calcolate con il metodo “semiprobabilistico agli stati limite” secondo le seguenti normative:

- Legge 5 Novembre 1971 n° 1086 “Norme per la disciplina delle opere di conglomerato cementizio armato, normale e precompresso ed a struttura metallica”.
- Decreto Ministeriale 17 Gennaio 2018 “Aggiornamento delle Norme Tecniche per le Costruzioni”, (NTC).
- Circolare n.7 Reg. Atti Int. CONSUP del 21.01.2019 “Istruzioni per l’applicazione dell’aggiornamento delle Norme tecniche per le costruzioni di cui al D.M. 17.01.2018.

| | | |
|---|--|--|
| BOSI E ASSOCIATI STUDIO DI INGEGNERIA Dott. Ing. Giovanni Bosi Dott. Ing. Donato Musci Dott. Ing. Davide Manenti Dott. Ing. Nazzareno Zingarelli | ISTITUTO ZOOPOFILATTICO SPERIMENTALE DELLA LOMBARDIA E DELL'EMILIA ROMAGNA “BRUNO UBERTINI” REALIZZAZIONE AMPLIAMENTO ISTITUTO ZOOPOFILATTICO | 98-2023 REALAZIONE DI CALCOLO TETTOIA METALLICA Pag. 5 di 41 |
|---|--|--|

3 MATERIALI

I materiali impiegati sono i seguenti:

- Acciaio da carpenteria

Tipo S 275 controllato in stabilimento

Tensione di rottura a trazione $f_t \geq 4300 \text{ kg/cm}^2$

Tensione di snervamento $f_y \geq 2750 \text{ kg/cm}^2$ per $t \leq 40 \text{ mm}$

Tensione di snervamento $f_y \geq 2550 \text{ kg/cm}^2$ per $t > 40 \text{ mm}$

Deformazione massima a rottura $\geq 22\%$

Resistenza di calcolo delle sezioni $f_d = 2619 \text{ kg/cm}^2$ per $t \leq 40 \text{ mm}$

Resistenza di calcolo delle sezioni $f_d = 2428 \text{ kg/cm}^2$ per $t > 40 \text{ mm}$

Resistenza all'instabilità delle membrature $f_d = 2619 \text{ kg/cm}^2$ per $t \leq 40 \text{ mm}$

Resistenza all'instabilità delle membrature $f_d = 2428 \text{ kg/cm}^2$ per $t > 40 \text{ mm}$

Resistenza, nei riguardi della frattura, di sezioni tese $f_d = 2200 \text{ kg/cm}^2$ per $t \leq 40 \text{ mm}$

Resistenza, nei riguardi della frattura, di sezioni tese $f_d = 2040 \text{ kg/cm}^2$ per $t \leq 40 \text{ mm}$

- Barre filettate e bulloni classe 8.8

| | | |
|---|--|--|
| BOSI E ASSOCIATI STUDIO DI INGEGNERIA Dott. Ing. Giovanni Bosi Dott. Ing. Donato Musci Dott. Ing. Davide Manenti Dott. Ing. Nazzareno Zingarelli | ISTITUTO ZOOPROFILATTICO SPERIMENTALE DELLA LOMBARDIA E DELL'EMILIA ROMAGNA “BRUNO UBERTINI” REALIZZAZIONE AMPLIAMENTO ISTITUTO ZOOPROFILATTICO | 98-2023 REALAZIONE DI CALCOLO TETTOIA METALLICA Pag. 6 di 41 |
|---|--|--|

4 ANALISI DEI CARICHI

Nel calcolo delle azioni dovute al peso proprio si assumono i seguenti pesi specifici per i materiali:

- calcestruzzo 2500 Kg/m³
- muratura 800 Kg/m³

4.1 Carico della neve

Zona I Mediterranea (Lodi, Lombardia)

$$a_s = 87m < 200m$$

$$q_{sk} = 1.5 \text{ kN/m}^2$$

$$\mu_i = 0.8$$

$$C_E = 1.0$$

$$C_t = 1.0$$

$$q_s = q_{sk} \cdot \mu_i \cdot C_E \cdot C_t = 1.2 \text{ kN/m}^2$$

4.2 Solai

4.2.1 SOLAIO COPERTURA

Solaio a lastre tralicciate, H=(5+15+5)cm

| Uso | Copertura | |
|----------------------------|-----------|-------------------|
| Peso Proprio struttura | = 0.30 | kN/m ² |
| Permanenti non strutturali | = 0.20 | kN/m ² |
| Variabili (Neve) | = 1.20 | kN/m ² |

| | | |
|---|---|---|
| BOSI E ASSOCIATI STUDIO DI INGEGNERIA Dott. Ing. Giovanni Bosi Dott. Ing. Donato Musci Dott. Ing. Davide Manenti Dott. Ing. Nazzareno Zingarelli | ISTITUTO ZOOPROFILATTICO SPERIMENTALE DELLA LOMBARDIA E DELL'EMILIA ROMAGNA “BRUNO UBERTINI” | 98-2023 |
| | REALIZZAZIONE AMPLIAMENTO ISTITUTO ZOOPROFILATTICO | RELAZIONE DI CALCOLO TETTOIA METALLICA |
| | | Pag. 7 di 41 |

4.3 Azioni sismiche

Le sollecitazioni sismiche di progetto sono state determinate secondo quanto previsto dal D.M. 17 gennaio 2018, considerando come vita utile dell’edificio ≥ 50 anni ed una Classe d’uso pari a II. Con tali ipotesi il periodo di ritorno rispetto al quale calcolare i parametri che definiscono l’azione orizzontale di progetto è:

$$V_N = 50 \text{ anni}$$

$$C_U = 1.0$$

$$V_R = 50 \text{ anni}$$

I valori di riferimento per i parametri sismici sono:

Lat: 45.3039 Nord

Long: 9.4802 Est

| | a_g/g | F_0 | T^* |
|-----|---------|-------|-------|
| SLV | 0.0698 | 2.59 | 0.29 |

Dalla relazione geologica redatta dal Dott. Geologo Paolo Grimaldi, si ricavano le caratteristiche del terreno dove è collocato il fabbricato:

Categoria Topografica = T1

Categoria Sottosuolo = C

| | | |
|---|---|---|
| BOSI E ASSOCIATI STUDIO DI INGEGNERIA Dott. Ing. Giovanni Bosi Dott. Ing. Donato Musci Dott. Ing. Davide Manenti Dott. Ing. Nazzareno Zingarelli | ISTITUTO ZOOPROFILATTICO SPERIMENTALE DELLA LOMBARDIA E DELL'EMILIA ROMAGNA "BRUNO UBERTINI" | 98-2023 |
| | REALIZZAZIONE AMPLIAMENTO ISTITUTO ZOOPROFILATTICO | RELAZIONE DI CALCOLO TETTOIA METALLICA |
| | | Pag. 8 di 41 |

4.4 Combinazioni di carico

4.4.1 EDIFICI

Per la combinazione di carico allo S.L.U.

$$\gamma_{G1} \cdot G_{k1} + \gamma_{G2} \cdot G_{k2} + \gamma_{Q1} Q_{k1} + \sum \gamma_{Qi} \cdot Q_{ki}$$

Per le combinazioni di carico agli S.L.E.

Combinazione di carico rara:

$$\sum_{i=1}^2 G_{ik} + Q_{1k} + \sum_{i=2}^n (\psi_{0i} Q_{ik})$$

Combinazione frequente:

$$\sum_{i=1}^2 G_{ik} + \psi_{1,1} \cdot Q_{1,k} + \sum_{i=1}^n (\psi_{2,i} \cdot Q_{ik})$$

Combinazione quasi permanente:

$$\sum G_{ik} + \sum_{i=1}^n \psi_{2,i} \cdot Q_{ik}$$

dove:

G_1 = peso proprio di tutti gli elementi strutturali;

G_2 = pesi propri di tutti gli elementi non strutturali

$Q_{1,k}$ = valore caratteristico di una delle azioni variabili;

Q_{ik} = valore caratteristico delle altre azioni variabili;

ψ_0, ψ_1, ψ_2 come da prospetto seguente

| AZIONE | Ψ_0 | Ψ_1 | Ψ_2 |
|-------------|----------|----------|----------|
| Categoria C | 0.7 | 0.7 | 0.6 |
| Vento | 0.6 | 0.2 | 0.0 |
| Neve | 0.5 | 0.2 | 0.0 |

I coefficienti parziali per la combinazione delle azioni nelle verifiche allo S.L.U.

Carichi permanenti = $\gamma_{G1} = 1.3$

Carichi permanenti non strutturali = $\gamma_{G2} = 1.3$

Carichi variabili = $\gamma_{Q1} = 1.5$

| | | |
|---|---|---|
| BOSI E ASSOCIATI STUDIO DI INGEGNERIA Dott. Ing. Giovanni Bosi Dott. Ing. Donato Musci Dott. Ing. Davide Manenti Dott. Ing. Nazzareno Zingarelli | ISTITUTO ZOOPROFILATTICO SPERIMENTALE DELLA LOMBARDIA E DELL'EMILIA ROMAGNA “BRUNO UBERTINI” | 98-2023 |
| | REALIZZAZIONE AMPLIAMENTO ISTITUTO ZOOPROFILATTICO | RELAZIONE DI CALCOLO TETTOIA METALLICA |
| | | Pag. 9 di 41 |

5 ANALISI DELLE SOLLECITAZIONI E VERIFICHE

È stato realizzato un modello ad elementi finiti della struttura mediante il software di calcolo Mastersap prodotto da AMV srl con sede a Ronchi dei Legionari (GO). Di seguito si riportano i principali parametri di calcolo:

STAMPA DEI DATI DI PROGETTO

INTESTAZIONE E DATI CARATTERISTICI DELLA STRUTTURA

| | |
|----------------------------------|--------------------|
| Nome dell'archivio di lavoro | tettoia metallica |
| Intestazione del lavoro | tettoia |
| Tipo di struttura | Nello Spazio |
| Tipo di analisi | Statica e Dinamica |
| Tipo di soluzione | Lineare |
| Unita' di misura delle forze | daN |
| Unita' di misura delle lunghezze | cm |
| Normativa | NTC-2018 |

NORMATIVA

| | |
|-----------------------------|------------------------------|
| Vita nominale costruzione | 50 anni |
| Classe d'uso costruzione | II |
| Vita di riferimento | 50 anni |
| Localita' | Lodi - Via Albert Einstein 2 |
| Longitudine (WGS84) | 9.48017 |
| Latitudine (WGS84) | 45.3038 |
| Categoria del suolo | C |
| Coefficiente topografico | 1 |
| Coefficiente di smorzamento | 5% |
| Eccentricita' accidentale | 0% |
| Numero di frequenze | 4 |

PARAMETRI SISMICI

| | TR | ag/g | FO | TC* | CC | Ss | Pga (ag*S) (m/s^2) |
|-----|-----|--------|--------|------|------|------|-----------------------|
| SLO | 30 | 0.0255 | 2.5080 | 0.19 | 1.80 | 1.50 | 0.375 |
| SLD | 50 | 0.0319 | 2.5520 | 0.21 | 1.76 | 1.50 | 0.469 |
| SLV | 475 | 0.0698 | 2.5920 | 0.29 | 1.58 | 1.50 | 1.027 |
| SLE | 475 | 0.0698 | 2.5920 | 0.29 | 1.58 | 1.50 | 1.027 |
| SLC | 975 | 0.0878 | 2.5910 | 0.30 | 1.56 | 1.50 | 1.292 |

STATO LIMITE ELASTICO

PARAMETRI SISMICI

| | |
|---|--------------------|
| Angolo del sisma nel piano orizzontale | 0 |
| Sisma verticale | Assente |
| Combinazione dei modi | CQC |
| Combinazione componenti azioni sismiche | NTC - Eurocodice 8 |
| λ | 0.3 |

| | | |
|---|---|---|
| BOSI E ASSOCIATI STUDIO DI INGEGNERIA Dott. Ing. Giovanni Bosi Dott. Ing. Donato Musci Dott. Ing. Davide Manenti Dott. Ing. Nazzareno Zingarelli | ISTITUTO ZOOPROFILATTICO SPERIMENTALE DELLA LOMBARDIA E DELL'EMILIA ROMAGNA “BRUNO UBERTINI” | 98-2023 |
| | REALIZZAZIONE AMPLIAMENTO ISTITUTO ZOOPROFILATTICO | RELAZIONE DI CALCOLO TETTOIA METALLICA |
| | | Pag. 10 di 41 |

μ

0.3

CARICHI PER ELEMENTI TRAVE, TRAVE DI FONDAZIONE E RETICOLARE

Carico distribuito con riferimento globale Z

| Descrizione | Cod. | Cond. carico | Tipo Azione/categoria | Val. iniz. | Dist. iniz. nodo I | Val. finale | Dist.fin. nodo I | Aliq.inerz. | Aliq.inerz. SLD |
|-----------------------------|------|--------------|--------------------------|------------|-----------------------|----------------|---------------------|-------------|--------------------|
| Neve Zona I Mediterranea | 3 | Condizione 2 | Variabile: Neve | -0.012000 | 0.000 | -0.012000 | 0.000 | 0.0000 | 0.0000 |

Carico distribuito con riferimento globale Z, agente sulla lunghezza reale

| Descrizione | Cod. | Cond. carico | Tipo Azione/categoria | Val. iniz. | Dist.iniz. nodo I | Val. finale | Dist.fin. nodo I | Aliq.inerz. | Aliq.inerz. SLD |
|--------------|------|--------------|--------------------------------|------------|----------------------|----------------|---------------------|-------------|--------------------|
| Peso proprio | 1 | Condizione 1 | Permanente: Permanente portato | -0.003000 | 0.000 | -0.003000 | 0.000 | 1.0000 | 1.0000 |
| Permanente | 2 | Condizione 1 | Permanente: Permanente portato | -0.002000 | 0.000 | -0.002000 | 0.000 | 1.0000 | 1.0000 |

COMBINAZIONI DI CARICO

NORMATIVA: NORME TECNICHE PER LE COSTRUZIONI 2018 ITALIA

COMBINAZIONI PER LE VERIFICHE ALLO STATO LIMITE ULTIMO

| Num. | Descrizione | Parametri | Tipo azione/categoria | | Condizione | Moltiplicatore |
|------|-------------|-------------------------------|--------------------------------|--|-------------------------|----------------|
| 1 | Dinamica | Azione sismica: Presente | Permanente: Peso Proprio | | Condizione peso proprio | 1.000 |
| | | | Permanente: Permanente portato | | Condizione 1 | 1.000 |
| | | | Variabile: Neve | | Condizione 2 | 0.000 |
| 2 | Statica | Azione sismica: Sisma assente | Permanente: Peso Proprio | | Condizione peso proprio | 1.300 |
| | | | Permanente: Permanente portato | | Condizione 1 | 1.300 |
| | | | Variabile: Neve | | Condizione 2 | 1.500 |

COMBINAZIONI PER LE VERIFICHE ALLO STATO LIMITE D'ESERCIZIO

| Num. | Descrizione | Parametri | Tipo azione/categoria | | Condizione | Moltiplicatore |
|------|------------------|-----------------------------|--------------------------------|--|-------------------------|----------------|
| 3 | Rara | Tipologia: Rara | Permanente: Peso Proprio | | Condizione peso proprio | 1.000 |
| | | | Permanente: Permanente portato | | Condizione 1 | 1.000 |
| | | | Variabile: Neve | | Condizione 2 | 1.000 |
| 4 | Frequente | Tipologia: Frequente | Permanente: Peso Proprio | | Condizione peso proprio | 1.000 |
| | | | Permanente: Permanente portato | | Condizione 1 | 1.000 |
| | | | Variabile: Neve | | Condizione 2 | 0.200 |
| 5 | Quasi permanente | Tipologia: Quasi permanente | Permanente: Peso Proprio | | Condizione peso proprio | 1.000 |
| | | | Permanente: Permanente portato | | Condizione 1 | 1.000 |
| | | | Variabile: Neve | | Condizione 2 | 0.000 |

COMBINAZIONI PER LE VERIFICHE ALLO STATO LIMITE DI DANNO

| Num. | Descrizione | Parametri | Tipo azione/categoria | | Condizione | Moltiplicatore |
|------|-------------|--------------------------|--------------------------------|--|-------------------------|----------------|
| 6 | S.L.D. | Azione sismica: Presente | Permanente: Peso Proprio | | Condizione peso proprio | 1.000 |
| | | | Permanente: Permanente portato | | Condizione 1 | 1.000 |
| | | | Variabile: Neve | | Condizione 2 | 0.000 |

TABELLA MASSE ECCITATE

PROSPETTO RIASSUNTIVO MODI PRINCIPALI

| BOSI E ASSOCIATI STUDIO DI INGEGNERIA Dott. Ing. Giovanni Bosi Dott. Ing. Donato Musci Dott. Ing. Davide Manenti Dott. Ing. Nazzareno Zingarelli | ISTITUTO ZOOPROFILATTICO SPERIMENTALE DELLA LOMBARDIA E DELL'EMILIA ROMAGNA “BRUNO UBERTINI” | | | | | 98-2023 | | | | | | | | | | | | | | | | | | | | | | | | | | | | | | | | | | | | | | | | | | | | | | | |
|---|---|--------------|--------------------|-------------|-----------------|--|-----------|--------------|----------------|-------------|-------------|-------------|-----------|-----------|----|---|----|-------------|-----------|-----------|----|---|----|-------------|-----------|-----------|---|---|----|----------------|-----------|--------------|----------------|-------------|-------------|-------------|-----------|-----------|---|---|----|-------------|-----------|-----------|---|---|----|-------------|-----------|-----------|---|---|----|
| | REALIZZAZIONE AMPLIAMENTO ISTITUTO ZOOPROFILATTICO | | | | | REALAZIONE DI CALCOLO TETTOIA METALLICA | | | | | | | | | | | | | | | | | | | | | | | | | | | | | | | | | | | | | | | | | | | | | | | |
| | Pag. 11 di 41 | | | | | | | | | | | | | | | | | | | | | | | | | | | | | | | | | | | | | | | | | | | | | | | | | | | | |
| <table> <thead> <tr> <th>Periodo principale</th><th>T1</th><th>Massa</th><th>Massa %</th><th>Modo</th><th>Note</th></tr> </thead> <tbody> <tr> <td>Direzione X</td><td>+2.21e-01</td><td>+1.31e+00</td><td>97</td><td>1</td><td>--</td></tr> <tr> <td>Direzione Y</td><td>+9.59e-02</td><td>+1.34e+00</td><td>99</td><td>4</td><td>--</td></tr> <tr> <td>Direzione Z</td><td>+0.00e+00</td><td>+0.00e+00</td><td>0</td><td>0</td><td>--</td></tr> </tbody> </table> <table> <thead> <tr> <th>Periodo</th><th>T2</th><th>Massa</th><th>Massa %</th><th>Modo</th><th>Note</th></tr> </thead> <tbody> <tr> <td>Direzione X</td><td>+1.34e-01</td><td>+3.22e-02</td><td>2</td><td>3</td><td>--</td></tr> <tr> <td>Direzione Y</td><td>+0.00e+00</td><td>+0.00e+00</td><td>0</td><td>0</td><td>--</td></tr> <tr> <td>Direzione Z</td><td>+0.00e+00</td><td>+0.00e+00</td><td>0</td><td>0</td><td>--</td></tr> </tbody> </table> | | | | | | Periodo principale | T1 | Massa | Massa % | Modo | Note | Direzione X | +2.21e-01 | +1.31e+00 | 97 | 1 | -- | Direzione Y | +9.59e-02 | +1.34e+00 | 99 | 4 | -- | Direzione Z | +0.00e+00 | +0.00e+00 | 0 | 0 | -- | Periodo | T2 | Massa | Massa % | Modo | Note | Direzione X | +1.34e-01 | +3.22e-02 | 2 | 3 | -- | Direzione Y | +0.00e+00 | +0.00e+00 | 0 | 0 | -- | Direzione Z | +0.00e+00 | +0.00e+00 | 0 | 0 | -- |
| Periodo principale | T1 | Massa | Massa % | Modo | Note | | | | | | | | | | | | | | | | | | | | | | | | | | | | | | | | | | | | | | | | | | | | | | | | |
| Direzione X | +2.21e-01 | +1.31e+00 | 97 | 1 | -- | | | | | | | | | | | | | | | | | | | | | | | | | | | | | | | | | | | | | | | | | | | | | | | | |
| Direzione Y | +9.59e-02 | +1.34e+00 | 99 | 4 | -- | | | | | | | | | | | | | | | | | | | | | | | | | | | | | | | | | | | | | | | | | | | | | | | | |
| Direzione Z | +0.00e+00 | +0.00e+00 | 0 | 0 | -- | | | | | | | | | | | | | | | | | | | | | | | | | | | | | | | | | | | | | | | | | | | | | | | | |
| Periodo | T2 | Massa | Massa % | Modo | Note | | | | | | | | | | | | | | | | | | | | | | | | | | | | | | | | | | | | | | | | | | | | | | | | |
| Direzione X | +1.34e-01 | +3.22e-02 | 2 | 3 | -- | | | | | | | | | | | | | | | | | | | | | | | | | | | | | | | | | | | | | | | | | | | | | | | | |
| Direzione Y | +0.00e+00 | +0.00e+00 | 0 | 0 | -- | | | | | | | | | | | | | | | | | | | | | | | | | | | | | | | | | | | | | | | | | | | | | | | | |
| Direzione Z | +0.00e+00 | +0.00e+00 | 0 | 0 | -- | | | | | | | | | | | | | | | | | | | | | | | | | | | | | | | | | | | | | | | | | | | | | | | | |
| PROSPECTO RIASSUNTIVO MASSE ECCITATE PER QUOTA MAGGIORE DI: 0.00 | | | | | | | | | | | | | | | | | | | | | | | | | | | | | | | | | | | | | | | | | | | | | | | | | | | | | |
| Analisi | Direz.X | % | Direz.Y | % | Direz. Z | % | | | | | | | | | | | | | | | | | | | | | | | | | | | | | | | | | | | | | | | | | | | | | | | |
| -- | +1.34e+00 | 100 | +1.34e+00 | 100 | +1.24e-04 | 0 | | | | | | | | | | | | | | | | | | | | | | | | | | | | | | | | | | | | | | | | | | | | | | | |
| FREQUENZE PROPRIE DI OSCILLAZIONE | | | | | | | | | | | | | | | | | | | | | | | | | | | | | | | | | | | | | | | | | | | | | | | | | | | | | |
| Numero | Pulsazione | | Frequenza | | Periodo | Precisione | | | | | | | | | | | | | | | | | | | | | | | | | | | | | | | | | | | | | | | | | | | | | | | |
| 1 | 2.838e+01 | | 4.517e+00 | | 2.214e-01 | 4.441e-16 | | | | | | | | | | | | | | | | | | | | | | | | | | | | | | | | | | | | | | | | | | | | | | | |
| 2 | 3.614e+01 | | 5.752e+00 | | 1.739e-01 | 4.441e-16 | | | | | | | | | | | | | | | | | | | | | | | | | | | | | | | | | | | | | | | | | | | | | | | |
| 3 | 4.688e+01 | | 7.461e+00 | | 1.340e-01 | 4.441e-16 | | | | | | | | | | | | | | | | | | | | | | | | | | | | | | | | | | | | | | | | | | | | | | | |
| 4 | 6.553e+01 | | 1.043e+01 | | 9.589e-02 | 4.441e-16 | | | | | | | | | | | | | | | | | | | | | | | | | | | | | | | | | | | | | | | | | | | | | | | |
| COEFFICIENTI DI PARTECIPAZIONE MODALE | | | | | | | | | | | | | | | | | | | | | | | | | | | | | | | | | | | | | | | | | | | | | | | | | | | | | |
| Modo | Direz.X | | Direz.Y | | Direz.Z | | | | | | | | | | | | | | | | | | | | | | | | | | | | | | | | | | | | | | | | | | | | | | | | |
| 1 | 1.143e+00 | | 1.434e-10 | | | | | | | | | | | | | | | | | | | | | | | | | | | | | | | | | | | | | | | | | | | | | | | | | | |
| 2 | -1.263e-03 | | 1.319e-08 | | | | | | | | | | | | | | | | | | | | | | | | | | | | | | | | | | | | | | | | | | | | | | | | | | |
| 3 | -1.794e-01 | | 1.564e-09 | | | | | | | | | | | | | | | | | | | | | | | | | | | | | | | | | | | | | | | | | | | | | | | | | | |
| 4 | -4.666e-10 | | -1.157e+00 | | | | | | | | | | | | | | | | | | | | | | | | | | | | | | | | | | | | | | | | | | | | | | | | | | |
| MASSA ECCITATA PER QUOTA Z MAGGIORE DI :0.00 | | | | | | | | | | | | | | | | | | | | | | | | | | | | | | | | | | | | | | | | | | | | | | | | | | | | | |
| Modo | Direz.X | % | Direz.Y | % | Direz.Z | % | | | | | | | | | | | | | | | | | | | | | | | | | | | | | | | | | | | | | | | | | | | | | | | |
| Modo: 1 | +1.31e+00 | 98 | +2.06e-20 | 0 | +3.78e-22 | 0 | | | | | | | | | | | | | | | | | | | | | | | | | | | | | | | | | | | | | | | | | | | | | | | |
| Progressiva | +1.31e+00 | 98 | +2.06e-20 | 0 | +3.78e-22 | 0 | | | | | | | | | | | | | | | | | | | | | | | | | | | | | | | | | | | | | | | | | | | | | | | |
| Modo: 2 | +1.60e-06 | 0 | +1.74e-16 | 0 | +1.59e-20 | 0 | | | | | | | | | | | | | | | | | | | | | | | | | | | | | | | | | | | | | | | | | | | | | | | |
| Progressiva | +1.31e+00 | 98 | +1.74e-16 | 0 | +1.63e-20 | 0 | | | | | | | | | | | | | | | | | | | | | | | | | | | | | | | | | | | | | | | | | | | | | | | |
| Modo: 3 | +3.22e-02 | 2 | +2.44e-18 | 0 | +1.71e-20 | 0 | | | | | | | | | | | | | | | | | | | | | | | | | | | | | | | | | | | | | | | | | | | | | | | |
| Progressiva | +1.34e+00 | 100 | +1.76e-16 | 0 | +3.34e-20 | 0 | | | | | | | | | | | | | | | | | | | | | | | | | | | | | | | | | | | | | | | | | | | | | | | |
| Modo: 4 | +2.18e-19 | 0 | +1.34e+00 | 100 | +1.24e-04 | 0 | | | | | | | | | | | | | | | | | | | | | | | | | | | | | | | | | | | | | | | | | | | | | | | |
| Progressiva | +1.34e+00 | 100 | +1.34e+00 | 100 | +1.24e-04 | 0 | | | | | | | | | | | | | | | | | | | | | | | | | | | | | | | | | | | | | | | | | | | | | | | |
| MASSA TOTALE ECCITABILE | | | | | | | | | | | | | | | | | | | | | | | | | | | | | | | | | | | | | | | | | | | | | | | | | | | | | |
| Direzione X | Direzione Y | | Direzione Z | | | | | | | | | | | | | | | | | | | | | | | | | | | | | | | | | | | | | | | | | | | | | | | | | | |
| +1.34e+00 | +1.34e+00 | | +1.34e+00 | | | | | | | | | | | | | | | | | | | | | | | | | | | | | | | | | | | | | | | | | | | | | | | | | | |

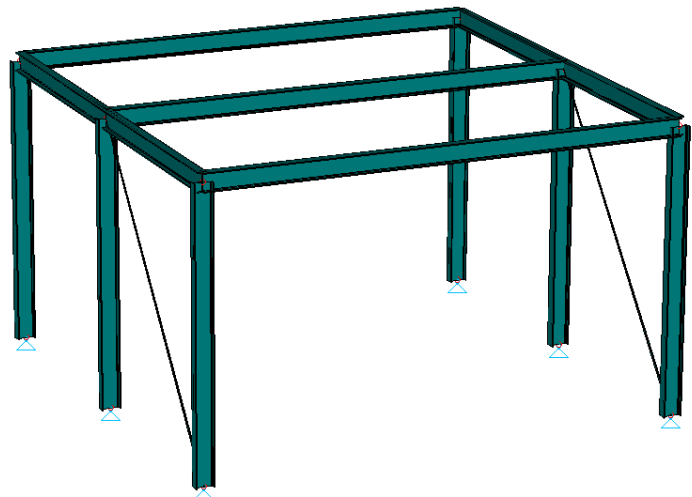


Figura 1 - MODELLO NUMERICO TRIDIMENSIONALE

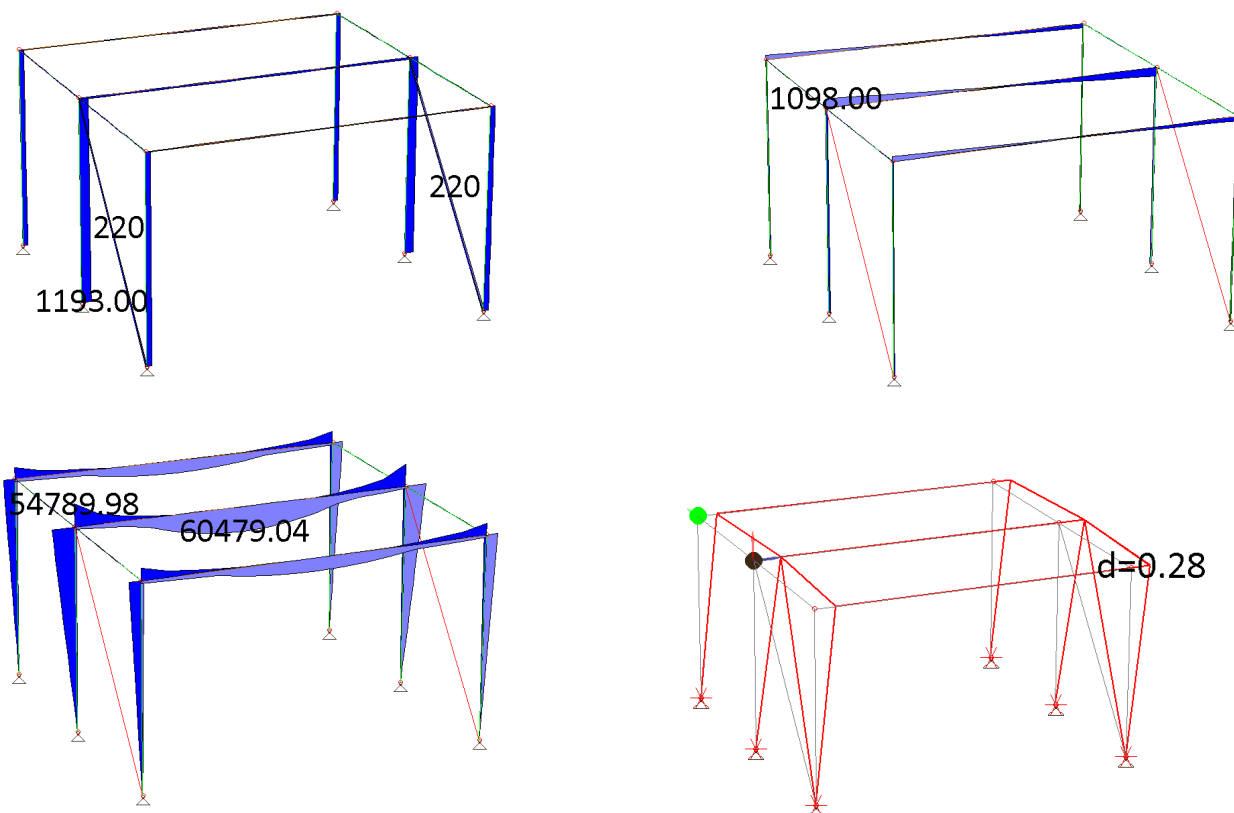
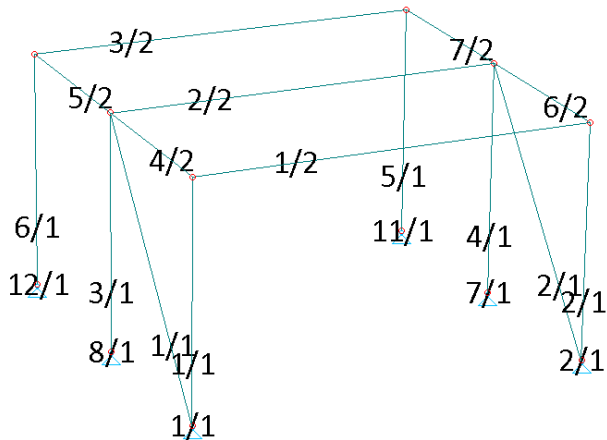
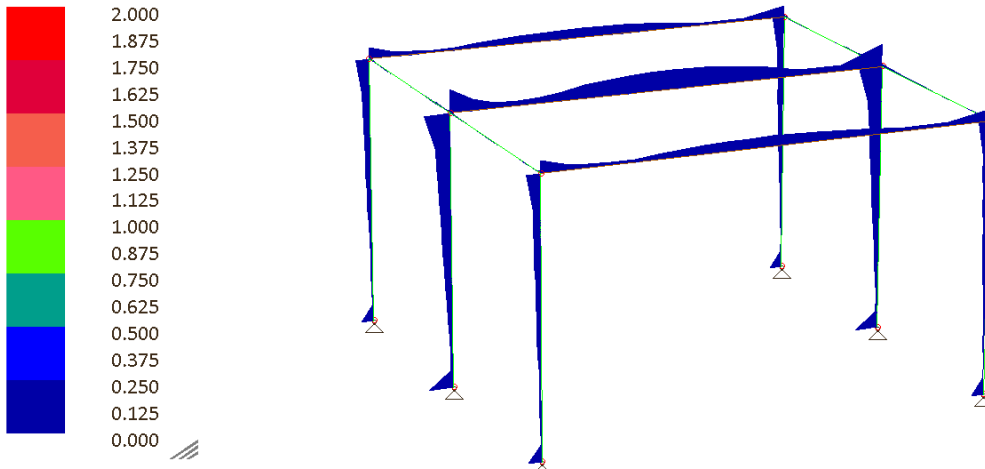


Figura 2 - Dall'alto in senso orario: inviluppo azione assiale [daN], inviluppo taglio [daN], inviluppo flessione [daNcm], spostamenti per azione sismica [cm]

L'immagine seguente riporta l'esito delle verifiche sezionali sotto forma di indice di resistenza, valori inferiori ad uno indicano che la verifica è soddisfatta.

Involuppi



Lavoro: **tettoia metallica** Intestazione lavoro: **tettoia**
Elemento: **TRAVE** Metodo di verifica: **Eurocodice 3 - NTC 2018**
Gruppo: **2** Descrizione: **travi**
Tabella: **Tabella travi** Struttura: **Nuova**
Tipo acciaio: **S 275** Beta piano 'yx': **1.000** Beta piano 'zx': **1.000**
Tipologia sismica: **Senza prescrizioni aggiuntive**
 $\gamma M_0: 1.050$ $\gamma M_1: 1.050$ $\gamma M_1'': 1.050$ $\gamma M_2: 1.250$ $\gamma r_v: 0.000$ $\gamma M_0 \text{ Pf: } 1.000$ $\gamma M_1 \text{ Pf: } 1.000$
Tipo collegamento: **saldato** Connessione su un solo lato Connessione sul lato corto (solo 'L')

ASTA NUM. 1 NI 4 NF 3 Lungh. 420.0 cm SEZ. 1 Ps IPE 160

categoria: p.p. y Permanente Neve qy tot.

qy medio: 0.1578 0.5150 1.2360 1.9088 daN/cm
Sollecitazioni di calcolo e di verifica

Indici ≤ 1 : VERIFICATO

| NC | x | Fx | Fy | Fz | Mx | My | Mz | Classe | I.V.T. | I.R.n. | I.R. | Nota |
|----|----|-----|-----|----|----|----|-------|--------|--------|--------|------|------|
| -- | -- | -- | -- | -- | -- | -- | -- | -- | -- | -- | -- | -- |
| cm | | daN | | | | | daN*m | | | | | |
| 1A | 0 | -28 | 80 | 4 | 0 | 9 | 59 | 1 | 0.01 | 0.00 | 0.02 | |
| 1B | 0 | -28 | 203 | 4 | 0 | 9 | -200 | 1 | 0.01 | 0.00 | 0.06 | |

| | | | | | | | | | | | | | | | | |
|---|---|--|---|--|--|--|---|---|--|---|---|---|--|---|--|---|
| BOSI E ASSOCIATI STUDIO DI INGEGNERIA Dott. Ing. Giovanni Bosi Dott. Ing. Donato Musci Dott. Ing. Davide Manenti Dott. Ing. Nazzareno Zingarelli | ISTITUTO ZOOPROFILATTICO SPERIMENTALE DELLA LOMBARDIA E DELL'EMILIA ROMAGNA "BRUNO UBERTINI" | | | | | | | | | | 98-2023 REALIZZAZIONE AMPLIAMENTO ISTITUTO ZOOPROFILATTICO | | | | | |
| | | | | | | | | | | | | | | | | |
| | | | | | | | | | | | | | | | | |
| | | | | | | | | | | | RELAZIONE DI CALCOLO TETTOIA METALLICA | | | | | |
| | | | | | | | | | | | Pag. 14 di 41 | | | | | |
| 1C 0 -28 80 -4 0 -9 59 1 0.01 0.00 0.02 | 1D 0 -28 203 -4 0 -9 -200 1 0.01 0.00 0.06 | 1E 0 -28 80 4 0 9 59 1 0.01 0.00 0.02 | 1F 0 -28 203 4 0 9 -200 1 0.01 0.00 0.06 | 1G 0 -28 80 -4 0 -9 59 1 0.01 0.00 0.02 | 1H 0 -28 203 -4 0 -9 -200 1 0.01 0.00 0.06 | 1I 0 -28 123 1 0 3 -32 1 0.01 0.00 0.01 | 1J 0 -28 160 1 0 3 -109 1 0.01 0.00 0.03 | 1K 0 -28 123 -1 0 -3 -32 1 0.01 0.00 0.01 | 1L 0 -28 160 -1 0 -3 -109 1 0.01 0.00 0.03 | 1M 0 -28 123 1 0 3 -32 1 0.01 0.00 0.01 | 1N 0 -28 160 1 0 3 -109 1 0.01 0.00 0.03 | 1O 0 -28 123 -1 0 -3 -32 1 0.01 0.00 0.01 | 1P 0 -28 160 -1 0 -3 -109 1 0.01 0.00 0.03 | 2 0 -114 573 -0 0 -0 -286 1 0.04 0.00 0.09 | | |
| 1A 42 -28 51 4 0 7 87 1 0.00 0.00 0.03 | 1B 42 -28 175 4 0 7 -121 1 0.01 0.00 0.04 | 1C 42 -28 51 -4 0 -7 87 1 0.00 0.00 0.03 | 1D 42 -28 175 -4 0 -7 -121 1 0.01 0.00 0.04 | 1E 42 -28 51 4 0 7 87 1 0.00 0.00 0.03 | 1F 42 -28 175 4 0 7 -121 1 0.01 0.00 0.04 | 1G 42 -28 51 -4 0 -7 87 1 0.00 0.00 0.03 | 1H 42 -28 175 -4 0 -7 -121 1 0.01 0.00 0.04 | 1I 42 -28 94 1 0 2 14 1 0.01 0.00 0.00 | 1J 42 -28 132 1 0 2 -48 1 0.01 0.00 0.01 | 1K 42 -28 94 -1 0 0 -2 14 1 0.01 0.00 0.00 | 1L 42 -28 132 -1 0 0 -2 -48 1 0.01 0.00 0.01 | 1M 42 -28 94 1 0 2 14 1 0.01 0.00 0.00 | 1N 42 -28 132 1 0 2 -48 1 0.01 0.00 0.01 | 1O 42 -28 94 -1 0 0 -2 14 1 0.01 0.00 0.00 | 1P 42 -28 132 -1 0 0 -2 -48 1 0.01 0.00 0.01 | 2 42 -114 458 -0 0 -0 -69 1 0.03 0.00 0.02 |
| 1A 84 -28 23 4 0 5 102 1 0.00 0.00 0.03 | 1B 84 -28 147 4 0 5 -53 1 0.01 0.00 0.02 | 1C 84 -28 23 -4 0 -6 102 1 0.00 0.00 0.03 | 1D 84 -28 147 -4 0 -6 -53 1 0.01 0.00 0.02 | 1E 84 -28 23 4 0 5 102 1 0.00 0.00 0.03 | 1F 84 -28 147 4 0 5 -53 1 0.01 0.00 0.02 | 1G 84 -28 23 -4 0 -6 102 1 0.00 0.00 0.03 | 1H 84 -28 147 -4 0 -6 -53 1 0.01 0.00 0.02 | 1I 84 -28 66 1 0 2 48 1 0.00 0.00 0.01 | 1J 84 -28 103 1 0 2 1 1 0.01 0.00 0.00 | 1K 84 -28 66 -1 0 0 -2 48 1 0.00 0.00 0.01 | 1L 84 -28 103 -1 0 0 -2 1 1 0.01 0.00 0.00 | 1M 84 -28 66 1 0 2 48 1 0.00 0.00 0.01 | 1N 84 -28 103 1 0 2 1 1 0.01 0.00 0.00 | 1O 84 -28 66 -1 0 0 -2 48 1 0.00 0.00 0.01 | 1P 84 -28 103 -1 0 0 -2 1 1 0.01 0.00 0.00 | 2 84 -114 344 -0 0 -0 99 1 0.02 0.00 0.03 |
| 1A 126 -28 -5 4 0 4 106 1 0.00 0.00 0.03 | 1B 126 -28 118 4 0 4 2 1 0.01 0.00 0.01 | 1C 126 -28 -5 -4 0 -4 106 1 0.00 0.00 0.03 | 1D 126 -28 118 -4 0 -4 2 1 0.01 0.00 0.01 | 1E 126 -28 -5 4 0 4 106 1 0.00 0.00 0.03 | 1F 126 -28 118 4 0 4 2 1 0.01 0.00 0.01 | 1G 126 -28 -5 -4 0 -4 106 1 0.00 0.00 0.03 | 1H 126 -28 118 -4 0 -4 2 1 0.01 0.00 0.01 | 1I 126 -28 38 1 0 1 70 1 0.00 0.00 0.02 | 1J 126 -28 75 1 0 1 39 1 0.01 0.00 0.01 | 1K 126 -28 38 -1 0 0 -1 70 1 0.00 0.00 0.02 | 1L 126 -28 75 -1 0 0 -1 39 1 0.01 0.00 0.01 | 1M 126 -28 38 1 0 1 70 1 0.00 0.00 0.02 | 1N 126 -28 75 1 0 1 39 1 0.01 0.00 0.01 | 1O 126 -28 38 -1 0 0 -1 70 1 0.00 0.00 0.02 | 1P 126 -28 75 -1 0 0 -1 39 1 0.01 0.00 0.01 | 2 126 -114 229 -0 0 -0 219 1 0.02 0.00 0.07 |
| 1A 168 -28 -34 4 0 2 98 1 0.00 0.00 0.03 | 1B 168 -28 90 4 0 2 46 1 0.01 0.00 0.01 | 1C 168 -28 -34 -4 0 -2 98 1 0.00 0.00 0.03 | 1D 168 -28 90 -4 0 -2 46 1 0.01 0.00 0.01 | 1E 168 -28 -34 4 0 2 98 1 0.00 0.00 0.03 | 1F 168 -28 90 4 0 2 46 1 0.01 0.00 0.01 | 1G 168 -28 -34 -4 0 -2 98 1 0.00 0.00 0.03 | 1H 168 -28 90 -4 0 -2 46 1 0.01 0.00 0.01 | 1I 168 -28 10 1 0 1 80 1 0.00 0.00 0.02 | 1J 168 -28 47 1 0 1 64 1 0.00 0.00 0.02 | 1K 168 -28 10 -1 0 0 -1 80 1 0.00 0.00 0.02 | 1L 168 -28 47 -1 0 0 -1 64 1 0.00 0.00 0.02 | 1M 168 -28 10 1 0 1 80 1 0.00 0.00 0.02 | 1N 168 -28 47 1 0 1 64 1 0.00 0.00 0.02 | 1O 168 -28 10 -1 0 0 -1 80 1 0.00 0.00 0.02 | | |

| BOSI E ASSOCIATI | | ISTITUTO ZOOPROFILATTICO SPERIMENTALE DELLA LOMBARDIA E DELL'EMILIA ROMAGNA "BRUNO UBERTINI" | | | | | | | | | | 98-2023 | |
|----------------------|-----|--|------|----|---|----|------|---|------|------|------|--|--|
| STUDIO DI INGEGNERIA | | REALIZZAZIONE AMPLIAMENTO ISTITUTO ZOOPROFILATTICO | | | | | | | | | | RELAZIONE DI CALCOLO TETTOIA METALLICA | |
| | | | | | | | | | | | | Pag. 15 di 41 | |
| 1P | 168 | -28 | 47 | -1 | 0 | -1 | 64 | 1 | 0.00 | 0.00 | 0.02 | | |
| 2 | 168 | -114 | 115 | -0 | 0 | -0 | 292 | 1 | 0.01 | 0.00 | 0.09 | | |
| 1A | 210 | -28 | -62 | 4 | 0 | -0 | 78 | 1 | 0.00 | 0.00 | 0.02 | | |
| 1B | 210 | -28 | 62 | 4 | 0 | -0 | 78 | 1 | 0.00 | 0.00 | 0.02 | | |
| 1C | 210 | -28 | -62 | -4 | 0 | -0 | 78 | 1 | 0.00 | 0.00 | 0.02 | | |
| 1D | 210 | -28 | 62 | -4 | 0 | -0 | 78 | 1 | 0.00 | 0.00 | 0.02 | | |
| 1E | 210 | -28 | -62 | 4 | 0 | -0 | 78 | 1 | 0.00 | 0.00 | 0.02 | | |
| 1F | 210 | -28 | 62 | 4 | 0 | -0 | 78 | 1 | 0.00 | 0.00 | 0.02 | | |
| 1G | 210 | -28 | -62 | -4 | 0 | -0 | 78 | 1 | 0.00 | 0.00 | 0.02 | | |
| 1H | 210 | -28 | 62 | -4 | 0 | -0 | 78 | 1 | 0.00 | 0.00 | 0.02 | | |
| 1I | 210 | -28 | -19 | 1 | 0 | -0 | 78 | 1 | 0.00 | 0.00 | 0.02 | | |
| 1J | 210 | -28 | 19 | 1 | 0 | -0 | 78 | 1 | 0.00 | 0.00 | 0.02 | | |
| 1K | 210 | -28 | -19 | -1 | 0 | -0 | 78 | 1 | 0.00 | 0.00 | 0.02 | | |
| 1L | 210 | -28 | 19 | -1 | 0 | -0 | 78 | 1 | 0.00 | 0.00 | 0.02 | | |
| 1M | 210 | -28 | -19 | 1 | 0 | -0 | 78 | 1 | 0.00 | 0.00 | 0.02 | | |
| 1N | 210 | -28 | 19 | 1 | 0 | -0 | 78 | 1 | 0.00 | 0.00 | 0.02 | | |
| 1O | 210 | -28 | -19 | -1 | 0 | -0 | 78 | 1 | 0.00 | 0.00 | 0.02 | | |
| 1P | 210 | -28 | 19 | -1 | 0 | -0 | 78 | 1 | 0.00 | 0.00 | 0.02 | | |
| 2 | 210 | -114 | -0 | -0 | 0 | -0 | 316 | 1 | 0.00 | 0.00 | 0.10 | | |
| 1A | 252 | -28 | -90 | 4 | 0 | -2 | 46 | 1 | 0.01 | 0.00 | 0.01 | | |
| 1B | 252 | -28 | 34 | 4 | 0 | -2 | 98 | 1 | 0.00 | 0.00 | 0.03 | | |
| 1C | 252 | -28 | -90 | -4 | 0 | 2 | 46 | 1 | 0.01 | 0.00 | 0.01 | | |
| 1D | 252 | -28 | 34 | -4 | 0 | 2 | 98 | 1 | 0.00 | 0.00 | 0.03 | | |
| 1E | 252 | -28 | -90 | 4 | 0 | -2 | 46 | 1 | 0.01 | 0.00 | 0.01 | | |
| 1F | 252 | -28 | 34 | 4 | 0 | -2 | 98 | 1 | 0.00 | 0.00 | 0.03 | | |
| 1G | 252 | -28 | -90 | -4 | 0 | 2 | 46 | 1 | 0.01 | 0.00 | 0.01 | | |
| 1H | 252 | -28 | 34 | -4 | 0 | 2 | 98 | 1 | 0.00 | 0.00 | 0.03 | | |
| 1I | 252 | -28 | -47 | 1 | 0 | -1 | 64 | 1 | 0.00 | 0.00 | 0.02 | | |
| 1J | 252 | -28 | -10 | 1 | 0 | -1 | 80 | 1 | 0.00 | 0.00 | 0.02 | | |
| 1K | 252 | -28 | -47 | -1 | 0 | 1 | 64 | 1 | 0.00 | 0.00 | 0.02 | | |
| 1L | 252 | -28 | -10 | -1 | 0 | 1 | 80 | 1 | 0.00 | 0.00 | 0.02 | | |
| 1M | 252 | -28 | -47 | 1 | 0 | -1 | 64 | 1 | 0.00 | 0.00 | 0.02 | | |
| 1N | 252 | -28 | -10 | 1 | 0 | -1 | 80 | 1 | 0.00 | 0.00 | 0.02 | | |
| 1O | 252 | -28 | -47 | -1 | 0 | 1 | 64 | 1 | 0.00 | 0.00 | 0.02 | | |
| 1P | 252 | -28 | -10 | -1 | 0 | 1 | 80 | 1 | 0.00 | 0.00 | 0.02 | | |
| 2 | 252 | -114 | -115 | -0 | 0 | -0 | 292 | 1 | 0.01 | 0.00 | 0.09 | | |
| 1A | 294 | -28 | -118 | 4 | 0 | -4 | 2 | 1 | 0.01 | 0.00 | 0.01 | | |
| 1B | 294 | -28 | 5 | 4 | 0 | -4 | 106 | 1 | 0.00 | 0.00 | 0.03 | | |
| 1C | 294 | -28 | -118 | -4 | 0 | 4 | 2 | 1 | 0.01 | 0.00 | 0.01 | | |
| 1D | 294 | -28 | 5 | -4 | 0 | 4 | 106 | 1 | 0.00 | 0.00 | 0.03 | | |
| 1E | 294 | -28 | -118 | 4 | 0 | -4 | 2 | 1 | 0.01 | 0.00 | 0.01 | | |
| 1F | 294 | -28 | 5 | 4 | 0 | -4 | 106 | 1 | 0.00 | 0.00 | 0.03 | | |
| 1G | 294 | -28 | -118 | -4 | 0 | 4 | 2 | 1 | 0.01 | 0.00 | 0.01 | | |
| 1H | 294 | -28 | 5 | -4 | 0 | 4 | 106 | 1 | 0.00 | 0.00 | 0.03 | | |
| 1I | 294 | -28 | -75 | 1 | 0 | -1 | 39 | 1 | 0.01 | 0.00 | 0.01 | | |
| 1J | 294 | -28 | -38 | 1 | 0 | -1 | 70 | 1 | 0.00 | 0.00 | 0.02 | | |
| 1K | 294 | -28 | -75 | -1 | 0 | 1 | 39 | 1 | 0.01 | 0.00 | 0.01 | | |
| 1L | 294 | -28 | -38 | -1 | 0 | 1 | 70 | 1 | 0.00 | 0.00 | 0.02 | | |
| 1M | 294 | -28 | -75 | 1 | 0 | -1 | 39 | 1 | 0.01 | 0.00 | 0.01 | | |
| 1N | 294 | -28 | -38 | 1 | 0 | -1 | 70 | 1 | 0.00 | 0.00 | 0.02 | | |
| 1O | 294 | -28 | -75 | -1 | 0 | 1 | 39 | 1 | 0.01 | 0.00 | 0.01 | | |
| 1P | 294 | -28 | -38 | -1 | 0 | 1 | 70 | 1 | 0.00 | 0.00 | 0.02 | | |
| 2 | 294 | -114 | -229 | -0 | 0 | -0 | 219 | 1 | 0.02 | 0.00 | 0.07 | | |
| 1A | 336 | -28 | -147 | 4 | 0 | -6 | -53 | 1 | 0.01 | 0.00 | 0.02 | | |
| 1B | 336 | -28 | -23 | 4 | 0 | -6 | 102 | 1 | 0.00 | 0.00 | 0.03 | | |
| 1C | 336 | -28 | -147 | -4 | 0 | 5 | -53 | 1 | 0.01 | 0.00 | 0.02 | | |
| 1D | 336 | -28 | -23 | -4 | 0 | 5 | 102 | 1 | 0.00 | 0.00 | 0.03 | | |
| 1E | 336 | -28 | -147 | 4 | 0 | -6 | -53 | 1 | 0.01 | 0.00 | 0.02 | | |
| 1F | 336 | -28 | -23 | 4 | 0 | -6 | 102 | 1 | 0.00 | 0.00 | 0.03 | | |
| 1G | 336 | -28 | -147 | -4 | 0 | 5 | -53 | 1 | 0.01 | 0.00 | 0.02 | | |
| 1H | 336 | -28 | -23 | -4 | 0 | 5 | 102 | 1 | 0.00 | 0.00 | 0.03 | | |
| 1I | 336 | -28 | -103 | 1 | 0 | -2 | 1 | 1 | 0.01 | 0.00 | 0.00 | | |
| 1J | 336 | -28 | -66 | 1 | 0 | -2 | 48 | 1 | 0.00 | 0.00 | 0.01 | | |
| 1K | 336 | -28 | -103 | -1 | 0 | 2 | 1 | 1 | 0.01 | 0.00 | 0.00 | | |
| 1L | 336 | -28 | -66 | -1 | 0 | 2 | 48 | 1 | 0.00 | 0.00 | 0.01 | | |
| 1M | 336 | -28 | -103 | 1 | 0 | -2 | 1 | 1 | 0.01 | 0.00 | 0.00 | | |
| 1N | 336 | -28 | -66 | 1 | 0 | -2 | 48 | 1 | 0.00 | 0.00 | 0.01 | | |
| 1O | 336 | -28 | -103 | -1 | 0 | 2 | 1 | 1 | 0.01 | 0.00 | 0.00 | | |
| 1P | 336 | -28 | -66 | -1 | 0 | 2 | 48 | 1 | 0.00 | 0.00 | 0.01 | | |
| 2 | 336 | -114 | -344 | -0 | 0 | -0 | 99 | 1 | 0.02 | 0.00 | 0.03 | | |
| 1A | 378 | -28 | -175 | 4 | 0 | -7 | -121 | 1 | 0.01 | 0.00 | 0.04 | | |
| 1B | 378 | -28 | -51 | 4 | 0 | -7 | 87 | 1 | 0.00 | 0.00 | 0.03 | | |
| 1C | 378 | -28 | -175 | -4 | 0 | 7 | -121 | 1 | 0.01 | 0.00 | 0.04 | | |
| 1D | 378 | -28 | -51 | -4 | 0 | 7 | 87 | 1 | 0.00 | 0.00 | 0.03 | | |
| 1E | 378 | -28 | -175 | 4 | 0 | -7 | -121 | 1 | 0.01 | 0.00 | 0.04 | | |
| 1F | 378 | -28 | -51 | 4 | 0 | -7 | 87 | 1 | 0.00 | 0.00 | 0.03 | | |
| 1G | 378 | -28 | -175 | -4 | 0 | 7 | -121 | 1 | 0.01 | 0.00 | 0.04 | | |
| 1H | 378 | -28 | -51 | -4 | 0 | 7 | 87 | 1 | 0.00 | 0.00 | 0.03 | | |
| 1I | 378 | -28 | -132 | 1 | 0 | -2 | -48 | 1 | 0.01 | 0.00 | 0.01 | | |
| 1J | 378 | -28 | -95 | 1 | 0 | -2 | 14 | 1 | 0.01 | 0.00 | 0.00 | | |

| | | | | | | | | | | | | | | | |
|---|---|------|------|--------|---------------|----------|--------|--------|-------------|--------|--------|---|------------------|--|--|
| BOSI E ASSOCIATI STUDIO DI INGEGNERIA Dott. Ing. Giovanni Bosi Dott. Ing. Donato Musci Dott. Ing. Davide Manenti Dott. Ing. Nazzareno Zingarelli | ISTITUTO ZOOPROFILATTICO SPERIMENTALE DELLA LOMBARDIA E DELL'EMILIA ROMAGNA “BRUNO UBERTINI” | | | | | | | | | | | 98-2023 | | | |
| | REALIZZAZIONE AMPLIAMENTO ISTITUTO ZOOPROFILATTICO | | | | | | | | | | | REALIZZAZIONE DI CALCOLO TETTOIA METALLICA | | | |
| | | | | | | | | | | | | | | | |
| | | | | | | | | | | | | | | | |
| | Pag. 16 di 41 | | | | | | | | | | | | | | |
| 1K | 378 | -28 | -132 | -1 | 0 | 2 | -48 | 1 | 0.01 | 0.00 | 0.01 | | | | |
| 1L | 378 | -28 | -95 | -1 | 0 | 2 | 14 | 1 | 0.01 | 0.00 | 0.00 | | | | |
| 1M | 378 | -28 | -132 | 1 | 0 | -2 | -48 | 1 | 0.01 | 0.00 | 0.01 | | | | |
| 1N | 378 | -28 | -95 | 1 | 0 | -2 | 14 | 1 | 0.01 | 0.00 | 0.00 | | | | |
| 1O | 378 | -28 | -132 | -1 | 0 | 2 | -48 | 1 | 0.01 | 0.00 | 0.01 | | | | |
| 1P | 378 | -28 | -95 | -1 | 0 | 2 | 14 | 1 | 0.01 | 0.00 | 0.00 | | | | |
| 2 | 378 | -114 | -458 | -0 | 0 | -0 | -69 | 1 | 0.03 | 0.00 | 0.02 | | | | |
| 1A | 420 | -28 | -203 | 4 | 0 | -9 | -200 | 1 | 0.01 | 0.00 | 0.06 | | | | |
| 1B | 420 | -28 | -80 | 4 | 0 | -9 | 59 | 1 | 0.01 | 0.00 | 0.02 | | | | |
| 1C | 420 | -28 | -203 | -4 | 0 | 9 | -200 | 1 | 0.01 | 0.00 | 0.06 | | | | |
| 1D | 420 | -28 | -80 | -4 | 0 | 9 | 59 | 1 | 0.01 | 0.00 | 0.02 | | | | |
| 1E | 420 | -28 | -203 | 4 | 0 | -9 | -200 | 1 | 0.01 | 0.00 | 0.06 | | | | |
| 1F | 420 | -28 | -80 | 4 | 0 | -9 | 59 | 1 | 0.01 | 0.00 | 0.02 | | | | |
| 1G | 420 | -28 | -203 | -4 | 0 | 9 | -200 | 1 | 0.01 | 0.00 | 0.06 | | | | |
| 1H | 420 | -28 | -80 | -4 | 0 | 9 | 59 | 1 | 0.01 | 0.00 | 0.02 | | | | |
| 1I | 420 | -28 | -160 | 1 | 0 | -3 | -109 | 1 | 0.01 | 0.00 | 0.03 | | | | |
| 1J | 420 | -28 | -123 | 1 | 0 | -3 | -32 | 1 | 0.01 | 0.00 | 0.01 | | | | |
| 1K | 420 | -28 | -160 | -1 | 0 | 3 | -109 | 1 | 0.01 | 0.00 | 0.03 | | | | |
| 1L | 420 | -28 | -123 | -1 | 0 | 3 | -32 | 1 | 0.01 | 0.00 | 0.01 | | | | |
| 1M | 420 | -28 | -160 | 1 | 0 | -3 | -109 | 1 | 0.01 | 0.00 | 0.03 | | | | |
| 1N | 420 | -28 | -123 | 1 | 0 | -3 | -32 | 1 | 0.01 | 0.00 | 0.01 | | | | |
| 1O | 420 | -28 | -160 | -1 | 0 | 3 | -109 | 1 | 0.01 | 0.00 | 0.03 | | | | |
| 1P | 420 | -28 | -123 | -1 | 0 | 3 | -32 | 1 | 0.01 | 0.00 | 0.01 | | | | |
| 2 | 420 | -114 | -573 | -0 | 0 | -0 | -286 | 1 | 0.04 | 0.00 | 0.09 | | | | |
| Verifica di STABILITA' e/o STABILITA' FLESSO TORSIONALE | | | | | | | | | | | | | | | |
| NC | Fx | My | Mz | Classe | $\chi_{min.}$ | ky | kz | kLT | χ_{LT} | I.S.n. | I.S.m. | I.S. | Nota | | |
| -- | -- | --- | --- | --- | --- | --- | --- | --- | --- | --- | --- | --- | --- | | |
| | | daN | | | daN*m | | | | | | | | | | |
| 1A | -28 | -9 | -200 | 1 | 0.1254 | 0.9964 | 1.0012 | -- | -- | 0.00 | -- | 0.08 | Snell. 'zx'= 228 | | |
| 1B | -28 | -9 | -200 | 1 | 0.1254 | 0.9964 | 1.0012 | -- | -- | 0.00 | -- | 0.08 | Snell. 'zx'= 228 | | |
| 1C | -28 | -9 | -200 | 1 | 0.1254 | 0.9964 | 1.0012 | -- | -- | 0.00 | -- | 0.08 | Snell. 'zx'= 228 | | |
| 1D | -28 | -9 | -200 | 1 | 0.1254 | 0.9964 | 1.0012 | -- | -- | 0.00 | -- | 0.08 | Snell. 'zx'= 228 | | |
| 1E | -28 | -9 | -200 | 1 | 0.1254 | 0.9964 | 1.0012 | -- | -- | 0.00 | -- | 0.08 | Snell. 'zx'= 228 | | |
| 1F | -28 | -9 | -200 | 1 | 0.1254 | 0.9964 | 1.0012 | -- | -- | 0.00 | -- | 0.08 | Snell. 'zx'= 228 | | |
| 1G | -28 | -9 | -200 | 1 | 0.1254 | 0.9964 | 1.0012 | -- | -- | 0.00 | -- | 0.08 | Snell. 'zx'= 228 | | |
| 1H | -28 | -9 | -200 | 1 | 0.1254 | 0.9964 | 1.0012 | -- | -- | 0.00 | -- | 0.08 | Snell. 'zx'= 228 | | |
| 1I | -28 | -3 | -109 | 1 | 0.1254 | 0.9964 | 1.0011 | -- | -- | 0.00 | -- | 0.04 | Snell. 'zx'= 228 | | |
| 1J | -28 | -3 | -109 | 1 | 0.1254 | 0.9964 | 1.0011 | -- | -- | 0.00 | -- | 0.04 | Snell. 'zx'= 228 | | |
| 1K | -28 | -3 | -109 | 1 | 0.1254 | 0.9964 | 1.0011 | -- | -- | 0.00 | -- | 0.04 | Snell. 'zx'= 228 | | |
| 1L | -28 | -3 | -109 | 1 | 0.1254 | 0.9964 | 1.0011 | -- | -- | 0.00 | -- | 0.04 | Snell. 'zx'= 228 | | |
| 1M | -28 | -3 | -109 | 1 | 0.1254 | 0.9964 | 1.0011 | -- | -- | 0.00 | -- | 0.04 | Snell. 'zx'= 228 | | |
| 1N | -28 | -3 | -109 | 1 | 0.1254 | 0.9964 | 1.0011 | -- | -- | 0.00 | -- | 0.04 | Snell. 'zx'= 228 | | |
| 1O | -28 | -3 | -109 | 1 | 0.1254 | 0.9964 | 1.0011 | -- | -- | 0.00 | -- | 0.04 | Snell. 'zx'= 228 | | |
| 1P | -28 | -3 | -109 | 1 | 0.1254 | 0.9964 | 1.0011 | -- | -- | 0.00 | -- | 0.04 | Snell. 'zx'= 228 | | |
| 2 | -114 | -0 | 316 | 1 | 0.1254 | 1.0682 | 1.0022 | -- | -- | 0.02 | -- | 0.11 | Snell. 'zx'= 228 | | |
| ASTA NUM. 2 | NI | 5 | NF | 6 | Lungh. | 420.0 cm | SEZ. | 1 | Ps | IPE | 160 | | | | |
| categoria: p.p. y Permanente Neve qy tot. qy medio: 0.1578 1.0250 2.4600 3.6428 daN/cm Sollecitazioni di calcolo e di verifica | | | | | | | | | | | | | | | |
| Indici <= 1 : VERIFICATO | | | | | | | | | | | | | | | |
| NC | x | Fx | Fy | Fz | Mx | My | Mz | Classe | I.V.T. | I.R.n. | I.R. | Nota | | | |
| -- | -- | --- | --- | --- | --- | --- | --- | --- | --- | --- | --- | --- | --- | | |
| | cm | | daN | | | daN | | | | | | | | | |
| 1A | 0 | -50 | 164 | 0 | 0 | 0 | 52 | 1 | 0.01 | 0.00 | 0.02 | | | | |
| 1B | 0 | -50 | 332 | 0 | 0 | 0 | -300 | 1 | 0.02 | 0.00 | 0.09 | | | | |
| 1C | 0 | -50 | 164 | -0 | 0 | -0 | 52 | 1 | 0.01 | 0.00 | 0.02 | | | | |
| 1D | 0 | -50 | 332 | -0 | 0 | -0 | -300 | 1 | 0.02 | 0.00 | 0.09 | | | | |
| 1E | 0 | -50 | 164 | 0 | 0 | 0 | 52 | 1 | 0.01 | 0.00 | 0.02 | | | | |
| 1F | 0 | -50 | 332 | 0 | 0 | 0 | -300 | 1 | 0.02 | 0.00 | 0.09 | | | | |
| 1G | 0 | -50 | 164 | -0 | 0 | -0 | 52 | 1 | 0.01 | 0.00 | 0.02 | | | | |
| 1H | 0 | -50 | 332 | -0 | 0 | -0 | -300 | 1 | 0.02 | 0.00 | 0.09 | | | | |
| 1I | 0 | -50 | 223 | 0 | 0 | 0 | -71 | 1 | 0.01 | 0.00 | 0.02 | | | | |
| 1J | 0 | -50 | 274 | 0 | 0 | 0 | -177 | 1 | 0.02 | 0.00 | 0.05 | | | | |
| 1K | 0 | -50 | 223 | -0 | 0 | -0 | -71 | 1 | 0.01 | 0.00 | 0.02 | | | | |
| 1L | 0 | -50 | 274 | -0 | 0 | -0 | -177 | 1 | 0.02 | 0.00 | 0.05 | | | | |
| 1M | 0 | -50 | 223 | 0 | 0 | 0 | -71 | 1 | 0.01 | 0.00 | 0.02 | | | | |
| 1N | 0 | -50 | 274 | 0 | 0 | 0 | -177 | 1 | 0.02 | 0.00 | 0.05 | | | | |
| 1O | 0 | -50 | 223 | -0 | 0 | -0 | -71 | 1 | 0.01 | 0.00 | 0.02 | | | | |
| 1P | 0 | -50 | 274 | -0 | 0 | -0 | -177 | 1 | 0.02 | 0.00 | 0.05 | | | | |

| BOSI E ASSOCIATI | | ISTITUTO ZOOPROFILATTICO SPERIMENTALE DELLA LOMBARDIA E DELL'EMILIA ROMAGNA "BRUNO UBERTINI" | | | | | | | | 98-2023 | |
|------------------|-----|--|------|----|---|----|------|---|------|--|------|
| | | REALIZZAZIONE AMPLIAMENTO ISTITUTO ZOOPROFILATTICO | | | | | | | | RELAZIONE DI CALCOLO TETTOIA METALLICA | |
| | | | | | | | | | | Pag. 17 di 41 | |
| 2 | 0 | -219 | 1098 | -0 | 0 | 0 | -548 | 1 | 0.07 | 0.00 | 0.17 |
| 1A | 42 | -50 | 115 | 0 | 0 | 0 | 111 | 1 | 0.01 | 0.00 | 0.03 |
| 1B | 42 | -50 | 283 | 0 | 0 | 0 | -171 | 1 | 0.02 | 0.00 | 0.05 |
| 1C | 42 | -50 | 115 | -0 | 0 | -0 | 111 | 1 | 0.01 | 0.00 | 0.03 |
| 1D | 42 | -50 | 283 | -0 | 0 | -0 | -171 | 1 | 0.02 | 0.00 | 0.05 |
| 1E | 42 | -50 | 115 | 0 | 0 | 0 | 111 | 1 | 0.01 | 0.00 | 0.03 |
| 1F | 42 | -50 | 283 | 0 | 0 | 0 | -171 | 1 | 0.02 | 0.00 | 0.05 |
| 1G | 42 | -50 | 115 | -0 | 0 | -0 | 111 | 1 | 0.01 | 0.00 | 0.03 |
| 1H | 42 | -50 | 283 | -0 | 0 | -0 | -171 | 1 | 0.02 | 0.00 | 0.05 |
| 1I | 42 | -50 | 174 | 0 | 0 | 0 | 12 | 1 | 0.01 | 0.00 | 0.00 |
| 1J | 42 | -50 | 224 | 0 | 0 | 0 | -72 | 1 | 0.02 | 0.00 | 0.02 |
| 1K | 42 | -50 | 174 | -0 | 0 | -0 | 12 | 1 | 0.01 | 0.00 | 0.00 |
| 1L | 42 | -50 | 224 | -0 | 0 | -0 | -72 | 1 | 0.02 | 0.00 | 0.02 |
| 1M | 42 | -50 | 174 | 0 | 0 | 0 | 12 | 1 | 0.01 | 0.00 | 0.00 |
| 1N | 42 | -50 | 224 | 0 | 0 | 0 | -72 | 1 | 0.02 | 0.00 | 0.02 |
| 1O | 42 | -50 | 174 | -0 | 0 | -0 | 12 | 1 | 0.01 | 0.00 | 0.00 |
| 1P | 42 | -50 | 224 | -0 | 0 | -0 | -72 | 1 | 0.02 | 0.00 | 0.02 |
| 2 | 42 | -219 | 878 | -0 | 0 | 0 | -133 | 1 | 0.06 | 0.00 | 0.04 |
| 1A | 84 | -50 | 65 | 0 | 0 | 0 | 149 | 1 | 0.00 | 0.00 | 0.04 |
| 1B | 84 | -50 | 233 | 0 | 0 | 0 | -63 | 1 | 0.02 | 0.00 | 0.02 |
| 1C | 84 | -50 | 65 | -0 | 0 | -0 | 149 | 1 | 0.00 | 0.00 | 0.04 |
| 1D | 84 | -50 | 233 | -0 | 0 | -0 | -63 | 1 | 0.02 | 0.00 | 0.02 |
| 1E | 84 | -50 | 65 | 0 | 0 | 0 | 149 | 1 | 0.00 | 0.00 | 0.04 |
| 1F | 84 | -50 | 233 | 0 | 0 | 0 | -63 | 1 | 0.02 | 0.00 | 0.02 |
| 1G | 84 | -50 | 65 | -0 | 0 | -0 | 149 | 1 | 0.00 | 0.00 | 0.04 |
| 1H | 84 | -50 | 233 | -0 | 0 | -0 | -63 | 1 | 0.02 | 0.00 | 0.02 |
| 1I | 84 | -50 | 124 | 0 | 0 | 0 | 75 | 1 | 0.01 | 0.00 | 0.02 |
| 1J | 84 | -50 | 174 | 0 | 0 | 0 | 11 | 1 | 0.01 | 0.00 | 0.00 |
| 1K | 84 | -50 | 124 | -0 | 0 | -0 | 75 | 1 | 0.01 | 0.00 | 0.02 |
| 1L | 84 | -50 | 174 | -0 | 0 | -0 | 11 | 1 | 0.01 | 0.00 | 0.00 |
| 1M | 84 | -50 | 124 | 0 | 0 | 0 | 75 | 1 | 0.01 | 0.00 | 0.02 |
| 1N | 84 | -50 | 174 | 0 | 0 | 0 | 11 | 1 | 0.01 | 0.00 | 0.00 |
| 1O | 84 | -50 | 124 | -0 | 0 | -0 | 75 | 1 | 0.01 | 0.00 | 0.02 |
| 1P | 84 | -50 | 174 | -0 | 0 | -0 | 11 | 1 | 0.01 | 0.00 | 0.00 |
| 2 | 84 | -219 | 659 | -0 | 0 | -0 | 190 | 1 | 0.04 | 0.00 | 0.06 |
| 1A | 126 | -50 | 15 | 0 | 0 | 0 | 166 | 1 | 0.00 | 0.00 | 0.05 |
| 1B | 126 | -50 | 183 | 0 | 0 | 0 | 25 | 1 | 0.01 | 0.00 | 0.01 |
| 1C | 126 | -50 | 15 | -0 | 0 | -0 | 166 | 1 | 0.00 | 0.00 | 0.05 |
| 1D | 126 | -50 | 183 | -0 | 0 | -0 | 25 | 1 | 0.01 | 0.00 | 0.01 |
| 1E | 126 | -50 | 15 | 0 | 0 | 0 | 166 | 1 | 0.00 | 0.00 | 0.05 |
| 1F | 126 | -50 | 183 | 0 | 0 | 0 | 25 | 1 | 0.01 | 0.00 | 0.01 |
| 1G | 126 | -50 | 15 | -0 | 0 | -0 | 166 | 1 | 0.00 | 0.00 | 0.05 |
| 1H | 126 | -50 | 183 | -0 | 0 | -0 | 25 | 1 | 0.01 | 0.00 | 0.01 |
| 1I | 126 | -50 | 74 | 0 | 0 | 0 | 116 | 1 | 0.00 | 0.00 | 0.04 |
| 1J | 126 | -50 | 125 | 0 | 0 | 0 | 74 | 1 | 0.01 | 0.00 | 0.02 |
| 1K | 126 | -50 | 74 | -0 | 0 | -0 | 116 | 1 | 0.00 | 0.00 | 0.04 |
| 1L | 126 | -50 | 125 | -0 | 0 | -0 | 74 | 1 | 0.01 | 0.00 | 0.02 |
| 1M | 126 | -50 | 74 | 0 | 0 | 0 | 116 | 1 | 0.00 | 0.00 | 0.04 |
| 1N | 126 | -50 | 125 | 0 | 0 | 0 | 74 | 1 | 0.01 | 0.00 | 0.02 |
| 1O | 126 | -50 | 74 | -0 | 0 | -0 | 116 | 1 | 0.00 | 0.00 | 0.04 |
| 1P | 126 | -50 | 125 | -0 | 0 | -0 | 74 | 1 | 0.01 | 0.00 | 0.02 |
| 2 | 126 | -219 | 439 | -0 | 0 | -0 | 420 | 1 | 0.03 | 0.00 | 0.13 |
| 1A | 168 | -50 | -34 | 0 | 0 | 0 | 162 | 1 | 0.00 | 0.00 | 0.05 |
| 1B | 168 | -50 | 134 | 0 | 0 | 0 | 91 | 1 | 0.01 | 0.00 | 0.03 |
| 1C | 168 | -50 | -34 | -0 | 0 | -0 | 162 | 1 | 0.00 | 0.00 | 0.05 |
| 1D | 168 | -50 | 134 | -0 | 0 | -0 | 91 | 1 | 0.01 | 0.00 | 0.03 |
| 1E | 168 | -50 | -34 | 0 | 0 | 0 | 162 | 1 | 0.00 | 0.00 | 0.05 |
| 1F | 168 | -50 | 134 | 0 | 0 | 0 | 91 | 1 | 0.01 | 0.00 | 0.03 |
| 1G | 168 | -50 | -34 | -0 | 0 | -0 | 162 | 1 | 0.00 | 0.00 | 0.05 |
| 1H | 168 | -50 | 134 | -0 | 0 | -0 | 91 | 1 | 0.01 | 0.00 | 0.03 |
| 1I | 168 | -50 | 24 | 0 | 0 | 0 | 137 | 1 | 0.00 | 0.00 | 0.04 |
| 1J | 168 | -50 | 75 | 0 | 0 | 0 | 116 | 1 | 0.01 | 0.00 | 0.04 |
| 1K | 168 | -50 | 24 | -0 | 0 | -0 | 137 | 1 | 0.00 | 0.00 | 0.04 |
| 1L | 168 | -50 | 75 | -0 | 0 | -0 | 116 | 1 | 0.01 | 0.00 | 0.04 |
| 1M | 168 | -50 | 24 | 0 | 0 | 0 | 137 | 1 | 0.00 | 0.00 | 0.04 |
| 1N | 168 | -50 | 75 | 0 | 0 | 0 | 116 | 1 | 0.01 | 0.00 | 0.04 |
| 1O | 168 | -50 | 24 | -0 | 0 | -0 | 137 | 1 | 0.00 | 0.00 | 0.04 |
| 1P | 168 | -50 | 75 | -0 | 0 | -0 | 116 | 1 | 0.01 | 0.00 | 0.04 |
| 2 | 168 | -219 | 220 | -0 | 0 | -0 | 559 | 1 | 0.01 | 0.00 | 0.17 |
| 1A | 210 | -50 | -84 | 0 | 0 | -0 | 137 | 1 | 0.01 | 0.00 | 0.04 |
| 1B | 210 | -50 | 84 | 0 | 0 | -0 | 137 | 1 | 0.01 | 0.00 | 0.04 |
| 1C | 210 | -50 | -84 | -0 | 0 | -0 | 137 | 1 | 0.01 | 0.00 | 0.04 |
| 1D | 210 | -50 | 84 | -0 | 0 | -0 | 137 | 1 | 0.01 | 0.00 | 0.04 |
| 1E | 210 | -50 | -84 | 0 | 0 | -0 | 137 | 1 | 0.01 | 0.00 | 0.04 |
| 1F | 210 | -50 | 84 | 0 | 0 | -0 | 137 | 1 | 0.01 | 0.00 | 0.04 |
| 1G | 210 | -50 | -84 | -0 | 0 | -0 | 137 | 1 | 0.01 | 0.00 | 0.04 |
| 1H | 210 | -50 | 84 | -0 | 0 | -0 | 137 | 1 | 0.01 | 0.00 | 0.04 |
| 1I | 210 | -50 | -25 | 0 | 0 | -0 | 137 | 1 | 0.00 | 0.00 | 0.04 |
| 1J | 210 | -50 | 25 | 0 | 0 | -0 | 137 | 1 | 0.00 | 0.00 | 0.04 |
| 1K | 210 | -50 | -25 | -0 | 0 | -0 | 137 | 1 | 0.00 | 0.00 | 0.04 |

| BOSI E ASSOCIATI STUDIO DI INGEGNERIA | | ISTITUTO ZOOPROFILATTICO SPERIMENTALE DELLA LOMBARDIA E DELL'EMILIA ROMAGNA “BRUNO UBERTINI” | | | | | | | | | | 98-2023 | |
|--|-----|--|------|----|---|----|------|---|------|------|------|---|--|
| | | REALIZZAZIONE AMPLIAMENTO ISTITUTO ZOOPROFILATTICO | | | | | | | | | | RELAZIONE DI CALCOLO TETTOIA METALLICA | |
| | | | | | | | | | | | | Pag. 18 di 41 | |
| 1L | 210 | -50 | 25 | -0 | 0 | -0 | 137 | 1 | 0.00 | 0.00 | 0.04 | | |
| 1M | 210 | -50 | -25 | 0 | 0 | -0 | 137 | 1 | 0.00 | 0.00 | 0.04 | | |
| 1N | 210 | -50 | 25 | 0 | 0 | -0 | 137 | 1 | 0.00 | 0.00 | 0.04 | | |
| 1O | 210 | -50 | -25 | -0 | 0 | -0 | 137 | 1 | 0.00 | 0.00 | 0.04 | | |
| 1P | 210 | -50 | 25 | -0 | 0 | -0 | 137 | 1 | 0.00 | 0.00 | 0.04 | | |
| 2 | 210 | -219 | 0 | -0 | 0 | -0 | 605 | 1 | 0.00 | 0.00 | 0.18 | | |
| 1A | 252 | -50 | -134 | 0 | 0 | -0 | 91 | 1 | 0.01 | 0.00 | 0.03 | | |
| 1B | 252 | -50 | 34 | 0 | 0 | -0 | 162 | 1 | 0.00 | 0.00 | 0.05 | | |
| 1C | 252 | -50 | -134 | -0 | 0 | 0 | 91 | 1 | 0.01 | 0.00 | 0.03 | | |
| 1D | 252 | -50 | 34 | -0 | 0 | 0 | 162 | 1 | 0.00 | 0.00 | 0.05 | | |
| 1E | 252 | -50 | -134 | 0 | 0 | -0 | 91 | 1 | 0.01 | 0.00 | 0.03 | | |
| 1F | 252 | -50 | 34 | 0 | 0 | -0 | 162 | 1 | 0.00 | 0.00 | 0.05 | | |
| 1G | 252 | -50 | -134 | -0 | 0 | 0 | 91 | 1 | 0.01 | 0.00 | 0.03 | | |
| 1H | 252 | -50 | 34 | -0 | 0 | 0 | 162 | 1 | 0.00 | 0.00 | 0.05 | | |
| 1I | 252 | -50 | -75 | 0 | 0 | -0 | 116 | 1 | 0.01 | 0.00 | 0.04 | | |
| 1J | 252 | -50 | -24 | 0 | 0 | -0 | 137 | 1 | 0.00 | 0.00 | 0.04 | | |
| 1K | 252 | -50 | -75 | -0 | 0 | 0 | 116 | 1 | 0.01 | 0.00 | 0.04 | | |
| 1L | 252 | -50 | -24 | -0 | 0 | 0 | 137 | 1 | 0.00 | 0.00 | 0.04 | | |
| 1M | 252 | -50 | -75 | 0 | 0 | -0 | 116 | 1 | 0.01 | 0.00 | 0.04 | | |
| 1N | 252 | -50 | -24 | 0 | 0 | -0 | 137 | 1 | 0.00 | 0.00 | 0.04 | | |
| 1O | 252 | -50 | -75 | -0 | 0 | 0 | 116 | 1 | 0.01 | 0.00 | 0.04 | | |
| 1P | 252 | -50 | -24 | -0 | 0 | 0 | 137 | 1 | 0.00 | 0.00 | 0.04 | | |
| 2 | 252 | -219 | -220 | -0 | 0 | -0 | 559 | 1 | 0.01 | 0.00 | 0.17 | | |
| 1A | 294 | -50 | -183 | 0 | 0 | -0 | 25 | 1 | 0.01 | 0.00 | 0.01 | | |
| 1B | 294 | -50 | -15 | 0 | 0 | -0 | 166 | 1 | 0.00 | 0.00 | 0.05 | | |
| 1C | 294 | -50 | -183 | -0 | 0 | 0 | 25 | 1 | 0.01 | 0.00 | 0.01 | | |
| 1D | 294 | -50 | -15 | -0 | 0 | 0 | 166 | 1 | 0.00 | 0.00 | 0.05 | | |
| 1E | 294 | -50 | -183 | 0 | 0 | -0 | 25 | 1 | 0.01 | 0.00 | 0.01 | | |
| 1F | 294 | -50 | -15 | 0 | 0 | -0 | 166 | 1 | 0.00 | 0.00 | 0.05 | | |
| 1G | 294 | -50 | -183 | -0 | 0 | 0 | 25 | 1 | 0.01 | 0.00 | 0.01 | | |
| 1H | 294 | -50 | -15 | -0 | 0 | 0 | 166 | 1 | 0.00 | 0.00 | 0.05 | | |
| 1I | 294 | -50 | -125 | 0 | 0 | -0 | 74 | 1 | 0.01 | 0.00 | 0.02 | | |
| 1J | 294 | -50 | -74 | 0 | 0 | -0 | 116 | 1 | 0.00 | 0.00 | 0.04 | | |
| 1K | 294 | -50 | -125 | -0 | 0 | 0 | 74 | 1 | 0.01 | 0.00 | 0.02 | | |
| 1L | 294 | -50 | -74 | -0 | 0 | 0 | 116 | 1 | 0.00 | 0.00 | 0.04 | | |
| 1M | 294 | -50 | -125 | 0 | 0 | -0 | 74 | 1 | 0.01 | 0.00 | 0.02 | | |
| 1N | 294 | -50 | -74 | 0 | 0 | -0 | 116 | 1 | 0.00 | 0.00 | 0.04 | | |
| 1O | 294 | -50 | -125 | -0 | 0 | 0 | 74 | 1 | 0.01 | 0.00 | 0.02 | | |
| 1P | 294 | -50 | -74 | -0 | 0 | 0 | 116 | 1 | 0.00 | 0.00 | 0.04 | | |
| 2 | 294 | -219 | -439 | -0 | 0 | -0 | 420 | 1 | 0.03 | 0.00 | 0.13 | | |
| 1A | 336 | -50 | -233 | 0 | 0 | -0 | -63 | 1 | 0.02 | 0.00 | 0.02 | | |
| 1B | 336 | -50 | -65 | 0 | 0 | -0 | 149 | 1 | 0.00 | 0.00 | 0.04 | | |
| 1C | 336 | -50 | -233 | -0 | 0 | 0 | -63 | 1 | 0.02 | 0.00 | 0.02 | | |
| 1D | 336 | -50 | -65 | -0 | 0 | 0 | 149 | 1 | 0.00 | 0.00 | 0.04 | | |
| 1E | 336 | -50 | -233 | 0 | 0 | -0 | -63 | 1 | 0.02 | 0.00 | 0.02 | | |
| 1F | 336 | -50 | -65 | 0 | 0 | -0 | 149 | 1 | 0.00 | 0.00 | 0.04 | | |
| 1G | 336 | -50 | -233 | -0 | 0 | 0 | -63 | 1 | 0.02 | 0.00 | 0.02 | | |
| 1H | 336 | -50 | -65 | -0 | 0 | 0 | 149 | 1 | 0.00 | 0.00 | 0.04 | | |
| 1I | 336 | -50 | -174 | 0 | 0 | -0 | 11 | 1 | 0.01 | 0.00 | 0.00 | | |
| 1J | 336 | -50 | -124 | 0 | 0 | -0 | 75 | 1 | 0.01 | 0.00 | 0.02 | | |
| 1K | 336 | -50 | -174 | -0 | 0 | 0 | 11 | 1 | 0.01 | 0.00 | 0.00 | | |
| 1L | 336 | -50 | -124 | -0 | 0 | 0 | 75 | 1 | 0.01 | 0.00 | 0.02 | | |
| 1M | 336 | -50 | -174 | 0 | 0 | -0 | 11 | 1 | 0.01 | 0.00 | 0.00 | | |
| 1N | 336 | -50 | -124 | 0 | 0 | -0 | 75 | 1 | 0.01 | 0.00 | 0.02 | | |
| 1O | 336 | -50 | -174 | -0 | 0 | 0 | 11 | 1 | 0.01 | 0.00 | 0.00 | | |
| 1P | 336 | -50 | -124 | -0 | 0 | 0 | 75 | 1 | 0.01 | 0.00 | 0.02 | | |
| 2 | 336 | -219 | -659 | -0 | 0 | -0 | 190 | 1 | 0.04 | 0.00 | 0.06 | | |
| 1A | 378 | -50 | -283 | 0 | 0 | -0 | -171 | 1 | 0.02 | 0.00 | 0.05 | | |
| 1B | 378 | -50 | -115 | 0 | 0 | -0 | 111 | 1 | 0.01 | 0.00 | 0.03 | | |
| 1C | 378 | -50 | -283 | -0 | 0 | 0 | -171 | 1 | 0.02 | 0.00 | 0.05 | | |
| 1D | 378 | -50 | -115 | -0 | 0 | 0 | 111 | 1 | 0.01 | 0.00 | 0.03 | | |
| 1E | 378 | -50 | -283 | 0 | 0 | -0 | -171 | 1 | 0.02 | 0.00 | 0.05 | | |
| 1F | 378 | -50 | -115 | 0 | 0 | -0 | 111 | 1 | 0.01 | 0.00 | 0.03 | | |
| 1G | 378 | -50 | -283 | -0 | 0 | 0 | -171 | 1 | 0.02 | 0.00 | 0.05 | | |
| 1H | 378 | -50 | -115 | -0 | 0 | 0 | 111 | 1 | 0.01 | 0.00 | 0.03 | | |
| 1I | 378 | -50 | -224 | 0 | 0 | -0 | -72 | 1 | 0.02 | 0.00 | 0.02 | | |
| 1J | 378 | -50 | -174 | 0 | 0 | -0 | 12 | 1 | 0.01 | 0.00 | 0.00 | | |
| 1K | 378 | -50 | -224 | -0 | 0 | 0 | -72 | 1 | 0.02 | 0.00 | 0.02 | | |
| 1L | 378 | -50 | -174 | -0 | 0 | 0 | 12 | 1 | 0.01 | 0.00 | 0.00 | | |
| 1M | 378 | -50 | -224 | 0 | 0 | -0 | -72 | 1 | 0.02 | 0.00 | 0.02 | | |
| 1N | 378 | -50 | -174 | 0 | 0 | -0 | 12 | 1 | 0.01 | 0.00 | 0.00 | | |
| 1O | 378 | -50 | -224 | -0 | 0 | 0 | -72 | 1 | 0.02 | 0.00 | 0.02 | | |
| 1P | 378 | -50 | -174 | -0 | 0 | 0 | 12 | 1 | 0.01 | 0.00 | 0.00 | | |
| 2 | 378 | -219 | -878 | -0 | 0 | 0 | -133 | 1 | 0.06 | 0.00 | 0.04 | | |
| 1A | 420 | -50 | -332 | 0 | 0 | -0 | -300 | 1 | 0.02 | 0.00 | 0.09 | | |
| 1B | 420 | -50 | -164 | 0 | 0 | -0 | 52 | 1 | 0.01 | 0.00 | 0.02 | | |
| 1C | 420 | -50 | -332 | -0 | 0 | 0 | -300 | 1 | 0.02 | 0.00 | 0.09 | | |
| 1D | 420 | -50 | -164 | -0 | 0 | 0 | 52 | 1 | 0.01 | 0.00 | 0.02 | | |
| 1E | 420 | -50 | -332 | 0 | 0 | -0 | -300 | 1 | 0.02 | 0.00 | 0.09 | | |
| 1F | 420 | -50 | -164 | 0 | 0 | -0 | 52 | 1 | 0.01 | 0.00 | 0.02 | | |

| | | | | | | | | | | | | | | | | |
|---|---|--|--|--|--|--|--|--|--|--|---|--|--|--|--|---|
| BOSI E ASSOCIATI STUDIO DI INGEGNERIA Dott. Ing. Giovanni Bosi Dott. Ing. Donato Musci Dott. Ing. Davide Manenti Dott. Ing. Nazzareno Zingarelli | ISTITUTO ZOOPROFILATTICO SPERIMENTALE DELLA LOMBARDIA E DELL'EMILIA ROMAGNA "BRUNO UBERTINI" | | | | | | | | | | 98-2023 REALIZZAZIONE AMPLIAMENTO ISTITUTO ZOOPROFILATTICO | | | | | |
| | | | | | | | | | | | | | | | | |
| | | | | | | | | | | | RELAZIONE DI CALCOLO TETTOIA METALLICA | | | | | |
| | | | | | | | | | | | Pag. 19 di 41 | | | | | |
| 1G 420 -50 -332 -0 0 0 -300 1 0.02 0.00 0.09 | 1H 420 -50 -164 -0 0 0 52 1 0.01 0.00 0.02 | 1I 420 -50 -274 0 0 -0 -177 1 0.02 0.00 0.05 | 1J 420 -50 -223 0 0 -0 -71 1 0.01 0.00 0.02 | 1K 420 -50 -274 -0 0 0 -177 1 0.02 0.00 0.05 | 1L 420 -50 -223 -0 0 0 -71 1 0.01 0.00 0.02 | 1M 420 -50 -274 0 0 -0 -177 1 0.02 0.00 0.05 | 1N 420 -50 -223 0 0 -0 -71 1 0.01 0.00 0.02 | 1O 420 -50 -274 -0 0 0 -177 1 0.02 0.00 0.05 | 1P 420 -50 -223 -0 0 0 -71 1 0.01 0.00 0.02 | 2 420 -219 -1098 -0 0 0 -548 1 0.07 0.00 0.17 | | | | | | |
| Verifica di STABILITA' e/o STABILITA' FLESSO TORSIONALE | | | | | | | | | | | | | | | | |
| NC Fx My Mz Classe $\chi_{min.}$ ky kz kLT χ_{LT} I.S.n. I.S.m. I.S. Nota | -- daN -- daN*m | | | | | | | | | | | | | | | |
| 1A -50 0 -300 1 0.1254 0.9937 1.0024 -- -- 0.01 -- 0.10 Snell. 'zx'= 228 | 1B -50 0 -300 1 0.1254 0.9937 1.0024 -- -- 0.01 -- 0.10 Snell. 'zx'= 228 | 1C -50 0 -300 1 0.1254 0.9937 1.0024 -- -- 0.01 -- 0.10 Snell. 'zx'= 228 | 1D -50 0 -300 1 0.1254 0.9937 1.0024 -- -- 0.01 -- 0.10 Snell. 'zx'= 228 | 1E -50 0 -300 1 0.1254 0.9937 1.0024 -- -- 0.01 -- 0.10 Snell. 'zx'= 228 | 1F -50 0 -300 1 0.1254 0.9937 1.0024 -- -- 0.01 -- 0.10 Snell. 'zx'= 228 | 1G -50 0 -300 1 0.1254 0.9937 1.0024 -- -- 0.01 -- 0.10 Snell. 'zx'= 228 | 1H -50 0 -300 1 0.1254 0.9937 1.0024 -- -- 0.01 -- 0.10 Snell. 'zx'= 228 | 1I -50 0 -177 1 0.1254 0.9937 1.0019 -- -- 0.01 -- 0.06 Snell. 'zx'= 228 | 1J -50 0 -177 1 0.1254 0.9937 1.0019 -- -- 0.01 -- 0.06 Snell. 'zx'= 228 | 1K -50 0 -177 1 0.1254 0.9937 1.0019 -- -- 0.01 -- 0.06 Snell. 'zx'= 228 | 1L -50 0 -177 1 0.1254 0.9937 1.0019 -- -- 0.01 -- 0.06 Snell. 'zx'= 228 | 1M -50 0 -177 1 0.1254 0.9937 1.0019 -- -- 0.01 -- 0.06 Snell. 'zx'= 228 | 1N -50 0 -177 1 0.1254 0.9937 1.0019 -- -- 0.01 -- 0.06 Snell. 'zx'= 228 | 1O -50 0 -177 1 0.1254 0.9937 1.0019 -- -- 0.01 -- 0.06 Snell. 'zx'= 228 | 1P -50 0 -177 1 0.1254 0.9937 1.0019 -- -- 0.01 -- 0.06 Snell. 'zx'= 228 | 2 -219 0 605 1 0.1254 1.0094 1.0042 -- -- 0.03 -- 0.22 Snell. 'zx'= 228 |
| ASTA NUM. 3 NI 9 NF 10 Lungh. 420.0 cm SEZ. 1 Ps IPE 160 | | | | | | | | | | | | | | | | |
| categoria: p.p. y Permanente Neve qy tot. | | | | | | | | | | | | | | | | |
| qy medio: 0.1578 0.5150 1.2360 1.9088 daN/cm | | | | | | | | | | | | | | | | |
| Sollecitazioni di calcolo e di verifica | | | | | | | | | | | | Indici <= 1 : VERIFICATO | | | | |
| NC x Fx Fy Fz Mx My Mz Classe I.V.T. I.R.n. I.R. Nota | -- cm -- daN -- daN*m | | | | | | | | | | | | | | | |
| 1A 0 -28 80 4 0 9 59 1 0.01 0.00 0.02 | 1B 0 -28 203 4 0 9 -200 1 0.01 0.00 0.06 | 1C 0 -28 80 -4 0 -9 59 1 0.01 0.00 0.02 | 1D 0 -28 203 -4 0 -9 -200 1 0.01 0.00 0.06 | 1E 0 -28 80 4 0 9 59 1 0.01 0.00 0.02 | 1F 0 -28 203 4 0 9 -200 1 0.01 0.00 0.06 | 1G 0 -28 80 -4 0 -9 59 1 0.01 0.00 0.02 | 1H 0 -28 203 -4 0 -9 -200 1 0.01 0.00 0.06 | 1I 0 -28 123 1 0 3 -32 1 0.01 0.00 0.01 | 1J 0 -28 160 1 0 3 -109 1 0.01 0.00 0.03 | 1K 0 -28 123 -1 0 -3 -32 1 0.01 0.00 0.01 | 1L 0 -28 160 -1 0 -3 -109 1 0.01 0.00 0.03 | 1M 0 -28 123 1 0 3 -32 1 0.01 0.00 0.01 | 1N 0 -28 160 1 0 3 -109 1 0.01 0.00 0.03 | 1O 0 -28 123 -1 0 -3 -32 1 0.01 0.00 0.01 | 1P 0 -28 160 -1 0 -3 -109 1 0.01 0.00 0.03 | 2 0 -114 573 0 0 0 -286 1 0.04 0.00 0.09 |
| 1A 42 -28 51 4 0 7 87 1 0.00 0.00 0.03 | 1B 42 -28 175 4 0 7 -121 1 0.01 0.00 0.04 | 1C 42 -28 51 -4 0 -7 87 1 0.00 0.00 0.03 | 1D 42 -28 175 -4 0 -7 -121 1 0.01 0.00 0.04 | 1E 42 -28 51 4 0 7 87 1 0.00 0.00 0.03 | 1F 42 -28 175 4 0 7 -121 1 0.01 0.00 0.04 | 1G 42 -28 51 -4 0 -7 87 1 0.00 0.00 0.03 | 1H 42 -28 175 -4 0 -7 -121 1 0.01 0.00 0.04 | 1I 42 -28 95 1 0 2 14 1 0.01 0.00 0.00 | 1J 42 -28 132 1 0 2 -48 1 0.01 0.00 0.01 | 1K 42 -28 95 -1 0 -2 14 1 0.01 0.00 0.00 | 1L 42 -28 132 -1 0 -2 -48 1 0.01 0.00 0.01 | | | | | |

| | | | | | | | | | | | | | | | | | | | | | | | | | |
|---|---|--|--|--|--|--|--|--|--|--|--|----------------|--|--|--|--|--|--|--|--|--|--|--|--|--|
| BOSI E ASSOCIATI STUDIO DI INGEGNERIA Dott. Ing. Giovanni Bosi Dott. Ing. Donato Musci Dott. Ing. Davide Manenti Dott. Ing. Nazzareno Zingarelli | ISTITUTO ZOOPROFILATTICO SPERIMENTALE DELLA LOMBARDIA E DELL'EMILIA ROMAGNA “BRUNO UBERTINI” | | | | | | | | | | | 98-2023 | | | | | | | | | | | | | |
| | REALIZZAZIONE AMPLIAMENTO ISTITUTO ZOOPROFILATTICO | | | | | | | | | | | | | | | | | | | | | | | | |
| RELAZIONE DI CALCOLO TETTOIA METALLICA | | | | | | | | | | | | | | | | | | | | | | | | | |
| Pag. 21 di 41 | | | | | | | | | | | | | | | | | | | | | | | | | |
| 1H 252 -28 33 -4 0 2 98 1 0.00 0.00 0.03 | | | | | | | | | | | | | | | | | | | | | | | | | |
| 1I 252 -28 -47 1 0 -1 64 1 0.00 0.00 0.02 | | | | | | | | | | | | | | | | | | | | | | | | | |
| 1J 252 -28 -10 1 0 -1 80 1 0.00 0.00 0.02 | | | | | | | | | | | | | | | | | | | | | | | | | |
| 1K 252 -28 -47 -1 0 1 64 1 0.00 0.00 0.02 | | | | | | | | | | | | | | | | | | | | | | | | | |
| 1L 252 -28 -10 -1 0 1 80 1 0.00 0.00 0.02 | | | | | | | | | | | | | | | | | | | | | | | | | |
| 1M 252 -28 -47 1 0 -1 64 1 0.00 0.00 0.02 | | | | | | | | | | | | | | | | | | | | | | | | | |
| 1N 252 -28 -10 1 0 -1 80 1 0.00 0.00 0.02 | | | | | | | | | | | | | | | | | | | | | | | | | |
| 1O 252 -28 -47 -1 0 1 64 1 0.00 0.00 0.02 | | | | | | | | | | | | | | | | | | | | | | | | | |
| 1P 252 -28 -10 -1 0 1 80 1 0.00 0.00 0.02 | | | | | | | | | | | | | | | | | | | | | | | | | |
| 2 252 -114 -115 0 0 0 292 1 0.01 0.00 0.09 | | | | | | | | | | | | | | | | | | | | | | | | | |
| 1A 294 -28 -118 4 0 -4 2 1 0.01 0.00 0.01 | | | | | | | | | | | | | | | | | | | | | | | | | |
| 1B 294 -28 5 4 0 -4 106 1 0.00 0.00 0.03 | | | | | | | | | | | | | | | | | | | | | | | | | |
| 1C 294 -28 -118 -4 0 4 2 1 0.01 0.00 0.01 | | | | | | | | | | | | | | | | | | | | | | | | | |
| 1D 294 -28 5 -4 0 4 106 1 0.00 0.00 0.03 | | | | | | | | | | | | | | | | | | | | | | | | | |
| 1E 294 -28 -118 4 0 -4 2 1 0.01 0.00 0.01 | | | | | | | | | | | | | | | | | | | | | | | | | |
| 1F 294 -28 5 4 0 -4 106 1 0.00 0.00 0.03 | | | | | | | | | | | | | | | | | | | | | | | | | |
| 1G 294 -28 -118 -4 0 4 2 1 0.01 0.00 0.01 | | | | | | | | | | | | | | | | | | | | | | | | | |
| 1H 294 -28 5 -4 0 4 106 1 0.00 0.00 0.03 | | | | | | | | | | | | | | | | | | | | | | | | | |
| 1I 294 -28 -75 1 0 -1 39 1 0.01 0.00 0.01 | | | | | | | | | | | | | | | | | | | | | | | | | |
| 1J 294 -28 -38 1 0 -1 70 1 0.00 0.00 0.02 | | | | | | | | | | | | | | | | | | | | | | | | | |
| 1K 294 -28 -75 -1 0 1 39 1 0.01 0.00 0.01 | | | | | | | | | | | | | | | | | | | | | | | | | |
| 1L 294 -28 -38 -1 0 1 70 1 0.00 0.00 0.02 | | | | | | | | | | | | | | | | | | | | | | | | | |
| 1M 294 -28 -75 1 0 -1 39 1 0.01 0.00 0.01 | | | | | | | | | | | | | | | | | | | | | | | | | |
| 1N 294 -28 -38 1 0 -1 70 1 0.00 0.00 0.02 | | | | | | | | | | | | | | | | | | | | | | | | | |
| 1O 294 -28 -75 -1 0 1 39 1 0.01 0.00 0.01 | | | | | | | | | | | | | | | | | | | | | | | | | |
| 1P 294 -28 -38 -1 0 1 70 1 0.00 0.00 0.02 | | | | | | | | | | | | | | | | | | | | | | | | | |
| 2 294 -114 -229 0 0 0 219 1 0.02 0.00 0.07 | | | | | | | | | | | | | | | | | | | | | | | | | |
| 1A 336 -28 -146 4 0 -5 -53 1 0.01 0.00 0.02 | | | | | | | | | | | | | | | | | | | | | | | | | |
| 1B 336 -28 -23 4 0 -5 102 1 0.00 0.00 0.03 | | | | | | | | | | | | | | | | | | | | | | | | | |
| 1C 336 -28 -146 -4 0 5 -53 1 0.01 0.00 0.02 | | | | | | | | | | | | | | | | | | | | | | | | | |
| 1D 336 -28 -23 -4 0 5 102 1 0.00 0.00 0.03 | | | | | | | | | | | | | | | | | | | | | | | | | |
| 1E 336 -28 -146 4 0 -5 -53 1 0.01 0.00 0.02 | | | | | | | | | | | | | | | | | | | | | | | | | |
| 1F 336 -28 -23 4 0 -5 102 1 0.00 0.00 0.03 | | | | | | | | | | | | | | | | | | | | | | | | | |
| 1G 336 -28 -146 -4 0 5 -53 1 0.01 0.00 0.02 | | | | | | | | | | | | | | | | | | | | | | | | | |
| 1H 336 -28 -23 -4 0 5 102 1 0.00 0.00 0.03 | | | | | | | | | | | | | | | | | | | | | | | | | |
| 1I 336 -28 -103 1 0 -2 1 1 0.01 0.00 0.00 | | | | | | | | | | | | | | | | | | | | | | | | | |
| 1J 336 -28 -66 1 0 -2 48 1 0.00 0.00 0.01 | | | | | | | | | | | | | | | | | | | | | | | | | |
| 1K 336 -28 -103 -1 0 2 1 1 0.01 0.00 0.00 | | | | | | | | | | | | | | | | | | | | | | | | | |
| 1L 336 -28 -66 -1 0 2 48 1 0.00 0.00 0.01 | | | | | | | | | | | | | | | | | | | | | | | | | |
| 1M 336 -28 -103 1 0 -2 1 1 0.01 0.00 0.00 | | | | | | | | | | | | | | | | | | | | | | | | | |
| 1N 336 -28 -66 1 0 -2 48 1 0.00 0.00 0.01 | | | | | | | | | | | | | | | | | | | | | | | | | |
| 1O 336 -28 -103 -1 0 2 1 1 0.01 0.00 0.00 | | | | | | | | | | | | | | | | | | | | | | | | | |
| 1P 336 -28 -66 -1 0 2 48 1 0.00 0.00 0.01 | | | | | | | | | | | | | | | | | | | | | | | | | |
| 2 336 -114 -344 0 0 0 99 1 0.02 0.00 0.03 | | | | | | | | | | | | | | | | | | | | | | | | | |
| 1A 378 -28 -175 4 0 -7 -121 1 0.01 0.00 0.04 | | | | | | | | | | | | | | | | | | | | | | | | | |
| 1B 378 -28 -51 4 0 -7 87 1 0.00 0.00 0.03 | | | | | | | | | | | | | | | | | | | | | | | | | |
| 1C 378 -28 -175 -4 0 7 -121 1 0.01 0.00 0.04 | | | | | | | | | | | | | | | | | | | | | | | | | |
| 1D 378 -28 -51 -4 0 7 87 1 0.00 0.00 0.03 | | | | | | | | | | | | | | | | | | | | | | | | | |
| 1E 378 -28 -175 4 0 -7 -121 1 0.01 0.00 0.04 | | | | | | | | | | | | | | | | | | | | | | | | | |
| 1F 378 -28 -51 4 0 -7 87 1 0.00 0.00 0.03 | | | | | | | | | | | | | | | | | | | | | | | | | |
| 1G 378 -28 -175 -4 0 7 -121 1 0.01 0.00 0.04 | | | | | | | | | | | | | | | | | | | | | | | | | |
| 1H 378 -28 -51 -4 0 7 87 1 0.00 0.00 0.03 | | | | | | | | | | | | | | | | | | | | | | | | | |
| 1I 378 -28 -132 1 0 -2 -48 1 0.01 0.00 0.01 | | | | | | | | | | | | | | | | | | | | | | | | | |
| 1J 378 -28 -95 1 0 -2 14 1 0.01 0.00 0.00 | | | | | | | | | | | | | | | | | | | | | | | | | |
| 1K 378 -28 -132 -1 0 2 -48 1 0.01 0.00 0.01 | | | | | | | | | | | | | | | | | | | | | | | | | |
| 1L 378 -28 -95 -1 0 2 14 1 0.01 0.00 0.00 | | | | | | | | | | | | | | | | | | | | | | | | | |
| 1M 378 -28 -132 1 0 -2 -48 1 0.01 0.00 0.01 | | | | | | | | | | | | | | | | | | | | | | | | | |
| 1N 378 -28 -95 1 0 -2 14 1 0.01 0.00 0.00 | | | | | | | | | | | | | | | | | | | | | | | | | |
| 1O 378 -28 -132 -1 0 2 -48 1 0.01 0.00 0.01 | | | | | | | | | | | | | | | | | | | | | | | | | |
| 1P 378 -28 -95 -1 0 2 14 1 0.01 0.00 0.00 | | | | | | | | | | | | | | | | | | | | | | | | | |
| 2 378 -114 -458 0 0 0 -69 1 0.03 0.00 0.02 | | | | | | | | | | | | | | | | | | | | | | | | | |
| 1A 420 -28 -203 4 0 -9 -200 1 0.01 0.00 0.06 | | | | | | | | | | | | | | | | | | | | | | | | | |
| 1B 420 -28 -80 4 0 -9 59 1 0.01 0.00 0.02 | | | | | | | | | | | | | | | | | | | | | | | | | |
| 1C 420 -28 -203 -4 0 9 -200 1 0.01 0.00 0.06 | | | | | | | | | | | | | | | | | | | | | | | | | |
| 1D 420 -28 -80 -4 0 9 59 1 0.01 0.00 0.02 | | | | | | | | | | | | | | | | | | | | | | | | | |
| 1E 420 -28 -203 4 0 -9 -200 1 0.01 0.00 0.06 | | | | | | | | | | | | | | | | | | | | | | | | | |
| 1F 420 -28 -80 4 0 -9 59 1 0.01 0.00 0.02 | | | | | | | | | | | | | | | | | | | | | | | | | |
| 1G 420 -28 -203 -4 0 9 -200 1 0.01 0.00 0.06 | | | | | | | | | | | | | | | | | | | | | | | | | |
| 1H 420 -28 -80 -4 0 9 59 1 0.01 0.00 0.02 | | | | | | | | | | | | | | | | | | | | | | | | | |
| 1I 420 -28 -160 1 0 -3 -109 1 0.01 0.00 0.03 | | | | | | | | | | | | | | | | | | | | | | | | | |
| 1J 420 -28 -123 1 0 -3 -32 1 0.01 0.00 0.01 | | | | | | | | | | | | | | | | | | | | | | | | | |
| 1K 420 -28 -160 -1 0 3 -109 1 0.01 0.00 0.03 | | | | | | | | | | | | | | | | | | | | | | | | | |
| 1L 420 -28 -123 -1 0 3 -32 1 0.01 0.00 0.01 | | | | | | | | | | | | | | | | | | | | | | | | | |
| 1M 420 -28 -160 1 0 -3 -109 1 0.01 0.00 0.03 | | | | | | | | | | | | | | | | | | | | | | | | | |
| 1N 420 -28 -123 1 0 -3 -32 1 0.01 0.00 0.01 | | | | | | | | | | | | | | | | | | | | | | | | | |
| 1O 420 -28 -160 -1 0 3 -109 1 0.01 0.00 0.03 | | | | | | | | | | | | | | | | | | | | | | | | | |
| 1P 420 -28 -123 -1 0 3 -32 1 0.01 0.00 0.01 | | | | | | | | | | | | | | | | | | | | | | | | | |
| 2 420 -114 -573 0 0 0 -286 1 0.04 0.00 0.09 | | | | | | | | | | | | | | | | | | | | | | | | | |

Verifica di STABILITA' e/o STABILITA' FLESSO TORSIONALE

| | | | | | | | | | | | | | |
|---|---|-------|------|--------|---------------|--------|--------|--------|-------------|--------|--------|---|------------------|
| BOSI E ASSOCIATI STUDIO DI INGEGNERIA Dott. Ing. Giovanni Bosi Dott. Ing. Donato Musci Dott. Ing. Davide Manenti Dott. Ing. Nazzareno Zingarelli | ISTITUTO ZOOPROFILATTICO SPERIMENTALE DELLA LOMBARDIA E DELL'EMILIA ROMAGNA "BRUNO UBERTINI" | | | | | | | | | | | 98-2023 REALIZZAZIONE AMPLIAMENTO ISTITUTO ZOOPROFILATTICO | |
| | REALIZZAZIONE AMPLIAMENTO ISTITUTO ZOOPROFILATTICO | | | | | | | | | | | | |
| | REALIZZAZIONE AMPLIAMENTO ISTITUTO ZOOPROFILATTICO | | | | | | | | | | | | |
| | REALIZZAZIONE AMPLIAMENTO ISTITUTO ZOOPROFILATTICO | | | | | | | | | | | | |
| NC | Fx | My | Mz | Classe | $\chi_{min.}$ | ky | kz | kLT | χ_{LT} | I.S.n. | I.S.m. | I.S. | Nota |
| -- | -- | -- | -- | -- | -- | -- | -- | -- | -- | -- | -- | -- | |
| daN | | daN*m | | | | | | | | | | | |
| 1A | -28 | 9 | -200 | 1 | 0.1254 | 0.9964 | 1.0012 | -- | -- | 0.00 | -- | 0.08 | Snell. 'zx'= 228 |
| 1B | -28 | 9 | -200 | 1 | 0.1254 | 0.9964 | 1.0012 | -- | -- | 0.00 | -- | 0.08 | Snell. 'zx'= 228 |
| 1C | -28 | 9 | -200 | 1 | 0.1254 | 0.9964 | 1.0012 | -- | -- | 0.00 | -- | 0.08 | Snell. 'zx'= 228 |
| 1D | -28 | 9 | -200 | 1 | 0.1254 | 0.9964 | 1.0012 | -- | -- | 0.00 | -- | 0.08 | Snell. 'zx'= 228 |
| 1E | -28 | 9 | -200 | 1 | 0.1254 | 0.9964 | 1.0012 | -- | -- | 0.00 | -- | 0.08 | Snell. 'zx'= 228 |
| 1F | -28 | 9 | -200 | 1 | 0.1254 | 0.9964 | 1.0012 | -- | -- | 0.00 | -- | 0.08 | Snell. 'zx'= 228 |
| 1G | -28 | 9 | -200 | 1 | 0.1254 | 0.9964 | 1.0012 | -- | -- | 0.00 | -- | 0.08 | Snell. 'zx'= 228 |
| 1H | -28 | 9 | -200 | 1 | 0.1254 | 0.9964 | 1.0012 | -- | -- | 0.00 | -- | 0.08 | Snell. 'zx'= 228 |
| 1I | -28 | 3 | -109 | 1 | 0.1254 | 0.9964 | 1.0011 | -- | -- | 0.00 | -- | 0.04 | Snell. 'zx'= 228 |
| 1J | -28 | 3 | -109 | 1 | 0.1254 | 0.9964 | 1.0011 | -- | -- | 0.00 | -- | 0.04 | Snell. 'zx'= 228 |
| 1K | -28 | 3 | -109 | 1 | 0.1254 | 0.9964 | 1.0011 | -- | -- | 0.00 | -- | 0.04 | Snell. 'zx'= 228 |
| 1L | -28 | 3 | -109 | 1 | 0.1254 | 0.9964 | 1.0011 | -- | -- | 0.00 | -- | 0.04 | Snell. 'zx'= 228 |
| 1M | -28 | 3 | -109 | 1 | 0.1254 | 0.9964 | 1.0011 | -- | -- | 0.00 | -- | 0.04 | Snell. 'zx'= 228 |
| 1N | -28 | 3 | -109 | 1 | 0.1254 | 0.9964 | 1.0011 | -- | -- | 0.00 | -- | 0.04 | Snell. 'zx'= 228 |
| 1O | -28 | 3 | -109 | 1 | 0.1254 | 0.9964 | 1.0011 | -- | -- | 0.00 | -- | 0.04 | Snell. 'zx'= 228 |
| 1P | -28 | 3 | -109 | 1 | 0.1254 | 0.9964 | 1.0011 | -- | -- | 0.00 | -- | 0.04 | Snell. 'zx'= 228 |
| 2 | -114 | 0 | 316 | 1 | 0.1254 | 1.0681 | 1.0022 | -- | -- | 0.02 | -- | 0.11 | Snell. 'zx'= 228 |
| ASTA NUM. 4 NI 4 NF 5 Lungh. 205.0 cm SEZ. 1 Ps IPE 160 | | | | | | | | | | | | | |
| categoria: p.p. y qy tot. | | | | | | | | | | | | | |
| qy medio: 0.1578 0.1578 daN/cm | | | | | | | | | | | | | |
| Sollecitazioni di calcolo e di verifica | | | | | | | | | | | | | |
| Indici <= 1 : VERIFICATO | | | | | | | | | | | | | |
| NC | x | Fx | Fy | Fz | Mx | My | Mz | Classe | I.V.T. | I.R.n. | I.R. | Nota | |
| -- | -- | -- | -- | -- | -- | -- | -- | -- | -- | -- | -- | | |
| cm | | daN | | | daN | daN*m | | | | | | | |
| 1A | 0 | -15 | 16 | 12 | 0 | 9 | 0 | 1 | 0.00 | 0.00 | 0.01 | | |
| 1B | 0 | -15 | 16 | 12 | 0 | 9 | -0 | 1 | 0.00 | 0.00 | 0.01 | | |
| 1C | 0 | -15 | 16 | -12 | 0 | -9 | 0 | 1 | 0.00 | 0.00 | 0.01 | | |
| 1D | 0 | -15 | 16 | -12 | 0 | -9 | -0 | 1 | 0.00 | 0.00 | 0.01 | | |
| 1E | 0 | 15 | 16 | 12 | 0 | 9 | 0 | 1 | 0.00 | 0.00 | 0.01 | | |
| 1F | 0 | 15 | 16 | 12 | 0 | 9 | -0 | 1 | 0.00 | 0.00 | 0.01 | | |
| 1G | 0 | 15 | 16 | -12 | 0 | -9 | 0 | 1 | 0.00 | 0.00 | 0.01 | | |
| 1H | 0 | 15 | 16 | -12 | 0 | -9 | -0 | 1 | 0.00 | 0.00 | 0.01 | | |
| 1I | 0 | -38 | 16 | 4 | 0 | 3 | 0 | 1 | 0.00 | 0.00 | 0.00 | | |
| 1J | 0 | -38 | 16 | 4 | 0 | 3 | -0 | 1 | 0.00 | 0.00 | 0.00 | | |
| 1K | 0 | -38 | 16 | -4 | 0 | -3 | 0 | 1 | 0.00 | 0.00 | 0.00 | | |
| 1L | 0 | -38 | 16 | -4 | 0 | -3 | -0 | 1 | 0.00 | 0.00 | 0.00 | | |
| 1M | 0 | 38 | 16 | 4 | 0 | 3 | 0 | 1 | 0.00 | 0.00 | 0.00 | | |
| 1N | 0 | 38 | 16 | 4 | 0 | 3 | -0 | 1 | 0.00 | 0.00 | 0.00 | | |
| 1O | 0 | 38 | 16 | -4 | 0 | -3 | 0 | 1 | 0.00 | 0.00 | 0.00 | | |
| 1P | 0 | 38 | 16 | -4 | 0 | -3 | -0 | 1 | 0.00 | 0.00 | 0.00 | | |
| 2 | 0 | -0 | 21 | 0 | 0 | 0 | 0 | 1 | 0.00 | 0.00 | 0.00 | | |
| 1A | 20 | -15 | 13 | 12 | 0 | 7 | 3 | 1 | 0.00 | 0.00 | 0.01 | | |
| 1B | 20 | -15 | 13 | 12 | 0 | 7 | 3 | 1 | 0.00 | 0.00 | 0.01 | | |
| 1C | 20 | -15 | 13 | -12 | 0 | -7 | 3 | 1 | 0.00 | 0.00 | 0.01 | | |
| 1D | 20 | -15 | 13 | -12 | 0 | -7 | 3 | 1 | 0.00 | 0.00 | 0.01 | | |
| 1E | 20 | 15 | 13 | 12 | 0 | 7 | 3 | 1 | 0.00 | 0.00 | 0.01 | | |
| 1F | 20 | 15 | 13 | 12 | 0 | 7 | 3 | 1 | 0.00 | 0.00 | 0.01 | | |
| 1G | 20 | 15 | 13 | -12 | 0 | -7 | 3 | 1 | 0.00 | 0.00 | 0.01 | | |
| 1H | 20 | 15 | 13 | -12 | 0 | -7 | 3 | 1 | 0.00 | 0.00 | 0.01 | | |
| 1I | 20 | -38 | 13 | 4 | 0 | 2 | 3 | 1 | 0.00 | 0.00 | 0.00 | | |
| 1J | 20 | -38 | 13 | 4 | 0 | 2 | 3 | 1 | 0.00 | 0.00 | 0.00 | | |
| 1K | 20 | -38 | 13 | -4 | 0 | -2 | 3 | 1 | 0.00 | 0.00 | 0.00 | | |
| 1L | 20 | -38 | 13 | -4 | 0 | -2 | 3 | 1 | 0.00 | 0.00 | 0.00 | | |
| 1M | 20 | 38 | 13 | 4 | 0 | 2 | 3 | 1 | 0.00 | 0.00 | 0.00 | | |
| 1N | 20 | 38 | 13 | 4 | 0 | 2 | 3 | 1 | 0.00 | 0.00 | 0.00 | | |
| 1O | 20 | 38 | 13 | -4 | 0 | -2 | 3 | 1 | 0.00 | 0.00 | 0.00 | | |
| 1P | 20 | 38 | 13 | -4 | 0 | -2 | 3 | 1 | 0.00 | 0.00 | 0.00 | | |
| 2 | 20 | -0 | 17 | 0 | 0 | 0 | 4 | 1 | 0.00 | 0.00 | 0.00 | | |
| 1A | 41 | -15 | 10 | 12 | 0 | 4 | 5 | 1 | 0.00 | 0.00 | 0.01 | | |
| 1B | 41 | -15 | 10 | 12 | 0 | 4 | 5 | 1 | 0.00 | 0.00 | 0.01 | | |
| 1C | 41 | -15 | 10 | -12 | 0 | -4 | 5 | 1 | 0.00 | 0.00 | 0.01 | | |
| 1D | 41 | -15 | 10 | -12 | 0 | -4 | 5 | 1 | 0.00 | 0.00 | 0.01 | | |
| 1E | 41 | 15 | 10 | 12 | 0 | 4 | 5 | 1 | 0.00 | 0.00 | 0.01 | | |
| 1F | 41 | 15 | 10 | 12 | 0 | 4 | 5 | 1 | 0.00 | 0.00 | 0.01 | | |
| 1G | 41 | 15 | 10 | -12 | 0 | -4 | 5 | 1 | 0.00 | 0.00 | 0.01 | | |
| 1H | 41 | 15 | 10 | -12 | 0 | -4 | 5 | 1 | 0.00 | 0.00 | 0.01 | | |

| | | | | | | | | | | | | | | | |
|---|---|-----|-----|--------|---------------|--------|--------|------|-------------|--------|--------|---|------------------|--|--|
| BOSI E ASSOCIATI STUDIO DI INGEGNERIA Dott. Ing. Giovanni Bosi Dott. Ing. Donato Musci Dott. Ing. Davide Manenti Dott. Ing. Nazzareno Zingarelli | ISTITUTO ZOOPROFILATTICO SPERIMENTALE DELLA LOMBARDIA E DELL'EMILIA ROMAGNA “BRUNO UBERTINI” | | | | | | | | | | | 98-2023 | | | |
| | REALIZZAZIONE AMPLIAMENTO ISTITUTO ZOOPROFILATTICO | | | | | | | | | | | REALIZZAZIONE DI CALCOLO TETTOIA METALLICA | | | |
| | | | | | | | | | | | | | | | |
| | | | | | | | | | | | | | | | |
| | Pag. 24 di 41 | | | | | | | | | | | | | | |
| 1D 144 | -15 | -6 | -12 | 0 | 8 | 7 | 1 | 0.00 | 0.00 | 0.01 | | | | | |
| 1E 144 | 15 | -6 | 12 | 0 | -8 | 7 | 1 | 0.00 | 0.00 | 0.01 | | | | | |
| 1F 144 | 15 | -6 | 12 | 0 | -8 | 7 | 1 | 0.00 | 0.00 | 0.01 | | | | | |
| 1G 144 | 15 | -6 | -12 | 0 | 8 | 7 | 1 | 0.00 | 0.00 | 0.01 | | | | | |
| 1H 144 | 15 | -6 | -12 | 0 | 8 | 7 | 1 | 0.00 | 0.00 | 0.01 | | | | | |
| 1I 144 | -38 | -6 | 4 | 0 | -2 | 7 | 1 | 0.00 | 0.00 | 0.00 | | | | | |
| 1J 144 | -38 | -6 | 4 | 0 | -2 | 7 | 1 | 0.00 | 0.00 | 0.00 | | | | | |
| 1K 144 | -38 | -6 | -4 | 0 | 2 | 7 | 1 | 0.00 | 0.00 | 0.00 | | | | | |
| 1L 144 | -38 | -6 | -4 | 0 | 2 | 7 | 1 | 0.00 | 0.00 | 0.00 | | | | | |
| 1M 144 | 38 | -6 | 4 | 0 | -2 | 7 | 1 | 0.00 | 0.00 | 0.00 | | | | | |
| 1N 144 | 38 | -6 | 4 | 0 | -2 | 7 | 1 | 0.00 | 0.00 | 0.00 | | | | | |
| 1O 144 | 38 | -6 | -4 | 0 | 2 | 7 | 1 | 0.00 | 0.00 | 0.00 | | | | | |
| 1P 144 | 38 | -6 | -4 | 0 | 2 | 7 | 1 | 0.00 | 0.00 | 0.00 | | | | | |
| 2 144 | -0 | -8 | 0 | 0 | -0 | 9 | 1 | 0.00 | 0.00 | 0.00 | | | | | |
| 1A 164 | -15 | -10 | 12 | 0 | -11 | 5 | 1 | 0.00 | 0.00 | 0.02 | | | | | |
| 1B 164 | -15 | -10 | 12 | 0 | -11 | 5 | 1 | 0.00 | 0.00 | 0.02 | | | | | |
| 1C 164 | -15 | -10 | -12 | 0 | 10 | 5 | 1 | 0.00 | 0.00 | 0.02 | | | | | |
| 1D 164 | -15 | -10 | -12 | 0 | 10 | 5 | 1 | 0.00 | 0.00 | 0.02 | | | | | |
| 1E 164 | 15 | -10 | 12 | 0 | -11 | 5 | 1 | 0.00 | 0.00 | 0.02 | | | | | |
| 1F 164 | 15 | -10 | 12 | 0 | -11 | 5 | 1 | 0.00 | 0.00 | 0.02 | | | | | |
| 1G 164 | 15 | -10 | -12 | 0 | 10 | 5 | 1 | 0.00 | 0.00 | 0.02 | | | | | |
| 1H 164 | 15 | -10 | -12 | 0 | 10 | 5 | 1 | 0.00 | 0.00 | 0.02 | | | | | |
| 1I 164 | -38 | -10 | 4 | 0 | -3 | 5 | 1 | 0.00 | 0.00 | 0.00 | | | | | |
| 1J 164 | -38 | -10 | 4 | 0 | -3 | 5 | 1 | 0.00 | 0.00 | 0.00 | | | | | |
| 1K 164 | -38 | -10 | -4 | 0 | 3 | 5 | 1 | 0.00 | 0.00 | 0.00 | | | | | |
| 1L 164 | -38 | -10 | -4 | 0 | 3 | 5 | 1 | 0.00 | 0.00 | 0.00 | | | | | |
| 1M 164 | 38 | -10 | 4 | 0 | -3 | 5 | 1 | 0.00 | 0.00 | 0.00 | | | | | |
| 1N 164 | 38 | -10 | 4 | 0 | -3 | 5 | 1 | 0.00 | 0.00 | 0.00 | | | | | |
| 1O 164 | 38 | -10 | -4 | 0 | 3 | 5 | 1 | 0.00 | 0.00 | 0.00 | | | | | |
| 1P 164 | 38 | -10 | -4 | 0 | 3 | 5 | 1 | 0.00 | 0.00 | 0.00 | | | | | |
| 2 164 | -0 | -13 | 0 | 0 | -0 | 7 | 1 | 0.00 | 0.00 | 0.00 | | | | | |
| 1A 184 | -15 | -13 | 12 | 0 | -13 | 3 | 1 | 0.00 | 0.00 | 0.02 | | | | | |
| 1B 184 | -15 | -13 | 12 | 0 | -13 | 3 | 1 | 0.00 | 0.00 | 0.02 | | | | | |
| 1C 184 | -15 | -13 | -12 | 0 | 13 | 3 | 1 | 0.00 | 0.00 | 0.02 | | | | | |
| 1D 184 | -15 | -13 | -12 | 0 | 13 | 3 | 1 | 0.00 | 0.00 | 0.02 | | | | | |
| 1E 184 | 15 | -13 | 12 | 0 | -13 | 3 | 1 | 0.00 | 0.00 | 0.02 | | | | | |
| 1F 184 | 15 | -13 | 12 | 0 | -13 | 3 | 1 | 0.00 | 0.00 | 0.02 | | | | | |
| 1G 184 | 15 | -13 | -12 | 0 | 13 | 3 | 1 | 0.00 | 0.00 | 0.02 | | | | | |
| 1H 184 | 15 | -13 | -12 | 0 | 13 | 3 | 1 | 0.00 | 0.00 | 0.02 | | | | | |
| 1I 184 | -38 | -13 | 4 | 0 | -4 | 3 | 1 | 0.00 | 0.00 | 0.01 | | | | | |
| 1J 184 | -38 | -13 | 4 | 0 | -4 | 3 | 1 | 0.00 | 0.00 | 0.01 | | | | | |
| 1K 184 | -38 | -13 | -4 | 0 | 4 | 3 | 1 | 0.00 | 0.00 | 0.01 | | | | | |
| 1L 184 | -38 | -13 | -4 | 0 | 4 | 3 | 1 | 0.00 | 0.00 | 0.01 | | | | | |
| 1M 184 | 38 | -13 | 4 | 0 | -4 | 3 | 1 | 0.00 | 0.00 | 0.01 | | | | | |
| 1N 184 | 38 | -13 | 4 | 0 | -4 | 3 | 1 | 0.00 | 0.00 | 0.01 | | | | | |
| 1O 184 | 38 | -13 | -4 | 0 | 4 | 3 | 1 | 0.00 | 0.00 | 0.01 | | | | | |
| 1P 184 | 38 | -13 | -4 | 0 | 4 | 3 | 1 | 0.00 | 0.00 | 0.01 | | | | | |
| 2 184 | -0 | -17 | 0 | 0 | -0 | 4 | 1 | 0.00 | 0.00 | 0.00 | | | | | |
| 1A 205 | -15 | -16 | 12 | 0 | -15 | 0 | 1 | 0.00 | 0.00 | 0.02 | | | | | |
| 1B 205 | -15 | -16 | 12 | 0 | -15 | -0 | 1 | 0.00 | 0.00 | 0.02 | | | | | |
| 1C 205 | -15 | -16 | -12 | 0 | 15 | 0 | 1 | 0.00 | 0.00 | 0.02 | | | | | |
| 1D 205 | -15 | -16 | -12 | 0 | 15 | -0 | 1 | 0.00 | 0.00 | 0.02 | | | | | |
| 1E 205 | 15 | -16 | 12 | 0 | -15 | 0 | 1 | 0.00 | 0.00 | 0.02 | | | | | |
| 1F 205 | 15 | -16 | 12 | 0 | -15 | -0 | 1 | 0.00 | 0.00 | 0.02 | | | | | |
| 1G 205 | 15 | -16 | -12 | 0 | 15 | 0 | 1 | 0.00 | 0.00 | 0.02 | | | | | |
| 1H 205 | 15 | -16 | -12 | 0 | 15 | -0 | 1 | 0.00 | 0.00 | 0.02 | | | | | |
| 1I 205 | -38 | -16 | 4 | 0 | -5 | 0 | 1 | 0.00 | 0.00 | 0.01 | | | | | |
| 1J 205 | -38 | -16 | 4 | 0 | -5 | -0 | 1 | 0.00 | 0.00 | 0.01 | | | | | |
| 1K 205 | -38 | -16 | -4 | 0 | 5 | 0 | 1 | 0.00 | 0.00 | 0.01 | | | | | |
| 1L 205 | -38 | -16 | -4 | 0 | 5 | -0 | 1 | 0.00 | 0.00 | 0.01 | | | | | |
| 1M 205 | 38 | -16 | 4 | 0 | -5 | 0 | 1 | 0.00 | 0.00 | 0.01 | | | | | |
| 1N 205 | 38 | -16 | 4 | 0 | -5 | -0 | 1 | 0.00 | 0.00 | 0.01 | | | | | |
| 1O 205 | 38 | -16 | -4 | 0 | 5 | 0 | 1 | 0.00 | 0.00 | 0.01 | | | | | |
| 1P 205 | 38 | -16 | -4 | 0 | 5 | -0 | 1 | 0.00 | 0.00 | 0.01 | | | | | |
| 2 205 | -0 | -21 | 0 | 0 | -0 | 0 | 1 | 0.00 | 0.00 | 0.00 | | | | | |
| Verifica di STABILITA' e/o STABILITA' FLESSO TORSIONALE | | | | | | | | | | | | | | | |
| NC | Fx | My | Mz | Classe | $\chi_{min.}$ | ky | kz | kLT | χ_{LT} | I.S.n. | I.S.m. | I.S. | Nota | | |
| -- | -- | daN | --- | daN*m | | | | | | | | | | | |
| 1A | -15 | -15 | 8 | 1 | 0.4301 | 0.9994 | 1.0000 | -- | -- | 0.00 | -- | 0.03 | Snell. 'zx'= 111 | | |
| 1B | -15 | -15 | 8 | 1 | 0.4301 | 0.9994 | 1.0000 | -- | -- | 0.00 | -- | 0.03 | Snell. 'zx'= 111 | | |
| 1C | -15 | 15 | 8 | 1 | 0.4301 | 0.9994 | 1.0000 | -- | -- | 0.00 | -- | 0.03 | Snell. 'zx'= 111 | | |
| 1D | -15 | 15 | 8 | 1 | 0.4301 | 0.9994 | 1.0000 | -- | -- | 0.00 | -- | 0.03 | Snell. 'zx'= 111 | | |

| | | | | | | | | | | | | | | | |
|---|---|-------|-------|--------|-------|--------|--------|--------|--------|---------|-------|-------|---|------------------|--|
| BOSI E ASSOCIATI STUDIO DI INGEGNERIA Dott. Ing. Giovanni Bosi Dott. Ing. Donato Musci Dott. Ing. Davide Manenti Dott. Ing. Nazzareno Zingarelli | ISTITUTO ZOOPROFILATTICO SPERIMENTALE DELLA LOMBARDIA E DELL'EMILIA ROMAGNA "BRUNO UBERTINI" | | | | | | | | | | | | 98-2023 REALIZZAZIONE AMPLIAMENTO ISTITUTO ZOOPROFILATTICO | | |
| | | | | | | | | | | | | | | | |
| | | | | | | | | | | | | | | | |
| | | | | | | | | | | | | | | Pag. 25 di 41 | |
| | 1I | -38 | -5 | 8 | 1 | 0.4301 | 0.9986 | 1.0001 | -- | -- | 0.00 | -- | 0.01 | Snell. 'zx'= 111 | |
| | 1J | -38 | -5 | 8 | 1 | 0.4301 | 0.9986 | 1.0001 | -- | -- | 0.00 | -- | 0.01 | Snell. 'zx'= 111 | |
| | 1K | -38 | 5 | 8 | 1 | 0.4301 | 0.9986 | 1.0001 | -- | -- | 0.00 | -- | 0.01 | Snell. 'zx'= 111 | |
| | 1L | -38 | 5 | 8 | 1 | 0.4301 | 0.9986 | 1.0001 | -- | -- | 0.00 | -- | 0.01 | Snell. 'zx'= 111 | |
| | 2 | -0 | -0 | 11 | 1 | 0.4301 | 1.0000 | 1.0000 | -- | -- | 0.00 | -- | 0.00 | Snell. 'zx'= 111 | |
| ASTA NUM. 5 | | NI 5 | NF 9 | Lungh. | 205.0 | cm | SEZ. | 1 | Ps | IPE 160 | | | | | |
| categoria: p.p. y qy tot. qy medio: 0.1578 0.1578 daN/cm | | | | | | | | | | | | | | | |
| Sollecitazioni di calcolo e di verifica | | | | | | | | | | | | | | | |
| Indici <= 1 : VERIFICATO | | | | | | | | | | | | | | | |
| NC | x | Fx | Fy | Fz | Mx | My | Mz | Classe | I.V.T. | I.R.n. | I.R. | | | Nota | |
| -- | -- | -- | -- | -- | -- | -- | -- | -- | -- | -- | -- | | | | |
| cm | | daN | | | | daN*m | | | | | | | | | |
| ----- | ----- | ----- | ----- | ----- | ----- | ----- | ----- | ----- | ----- | ----- | ----- | ----- | ----- | ----- | |
| 1A | 0 | -16 | 16 | 12 | 0 | 15 | 0 | 1 | 0.00 | 0.00 | 0.02 | | | | |
| 1B | 0 | -16 | 16 | 12 | 0 | 15 | -0 | 1 | 0.00 | 0.00 | 0.02 | | | | |
| 1C | 0 | -16 | 16 | -12 | 0 | -15 | 0 | 1 | 0.00 | 0.00 | 0.02 | | | | |
| 1D | 0 | -16 | 16 | -12 | 0 | -15 | -0 | 1 | 0.00 | 0.00 | 0.02 | | | | |
| 1E | 0 | 16 | 16 | 12 | 0 | 15 | 0 | 1 | 0.00 | 0.00 | 0.02 | | | | |
| 1F | 0 | 16 | 16 | 12 | 0 | 15 | -0 | 1 | 0.00 | 0.00 | 0.02 | | | | |
| 1G | 0 | 16 | 16 | -12 | 0 | -15 | 0 | 1 | 0.00 | 0.00 | 0.02 | | | | |
| 1H | 0 | 16 | 16 | -12 | 0 | -15 | -0 | 1 | 0.00 | 0.00 | 0.02 | | | | |
| 1I | 0 | -38 | 16 | 4 | 0 | 5 | 0 | 1 | 0.00 | 0.00 | 0.01 | | | | |
| 1J | 0 | -38 | 16 | 4 | 0 | 5 | -0 | 1 | 0.00 | 0.00 | 0.01 | | | | |
| 1K | 0 | -38 | 16 | -4 | 0 | -5 | 0 | 1 | 0.00 | 0.00 | 0.01 | | | | |
| 1L | 0 | -38 | 16 | -4 | 0 | -5 | -0 | 1 | 0.00 | 0.00 | 0.01 | | | | |
| 1M | 0 | 38 | 16 | 4 | 0 | 5 | 0 | 1 | 0.00 | 0.00 | 0.01 | | | | |
| 1N | 0 | 38 | 16 | 4 | 0 | 5 | -0 | 1 | 0.00 | 0.00 | 0.01 | | | | |
| 1O | 0 | 38 | 16 | -4 | 0 | -5 | 0 | 1 | 0.00 | 0.00 | 0.01 | | | | |
| 1P | 0 | 38 | 16 | -4 | 0 | -5 | -0 | 1 | 0.00 | 0.00 | 0.01 | | | | |
| 2 | 0 | 0 | 21 | -0 | 0 | -0 | 0 | 1 | 0.00 | 0.00 | 0.00 | | | | |
| 1A | 20 | -16 | 13 | 12 | 0 | 13 | 3 | 1 | 0.00 | 0.00 | 0.02 | | | | |
| 1B | 20 | -16 | 13 | 12 | 0 | 13 | 3 | 1 | 0.00 | 0.00 | 0.02 | | | | |
| 1C | 20 | -16 | 13 | -12 | 0 | -13 | 3 | 1 | 0.00 | 0.00 | 0.02 | | | | |
| 1D | 20 | -16 | 13 | -12 | 0 | -13 | 3 | 1 | 0.00 | 0.00 | 0.02 | | | | |
| 1E | 20 | 16 | 13 | 12 | 0 | 13 | 3 | 1 | 0.00 | 0.00 | 0.02 | | | | |
| 1F | 20 | 16 | 13 | 12 | 0 | 13 | 3 | 1 | 0.00 | 0.00 | 0.02 | | | | |
| 1G | 20 | 16 | 13 | -12 | 0 | -13 | 3 | 1 | 0.00 | 0.00 | 0.02 | | | | |
| 1H | 20 | 16 | 13 | -12 | 0 | -13 | 3 | 1 | 0.00 | 0.00 | 0.02 | | | | |
| 1I | 20 | -38 | 13 | 4 | 0 | 4 | 3 | 1 | 0.00 | 0.00 | 0.01 | | | | |
| 1J | 20 | -38 | 13 | 4 | 0 | 4 | 3 | 1 | 0.00 | 0.00 | 0.01 | | | | |
| 1K | 20 | -38 | 13 | -4 | 0 | -4 | 3 | 1 | 0.00 | 0.00 | 0.01 | | | | |
| 1L | 20 | -38 | 13 | -4 | 0 | -4 | 3 | 1 | 0.00 | 0.00 | 0.01 | | | | |
| 1M | 20 | 38 | 13 | 4 | 0 | 4 | 3 | 1 | 0.00 | 0.00 | 0.01 | | | | |
| 1N | 20 | 38 | 13 | 4 | 0 | 4 | 3 | 1 | 0.00 | 0.00 | 0.01 | | | | |
| 1O | 20 | 38 | 13 | -4 | 0 | -4 | 3 | 1 | 0.00 | 0.00 | 0.01 | | | | |
| 1P | 20 | 38 | 13 | -4 | 0 | -4 | 3 | 1 | 0.00 | 0.00 | 0.01 | | | | |
| 2 | 20 | 0 | 17 | -0 | 0 | -0 | 4 | 1 | 0.00 | 0.00 | 0.00 | | | | |
| 1A | 41 | -16 | 10 | 12 | 0 | 10 | 5 | 1 | 0.00 | 0.00 | 0.02 | | | | |
| 1B | 41 | -16 | 10 | 12 | 0 | 10 | 5 | 1 | 0.00 | 0.00 | 0.02 | | | | |
| 1C | 41 | -16 | 10 | -12 | 0 | -10 | 5 | 1 | 0.00 | 0.00 | 0.02 | | | | |
| 1D | 41 | -16 | 10 | -12 | 0 | -10 | 5 | 1 | 0.00 | 0.00 | 0.02 | | | | |
| 1E | 41 | 16 | 10 | 12 | 0 | 10 | 5 | 1 | 0.00 | 0.00 | 0.02 | | | | |
| 1F | 41 | 16 | 10 | 12 | 0 | 10 | 5 | 1 | 0.00 | 0.00 | 0.02 | | | | |
| 1G | 41 | 16 | 10 | -12 | 0 | -10 | 5 | 1 | 0.00 | 0.00 | 0.02 | | | | |
| 1H | 41 | 16 | 10 | -12 | 0 | -10 | 5 | 1 | 0.00 | 0.00 | 0.02 | | | | |
| 1I | 41 | -38 | 10 | 4 | 0 | 3 | 5 | 1 | 0.00 | 0.00 | 0.00 | | | | |
| 1J | 41 | -38 | 10 | 4 | 0 | 3 | 5 | 1 | 0.00 | 0.00 | 0.00 | | | | |
| 1K | 41 | -38 | 10 | -4 | 0 | -3 | 5 | 1 | 0.00 | 0.00 | 0.00 | | | | |
| 1L | 41 | -38 | 10 | -4 | 0 | -3 | 5 | 1 | 0.00 | 0.00 | 0.00 | | | | |
| 1M | 41 | 38 | 10 | 4 | 0 | 3 | 5 | 1 | 0.00 | 0.00 | 0.00 | | | | |
| 1N | 41 | 38 | 10 | 4 | 0 | 3 | 5 | 1 | 0.00 | 0.00 | 0.00 | | | | |
| 1O | 41 | 38 | 10 | -4 | 0 | -3 | 5 | 1 | 0.00 | 0.00 | 0.00 | | | | |
| 1P | 41 | 38 | 10 | -4 | 0 | -3 | 5 | 1 | 0.00 | 0.00 | 0.00 | | | | |
| 2 | 41 | 0 | 13 | -0 | 0 | -0 | 7 | 1 | 0.00 | 0.00 | 0.00 | | | | |
| 1A | 62 | -16 | 6 | 12 | 0 | 8 | 7 | 1 | 0.00 | 0.00 | 0.01 | | | | |
| 1B | 62 | -16 | 6 | 12 | 0 | 8 | 7 | 1 | 0.00 | 0.00 | 0.01 | | | | |
| 1C | 62 | -16 | 6 | -12 | 0 | -8 | 7 | 1 | 0.00 | 0.00 | 0.01 | | | | |
| 1D | 62 | -16 | 6 | -12 | 0 | -8 | 7 | 1 | 0.00 | 0.00 | 0.01 | | | | |
| 1E | 62 | 16 | 6 | 12 | 0 | 8 | 7 | 1 | 0.00 | 0.00 | 0.01 | | | | |
| 1F | 62 | 16 | 6 | 12 | 0 | 8 | 7 | 1 | 0.00 | 0.00 | 0.01 | | | | |
| 1G | 62 | 16 | 6 | -12 | 0 | -8 | 7 | 1 | 0.00 | 0.00 | 0.01 | | | | |
| 1H | 62 | 16 | 6 | -12 | 0 | -8 | 7 | 1 | 0.00 | 0.00 | 0.01 | | | | |
| 1I | 62 | -38 | 6 | 4 | 0 | 2 | 7 | 1 | 0.00 | 0.00 | 0.00 | | | | |
| 1J | 62 | -38 | 6 | 4 | 0 | 2 | 7 | 1 | 0.00 | 0.00 | 0.00 | | | | |
| 1K | 62 | -38 | 6 | -4 | 0 | -2 | 7 | 1 | 0.00 | 0.00 | 0.00 | | | | |
| 1L | 62 | -38 | 6 | -4 | 0 | -2 | 7 | 1 | 0.00 | 0.00 | 0.00 | | | | |

| | | | | | | | | | | | | | | | |
|---|---|------|-------|--------|---------------|--------|--------|--------|-------------|--------|--------|---|------------------|--|--|
| BOSI E ASSOCIATI STUDIO DI INGEGNERIA Dott. Ing. Giovanni Bosi Dott. Ing. Donato Musci Dott. Ing. Davide Manenti Dott. Ing. Nazzareno Zingarelli | ISTITUTO ZOOPROFILATTICO SPERIMENTALE DELLA LOMBARDIA E DELL'EMILIA ROMAGNA “BRUNO UBERTINI” | | | | | | | | | | | 98-2023 | | | |
| | REALIZZAZIONE AMPLIAMENTO ISTITUTO ZOOPROFILATTICO | | | | | | | | | | | REALIZZAZIONE DI CALCOLO TETTOIA METALLICA | | | |
| | | | | | | | | | | | | | | | |
| | | | | | | | | | | | | | | | |
| | Pag. 27 di 41 | | | | | | | | | | | | | | |
| 1H 164 | 16 | -10 | -12 | 0 | 4 | 5 | 1 | 0.00 | 0.00 | 0.01 | | | | | |
| 1I 164 | -38 | -10 | 4 | 0 | -1 | 5 | 1 | 0.00 | 0.00 | 0.00 | | | | | |
| 1J 164 | -38 | -10 | 4 | 0 | -1 | 5 | 1 | 0.00 | 0.00 | 0.00 | | | | | |
| 1K 164 | -38 | -10 | -4 | 0 | 1 | 5 | 1 | 0.00 | 0.00 | 0.00 | | | | | |
| 1L 164 | -38 | -10 | -4 | 0 | 1 | 5 | 1 | 0.00 | 0.00 | 0.00 | | | | | |
| 1M 164 | 38 | -10 | 4 | 0 | -1 | 5 | 1 | 0.00 | 0.00 | 0.00 | | | | | |
| 1N 164 | 38 | -10 | 4 | 0 | -1 | 5 | 1 | 0.00 | 0.00 | 0.00 | | | | | |
| 1O 164 | 38 | -10 | -4 | 0 | 1 | 5 | 1 | 0.00 | 0.00 | 0.00 | | | | | |
| 1P 164 | 38 | -10 | -4 | 0 | 1 | 5 | 1 | 0.00 | 0.00 | 0.00 | | | | | |
| 2 164 | 0 | -13 | -0 | 0 | 0 | 7 | 1 | 0.00 | 0.00 | 0.00 | | | | | |
| 1A 184 | -16 | -13 | 12 | 0 | -7 | 3 | 1 | 0.00 | 0.00 | 0.01 | | | | | |
| 1B 184 | -16 | -13 | 12 | 0 | -7 | 3 | 1 | 0.00 | 0.00 | 0.01 | | | | | |
| 1C 184 | -16 | -13 | -12 | 0 | 7 | 3 | 1 | 0.00 | 0.00 | 0.01 | | | | | |
| 1D 184 | -16 | -13 | -12 | 0 | 7 | 3 | 1 | 0.00 | 0.00 | 0.01 | | | | | |
| 1E 184 | 16 | -13 | 12 | 0 | -7 | 3 | 1 | 0.00 | 0.00 | 0.01 | | | | | |
| 1F 184 | 16 | -13 | 12 | 0 | -7 | 3 | 1 | 0.00 | 0.00 | 0.01 | | | | | |
| 1G 184 | 16 | -13 | -12 | 0 | 7 | 3 | 1 | 0.00 | 0.00 | 0.01 | | | | | |
| 1H 184 | 16 | -13 | -12 | 0 | 7 | 3 | 1 | 0.00 | 0.00 | 0.01 | | | | | |
| 1I 184 | -38 | -13 | 4 | 0 | -2 | 3 | 1 | 0.00 | 0.00 | 0.00 | | | | | |
| 1J 184 | -38 | -13 | 4 | 0 | -2 | 3 | 1 | 0.00 | 0.00 | 0.00 | | | | | |
| 1K 184 | -38 | -13 | -4 | 0 | 2 | 3 | 1 | 0.00 | 0.00 | 0.00 | | | | | |
| 1L 184 | -38 | -13 | -4 | 0 | 2 | 3 | 1 | 0.00 | 0.00 | 0.00 | | | | | |
| 1M 184 | 38 | -13 | 4 | 0 | -2 | 3 | 1 | 0.00 | 0.00 | 0.00 | | | | | |
| 1N 184 | 38 | -13 | 4 | 0 | -2 | 3 | 1 | 0.00 | 0.00 | 0.00 | | | | | |
| 1O 184 | 38 | -13 | -4 | 0 | 2 | 3 | 1 | 0.00 | 0.00 | 0.00 | | | | | |
| 1P 184 | 38 | -13 | -4 | 0 | 2 | 3 | 1 | 0.00 | 0.00 | 0.00 | | | | | |
| 2 184 | 0 | -17 | -0 | 0 | 0 | 4 | 1 | 0.00 | 0.00 | 0.00 | | | | | |
| 1A 205 | -16 | -16 | 12 | 0 | -9 | 0 | 1 | 0.00 | 0.00 | 0.01 | | | | | |
| 1B 205 | -16 | -16 | 12 | 0 | -9 | -0 | 1 | 0.00 | 0.00 | 0.01 | | | | | |
| 1C 205 | -16 | -16 | -12 | 0 | 9 | 0 | 1 | 0.00 | 0.00 | 0.01 | | | | | |
| 1D 205 | -16 | -16 | -12 | 0 | 9 | -0 | 1 | 0.00 | 0.00 | 0.01 | | | | | |
| 1E 205 | 16 | -16 | 12 | 0 | -9 | 0 | 1 | 0.00 | 0.00 | 0.01 | | | | | |
| 1F 205 | 16 | -16 | 12 | 0 | -9 | -0 | 1 | 0.00 | 0.00 | 0.01 | | | | | |
| 1G 205 | 16 | -16 | -12 | 0 | 9 | 0 | 1 | 0.00 | 0.00 | 0.01 | | | | | |
| 1H 205 | 16 | -16 | -12 | 0 | 9 | -0 | 1 | 0.00 | 0.00 | 0.01 | | | | | |
| 1I 205 | -38 | -16 | 4 | 0 | -3 | 0 | 1 | 0.00 | 0.00 | 0.00 | | | | | |
| 1J 205 | -38 | -16 | 4 | 0 | -3 | -0 | 1 | 0.00 | 0.00 | 0.00 | | | | | |
| 1K 205 | -38 | -16 | -4 | 0 | 3 | 0 | 1 | 0.00 | 0.00 | 0.00 | | | | | |
| 1L 205 | -38 | -16 | -4 | 0 | 3 | -0 | 1 | 0.00 | 0.00 | 0.00 | | | | | |
| 1M 205 | 38 | -16 | 4 | 0 | -3 | 0 | 1 | 0.00 | 0.00 | 0.00 | | | | | |
| 1N 205 | 38 | -16 | 4 | 0 | -3 | -0 | 1 | 0.00 | 0.00 | 0.00 | | | | | |
| 1O 205 | 38 | -16 | -4 | 0 | 3 | 0 | 1 | 0.00 | 0.00 | 0.00 | | | | | |
| 1P 205 | 38 | -16 | -4 | 0 | 3 | -0 | 1 | 0.00 | 0.00 | 0.00 | | | | | |
| 2 205 | 0 | -21 | -0 | 0 | 0 | 0 | 1 | 0.00 | 0.00 | 0.00 | | | | | |
| Verifica di STABILITA' e/o STABILITA' FLESSO TORSIONALE | | | | | | | | | | | | | | | |
| NC | Fx | My | Mz | Classe | $\chi_{min.}$ | ky | kz | kLT | χ_{LT} | I.S.n. | I.S.m. | I.S. | Nota | | |
| -- | -- | ---- | ----- | | | | | | | | | | | | |
| | | | | | daN | | | | | | | | | | |
| 1A | -16 | 15 | 8 | 1 | 0.4301 | 0.9994 | 1.0000 | -- | -- | 0.00 | -- | 0.03 | Snell. 'zx'= 111 | | |
| 1B | -16 | 15 | 8 | 1 | 0.4301 | 0.9994 | 1.0000 | -- | -- | 0.00 | -- | 0.03 | Snell. 'zx'= 111 | | |
| 1C | -16 | -15 | 8 | 1 | 0.4301 | 0.9994 | 1.0000 | -- | -- | 0.00 | -- | 0.03 | Snell. 'zx'= 111 | | |
| 1D | -16 | -15 | 8 | 1 | 0.4301 | 0.9994 | 1.0000 | -- | -- | 0.00 | -- | 0.03 | Snell. 'zx'= 111 | | |
| 1I | -38 | 5 | 8 | 1 | 0.4301 | 0.9986 | 1.0001 | -- | -- | 0.00 | -- | 0.01 | Snell. 'zx'= 111 | | |
| 1J | -38 | 5 | 8 | 1 | 0.4301 | 0.9986 | 1.0001 | -- | -- | 0.00 | -- | 0.01 | Snell. 'zx'= 111 | | |
| 1K | -38 | -5 | 8 | 1 | 0.4301 | 0.9986 | 1.0001 | -- | -- | 0.00 | -- | 0.01 | Snell. 'zx'= 111 | | |
| 1L | -38 | -5 | 8 | 1 | 0.4301 | 0.9986 | 1.0001 | -- | -- | 0.00 | -- | 0.01 | Snell. 'zx'= 111 | | |
| ASTA NUM. 6 NI 3 NF 6 Lungh. 205.0 cm SEZ. 1 Ps IPE 160 | | | | | | | | | | | | | | | |
| categoria: p.p. y qy tot. qy medio: 0.1578 0.1578 daN/cm Sollecitazioni di calcolo e di verifica | | | | | | | | | | | | | | | |
| Indici <= 1 : VERIFICATO | | | | | | | | | | | | | | | |
| NC | x | Fx | Fy | Fz | Mx | My | Mz | Classe | I.V.T. | I.R.n. | I.R. | | Nota | | |
| -- | -- | ---- | ----- | --- | ----- | ----- | ----- | | | | | | | | |
| | | | | | | | | | | | | | | | |
| 1A | 0 | -15 | 16 | 12 | 0 | 9 | 0 | 1 | 0.00 | 0.00 | 0.01 | | | | |
| 1B | 0 | -15 | 16 | 12 | 0 | 9 | -0 | 1 | 0.00 | 0.00 | 0.01 | | | | |
| 1C | 0 | -15 | 16 | -12 | 0 | -9 | 0 | 1 | 0.00 | 0.00 | 0.01 | | | | |
| 1D | 0 | -15 | 16 | -12 | 0 | -9 | -0 | 1 | 0.00 | 0.00 | 0.01 | | | | |

| | | | | | | | | | | | | | | | | |
|---|---|--|--|---------------------------------------|---------------------------------------|---|---|---------------------------------------|---------------------------------------|---|---|--------------------------------------|--------------------------------------|--|--|--------------------------------------|
| BOSI E ASSOCIATI STUDIO DI INGEGNERIA Dott. Ing. Giovanni Bosi Dott. Ing. Donato Musci Dott. Ing. Davide Manenti Dott. Ing. Nazzareno Zingarelli | ISTITUTO ZOOPROFILATTICO SPERIMENTALE DELLA LOMBARDIA E DELL'EMILIA ROMAGNA “BRUNO UBERTINI” | | | | | | | | | | 98-2023 REALIZZAZIONE AMPLIAMENTO ISTITUTO ZOOPROFILATTICO | | | | | |
| | | | | | | | | | | | | | | | | |
| | | | | | | | | | | | | | | | | |
| | | | | | | | | | | | | | | | | |
| | | | | | | | | | | | | Pag. 28 di 41 | | | | |
| 1E 0 15 16 12 0 9 0 1 0.00 0.00 0.01 | 1F 0 15 16 12 0 9 -0 1 0.00 0.00 0.01 | 1G 0 15 16 -12 0 -9 0 1 0.00 0.00 0.01 | 1H 0 15 16 -12 0 -9 -0 1 0.00 0.00 0.01 | 1I 0 -38 16 4 0 3 0 1 0.00 0.00 0.00 | 1J 0 -38 16 4 0 3 -0 1 0.00 0.00 0.00 | 1K 0 -38 16 -4 0 -3 0 1 0.00 0.00 0.00 | 1L 0 -38 16 -4 0 -3 -0 1 0.00 0.00 0.00 | 1M 0 38 16 4 0 3 0 1 0.00 0.00 0.00 | 1N 0 38 16 4 0 3 -0 1 0.00 0.00 0.00 | 1O 0 38 16 -4 0 -3 0 1 0.00 0.00 0.00 | 1P 0 38 16 -4 0 -3 -0 1 0.00 0.00 0.00 | 2 0 0 21 -0 0 -0 0 1 0.00 0.00 0.00 | | | | |
| 1A 20 -15 13 12 0 7 3 1 0.00 0.00 0.01 | 1B 20 -15 13 12 0 7 3 1 0.00 0.00 0.01 | 1C 20 -15 13 -12 0 -7 3 1 0.00 0.00 0.01 | 1D 20 -15 13 -12 0 -7 3 1 0.00 0.00 0.01 | 1E 20 15 13 12 0 7 3 1 0.00 0.00 0.01 | 1F 20 15 13 12 0 7 3 1 0.00 0.00 0.01 | 1G 20 15 13 -12 0 -7 3 1 0.00 0.00 0.01 | 1H 20 15 13 -12 0 -7 3 1 0.00 0.00 0.01 | 1I 20 -38 13 4 0 2 3 1 0.00 0.00 0.00 | 1J 20 -38 13 4 0 2 3 1 0.00 0.00 0.00 | 1K 20 -38 13 -4 0 -2 3 1 0.00 0.00 0.00 | 1L 20 -38 13 -4 0 -2 3 1 0.00 0.00 0.00 | 1M 20 38 13 4 0 2 3 1 0.00 0.00 0.00 | 1N 20 38 13 4 0 2 3 1 0.00 0.00 0.00 | 1O 20 38 13 -4 0 -2 3 1 0.00 0.00 0.00 | 1P 20 38 13 -4 0 -2 3 1 0.00 0.00 0.00 | 2 20 0 17 -0 0 -0 4 1 0.00 0.00 0.00 |
| 1A 41 -15 10 12 0 4 5 1 0.00 0.00 0.01 | 1B 41 -15 10 12 0 4 5 1 0.00 0.00 0.01 | 1C 41 -15 10 -12 0 -4 5 1 0.00 0.00 0.01 | 1D 41 -15 10 -12 0 -4 5 1 0.00 0.00 0.01 | 1E 41 15 10 12 0 4 5 1 0.00 0.00 0.01 | 1F 41 15 10 12 0 4 5 1 0.00 0.00 0.01 | 1G 41 15 10 -12 0 -4 5 1 0.00 0.00 0.01 | 1H 41 15 10 -12 0 -4 5 1 0.00 0.00 0.01 | 1I 41 -38 10 4 0 1 5 1 0.00 0.00 0.00 | 1J 41 -38 10 4 0 1 5 1 0.00 0.00 0.00 | 1K 41 -38 10 -4 0 -1 5 1 0.00 0.00 0.00 | 1L 41 -38 10 -4 0 -1 5 1 0.00 0.00 0.00 | 1M 41 38 10 4 0 1 5 1 0.00 0.00 0.00 | 1N 41 38 10 4 0 1 5 1 0.00 0.00 0.00 | 1O 41 38 10 -4 0 -1 5 1 0.00 0.00 0.00 | 1P 41 38 10 -4 0 -1 5 1 0.00 0.00 0.00 | 2 41 0 13 -0 0 -0 7 1 0.00 0.00 0.00 |
| 1A 62 -15 6 12 0 2 7 1 0.00 0.00 0.00 | 1B 62 -15 6 12 0 2 7 1 0.00 0.00 0.00 | 1C 62 -15 6 -12 0 -2 7 1 0.00 0.00 0.00 | 1D 62 -15 6 -12 0 -2 7 1 0.00 0.00 0.00 | 1E 62 15 6 12 0 2 7 1 0.00 0.00 0.00 | 1F 62 15 6 12 0 2 7 1 0.00 0.00 0.00 | 1G 62 15 6 -12 0 -2 7 1 0.00 0.00 0.00 | 1H 62 15 6 -12 0 -2 7 1 0.00 0.00 0.00 | 1I 62 -38 6 4 0 1 7 1 0.00 0.00 0.00 | 1J 62 -38 6 4 0 1 7 1 0.00 0.00 0.00 | 1K 62 -38 6 -4 0 -1 7 1 0.00 0.00 0.00 | 1L 62 -38 6 -4 0 -1 7 1 0.00 0.00 0.00 | 1M 62 38 6 4 0 1 7 1 0.00 0.00 0.00 | 1N 62 38 6 4 0 1 7 1 0.00 0.00 0.00 | 1O 62 38 6 -4 0 -1 7 1 0.00 0.00 0.00 | 1P 62 38 6 -4 0 -1 7 1 0.00 0.00 0.00 | 2 62 0 8 -0 0 0 9 1 0.00 0.00 0.00 |
| 1A 82 -15 3 12 0 -1 8 1 0.00 0.00 0.00 | 1B 82 -15 3 12 0 -1 8 1 0.00 0.00 0.00 | 1C 82 -15 3 -12 0 1 8 1 0.00 0.00 0.00 | 1D 82 -15 3 -12 0 1 8 1 0.00 0.00 0.00 | 1E 82 15 3 12 0 -1 8 1 0.00 0.00 0.00 | 1F 82 15 3 12 0 -1 8 1 0.00 0.00 0.00 | 1G 82 15 3 -12 0 1 8 1 0.00 0.00 0.00 | 1H 82 15 3 -12 0 1 8 1 0.00 0.00 0.00 | 1I 82 -38 3 4 0 -0 8 1 0.00 0.00 0.00 | 1J 82 -38 3 4 0 -0 8 1 0.00 0.00 0.00 | 1K 82 -38 3 -4 0 0 8 1 0.00 0.00 0.00 | 1L 82 -38 3 -4 0 0 8 1 0.00 0.00 0.00 | 1M 82 38 3 4 0 -0 8 1 0.00 0.00 0.00 | 1N 82 38 3 4 0 -0 8 1 0.00 0.00 0.00 | 1O 82 38 3 -4 0 0 8 1 0.00 0.00 0.00 | 1P 82 38 3 -4 0 0 8 1 0.00 0.00 0.00 | 2 82 0 4 -0 0 0 10 1 0.00 0.00 0.00 |

| | | | | | | | | | | | | | |
|---|---|-----|-----|---|-----|----|---|------|------|------|--|---------------|--|
| BOSI E ASSOCIATI STUDIO DI INGEGNERIA Dott. Ing. Giovanni Bosi Dott. Ing. Donato Musci Dott. Ing. Davide Manenti Dott. Ing. Nazzareno Zingarelli | ISTITUTO ZOOPROFILATTICO SPERIMENTALE DELLA LOMBARDIA E DELL'EMILIA ROMAGNA “BRUNO UBERTINI” | | | | | | | | | | 98-2023 REALIZZAZIONE AMPLIAMENTO ISTITUTO ZOOPROFILATTICO RELAZIONE DI CALCOLO TETTOIA METALLICA | | |
| | | | | | | | | | | | | | |
| | | | | | | | | | | | | | |
| | | | | | | | | | | | | | |
| | | | | | | | | | | | | Pag. 29 di 41 | |
| 1A 102 | -15 | -0 | 12 | 0 | -3 | 8 | 1 | 0.00 | 0.00 | 0.00 | | | |
| 1B 102 | -15 | 0 | 12 | 0 | -3 | 8 | 1 | 0.00 | 0.00 | 0.00 | | | |
| 1C 102 | -15 | -0 | -12 | 0 | 3 | 8 | 1 | 0.00 | 0.00 | 0.00 | | | |
| 1D 102 | -15 | 0 | -12 | 0 | 3 | 8 | 1 | 0.00 | 0.00 | 0.00 | | | |
| 1E 102 | 15 | -0 | 12 | 0 | -3 | 8 | 1 | 0.00 | 0.00 | 0.00 | | | |
| 1F 102 | 15 | 0 | 12 | 0 | -3 | 8 | 1 | 0.00 | 0.00 | 0.00 | | | |
| 1G 102 | 15 | -0 | -12 | 0 | 3 | 8 | 1 | 0.00 | 0.00 | 0.00 | | | |
| 1H 102 | 15 | 0 | -12 | 0 | 3 | 8 | 1 | 0.00 | 0.00 | 0.00 | | | |
| 1I 102 | -38 | -0 | 4 | 0 | -1 | 8 | 1 | 0.00 | 0.00 | 0.00 | | | |
| 1J 102 | -38 | 0 | 4 | 0 | -1 | 8 | 1 | 0.00 | 0.00 | 0.00 | | | |
| 1K 102 | -38 | -0 | -4 | 0 | 1 | 8 | 1 | 0.00 | 0.00 | 0.00 | | | |
| 1L 102 | -38 | 0 | -4 | 0 | 1 | 8 | 1 | 0.00 | 0.00 | 0.00 | | | |
| 1M 102 | 38 | -0 | 4 | 0 | -1 | 8 | 1 | 0.00 | 0.00 | 0.00 | | | |
| 1N 102 | 38 | 0 | 4 | 0 | -1 | 8 | 1 | 0.00 | 0.00 | 0.00 | | | |
| 1O 102 | 38 | -0 | -4 | 0 | 1 | 8 | 1 | 0.00 | 0.00 | 0.00 | | | |
| 1P 102 | 38 | 0 | -4 | 0 | 1 | 8 | 1 | 0.00 | 0.00 | 0.00 | | | |
| 2 102 | 0 | 0 | -0 | 0 | 0 | 11 | 1 | 0.00 | 0.00 | 0.00 | | | |
| 1A 123 | -15 | -3 | 12 | 0 | -6 | 8 | 1 | 0.00 | 0.00 | 0.01 | | | |
| 1B 123 | -15 | -3 | 12 | 0 | -6 | 8 | 1 | 0.00 | 0.00 | 0.01 | | | |
| 1C 123 | -15 | -3 | -12 | 0 | 6 | 8 | 1 | 0.00 | 0.00 | 0.01 | | | |
| 1D 123 | -15 | -3 | -12 | 0 | 6 | 8 | 1 | 0.00 | 0.00 | 0.01 | | | |
| 1E 123 | 15 | -3 | 12 | 0 | -6 | 8 | 1 | 0.00 | 0.00 | 0.01 | | | |
| 1F 123 | 15 | -3 | 12 | 0 | -6 | 8 | 1 | 0.00 | 0.00 | 0.01 | | | |
| 1G 123 | 15 | -3 | -12 | 0 | 6 | 8 | 1 | 0.00 | 0.00 | 0.01 | | | |
| 1H 123 | 15 | -3 | -12 | 0 | 6 | 8 | 1 | 0.00 | 0.00 | 0.01 | | | |
| 1I 123 | -38 | -3 | 4 | 0 | -2 | 8 | 1 | 0.00 | 0.00 | 0.00 | | | |
| 1J 123 | -38 | -3 | 4 | 0 | -2 | 8 | 1 | 0.00 | 0.00 | 0.00 | | | |
| 1K 123 | -38 | -3 | -4 | 0 | 2 | 8 | 1 | 0.00 | 0.00 | 0.00 | | | |
| 1L 123 | -38 | -3 | -4 | 0 | 2 | 8 | 1 | 0.00 | 0.00 | 0.00 | | | |
| 1M 123 | 38 | -3 | 4 | 0 | -2 | 8 | 1 | 0.00 | 0.00 | 0.00 | | | |
| 1N 123 | 38 | -3 | 4 | 0 | -2 | 8 | 1 | 0.00 | 0.00 | 0.00 | | | |
| 1O 123 | 38 | -3 | -4 | 0 | 2 | 8 | 1 | 0.00 | 0.00 | 0.00 | | | |
| 1P 123 | 38 | -3 | -4 | 0 | 2 | 8 | 1 | 0.00 | 0.00 | 0.00 | | | |
| 2 123 | 0 | -4 | -0 | 0 | 0 | 10 | 1 | 0.00 | 0.00 | 0.00 | | | |
| 1A 144 | -15 | -6 | 12 | 0 | -8 | 7 | 1 | 0.00 | 0.00 | 0.01 | | | |
| 1B 144 | -15 | -6 | 12 | 0 | -8 | 7 | 1 | 0.00 | 0.00 | 0.01 | | | |
| 1C 144 | -15 | -6 | -12 | 0 | 8 | 7 | 1 | 0.00 | 0.00 | 0.01 | | | |
| 1D 144 | -15 | -6 | -12 | 0 | 8 | 7 | 1 | 0.00 | 0.00 | 0.01 | | | |
| 1E 144 | 15 | -6 | 12 | 0 | -8 | 7 | 1 | 0.00 | 0.00 | 0.01 | | | |
| 1F 144 | 15 | -6 | 12 | 0 | -8 | 7 | 1 | 0.00 | 0.00 | 0.01 | | | |
| 1G 144 | 15 | -6 | -12 | 0 | 8 | 7 | 1 | 0.00 | 0.00 | 0.01 | | | |
| 1H 144 | 15 | -6 | -12 | 0 | 8 | 7 | 1 | 0.00 | 0.00 | 0.01 | | | |
| 1I 144 | -38 | -6 | 4 | 0 | -2 | 7 | 1 | 0.00 | 0.00 | 0.00 | | | |
| 1J 144 | -38 | -6 | 4 | 0 | -2 | 7 | 1 | 0.00 | 0.00 | 0.00 | | | |
| 1K 144 | -38 | -6 | -4 | 0 | 2 | 7 | 1 | 0.00 | 0.00 | 0.00 | | | |
| 1L 144 | -38 | -6 | -4 | 0 | 2 | 7 | 1 | 0.00 | 0.00 | 0.00 | | | |
| 1M 144 | 38 | -6 | 4 | 0 | -2 | 7 | 1 | 0.00 | 0.00 | 0.00 | | | |
| 1N 144 | 38 | -6 | 4 | 0 | -2 | 7 | 1 | 0.00 | 0.00 | 0.00 | | | |
| 1O 144 | 38 | -6 | -4 | 0 | 2 | 7 | 1 | 0.00 | 0.00 | 0.00 | | | |
| 1P 144 | 38 | -6 | -4 | 0 | 2 | 7 | 1 | 0.00 | 0.00 | 0.00 | | | |
| 2 144 | 0 | -8 | -0 | 0 | 0 | 9 | 1 | 0.00 | 0.00 | 0.00 | | | |
| 1A 164 | -15 | -10 | 12 | 0 | -10 | 5 | 1 | 0.00 | 0.00 | 0.02 | | | |
| 1B 164 | -15 | -10 | 12 | 0 | -10 | 5 | 1 | 0.00 | 0.00 | 0.02 | | | |
| 1C 164 | -15 | -10 | -12 | 0 | 11 | 5 | 1 | 0.00 | 0.00 | 0.02 | | | |
| 1D 164 | -15 | -10 | -12 | 0 | 11 | 5 | 1 | 0.00 | 0.00 | 0.02 | | | |
| 1E 164 | 15 | -10 | 12 | 0 | -10 | 5 | 1 | 0.00 | 0.00 | 0.02 | | | |
| 1F 164 | 15 | -10 | 12 | 0 | -10 | 5 | 1 | 0.00 | 0.00 | 0.02 | | | |
| 1G 164 | 15 | -10 | -12 | 0 | 11 | 5 | 1 | 0.00 | 0.00 | 0.02 | | | |
| 1H 164 | 15 | -10 | -12 | 0 | 11 | 5 | 1 | 0.00 | 0.00 | 0.02 | | | |
| 1I 164 | -38 | -10 | 4 | 0 | -3 | 5 | 1 | 0.00 | 0.00 | 0.00 | | | |
| 1J 164 | -38 | -10 | 4 | 0 | -3 | 5 | 1 | 0.00 | 0.00 | 0.00 | | | |
| 1K 164 | -38 | -10 | -4 | 0 | 3 | 5 | 1 | 0.00 | 0.00 | 0.00 | | | |
| 1L 164 | -38 | -10 | -4 | 0 | 3 | 5 | 1 | 0.00 | 0.00 | 0.00 | | | |
| 1M 164 | 38 | -10 | 4 | 0 | -3 | 5 | 1 | 0.00 | 0.00 | 0.00 | | | |
| 1N 164 | 38 | -10 | 4 | 0 | -3 | 5 | 1 | 0.00 | 0.00 | 0.00 | | | |
| 1O 164 | 38 | -10 | -4 | 0 | 3 | 5 | 1 | 0.00 | 0.00 | 0.00 | | | |
| 1P 164 | 38 | -10 | -4 | 0 | 3 | 5 | 1 | 0.00 | 0.00 | 0.00 | | | |
| 2 164 | 0 | -13 | -0 | 0 | 0 | 7 | 1 | 0.00 | 0.00 | 0.00 | | | |
| 1A 184 | -15 | -13 | 12 | 0 | -13 | 3 | 1 | 0.00 | 0.00 | 0.02 | | | |
| 1B 184 | -15 | -13 | 12 | 0 | -13 | 3 | 1 | 0.00 | 0.00 | 0.02 | | | |
| 1C 184 | -15 | -13 | -12 | 0 | 13 | 3 | 1 | 0.00 | 0.00 | 0.02 | | | |
| 1D 184 | -15 | -13 | -12 | 0 | 13 | 3 | 1 | 0.00 | 0.00 | 0.02 | | | |
| 1E 184 | 15 | -13 | 12 | 0 | -13 | 3 | 1 | 0.00 | 0.00 | 0.02 | | | |
| 1F 184 | 15 | -13 | 12 | 0 | -13 | 3 | 1 | 0.00 | 0.00 | 0.02 | | | |
| 1G 184 | 15 | -13 | -12 | 0 | 13 | 3 | 1 | 0.00 | 0.00 | 0.02 | | | |
| 1H 184 | 15 | -13 | -12 | 0 | 13 | 3 | 1 | 0.00 | 0.00 | 0.02 | | | |
| 1I 184 | -38 | -13 | 4 | 0 | -4 | 3 | 1 | 0.00 | 0.00 | 0.01 | | | |
| 1J 184 | -38 | -13 | 4 | 0 | -4 | 3 | 1 | 0.00 | 0.00 | 0.01 | | | |
| 1K 184 | -38 | -13 | -4 | 0 | 4 | 3 | 1 | 0.00 | 0.00 | 0.01 | | | |
| 1L 184 | -38 | -13 | -4 | 0 | 4 | 3 | 1 | 0.00 | 0.00 | 0.01 | | | |

| | | | | | | | | | | | | | | | | |
|---|---|--|--|--|--|---|---|--|---|--|---|---|--|---|--|-------------------------------------|
| BOSI E ASSOCIATI STUDIO DI INGEGNERIA Dott. Ing. Giovanni Bosi Dott. Ing. Donato Musci Dott. Ing. Davide Manenti Dott. Ing. Nazzareno Zingarelli | ISTITUTO ZOOPROFILATTICO SPERIMENTALE DELLA LOMBARDIA E DELL'EMILIA ROMAGNA “BRUNO UBERTINI” | | | | | | | | | | | 98-2023 | | | | |
| | REALIZZAZIONE AMPLIAMENTO ISTITUTO ZOOPROFILATTICO | | | | | | | | | | | REALIZZAZIONE DI CALCOLO TETTOIA METALLICA | | | | |
| | | | | | | | | | | | | | | | | |
| | | | | | | | | | | | | | | | | |
| | Pag. 30 di 41 | | | | | | | | | | | | | | | |
| 1M 184 38 -13 4 0 -4 3 1 0.00 0.00 0.01 | 1N 184 38 -13 4 0 -4 3 1 0.00 0.00 0.01 | 1O 184 38 -13 -4 0 4 3 1 0.00 0.00 0.01 | 1P 184 38 -13 -4 0 4 3 1 0.00 0.00 0.01 | 2 184 0 -17 -0 0 0 4 1 0.00 0.00 0.00 | | | | | | | | | | | | |
| 1A 205 -15 -16 12 0 -15 0 1 0.00 0.00 0.02 | 1B 205 -15 -16 12 0 -15 -0 1 0.00 0.00 0.02 | 1C 205 -15 -16 -12 0 15 0 1 0.00 0.00 0.02 | 1D 205 -15 -16 -12 0 15 -0 1 0.00 0.00 0.02 | 1E 205 15 -16 12 0 -15 0 1 0.00 0.00 0.02 | 1F 205 15 -16 12 0 -15 -0 1 0.00 0.00 0.02 | 1G 205 15 -16 -12 0 15 0 1 0.00 0.00 0.02 | 1H 205 15 -16 -12 0 15 -0 1 0.00 0.00 0.02 | 1I 205 -38 -16 4 0 -5 0 1 0.00 0.00 0.01 | 1J 205 -38 -16 4 0 -5 -0 1 0.00 0.00 0.01 | 1K 205 -38 -16 -4 0 5 0 1 0.00 0.00 0.01 | 1L 205 -38 -16 -4 0 5 -0 1 0.00 0.00 0.01 | 1M 205 38 -16 4 0 -5 0 1 0.00 0.00 0.01 | 1N 205 38 -16 4 0 -5 -0 1 0.00 0.00 0.01 | 1O 205 38 -16 -4 0 5 0 1 0.00 0.00 0.01 | 1P 205 38 -16 -4 0 5 -0 1 0.00 0.00 0.01 | 2 205 0 -21 -0 0 0 1 0.00 0.00 0.00 |
| Verifica di STABILITA' e/o STABILITA' FLESSO TORSIONALE | | | | | | | | | | | | | | | | |
| NC Fx My Mz Classe $\chi_{min.}$ ky kz kLT χ_{LT} I.S.n. I.S.m. I.S. Nota | -- | -- | -- | -- | -- | -- | -- | -- | -- | -- | -- | -- | -- | | | |
| daN | | | | | | | | | | | | | | | | |
| daN*m | | | | | | | | | | | | | | | | |
| 1A -15 -15 8 1 0.4301 0.9994 1.0000 -- -- 0.00 -- 0.03 Snell. 'zx'= 111 | 1B -15 -15 8 1 0.4301 0.9994 1.0000 -- -- 0.00 -- 0.03 Snell. 'zx'= 111 | 1C -15 15 8 1 0.4301 0.9994 1.0000 -- -- 0.00 -- 0.03 Snell. 'zx'= 111 | 1D -15 15 8 1 0.4301 0.9994 1.0000 -- -- 0.00 -- 0.03 Snell. 'zx'= 111 | 1I -38 -5 8 1 0.4301 0.9986 1.0001 -- -- 0.00 -- 0.01 Snell. 'zx'= 111 | 1J -38 -5 8 1 0.4301 0.9986 1.0001 -- -- 0.00 -- 0.01 Snell. 'zx'= 111 | 1K -38 5 8 1 0.4301 0.9986 1.0001 -- -- 0.00 -- 0.01 Snell. 'zx'= 111 | 1L -38 5 8 1 0.4301 0.9986 1.0001 -- -- 0.00 -- 0.01 Snell. 'zx'= 111 | | | | | | | | | |
| ASTA NUM. 7 NI 6 NF 10 Lungh. 205.0 cm SEZ. 1 Ps IPE 160 | | | | | | | | | | | | | | | | |
| categoria: p.p. y qy tot. | | | | | | | | | | | | | | | | |
| qy medio: 0.1578 0.1578 daN/cm | | | | | | | | | | | | | | | | |
| Sollecitazioni di calcolo e di verifica | | | | | | | | | | | | | | | | |
| | | | | | | | | | | | | | | | | |
| Indici <= 1 : VERIFICATO | | | | | | | | | | | | | | | | |
| NC x Fx Fy Fz Mx My Mz Classe I.V.T. I.R.n. I.R. Nota | -- | -- | -- | -- | -- | -- | -- | -- | -- | -- | -- | -- | -- | | | |
| cm | | | | | | | | | | | | | | | | |
| daN | | | | | | | | | | | | | | | | |
| daN*m | | | | | | | | | | | | | | | | |
| 1A 0 -16 16 12 0 15 0 1 0.00 0.00 0.02 | 1B 0 -16 16 12 0 15 -0 1 0.00 0.00 0.02 | 1C 0 -16 16 -12 0 -15 0 1 0.00 0.00 0.02 | 1D 0 -16 16 -12 0 -15 -0 1 0.00 0.00 0.02 | 1E 0 16 16 12 0 15 0 1 0.00 0.00 0.02 | 1F 0 16 16 12 0 15 -0 1 0.00 0.00 0.02 | 1G 0 16 16 -12 0 -15 0 1 0.00 0.00 0.02 | 1H 0 16 16 -12 0 -15 -0 1 0.00 0.00 0.02 | 1I 0 -38 16 4 0 5 0 1 0.00 0.00 0.01 | 1J 0 -38 16 4 0 5 -0 1 0.00 0.00 0.01 | 1K 0 -38 16 -4 0 -5 0 1 0.00 0.00 0.01 | 1L 0 -38 16 -4 0 -5 -0 1 0.00 0.00 0.01 | 1M 0 38 16 4 0 5 0 1 0.00 0.00 0.01 | 1N 0 38 16 4 0 5 -0 1 0.00 0.00 0.01 | 1O 0 38 16 -4 0 -5 0 1 0.00 0.00 0.01 | 1P 0 38 16 -4 0 -5 -0 1 0.00 0.00 0.01 | 2 0 0 21 0 0 0 1 0.00 0.00 0.00 |
| 1A 20 -16 13 12 0 13 3 1 0.00 0.00 0.02 | 1B 20 -16 13 12 0 13 3 1 0.00 0.00 0.02 | 1C 20 -16 13 -12 0 -13 3 1 0.00 0.00 0.02 | 1D 20 -16 13 -12 0 -13 -0 3 1 0.00 0.00 0.02 | 1E 20 16 13 12 0 13 3 1 0.00 0.00 0.02 | 1F 20 16 13 12 0 13 3 1 0.00 0.00 0.02 | 1G 20 16 13 -12 0 -13 3 1 0.00 0.00 0.02 | 1H 20 16 13 -12 0 -13 3 1 0.00 0.00 0.02 | 1I 20 -38 13 4 0 4 3 1 0.00 0.00 0.01 | | | | | | | | |

| | | | | | | | | | | | | | |
|---|---|----|-----|---|-----|----|---|------|------|------|--|---|--|
| BOSI E ASSOCIATI STUDIO DI INGEGNERIA Dott. Ing. Giovanni Bosi Dott. Ing. Donato Musci Dott. Ing. Davide Manenti Dott. Ing. Nazzareno Zingarelli | ISTITUTO ZOOPROFILATTICO SPERIMENTALE DELLA LOMBARDIA E DELL'EMILIA ROMAGNA “BRUNO UBERTINI” | | | | | | | | | | | 98-2023 REALIZZAZIONE AMPLIAMENTO ISTITUTO ZOOPROFILATTICO | |
| | | | | | | | | | | | | | |
| | | | | | | | | | | | | | |
| | | | | | | | | | | | | | |
| | | | | | | | | | | | | | |
| 1J 20 | -38 | 13 | 4 | 0 | 4 | 3 | 1 | 0.00 | 0.00 | 0.01 | | | |
| 1K 20 | -38 | 13 | -4 | 0 | -4 | 3 | 1 | 0.00 | 0.00 | 0.01 | | | |
| 1L 20 | -38 | 13 | -4 | 0 | -4 | 3 | 1 | 0.00 | 0.00 | 0.01 | | | |
| 1M 20 | 38 | 13 | 4 | 0 | 4 | 3 | 1 | 0.00 | 0.00 | 0.01 | | | |
| 1N 20 | 38 | 13 | 4 | 0 | 4 | 3 | 1 | 0.00 | 0.00 | 0.01 | | | |
| 1O 20 | 38 | 13 | -4 | 0 | -4 | 3 | 1 | 0.00 | 0.00 | 0.01 | | | |
| 1P 20 | 38 | 13 | -4 | 0 | -4 | 3 | 1 | 0.00 | 0.00 | 0.01 | | | |
| 2 20 | 0 | 17 | 0 | 0 | 0 | 4 | 1 | 0.00 | 0.00 | 0.00 | | | |
| 1A 41 | -16 | 10 | 12 | 0 | 10 | 5 | 1 | 0.00 | 0.00 | 0.02 | | | |
| 1B 41 | -16 | 10 | 12 | 0 | 10 | 5 | 1 | 0.00 | 0.00 | 0.02 | | | |
| 1C 41 | -16 | 10 | -12 | 0 | -10 | 5 | 1 | 0.00 | 0.00 | 0.02 | | | |
| 1D 41 | -16 | 10 | -12 | 0 | -10 | 5 | 1 | 0.00 | 0.00 | 0.02 | | | |
| 1E 41 | 16 | 10 | 12 | 0 | 10 | 5 | 1 | 0.00 | 0.00 | 0.02 | | | |
| 1F 41 | 16 | 10 | 12 | 0 | 10 | 5 | 1 | 0.00 | 0.00 | 0.02 | | | |
| 1G 41 | 16 | 10 | -12 | 0 | -10 | 5 | 1 | 0.00 | 0.00 | 0.02 | | | |
| 1H 41 | 16 | 10 | -12 | 0 | -10 | 5 | 1 | 0.00 | 0.00 | 0.02 | | | |
| 1I 41 | -38 | 10 | 4 | 0 | 3 | 5 | 1 | 0.00 | 0.00 | 0.00 | | | |
| 1J 41 | -38 | 10 | 4 | 0 | 3 | 5 | 1 | 0.00 | 0.00 | 0.00 | | | |
| 1K 41 | -38 | 10 | -4 | 0 | -3 | 5 | 1 | 0.00 | 0.00 | 0.00 | | | |
| 1L 41 | -38 | 10 | -4 | 0 | -3 | 5 | 1 | 0.00 | 0.00 | 0.00 | | | |
| 1M 41 | 38 | 10 | 4 | 0 | 3 | 5 | 1 | 0.00 | 0.00 | 0.00 | | | |
| 1N 41 | 38 | 10 | 4 | 0 | 3 | 5 | 1 | 0.00 | 0.00 | 0.00 | | | |
| 1O 41 | 38 | 10 | -4 | 0 | -3 | 5 | 1 | 0.00 | 0.00 | 0.00 | | | |
| 1P 41 | 38 | 10 | -4 | 0 | -3 | 5 | 1 | 0.00 | 0.00 | 0.00 | | | |
| 2 41 | 0 | 13 | 0 | 0 | 0 | 7 | 1 | 0.00 | 0.00 | 0.00 | | | |
| 1A 62 | -16 | 6 | 12 | 0 | 8 | 7 | 1 | 0.00 | 0.00 | 0.01 | | | |
| 1B 62 | -16 | 6 | 12 | 0 | 8 | 7 | 1 | 0.00 | 0.00 | 0.01 | | | |
| 1C 62 | -16 | 6 | -12 | 0 | -8 | 7 | 1 | 0.00 | 0.00 | 0.01 | | | |
| 1D 62 | -16 | 6 | -12 | 0 | -8 | 7 | 1 | 0.00 | 0.00 | 0.01 | | | |
| 1E 62 | 16 | 6 | 12 | 0 | 8 | 7 | 1 | 0.00 | 0.00 | 0.01 | | | |
| 1F 62 | 16 | 6 | 12 | 0 | 8 | 7 | 1 | 0.00 | 0.00 | 0.01 | | | |
| 1G 62 | 16 | 6 | -12 | 0 | -8 | 7 | 1 | 0.00 | 0.00 | 0.01 | | | |
| 1H 62 | 16 | 6 | -12 | 0 | -8 | 7 | 1 | 0.00 | 0.00 | 0.01 | | | |
| 1I 62 | -38 | 6 | 4 | 0 | 2 | 7 | 1 | 0.00 | 0.00 | 0.00 | | | |
| 1J 62 | -38 | 6 | 4 | 0 | 2 | 7 | 1 | 0.00 | 0.00 | 0.00 | | | |
| 1K 62 | -38 | 6 | -4 | 0 | -2 | 7 | 1 | 0.00 | 0.00 | 0.00 | | | |
| 1L 62 | -38 | 6 | -4 | 0 | -2 | 7 | 1 | 0.00 | 0.00 | 0.00 | | | |
| 1M 62 | 38 | 6 | 4 | 0 | 2 | 7 | 1 | 0.00 | 0.00 | 0.00 | | | |
| 1N 62 | 38 | 6 | 4 | 0 | 2 | 7 | 1 | 0.00 | 0.00 | 0.00 | | | |
| 1O 62 | 38 | 6 | -4 | 0 | -2 | 7 | 1 | 0.00 | 0.00 | 0.00 | | | |
| 1P 62 | 38 | 6 | -4 | 0 | -2 | 7 | 1 | 0.00 | 0.00 | 0.00 | | | |
| 2 62 | 0 | 8 | 0 | 0 | 0 | 9 | 1 | 0.00 | 0.00 | 0.00 | | | |
| 1A 82 | -16 | 3 | 12 | 0 | 6 | 8 | 1 | 0.00 | 0.00 | 0.01 | | | |
| 1B 82 | -16 | 3 | 12 | 0 | 6 | 8 | 1 | 0.00 | 0.00 | 0.01 | | | |
| 1C 82 | -16 | 3 | -12 | 0 | -6 | 8 | 1 | 0.00 | 0.00 | 0.01 | | | |
| 1D 82 | -16 | 3 | -12 | 0 | -6 | 8 | 1 | 0.00 | 0.00 | 0.01 | | | |
| 1E 82 | 16 | 3 | 12 | 0 | 6 | 8 | 1 | 0.00 | 0.00 | 0.01 | | | |
| 1F 82 | 16 | 3 | 12 | 0 | 6 | 8 | 1 | 0.00 | 0.00 | 0.01 | | | |
| 1G 82 | 16 | 3 | -12 | 0 | -6 | 8 | 1 | 0.00 | 0.00 | 0.01 | | | |
| 1H 82 | 16 | 3 | -12 | 0 | -6 | 8 | 1 | 0.00 | 0.00 | 0.01 | | | |
| 1I 82 | -38 | 3 | 4 | 0 | 2 | 8 | 1 | 0.00 | 0.00 | 0.00 | | | |
| 1J 82 | -38 | 3 | 4 | 0 | 2 | 8 | 1 | 0.00 | 0.00 | 0.00 | | | |
| 1K 82 | -38 | 3 | -4 | 0 | -2 | 8 | 1 | 0.00 | 0.00 | 0.00 | | | |
| 1L 82 | -38 | 3 | -4 | 0 | -2 | 8 | 1 | 0.00 | 0.00 | 0.00 | | | |
| 1M 82 | 38 | 3 | 4 | 0 | 2 | 8 | 1 | 0.00 | 0.00 | 0.00 | | | |
| 1N 82 | 38 | 3 | 4 | 0 | 2 | 8 | 1 | 0.00 | 0.00 | 0.00 | | | |
| 1O 82 | 38 | 3 | -4 | 0 | -2 | 8 | 1 | 0.00 | 0.00 | 0.00 | | | |
| 1P 82 | 38 | 3 | -4 | 0 | -2 | 8 | 1 | 0.00 | 0.00 | 0.00 | | | |
| 2 82 | 0 | 4 | 0 | 0 | 0 | 10 | 1 | 0.00 | 0.00 | 0.00 | | | |
| 1A 102 | -16 | -0 | 12 | 0 | 3 | 8 | 1 | 0.00 | 0.00 | 0.00 | | | |
| 1B 102 | -16 | 0 | 12 | 0 | 3 | 8 | 1 | 0.00 | 0.00 | 0.00 | | | |
| 1C 102 | -16 | -0 | -12 | 0 | -3 | 8 | 1 | 0.00 | 0.00 | 0.00 | | | |
| 1D 102 | -16 | 0 | -12 | 0 | -3 | 8 | 1 | 0.00 | 0.00 | 0.00 | | | |
| 1E 102 | 16 | -0 | 12 | 0 | 3 | 8 | 1 | 0.00 | 0.00 | 0.00 | | | |
| 1F 102 | 16 | 0 | 12 | 0 | 3 | 8 | 1 | 0.00 | 0.00 | 0.00 | | | |
| 1G 102 | 16 | -0 | -12 | 0 | -3 | 8 | 1 | 0.00 | 0.00 | 0.00 | | | |
| 1H 102 | 16 | 0 | -12 | 0 | -3 | 8 | 1 | 0.00 | 0.00 | 0.00 | | | |
| 1I 102 | -38 | -0 | 4 | 0 | 1 | 8 | 1 | 0.00 | 0.00 | 0.00 | | | |
| 1J 102 | -38 | 0 | 4 | 0 | 1 | 8 | 1 | 0.00 | 0.00 | 0.00 | | | |
| 1K 102 | -38 | -0 | -4 | 0 | -1 | 8 | 1 | 0.00 | 0.00 | 0.00 | | | |
| 1L 102 | -38 | 0 | -4 | 0 | -1 | 8 | 1 | 0.00 | 0.00 | 0.00 | | | |
| 1M 102 | 38 | -0 | 4 | 0 | 1 | 8 | 1 | 0.00 | 0.00 | 0.00 | | | |
| 1N 102 | 38 | 0 | 4 | 0 | 1 | 8 | 1 | 0.00 | 0.00 | 0.00 | | | |
| 1O 102 | 38 | -0 | -4 | 0 | -1 | 8 | 1 | 0.00 | 0.00 | 0.00 | | | |
| 1P 102 | 38 | 0 | -4 | 0 | -1 | 8 | 1 | 0.00 | 0.00 | 0.00 | | | |
| 2 102 | 0 | 0 | 0 | 0 | 0 | 11 | 1 | 0.00 | 0.00 | 0.00 | | | |
| 1A 123 | -16 | -3 | 12 | 0 | 1 | 8 | 1 | 0.00 | 0.00 | 0.00 | | | |
| 1B 123 | -16 | -3 | 12 | 0 | 1 | 8 | 1 | 0.00 | 0.00 | 0.00 | | | |
| 1C 123 | -16 | -3 | -12 | 0 | -1 | 8 | 1 | 0.00 | 0.00 | 0.00 | | | |
| 1D 123 | -16 | -3 | -12 | 0 | -1 | 8 | 1 | 0.00 | 0.00 | 0.00 | | | |

| | | | | | | | | | | | | | | | | |
|---|---|---|--|--|---|--|---|--|---|--|---|---|--|---|--|---------------------------------------|
| BOSI E ASSOCIATI STUDIO DI INGEGNERIA Dott. Ing. Giovanni Bosi Dott. Ing. Donato Musci Dott. Ing. Davide Manenti Dott. Ing. Nazzareno Zingarelli | ISTITUTO ZOOPROFILATTICO SPERIMENTALE DELLA LOMBARDIA E DELL'EMILIA ROMAGNA “BRUNO UBERTINI” | | | | | | | | | | 98-2023 REALIZZAZIONE AMPLIAMENTO ISTITUTO ZOOPROFILATTICO | | | | | |
| | | | | | | | | | | | | | | | | |
| | | | | | | | | | | | | | | | | |
| | | | | | | | | | | | | | | | | |
| | | | | | | | | | | | | Pag. 32 di 41 | | | | |
| 1E 123 16 -3 12 0 1 8 1 0.00 0.00 0.00 | 1F 123 16 -3 12 0 1 8 1 0.00 0.00 0.00 | 1G 123 16 -3 -12 0 -1 8 1 0.00 0.00 0.00 | 1H 123 16 -3 -12 0 -1 8 1 0.00 0.00 0.00 | 1I 123 -38 -3 4 0 0 8 1 0.00 0.00 0.00 | 1J 123 -38 -3 4 0 0 8 1 0.00 0.00 0.00 | 1K 123 -38 -3 -4 0 -0 8 1 0.00 0.00 0.00 | 1L 123 -38 -3 -4 0 -0 8 1 0.00 0.00 0.00 | 1M 123 38 -3 4 0 0 8 1 0.00 0.00 0.00 | 1N 123 38 -3 4 0 0 8 1 0.00 0.00 0.00 | 1O 123 38 -3 -4 0 -0 8 1 0.00 0.00 0.00 | 1P 123 38 -3 -4 0 -0 8 1 0.00 0.00 0.00 | 2 123 0 -4 0 0 10 1 0.00 0.00 0.00 | | | | |
| 1A 144 -16 -6 12 0 -2 7 1 0.00 0.00 0.00 | 1B 144 -16 -6 12 0 -2 7 1 0.00 0.00 0.00 | 1C 144 -16 -6 -12 0 2 7 1 0.00 0.00 0.00 | 1D 144 -16 -6 -12 0 2 7 1 0.00 0.00 0.00 | 1E 144 16 -6 12 0 -2 7 1 0.00 0.00 0.00 | 1F 144 16 -6 12 0 -2 7 1 0.00 0.00 0.00 | 1G 144 16 -6 -12 0 2 7 1 0.00 0.00 0.00 | 1H 144 16 -6 -12 0 2 7 1 0.00 0.00 0.00 | 1I 144 -38 -6 4 0 -1 7 1 0.00 0.00 0.00 | 1J 144 -38 -6 4 0 -1 7 1 0.00 0.00 0.00 | 1K 144 -38 -6 -4 0 1 7 1 0.00 0.00 0.00 | 1L 144 -38 -6 -4 0 1 7 1 0.00 0.00 0.00 | 1M 144 38 -6 4 0 -1 7 1 0.00 0.00 0.00 | 1N 144 38 -6 4 0 -1 7 1 0.00 0.00 0.00 | 1O 144 38 -6 -4 0 1 7 1 0.00 0.00 0.00 | 1P 144 38 -6 -4 0 1 7 1 0.00 0.00 0.00 | 2 144 0 -8 0 0 9 1 0.00 0.00 0.00 |
| 1A 164 -16 -10 12 0 -4 5 1 0.00 0.00 0.01 | 1B 164 -16 -10 12 0 -4 5 1 0.00 0.00 0.01 | 1C 164 -16 -10 -12 0 4 5 1 0.00 0.00 0.01 | 1D 164 -16 -10 -12 0 4 5 1 0.00 0.00 0.01 | 1E 164 16 -10 12 0 -4 5 1 0.00 0.00 0.01 | 1F 164 16 -10 12 0 -4 5 1 0.00 0.00 0.01 | 1G 164 16 -10 -12 0 4 5 1 0.00 0.00 0.01 | 1H 164 16 -10 -12 0 4 5 1 0.00 0.00 0.01 | 1I 164 -38 -10 4 0 -1 5 1 0.00 0.00 0.00 | 1J 164 -38 -10 4 0 -1 5 1 0.00 0.00 0.00 | 1K 164 -38 -10 -4 0 1 5 1 0.00 0.00 0.00 | 1L 164 -38 -10 -4 0 1 5 1 0.00 0.00 0.00 | 1M 164 38 -10 4 0 -1 5 1 0.00 0.00 0.00 | 1N 164 38 -10 4 0 -1 5 1 0.00 0.00 0.00 | 1O 164 38 -10 -4 0 1 5 1 0.00 0.00 0.00 | 1P 164 38 -10 -4 0 1 5 1 0.00 0.00 0.00 | 2 164 0 -13 0 0 -0 7 1 0.00 0.00 0.00 |
| 1A 184 -16 -13 12 0 -7 3 1 0.00 0.00 0.01 | 1B 184 -16 -13 12 0 -7 3 1 0.00 0.00 0.01 | 1C 184 -16 -13 -12 0 7 3 1 0.00 0.00 0.01 | 1D 184 -16 -13 -12 0 7 3 1 0.00 0.00 0.01 | 1E 184 16 -13 12 0 -7 3 1 0.00 0.00 0.01 | 1F 184 16 -13 12 0 -7 3 1 0.00 0.00 0.01 | 1G 184 16 -13 -12 0 7 3 1 0.00 0.00 0.01 | 1H 184 16 -13 -12 0 7 3 1 0.00 0.00 0.01 | 1I 184 -38 -13 4 0 -2 3 1 0.00 0.00 0.00 | 1J 184 -38 -13 4 0 -2 3 1 0.00 0.00 0.00 | 1K 184 -38 -13 -4 0 2 3 1 0.00 0.00 0.00 | 1L 184 -38 -13 -4 0 2 3 1 0.00 0.00 0.00 | 1M 184 38 -13 4 0 -2 3 1 0.00 0.00 0.00 | 1N 184 38 -13 4 0 -2 3 1 0.00 0.00 0.00 | 1O 184 38 -13 -4 0 2 3 1 0.00 0.00 0.00 | 1P 184 38 -13 -4 0 2 3 1 0.00 0.00 0.00 | 2 184 0 -17 0 0 -0 4 1 0.00 0.00 0.00 |
| 1A 205 -16 -16 12 0 -9 0 1 0.00 0.00 0.01 | 1B 205 -16 -16 12 0 -9 -0 1 0.00 0.00 0.01 | 1C 205 -16 -16 -12 0 9 0 1 0.00 0.00 0.01 | 1D 205 -16 -16 -12 0 9 -0 1 0.00 0.00 0.01 | 1E 205 16 -16 12 0 -9 0 1 0.00 0.00 0.01 | 1F 205 16 -16 12 0 -9 -0 1 0.00 0.00 0.01 | 1G 205 16 -16 -12 0 9 0 1 0.00 0.00 0.01 | 1H 205 16 -16 -12 0 9 -0 1 0.00 0.00 0.01 | 1I 205 -38 -16 4 0 -3 0 1 0.00 0.00 0.00 | 1J 205 -38 -16 4 0 -3 -0 1 0.00 0.00 0.00 | 1K 205 -38 -16 -4 0 3 0 1 0.00 0.00 0.00 | 1L 205 -38 -16 -4 0 3 -0 1 0.00 0.00 0.00 | 1M 205 38 -16 4 0 -3 0 1 0.00 0.00 0.00 | 1N 205 38 -16 4 0 -3 -0 1 0.00 0.00 0.00 | 1O 205 38 -16 -4 0 3 0 1 0.00 0.00 0.00 | 1P 205 38 -16 -4 0 3 -0 1 0.00 0.00 0.00 | 2 205 0 -21 0 0 -0 0 1 0.00 0.00 0.00 |

| | | |
|---|---|---|
| BOSI E ASSOCIATI STUDIO DI INGEGNERIA Dott. Ing. Giovanni Bosi Dott. Ing. Donato Musci Dott. Ing. Davide Manenti Dott. Ing. Nazzareno Zingarelli | ISTITUTO ZOOPROFILATTICO SPERIMENTALE DELLA LOMBARDIA E DELL'EMILIA ROMAGNA "BRUNO UBERTINI" | 98-2023 |
| | REALIZZAZIONE AMPLIAMENTO ISTITUTO ZOOPROFILATTICO | REALIZZAZIONE DI CALCOLO TETTOIA METALLICA |
| | | |
| | Pag. 33 di 41 | |

Verifica di STABILITA' e/o STABILITA' FLESSO TORSIONALE

| NC | Fx | My | Mz | Classe | $\chi_{min.}$ | ky | kz | kLT | χ_{LT} | I.S.n. | I.S.m. | I.S. | Nota |
|-----|-----|-----|-------|--------|---------------|--------|--------|-----|-------------|--------|--------|------|------------------|
| -- | -- | -- | -- | -- | -- | -- | -- | -- | -- | -- | -- | -- | |
| daN | | | daN*m | | | | | | | | | | |
| 1A | -16 | 15 | 8 | 1 | 0.4301 | 0.9994 | 1.0000 | -- | -- | 0.00 | -- | 0.03 | Snell. 'zx'= 111 |
| 1B | -16 | 15 | 8 | 1 | 0.4301 | 0.9994 | 1.0000 | -- | -- | 0.00 | -- | 0.03 | Snell. 'zx'= 111 |
| 1C | -16 | -15 | 8 | 1 | 0.4301 | 0.9994 | 1.0000 | -- | -- | 0.00 | -- | 0.03 | Snell. 'zx'= 111 |
| 1D | -16 | -15 | 8 | 1 | 0.4301 | 0.9994 | 1.0000 | -- | -- | 0.00 | -- | 0.03 | Snell. 'zx'= 111 |
| 1I | -38 | 5 | 8 | 1 | 0.4301 | 0.9986 | 1.0001 | -- | -- | 0.00 | -- | 0.01 | Snell. 'zx'= 111 |
| 1J | -38 | 5 | 8 | 1 | 0.4301 | 0.9986 | 1.0001 | -- | -- | 0.00 | -- | 0.01 | Snell. 'zx'= 111 |
| 1K | -38 | -5 | 8 | 1 | 0.4301 | 0.9986 | 1.0001 | -- | -- | 0.00 | -- | 0.01 | Snell. 'zx'= 111 |
| 1L | -38 | -5 | 8 | 1 | 0.4301 | 0.9986 | 1.0001 | -- | -- | 0.00 | -- | 0.01 | Snell. 'zx'= 111 |

| | | |
|---|--|---|
| BOSI E ASSOCIATI STUDIO DI INGEGNERIA Dott. Ing. Giovanni Bosi Dott. Ing. Donato Musci Dott. Ing. Davide Manenti Dott. Ing. Nazzareno Zingarelli | ISTITUTO ZOOPROFILATTICO SPERIMENTALE DELLA LOMBARDIA E DELL'EMILIA ROMAGNA "BRUNO UBERTINI" REALIZZAZIONE AMPLIAMENTO ISTITUTO ZOOPROFILATTICO | 98-2023 RELAZIONE DI CALCOLO TETTOIA METALLICA |
| | | Pag. 34 di 41 |

Lavoro: **tettoia metallica** Intestazione lavoro: **tettoia**
 Elemento: **TRAVE** Metodo di verifica: **Eurocodice 3 - NTC 2018**
 Gruppo: **1** Descrizione: **pilastri**
 Tabella: **Tabella pilastri** Struttura: **Nuova**
 Tipo acciaio: **S 275** Beta piano 'yx': **1.000** Beta piano 'zx': **1.000**
 Tipologia sismica yx: **Senza prescrizioni aggiuntive**
 Tipologia sismica zx: **Senza prescrizioni aggiuntive**
 $\gamma M0: 1.050 \quad \gamma M1': 1.050 \quad \gamma M1'': 1.050 \quad \gamma M2: 1.250 \quad \gamma rv: 0.000 \quad \gamma M0 Pf: 1.000 \quad \gamma M1 Pf: 1.000$
 Tipo collegamento: **saldato** Connessione su un solo lato Connessione sul lato corto (solo 'L')

ASTA NUM. 1 NI 1 NF 4 Lungh. 250.0 cm SEZ. 1 Ps IPE 160
Sollecitazioni di calcolo e di verifica Indici <= 1 : VERIFICATO

| NC | x | Fx | Fy | Fz | Mx | My | Mz | Classe | I.V.T. | I.R.n. | I.R. | Nota |
|-----|-----|-------|-------|-------|-------|-------|-------|--------|--------|--------|-------|-------|
| --- | --- | ----- | ----- | ----- | ----- | ----- | ----- | ----- | ----- | ----- | ----- | ----- |
| | cm | | daN | | | daN*m | | | | | | |

| | | | | | | | | | | | |
|----|-----|------|------|----|---|----|------|---|------|------|------|
| 1A | 0 | -259 | -80 | 0 | 0 | 0 | 0 | 1 | 0.01 | 0.00 | 0.00 |
| 1B | 0 | -259 | 24 | 0 | 0 | 0 | -0 | 1 | 0.00 | 0.00 | 0.00 |
| 1C | 0 | -259 | -80 | -0 | 0 | -0 | 0 | 1 | 0.01 | 0.00 | 0.00 |
| 1D | 0 | -259 | 24 | -0 | 0 | -0 | -0 | 1 | 0.00 | 0.00 | 0.00 |
| 1E | 0 | -135 | -80 | 0 | 0 | 0 | 0 | 1 | 0.01 | 0.00 | 0.00 |
| 1F | 0 | -135 | 24 | 0 | 0 | 0 | -0 | 1 | 0.00 | 0.00 | 0.00 |
| 1G | 0 | -135 | -80 | -0 | 0 | -0 | 0 | 1 | 0.01 | 0.00 | 0.00 |
| 1H | 0 | -135 | 24 | -0 | 0 | -0 | -0 | 1 | 0.00 | 0.00 | 0.00 |
| 1I | 0 | -215 | -44 | 0 | 0 | 0 | 0 | 1 | 0.00 | 0.00 | 0.00 |
| 1J | 0 | -215 | -13 | 0 | 0 | 0 | -0 | 1 | 0.00 | 0.00 | 0.00 |
| 1K | 0 | -215 | -44 | -0 | 0 | -0 | 0 | 1 | 0.00 | 0.00 | 0.00 |
| 1L | 0 | -215 | -13 | -0 | 0 | -0 | -0 | 1 | 0.00 | 0.00 | 0.00 |
| 1M | 0 | -178 | -44 | 0 | 0 | 0 | 0 | 1 | 0.00 | 0.00 | 0.00 |
| 1N | 0 | -178 | -13 | 0 | 0 | 0 | -0 | 1 | 0.00 | 0.00 | 0.00 |
| 1O | 0 | -178 | -44 | -0 | 0 | -0 | 0 | 1 | 0.00 | 0.00 | 0.00 |
| 1P | 0 | -178 | -13 | -0 | 0 | -0 | -0 | 1 | 0.00 | 0.00 | 0.00 |
| 2 | 0 | -645 | -114 | -0 | 0 | 0 | 0 | 1 | 0.01 | 0.01 | 0.00 |
| 1A | 125 | -239 | -80 | 0 | 0 | -0 | -100 | 1 | 0.01 | 0.00 | 0.03 |
| 1B | 125 | -239 | 24 | 0 | 0 | -0 | 30 | 1 | 0.00 | 0.00 | 0.01 |
| 1C | 125 | -239 | -80 | -0 | 0 | 0 | -100 | 1 | 0.01 | 0.00 | 0.03 |
| 1D | 125 | -239 | 24 | -0 | 0 | 0 | 30 | 1 | 0.00 | 0.00 | 0.01 |
| 1E | 125 | -115 | -80 | 0 | 0 | -0 | -100 | 1 | 0.01 | 0.00 | 0.03 |
| 1F | 125 | -115 | 24 | 0 | 0 | -0 | 30 | 1 | 0.00 | 0.00 | 0.01 |
| 1G | 125 | -115 | -80 | -0 | 0 | 0 | -100 | 1 | 0.01 | 0.00 | 0.03 |
| 1H | 125 | -115 | 24 | -0 | 0 | 0 | 30 | 1 | 0.00 | 0.00 | 0.01 |
| 1I | 125 | -196 | -44 | 0 | 0 | -0 | -55 | 1 | 0.00 | 0.00 | 0.02 |
| 1J | 125 | -196 | -13 | 0 | 0 | -0 | -16 | 1 | 0.00 | 0.00 | 0.00 |
| 1K | 125 | -196 | -44 | -0 | 0 | 0 | -55 | 1 | 0.00 | 0.00 | 0.02 |
| 1L | 125 | -196 | -13 | -0 | 0 | 0 | -16 | 1 | 0.00 | 0.00 | 0.00 |
| 1M | 125 | -159 | -44 | 0 | 0 | -0 | -55 | 1 | 0.00 | 0.00 | 0.02 |
| 1N | 125 | -159 | -13 | 0 | 0 | -0 | -16 | 1 | 0.00 | 0.00 | 0.00 |
| 1O | 125 | -159 | -44 | -0 | 0 | 0 | -55 | 1 | 0.00 | 0.00 | 0.02 |
| 1P | 125 | -159 | -13 | -0 | 0 | 0 | -16 | 1 | 0.00 | 0.00 | 0.00 |
| 2 | 125 | -620 | -114 | -0 | 0 | 0 | -143 | 1 | 0.01 | 0.01 | 0.04 |
| 1A | 250 | -219 | -80 | 0 | 0 | -0 | -200 | 1 | 0.01 | 0.00 | 0.06 |
| 1B | 250 | -219 | 24 | 0 | 0 | -0 | 59 | 1 | 0.00 | 0.00 | 0.02 |
| 1C | 250 | -219 | -80 | -0 | 0 | 0 | -200 | 1 | 0.01 | 0.00 | 0.06 |
| 1D | 250 | -219 | 24 | -0 | 0 | 0 | 59 | 1 | 0.00 | 0.00 | 0.02 |
| 1E | 250 | -96 | -80 | 0 | 0 | -0 | -200 | 1 | 0.01 | 0.00 | 0.06 |
| 1F | 250 | -96 | 24 | 0 | 0 | -0 | 59 | 1 | 0.00 | 0.00 | 0.02 |
| 1G | 250 | -96 | -80 | -0 | 0 | 0 | -200 | 1 | 0.01 | 0.00 | 0.06 |
| 1H | 250 | -96 | 24 | -0 | 0 | 0 | 59 | 1 | 0.00 | 0.00 | 0.02 |
| 1I | 250 | -176 | -44 | 0 | 0 | -0 | -109 | 1 | 0.00 | 0.00 | 0.03 |
| 1J | 250 | -176 | -13 | 0 | 0 | -0 | -32 | 1 | 0.00 | 0.00 | 0.01 |
| 1K | 250 | -176 | -44 | -0 | 0 | 0 | -109 | 1 | 0.00 | 0.00 | 0.03 |
| 1L | 250 | -176 | -13 | -0 | 0 | 0 | -32 | 1 | 0.00 | 0.00 | 0.01 |
| 1M | 250 | -139 | -44 | 0 | 0 | -0 | -109 | 1 | 0.00 | 0.00 | 0.03 |
| 1N | 250 | -139 | -13 | 0 | 0 | -0 | -32 | 1 | 0.00 | 0.00 | 0.01 |
| 1O | 250 | -139 | -44 | -0 | 0 | 0 | -109 | 1 | 0.00 | 0.00 | 0.03 |
| 1P | 250 | -139 | -13 | -0 | 0 | 0 | -32 | 1 | 0.00 | 0.00 | 0.01 |
| 2 | 250 | -594 | -114 | -0 | 0 | 0 | -286 | 1 | 0.01 | 0.01 | 0.09 |

Verifica di STABILITA' e/o STABILITA' FLESSO TORSIONALE

BOSI E ASSOCIATI
STUDIO DI INGEGNERIA
Dott. Ing. Giovanni Bosi
Dott. Ing. Donato Musci
Dott. Ing. Davide Manenti
Dott. Ing. Nazzareno Zingarelli

**ISTITUTO ZOOPROFILATTICO SPERIMENTALE
DELLA LOMBARDIA E DELL'EMILIA ROMAGNA
"BRUNO UBERTINI"**

98-2023

**REALIZZAZIONE AMPLIAMENTO ISTITUTO
ZOOPROFILATTICO**

**REALIZZAZIONE DI CALCOLO
TETTOIA METALLICA**

Pag. 35 di 41

| | | | | | | | | | | | | |
|----|------|----|------|---|--------|--------|--------|----|----|------|----|-----------------------|
| 1A | -259 | -0 | -200 | 1 | 0.3153 | 1.0837 | 1.0002 | -- | -- | 0.02 | -- | 0.08 Snell. 'zx'= 136 |
| 1B | -259 | -0 | 59 | 1 | 0.3153 | 1.0837 | 1.0002 | -- | -- | 0.02 | -- | 0.03 Snell. 'zx'= 136 |
| 1C | -259 | 0 | -200 | 1 | 0.3153 | 1.0837 | 1.0002 | -- | -- | 0.02 | -- | 0.08 Snell. 'zx'= 136 |
| 1D | -259 | 0 | 59 | 1 | 0.3153 | 1.0837 | 1.0002 | -- | -- | 0.02 | -- | 0.03 Snell. 'zx'= 136 |
| 1E | -135 | -0 | -200 | 1 | 0.3153 | 1.0437 | 1.0001 | -- | -- | 0.01 | -- | 0.07 Snell. 'zx'= 136 |
| 1F | -135 | -0 | 59 | 1 | 0.3153 | 1.0437 | 1.0001 | -- | -- | 0.01 | -- | 0.03 Snell. 'zx'= 136 |
| 1G | -135 | 0 | -200 | 1 | 0.3153 | 1.0437 | 1.0001 | -- | -- | 0.01 | -- | 0.07 Snell. 'zx'= 136 |
| 1H | -135 | 0 | 59 | 1 | 0.3153 | 1.0437 | 1.0001 | -- | -- | 0.01 | -- | 0.03 Snell. 'zx'= 136 |
| 1I | -215 | -0 | -109 | 1 | 0.3153 | 1.0697 | 1.0002 | -- | -- | 0.01 | -- | 0.05 Snell. 'zx'= 136 |
| 1J | -215 | -0 | -32 | 1 | 0.3153 | 1.0697 | 1.0002 | -- | -- | 0.01 | -- | 0.02 Snell. 'zx'= 136 |
| 1K | -215 | 0 | -109 | 1 | 0.3153 | 1.0697 | 1.0002 | -- | -- | 0.01 | -- | 0.05 Snell. 'zx'= 136 |
| 1L | -215 | 0 | -32 | 1 | 0.3153 | 1.0697 | 1.0002 | -- | -- | 0.01 | -- | 0.02 Snell. 'zx'= 136 |
| 1M | -178 | -0 | -109 | 1 | 0.3153 | 1.0577 | 1.0001 | -- | -- | 0.01 | -- | 0.04 Snell. 'zx'= 136 |
| 1N | -178 | -0 | -32 | 1 | 0.3153 | 1.0577 | 1.0001 | -- | -- | 0.01 | -- | 0.02 Snell. 'zx'= 136 |
| 1O | -178 | 0 | -109 | 1 | 0.3153 | 1.0577 | 1.0001 | -- | -- | 0.01 | -- | 0.04 Snell. 'zx'= 136 |
| 1P | -178 | 0 | -32 | 1 | 0.3153 | 1.0577 | 1.0001 | -- | -- | 0.01 | -- | 0.02 Snell. 'zx'= 136 |
| 2 | -645 | 0 | -286 | 1 | 0.3153 | 1.2087 | 1.0005 | -- | -- | 0.04 | -- | 0.12 Snell. 'zx'= 136 |

ASTA NUM. 2 NI 2 NF 3 Lungh. 250.0 cm SEZ. 1 Ps IPE 160
Sollecitazioni di calcolo e di verifica Indici <= 1 : VERIFICATO

| NC | x | Fx | Fy | Fz | Mx | My | Mz | Classe | I.V.T. | I.R.n. | I.R. | Nota |
|----|----|----|-----|----|----|----|-------|--------|--------|--------|------|------|
| -- | -- | -- | -- | -- | -- | -- | -- | -- | -- | -- | -- | -- |
| | cm | | daN | | | | daN*m | | | | | |

| | | | | | | | | | | | | |
|----|-----|------|-----|----|---|----|-----|---|------|------|------|--|
| 1A | 0 | -259 | -24 | 0 | 0 | 0 | 0 | 1 | 0.00 | 0.00 | 0.00 | |
| 1B | 0 | -259 | 80 | 0 | 0 | 0 | -0 | 1 | 0.01 | 0.00 | 0.00 | |
| 1C | 0 | -259 | -24 | -0 | 0 | -0 | 0 | 1 | 0.00 | 0.00 | 0.00 | |
| 1D | 0 | -259 | 80 | -0 | 0 | -0 | -0 | 1 | 0.01 | 0.00 | 0.00 | |
| 1E | 0 | -135 | -24 | 0 | 0 | 0 | 0 | 1 | 0.00 | 0.00 | 0.00 | |
| 1F | 0 | -135 | 80 | 0 | 0 | 0 | -0 | 1 | 0.01 | 0.00 | 0.00 | |
| 1G | 0 | -135 | -24 | -0 | 0 | -0 | 0 | 1 | 0.00 | 0.00 | 0.00 | |
| 1H | 0 | -135 | 80 | -0 | 0 | -0 | -0 | 1 | 0.01 | 0.00 | 0.00 | |
| 1I | 0 | -215 | 13 | 0 | 0 | 0 | 0 | 1 | 0.00 | 0.00 | 0.00 | |
| 1J | 0 | -215 | 44 | 0 | 0 | 0 | -0 | 1 | 0.00 | 0.00 | 0.00 | |
| 1K | 0 | -215 | 13 | -0 | 0 | -0 | 0 | 1 | 0.00 | 0.00 | 0.00 | |
| 1L | 0 | -215 | 44 | -0 | 0 | -0 | -0 | 1 | 0.00 | 0.00 | 0.00 | |
| 1M | 0 | -178 | 13 | 0 | 0 | 0 | 0 | 1 | 0.00 | 0.00 | 0.00 | |
| 1N | 0 | -178 | 44 | 0 | 0 | 0 | -0 | 1 | 0.00 | 0.00 | 0.00 | |
| 1O | 0 | -178 | 13 | -0 | 0 | -0 | 0 | 1 | 0.00 | 0.00 | 0.00 | |
| 1P | 0 | -178 | 44 | -0 | 0 | -0 | -0 | 1 | 0.00 | 0.00 | 0.00 | |
| 2 | 0 | -645 | 114 | 0 | 0 | 0 | 0 | 1 | 0.01 | 0.01 | 0.00 | |
| 1A | 125 | -239 | -24 | 0 | 0 | -0 | -30 | 1 | 0.00 | 0.00 | 0.01 | |
| 1B | 125 | -239 | 80 | 0 | 0 | -0 | 100 | 1 | 0.01 | 0.00 | 0.03 | |
| 1C | 125 | -239 | -24 | -0 | 0 | 0 | -30 | 1 | 0.00 | 0.00 | 0.01 | |
| 1D | 125 | -239 | 80 | -0 | 0 | 0 | 100 | 1 | 0.01 | 0.00 | 0.03 | |
| 1E | 125 | -115 | -24 | 0 | 0 | -0 | -30 | 1 | 0.00 | 0.00 | 0.01 | |
| 1F | 125 | -115 | 80 | 0 | 0 | -0 | 100 | 1 | 0.01 | 0.00 | 0.03 | |
| 1G | 125 | -115 | -24 | -0 | 0 | 0 | -30 | 1 | 0.00 | 0.00 | 0.01 | |
| 1H | 125 | -115 | 80 | -0 | 0 | 0 | 100 | 1 | 0.01 | 0.00 | 0.03 | |
| 1I | 125 | -196 | 13 | 0 | 0 | -0 | 16 | 1 | 0.00 | 0.00 | 0.00 | |
| 1J | 125 | -196 | 44 | 0 | 0 | -0 | 55 | 1 | 0.00 | 0.00 | 0.02 | |
| 1K | 125 | -196 | 13 | -0 | 0 | 0 | 16 | 1 | 0.00 | 0.00 | 0.00 | |
| 1L | 125 | -196 | 44 | -0 | 0 | 0 | 55 | 1 | 0.00 | 0.00 | 0.02 | |
| 1M | 125 | -159 | 13 | 0 | 0 | -0 | 16 | 1 | 0.00 | 0.00 | 0.00 | |
| 1N | 125 | -159 | 44 | 0 | 0 | -0 | 55 | 1 | 0.00 | 0.00 | 0.02 | |
| 1O | 125 | -159 | 13 | -0 | 0 | 0 | 16 | 1 | 0.00 | 0.00 | 0.00 | |
| 1P | 125 | -159 | 44 | -0 | 0 | 0 | 55 | 1 | 0.00 | 0.00 | 0.02 | |
| 2 | 125 | -620 | 114 | 0 | 0 | 0 | 143 | 1 | 0.01 | 0.01 | 0.04 | |
| 1A | 250 | -219 | -24 | 0 | 0 | -0 | -59 | 1 | 0.00 | 0.00 | 0.02 | |
| 1B | 250 | -219 | 80 | 0 | 0 | -0 | 200 | 1 | 0.01 | 0.00 | 0.06 | |
| 1C | 250 | -219 | -24 | -0 | 0 | 0 | -59 | 1 | 0.00 | 0.00 | 0.02 | |
| 1D | 250 | -219 | 80 | -0 | 0 | 0 | 200 | 1 | 0.01 | 0.00 | 0.06 | |
| 1E | 250 | -96 | -24 | 0 | 0 | -0 | -59 | 1 | 0.00 | 0.00 | 0.02 | |
| 1F | 250 | -96 | 80 | 0 | 0 | -0 | 200 | 1 | 0.01 | 0.00 | 0.06 | |
| 1G | 250 | -96 | -24 | -0 | 0 | 0 | -59 | 1 | 0.00 | 0.00 | 0.02 | |
| 1H | 250 | -96 | 80 | -0 | 0 | 0 | 200 | 1 | 0.01 | 0.00 | 0.06 | |
| 1I | 250 | -176 | 13 | 0 | 0 | -0 | 32 | 1 | 0.00 | 0.00 | 0.01 | |
| 1J | 250 | -176 | 44 | 0 | 0 | -0 | 109 | 1 | 0.00 | 0.00 | 0.03 | |
| 1K | 250 | -176 | 13 | -0 | 0 | 0 | 32 | 1 | 0.00 | 0.00 | 0.01 | |
| 1L | 250 | -176 | 44 | -0 | 0 | 0 | 109 | 1 | 0.00 | 0.00 | 0.03 | |
| 1M | 250 | -139 | 13 | 0 | 0 | -0 | 32 | 1 | 0.00 | 0.00 | 0.01 | |
| 1N | 250 | -139 | 44 | 0 | 0 | -0 | 109 | 1 | 0.00 | 0.00 | 0.03 | |
| 1O | 250 | -139 | 13 | -0 | 0 | 0 | 32 | 1 | 0.00 | 0.00 | 0.01 | |
| 1P | 250 | -139 | 44 | -0 | 0 | 0 | 109 | 1 | 0.00 | 0.00 | 0.03 | |
| 2 | 250 | -594 | 114 | 0 | 0 | 0 | 286 | 1 | 0.01 | 0.01 | 0.09 | |

| | | | | | | | | | | | | | |
|---|---|-------|-------|--------|----------------|--------|--------|--------|-------------|--------|--------|---|----------------------|
| BOSI E ASSOCIATI STUDIO DI INGEGNERIA Dott. Ing. Giovanni Bosi Dott. Ing. Donato Musci Dott. Ing. Davide Manenti Dott. Ing. Nazzareno Zingarelli | ISTITUTO ZOOPROFILATTICO SPERIMENTALE DELLA LOMBARDIA E DELL'EMILIA ROMAGNA "BRUNO UBERTINI" | | | | | | | | | | | 98-2023 REALIZZAZIONE AMPLIAMENTO ISTITUTO ZOOPROFILATTICO | |
| | | | | | | | | | | | | | |
| | | | | | | | | | | | | | |
| | | | | | | | | | | | | Pag. 36 di 41 | |
| Verifica di STABILITA' e/o STABILITA' FLESSO TORSIONALE | | | | | | | | | | | | | |
| NC | Fx | My | Mz | Classe | $\chi_{\min.}$ | ky | kz | kLT | χ_{LT} | I.S.n. | I.S.m. | I.S. | Nota |
| -- | -- | -- | -- | -- | -- | -- | -- | -- | -- | -- | -- | -- | |
| -- | daN | daN | daN*m | | | | | | | | | | |
| 1A | -259 | -0 | -59 | 1 | 0.3153 | 1.0837 | 1.0002 | -- | -- | 0.02 | -- | 0.03 | Snell. ' zx' = 136 |
| 1B | -259 | -0 | 200 | 1 | 0.3153 | 1.0837 | 1.0002 | -- | -- | 0.02 | -- | 0.08 | Snell. ' zx' = 136 |
| 1C | -259 | 0 | -59 | 1 | 0.3153 | 1.0837 | 1.0002 | -- | -- | 0.02 | -- | 0.03 | Snell. ' zx' = 136 |
| 1D | -259 | 0 | 200 | 1 | 0.3153 | 1.0837 | 1.0002 | -- | -- | 0.02 | -- | 0.08 | Snell. ' zx' = 136 |
| 1E | -135 | -0 | -59 | 1 | 0.3153 | 1.0437 | 1.0001 | -- | -- | 0.01 | -- | 0.03 | Snell. ' zx' = 136 |
| 1F | -135 | -0 | 200 | 1 | 0.3153 | 1.0437 | 1.0001 | -- | -- | 0.01 | -- | 0.07 | Snell. ' zx' = 136 |
| 1G | -135 | 0 | -59 | 1 | 0.3153 | 1.0437 | 1.0001 | -- | -- | 0.01 | -- | 0.03 | Snell. ' zx' = 136 |
| 1H | -135 | 0 | 200 | 1 | 0.3153 | 1.0437 | 1.0001 | -- | -- | 0.01 | -- | 0.07 | Snell. ' zx' = 136 |
| 1I | -215 | -0 | 32 | 1 | 0.3153 | 1.0697 | 1.0002 | -- | -- | 0.01 | -- | 0.02 | Snell. ' zx' = 136 |
| 1J | -215 | -0 | 109 | 1 | 0.3153 | 1.0697 | 1.0002 | -- | -- | 0.01 | -- | 0.05 | Snell. ' zx' = 136 |
| 1K | -215 | 0 | 32 | 1 | 0.3153 | 1.0697 | 1.0002 | -- | -- | 0.01 | -- | 0.02 | Snell. ' zx' = 136 |
| 1L | -215 | 0 | 109 | 1 | 0.3153 | 1.0697 | 1.0002 | -- | -- | 0.01 | -- | 0.05 | Snell. ' zx' = 136 |
| 1M | -178 | -0 | 32 | 1 | 0.3153 | 1.0577 | 1.0001 | -- | -- | 0.01 | -- | 0.02 | Snell. ' zx' = 136 |
| 1N | -178 | -0 | 109 | 1 | 0.3153 | 1.0577 | 1.0001 | -- | -- | 0.01 | -- | 0.04 | Snell. ' zx' = 136 |
| 1O | -178 | 0 | 32 | 1 | 0.3153 | 1.0577 | 1.0001 | -- | -- | 0.01 | -- | 0.02 | Snell. ' zx' = 136 |
| 1P | -178 | 0 | 109 | 1 | 0.3153 | 1.0577 | 1.0001 | -- | -- | 0.01 | -- | 0.04 | Snell. ' zx' = 136 |
| 2 | -645 | 0 | 286 | 1 | 0.3153 | 1.2087 | 1.0005 | -- | -- | 0.04 | -- | 0.12 | Snell. ' zx' = 136 |
| ASTA NUM. 3 NI 8 NF 5 Lungh. 250.0 cm SEZ. 1 Ps IPE 160 Sollecitazioni di calcolo e di verifica Indici <= 1 : VERIFICATO | | | | | | | | | | | | | |
| NC | x | Fx | Fy | Fz | Mx | My | Mz | Classe | I.V.T. | I.R.n. | I.R. | Nota | |
| -- | cm | --- | daN | --- | --- | daN | daN*m | --- | --- | --- | --- | | |
| -- | | | | | | | | | | | | | |
| 1A | 0 | -457 | -120 | 0 | 0 | 0 | 0 | 1 | 0.01 | 0.01 | 0.00 | | |
| 1B | 0 | -457 | 21 | 0 | 0 | 0 | -0 | 1 | 0.00 | 0.01 | 0.00 | | |
| 1C | 0 | -457 | -120 | -0 | 0 | -0 | 0 | 1 | 0.01 | 0.01 | 0.00 | | |
| 1D | 0 | -457 | 21 | -0 | 0 | -0 | -0 | 1 | 0.00 | 0.01 | 0.00 | | |
| 1E | 0 | -186 | -120 | 0 | 0 | 0 | 0 | 1 | 0.01 | 0.00 | 0.00 | | |
| 1F | 0 | -186 | 21 | 0 | 0 | 0 | -0 | 1 | 0.00 | 0.00 | 0.00 | | |
| 1G | 0 | -186 | -120 | -0 | 0 | -0 | 0 | 1 | 0.01 | 0.00 | 0.00 | | |
| 1H | 0 | -186 | 21 | -0 | 0 | -0 | -0 | 1 | 0.00 | 0.00 | 0.00 | | |
| 1I | 0 | -516 | -71 | 0 | 0 | 0 | 0 | 1 | 0.00 | 0.01 | 0.00 | | |
| 1J | 0 | -516 | -28 | 0 | 0 | 0 | -0 | 1 | 0.00 | 0.01 | 0.00 | | |
| 1K | 0 | -516 | -71 | -0 | 0 | -0 | 0 | 1 | 0.00 | 0.01 | 0.00 | | |
| 1L | 0 | -516 | -28 | -0 | 0 | -0 | -0 | 1 | 0.00 | 0.01 | 0.00 | | |
| 1M | 0 | -127 | -71 | 0 | 0 | 0 | 0 | 1 | 0.00 | 0.00 | 0.00 | | |
| 1N | 0 | -127 | -28 | 0 | 0 | 0 | -0 | 1 | 0.00 | 0.00 | 0.00 | | |
| 1O | 0 | -127 | -71 | -0 | 0 | -0 | 0 | 1 | 0.00 | 0.00 | 0.00 | | |
| 1P | 0 | -127 | -28 | -0 | 0 | -0 | -0 | 1 | 0.00 | 0.00 | 0.00 | | |
| 2 | 0 | -1193 | -219 | -0 | 0 | 0 | 0 | 1 | 0.01 | 0.02 | 0.00 | | |
| 1A | 125 | -437 | -120 | 0 | 0 | -0 | -150 | 1 | 0.01 | 0.01 | 0.05 | | |
| 1B | 125 | -437 | 21 | 0 | 0 | -0 | 26 | 1 | 0.00 | 0.01 | 0.01 | | |
| 1C | 125 | -437 | -120 | -0 | 0 | 0 | -150 | 1 | 0.01 | 0.01 | 0.05 | | |
| 1D | 125 | -437 | 21 | -0 | 0 | 0 | 26 | 1 | 0.00 | 0.01 | 0.01 | | |
| 1E | 125 | -167 | -120 | 0 | 0 | -0 | -150 | 1 | 0.01 | 0.00 | 0.05 | | |
| 1F | 125 | -167 | 21 | 0 | 0 | -0 | 26 | 1 | 0.00 | 0.00 | 0.01 | | |
| 1G | 125 | -167 | -120 | -0 | 0 | 0 | -150 | 1 | 0.01 | 0.00 | 0.05 | | |
| 1H | 125 | -167 | 21 | -0 | 0 | 0 | 26 | 1 | 0.00 | 0.00 | 0.01 | | |
| 1I | 125 | -496 | -71 | 0 | 0 | -0 | -88 | 1 | 0.00 | 0.01 | 0.03 | | |
| 1J | 125 | -496 | -28 | 0 | 0 | -0 | -35 | 1 | 0.00 | 0.01 | 0.01 | | |
| 1K | 125 | -496 | -71 | -0 | 0 | 0 | -88 | 1 | 0.00 | 0.01 | 0.03 | | |
| 1L | 125 | -496 | -28 | -0 | 0 | 0 | -35 | 1 | 0.00 | 0.01 | 0.01 | | |
| 1M | 125 | -108 | -71 | 0 | 0 | -0 | -88 | 1 | 0.00 | 0.00 | 0.03 | | |
| 1N | 125 | -108 | -28 | 0 | 0 | -0 | -35 | 1 | 0.00 | 0.00 | 0.01 | | |
| 1O | 125 | -108 | -71 | -0 | 0 | 0 | -88 | 1 | 0.00 | 0.00 | 0.03 | | |
| 1P | 125 | -108 | -28 | -0 | 0 | 0 | -35 | 1 | 0.00 | 0.00 | 0.01 | | |
| 2 | 125 | -1168 | -219 | -0 | 0 | 0 | -274 | 1 | 0.01 | 0.02 | 0.08 | | |
| 1A | 250 | -417 | -120 | 0 | 0 | -0 | -300 | 1 | 0.01 | 0.01 | 0.09 | | |
| 1B | 250 | -417 | 21 | 0 | 0 | -0 | 52 | 1 | 0.00 | 0.01 | 0.02 | | |
| 1C | 250 | -417 | -120 | -0 | 0 | 0 | -300 | 1 | 0.01 | 0.01 | 0.09 | | |
| 1D | 250 | -417 | 21 | -0 | 0 | 0 | 52 | 1 | 0.00 | 0.01 | 0.02 | | |
| 1E | 250 | -147 | -120 | 0 | 0 | -0 | -300 | 1 | 0.01 | 0.00 | 0.09 | | |
| 1F | 250 | -147 | 21 | 0 | 0 | -0 | 52 | 1 | 0.00 | 0.00 | 0.02 | | |
| 1G | 250 | -147 | -120 | -0 | 0 | 0 | -300 | 1 | 0.01 | 0.00 | 0.09 | | |
| 1H | 250 | -147 | 21 | -0 | 0 | 0 | 52 | 1 | 0.00 | 0.00 | 0.02 | | |
| 1I | 250 | -476 | -71 | 0 | 0 | -0 | -177 | 1 | 0.00 | 0.01 | 0.05 | | |

| | | | | | | | | | | | | | | | | |
|---|---|---|---|--|--|---|---|--|---|---|--|--|---|---|--|---|
| BOSI E ASSOCIATI STUDIO DI INGEGNERIA Dott. Ing. Giovanni Bosi Dott. Ing. Donato Musci Dott. Ing. Davide Manenti Dott. Ing. Nazzareno Zingarelli | ISTITUTO ZOOPROFILATTICO SPERIMENTALE DELLA LOMBARDIA E DELL'EMILIA ROMAGNA "BRUNO UBERTINI" | | | | | | | | | | | 98-2023 | | | | |
| | REALIZZAZIONE AMPLIAMENTO ISTITUTO ZOOPROFILATTICO | | | | | | | | | | | REALIZZAZIONE DI CALCOLO TETTOIA METALLICA | | | | |
| | | | | | | | | | | | | | | | | |
| | Pag. 37 di 41 | | | | | | | | | | | | | | | |
| 1J 250 -476 -28 0 0 -0 -71 1 0.00 0.01 0.02 | 1K 250 -476 -71 -0 0 0 -177 1 0.00 0.01 0.05 | 1L 250 -476 -28 -0 0 0 -71 1 0.00 0.01 0.02 | 1M 250 -88 -71 0 0 -0 -177 1 0.00 0.00 0.05 | 1N 250 -88 -28 0 0 0 -71 1 0.00 0.00 0.02 | 1O 250 -88 -71 -0 0 0 -177 1 0.00 0.00 0.05 | 1P 250 -88 -28 -0 0 0 -71 1 0.00 0.00 0.02 | 2 250 -1142 -219 -0 0 0 -548 1 0.01 0.02 0.17 | | | | | | | | | |
| Verifica di STABILITA' e/o STABILITA' FLESSO TORSIONALE | | | | | | | | | | | | | | | | |
| NC Fx My Mz Classe $\chi_{min.}$ ky kz kLT χ_{LT} I.S.n. I.S.m. I.S. Nota | -- | -- | -- | -- | -- | -- | -- | -- | -- | -- | -- | -- | | | | |
| daN daN*m | | | | | | | | | | | | | | | | |
| 1A -457 -0 -300 1 0.3153 1.1477 1.0003 -- -- 0.03 -- 0.12 Snell. 'zx'= 136 | 1B -457 -0 52 1 0.3153 1.1477 1.0003 -- -- 0.03 -- 0.04 Snell. 'zx'= 136 | 1C -457 0 -300 1 0.3153 1.1477 1.0003 -- -- 0.03 -- 0.12 Snell. 'zx'= 136 | 1D -457 0 52 1 0.3153 1.1477 1.0003 -- -- 0.03 -- 0.04 Snell. 'zx'= 136 | 1E -186 -0 -300 1 0.3153 1.0603 1.0001 -- -- 0.01 -- 0.10 Snell. 'zx'= 136 | 1F -186 -0 52 1 0.3153 1.0603 1.0001 -- -- 0.01 -- 0.03 Snell. 'zx'= 136 | 1G -186 0 -300 1 0.3153 1.0603 1.0001 -- -- 0.01 -- 0.10 Snell. 'zx'= 136 | 1H -186 0 52 1 0.3153 1.0603 1.0001 -- -- 0.01 -- 0.03 Snell. 'zx'= 136 | 1I -516 -0 -177 1 0.3153 1.1668 1.0004 -- -- 0.03 -- 0.08 Snell. 'zx'= 136 | 1J -516 -0 -71 1 0.3153 1.1668 1.0004 -- -- 0.03 -- 0.05 Snell. 'zx'= 136 | 1K -516 0 -177 1 0.3153 1.1668 1.0004 -- -- 0.03 -- 0.08 Snell. 'zx'= 136 | 1L -516 0 -71 1 0.3153 1.1668 1.0004 -- -- 0.03 -- 0.05 Snell. 'zx'= 136 | 1M -127 -0 -177 1 0.3153 1.0412 1.0001 -- -- 0.01 -- 0.06 Snell. 'zx'= 136 | 1N -127 -0 -71 1 0.3153 1.0412 1.0001 -- -- 0.01 -- 0.03 Snell. 'zx'= 136 | 1O -127 0 -177 1 0.3153 1.0412 1.0001 -- -- 0.01 -- 0.06 Snell. 'zx'= 136 | 1P -127 0 -71 1 0.3153 1.0412 1.0001 -- -- 0.01 -- 0.03 Snell. 'zx'= 136 | 2 -1193 0 -547 1 0.3153 1.3859 1.0009 -- -- 0.07 -- 0.24 Snell. 'zx'= 136 |
| ASTA NUM. 4 NI 7 NF 6 Lungh. 250.0 cm SEZ. 1 Ps IPE 160 | Sollecitazioni di calcolo e di verifica | | | | | | | | | | | | Indici <= 1 : VERIFICATO | | | |
| NC x Fx Fy Fz Mx My Mz Classe I.V.T. I.R.n. I.R. Nota | -- | -- | -- | -- | -- | -- | -- | -- | -- | -- | -- | -- | | | | |
| cm daN daN*m | | | | | | | | | | | | | | | | |
| 1A 0 -457 -21 0 0 0 0 1 0.00 0.01 0.00 | 1B 0 -457 120 0 0 0 -0 1 0.01 0.01 0.00 | 1C 0 -457 -21 -0 0 -0 0 1 0.00 0.01 0.00 | 1D 0 -457 120 -0 0 -0 -0 1 0.01 0.01 0.00 | 1E 0 -186 -21 0 0 0 0 1 0.00 0.00 0.00 | 1F 0 -186 120 0 0 0 -0 1 0.01 0.00 0.00 | 1G 0 -186 -21 0 0 -0 0 1 0.00 0.00 0.00 | 1H 0 -186 120 -0 0 -0 -0 1 0.01 0.00 0.00 | 1I 0 -516 28 0 0 0 0 1 0.00 0.01 0.00 | 1J 0 -516 71 0 0 0 -0 1 0.00 0.01 0.00 | 1K 0 -516 28 -0 0 -0 0 1 0.00 0.01 0.00 | 1L 0 -516 71 -0 0 -0 -0 1 0.00 0.01 0.00 | 1M 0 -127 28 0 0 0 0 1 0.00 0.00 0.00 | 1N 0 -127 71 0 0 0 -0 1 0.00 0.00 0.00 | 1O 0 -127 28 -0 0 -0 0 1 0.00 0.00 0.00 | 1P 0 -127 71 -0 0 -0 -0 1 0.00 0.00 0.00 | 2 0 -1193 219 0 0 0 0 1 0.01 0.02 0.00 |
| 1A 125 -437 -21 0 0 -0 -26 1 0.00 0.01 0.01 | 1B 125 -437 120 0 0 -0 150 1 0.01 0.01 0.05 | 1C 125 -437 -21 -0 0 0 -26 1 0.00 0.01 0.01 | 1D 125 -437 120 -0 0 0 150 1 0.01 0.01 0.05 | 1E 125 -167 -21 0 0 -0 -26 1 0.00 0.00 0.01 | 1F 125 -167 120 0 0 -0 150 1 0.01 0.00 0.05 | 1G 125 -167 -21 0 0 0 -26 1 0.00 0.00 0.01 | 1H 125 -167 120 -0 0 0 150 1 0.01 0.00 0.05 | 1I 125 -496 28 0 0 -0 35 1 0.00 0.01 0.01 | 1J 125 -496 71 0 0 -0 88 1 0.00 0.01 0.03 | 1K 125 -496 28 -0 0 0 35 1 0.00 0.01 0.01 | 1L 125 -496 71 -0 0 0 88 1 0.00 0.01 0.03 | 1M 125 -108 28 0 0 -0 35 1 0.00 0.00 0.01 | 1N 125 -108 71 0 0 -0 88 1 0.00 0.00 0.03 | 1O 125 -108 28 -0 0 0 35 1 0.00 0.00 0.01 | 1P 125 -108 71 -0 0 0 88 1 0.00 0.00 0.03 | 2 125 -1168 219 0 0 -0 274 1 0.01 0.02 0.08 |

| | | | | | | | | | | | | | | | | | |
|---|---|---|--|--|---|---|--|--|--|---|---|--|--|---|---|--|---|
| BOSI E ASSOCIATI STUDIO DI INGEGNERIA Dott. Ing. Giovanni Bosi Dott. Ing. Donato Musci Dott. Ing. Davide Manenti Dott. Ing. Nazzareno Zingarelli | ISTITUTO ZOOPROFILATTICO SPERIMENTALE DELLA LOMBARDIA E DELL'EMILIA ROMAGNA “BRUNO UBERTINI” | | | | | | | | | | 98-2023 | | | | | | |
| | REALIZZAZIONE AMPLIAMENTO ISTITUTO ZOOPROFILATTICO | | | | | | | | | | REALIZZAZIONE DI CALCOLO TETTOIA METALLICA | | | | | | |
| | | | | | | | | | | | | | | | | | |
| | Pag. 38 di 41 | | | | | | | | | | | | | | | | |
| 1A 250 -417 -21 0 0 -0 -52 1 0.00 0.01 0.02 | 1B 250 -417 120 0 0 -0 300 1 0.01 0.01 0.09 | 1C 250 -417 -21 -0 0 0 -52 1 0.00 0.01 0.02 | 1D 250 -417 120 -0 0 0 300 1 0.01 0.01 0.09 | 1E 250 -147 -21 0 0 -0 -52 1 0.00 0.00 0.02 | 1F 250 -147 120 0 0 -0 300 1 0.01 0.00 0.09 | 1G 250 -147 -21 -0 0 0 -52 1 0.00 0.00 0.02 | 1H 250 -147 120 -0 0 0 300 1 0.01 0.00 0.09 | 1I 250 -476 28 0 0 -0 71 1 0.00 0.01 0.02 | 1J 250 -476 71 0 0 -0 177 1 0.00 0.01 0.05 | 1K 250 -476 28 -0 0 0 71 1 0.00 0.01 0.02 | 1L 250 -476 71 -0 0 0 177 1 0.00 0.01 0.05 | 1M 250 -88 28 0 0 -0 71 1 0.00 0.00 0.02 | 1N 250 -88 71 0 0 -0 177 1 0.00 0.00 0.05 | 1O 250 -88 28 -0 0 0 71 1 0.00 0.00 0.02 | 1P 250 -88 71 -0 0 0 177 1 0.00 0.00 0.05 | 2 250 -1142 219 0 0 -0 548 1 0.01 0.02 0.17 | |
| Verifica di STABILITA' e/o STABILITA' FLESSO TORSIONALE | | | | | | | | | | | | | | | | | |
| ----- | NC | Fx | My | Mz | Classe | $\chi_{min.}$ | ky | kz | kLT | χ_{LT} | I.S.n. | I.S.m. | I.S. | Nota | | | |
| ----- | -- | -- | -- | -- | -- | -- | -- | -- | -- | -- | -- | -- | -- | | | | |
| daN | | | daN*m | | | | | | | | | | | | | | |
| ----- | 1A -457 -0 -52 1 0.3153 1.1477 1.0003 -- -- 0.03 -- 0.04 Snell. 'zx'= 136 | 1B -457 -0 300 1 0.3153 1.1477 1.0003 -- -- 0.03 -- 0.12 Snell. 'zx'= 136 | 1C -457 0 -52 1 0.3153 1.1477 1.0003 -- -- 0.03 -- 0.04 Snell. 'zx'= 136 | 1D -457 0 300 1 0.3153 1.1477 1.0003 -- -- 0.03 -- 0.12 Snell. 'zx'= 136 | 1E -186 -0 -52 1 0.3153 1.0603 1.0001 -- -- 0.01 -- 0.03 Snell. 'zx'= 136 | 1F -186 -0 300 1 0.3153 1.0603 1.0001 -- -- 0.01 -- 0.10 Snell. 'zx'= 136 | 1G -186 0 -52 1 0.3153 1.0603 1.0001 -- -- 0.01 -- 0.03 Snell. 'zx'= 136 | 1H -186 0 300 1 0.3153 1.0603 1.0001 -- -- 0.01 -- 0.10 Snell. 'zx'= 136 | 1I -516 -0 71 1 0.3153 1.1668 1.0004 -- -- 0.03 -- 0.05 Snell. 'zx'= 136 | 1J -516 -0 177 1 0.3153 1.1668 1.0004 -- -- 0.03 -- 0.08 Snell. 'zx'= 136 | 1K -516 0 71 1 0.3153 1.1668 1.0004 -- -- 0.03 -- 0.05 Snell. 'zx'= 136 | 1L -516 0 177 1 0.3153 1.1668 1.0004 -- -- 0.03 -- 0.08 Snell. 'zx'= 136 | 1M -127 -0 71 1 0.3153 1.0412 1.0001 -- -- 0.01 -- 0.03 Snell. 'zx'= 136 | 1N -127 -0 177 1 0.3153 1.0412 1.0001 -- -- 0.01 -- 0.06 Snell. 'zx'= 136 | 1O -127 0 71 1 0.3153 1.0412 1.0001 -- -- 0.01 -- 0.03 Snell. 'zx'= 136 | 1P -127 0 177 1 0.3153 1.0412 1.0001 -- -- 0.01 -- 0.06 Snell. 'zx'= 136 | 2 -1193 -0 547 1 0.3153 1.3859 1.0009 -- -- 0.07 -- 0.24 Snell. 'zx'= 136 |
| ASTA NUM. 5 NI 11 NF 10 Lungh. 250.0 cm SEZ. 1 Ps IPE 160 | Sollecitazioni di calcolo e di verifica | | | | | | | | | | Indici <= 1 : VERIFICATO | | | | | | |
| ----- | NC | x | Fx | Fy | Fz | Mx | My | Mz | Classe | I.V.T. | I.R.n. | I.R. | Nota | | | | |
| ----- | -- | -- | -- | -- | -- | -- | -- | -- | -- | -- | -- | -- | -- | | | | |
| cm | | | daN | | | | daN*m | | | | | | | | | | |
| ----- | 1A 0 -259 -24 0 0 0 0 1 0.00 0.00 0.00 | 1B 0 -259 80 0 0 0 -0 1 0.01 0.00 0.00 | 1C 0 -259 -24 -0 0 0 0 1 0.00 0.00 0.00 | 1D 0 -259 80 -0 0 -0 0 1 0.01 0.00 0.00 | 1E 0 -135 -24 0 0 0 0 1 0.00 0.00 0.00 | 1F 0 -135 80 0 0 0 -0 1 0.01 0.00 0.00 | 1G 0 -135 -24 -0 0 0 0 1 0.00 0.00 0.00 | 1H 0 -135 80 -0 0 -0 0 1 0.01 0.00 0.00 | 1I 0 -215 13 0 0 0 0 1 0.00 0.00 0.00 | 1J 0 -215 44 0 0 0 -0 1 0.00 0.00 0.00 | 1K 0 -215 13 -0 0 0 0 1 0.00 0.00 0.00 | 1L 0 -215 44 -0 0 -0 0 1 0.00 0.00 0.00 | 1M 0 -178 13 0 0 0 0 1 0.00 0.00 0.00 | 1N 0 -178 44 0 0 0 -0 1 0.00 0.00 0.00 | 1O 0 -178 13 -0 0 0 0 1 0.00 0.00 0.00 | 1P 0 -178 44 -0 0 -0 0 1 0.00 0.00 0.00 | 2 0 -645 114 0 0 0 0 1 0.01 0.01 0.00 |
| 1A 125 -239 -24 0 0 -0 -29 1 0.00 0.00 0.01 | 1B 125 -239 80 0 0 -0 100 1 0.01 0.00 0.03 | 1C 125 -239 -24 -0 0 0 -29 1 0.00 0.00 0.01 | 1D 125 -239 80 -0 0 0 100 1 0.01 0.00 0.03 | 1E 125 -116 -24 0 0 -0 -29 1 0.00 0.00 0.01 | 1F 125 -116 80 0 0 -0 100 1 0.01 0.00 0.03 | 1G 125 -116 -24 -0 0 0 -29 1 0.00 0.00 0.01 | 1H 125 -116 80 -0 0 0 100 1 0.01 0.00 0.03 | 1I 125 -196 13 0 0 -0 16 1 0.00 0.00 0.00 | | | | | | | | | |

| | | | | | | | | | | | | | | | | |
|---|---|--|--|---|---|--|--|--|---|---|--|---|---|---|--|--|
| BOSI E ASSOCIATI STUDIO DI INGEGNERIA Dott. Ing. Giovanni Bosi Dott. Ing. Donato Musci Dott. Ing. Davide Manenti Dott. Ing. Nazzareno Zingarelli | ISTITUTO ZOOPROFILATTICO SPERIMENTALE DELLA LOMBARDIA E DELL'EMILIA ROMAGNA “BRUNO UBERTINI” | | | | | | | | | | | 98-2023 REALIZZAZIONE AMPLIAMENTO ISTITUTO ZOOPROFILATTICO | | | | |
| | | | | | | | | | | | | | | | | |
| | | | | | | | | | | | | | | | | |
| | | | | | | | | | | | | | | | | |
| | | | | | | | | | | | | Pag. 39 di 41 | | | | |
| 1J 125 -196 44 0 0 -0 55 1 0.00 0.00 0.02 | 1K 125 -196 13 -0 0 0 16 1 0.00 0.00 0.00 | 1L 125 -196 44 -0 0 0 55 1 0.00 0.00 0.02 | 1M 125 -159 13 0 0 -0 16 1 0.00 0.00 0.00 | 1N 125 -159 44 0 0 -0 55 1 0.00 0.00 0.02 | 1O 125 -159 13 -0 0 0 16 1 0.00 0.00 0.00 | 1P 125 -159 44 -0 0 0 55 1 0.00 0.00 0.02 | 2 125 -620 114 0 0 -0 143 1 0.01 0.01 0.04 | | | | | | | | | |
| 1A 250 -219 -24 0 0 -0 -59 1 0.00 0.00 0.02 | 1B 250 -219 80 0 0 -0 200 1 0.01 0.00 0.06 | 1C 250 -219 -24 -0 0 0 -59 1 0.00 0.00 0.02 | 1D 250 -219 80 -0 0 0 200 1 0.01 0.00 0.06 | 1E 250 -96 -24 0 0 -0 -59 1 0.00 0.00 0.02 | 1F 250 -96 80 0 0 -0 200 1 0.01 0.00 0.06 | 1G 250 -96 -24 -0 0 0 -59 1 0.00 0.00 0.02 | 1H 250 -96 80 -0 0 0 200 1 0.01 0.00 0.06 | 1I 250 -176 13 0 0 -0 32 1 0.00 0.00 0.01 | 1J 250 -176 44 0 0 -0 109 1 0.00 0.00 0.03 | 1K 250 -176 13 -0 0 0 32 1 0.00 0.00 0.01 | 1L 250 -176 44 -0 0 0 109 1 0.00 0.00 0.03 | 1M 250 -139 13 0 0 -0 32 1 0.00 0.00 0.01 | 1N 250 -139 44 0 0 -0 109 1 0.00 0.00 0.03 | 1O 250 -139 13 -0 0 0 32 1 0.00 0.00 0.01 | 1P 250 -139 44 -0 0 0 109 1 0.00 0.00 0.03 | 2 250 -594 114 0 0 -0 286 1 0.01 0.01 0.09 |
| Verifica di STABILITA' e/o STABILITA' FLESSO TORSIONALE | | | | | | | | | | | | | | | | |
| NC Fx My Mz Classe $\chi_{min.}$ ky kz kLT χ_{LT} I.S.n. I.S.m. I.S. Nota | -- daN | -- daN*m | | | | | | | | | | | | | | |
| 1A -259 -0 -59 1 0.3153 1.0836 1.0002 -- -- 0.02 -- 0.03 Snell. 'zx'= 136 | 1B -259 -0 200 1 0.3153 1.0836 1.0002 -- -- 0.02 -- 0.08 Snell. 'zx'= 136 | 1C -259 0 -59 1 0.3153 1.0836 1.0002 -- -- 0.02 -- 0.03 Snell. 'zx'= 136 | 1D -259 0 200 1 0.3153 1.0836 1.0002 -- -- 0.02 -- 0.08 Snell. 'zx'= 136 | 1E -135 -0 -59 1 0.3153 1.0437 1.0001 -- -- 0.01 -- 0.03 Snell. 'zx'= 136 | 1F -135 -0 200 1 0.3153 1.0437 1.0001 -- -- 0.01 -- 0.07 Snell. 'zx'= 136 | 1G -135 0 -59 1 0.3153 1.0437 1.0001 -- -- 0.01 -- 0.03 Snell. 'zx'= 136 | 1H -135 0 200 1 0.3153 1.0437 1.0001 -- -- 0.01 -- 0.07 Snell. 'zx'= 136 | 1I -215 -0 32 1 0.3153 1.0697 1.0002 -- -- 0.01 -- 0.02 Snell. 'zx'= 136 | 1J -215 -0 109 1 0.3153 1.0697 1.0002 -- -- 0.01 -- 0.05 Snell. 'zx'= 136 | 1K -215 0 32 1 0.3153 1.0697 1.0002 -- -- 0.01 -- 0.02 Snell. 'zx'= 136 | 1L -215 0 109 1 0.3153 1.0697 1.0002 -- -- 0.01 -- 0.05 Snell. 'zx'= 136 | 1M -178 -0 32 1 0.3153 1.0577 1.0001 -- -- 0.01 -- 0.02 Snell. 'zx'= 136 | 1N -178 -0 109 1 0.3153 1.0577 1.0001 -- -- 0.01 -- 0.04 Snell. 'zx'= 136 | 1O -178 0 32 1 0.3153 1.0577 1.0001 -- -- 0.01 -- 0.02 Snell. 'zx'= 136 | 1P -178 0 109 1 0.3153 1.0577 1.0001 -- -- 0.01 -- 0.04 Snell. 'zx'= 136 | 2 -645 -0 286 1 0.3153 1.2087 1.0005 -- -- 0.04 -- 0.12 Snell. 'zx'= 136 |
| ASTA NUM. 6 NI 12 NF 9 Lungh. 250.0 cm SEZ. 1 Ps IPE 160 | Sollecitazioni di calcolo e di verifica | | | | | | | | | | | Indici <= 1 : VERIFICATO | | | | |
| NC x Fx Fy Fz Mx My Mz Classe I.V.T. I.R.n. I.R. Nota | -- cm | -- daN | -- daN*m | | | | | | | | | | | | | |
| 1A 0 -259 -80 0 0 0 0 1 0.01 0.00 0.00 | 1B 0 -259 24 0 0 0 -0 1 0.00 0.00 0.00 | 1C 0 -259 -80 -0 0 -0 0 1 0.01 0.00 0.00 | 1D 0 -259 24 -0 0 -0 -0 1 0.00 0.00 0.00 | 1E 0 -135 -80 0 0 0 0 1 0.01 0.00 0.00 | 1F 0 -135 24 0 0 0 -0 1 0.00 0.00 0.00 | 1G 0 -135 -80 -0 0 -0 0 1 0.01 0.00 0.00 | 1H 0 -135 24 -0 0 -0 -0 1 0.00 0.00 0.00 | 1I 0 -215 -44 0 0 0 0 1 0.00 0.00 0.00 | 1J 0 -215 -13 0 0 0 -0 1 0.00 0.00 0.00 | 1K 0 -215 -44 -0 0 -0 0 1 0.00 0.00 0.00 | 1L 0 -215 -13 -0 0 -0 -0 1 0.00 0.00 0.00 | 1M 0 -178 -44 0 0 0 0 1 0.00 0.00 0.00 | 1N 0 -178 -13 0 0 0 -0 1 0.00 0.00 0.00 | 1O 0 -178 -44 -0 0 -0 0 1 0.00 0.00 0.00 | 1P 0 -178 -13 -0 0 -0 -0 1 0.00 0.00 0.00 | 2 0 -645 -114 -0 0 0 0 1 0.01 0.01 0.00 |

| | | |
|---|---|---|
| BOSI E ASSOCIATI STUDIO DI INGEGNERIA Dott. Ing. Giovanni Bosi Dott. Ing. Donato Musci Dott. Ing. Davide Manenti Dott. Ing. Nazzareno Zingarelli | ISTITUTO ZOOPROFILATTICO SPERIMENTALE DELLA LOMBARDIA E DELL'EMILIA ROMAGNA "BRUNO UBERTINI" | 98-2023 |
| | REALIZZAZIONE AMPLIAMENTO ISTITUTO ZOOPROFILATTICO | REALIZZAZIONE DI CALCOLO TETTOIA METALLICA |
| | | Pag. 40 di 41 |
| | | |

| | | | | | | | | | | | |
|----|-----|------|------|----|---|----|------|---|------|------|------|
| 1A | 125 | -239 | -80 | 0 | 0 | -0 | -100 | 1 | 0.01 | 0.00 | 0.03 |
| 1B | 125 | -239 | 24 | 0 | 0 | -0 | 29 | 1 | 0.00 | 0.00 | 0.01 |
| 1C | 125 | -239 | -80 | -0 | 0 | 0 | -100 | 1 | 0.01 | 0.00 | 0.03 |
| 1D | 125 | -239 | 24 | -0 | 0 | 0 | 29 | 1 | 0.00 | 0.00 | 0.01 |
| 1E | 125 | -116 | -80 | 0 | 0 | -0 | -100 | 1 | 0.01 | 0.00 | 0.03 |
| 1F | 125 | -116 | 24 | 0 | 0 | -0 | 29 | 1 | 0.00 | 0.00 | 0.01 |
| 1G | 125 | -116 | -80 | -0 | 0 | 0 | -100 | 1 | 0.01 | 0.00 | 0.03 |
| 1H | 125 | -116 | 24 | -0 | 0 | 0 | 29 | 1 | 0.00 | 0.00 | 0.01 |
| 1I | 125 | -196 | -44 | 0 | 0 | -0 | -55 | 1 | 0.00 | 0.00 | 0.02 |
| 1J | 125 | -196 | -13 | 0 | 0 | -0 | -16 | 1 | 0.00 | 0.00 | 0.00 |
| 1K | 125 | -196 | -44 | -0 | 0 | 0 | -55 | 1 | 0.00 | 0.00 | 0.02 |
| 1L | 125 | -196 | -13 | -0 | 0 | 0 | -16 | 1 | 0.00 | 0.00 | 0.00 |
| 1M | 125 | -159 | -44 | 0 | 0 | -0 | -55 | 1 | 0.00 | 0.00 | 0.02 |
| 1N | 125 | -159 | -13 | 0 | 0 | -0 | -16 | 1 | 0.00 | 0.00 | 0.00 |
| 1O | 125 | -159 | -44 | -0 | 0 | 0 | -55 | 1 | 0.00 | 0.00 | 0.02 |
| 1P | 125 | -159 | -13 | -0 | 0 | 0 | -16 | 1 | 0.00 | 0.00 | 0.00 |
| 2 | 125 | -620 | -114 | -0 | 0 | 0 | -143 | 1 | 0.01 | 0.01 | 0.04 |
| 1A | 250 | -219 | -80 | 0 | 0 | -0 | -200 | 1 | 0.01 | 0.00 | 0.06 |
| 1B | 250 | -219 | 24 | 0 | 0 | -0 | 59 | 1 | 0.00 | 0.00 | 0.02 |
| 1C | 250 | -219 | -80 | -0 | 0 | 0 | -200 | 1 | 0.01 | 0.00 | 0.06 |
| 1D | 250 | -219 | 24 | -0 | 0 | 0 | 59 | 1 | 0.00 | 0.00 | 0.02 |
| 1E | 250 | -96 | -80 | 0 | 0 | -0 | -200 | 1 | 0.01 | 0.00 | 0.06 |
| 1F | 250 | -96 | 24 | 0 | 0 | -0 | 59 | 1 | 0.00 | 0.00 | 0.02 |
| 1G | 250 | -96 | -80 | -0 | 0 | 0 | -200 | 1 | 0.01 | 0.00 | 0.06 |
| 1H | 250 | -96 | 24 | -0 | 0 | 0 | 59 | 1 | 0.00 | 0.00 | 0.02 |
| 1I | 250 | -176 | -44 | 0 | 0 | -0 | -109 | 1 | 0.00 | 0.00 | 0.03 |
| 1J | 250 | -176 | -13 | 0 | 0 | -0 | -32 | 1 | 0.00 | 0.00 | 0.01 |
| 1K | 250 | -176 | -44 | -0 | 0 | 0 | -109 | 1 | 0.00 | 0.00 | 0.03 |
| 1L | 250 | -176 | -13 | -0 | 0 | 0 | -32 | 1 | 0.00 | 0.00 | 0.01 |
| 1M | 250 | -139 | -44 | 0 | 0 | -0 | -109 | 1 | 0.00 | 0.00 | 0.03 |
| 1N | 250 | -139 | -13 | 0 | 0 | -0 | -32 | 1 | 0.00 | 0.00 | 0.01 |
| 1O | 250 | -139 | -44 | -0 | 0 | 0 | -109 | 1 | 0.00 | 0.00 | 0.03 |
| 1P | 250 | -139 | -13 | -0 | 0 | 0 | -32 | 1 | 0.00 | 0.00 | 0.01 |
| 2 | 250 | -594 | -114 | -0 | 0 | 0 | -286 | 1 | 0.01 | 0.01 | 0.09 |

Verifica di STABILITA' e/o STABILITA' FLESSO TORSIONALE

| NC | Fx | My | Mz | Classe | $\chi_{min.}$ | ky | kz | kLT | χ_{LT} | I.S.n. | I.S.m. | I.S. | Nota |
|-----|------|----|-------|--------|---------------|--------|--------|-----|-------------|--------|--------|------|------------------|
| -- | -- | -- | -- | -- | -- | -- | -- | -- | -- | -- | -- | -- | -- |
| daN | | | daN*m | | | | | | | | | | |
| 1A | -259 | -0 | -200 | 1 | 0.3153 | 1.0836 | 1.0002 | -- | -- | 0.02 | -- | 0.08 | Snell. 'zx'= 136 |
| 1B | -259 | -0 | 59 | 1 | 0.3153 | 1.0836 | 1.0002 | -- | -- | 0.02 | -- | 0.03 | Snell. 'zx'= 136 |
| 1C | -259 | 0 | -200 | 1 | 0.3153 | 1.0836 | 1.0002 | -- | -- | 0.02 | -- | 0.08 | Snell. 'zx'= 136 |
| 1D | -259 | 0 | 59 | 1 | 0.3153 | 1.0836 | 1.0002 | -- | -- | 0.02 | -- | 0.03 | Snell. 'zx'= 136 |
| 1E | -135 | -0 | -200 | 1 | 0.3153 | 1.0437 | 1.0001 | -- | -- | 0.01 | -- | 0.07 | Snell. 'zx'= 136 |
| 1F | -135 | -0 | 59 | 1 | 0.3153 | 1.0437 | 1.0001 | -- | -- | 0.01 | -- | 0.03 | Snell. 'zx'= 136 |
| 1G | -135 | 0 | -200 | 1 | 0.3153 | 1.0437 | 1.0001 | -- | -- | 0.01 | -- | 0.07 | Snell. 'zx'= 136 |
| 1H | -135 | 0 | 59 | 1 | 0.3153 | 1.0437 | 1.0001 | -- | -- | 0.01 | -- | 0.03 | Snell. 'zx'= 136 |
| 1I | -215 | -0 | -109 | 1 | 0.3153 | 1.0697 | 1.0002 | -- | -- | 0.01 | -- | 0.05 | Snell. 'zx'= 136 |
| 1J | -215 | -0 | -32 | 1 | 0.3153 | 1.0697 | 1.0002 | -- | -- | 0.01 | -- | 0.02 | Snell. 'zx'= 136 |
| 1K | -215 | 0 | -109 | 1 | 0.3153 | 1.0697 | 1.0002 | -- | -- | 0.01 | -- | 0.05 | Snell. 'zx'= 136 |
| 1L | -215 | 0 | -32 | 1 | 0.3153 | 1.0697 | 1.0002 | -- | -- | 0.01 | -- | 0.02 | Snell. 'zx'= 136 |
| 1M | -178 | -0 | -109 | 1 | 0.3153 | 1.0577 | 1.0001 | -- | -- | 0.01 | -- | 0.04 | Snell. 'zx'= 136 |
| 1N | -178 | -0 | -32 | 1 | 0.3153 | 1.0577 | 1.0001 | -- | -- | 0.01 | -- | 0.02 | Snell. 'zx'= 136 |
| 1O | -178 | 0 | -109 | 1 | 0.3153 | 1.0577 | 1.0001 | -- | -- | 0.01 | -- | 0.04 | Snell. 'zx'= 136 |
| 1P | -178 | 0 | -32 | 1 | 0.3153 | 1.0577 | 1.0001 | -- | -- | 0.01 | -- | 0.02 | Snell. 'zx'= 136 |
| 2 | -645 | 0 | -286 | 1 | 0.3153 | 1.2087 | 1.0005 | -- | -- | 0.04 | -- | 0.12 | Snell. 'zx'= 136 |

L'azione massima sui controventi è pari a 220 daN

L'azione resistente massima è pari a $1.13 \cdot 0.72 \cdot 2750 / 1.05 = 2130$ daN

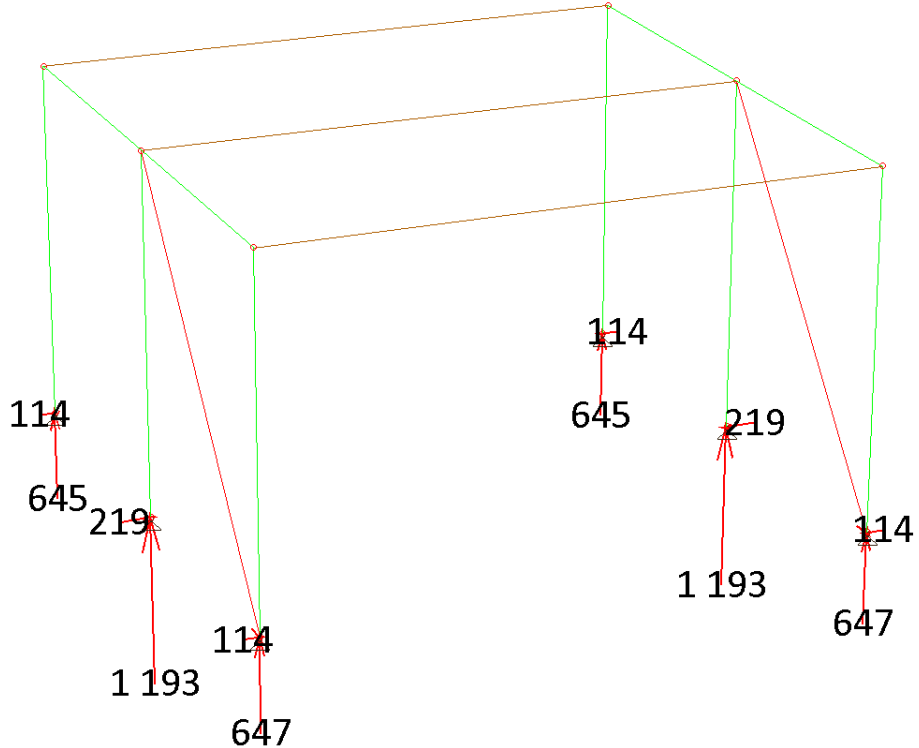


Figura 3 - reazioni vincolari, inviluppo [daN]

Si riporta di seguito la verifica di nodo tipologico di base dell'ipotesi di collegamento a cordolo esistente in c.a.



Progetto

Codice di riferimento

Ufficio progettazione

Persona incaricata

Ufficio costruzioni

Persona incaricata

Materiale base

Non fessurato Calcestruzzo

Spessore materiale base 200 mm

Classe resistenza C20/25

 $f_{ck,cube}$ 25 N/mm²

Temp.breve termine 40 °C

Temp.lungo termine 24 °C

Vertici piastra

| Vertice | x | y |
|---------|--------|--------|
| 1 | -125,0 | -125,0 |
| 2 | -125,0 | 125,0 |
| 3 | 125,0 | 125,0 |
| 4 | 125,0 | -125,0 |

Installazione

Nessun braccio di leva

Piastra ancoraggio

Ipotesi di piastra rigida

Spessore della piastra 10 mm

Forma piastra Rettangolare

Lunghezza lato 250 x 250 mm

Posizione ancoranti

| Ancorante | x | y | Asole -x | Asole -y |
|-----------|-------|-------|--------------------------|-------------------------------------|
| 1 | -75,0 | 75,0 | <input type="checkbox"/> | <input checked="" type="checkbox"/> |
| 2 | 75,0 | 75,0 | <input type="checkbox"/> | <input checked="" type="checkbox"/> |
| 3 | -75,0 | -75,0 | <input type="checkbox"/> | <input checked="" type="checkbox"/> |
| 4 | 75,0 | -75,0 | <input type="checkbox"/> | <input checked="" type="checkbox"/> |

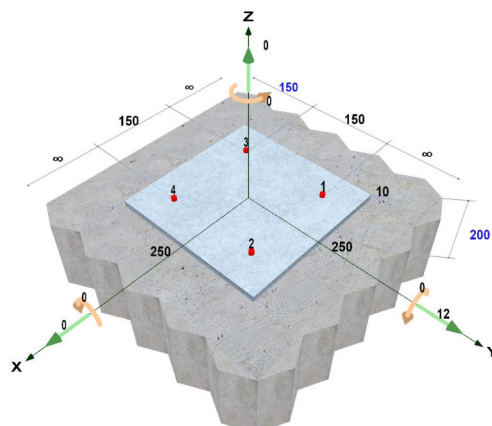
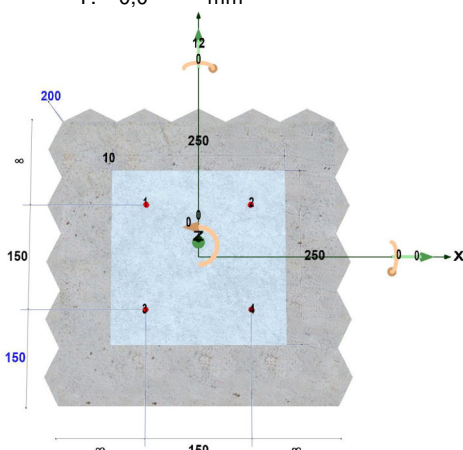
= Asole

Profilo

Profilo selezionato Non è stato impostato nessun profilo

Eccentricità X: 0,0 mm

Y: 0,0 mm





BOSSONG S.p.A. - Via E. Fermi, 49/51 (Z.I.2) - 24050 GRASSOBBIO (BG) Italy
Tel +39 035 3846 011 - Info@bossong.com - www.bossong.com

Progetto

Codice di riferimento
Ufficio progettazione
Persona incaricata
Ufficio costruzioni
Persona incaricata

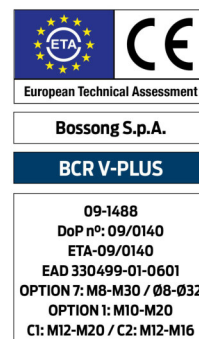
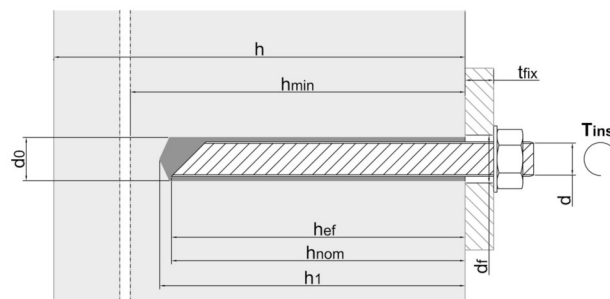
Prodotto selezionato

| | |
|------------------------|--------------------------------|
| Ancorante (nome) | BCR V PLUS/W/T + 5.8 - Chimico |
| Certificazione | ETA-09/0140 |
| Dimensione | BCR V PLUS/W/T - M12/5.8 |
| Codice articolo | - |
| Rivestimento/Materiale | Zincato |

- MATERIALE:

- Resina vinilestere bicomponente senza stirene
- Barre filettate classe 5.8
- TIPOLOGIA ANCORANTE:

- Ancorante chimico disponibile nei formati:
825 ml, 400 ml, 345 ml, 300 ml, 165 ml



Dati installazione

| | | | | | | | |
|------------------|-------------------------------------|-------|----|-------------------|-------------------------------------|-------|-----------------------|
| d | Diametro filettatura ancorante: | 12,0 | mm | t _{fix} | Spessore fissabile: | 10,0 | mm |
| d _{nom} | Diametro esterno ancorante: | 12,0 | mm | SW | Chiave: | 19,0 | mm |
| d ₀ | Diametro del foro: | 14,0 | mm | T _{inst} | Coppia di serraggio massima | 40,0 | Nm |
| h ₁ | Profondità del foro: | 115,0 | mm | | Categoria di utilizzo, calcestruzzo | | Foro asciutto/bagnato |
| h _{nom} | Profondità di inserimento: | 110,0 | mm | | | | |
| h _{ef} | Profondità effettiva di ancoraggio: | 110,0 | mm | | Minima lunghezza barra | 140,0 | mm |
| d _f | Diametro foro oggetto da fissare: | 14,0 | mm | | | | |



Progetto

Codice di riferimento
Ufficio progettazione
Persona incaricata
Ufficio costruzioni
Persona incaricata

PRODOTTO:

Resina vinilesterere senza stirene bi-componente per carichi pesanti per fissaggi in calcestruzzo, muratura piena, laterizi forati e legno. Grazie alla mancanza di stirene (assenza di odore pungente) l'utilizzo è possibile anche in ambienti chiusi. Questa resina può essere utilizzata anche in condizioni di calcestruzzo umido e foro allagato.

CONDIZIONI DI CALCOLO:

Questo calcolo è basato esclusivamente su valori specifici per il prodotto.

Qualsiasi modifica apportata - cambiamento del prodotto o cambiamenti delle condizioni al contorno - richiederà un nuovo calcolo.

Piastra di ancoraggio:

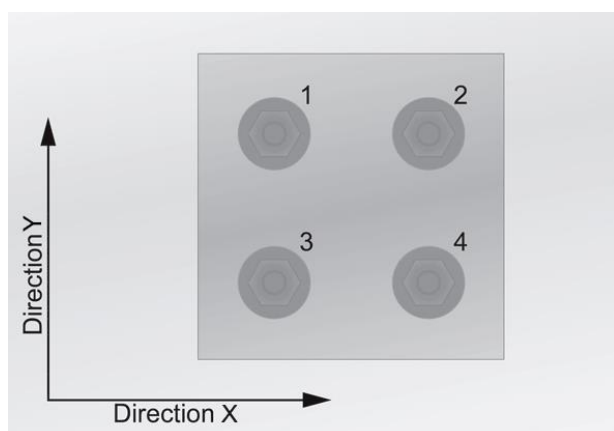
Il programma di calcolo assume, secondo EOTA TR029 ed Eurocodice 2 parte 4 , che la piastra di ancoraggio non si deformi sotto le azioni applicate.

Così, in conformità con I EOTA TR029 ed Eurocodice 2 parte 4, la piastra di ancoraggio dovrà essere sufficientemente rigida e il suo progetto dovrebbe essere effettuato secondo le norme per strutture in acciaio che garantiscono un comportamento elastico.

Condizioni aggiuntive:

Per quanto riguarda la progettazione degli ancoraggi si deve essere a conoscenza delle verifiche supplementari per garantire la resistenza caratteristica dell'elemento di calcestruzzo (componente strutturale) EOTA TR029 ed Eurocodice 2 parte 4.

Tutte le condizioni del Benestare Tecnico Europeo (ETA) e le pubblicazioni tecniche Bossong devono essere rispettate in tutti i dettagli.





Progetto

Codice di riferimento

Ufficio progettazione

Persona incaricata

Ufficio costruzioni

Persona incaricata

Dati di Input

Trazione $N_{Sd,Z}$ 0,00 kN**Taglio** $V_{Sd,X}$ 0,00 kN $V_{Sd,Y}$ 12,00 kN**Bordi** C_{Xp} ∞ mm C_{Xn} ∞ mm C_{Yp} ∞ mm C_{Yn} 150 mm**Flessione** $M_{Sd,X}$ 0,00 kN·m $M_{Sd,Y}$ 0,00 kN·m**Torsione** $M_{Sd,Z}$ 0,00 kN·m**Armatura**

Diametro 11 mm

Distanza ferri 200 mm

Distanza staffe 200 mm

Armatura del bordo No

Standard di calcolo

ETAG



Progetto

Codice di riferimento
Ufficio progettazione
Persona incaricata
Ufficio costruzioni
Persona incaricata

Carichi di progetto calcolati sugli ancoranti

| Ancorante | Trazione [kN] | Taglio [kN] | Taglio (x) [kN] | Taglio (y) [kN] |
|-----------|------------------|----------------|--------------------|--------------------|
| 1 | 0,00 | 3,00 | 0,00 | 3,00 |
| 2 | 0,00 | 3,00 | 0,00 | 3,00 |
| 3 | 0,00 | 3,00 | 0,00 | 3,00 |
| 4 | 0,00 | 3,00 | 0,00 | 3,00 |

Risultante forze di trazione: 0,00 [kN]

Risultante forze di compressione: 0,00 [kN]

Risultante forze di taglio: 12,00 [kN]

Calcolo dell'utilizzo in accordo a: TECHNICAL REPORT TR029

(β- è il rapporto tra la sollecitazione di progetto e la resistenza di progetto)

Calcolo di utilizzo - Trazione

Le forze applicate sulla piastra non causano trazione in nessun ancorante



Codice di riferimento

Ufficio progettazione

Persona incaricata

Ufficio costruzioni

Persona incaricata

Calcolo utilizzo - Taglio

Taglio - Rottura acciaio senza braccio di leva

| Ancorante | $V_{Rk,s}^0$ [kN] | $V_{Rk,s}$ [kN] | γ_{Ms} [-] | $V_{Rd,s}$ [kN] | V_{sd} [kN] | $\beta_{V,s}$ [%] |
|-----------|----------------------|--------------------|------------------------|--------------------|------------------|------------------------|
| 1 | 21,00 | 21,00 | 1,25 | 16,80 | 3,00 | 17,9% |

Taglio - Rottura acciaio con braccio di leva

Braccio di leva non applicato

Taglio - Rottura per scalzamento(NRk,c)

Gli ancoranti sono divisi in 1 gruppo

| $N^0_{Rk,c}$ | $A_{c,N}$ [mm ²] | $A_{c,N}^0$ [mm ²] | $\Psi_{s,N}$ [-] | $\Psi_{re,N}$ [-] | C_x [mm] | C_{+x} [mm] | C_y [mm] | C_{+y} [mm] | |
|-------------------|---------------------------------|-----------------------------------|------------------------|------------------------|--------------------|---------------------|---------------------|------------------|-------------------------|
| 58,26 | 223.200 | 108.900 | 0,973 | 1,000 | 6.000 | 6.000 | 150 | 6.000 | |
| $e_{N,x}$ [mm] | $e_{N,y}$ [mm] | k | γ_{Mc} [-] | $\Psi_{ec,N}$ [-] | $N_{Rk,c}$ [kN] | $V_{Rk,cp}$ [kN] | $V_{Rd,cp}$ [kN] | V_{sd} [kN] | $\beta_{V,cp}$ [%] |
| 0,0 | 0,0 | 2,00 | 1,5 | 1,0 | 116,15 | 232,31 | 154,87 | 12,00 | 7,7% |

Taglio - Rottura per scalzamento(NRk,p)

Gli ancoranti sono divisi in 1 gruppo

| $N^0_{Rk,p}$ [kN] | $A_{p,N}$ [mm ²] | $A_{p,N}^0$ [mm ²] | s_m [-] | $\Psi_{g,Np}$ [-] | C_x [mm] | C_{+x} [mm] | C_y [mm] | C_{+y} [mm] | | | |
|-----------------------|---------------------------------|-----------------------------------|-------------------|------------------------|------------------------|------------------------|--------------------|---------------------|---------------------|------------------|-------------------------|
| 49,76 | 204.922 | 92.160 | 150.0 | 1,061 | 6.000 | 6.000 | 150 | 6.000 | | | |
| $\Psi_{s,N}$ [-] | $\Psi_{re,N}$ [-] | $e_{n,x}$ [mm] | $e_{n,y}$ [mm] | k | γ_{Mc} [-] | $\Psi_{ec,N}$ [-] | $N_{Rk,c}$ [kN] | $V_{Rk,cp}$ [kN] | $V_{Rd,cp}$ [kN] | V_{sd} [kN] | $\beta_{V,cp}$ [%] |
| 0,996 | 1,000 | 0,0 | 0,0 | 2,0 | 1,5 | 1,000 | 116,98 | 233,95 | 155,97 | 12,00 | 7,7% |

Taglio - Rottura del bordo di calcestruzzo

L'ancorante più sollecitato 1 non si presume che sia efficace per la verifica del cedimento del bordo di calcestruzzo, pertanto il fattore di utilizzo del cedimento del bordo valutato non influirà sulla verifica dell'ancoraggio.

Combinazione trazione e taglio



Progetto

Codice di riferimento
Ufficio progettazione
Persona incaricata
Ufficio costruzioni
Persona incaricata

| | Ancorante | Trazione (β_N) | Taglio (β_V) | Condizione | Utilizzo | Status |
|--------------|-----------|------------------------|----------------------|---|----------|--------|
| Acciaio | 1 | 0,0% | 17,9% | $\beta = \beta^2_N + \beta^2_V$ | 3,2% | ✓ |
| Calcestruzzo | 1 | 0,0% | 7,7% | $\beta = (\beta^{1.5}_N + \beta^{1.5}_V)$ | 2,2% | ✓ |

RISULTATO

OK - La capacità è adeguata

NOTE

La verifica dei casi progettuali coperti da ETAG 001 e TR029 è eseguita in accordo a tali linee guida. La verifica dei casi progettuali non coperti da ETAG 001 o TR029 è eseguita tramite specifica linea guida. Maggiori dettagli possono essere trovati in ACP Design Guides. I carichi agenti sugli ancoranti sono valutati in accordo alla teoria dell'elasticità, assumendo che la piastra di ancoraggio sia sufficientemente rigida. L'utente deve verificare questa condizione, dal momento che il programma non verifica automaticamente la rigidità della piastra. Il trasferimento dei carichi dagli ancoranti al materiale base dovrà essere verificato in accordo a ETAG 001 Annex C o TR029 sezione 7. Il metodo di progettazione è valido solo per fori nella piastra di fissaggio con un diametro non superiore ai valori riportati in ETAG 001 Annex C o TR029 Tabella 4.1. I coefficienti parziali di sicurezza applicati sono in accordo all'ETA del prodotto e ai documenti di progettazione sopra indicati, si prega di controllare le verifiche rispetto agli standard ed ai requisiti locali.

AVVISO IMPORTANTE

I dati inseriti nel software, ed i relativi risultati, devono essere verificati dall'utente sotto la responsabilità di un ingegnere con esperienza nel settore dell'ancoraggio in calcestruzzo. Questo per assicurare che non vi siano errori e che tutti i dati siano completi, accurati e che rispettino le norme ed i regolamenti relativi alla condizione reale ed all'applicazione. I dati contenuti nel software sono relativi solo ed esclusivamente ai prodotti inseriti e si basano sui principi, formule e regolamenti di sicurezza in accordo alle esistenti linee guida per ancoraggi in calcestruzzo, oltre che all'esperienza tecnica del produttore. L'utente deve rispettare tali principi. L'utente è il solo responsabile circa i dati inseriti nel programma per eseguire il calcolo; qualsiasi errore od omissione ricade sotto la responsabilità dell'utente. L'utente deve assicurarsi di utilizzare la versione aggiornata del programma utilizzando la funzione di auto-aggiornamento messa a disposizione. L'utente deve aggiornare il programma quando è richiesto di farlo. L'obiettivo del programma è quello di agire come un aiuto al calcolo per aiutare a rispettare i regolamenti e le attuali linee guida, senza alcuna garanzia di idoneità per qualsiasi applicazione specifica.